



Proyecto Arqueológico **LA CORONA**

INFORME FINAL Temporada 2018



Tomás Barrientos Q.
Marcello A. Canuto
Marissa López

Guatemala, Febrero de 2019

© Proyecto Regional Arqueológico La Corona
17 Avenida “B” 0-76 Zona 15, Colonia El Maestro. 01015 Guatemala
lacorona.project@gmail.com

Edición General: Tomás Barrientos, Marcello Canuto y Marissa López

Traducciones: Marissa López y Tomás Barrientos

Impresión del informe y digitalización de imágenes: Marissa López

Figura de la portada: Mapa del sitio La Corona, basado en imágenes lidar. Mapa por Marcello Canuto

CONTENIDO

CAPÍTULO I

PROYECTO REGIONAL ARQUEOLÓGICO LA CORONA: OBJETIVOS Y ANTECEDENTES DE LA TEMPORADA 2018

Tomás Barrientos y Marcello A. Canuto 1

CAPÍTULO II

OPERACIÓN 112B: INVESTIGACIONES EN LA ESTRUCTURA 13R-45 DEL GRUPO CORONITAS

Jesús Alejandro González Cordova 33

CAPÍTULO III

ANÁLISIS EPIGRÁFICO, ICONOGRÁFICO E HISTÓRICO DEL ALTAR 5 DE LA CORONA

David Stuart, Marcello Canuto y Tomás Barrientos 53

CAPÍTULO IV

INFORME DE TRASLADO Y MONTAJE DEL ALTAR 5 LOCALIZADO EN LA ESTRUCTURA 13R-45 DEL SITIO ARQUEOLÓGICO LA CORONA

Edwin Pérez Robles y Tomás Barrientos 75

CAPÍTULO V

INVESTIGACIONES EN EL GRUPO TORTUGAS DE LA CORONA: OPERACIONES CR-54 Y CR-55, TEMPORADA 2018

Marissa López y Kirsty Escalante 89

CAPÍTULO VI

INVESTIGACIONES ARQUEOLÓGICAS EN EL JOBILLO, TEMPORADA 2018

Jocelyne Ponce y Francisco J. Pérez 129

CAPÍTULO VII

INVESTIGACIONES EN LA REGIÓN ACHIOTAL

Luke Auld-Thomas y Alejandra González 179

CAPITULO VIII	
EXCAVACIONES EN LA ESTRUCTURA 5C-08 DE EL ACHIOTAL, NUEVAS INVESTIGACIONES, TEMPORADA 2018	
<i>Ernesto Arredondo Leiva</i>	221
CAPÍTULO IX	
SUBOPERACIÓN ACH 6A: INVESTIGACIONES EN LA ESTRUCTURA CF18-6, EL ACHIOTAL	
<i>Alejandra González</i>	261
CAPÍTULO X	
ANÁLISIS PRELIMINAR DE LAS VASIJAS COMPLETAS DE LA TEMPORADAS 2016-2018: LA CORONA	
<i>Caroline A. Parris</i>	273
CAPÍTULO XI	
EL ANÁLISIS CERÁMICO PROVENIENTE DEL CUARTO 13Q-4P1: TABLETAS Y VASIJAS	
<i>Maxime Lamoureux-St-Hilaire</i>	311
CAPÍTULO XII	
LA CERÁMICA DE LA CARIBA: UN ANÁLISIS PRELIMINAR	
<i>David Chatelain</i>	321
CAPÍTULO XIII	
ANÁLISIS DE MATERIALES LÍTICOS, TEMPORADAS 2015-2018	
<i>Rachael Horowitz</i>	357
CAPÍTULO XIV	
SÍNTESIS Y CONCLUSIONES DE LA TEMPORADA DE CAMPO 2018	
<i>Marcello A. Canuto y Tomás Barrientos</i>	377
BIBLIOGRAFÍA	411
ANEXOS 1	
LISTADO DE MATERIALES ARQUEOLÓGICOS HALLADOS EN LA TEMPORADA 2018	429

ÍNDICE DE FIGURAS

Capítulo 1

Figura 1.1 Sitios principales en el área de PRALC identificados en 2012	6
Figura 1.2 Imagen satelital que incluye el área entre La Corona y El Achiotal, mostrando sitios principales.....	6
Figura 1.3 Imagen LiDAR que incluye el área entre La Corona y El Achiotal, mostrando sitios principales (triángulos rojos), sitios secundarios (triángulos amarillos) y grupos o montículos individuales (puntos negros)	8
Figura 1.4 Ubicación de La Corona al oeste de la Altiplanicie Cárstica Central (Mapa por M. Canuto) Las áreas verdes son de menor altura y las de color café son de mayor altitud.	9
Figura 1.5 Imagen LiDAR del sitio La Corona	10
Figura 1.6 La Corona, Plaza Principal	10
Figura 1.7 La Corona, Grupo Coronitas	11
Figura 1.8 Secuencia dinástica de La Corona durante la "Era Dorada"	13
Figura 1.9 Altar 5 durante las excavaciones en 2017.....	16
Figura 1.10 Imagen LiDAR mostrando la calzada CR12P-1 y unidades de excavación	17
Figura 1.11 Planta de la tumba ubicada en la Estructura 5C-08.....	18
Figura 1.12 Ubicación de estructuras prehispánicas en la región de El Achiotal.....	19
Figura 1.13 Imagen LiDAR de la meseta al sur de El Achiotal	19
Figura 1.14 Perfil de excavaciones en la Estructura 8M-1 de El Jobillo.....	20
Figura 1.15 Zona de estudio con límites aproximados	24
Figura 1.16 Mapa de la RBM con zonas naturales recuperadas hasta 2011, donde se incluye el Corredor Biológico La Corona.....	25
Figura 1.17 Delimitación del sitio La Corona y ubicación del Campamento PRALC.....	26
Figura 1.18 Edificios de oficina y bodega de materiales y herramientas, campamento PRALC.....	27
Figura 1.19 Ranchos para carpas del personal operativo y profesional, campamento PRALC	27

Figura 1.20 Organigrama del Proyecto	29
Figura 1.21 Personal completo PRALC, Temporada 2018.....	29
Figura 1.22 Profesionales y estudiantes de PRALC, Temporada 2018	30
Figura 1.23 Profesores y estudiantes de la Universidad del Valle de Guatemala y la Universidad de Tulane en PRALC, Temporada 2018.....	30

Capítulo 2

Figura 2.1 Croquis de las unidades de la Operación 112B sobre la Estructura 13R-4	36
Figura 2.2 CR112B-23-3-4, agrupación de tiestos in situ sobre el Piso 1 detrás de la columna sur.	38
Figura 2.3 Fachada interior del Muro 2, correspondiente al Lote CR112B-24-3-7. Este muro conectaría con la esquina exterior de 13R-45.....	39
Figura 2.4 Agrupación de tiestos in situ sobre piso, correspondientes a CR-112B-3-4	40
Figura 2.5 Corte en el Piso 3, se puede notar como el mismo sigue la silueta del Altar 5	43
Figura 2.6 CR-112B-31-5-6, lote de trece conchas in situ.....	44
Figura 2.7 Esquina sureste de 13R-45 encontrada en el Lote CR112B-32-2-3	45
Figura 2.8 Estratigrafía de la Unidad CR112B-31 vista desde el perfil Sur. 1) Piso 3; 2) Piso 2; 3) relleno café con piedras cuña; 4) Piso 1; 5) Relleno de tierra negra con inclusiones blancas; 6) Tierra café claro con presencia de caliza; 7) Tierra amarilla con caliza; 8) Tierra rojiza con caliza	48
Figura 2.9 Planta de 13R-45. Se pueden notar las tres jambas, la ubicación del Altar 5 sobre el axis de la estructura y las terrazas entre esta estructura y 13R-2 hacia el Este	50
Figura 2.10 Fachada de la última fase de la Estructura 13R-45	51

Capítulo 3

Figura 3.1 Fotografía del Altar 5, mostrando los distintos elementos iconográficos	54
Figura 3.2 Inscripción jeroglífica del Altar 5.....	55

Figura 3.3 Comparación de representaciones Mayas Clásicas para mih “cero, nada”. (a) MIH-li , Fragmento de Panel de Xupa (b) MIH o mi , Tableta de la Cruz Foliada, Palenque, (c) mi de la Estela 26, Uaxactun, (d) mi-hi silábica, Estela 63, Copan	56
Figura 3.4 Registros de estaciones de 260 días mostrando la preposición ta- entre el número y el nombre de día (a) Altar 5, La Corona, (b) Monumento 106, Tonina, (c) Monumento 156, Tonina, (d) Tiesto inciso, Tonina.	57
Figura 3.5 La frase verbal, usando el verbo intransitivo k’o-to-yi , k’otoy-i, “él llegó allí”, seguido por un posible nombre de lugar, BAAK-TUUN-li	59
Figura 3.6 El nombre del protagonista, Wak Chan Pan(?) Chak Took Ich’aak	60
Figura 3.7 Ejemplos del título Sakwayis. (a) Altar 5, La Corona, (b) Panel 1, La Corona, (c) Elemento 56, La Corona	60
Figura 3.8 Detalle del registro basal del Altar 5	62
Figura 3.9 Registros basales similares en el arte Maya (a) Estela 11, Uxbenka, (b) Altar 8, Tikal,	63
Figura 3.10 Wakmihnal y glifos relacionados. (a) Panel 1, La Corona, (b) EJ2 Yaxchilan, Escalón VII, (c) Elemento 19, La Corona, (d) mural de Santa Rita, (e) Códice de Dresden	64
Figura 3.11 Marcador Central del Juego de Pelota Iib, Copan.	65
Figura 3.12 Cabezas de deidades que emergen de la barra ceremonial, las cuales corresponden a Yaxal Ajaw y Chak Wayaab Chaak, el primero y tercer nombres de la "Triada de La Corona"	67
Figura 3.13 Pasaje de la Estela 1 de La Corona, recontando el Fin de Período 9.5.10.0.0.....	68
Figura 3.14 Chak Tok Ich’aak de Tikal. (a) Retrato en una vasija de proveniencia desconocida (Dibujo por S. Martin), (b) glifos nominales en la Stela 31 (Dibujo por D. Stuart).....	70
Figura 3.15 Nombre de Chak Tok Ich’aak en la Estela 44 de El Perú (Waka’)	71

Capítulo 4

Figura 4.1 Ubicación del Altar 5, Sitio Arqueológico La Corona	75
Figura 4.2 Excavación del Altar 5 durante la Temporada 2017. Nótese la presencia de las raíces del árbol de Ramón.....	76
Figura 4.3 Altar 5 de La Corona	77
Figura 4.4 Excavación del Altar 5 durante la Temporada 2018, con la Estructura 13R-45 expuesta.....	78
Figura 4.5 Movimiento del Altar 5 fuera de la Estructura 13R-45	79
Figura 4.6 Ingreso del Altar 5 al sótano del Museo Nacional de Arqueología y Etnología.....	80
Figura 4.7 Embalaje y traslado del monumento por el montacarga del DEMOPRE, personal del MUNAE y de la Empresa Enytel, quienes fueron los encargados del movimiento	81
Figura 4.8 Equipo de izaje, trasladando la pieza hacia la entrada del museo, bajo la supervisión de Efraín Peralta y Edwin Pérez.....	82
Figura 4.9 Traslado de la pieza hacia el forklift, bajo la supervisión de Daniel Aquino, Efraín Peralta y Edwin Pérez	83
Figura 4.10 Elaboración y ajuste de la base de metal del monumento	83
Figura 4.11 Diseño de la base del altar, Planos preliminares.....	84
Figura 4.12 Colocación de la pieza en su lugar de exposición	85
Figura 4.13 Mario Gutiérrez y Marissa López realizando trabajo de limpieza mecánica en el sótano del MUNAE.....	86
Figura 4.14 Pequeños restos de color rojo encontrados en el trabajo de limpieza	87
Figura 4.15 Elaboración de la estructura de exhibición para el Altar 5 y paneles interpretativos	88

Capítulo 5

Figura 5.1 Mapa de Grupo Tortugas	90
Figura 5.2 a) Saqueo 1 antes de limpieza y registro b) Saqueo 1 después de limpieza y registro.	92

Figura 5.3 Estuco modelado proveniente de la Estructura 12P-30.....	92
Figura 5.4 Piedra labrada al centro del saqueo siguiendo el eje de la Estructura 12P-30	93
Figura 5.5 Finalización de unidades CR55A-1 y -3	95
Figura 5.6 Perfil Este del Saqueo 1, Estructura 12P-30	95
Figura 5.7 a) Saqueo 2 antes de limpieza y registro b) Saqueo 2 después de limpieza y registro	97
Figura 5. 8 Perfil Norte del Saqueo 2, Estructura 12P-29	99
Figura 5.9 Perfil Oeste del Saqueo 2, Estructura 12P-29	100
Figura 5. 10 Unidad CR55A-4 y Unidad CR55A -5.....	101
Figura 5.11. Perfil Oeste y Norte de la unidad CR55A-4.....	102
Figura 5.12 Vasija CR-V88 Incensario Pedregal modelado	102
Figura 5.13 Perfil Norte de la Unidad CR54-2.....	104
Figura 5.14 Planta de las Unidades CR54-3, -4 y -5	105
Figura 5.15 Perfil Oeste de las Unidades CR54-3 y -5.....	107
Figura 5.16 Piedras arquitectónicas de la Estructura 12P-32	108
Figura 5.17 Rasgo rocoso en las Unidades CR54-3 y -5	109
Figura 5.18 Entierro 25 en la Unidad CR54-3.....	110
Figura 5.19 Piedras cortadas en la parte oeste de la Unidad CR54-5	114
Figura 5.20 Perfil Sur de la Unidad CR54-5.....	115
Figura 5.21 Entierro 24, 25, y 26.....	117
Figura 5.22 Entierro 26 en la Unidad CR54-5.....	118
Figura 5.23 Unidades CR54-7 y CR54-8 mostrando contexto de Entierro 27, Lote CR547-6-9.....	121
Figura 5.24 Entierro 27	123
Figura 5.25 Dibujo del Entierro 27	124
Figura 5.26 Ofrenda del Entierro 27. A) Vasija CR-V86 y B) CRV-87.....	125

Capítulo 6

Figura 6.1 Imagen LIDAR con mapa de El Jobillo sobrepuesto.	130
Figura 6.2 Ubicación de la Estructura 8M-1.....	131

Figura 6.3 Perfil Sección Este-Oeste de la Estructura 8M-1 mostrando unidades excavadas en 2017 y 2018.	132
Figura 6.4 Ubicación de las unidades excavadas en la Estructura 8M-1 en 2017 y 2018, Operación JOB16.....	133
Figura 6.5 Planta de rasgos identificados en la superestructura de la Estructura 8M-1 mostrando modificaciones realizadas a lo largo del Clásico Tardío.	134
Figura 6.6 Detalle del Perfil Este de las unidades de las suboperaciones JOB16B y JOB16C en la superestructura de la Estructura 8M-1.....	135
Figura 6.7 Fragmentos de piso de estuco bajo el Muro Sur (JOB16C-1-4-7).	136
Figura 6.8 Materiales recuperados en JOB16C-1-4-6. a) Piedra caliza tallada y b) fragmentos de pedernal.	136
Figura 6.9 Rasgo estucado visto desde el noroeste mostrando ubicación de muros este y oeste.	137
Figura 6.10 Límite oeste del rasgo estucado en JOB16C-1-4-8.	138
Figura 6.11 a) Piso sobre el cual fue construido el Muro Este y b) detalle de restos de pintura negra en JOB16C-1-4-9.	139
Figura 6.12 Fragmentos de cerámica de tipo indeterminado (JOB16C-1-4-9).	140
Figura 6.13 Registro en la parte superior de rasgo estucado mostrando pisos identificados.	141
Figura 6.14 Huella de poste (JOB16C-2-6-6).....	142
Figura 6.15 Huella de poste (JOB16C-2-8-8).....	143
Figura 6.16 Cuenta de jadeíta fragmentada (JOB16C-2-10-10).	144
Figura 6.17 Muros de cuerpos o terrazas pertenecientes a la última fase constructiva (JOB16C-3-2-2).	145
Figura 6.18 Piedras calizas talladas.	145
Figura 6.19 Muro que delimita el rasgo estucado por el lado oeste (JOB16C-3-3-3) a) visto desde el norte y b) visto desde el noroeste.	146
Figura 6.20 Posible basamento de muro con orientación este-oeste (JOB16B-1-2-2).	147
Figura 6.21 Muros de cuerpos o terrazas en la Fachada Norte de la Estructura 8M-1 a) vistos desde el noreste.....	148
Figura 6.22 Detalle del Perfil Este del Saqueo 5.	150

Figura 6.23 Unidades y pruebas de pala realizadas en el Grupo A en 2016, 2017 y 2018. Operaciones JOB03, JOB04, JOB06 y JOB07	153
Figura 6.24 Esquina de la plataforma asociada a la Estructura 8M-4 (JOB06B-1).....	155
Figura 6.25 Vista del lado este de las unidades JOB06C-1 y JOB06C-2.	157
Figura 6.26 Rasgos de las unidades JOB06C-1 y JOB06C-2.....	158
Figura 6.27 Perfiles de la Unidad JOB04D-9.	160
Figura 6.28 Fragmento de figurilla (JOB04D-9-2-2).	161
Figura 6.29 Unidades y pruebas de pala realizadas en el Grupo B en 2016 y 2018 Operaciones JOB08, JOB09, JOB10, JOB11, JOB12, JOB13 y JOB14.....	162
Figura 6.30 Perfiles de la Unidad JOB10B-14.	165
Figura 6.31 Algunos materiales recuperados en basurero: a) fragmento de figurilla (JOB10B-14-2-2) y b) pedernal (JOB10B-14-2-3).....	166
Figura 6.32 Cerámica debajo de una piedra de derrumbe (JOB10B-14-2-2).	166
Figura 6.33 Cerámica y pedernal in situ (JOB10B-14-2-3).....	167
Figura 6.34 Rasgo de barro en JOB10B-14-2-5.	168
Figura 6.35 Perfil sección este-oeste de la Estructura 8M-1 mostrando temporalidades y fases constructivas.	173

Capítulo 7

Figura 7.1 La Región El Achiotal	179
Figura 7.2 Estructuras arqueológicas identificadas manualmente a través de análisis visual de modelos LiDAR del terreno. Vista detallada evidenciando áreas sujetas a validación en campo durante el 2018.....	181
Figura 7.3 Moto G4 utilizando MapIT GIS	182
Figura 7.4 Formato completo de Reconocimiento junto con mapa realizado a paso y brújula	184
Figura 7.5 Rasgos arqueológicos mapeados al sur del Campamento Achiotal. Indica el alcance de la cobertura total de reconocimiento durante la Temporada 2018	185
Figura 7.6 Rasgos arqueológicos mapeadas en Chablé. Indica el alcance de cobertura total del reconocimiento durante la Temporada 2018.....	186
Figura 7.7 Ubicación de la Recolección de Superficie	192

Figura 7.8 Ubicación de las Pruebas de Pala cercanas al Campamento Achiotal.....	194
Figura 7.9 Ubicación de las Pruebas de Pala en Chablé.....	194
Figura 7.10 Ubicación de las Unidades de excavación ACH99-24 y -25 durante la Temporada de Campo 2018	196
Figura 7.11 Ubicación de las Unidades de excavación ACH99-26; -27 y -28 durante la Temporada de Campo 2018	197
Figura 7.12 Soporte Mamiforme, Lote ACH99-24-1-1	198
Figura 7.13 Piedras planas “pavimento” en el Lote ACH99-24-6, únicamente al este de la Unidad ACH99-24.....	199
Figura 7.14 Huesos humanos in situ ubicados en el Lote AHC99-24-6.....	199
Figura 7.15 Perfil de Unidad ACH99-24	200
Figura 7.16 Figurilla cerámica recuperada del Lote ACH99-25-1	201
Figura 7.17 Perfil de la Unidad ACH99-25	202
Figura 7.18 Vasija parcial Estilo Códice.....	203
Figura 7.19 Fragmento cerámico Estilo Códice, perteneciente a otra vasija figurada en la Figura 7.18	204
Figura 7.20 Alineación de piedras en ACH99-26-7, que parecen descansar sobre la matriz del Lote ACH99-26-8	205
Figura 7.21 Planta de la Unidad ACH99-26, que muestra el alineamiento de mampostería en la base del Nivel 7	206
Figura 7.22 Perfiles Este y Sur de la Unidad ACH99-26	207
Figura 7.23 Piso de 3 cm de grosor (ACH99-27-7) inmediatamente sobre otro piso (ACH99-27-8).....	209
Figura 7.24 Perfil Norte de la Unidad ACH99-27, que muestra la secuencia de los pisos. Tenga en cuenta que el piso asociado con el Nivel 4 no se conserva en esta parte de la unidad.....	211
Figura 7.25 Perfiles Finales del perfil Este y Norte de la Unidad ACH99-27	212
Figura 7.26 Piedra de relleno del Lote ACH 99-28-4	213
Figura 7.27 Piedra de relleno ACH 99-28-5	213
Figura 7.28. Material in situ del Lote ACH 99-28-6.....	214
Figura 7.29 Planta representando el material in situ del Lote ACH 99-28-6.....	214

Figura 7.30 Piedra de relleno del Lote ACH 99-28-7	215
Figura 7.31 Planta del Lote ACH 99-28-7	215
Figura 7.32 Fin de excavación del Lote ACH 99-28-10	216
Figura 7.33 Perfil Norte y Este de la Unidad ACH 99-28	217

Capítulo 8

Figura 8.1 Mapa topográfico de la Estructura 5C-08 mostrando las unidades ACH 3C- 1,- 2, 3 y- 4 (rojo) y las limpiezas a los saqueos 2 y 4 (celeste)	222
Figura 8.2 Vista general hacia el este de las unidades ACH 3C-2 y -3 al remover el relleno de 2017.....	225
Figura 8.3 Vista hacia el este de la Unidad ACH 3C-2 al iniciar la remoción del lote 5. El Entierro 7 comienza a aparecer en la esquina inferior derecha de la imagen	226
Figura 8.4 Unidad ACH 3C-2 vista hacia el sur, el área del Entierro 7 aparece al centro de la imagen	226
Figura 8.5 Entierro 7, proceso de excavación.....	227
Figura 8.6 Entierro 7, a) vista general en la Unidad ACH 3C-2; y b) detalle del Entierro 7 y el perfil sur	227
Figura 8.7 Unidad ACH 3C-2, remoción del pequeño muro y relación con Unidad ACH 3C-3	228
Figura 8.8 Unidad ACH 3C-2, lote 6 aún <i>in situ</i>	228
Figura 8.9 Escultura cercana al Entierro 7, a) en contexto respecto del entierro al centro izquierda de la unidad; y b) acercamiento	229
Figura 8.10 Unidad ACH 3C-2, Lote 7 a) Fotografía general; y b) detalle	229
Figura 8.11 Unidad ACH 3C-2, Perfil Oeste	230
Figura 8.12 Unidad ACH 3C-2, Perfil Norte	230
Figura 8.13 ACH 3C-2 y ACH 3C 4, Perfil Oeste integrando los perfiles de 2017	231
Figura 8.14 ACH 3C-2 y -3, Planta.....	231
Figura 8.15 Unidad ACH 3C-2 y ACH 3C-4, Planta, Entierro 7	232
Figura 8.16 ACH 3X-2 y ACH 3C 4, Planta, Entierro 7, sectores generales de recolección	232

Figura 8.17 ACH 3X-2 y ACH 3C 4, Planta, Entierro 7, sectores específicos de recolección	233
Figura 8.18 Unidad ACH 3C-3, vistas generales del rasgo rectangular de piedras labradas, a) vista hacia el sur; y b) vista hacia el este.....	235
Figura 8.19 Unidad ACH 3C 3, a) Lote 4 al norte (izquierda de la imagen) y Lote 5 al sur (derecha de la imagen); b) detalle del Lote 5; c) detalle del Perfil Sur del lote 5; y d) detalle del piso en el Lote 6.....	235
Figura 8.20 ACH 3C-2 y 3, Perfil Sur, con perfiles integrados de 2017	236
Figura 8.21 Unidad ACH 3C-4, vista general hacia el este antes de iniciar la excavación.....	237
Figura 8.22 Unidad ACH 3C-4, a) Lote 1; y b) Lote 2.....	238
Figura 8.23 Unidad ACH 3C-4 a) vista hacia el sur en relación a la Unidad ACH 3C-2; b) vista hacia el norte en relación al Saqueo 8; c) perfil este; y d) Perfil oeste en relación al perfil oeste de la Unidad ACH 3C-2	238
Figura 8.24 Unidad ACH 3C-4, vista hacia el suroeste en relación con la Unidad ACH 3C-2 y el Entierro 7, mostrando la remoción del Piso 1 y el relleno que lo sostuvo	239
Figura 8.25 ACH 3C-2. 3 y -4, Planta.....	240
Figura 8.26 Saqueo 2, a) detalle del relleno del perfil norte sección este; b) detalle del relleno del perfil sur sección este; y c) detalle de los estratos en el interior de la estructura, la Cista 4 se encuentra en la esquina superior derecha, mientras un túnel se extiende hacia el este, hacia el centro de la imagen	242
Figura 8.27 Cista 4, a) detalle de los estratos por debajo de la cista; y b) interior de la cista, vista hacia el sur.....	243
Figura 8.28 Planta y perfil este de la Cista 3, Estructura 5C-08	244
Figura 8.29 Perfil del frente de la Cista 3, interior de Saqueo 2.....	245
Figura 8.30 Perfil sur del extremo este del Saqueo	245
Figura 8.31 Perfil norte del extremo este del Saqueo 4 (izquierda), y perfil de su ampliación hacia el norte (derecha)	246
Figura 8.32 Perfil Sur, Saqueo 2	246
Figura 8.33 Perfil norte del Saqueo 2	247

Figura 8.34 Saqueo 4, vista general hacia el este	248
Figura 8.35 Saqueo 4, a) vista general del Perfil Sur, sector este; b) detalle del piso de estuco visto hacia el sureste; c) vista general del saqueo, perfil sur; y d) vista general del saqueo, perfil norte.....	249
Figura 8.36 Detalle del cambio de estrato en el Saqueo 2; y b) detalle del piso estucado a la misma profundidad o altura, pero en el Saqueo 4.....	250
Figura 8.37 Saqueo 4, sección oeste, pequeño muro de piedra, posiblemente de segunda etapa constructiva al centro inferior de la imagen	251
Figura 8.38 Perfil sur, Saqueo 4, Estructura 5C-08	252
Figura 8.39 Perfil Norte, Saqueo 4, Estructura 5C-08.....	253

Capítulo 9

Figura 9.1 Ubicación de la excavación.	262
Figura 9.2 Perfil Oeste y Norte de la Unidad ACH 6A-1	264
Figura 9.3 Evidencia del rasgo en el lote ACH 6A-1-4.....	265
Figura 9.4 Nivel de estructura a terraplén en el lote ACH 6B1-5.....	266
Figura 9.5 Perfil Este y Sur de la Unidad ACH 6B-1	267
Figura 9.6 Fin de excavación de la Unidad ACH 6B-1.	268
Figura 9.7 Fin de excavación de la Unidad ACH 6B-2	269
Figura 9.8 Perfil Norte y Este de la Unidad ACH 6B-2.....	269

Capítulo 10

Figura 10.1 Fotografía de la Vasija CR-V072	275
Figura 10.2 Perfil de la Vasija CR-V072	275
Figura 10.3 Fotografía de la Vasija CR-V073	277
Figura 10.4 Perfil de la Vasija CR-V073	277
Figura 10.5 Fotografía de la Vasija CR-V074	279
Figura 10.6 Perfil de la Vasija CR-V074	279
Figura 10.7 A) Fotografía del exterior de la Vasija CR-V075 B) Fotografía del interior de la Vasija CR-V075.....	281
Figura 10.8 Perfil de CR-V075.....	281

Figura 10.9 Fotografía de la Vasija CR-V076	283
Figura 10.10 Perfil de la Vasija CR-V76	283
Figura 10.11 Fotografía de la Vasija CR-V077.....	285
Figura 10.12 Perfil de la Vasija CR-V077	285
Figura 10.13 Fotografía de la Vasija CR-V078	287
Figura 10.14 Perfil de la Vasija CR-V078	287
Figura 10.15 Fotografía de la Vasija CR-V079	289
Figura 10.16 Perfil de la Vasija CR-V079	289
Figura 10.17 a) Fotografía del exterior de la Vasija CR-V080 b) Fotografía del interior de la Vasija CR-V080.....	291
Figura 10.18 Perfil de la Vasija CR-V080	291
Figura 10.19 Fotografía de la Vasija CR-V081	293
Figura 10.20 Perfil de la Vasija CR-V081	293
Figura 10.21 Fotografía de la Vasija CR-V082	295
Figura 10.22 Perfil de la Vasija CR-V082	295
Figura 10.23 Perfil de la Vasija CR-V083	297
Figura 10.24 Perfil de la Vasija CR-V084	299
Figura 10.25 Perfil de la Vasija CR-V085	301
Figura 10.26 a) Fotografía del exterior de la Vasija CR-V086 b) Fotografía del interior de la Vasija CR-V086.....	303
Figura 10.27 Perfil de la Vasija CR-V086	303
Figura 10.28 Fotografía de la Vasija CR-V087	305
Figura 10.29 Perfil de la Vasija CR-V087	305
Figura 10.30 Fotografía de la CR-V088	307
Figura 10.31 Perfil de la Vasija CR-V088	307
Figura 10.32 Fotografía de la CR-V089 (Fotografía por F. Saravia).....	309
Figura 10.33 Perfil de la Vasija CR-V089 (Dibujo por F. Saravia).	309

Capítulo 11

Figura 11.1 Ensamblaje de tabletas. Las tabletas están organizadas por forma. Correspondencia entre letras y T = número de tableta: a = 1; b = 2; c = 6; d = 8; e = 7; f = 15; g = 11; h = 4; i = 12; j = 5; k = 14; l = 13; m = 3; n = 9; o = 10.	312
Figura 11.2 Fotografía y perfil de la Vasija 1.....	313
(Figura 11.3 Fotografía y perfil de la Vasija 2	313
Figura 11.4. Fotografía y perfil de la Vasija 3.....	314
Figura 11.5 Comparación de diferentes perfiles de tabletas	317

Capítulo 12

Figura 12.1 Mapa de La Cariba	322
Figura 12.2 Asentamiento dentro de un radio de 1 km de La Cariba	323
Figura 12.3 Sierra Rojo: Variedad Sierra.....	331
Figura 12.4 Laguna Verde Inciso: Variedad Indeterminada (a); Alta Mira Aflautado: Variedad Indeterminada (b); Ahchab Ante y Rojo: Variedad Indeterminada (c); y Repasto Negro y Rojo: Variedad Indeterminada (d).....	332
Figura 12.5. Polvero Negro: Variedad Polvero (a); Lechugal Inciso: Variedad Indeterminada (b); Aflautado Indeterminado, grupo Polvero (c); Forma de Hongo Indeterminado, grupo Polvero (d); Rojo-crema-negro Abigarrado Indeterminado, grupo Indeterminado (e); Flor Crema: Variedad Flor (f); Acordeón Inciso: Variedad Indeterminada (g); y Mateo Rojo y Crema: Variedad Indeterminada (h).....	333
Figura 12.6 Iberia Naranja: Variedad Paso Caribe (a); Inciso Indeterminado, Grupo Iberia (b); Rojo y Naranja Compuesto Indeterminado, Grupo Iberia (c); y Negro y Naranja Compuesto Indeterminado, Grupo Iberia (d)	335
Figura 12.7 Achiotes Sin Engobe: Variedad Achiotes (a); Sapote Estriado: Variedad Sapote (b); y Aplicado Indeterminado, Grupo Achiotes (c)	336
Figura 12.8. Quintal Sin Engobe: Variedad Indeterminada	339
Figura 12.9. Águila Naranja: Variedad Águila (a); Águila Naranja: Variedad Dos Hermanos (b); Balanza Negro: Variedad Indeterminada (c); Lucha Inciso: Variedad Indeterminada (d); Dos Arroyos Naranja Policromo: Variedad Indeterminada (e); y San Blas Rojo sobre Naranja: Variedad Indeterminada (f)	340

Figura 12.10 Cambio Sin Engobe: Variedad Cambio (a); Manteca Impreso: Variedad Cinta Aplicada Indeterminada (b); y Pedregal Modelado: Variedad Indeterminada (c)	344
Figura 12.11 Tinaja Rojo: Variedad Indeterminada (a); Chaquiste Impreso: Variedad Indeterminada (b); Chaquiste Impreso: Variedad Estampada Indeterminada (c); Infierno Negro: Variedad Infierno (d); Carmelita Inciso: Variedad Indeterminada (e); Carmelita Inciso: Variedad Incisa/Excisa Indeterminada (f); e Impreso de Tela Indeterminado, grupo Infierno (g)	346
Figura 12.12 Azote Naranja: Variedad Indeterminada (a); Palmar Naranja Policromo: Variedad Indeterminada (b); Desquite Rojo sobre Naranja: Variedad Indeterminada (c); Zacatal Crema Policromo: Variedad Indeterminada (d); Chablekal Gris: Variedad Indeterminada (e); Chicxulub Inciso: Variedad Indeterminada (f); Telhac Compuesto: Variedad Indeterminada (g); e Inciso-Acanalado Compuesto Indeterminado, clase Pasta Gris Fino (h).....	347
Figura 12.13 Pozo Sin Engobe: Variedad Indeterminada (a); La Justa Compuesto: Variedad Indeterminada (b); y Paxcaman Rojo: Variedad Indeterminada (c)	350

Capítulo 13

Figura 13.1 Obsidiana de JOB 16C-2-10-10	359
Figura 13.2 Perforador de pedernal de JOB 20B-14-2-3	359
Figura 13.3 Bifaciales de JOB 20B-14-2-3.....	360
Figura 13.4 Talla de JOB 14B-2-2-2.....	361
Figura 13.5 Obsidiana de CR21N-4-3-1 de La Corona	363
Figura 13.6 BUGs de CR22-7-5-6.....	365
Figura 13.7 Bifaciales de CR21N-5-3-3 de La Corona	365
Figura 13.8 Talla de CR20EC-4-2-2	366
Figura 13.9 Bifacial de dos puntas de ACH3X-8-1	368
Figura 13.10 Obsidiana de Achiotal ACH3A-4-2.....	369
Figura 13.11 Bifaciales de ACH-99-26-2	370
Figura 13.12: Talla de ACH99-22-1	371
Figura 13.13 Excéntrico de ACH 3A-1-12-2.....	372

Figura 13.14 Excéntrico de ACH 3A-1-12-1	372
Figura 13.15 Excéntrico que parece macronavaja pedunculada, ACH3O-1-12-3	372
Figura 13.16 Excéntrico de ACH 30-12-4	373
Figura 13.17 Talla de depósito, ACH3X-8-2	374
Figura 13.18 Talla de depósito, ACH3X-8-1	375

Capítulo 14

Figura 14.1 Región mapeada con sensores LiDAR, mostrando agrupamientos de asentamiento	378
Figura 14.2 Imagen LiDAR de la región de El Achiotal	379
Figura 14.3 Perfil sección este-oeste de la Estructura 8M-1 mostrando temporalidades y fases constructivas	381
Figura 14.4 Planta de excavaciones de la Estructura 13R-45, con la ubicación del Altar 5	382
Figura 14.5 Presentación oficial del Altar 5 de La Corona en el Museo Nacional de Arqueología y Etnología	384
Figura 14.6 Altar 5 de La Corona, con elementos iconográficos y texto resaltados.....	384
Figura 14.7 Entierros 24, 25, y 26	385
Figura 14.8 Mapa del sitio El Achiotal, basado en datos LiDAR.....	387
Figura 14.9 Mapa de la región de El Achiotal, basado en datos LiDAR.....	389
Figura 14.10 Mapa mostrando sitios Preclásicos importantes.....	390
Figura 14.11 Dibujo preliminar de la Estela 1 de El Achiotal	391
Figura 14.12 Perfil Sur, Saqueo 2, Estructura 5C-08.....	392
Figura 14.13 Planta de la Fase Cocochán del Palacio	393
Figura 14.14 Mapa de la región de Dzibanche	395
Figura 14.15 Elementos 35 y 36 de La Corona	397
Figura 14.16 Mapa que muestra la posición estratégica de La Corona	398
Figura 14.17 Mapa que muestra la ubicación del Altar 5 de La Corona	400
Figura 14.18 Mapa que muestra el “Camino Real” controlado por Calakmul	401

Figura 14.19 Mapa que muestra las áreas de influencia directa (naranja) e indirecta (rojo) de Calakmul, así como la extensión de sus relaciones políticas (perímetro verde)	402
Figura 14.20 Joyas de jade pertenecientes al Entierro 18, Estructura 13Q-2	405
Figura 14.21 Palacio de La Corona durante la Fase Tucán	405
Figura 14.22 Mapa de La Corona mostrando asentamiento en su parte central	406
Figura 14.23 Mapa de los alrededores de La Corona mostrando núcleos de asentamiento. Las áreas amarillas y naranjas son las más densas	407
Figura 14.24 Incensarios postclásicos encontrados en las estructuras principales de La Corona	408

ÍNDICE DE TABLAS

Capítulo 1

Tabla 1.1 Cronología del sitio La Corona, de acuerdo a los resultados obtenidos entre 2008 y 2017.....	15
--	----

Capítulo 5

Tabla 5.1 Material recolectado de contexto de saqueo en las unidades CR55A-1 y CR55A-3.....	94
---	----

Capítulo 6

Tabla 6.1 Frecuencia de materiales recuperados en El Jobillo por contexto	174
---	-----

Capítulo 7

Tabla 7.1 Resultados de validación de datos en Chablé.	187
Tabla 7.2 Resultados de validación de datos al sur del Campamento Achiotal	187
Tabla 7.3 Combinación de resultados de Validación total en campo durante la Temporada de Campo 2018.	187
Tabla 7.4 Matriz de confusión que resume la fidelidad de los datos LiDAR para Chablé. Las estructuras con el atributo "LiDAR visible pero no reconocido" se incluyen en el total de "verdadero positivo"	189
Tabla 7.5 Matriz de confusión que resume la fidelidad de los datos LiDAR para Chablé. Las estructuras con el atributo "LiDAR visible pero no reconocido" se incluyen en el total de "falso negativo"	189
Tabla 7.6 Matriz de confusión que resume la fidelidad de los datos LiDAR para el campamento de El Achiotal. Las estructuras con el atributo "LiDAR visible pero no reconocido" se incluyen en el total de "verdaderos positivos"	189
Tabla 7.8 Artefactos recuperados de la recolección de superficie (ACH100).	192
Tabla 7.9 Resumen de los artefactos recolectados en las pruebas de pala (ACH101).....	195

Capítulo 9

Tabla 9.1 Resumen de excavaciones.....	262
--	-----

Capítulo 11

Tabla 11.1 Resultados del análisis tecnológico de las 15 tabletas. Clave: Superficie: 1: alisado, 2: medio, 3: burdo. Pasta: 1: fina, 2: media, 3: burdo, 4: muy burdo.....	316
--	-----

Capítulo 12

Tabla 12.1 Atributos registrados para cada tiesto.	325
Tabla 12.2 Lista de complejos cerámicos establecidos por Parris (2016).	327
Tabla 12.3 Clases, grupos, tipos, y variedades del Preclásico Medio.	327
Tabla 12.4 Clases, grupos, tipos, y variedades del Complejo Naah.	329
Tabla 12.5 Clases, grupos, tipos, y variedades del Complejo Ochib.	338
Tabla 12.6 Clases, grupos, tipos, y variedades del Complejo Waay.	343
Tabla 12.7. Clases, grupos, tipos, y variedades del Complejo Paat.	349
Tabla 12.8 Clases, grupos, tipos, y variedades del Complejo Bih.	350

Capítulo 13

Tabla 13.1. Tipo de material lítico de El Jobillo	358
Tabla 13.2 Forma de materiales de pedernal y piedra caliza de El Jobillo.	360
Tabla 13.3 Tipo de material de los líticos de La Corona	362
Tabla 13.4 Forma de material de obsidiana de La Corona.....	363
Tabla 13.5 Forma de material de pedernal y piedra de cal de La Corona.....	364
Tabla 13.6 Tipo de producción de lascas de La Corona	366
Tabla 13.7 Tipo de material prima de El Achiotal	367
Tabla 13.8 Forma de materiales de obsidiana de Achiotal.....	368
Tabla 13.9 Forma de materiales de pedernal y piedra caliza	370
Tabla 13.10 Forma de materiales de Saqueo 8, Estructura 5C-8	374
Tabla 13.11 Forma de talla de Saqueo 8, Estructura 5C-8.....	375

Capítulo 14

Tabla 14.1 Cronología del sitio La Corona	409
---	-----

CAPÍTULO I

PROYECTO REGIONAL ARQUEOLÓGICO LA CORONA: OBJETIVOS Y ANTECEDENTES DE LA TEMPORADA 2018

Tomás Barrientos Q. y Marcello A. Canuto

Se han concluido once temporadas de campo entre 2008 y 2018, y las investigaciones en el noroccidente de Petén por parte del Proyecto Regional Arqueológico La Corona (PRALC) han aportado datos significativos sobre sitios arqueológicos como La Corona, El Achiotal, La Cariba, El Jobillo, Las Guacamayas y muchos otros asentamientos prehispánicos de la zona. El proyecto PRALC continuó en 2018 sus actividades de investigación y conservación, mediante un esfuerzo conjunto de varias personas e instituciones, especialmente la Universidad de Tulane y la Universidad del Valle de Guatemala, representadas por sus directores, el doctor Marcello A. Canuto y el doctor Tomás Barrientos.

Modalidad de la investigación

Las investigaciones realizadas en 2018 se circunscriben dentro de los incisos “4”, “5” y “6” del Artículo 6, Capítulo I, del Reglamento para Desarrollar Proyectos de Investigación Arqueológica de la Dirección General del Patrimonio Cultural y Natural del Ministerio de Cultura y Deportes, Acuerdo Ministerial 001-2012 (MCD 2012), los cuales literalmente dicen:

- 4. Investigaciones integrales a largo plazo e interdisciplinarias sobre las sociedades desaparecidas, las que requieren de excavaciones de sitios, así como de la protección, conservación y restauración de bienes muebles e inmuebles que lo ameriten.*
- 5. Investigaciones que no impliquen excavación, que conlleven el estudio de las evidencias expuestas, como son los análisis sobre arquitectura, pintura mural, epigrafía, iconografía y otros, actividades que requieren fotografía especial, dibujos, copias y otras técnicas documentales.*
- 6. Estudios de gabinete sobre patrimonio cultural mueble depositado en museos, laboratorios, bodegas y colecciones en general.*

Justificación

Las investigaciones del proyecto PRALC han contribuido significativamente al entendimiento del ente político más grande y complejo que existió en las Tierras Bajas Mayas —la dinastía *Kaanul*. A partir de los datos recabados en el noroccidente de Petén, se ha podido sugerir de manera general que durante los siglos VI a VIII d.C., los sitios de Dzibanche y Calakmul dominaron la mayor parte de las Tierras Bajas Mayas a través de conquistas y alianzas matrimoniales que establecieron rutas de comunicación y comercio ancladas por sitios aliados y subordinados (Canuto y Barrientos 2013b). Dentro de este contexto, las investigaciones de 2018 han continuado con la interpretación de La Corona antes, durante y después de dicha influencia política, así como nuevos datos sobre el papel que jugó el sitio El Achiotal como primera capital regional de la región en el Preclásico Tardío e inicios del Clásico Temprano. También, las actividades del proyecto PRALC van más allá de lo científico, ya que se ha continuado con la conservación de recursos naturales y culturales.

Planteamiento Teórico

El proyecto PRALC plantea un estudio amplio de varios temas básicos y fundamentales en los estudios arqueológicos de la cultura Maya. En cuanto a las investigaciones en 2018, continuaron con el estudio de la organización sociopolítica de los mayas del período Clásico (250-900 d.C.) a través de la relación entre capitales regionales y sitios secundarios, así como la interpretación de inscripciones jeroglíficas. Además, con la ayuda de imágenes obtenidas a través de tecnología LiDAR, se continuó con el estudio de otros sitios de la región noroccidental de Petén, ya que es una de las zonas menos estudiadas de las Tierras Bajas Mayas Centrales. Las investigaciones han mejorado nuestro conocimiento de las estrechas relaciones políticas entre Dzibanche-Calakmul y La Corona, como por ejemplo las particularidades de su título *K'uhul Sak Wayis*, que parece haber sustituido al *K'uhul Ajaw*. Además, la gran cantidad de inscripciones jeroglíficas cada vez más están esclareciendo las estrategias usadas por los gobernantes *Kaanul* en su control hegemónico de las Tierras Bajas Mayas por poco más de dos siglos. Por lo tanto, desde el punto de vista de los modelos de la organización política Maya, La Corona presenta una serie de contradicciones que se pueden esclarecer por medio de la investigación arqueológica.

Por razones todavía poco comprendidas, La Corona representaba un punto de importancia estratégica para los gobernantes de *Kaanul* en su expansión territorial en los siglos VI y VII d.C. y la competencia con Tikal para adquirir control de las rutas y recursos de las Tierras Bajas (Canuto y Barrientos 2013a). Además, el estudio de PRALC está contribuyendo a corregir el desnivel de datos históricos entre las dos grandes capitales Mayas, complementando la información ya obtenida de investigaciones realizadas en la zona de Campeche, en sitios como Calakmul (Benavides 2005), Oxpemul (Šprajc, Folan y González 2005, Robichaux y Pruett 2005), Dzibanché (Martin 2005, Velásquez 2008) y Uxul (Grube 2007). También se ha complementado la interpretación de otras zonas estratégicas, como la de Waka'/El Perú en el Río San Pedro Mártir (Freidel y Escobedo 2004, Freidel y Escobedo 2005, Freidel y Escobedo 2006, Freidel y Escobedo 2007, Freidel *et al.* 2007, Navarro-Farr y Rich 2015) y el antiguo reino de *Hix Witz'* en la zona de La Joyanca (Arnauld, Breuil-Martínez y Ponciano 2004) y Zapote Bobal (Fitzsimmons 2006).

Objetivos y metas de investigación de la Temporada 2018:

De manera más específica, la temporada de investigación 2018 tuvo los siguientes objetivos y metas, enumerados desde los más específicos a los más generales:

1) Investigación del sitio y región de El Achiotal, Temporada 2018

- Ampliación de las excavaciones en la parte superior de la Estructura 5C-08
 - Registro de saqueos en la Estructura 5C-08, para determinar las fases constructivas de la misma, en relación a datos de temporadas anteriores.
 - Verificación de rasgos arqueológicos identificados en las imágenes LiDAR
 - Excavación de pruebas de pala y pozos de sondeo en la zona cercana al campamento El Achiotal y en el sitio Chablé.
- Investigación del sitio El Jobillo, Temporada 2018
 - Excavaciones en la Estructura 8M-1 del Grupo D, para terminar de esclarecer sus fases constructivas.
 - Excavación de pruebas de pala y pozos de sondeo en los grupos A y B y en la orilla de la aguada del Grupo E.

- Investigaciones en el Grupo Coronitas, Temporada 2018
 - Continuación de la excavación de la Estructura 13R-45, que se ubica frente a las estructuras 13R-1 y 13R-2, para determinar la forma y función de esta estructura.
 - Extracción del Altar 5 y traslado hacia el Museo Nacional de Arqueología y Etnología
 - Análisis epigráfico de la inscripción e iconografía del Altar 5
- Investigaciones en el Grupo Tortugas, en el extremo norte de la Calzada de La Corona. Excavación de pozos de sondeo, pozos estratigráficos y limpieza de trincheras de saqueo en varias de las estructuras del grupo.
- Análisis cerámico de depósitos habitacionales y depósitos asociados a arquitectura monumental, así como vasijas en contextos funerarios y rituales.
 - Análisis de vasijas recuperadas en 2017 y 2018
 - Análisis de la cerámica del sitio La Cariba
 - Análisis de tabletas y vasijas cerámicas del Cuarto 1 de la Estructura 13Q-4P
- Análisis de material lítico recuperado en 2017 y 2018
- Con los nuevos datos, reformular los modelos políticos, económicos y culturales que explican la relación de La Corona y otros reinos Mayas asociados a la dinastía *Kaanul*, especialmente en el siglo VI d.C., así como sus relaciones con El Perú/Waka' y otros sitios de las Tierras Bajas Mayas durante el Período Clásico.
- Fortalecer las acciones de protección y conservación de la antigua ciudad de La Corona y los bienes culturales y naturales de la región de estudio.

Investigaciones previas

Los estudios llevados a cabo antes de 2009 proporcionaron una visión bastante preliminar de La Corona, y a partir de 2010 se iniciaron las investigaciones intensivas en la Plaza Principal y el Grupo Coronitas, incluyendo el descubrimiento de la Escalinata Jeroglífica 2 en la Temporada 2012 y el Altar 5 en la Temporada 2017. A continuación se presenta una síntesis de los resultados alcanzados en las temporadas previas, que sirven como base para la realización de investigaciones en 2018.

Las investigaciones en la zona de La Corona iniciaron como resultado de la búsqueda del “Sitio Q”, que había sido relevante desde la década de 1970 en las discusiones referentes a la investigación del sistema político de los mayas clásicos. La historia detallada de estas investigaciones ha sido incluida en los informes de PRALC de 2008 y 2009 (Canuto y Barrientos 2009, Barrientos y Canuto 2010).

En 2005 y 2006 se organizaron dos expediciones al sitio La Corona por parte del Proyecto El Perú-Waka’, dirigido por David Freidel y Héctor Escobedo (Canuto *et. al.* 2006, Canuto 2007, Acuña 2007, Marken y Guenter 2007). Las expediciones tenían como propósito investigar la correlación entre La Corona y el Sitio Q propuesta por Stuart (2001), lo que finalmente fue comprobado mediante el descubrimiento del Panel 1.

Dos años después, en 2008, se llevó a cabo la primera temporada del Proyecto Regional Arqueológico La Corona (PRALC), dirigido por Marcello Canuto y Tomás Barrientos (Canuto y Barrientos 2009), iniciando un programa ininterrumpido de temporadas de campo y laboratorio (Barrientos y Canuto 2010, Barrientos *et al.* 2011, 2012, 2013, 2014, 2015, 2016, 2017, 2018). Además, entre 2009 y 2011 se construyó un campamento permanente, el cual sirve como estación científica tanto para las investigaciones en el sitio de La Corona, sus alrededores y otros proyectos de carácter regional en la zona noroccidental de Petén. A continuación se presenta un resumen de los datos e interpretaciones más recientes de La Corona y su región asociada.

Asentamiento al occidente de la Reserva de la Biósfera Maya

Los estudios regionales se iniciaron en 2010, y para 2012 se habían registrado 46 sitios usando como base el estudio del drenaje de suelos en relación a la topografía, mediante un Índice de Posición Topográfica (Topographic Position Index o TPI) de la Geomorfometría (Chiriboga 2013) (Figura 1.1). En 2016, la Fundación PACUNAM patrocinó una serie de sobrevuelos sobre la RBM, para aplicar la tecnología LiDAR (Light Detection and Ranging) como parte del Proyecto PACUNAM LiDAR Initiative (PLI). Esto incluyó el área entre La Corona y El Achiotal, por lo que ahora se cuenta con un registro muy completo de esta zona, que ha permitido delimitar los sitios ya conocidos e identificar otros previamente desconocidos (Figuras 1.2 y 1.3).

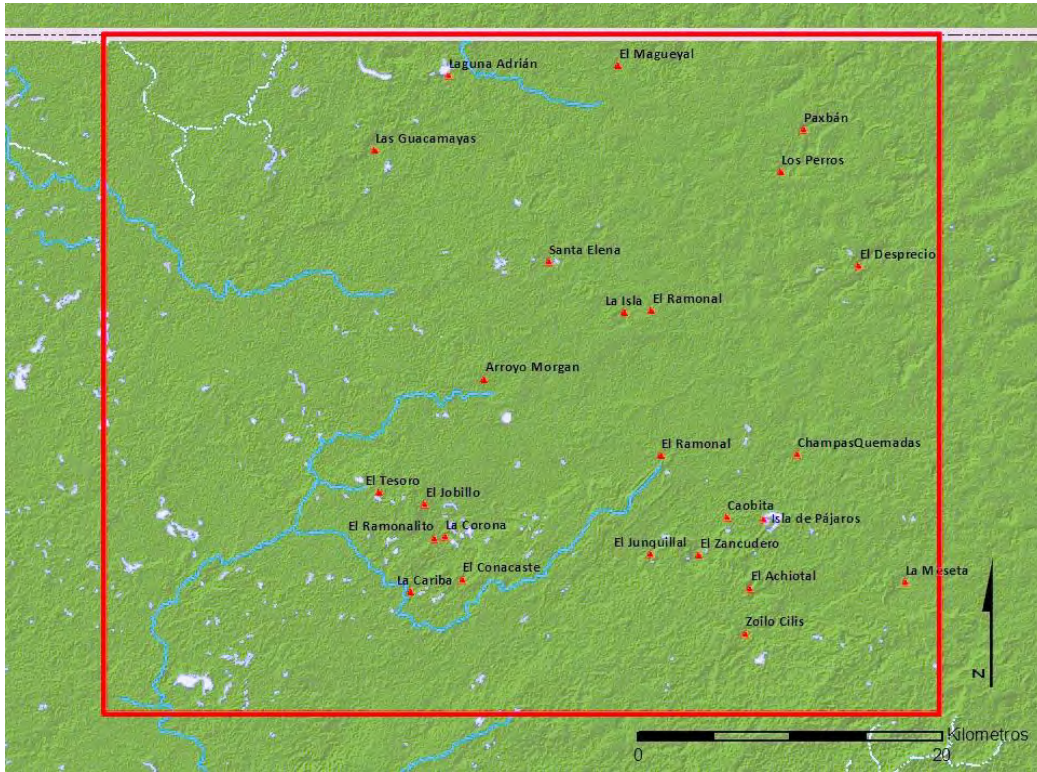


Figura 1.1 Sitios principales en el área de PRALC identificados en 2012
(Mapa por C. Chiriboga)

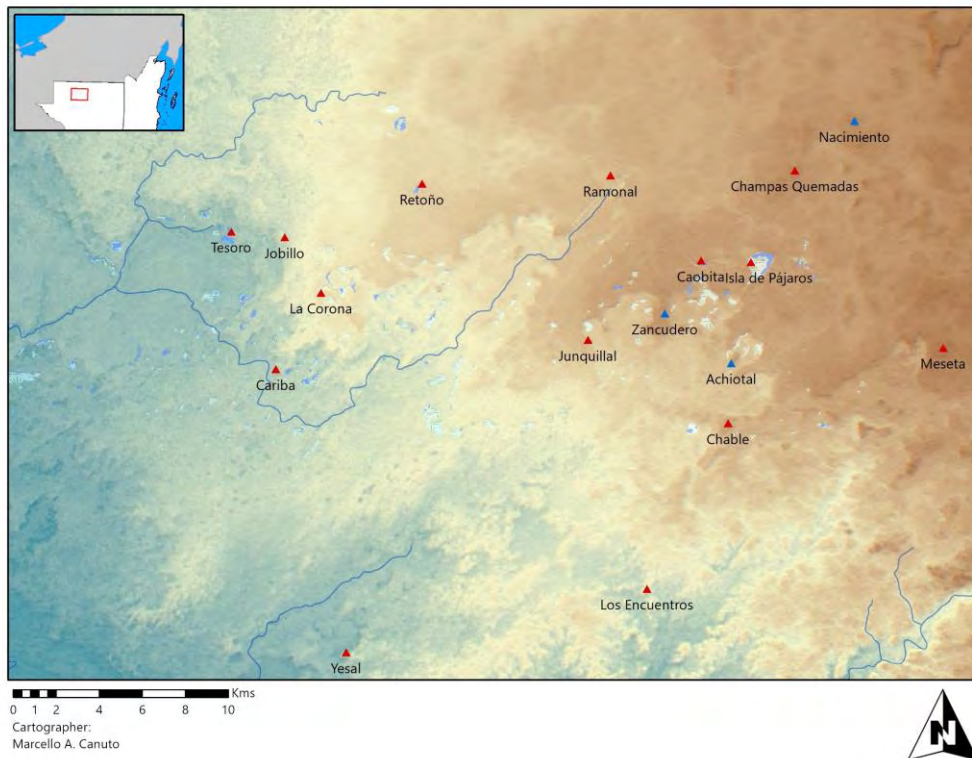


Figura 1.2 Imagen satelital que incluye el área entre La Corona y El Achiotal, mostrando sitios principales
(Mapa por Marcello Canuto, PLI)

La percepción del asentamiento en La Corona mejoró significativamente durante la Temporada de campo 2017, ya que se pudo constatar la presencia de un número considerable de grupos residenciales en el sector este y norte del sitio que no habían sido registrados. Sin embargo, la naturaleza dispersa y poco densa del asentamiento no cambió significativamente con los nuevos datos, solamente la extensión del mismo.

Los datos recabados con LiDAR indican la presencia de varios tipos de sitios, siendo La Corona el único de rango superior, con otros sitios secundarios como El Jobillo, La Cariba, El Tesoro y Gavilán, muchos de ellos posiblemente con función administrativa más que residencial. De estos sitios de tamaño menor, algunos se encontraron aislados y lejos de los sitios principales, mientras que otros estuvieron claramente relacionados a rasgos naturales como cibales o como parte de las rutas que unen sitios. Dentro de este contexto, el centro de La Corona presenta una densidad aproximada de 125 estructuras por km^2 , lo cual es menor que otros sitios mayores cercanos, como El Perú/Waka', que presenta 1,265 estructuras por km^2 . En cuanto a la periferia, La Corona cuenta solamente con 36 estructuras por km^2 , mientras que El Perú/Waka' tiene 203 estructuras por km^2 y sitios mayores como Tikal presentan entre 50 y 110 estructuras por km^2 (Canuto y Barrientos 2018: 577).

Es claro que en la región de La Corona y el noroccidente de Petén el asentamiento fue mucho menor que el resto de las Tierras Bajas, lo cual parece relacionarse con las limitantes que la misma geografía presenta para el asentamiento humano, y que se expresa en una historia corta de ocupación regional. El terreno propicio para poblaciones no fue usado al máximo, y la presencia de sitios se restringió a zonas asociadas con recursos naturales específicos, como el caso de los cuerpos de agua, o con las rutas definidas por las rutas que unen a La Corona con otros centros importantes. Las imágenes LiDAR permitieron constatar la presencia de varios rasgos constructivos, como plataformas y terrazas formales que sirvieron para delimitar los principales conjuntos arquitectónicos. También modificaciones artificiales en los cuerpos de agua (cibales) que se encuentran los sitios, indicando que la modificación del paisaje natural fue significativa, especialmente como medio de captación de agua. El rasgo más notorio fue una calzada de 550 m de largo que se encuentra al norte de la Plaza Principal del sitio, y que comunica con el Grupo Tortugas, ubicado en el extremo norte del sitio, junto al Cibal Garza.

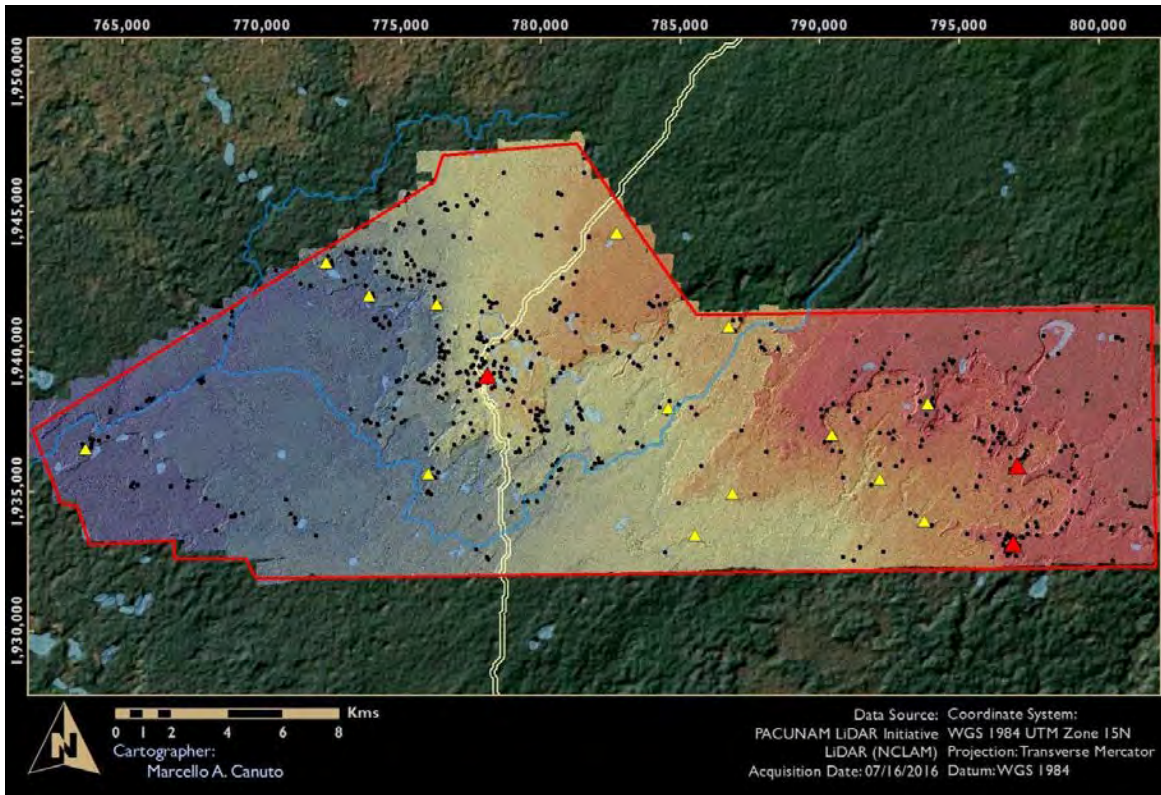


Figura 1.3 Imagen LiDAR que incluye el área entre La Corona y El Achiotal, mostrando sitios principales (triángulos rojos), sitios secundarios (triángulos amarillos) y grupos o montículos individuales (puntos negros) (Mapa por Marcello Canuto, PLI)

Ubicación estratégica de La Corona

La Corona se localiza en el límite occidental de la Altiplanicie Cárstica Central de la Reserva de la Biósfera Maya (RBM) y está dentro de una cadena de *sibales* en una zona que carece de ríos. La presencia de sitios en toda esta área es limitada hacia el oeste, ya que se inunda periódicamente y no es susceptible para el asentamiento humano. Hacia el este, el terreno se eleva continuamente en dirección a la meseta cárstica central de las Tierras Bajas, donde se ubican sitios como Tikal, Uaxactun, Naachtun y El Mirador. A unos pocos kilómetros al suroeste de La Corona se encuentran los nacimientos de los ríos Xan y Chocop, que drenan hacia el oeste hacia el Río San Pedro Mártir, el cual accedía hacia el Bajo Usumacinta y el Golfo de México (Figura 1.4).

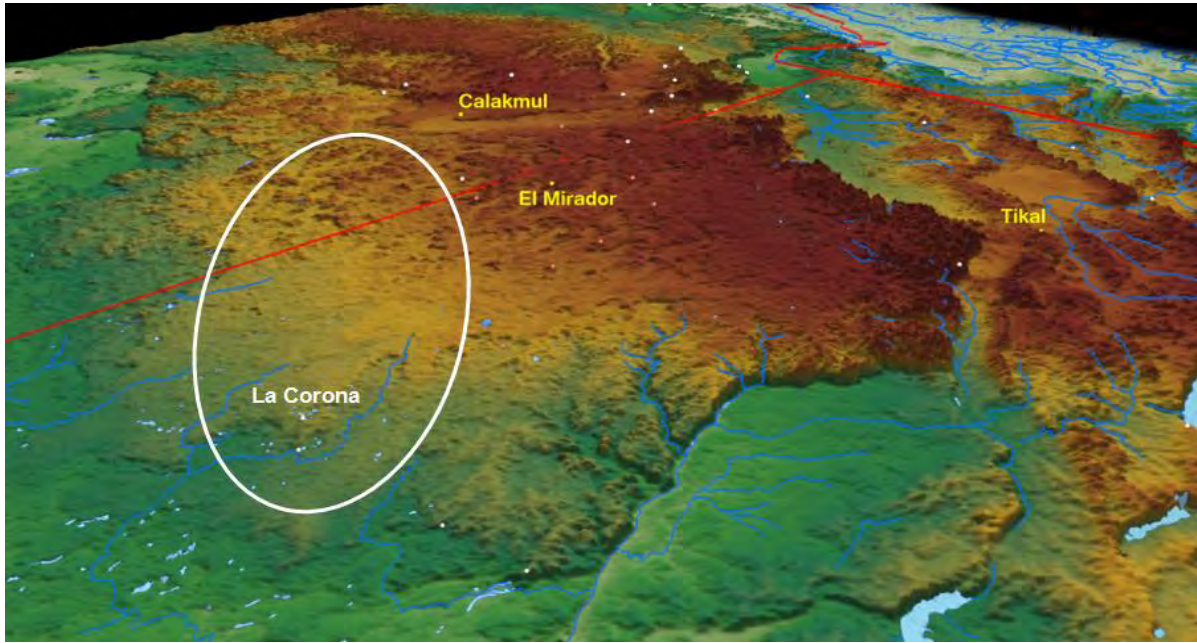


Figura 1.4 Ubicación de La Corona al oeste de la Altiplanicie Cárstica Central (Mapa por M. Canuto) Las áreas verdes son de menor altura y las de color café son de mayor altitud.

Patrón de Asentamiento de La Corona

La Corona es un sitio que está estratégicamente localizado en un área que tiene drenaje suficiente para permitir asentamiento durante todo el año y está rodeada por una riqueza de *sibales* de agua dulce. La Corona se compone de dos “complejos” arquitectónicos principales con una serie de grupos piramidales y grupos residenciales intercalados entre ellos (Figura 1.5).

Los complejos de arquitectura monumental que definen el centro de La Corona tienen singularidades que los distinguen entre sí. El grupo al oeste —llamado “Grupo Principal”— está construido en una elevación natural entre los dos *sibales* “Pato” y “Colmoyote” al norte y sur, respectivamente (Figura 1.5). Consiste de una plaza estucada cuadrangular de aproximadamente 10,000 m² rodeada de edificios monumentales y donde se encuentra la mayoría de altares y estelas. Destaca el complejo Palacio (Estructura 13Q-4) en el lado oeste de la plaza, que es un edificio tipo acrópolis cuyo basamento cubre alrededor de 4,000 m² y se eleva 10 m sobre la plaza, sosteniendo 4 patios internos y 10 estructuras en su etapa final. Hacia el sur se encuentra una aguada cuadrangular que pudo ser la cantera original que resultó de la construcción del Grupo Principal (Figura 1.6).



Figura 1.5 Imagen LiDAR del sitio La Corona (Mapa por Marcello Canuto)

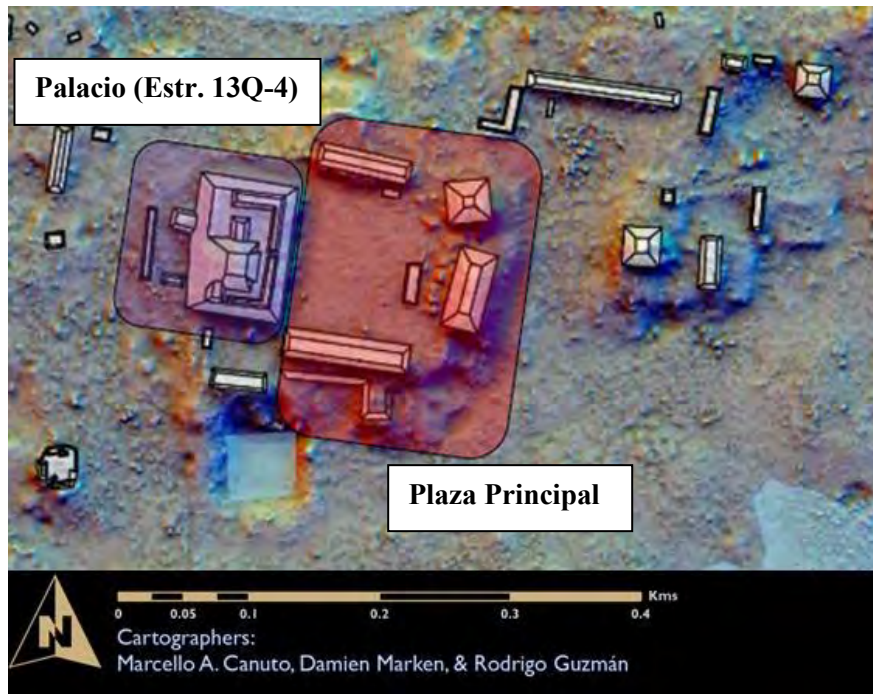


Figura 1.6 La Corona, Plaza Principal (Mapa por M. Canuto)

La Plaza Principal fue el escenario para actividades rituales y políticas de carácter público, dada la presencia de monumentos con inscripciones. Actualmente hay una estela y cuatro altares, y la Escalinata Jeroglífica 1 en la Estructura 13Q-3. De acuerdo a los descubrimientos recientes, la fachada de la Estructura 13Q-2 seguramente contuvo bloques tallados que posteriormente se recolocaron en la Estructura 13R-10 como parte de la Escalinata Jeroglífica 2.

Por su parte, el Grupo Coronitas presenta características menos convencionales, donde destaca el conjunto de cinco pequeños templos alineados en eje norte-sur (Grupo 13R-I) y un grupo de templo y palacio en el límite norte del grupo (Grupo 13R-II). Hacia el sur y este, la plaza es casi abierta, ya que solamente presenta dos estructuras bajas y alargadas (Figura 1.7).

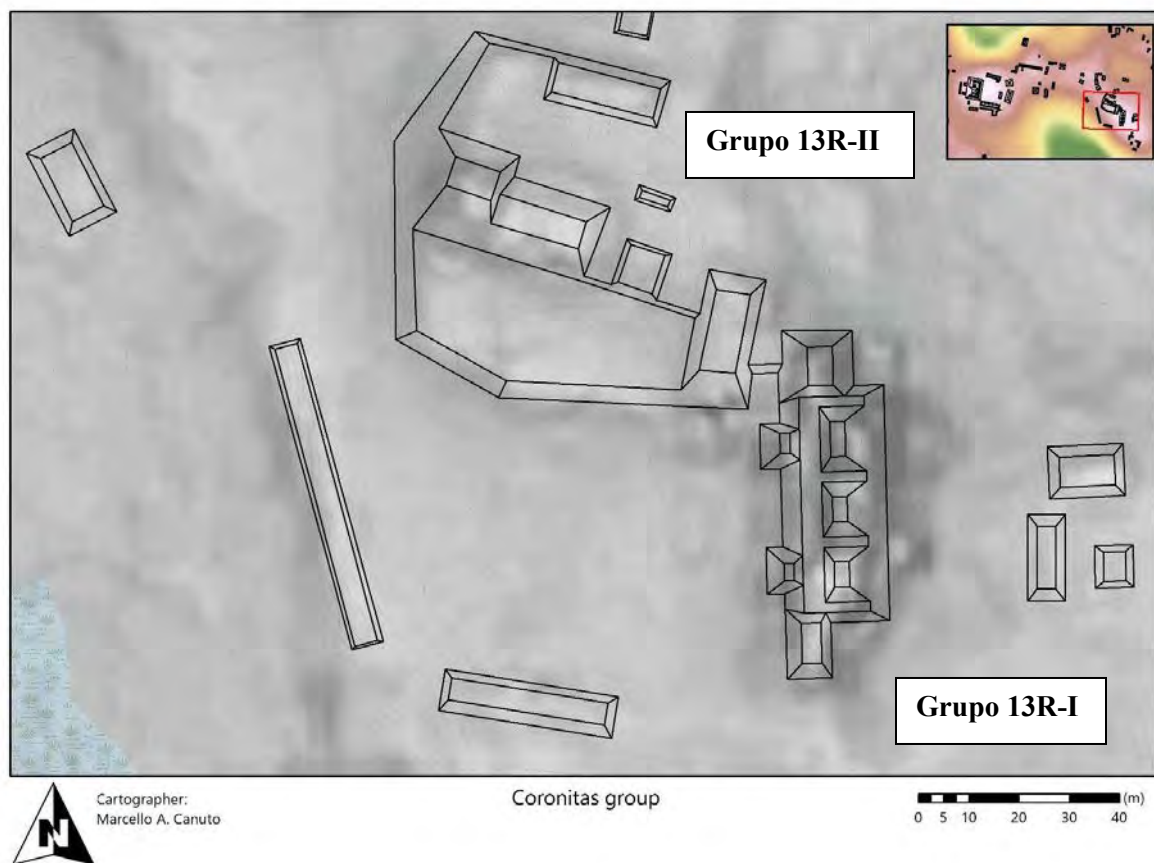


Figura 1.7 La Corona, Grupo Coronitas (Mapa por M. Canuto)

En el Grupo Coronitas se han recuperado inscripciones en el Panel 7 y se sabe también que el Panel 6 o Altar de Dallas se encontraba en la Estructura 13R-10. Por supuesto, lo más relevante es la presencia del Panel 1 en la Estructura 13R-5, la Escalinata Jeroglífica 2 en la fachada de la Estructura 13R-10, descubierta en 2012, y el Altar 5 en la Estructura 13R-45. Además, es relevante que las investigaciones han revelado una fuerte función ceremonial mediante la presencia de ofrendas u escondites en las estructuras 13R-9 y 13R-10, así como varios entierros de alto estatus en la Estructura 13R-10 y 13R-2.

Cronología de La Corona y su región circundante

La cronología actual del sitio ha sido refinada mediante datos epigráficos, arquitectónicos y cerámicos de varios sitios, así como fechas absolutas obtenidas mediante muestras de carbón y hueso de diversos contextos (Barrientos *et al.* 2018) (Tabla 1.1).

Las evidencias más tempranas de ocupación en los sitios de El Achiotal, La Cariba y El Jobillo corresponden al período Preclásico Tardío. En esta temporada, las fechas de radiocarbono y la evidencia arqueológica ha comprobado no solo la ocupación para ese momento, sino también se ha corroborado que en los sitios La Cariba y El Achiotal, sus edificaciones más monumentales pertenecen a este período.

La ocupación más antigua en La Corona corresponde a los inicios del Clásico Temprano (Barrientos *et al.* 2011, Canuto *et al.* 2012). Esta interpretación se basa en algunos depósitos cerámicos y una referencia que se encuentra en el Panel 1. Con las fechas de radiocarbono provenientes de un basurero en la primera ocupación de la Estructura 13R-10 (Canuto *et al.* 2014), se ha constatado que esta primera ocupación corresponde al siglo IV d.C., lo cual coincide con la fecha de 314 d.C. que se menciona en el Panel 1 (Stuart *et al.* 2014). Los datos epigráficos también han indicado que La Corona inició sus relaciones con la dinastía *Kaanul* a inicios del siglo VI d.C., cuando una mujer de dicho reino contrajo matrimonio con el gobernante local de La Corona ("Buitre") en el año 520 d.C., tal como indica el texto del Panel 6 (Martin 2008). En este momento, Dzibanché fungía como sede dinástica *Kaanul*, bajo el reinado del gobernante *Tuun K'ab Hix* (Stuart *et al.* 2014). De hecho, es de notar que este evento es el más temprano que se conoce para la expansión política de los *Kaanul*, indicando así que desde este momento La Corona empezó a fungir como un punto estratégico.

Arqueológicamente, en La Corona se habían identificado algunas fases arquitectónicas asociadas a cerámica Tzakol, especialmente la Estructura 13Q-3 (Canuto y Barrientos 2009), pero había alguna incertidumbre al definir la ocupación del siglo VI en el resto del sitio. Con las fechas de radiocarbono provenientes de dos contextos en la Subestructura *Ahk* del Palacio, ahora se puede definir que las fases Coccochan y Colibrí del palacio corresponden al momento previo a esta primera alianza entre La Corona y Dzibanché (350-550 d.C.).

El siglo VI d.C. fue entonces un momento importante para la dinastía *Kaanul*, ya que datos epigráficos recientes (Estrada-Belli y Tokovinine 2016, Martin y Beliaev 2017, Martin y Velásquez 2016, Helmke y Awe 2016a, 2016b) indican que Dzibanché realizó campañas políticas agresivas, que resultaron no solo con la expansión de sus dominios y alianzas, sino también en la dominación de su principal rival, Tikal. Con el reinado de *Sak Maas* empieza la llamada “Era Dorada” de La Corona, un período de apogeo de la dinastía reinante donde se tiene la mayor cantidad de datos epigráficos y que corresponde a la mayor expansión de Calakmul, hasta su primera derrota militar significativa a manos de Tikal en 695 d.C. (Figura 1.8)

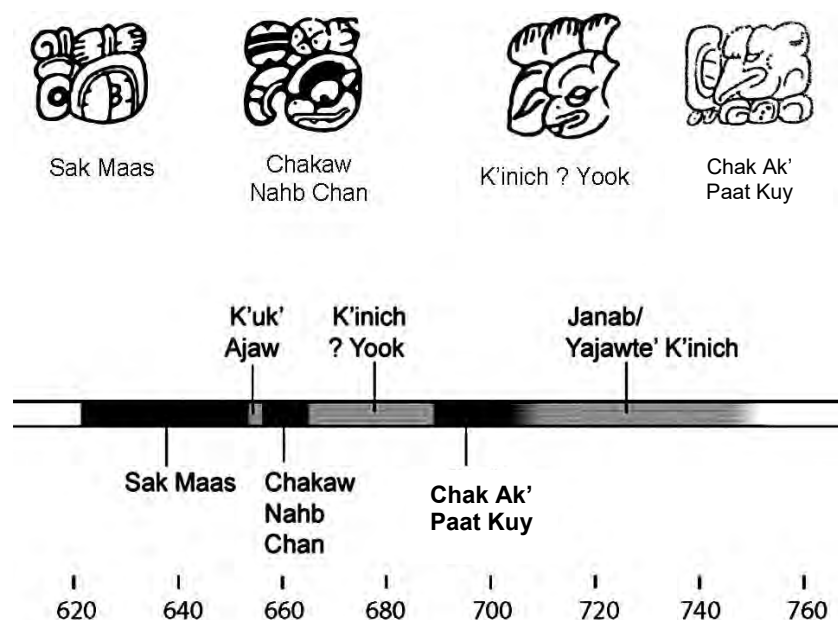


Figura 1.8 Secuencia dinástica de La Corona durante la "Era Dorada" (Gráfica por J. Baron)

Las fechas de radiocarbono también han permitido contar con una nueva interpretación del final de la alianza entre La Corona y la Dinastía *Kaanul*. Inicialmente se había considerado que las edificaciones más monumentales del sitio fueron construidas durante la época de dicha alianza (siglos VI y VII d.C.), pero las nuevas fechas indican que este no fue el caso. Varios contextos asociados a las distintas fases constructivas del palacio indican ahora que la mayor actividad arquitectónica ocurrió en el siglo VIII d.C. es decir, en la parte final de la influencia *Kaanul* y principalmente después de ésta. De igual forma, se han obtenido las fechas de las dos tumbas reales ubicadas en las estructuras 13Q-1 y 13Q-2, y ambas corresponden al período post-*Kaanul* (ca. 785 d.C.), cuando La Corona fungía como una capital regional “independiente”.

De igual forma, los contextos asociados con el abandono del palacio han proporcionado fechas absolutas que permiten reconstruir un proceso que inició a mediados del siglo VIII d.C. y terminó a finales del siglo IX d.C. La clausura de edificios en la acrópolis palaciega fue paulatina, mientras otras áreas se modificaban y reajustaban a nuevas funciones, como es el caso de la recolocación de paneles jeroglíficos en el Patio Noreste.

La secuencia cerámica de La Corona ha sido creada por Parris mediante la comparación de grupos cerámicos y tipos identificados en La Corona con aquellos de otros sitios. Se escogieron nombres de complejos cerámicos de acuerdo a nombres de edificios traducidos a idioma Maya clásico (Ch'olano):

Preclásico Tardío	<i>Naah</i> (Estructura)
Clásico Temprano	<i>Ochib</i> (Entrada)
Clásico Tardío	<i>Waay</i> (Cuarto)
Clásico Tardío Terminal	<i>Paat</i> (Terraza)
Postclásico	<i>Bih</i> (camino)

Los estudios arquitectónicos en el Grupo Coronitas han definido seis fases constructivas: *K'inich*, *Mam*, *Muk*, *K'uh*, *Ub* y *Unen*; mientras que la secuencia de la Estructura 13R-10 incluye cinco episodios: *Sacpá-Poité*, *Aceituno-Mancuernillo*, *Chicozapote*, *Guaya* y *Clásico Terminal* (830-900 d.C.), las cuales apuntan a cambios funcionales durante la segunda parte del Clásico Tardío y Clásico Terminal.

En cuanto a las investigaciones en la Plaza Principal, Bustamante y Lamoureux-St-Hilaire han combinado datos arquitectónicos, cerámicos y epigráficos con el objetivo de definir cinco etapas constructivas principales de todo el palacio. Esta cronología ha sido correlacionada con los períodos de gobierno de distintos reyes de La Corona, reyes *Kaanul* y otras mujeres importantes en la historia dinástica.

	Cerámica	Palacio	13R-10	Coronitas	Gobernantes La Corona	Reinas La Corona	Gobernantes Kaanul	
850 - 900	<i>Paat</i>	Abandono	Clásico Terminal					
800 - 850		Tucán	Guaya					
750 - 800	<i>Waay</i>	Halcón II	Chicozapote	<i>Unen</i>	Entierros 18 y 19	<i>Ix Kaloomte' K'uh Ix Yax ¿? K'ik'</i>	<i>Ti' K'awil Yuknoom Yich'ahk K'ahk II Yuknoom Ch'een II Tajoom Uk'ab k'ahk Yuknoom Ti' Chan "Serpiente voluta" Yax Yopaat "Testigo del Cielo" K'ahk' Ti' Ch'ich' Tuun K'ab Hix Yuknoom Ch'een I</i>	
700 - 750		Halcón I	Aceituno - Mancuernillo		<i>Yajawte K'inich K'ahk Wayna' Chak Ak' Paat Kuy K'inich ? Yook Chakaw Nahb Chan K'uk Ajaw Sak Maas</i>	<i>Ix Ti' Kan</i>		
650 - 700						<i>Ub</i>		<i>Ix Tz'ib Winik Ix Chak Tok Chahk Ix Ox kan</i>
600 - 650						<i>K'uh</i>		
550 - 600						<i>Muk</i>		
500 - 550	<i>Ochib</i>	Colibrí	Sacpa - Poite		<i>Chak Took Ich'aak "Buitre" Winik</i>	<i>Ix Nah Ek'</i>		
450 - 500		CocoChan II			<i>Mam</i>	Entierro 6		
400 - 450		CocoChan I						
350 - 400		Canario				<i>K'inich</i>	<i>Aneel Tahn K'inich</i>	
300 - 350								
250 - 300	<i>Naah</i>		Sacpa - Poite					
200 - 250								
150 - 200								
100 - 150								

Tabla 1.1 Cronología del sitio La Corona, de acuerdo a los resultados obtenidos entre 2008 y 2017

Resultados de la Temporada 2017

Estructura 13R-45 y el Altar 5

En 2017, el Altar 5 fue descubierto dentro de la Estructura 13R-45 (González y Cajas 2018). El monumento de roca caliza tallada mide 1.46 m de largo por 1.20 m de altura. La imagen es de un rey sentado en perfil mirando hacia la izquierda, cargando un cetro bicéfalo, del cual salen las cabezas de dos dioses patronos de La Corona, *Yaxal Ajaw* a la izquierda y *Chak Wayib Chahk* a la derecha. La imagen está acompañada por una columna de jeroglíficos que registran la fecha del monumento, además de identificar una acción llevada a cabo por el protagonista. Específicamente, el texto registra que para el aniversario de un medio-katun, 9.5.10.0.0, (544 d.C.), el protagonista, nombrado *Wak Chan Chak Took Ich'aak*, viaja a un lugar llamado *Baaktunil*. El protagonista está identificado como un *sahk wahyis*, un título noble de los gobernantes de La Corona. Con estos datos se hace claro que es una pieza del Clásico temprano y representa el monumento más temprano hallado hasta la fecha en La Corona (Figura 1.9).



Figura 1.9 Altar 5 durante las excavaciones en 2017 (Fotografía por Marcello Canuto)

Investigaciones en la Calzada de La Corona

Uno de los primeros resultados del análisis de las imágenes LiDAR del sitio La Corona fue la identificación de una calzada que parte desde el Palacio hacia el noroeste, la cual se denominó Estructura 12P-1 y las excavaciones estuvieron a cargo de Marissa López. Se realizó un total de 33 unidades de excavación, las cuales permitieron definir sus dimensiones, rasgos arquitectónicos y otras características, como la fecha de su construcción y uso. Estas excavaciones definieron que la calzada tiene una longitud total de 550 m, con un ancho promedio de 23 m, lo que la define como una calzada “intersitio” que funcionó como punto de ingreso hacia el epicentro (López 2018) (Figura 1.10).



Figura 1.10 Imagen LiDAR mostrando la calzada CR12P-1 y unidades de excavación (Mapa por Marcello Canuto)

Su construcción se basó en la nivelación de la roca madre, seguida de una mezcla de barro compacto mezclado con piedrín, dadas las condiciones del terreno que son altamente inundables durante temporadas lluviosas. A sus lados se construyeron parapetos y la superficie tuvo una mezcla de estuco. En el sector central se identificó un posible canal que fungía como un sistema de drenaje, ya que la calzada se relaciona directamente con dos cuerpos de agua, cada uno localizado en ambos extremos. Al final del Parapeto Oeste se identificó una estructura que contenía una ofrenda y una figura de estuco modelado.

Investigaciones en El Achiotal

Los trabajos realizados en el sitio El Achiotal se enfocaron en el registro, limpieza, excavación y consolidación de pozos, trincheras y túneles de saqueo en las estructuras 5C-01 y 5C-08, a cargo de Ernesto Arredondo. Como parte de estas actividades se identificó la presencia de una Cámara Funeraria (Entierro 3) en el interior de una versión temprana de la Estructura 5C-08, y que posiblemente albergó a un gobernante del sitio (Figura 1.11). Además, dentro del relleno movido por los saqueadores, se recuperó una punta proyectil de obsidiana verde, que posiblemente fue una ofrenda dedicatoria (Arredondo 2018).

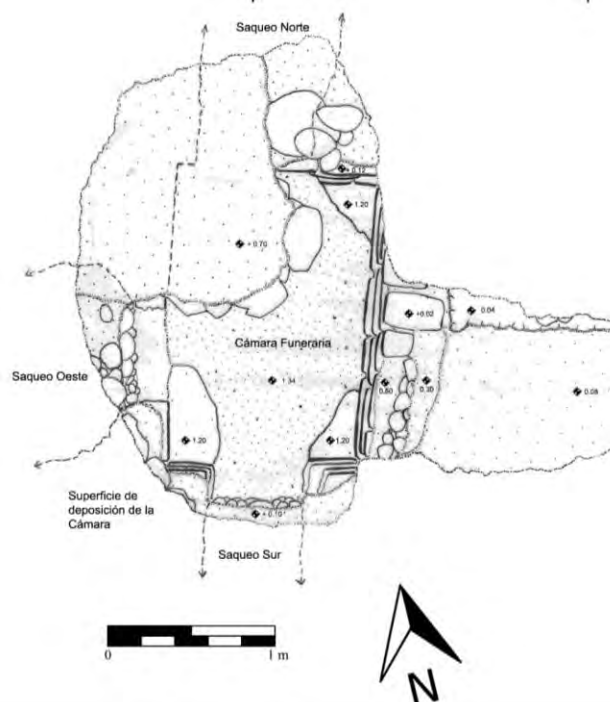


Figura 1.11 Planta de la tumba ubicada en la Estructura 5C-08 (Dibujo por E. Arredondo)

Por su parte, Luke Auld-Thomas realizó un análisis detallado de las imágenes LiDAR en la región de El Achiotal, por lo que llevó a cabo excavaciones en rasgos identificados como terrazas, un posible dique y algunos montículos residenciales en la sección norte del sitio. En lo regional, identificó la presencia de grupos de estructuras en toda el área (Figura 1.12), así como algunos rasgos defensivos al sur de la meseta de El Achiotal (Auld-Thomas 2018) (Figura 1.13).

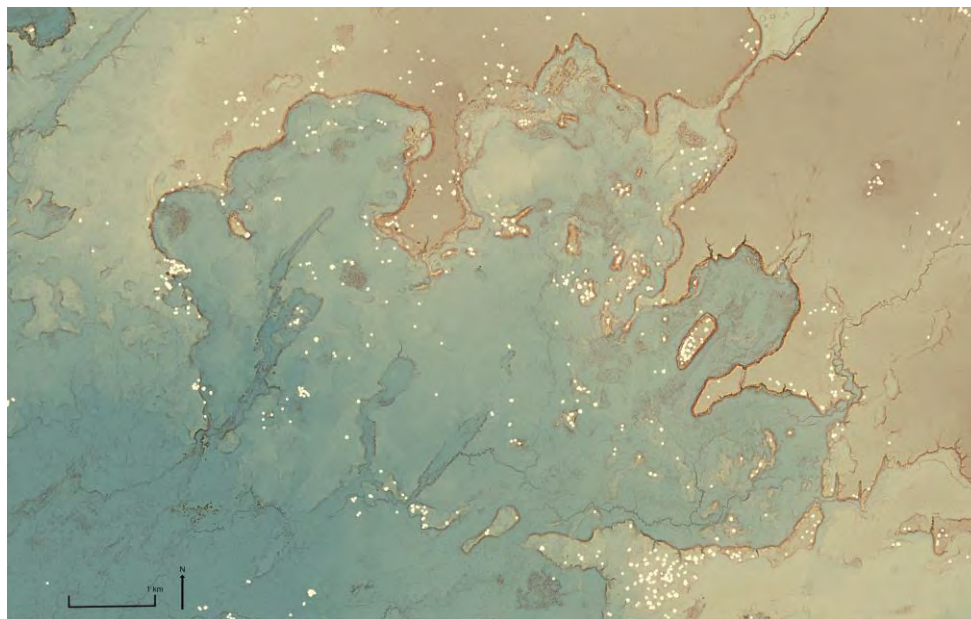


Figura 1.12 Ubicación de estructuras prehispánicas en la región de El Achiotal (Mapa por L. Auld-Thomas)

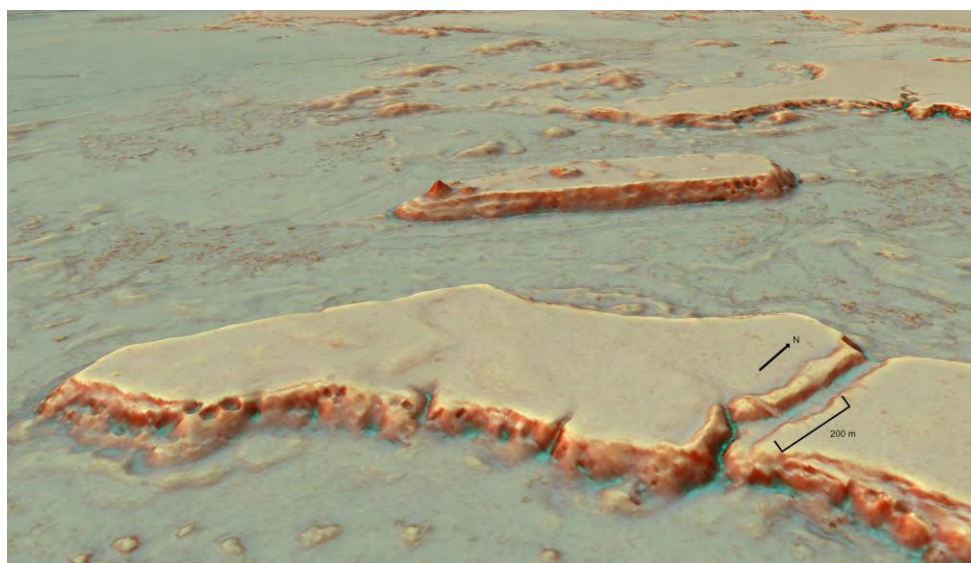


Figura 1.13 Imagen LiDAR de la meseta al sur de El Achiotal (escala aproximada para imagen 3D) (Imagen por L. Auld-Thomas)

Investigaciones en El Jobillo

En 2017 se llevó a cabo la segunda temporada de investigaciones intensivas en el sitio El Jobillo, a cargo de Jocelyne Ponce. Este sitio satélite se ubica al norte de La Corona y las excavaciones incluyeron las estructuras 7M-1 y 7M-2 del Grupo F y la Estructura 8M-1 del Grupo D, las cuales representan algunas de las estructuras de mayor tamaño del sitio (Figura 1.14). Adicionalmente, se realizó un sondeo en las periferias del Grupo A con el objetivo de identificar áreas de deposición de desechos. Como resultados, se ha identificado una ocupación extensa desde el Preclásico Tardío hasta finales del Clásico Tardío (Ponce 2018).

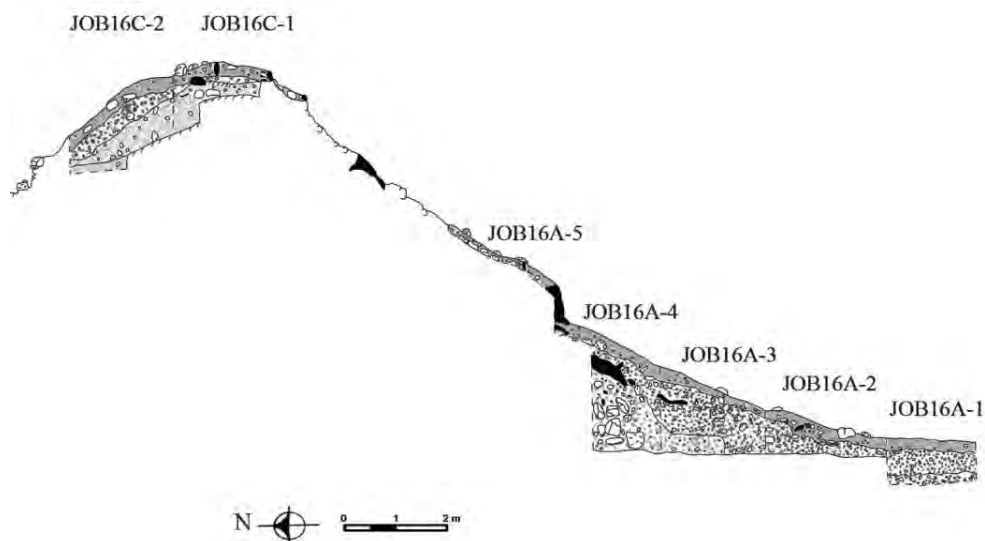


Figura 1.14 Perfil de la Sección Este-Oeste en la Estructura 8M-1 de El Jobillo, mostrando excavaciones (Dibujo por J. Ponce)

Conclusiones de la Temporada 2017

Se pudo determinar que el poblamiento de esta zona de las Tierras Bajas Mayas fue el producto de la expansión de otras entidades políticas ubicadas hacia el este, y que a lo largo del período Clásico no presentó un crecimiento rápido, sino que se mantuvo un patrón de asentamiento disperso y poco denso, donde los sitios se asocian a recursos hídricos o rutas de comunicación. También se ha podido definir un conflicto interno en el gobierno de La Corona a finales del siglo VI o inicios del siglo VII d.C., lo que podría correlacionarse con los conflictos que también pudieron ocurrir dentro de la Dinastía *Kaanul* y que resultaron en el cambio de sede a la ciudad de Calakmul en 640 d.C.

En cuanto a la época posterior al apogeo de los *Kaanul*, en la segunda mitad del siglo VIII d.C., los nuevos datos parecen indicar que fue en este período cuando La Corona alcanzó su máximo esplendor arquitectónico y sus relaciones comerciales se ampliaron mucho más que antes.

Conclusiones e interpretaciones: 2008-2017

Después de diez años de investigación intensa en el Proyecto Regional Arqueológico La Corona, se han logrado definir varias conclusiones con respecto a la función e importancia de los antiguos asentamientos en el extremo oeste del área central de la civilización maya clásica de las Tierras Bajas. Por el momento se pueden plantear las siguientes:

- 1) El ente político más grande y complejo del periodo Clásico en las Tierras Bajas fue el Reino de *Kaanul*, cuya capital fue originalmente el sitio de Dzibanché desde finales del siglo V d.C. Entre 635 y 640 d.C. se instaló en Calakmul, bajo el gobierno de *Yuknoom Ch'een*. La relación entre La Corona y el Reino *Kaanul* en los siglos VI, VII y VIII d.C. fue muy estrecha mediante lazos consanguíneos directos.
- 2) La gran mayoría de sitios reportados permanecen en la zona más elevada (la franja este) y no constituyen una región densamente poblada, con un asentamiento disperso que se asocia con recursos hídricos o rutas de comunicación.
- 3) En cuanto al Preclásico, los datos revelan una presencia por toda la región que se ha investigado, especialmente en El Achiotal y La Cariba, así como en El Jobillo.
- 4) El Achiotal parece ser una cabecera de la ocupación preclásica, papel que parece extenderse hasta el siglo IV d.C. La arquitectura, los murales, las decoraciones arquitectónicas y la iconografía sugieren que éste era la sede de un linaje dinástico que controlaba rutas de intercambio entre la zona central y el occidente de Petén.
- 5) En la Corona, los templos del Grupo Coronitas fungieron inicialmente como recintos funerarios, pero en el siglo VII d.C. hay un fuerte componente ceremonial dirigido a las deidades patronales del sitio, posiblemente como una estrategia asociada a la presencia de la dinastía *Kaanul*. En este momento se coloca el Altar 5 dentro de la Estructura 13R-45.

- 6) Las estructuras 13Q-1 y 13Q-2 de la Plaza Principal fungieron como recintos funerarios. Por el momento se han descubierto bajo sus escalinatas de acceso dos tumbas de gobernantes de finales del siglo VIII d.C.
- 7) Se han identificado cinco episodios constructivos en el Palacio (13Q-4), de los cuales el segundo, conocido como Fase Coccochan, parece ser el grupo residencial antes de la llegada de la Dinastía *Kaanul*. La corte real en el siglo VII d.C. se asocia a la Fase Halcón, que reconfiguró significativamente la acrópolis. En este momento, la Estructura 13Q-4P ubicada en la fachada sur, pudo albergar escribanos.
- 8) El palacio tuvo nuevas remodelaciones durante el siglo VIII d.C. La Estructura 13Q-4F, junto a la Estructura 13Q-4G, formaron parte de un patio privado en el sector norte del Palacio, que sirvió como residencia del gobernante de La Corona y su corte, y contó con áreas de servicio, producción artesanal y almacenaje. Asimismo, la Estructura 13Q-4O fue agregada en la fachada oeste, posiblemente para albergar más miembros de la nobleza o visitantes. También, la Estructura 13Q-4E fue construida en la plataforma más alta de la acrópolis.
- 9) La ocupación de La Corona durante la segunda mitad del siglo VIII d.C. se caracteriza por la transformación del sitio en una entidad política independiente de la dinastía *Kaanul*. Alrededor de 750 d.C. se desmantelan los monumentos públicos anteriores, especialmente las escalinatas glíficas, tal como se ha comprobado con la Escalinata Glífica 2 en la Estructura 13R-10 y los elementos 55 y 56 en la Estructura 13Q-4B.
- 10) Todavía existe un gran vacío de conocimiento científico al norte de La Corona, dentro del territorio de Guatemala. De hecho, la distancia entre La Corona y Uxul, otro conocido aliado de *Kaanul*, mide más de 55 km en línea recta, donde bien cabría otro sitio a lo largo de la ruta. Es posible que el punto clave faltante de la “ruta *Kaanul*” sea el sitio conocido como Las Guacamayas, ubicado a 25 km al norte de La Corona y en el límite occidental de la altiplanicie cárstica central de Peten. Este sitio, posiblemente fechado para el Clásico Tardío, todavía no presenta evidencia de inscripciones jeroglíficas, por lo que no se ha podido relacionar directamente con La Corona o *Kaanul*.
- 11) Se ha comprobado la existencia de una relación política amistosa entre La Corona y La Florida (*Namaan*) durante el siglo VI d.C. Este sitio se ubica en la aldea de El Naranjo-

Frontera, a orillas del Río San Pedro, por lo que esta conexión refleja la expansión de la influencia *Kaanul* hacia el oeste y define a La Corona como un punto donde convergía una red de rutas.

- 12) La importancia estratégica de la zona de La Corona, como parte del “Escudo” del Corredor Biológico de la Reserva de la Biósfera Maya, se ha demostrado mediante el paro del avance de la frontera agrícola y ganadera desde el Parque Nacional Laguna del Tigre. Por lo tanto, es un punto clave para la conservación de los recursos naturales y culturales de la reserva.

Zona de Estudio

Dado su carácter regional, el proyecto PRALC abarca una zona de Petén donde La Corona representa el sitio clásico Maya con arquitectura monumental más noroccidental de Guatemala. Aunque ya se realizaron estudios de reconocimiento con anterioridad (Kaufman y Leal 1988; Leal y López 1993; Leal, López *et al.* 1988), no se investigó intensivamente. De hecho, al norte de La Corona hasta la frontera Guatemala-México, yacen más de 30 km de territorio inexplorado. Por lo tanto, se estudia una zona que abarca la región entre *Waka'* y La Corona hasta la frontera norte de Guatemala, que incluye unos 50 km al oeste de la Zona de El Mirador (Figura 1.15). En total, la zona mide casi 2,200 km². Se espera que el uso de sensores remotos, en especial la tecnología LiDAR, permita explorar de manera “virtual” toda la región entre La Corona y la frontera norte. A continuación, se describen los límites del área de estudio:

- a) Límite occidental: nacimiento de los ríos *Chocooop*, *Xan*, y *Candelaria*. Los tres afluentes llevan hacia el oeste y probablemente representan importantes rutas de comunicación entre el centro del Petén y el occidente. Se considera posible que existen sitios a lo largo de ellos.
- b) Límite sur: entre *Waka'* y La Corona, justo donde nace el Río San Juan, que fluye al sur hacia el Río San Pedro Mártir.
- c) Límite oriental: definido arbitrariamente, colindante con la región de El Mirador, aproximadamente a 6 km al oeste de Carmelita, cerca del nacimiento del Arroyo *Sac Chich*.

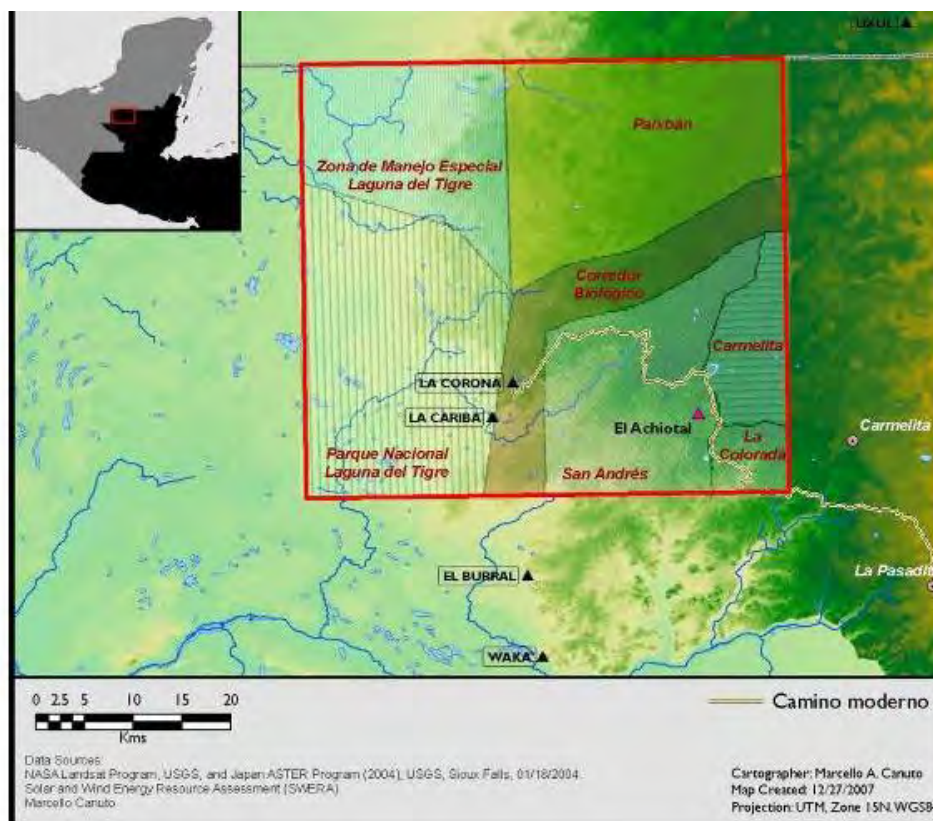


Figura 1.15 Zona de estudio con límites aproximados
(Mapa por M. Canuto)

La zona de estudio, como polígono, tiene sus esquinas aproximadamente en las coordenadas N 17° 49' 04" W90° 35' 00" (punto noroeste); N 17° 49' 07" W90° 07' 00" (punto noreste); N 17° 25' 00" W90° 35' 00" (punto suroeste) y N 17° 25' 00" W90° 07' 00" (punto sureste). El área se encuentra en varias zonas distintas de la Reserva Biosfera Maya, que son: Parque Nacional Laguna del Tigre, Zona de Manejo Especial Laguna del Tigre y Corredor Biológico. En cuanto a concesiones, están Paxbán al noreste y San Andrés (AFISAP), Carmelita y La Colorada al sureste. La zona de estudio está en la jurisdicción del municipio de San Andrés, departamento de Petén. La zona no incluye comunidades actuales, aparte de algunos asentamientos ilícitos o invasiones. El sitio La Corona se ubica en las coordenadas N 17° 31' 42" W 90° 22' 46.1".

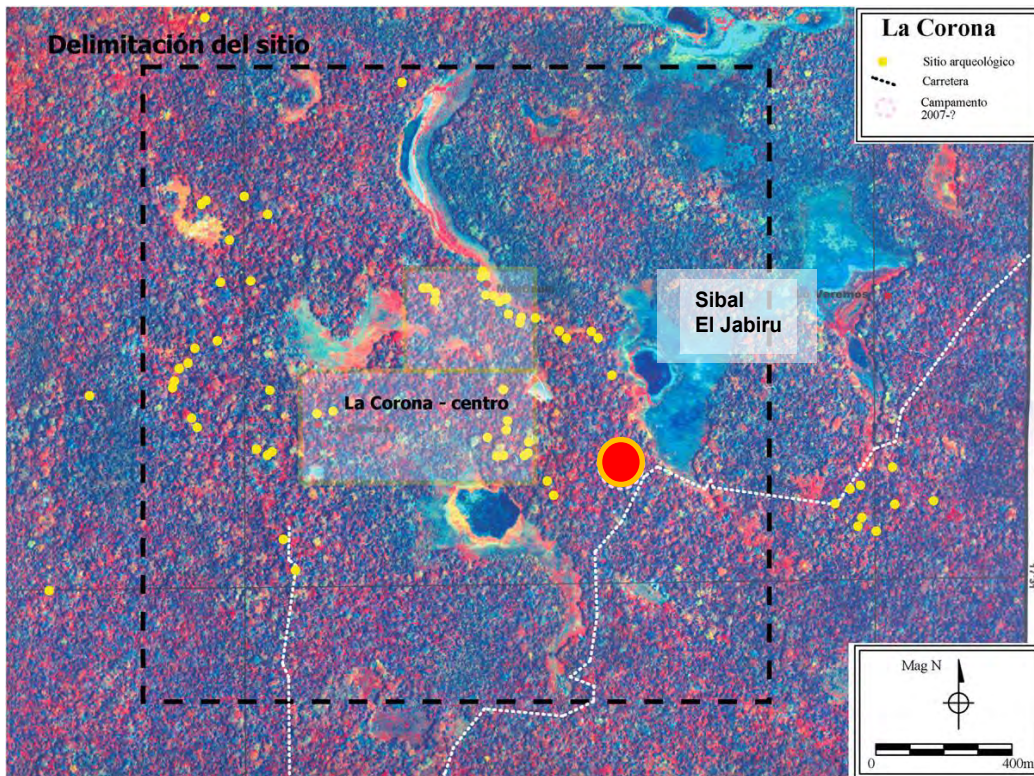


Figura 1.17 Delimitación del sitio La Corona y ubicación del Campamento PRALC (Fotografía satelital; MARI)

El diseño del campamento es de bajo impacto ambiental, por lo que se han tomado medidas en cuanto al manejo de desechos, drenaje y la minimización de materiales que no son propios del lugar (lámina, malla, block, cemento). Este campamento puede servir como base para vigilantes del proyecto, así como personal del IDAEH, CONAP, Ejército de Guatemala y otras instituciones que operan en la zona. Adicionalmente, se cuenta con el apoyo de los campamentos de CONAP en El Achiotal y El Sargazo, y de AFISAP en Buena Vista, para apoyo logístico y como base para investigaciones de carácter regional. El campamento incluye oficina administrativa, laboratorio, comedor, cocina, bodega de materiales y bodega de equipo y herramientas (Figura 1.18). Adicionalmente se construyeron sanitarios, duchas y un área de lavandería. En cuanto al área de dormitorio, se cuenta con dos ranchos de guano para albergar 60 carpas para el personal operativo (Figuras 1.19). Para el personal técnico y profesional se cuenta con 10 ranchos para carpas y dos ranchos grandes para visitantes.



Figura 1.18 Edificios de oficina y bodega de materiales y herramientas, campamento PRALC
(Fotografía T. Barrientos)



Figura 1.19 Ranchos para carpas del personal operativo y profesional, campamento PRALC
(Fotografía T. Barrientos)

Personal Científico y Técnico, Temporada 2018

Como parte de esta temporada de campo, participaron 5 profesionales graduados guatemaltecos y extranjeros, así como 14 estudiantes nacionales y extranjeros (Figuras 1.20, 1.21 y 1.22). En cuanto al personal operativo, se contó con 35 técnicos (excavadores, tuneleros y ayudantes) y 9 personas en el equipo administrativo y de logística (administración, cocina y campamento) y cuatro en vigilancia, haciendo un total de 67 personas (Figura 1.23).

1. Dr. Marcello Canuto, *Co-director General del Proyecto*
2. Dr. Tomás Barrientos, *Co-director General del Proyecto*
3. Dr. Ernesto Arredondo, *Arqueólogo, Sitio El Achiotal y alrededores*
4. M.A. Luke Auld-Thomas, *Arqueólogo, Sitio El Achiotal y alrededores*
5. M.A. Jocelyne Ponce, *Arqueóloga, Sitio El Jobillo*
6. M.A. Kirsty Escalante, *Estudiante de doctorado, Cuadrante 12P La Corona*
7. Maestro Edwin Pérez Robles, *Asesor de conservación Altar 5*
8. M.A. Caroline Parris, *Arqueóloga de laboratorio, análisis cerámico*
9. M.A. David Chatelain, *Arqueólogo de laboratorio, material del sitio La Cariba*
10. M.Sc. Sidney Coates, *Arqueóloga de laboratorio, dibujo de cerámica*
11. Dra. Rachel Horowitz, *Arqueóloga de laboratorio, análisis de materiales líticos*
12. Marissa López, *Estudiante de pensum cerrado, Cuadrante 12P La Corona*
13. Alejandro González, *Estudiante pensum cerrado, Grupo Coronitas*
14. Alejandra González, *Estudiante de práctica, El Achiotal*
15. Francisco López, *Estudiante de práctica, El Jobillo*
16. María Mercedes Acevedo, *Estudiante de práctica, El Achiotal*
17. Esteban Viñals, *Estudiante de práctica, El Achiotal*
18. Jesús Andrés Recinos, *Estudiante de práctica, El Achiotal*
19. Sarah Young, *Estudiante de práctica, El Achiotal*

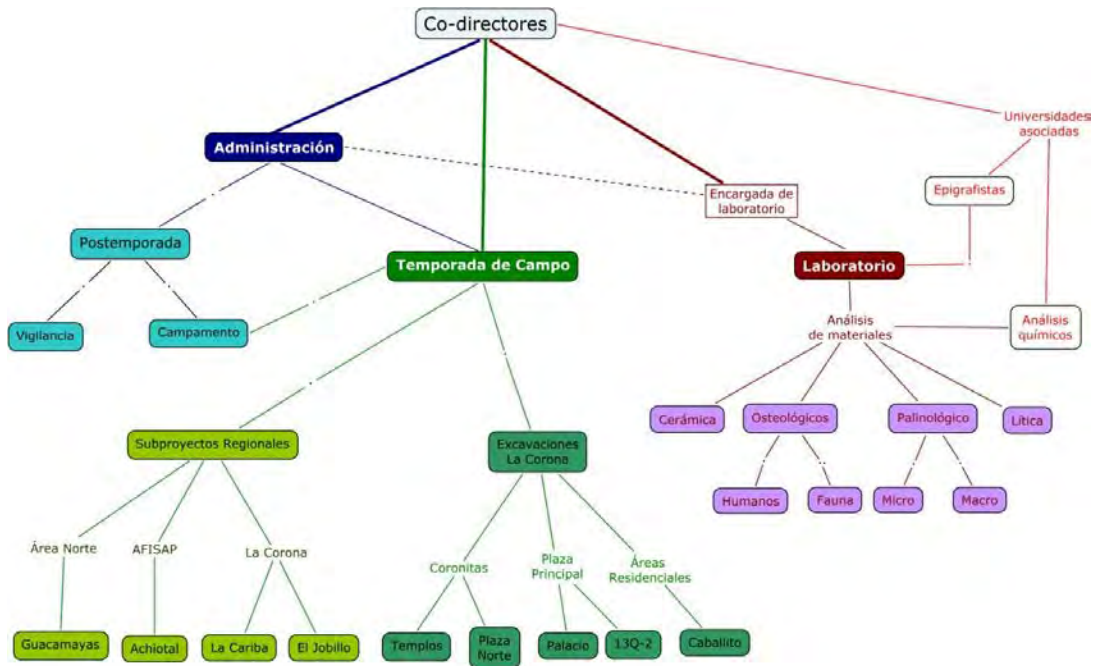


Figura 1.20 Organigrama del Proyecto



Figura 1.21 Personal completo PRALC, Temporada 2018
(Fotografía por F. Pérez)



Figura 1.22 Profesionales y estudiantes de PRALC, Temporada 2018
(Fotografía por F. Pérez)



Figura 1.23 Profesores y estudiantes de la Universidad del Valle de Guatemala y la Universidad de Tulane en PRALC, Temporada 2018 (Fotografías por F. Pérez)

Agradecimientos

Los directores y el personal de PRALC agradecen a todas las personas e instituciones que de una u otra manera colaboraron para el desarrollo de la Temporada 2018. Las instituciones que brindaron apoyo académico y financiero fueron: *Middle American Research Institute* (MARI), Universidad del Valle de Guatemala (UVG), *Alphawood Foundation*, *US Department of the Interior* (DOI), y *State of Louisiana Board of Regents* (BOR). De estas instituciones estamos especialmente agradecidos con Cynthia Perera, Mónica Stein, Selvin Pérez y Jaqueline López. Asimismo, el apoyo de las siguientes instituciones: Dirección General de Patrimonio Cultural y Natural (DGPCN) del Ministerio de Cultura y Deportes (MCD), Consejo Nacional de Áreas Protegidas (CONAP), *Wildlife Conservation Society* (WCS) y la Asociación Forestal Integral de San Andrés, Petén (AFISAP). Reconocemos también la labor del personal técnico del proyecto (excavadores, tuneleros y ayudantes), provenientes mayormente de las comunidades de San Andrés y Dolores, Petén. Agradecemos también a todas las personas que nos brindaron consejos académicos, en especial la parte epigráfica, por parte de David Stuart (Universidad de Texas en Austin). En cuanto a la logística, estamos agradecidos con la colaboración de Gloria Argueta de Montenegro, Adan Quixchan, Esau Quixchan “Nejo”, el equipo de vigilantes de PRALC (Blas Orrego, Miguel Aldana, Julio Maldonado y Leo Donis), el equipo de cocina y mantenimiento del campamento, y todos nuestros proveedores y amigos en San Benito, Santa Elena, San Andrés y Flores. Dada la gran cantidad de colaboradores, nos disculpamos por omitir algún nombre, por lo que el agradecimiento va de manera general.

OPERACIÓN 112B: INVESTIGACIONES EN LA ESTRUCTURA 13R-45 DEL GRUPO CORONITAS

Jesús Alejandro González Córdova

Introducción

El Grupo Coronitas (13R-I) obtuvo su nombre por cinco montículos alineados en el eje norte-sur (13R-1 a 13R-5). Las tres estructuras centrales (13R-2 a 13R-4) miden 9 m de altura y las dos de los extremos (13R-1 al norte y 13R-5 al sur) se elevan 5 m. Lamentablemente las cinco presentan saqueos intensivos tanto en su parte posterior (13R-1 y 13R-3), como en la parte frontal (13R-4 y 13R-5) y 13R-2 presenta saqueos en ambas partes. En el año 2005, Marcello Canuto encontró un monumento tallado (Panel 1) encontrado en un nicho dentro de la Estructura 13R-5. El texto de dicho panel indica que se dedicó un templo a una deidad patronal del sitio en el año 677 d.C. y que fue llevado a cabo durante el período de *K'inich ¿? Yook*. En ese mismo monumento, indica que 20 años antes (658 d.C.), con el gobernante anterior, se habían dedicado tres templos a las deidades patronas. Vinculando este texto y sus excavaciones arqueológicas, Baron sugiere que los tres templos a los que se refiere el texto son las tres estructuras centrales del conjunto arquitectónico Coronitas (13R-2 a 4) y que estas cinco estructuras corresponden a recintos de las deidades patronales (Baron 2011: 249, Baron 2013).

Las cinco fases principales de 13R-1 a 5 (según Baron 2013) son:

- *K'inich*: Asociada al Entierro 1 encontrado debajo de la Subestructura 13R-5 (Canuto 2007). La cerámica está fechada para la Fase Chicanel de Uaxactún y corresponde al período Protoclásico (450 a.C. a 250 d.C.).
- *Mam*: Identificada en las estructuras 13R-2 y 13R-4, corresponde a plataformas de 3 m de alto. El fechamiento sugerido para la Fase *Tzakol* 2-3 de Uaxactún (250 d.C.-600 d.C.).

- *Muk*: Presente en las estructuras 13R-2, -3 y -4. Son plataformas que cubrieron la fase anterior y aumentaron 5 m la altura de los templos, además de definir sus ejes centrales en dirección al este. Para esta fase se han identificado dos entierros tallados en la Roca Madre (Entierro 2 y Entierro 6) encontrados en las estructuras 13R-4 y 13R-2. Esta fase está datada para la Fase *Tzakol* 2-3 del Clásico Temprano (540 d.C.- 600 d.C.).
- *K'uh'*: Esta fase está fechada para el Clásico Tardío y se basa en la lectura e interpretación del Panel 1. En esta fase es cuando *Chakaw Nahb Chan* construye tres santuarios dedicados a las deidades patronales cuando asume el puesto de gobernante. Arquitectónicamente se refleja en agregados superficiales a 13R-2, -3 y -4. Corresponde al Clásico Tardío (la fecha indicada en el Panel es de 658 d.C.). Así pues, en esta fase los templos pasan de tener una función funeraria y de rito a los ancestros a una función netamente religiosa al ser los templos que albergaban las deidades patronales.
- *Ub*: Esta fase consistió en una re-dedicación y una fase adicional en la Estructura 13R-5 por *K'inich ¿? Yook* en 677 d.C. cambiando la función de la estructura por un santuario dedicado a una deidad patronal.
- *Unen*: Consiste en adiciones tardías en los siglos VII y VIII d.C. ubicadas en el frente de las estructuras 13R-2 y 13R-3 y en la parte posterior de 13R-5.

Por su parte, la Estructura 13R-45 es de reciente adición al registro arquitectónico del Grupo Coronitas. Fue excavada inicialmente por Ponce (2017) durante la Temporada 2016; ella descubrió dos escalones estucados en buen estado de conservación e intentó definir algunos cuerpos de la estructura. La siguiente temporada, González y Cajas (2018) continuaron los trabajos, enfocándose primero en determinar la extensión norte-sur de la estructura y luego definiendo rasgos arquitectónicos.

La delimitación de la extensión norte-sur no resultó ser tan fructífera, puesto que por falta de escalones claros y sin tener ninguna esquina de los mismos no fue posible delimitar del todo la extensión, aunque por las dimensiones y la topografía general del terreno, es probable que el ancho del graderío haya sido la fachada de 13R-2, es decir que la Estructura 13R-45 tiene su fin al norte en el espacio entre las estructuras 13R-1 y 13R-2 y al sur entre las estructuras 13R-2 y 13R-3. Por otra parte, la definición de rasgos arquitectónicos fue mucho más fructífera, lográndose definir la columna norte y sur, la pilastra y muro sur y partes del muro este; al norte se definió una posible pilastra o columna que no fue excavada.

El hallazgo más notorio de esa temporada fue el Altar 5, el cual es el monumento más temprano del sitio datado para el 520 d.C. En él, se retrata a un gobernante del sitio llamado *Chaak Took Ich'aak*, sentado en posición de loto de perfil izquierdo, con tocado alto de plumas con motivo sobrenatural y posiblemente elementos glíficos del nombre, sostiene en sus brazos un cetro de serpiente bicéfala (símbolo de poder y autoridad entre los mayas) de cuyas fauces emergen los rostros antropomorfos de dos de las deidades patronales del sitio. Debajo del gobernante una versión zoomorfa del lugar mitológico o sobrenatural llamado *Wak Minhal Chan Ch'en* y a su espalda la columna glífica con la cuenta larga.

El hallazgo de esta segunda referencia a dos de las tres deidades patronales del sitio en un mismo conjunto arquitectónico denota la importancia que éste tuvo con respecto a prácticas rituales referentes a dichas deidades en un período específico de su uso y el registro de la llegada de *Chak Took Ich'aak* a un lugar llamado *Baaktuniil*. Por lo que evidencia la importancia de entender a mayor profundidad la cronología de la Estructura 13R-45, sus fases arquitectónicas y la relación que guarda con su vecina más cercana, la Estructura 13R-2.

Operación 112B

En esta temporada se continuaron las investigaciones en la Estructura 13R-45, con el fin de comprender el contexto en el que se encuentra el Altar 5, descubrir más rasgos arquitectónicos y explorar someramente las fases anteriores de la estructura. Las operaciones sobre esta estructura se enfocaron en un inicio en abrir espacio para la extracción del altar mencionado. Dicho trabajo comenzó por medio de las unidades alfa, beta, gama y delta; dichas operaciones reabrieron (aproximadamente) las unidades CR112B-11, -14, -18, -19 y -20 y cubren un área de 4 m x 3 m (NS-EO) y estuvieron orientadas al norte. Una vez terminada la reapertura se continuaron las excavaciones para exponer la arquitectura terminal de la estructura mencionada. Se siguió con la numeración correlativa a partir del último pozo trazado el año anterior, todas las unidades fueron orientadas al Norte y fueron excavadas por estratos culturales, realizando separaciones arbitrarias por lotes cuando se considerara pertinente diferenciar conjuntos de materiales. El croquis de las excavaciones se puede apreciar en la Figura 2.1.

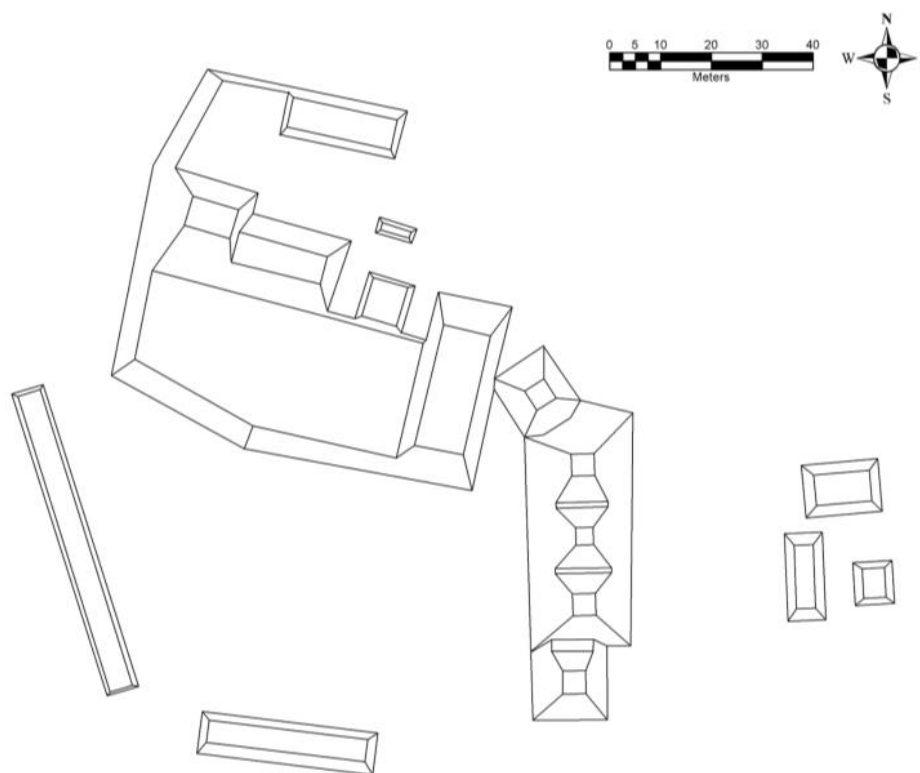


Figura 2.1 Croquis de las unidades de la Operación 112B sobre la Estructura 13R-4
(Mapa por M. Canuto, modificado por A. González)

Unidad CR112B-21

Esta unidad tuvo por dimensiones 2.24 m x 0.8 m (NS-EO), su objetivo era encontrar el muro Este encontrado en la Unidad CR112B-20 del año pasado y emparejar el registro realizado ese mismo año en la Unidad CR112B-14; se ubicó al este de la reapertura alfa y beta. La capa inicial de humus negro de consistencia suelta tuvo una profundidad promedio de 0.20 m y de allí se encontraba la capa de derrumbe color café amarillento claro que llegaba hasta el piso de la estructura; este segundo estrato (derrumbe) tuvo un grosor irregular, por el registro mencionado en la Unidad CR112B-14 y no se recuperó material cultural del mismo. Terminado de excavar el pozo se pudo ver el muro Este.

Unidad CR112B-22

Esta unidad fue de 0.82 m x 1 m (NS-EO), se ubicó al norte de la Unidad CR112B-21, permitiendo conectar el muro encontrado el año anterior y el recién encontrado en dicha unidad. El primer estrato (CR112B-22-1) consistió de la tierra de excavaciones pasadas en la Estructura 13R-2, esta tuvo un color de tierra café claro con inclusiones y una profundidad promedio de 0.20 m. El segundo estrato (CR112B-22-2) era el humus negro con raíces, con una profundidad promedio de 0.30 m. De estos primeros dos estratos no se recuperó material cultural. El tercer estrato (CR112B-22-3) era el derrumbe dentro de la estructura con color café amarillo claro con piedras de diversos tamaños, tuvo una profundidad de 1.20 m y las dimensiones fueron de 0.50 m x 0.83 m (NS-EO), el cuarto lote siguió incluido dentro del tercer estrato, consistió de una capa de 0.20 m encima del último piso; el objetivo de esto era para tener mayor control sobre posibles depósitos *in situ* sobre el piso. Al final de la excavación de esta unidad se apreció gran parte del muro Este, y cómo el mismo tenía una concavidad provocada por un árbol cercano.

Unidad CR112B-23

Orientada al norte magnético, esta unidad tuvo por dimensiones 2 m x 3.80 m (NS-EO), se ubicó al sur de la Unidad CR112B-21, y de las reaperturas beta y gama del año pasado. Su objetivo primordial era descubrir rasgos arquitectónicos que no se pudieron excavar el año anterior por la presencia de un árbol de ramón, cuyas raíces extensivas estorbaban. La única porción de este pozo que no había sido excavada corresponde al Estrato 3 (CR112B-23-3) que corresponde al derrumbe de la arquitectura terminal color

café amarillento claro, por la presencia de raíces los estratos 1 y 2 (CR112B-23-1 y -2) eran prácticamente inexistentes ya que las mismas no permitieron la formación del humus; a pesar de eso, se continuó el correlativo de estratos de otros pozos para relacionar mejor el material durante el análisis de laboratorio.

El Lote CR112B-3-2 (primer lote del Estrato 3) tuvo por dimensiones 1.20 m x 2 m (NS-EO), y se ubicó detrás y sobre la columna sur de 13R-45. La excavación se intercaló con el corte de las raíces ya mencionadas; tuvo una profundidad máxima de 0.80 m. El Lote 3 (CR112B-23-3-3) corresponde a 0.20 m de tierra dejados sobre el piso para tener mayor control sobre depósitos in situ y tuvo una profundidad promedio de 0.18 m. El Lote 4 (CR112B-23-3-4) corresponde a una concentración de tiestos in situ detrás de la columna 2; tuvo por dimensiones 0.85 m x 1.40 m (Figura 2.2). Más adelante se expondrá brevemente las características generales de los mismos y su temporalidad.



Figura 2.2 CR112B-23-3-4, agrupación de tiestos in situ sobre el Piso 1 detrás de la columna sur (Fotografía por A. González)

Unidad CR112B-24

La unidad se ubicó al oeste de CR112B-21, detrás y encima del muro Oeste de 13R-45. Sus dimensiones fueron de 2.24 m x 2 m (NS-EO) y su objetivo era determinar el grosor del muro. Por tener un contexto de saqueo y de tierra de excavaciones anteriores el primer estrato no se cernió.

El segundo estrato (Lote CR112B-24-2-2) correspondió a una capa de humus anterior al saqueo, y tuvo una profundidad promedio de 0.30 m. El tercer estrato (Lote CR112B-24-2-3-3) correspondió a una porción de 1 m x 2 m (NS-EO) alineado con el axis central de la estructura y del Altar 5, consistió del relleno del muro color café rojizo claro de consistencia muy compacta con piedras de mediano tamaño. Tuvo una profundidad promedio de 0.40 m. Como parte del mismo estrato se separó el Lote 4 (CR112B-24-3-4) con el fin de indagar una posible alineación de piedras encontradas en el perfil Este del lote anterior y se dejó al mismo nivel que el lote anterior. El rasgo de piedras alineadas no continuó en este lote. Se continuó bajando en el relleno descrito en un área de 0.60 m x 1.20 m (NS-EO) hasta llegar al Piso 3 de la estructura (lotes CR112B-24-3-5 y -6).

El Lote 7 (CR112B-24-3-7) consistió en un registro de 1 m de base, 1.70 m de altura y 0.50 m de profundidad, con el fin de buscar fachada interna del muro que conectaría con la esquina de 13R-45 encontrada en la Unidad CR112B-32.



Figura 2.3 Fachada interior del Muro 2, correspondiente al Lote CR112B-24-3-7. Este muro conectaría con la esquina exterior de 13R-45 (Fotografía por A. González)

Al final de quitar el relleno compacto ya descrito (Estrato 3) se descubrió un muro de estuco (Figura 2.3). El Estrato 4 (Lote CR112-24-4-8) corresponde a un registro ubicado en la base del muro de estuco descrito anteriormente, se excavó una porción de 0.90 m x 0.80 m por un posible corte definido sobre el Piso 3, la tierra fue un relleno café rojizo con pedrín de consistencia dura. Debajo de esta tierra se encontró un estrato de color negro con caliza de consistencia dura (CR112B-21-5-9) que es igual en consistencia y

profundidad similar al encontrado en el Pozo CR112B-31. Se suspendió el pozo por el final de la temporada, terminando el estrato anterior en un relleno de tierra amarillenta con caliza, mostrando una consistencia en el relleno de la estructura confirmado por la estratigrafía de la Unidad CR-112B-31.

Unidad CR112B-25

Esta unidad se ubicó al norte de la Unidad CR-112B-19 y -20 del año pasado y sus dimensiones fueron de 1 m x 2 m (NS-EO). El objetivo de la unidad era continuar descubriendo el muro interno Este y encontrar el muro Norte de la Estructura 13R-45.



Figura 2.4 Agrupación de tiestos in situ sobre piso, correspondientes a CR-112B-3-4 (Fotografía por A. González)

El primer estrato (Lote CR112B-25-1-1) consistió de tierra de saqueo color café claro de consistencia suelta y tuvo una profundidad promedio de 0.25 m; el segundo estrato (Lote CR112B-25-2-2) correspondió al humus negro de consistencia suelta y piedras medianas y tuvo una profundidad promedio de 0.20 m. El tercer estrato consistió del material de derrumbe color café amarillento claro con piedras grandes y medianas (algunas de estas tienen dimensiones y características de piedras de bóveda); el Lote 3 (CR112B-25-

3-3) tuvo por dimensiones 0.60 m x 2 m, la razón por la que se redujo el espacio de la excavación fue que en la porción norte se descubrió el muro norte de la estructura, por lo que la excavación siguió en la sección interna de la estructura. El Lote 4 (CR112B-25-3-4) corresponde a una agrupación de tiestos *in situ* en la misma área asociados a cenizas y muestras de carbón (Figura 2.4).

Unidad CR112B-26

Esta unidad tuvo por dimensiones 2 m x 3.80 m (NS-EO) y fue una reapertura de parte de la Unidad CR112B-15 y reapertura total de CR112B-17 realizadas el año pasado.

Unidad CR112B-27

Esta unidad se ubicó al sur de la Unidad CR112B-24. Se excavó solamente un lote, que consistió tanto de tierra de saqueo como del humus. Por lo mezclado que se encontraban ambos tipos de tierra se excavó como un sólo lote, del que no se recuperó material cultural. La profundidad promedio de este fue de 0.80 m.

Unidad CR112B-28

Esta unidad con dimensiones 2 m x 1 m (NS-EO). Estuvo ubicada al este de CR112B-25 y al norte de CR112B-18 del año pasado. Su objetivo era encontrar la fachada del muro Norte. El primer estrato (Lote CR112B-28-1-1) corresponde al humus negro de consistencia suelta con raíces y piedras y tuvo una profundidad promedio de 0.20 m. El segundo estrato correspondió a la tierra café amarillo claro con piedras (derrumbe); el Lote 2 (CR112B-2-2) consistió en la extracción del derrumbe y el Lote 3 (CR112B-2-3) consistió de una concentración de tiestos *in situ*.

Unidad CR112B-29

Esta unidad se ubicó al sur de la Unidad CR112B-26 y sus dimensiones fueron 1 m x 3.80 m (NS-EO). Consistió en la reapertura de la Unidad CR112B-16 del año pasado en la que se descubrió la fachada del muro exterior Sur.

Unidad CR112B-30

Este pozo se ubicó al este de la Unidad CR112B-26 y -29, sus dimensiones fueron de 2 m x 2 m (NS-EO) y su objetivo era seguir la fachada encontrada en la Unidad CR112B-29 y potencialmente encontrar la esquina sureste de 13R-45.

El primer estrato (Lote CR112B-30-1-1) consistió en el humus negro de consistencia suelta con raíces y piedras, tuvo una profundidad promedio de 0.25 m. El Estrato 2 (Lote CR112B30-2-2) tuvo por dimensiones 0.50 m x 2 m (NS-EO) y consistió en la excavación del derrumbe (tierra café amarillento claro con presencia de piedras) en la sección externa de la estructura, el resto de la unidad no se excavó porque se trataba de relleno arquitectónico; la profundidad promedio de este estrato fue de 1 m. Este pozo no reveló la esquina de la estructura, sino sólo la continuación de la fachada Sur.

Unidad CR112B-31

Esta unidad se trazó alrededor del Altar 5, con el fin primordial de extraer la pieza y comprender su contexto dentro de la Estructura 13R-45, para poder reconstruir si se trataba de un contexto primario o secundario, así como también entender la manera en que esta se relacionaba con las diferentes fases de la estructura. Sus dimensiones fueron de 1.96 m x 1.53 m (NS-EO) y estuvo orientada al norte.

La superficie de esta excavación inició con el piso más tardío de la estructura (Piso 1). Este tuvo una profundidad promedio de 0.04 m y es un piso estucado de color café muy caro (CR112B-31-1-1). Inmediatamente abajo de éste le siguió el Piso 2 (CR112B-31-2-2) que era un piso de color gris de consistencia compacta en comparación al Piso 1, su profundidad promedio fue de 0.07 m. Estos dos pisos se encontraban directamente pegados al altar y no se encontraron muestras claras de corte en ninguno de ellos. Al Piso 2 le siguió el Estrato 3 (Lote CR112B-31-3-3) que consistió de un relleno de tierra café con piedras pequeñas y piedras que funcionaron como cuñas debajo del altar, para que la superficie tallada de éste quedara plana puesto que el fondo convexo del altar no hubiera sido apropiado para que se asentara bien; este relleno tuvo 0.16 m de profundidad promedio. El Lote CR112B-31-4-4) corresponde al Piso 3 el cual tiene un color amarillento y está claramente cortado siguiendo el contorno del Altar 5 (Figura 2.5), si bien se nombró este piso como el cuarto estrato, no fue excavado, pero el corte tiene una profundidad de 0.10 m.



Figura 2.5 Corte en el Piso 3, se puede notar como el mismo sigue la silueta del Altar 5
(Fotografía por A. González)

El quinto estrato (Lote CR112B-31-5-5) corresponde al relleno de tierra negra de consistencia dura con inclusiones blancas (posiblemente talpetate) el cual corresponde al primer relleno cultural de la Estructura 13R-45. Vale la pena mencionar que este estrato fue excavado prehispánicamente cuando se colocó el Altar 5, puesto que el Estrato CR112B-31-C3 ya mencionado era más profundo al centro; esto nuevamente se debió a la base convexa del monumento tallado. Dentro del quinto estrato se definió el Lote 6 (CR112B-31-5-6), el cual consistió de un conjunto de 13 conchas *in situ* (Figura 2. 6) justo debajo de donde se encontraba la sección más gruesa del altar mencionado, posiblemente a modo de ofrenda dedicatoria a la colocación del altar. Al final el quinto estrato tuvo una profundidad promedio de 0.34 m.



Figura 2.6 CR-112B-31-5-6, lote de trece conchas *in situ*
(Fotografía por A. González)

El Estrato 6 (Lote CR112B-6-7) marcó el inicio de tres rellenos posiblemente naturales por la ausencia total de material cultural. El sexto estrato consistió de una tierra café claro con abundante presencia de caliza y tuvo una profundidad promedio de 1.10 m. El séptimo estrato (Lote CR112B-7-8) consistió de tierra amarilla con caliza de consistencia suelta y tuvo una profundidad promedio de 0.40 m. El octavo estrato (Lote CR112B-89) consistió de tierra rojiza con caliza de consistencia compacta y tuvo una profundidad promedio de 0.65 m. Puesto que ya se llevaban más de dos metros sin material cultural se cerró la unidad sin haber llegado a Roca Madre.

El Lote 10 (CR112B-8-10), constó de un registro pequeño de 0.20 m x 0.10 m detrás de la columna norte, para saber si las columnas se asentaban sobre el Piso 2 o sobre el Piso 1, y así comprender sus etapas constructivas. Al terminarlo se determinó que las columnas se asientan sobre el Piso 1 y que tienen una argamasa compacta de barro con pedrín. Con este sea inferido que éstas fueron parte sólo de la última fase de la estructura.

Unidad CR112B-32

Esta unidad se ubicó al este de la Unidad CR112B-30, sus dimensiones fueron de 1.50 m x 2 m (NS-EO). Su objetivo era seguir la fachada encontrada en la Unidad CR112B-30 y encontrar la esquina exterior sureste de la Estructura 13R-45.

El primer estrato (Lote CR112B-32-1-1) consistió del humus negro con raíces de consistencia suelta; tuvo una profundidad promedio de 0.30 m. El segundo estrato (Lote CR112B-32-2-2) corresponde a la tierra café amarillo claro de consistencia suelta con piedras (derrumbe). Al final de este estrato se descubrió una fachada de terraza burda, construida con piedras ligeramente trabajadas y detrás de esta otra posible terraza o bien un muro de relleno de la misma fachada; en el perfil sur se encontró una piedra cuadrada bien definida que se consideró como un posible escalón. Asimismo, el Piso 1 (sobre el que se asienta la estructura en cuestión) no se encontró y en su lugar se encontró una nivelación compacta frente a las terrazas y en toda la unidad. El Lote CR112B-32-2-2 sigue siendo parte del segundo estrato, y consistió en un lote de tiestos *in situ* agrupados en un área de 0.30 m x 0.25 m en la esquina entre esta unidad y la Unidad CR112B-30.

Dado que no se había encontrado la esquina sur este de la Estructura 13R-45 se hizo un registro en el perfil norte del pozo con dimensiones de 0.95 m x 0.65 m x 0.40 m (base x altura x profundidad) ubicado en la esquina noroeste del mismo. Este registro fue el Lote 3 y en él se descubrió la esquina de 13R-45 (Figura 2.7). Se continuó bajando en este registro para buscar el piso 1 en lo que es el Estrato 3 (Lote CR112B-32-3-5) que tuvo 0.40 m de espesor promedio y consistió de relleno café rojizo duro.



Figura 2.7 Esquina sureste de 13R-45 encontrada en el Lote CR112B-32-2-3
(Fotografía por A. González)

Por el rasgo de la piedra cúbica tallada encontrada frente a una de las terrazas en el Lote 2 se hizo un registro en el perfil sur, rodeando esta piedra, para determinar si había una alineación que formara una escalinata u otro rasgo arquitectónico. Esto fue el Lote 6 del segundo estrato (CR112B-32-2-6); tuvo por dimensiones 0.75 m x 0.75 m x 0.30 m (base x altura x profundidad). Al concluir este lote no se encontraron más piedras alineadas. El último registro se hizo encima de la terraza descubierta al final del Estrato 2, con el fin de recuperar material cerámico comparativo y así poder determinar si la terraza era posterior o anterior a la Estructura 13R-45. Tuvo por dimensiones 0.60 m x 0.25 m y la tierra consistió en tierra de relleno color café rojizo de consistencia compacta con piedras.

Unidad CR112B-33

La unidad se ubicó al este de CR112B-24 siguiendo el registro (correspondiente a CR112B-24-3-7) en dicha unidad. Tuvo por dimensiones 1 m x 2 m (NS-EO). Su objetivo era encontrar el exterior de la pared este de la Estructura 13R-45 y conectar las excavaciones sobre esta estructura con las realizadas por Baron en la Estructura 13R-2.

El primer lote (CR112B-33-1-1) fue el relleno y tierra de saqueo de la trinchera de 13R-2. El segundo estrato (Lote CR112B-33-2-2) consistió de tierra café rojizo de consistencia suave; tuvo una profundidad promedio de 0.40 m. Al final de este lote se comenzaron a definir terrazas muy similares a las encontradas en la Unidad CR112B-32 las cuales siguen la misma orientación aproximada de Norte a Sur.

El tercer lote (Lote CR112B-33-2-3) consistió de tierra gris rojizo de consistencia suave, que corresponde al derrumbe en la parte exterior de la Estructura 13R-45 y el derrumbe de la Estructura 13R-2. Al final de este lote se definió que el muro encontrado en la Unidad CR112B-24 sólo estuvo compuesto de estuco y pedrín, lo que podría ser sólo una fachada construida posteriormente para sellar un cuarto más formal puesto que de ser un muro sería uno extremadamente delgado y sin piedras talladas.

Unidad CR112B-34

La unidad se ubicó directamente al este del pozo CR112B-32, contiguo a la porción norte del mismo a partir de la esquina noreste. Sus dimensiones fueron de 0.50 m x 2 m (NS-EO) y su objetivo era conectar la Estructura 13R-45, las terrazas encontradas en la Unidad CR112B-32 y la Estructura 13R-2 del grupo.

El primer estrato (Lote CR112B-34-1-1) consistió del humus negro con raíces de consistencia suelta, su profundidad promedio fue de 0.30 m. Al final de este estrato se encontró un escalón burdo en la sección este, que se asentaba sobre una nivelación de piedras que estaba uniforme en la unidad. El segundo estrato (Lote CR112B-34-2-2) se concentró en una porción de 0.50 m x 0.50 m en la sección oeste del pozo, el estrato corresponde a una tierra café rojizo de consistencia arcillosa y tuvo una profundidad promedio de 0.10 m. Al terminar de excavar la unidad se determinó que había dos escalones, lo que podría corresponder a una gran escalinata central del conjunto arquitectónico.

Unidad CR112B-35

La unidad estuvo ubicada directamente al este de su predecesora, sus dimensiones fueron de 0.50 m x 1.20 m (NS-EO). El objetivo de la misma era el mismo que la anterior. De esta unidad se removió el relleno de Baron de temporadas anteriores y se excavó de manera controlada una pequeña porción al este de la unidad. Se excavó un sólo lote que consistió en el humus negro de consistencia suelta. Al final de este pozo se determinaron dos escalones más que conectan las terrazas y la Estructura 13R-45 con la Estructura 13R-2.

Conclusiones

Luego de las excavaciones extensivas tanto horizontales como verticales y aunando la información de la Temporada 2017 se puede proponer con bastante certeza que la extensión de la Estructura 13R-45 está asociada directamente la fachada de la Estructura 13R-2. Su límite (norte) sería el espacio entre las Estructuras 13R-1 y 13R-2 y su límite sur en el espacio entre las estructuras 13R-2 y 13R-3.

La Estructura 13R-45 tiene, hasta el momento, tres fases constructivas definidas, todas con base en las excavaciones de este año, especialmente por la estratigrafía de la Unidad CR112B-31 (Figura 2.8). La primera fase corresponde al Piso 3 (encontrado en este pozo) y es probable que para entonces la estructura en cuestión no fuera un rasgo arquitectónico independiente, sino una plataforma agregada a la Estructura 13R-2 que extendiera su frente en la plaza; esta fase fue posteriormente cortada y parcialmente excavada en su axis central para ubicar el Altar 5. Esto fue precedido por la colocación de la ofrenda de 14 conchas de agua dulce. Posiblemente este acto esté relacionado al texto del Panel 1 y 2 el cual narra que se restablece y erige tres templos a las deidades patronales del sitio y el Altar 5 justamente tiene representado dos de dichas deidades, en su mención más temprana para el año 544 d.C.

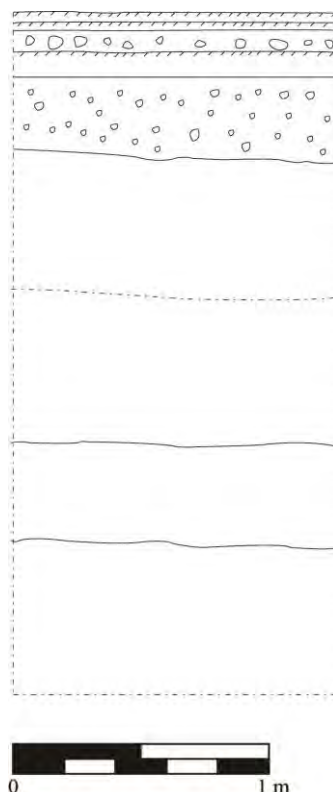


Figura 2.8 Estratigrafía de la Unidad CR112B-31 vista desde el perfil Sur. 1) Piso 3; 2) Piso 2; 3) relleno café con piedras cuña; 4) Piso 1; 5) Relleno de tierra negra con inclusiones blancas; 6) Tierra café claro con presencia de caliza; 7) Tierra amarilla con caliza; 8) Tierra rojiza con caliza (Dibujo y digitalización por: A. González)

La segunda fase corresponde al Piso 2 que cubrió todo el Piso 3 y rodeó el Altar 5; es altamente probable que esta fase sea parte de los trabajos de recolocación del altar. No hay rasgos arquitectónicos formales para esta fase; sin embargo, por el alto grado de conservación del altar se duda que este haya quedado a la intemperie por mucho tiempo, por lo que es probable que haya transcurrido poco tiempo antes de la construcción del recinto formal o que haya existido una estructura preecedera, para lo cual habría que encontrar agujeros de poste. Muestreos sobre el Piso 1 podrían ayudar a comprobar esta hipótesis.

La tercera fase corresponde al Piso 3, el cual cubrió el Piso 2 por completo e igualmente rodeó el Altar 5. Sobre este piso se levantó formalmente una “casa” para el Altar 5, siendo quizás la fase donde ya se estaría definiendo una estructura formal e independiente de 13R-2. Esta contó con tres entradas en su fachada, una en el axis central y las otras dos a cada. Esta fase posiblemente clausuró el acceso a la Estructura 13R-2 por medio de la colocación del Muro 2 (muro de estuco encontrado en la Unidad CR112B-24), dándole prioridad a la actividad ritual que estaba ligada al Altar 5. Una posible cuarta fase sería la colocación del Muro 1 (muro de piedras talladas pero irregulares) que acortaría las dimensiones originales del cuarto, clausurando aproximadamente la mitad del mismo. Para esta fase se construiría el techo abovedado y es probable que a esta fase estén vinculados los rituales de quema que se reflejan en los dos lotes de tiestos *in situ* encontrados dentro del cuarto (Unidad CR112B-23 y -25) (Figuras 2.9 y 2.10).

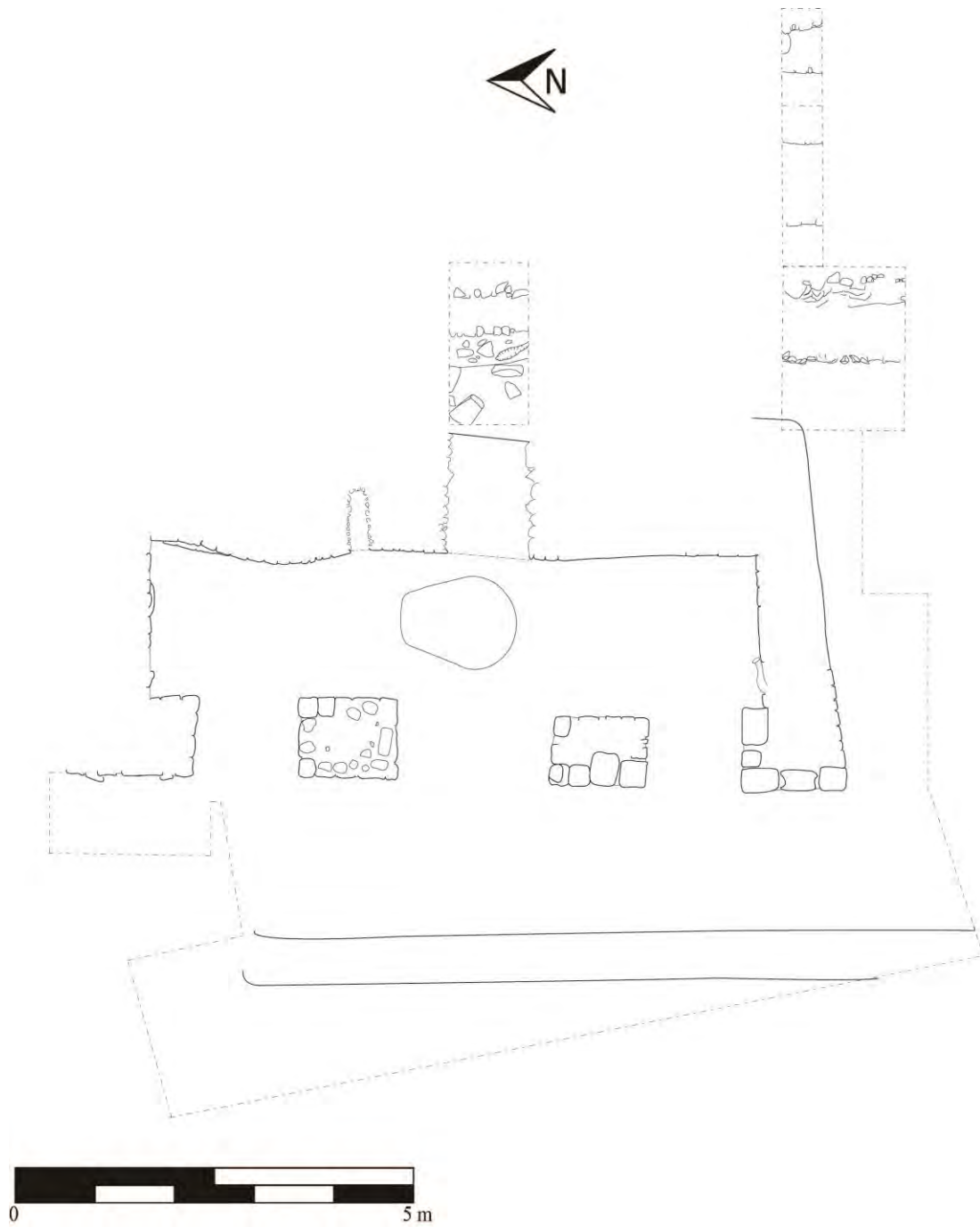


Figura 2.9 Planta de 13R-45. Se pueden notar las tres jambas, la ubicación del Altar 5 sobre el axis de la estructura y las terrazas entre esta estructura y 13R-2 hacia el Este (Dibujo por A. Cajas, modificado y digitalizado por A. González)

Un análisis cerámico preliminar realizado por Carrie Parris indicó que los tres depósitos *in situ* (Unidad CR112B-23-3-4, Unidad CR112B-25-3-4 y Unidad CR112B-28-2-3) son consistentes con el período Clásico Tardío, específicamente a mediados del mismo. Los grupos cerámicos representados consistentemente en las tres muestras son: Tinaja, Palmar Naranja Polícromo, Encanto Estriado, Azote y Chaquiste Impreso. En cuanto a la función de las vasijas representadas hay tanto aquellas para preparación y almacenaje como de servicio y no hay ninguna particularmente asociada a usos rituales (como incensarios) (Parris, comunicación personal). La temporalidad de estas agrupaciones para el siglo VII-VIII de nuestra era podrían bien coincidir con lo expuesto de la narración en el Panel 1 y 2.

Aún falta el análisis cerámico completo correspondiente que nos permita vincular estas fases con las fases de las Estructuras 13R-2 a 13R-5 en un marco temporal más amplio, para así entender todo el conjunto como un sólo proyecto arquitectónico. Además, los fechamientos absolutos con base en los restos de carbón recuperados permitirán datar de mejor manera los diversos contextos.

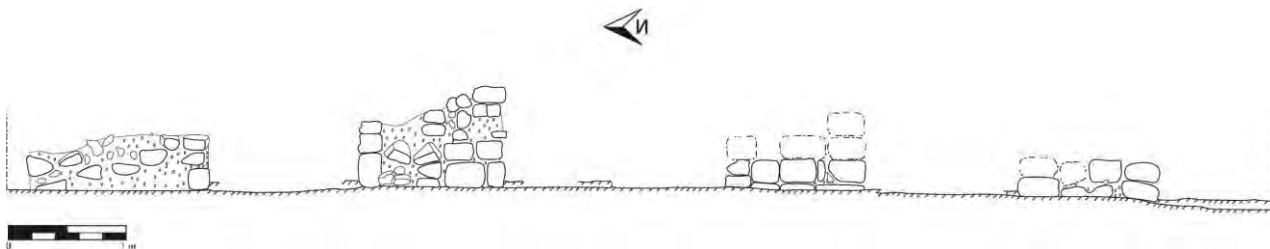


Figura 2.10 Fachada de la última fase de la Estructura 13R-45
(Dibujo por A. Caja y A. González)

CAPÍTULO III

ANÁLISIS EPIGRÁFICO, ICONOGRÁFICO E HISTÓRICO DEL ALTAR 5 DE LA CORONA

David Stuart, Marcello Canuto y Tomás Barrientos

Durante las excavaciones llevadas a cabo en el sitio La Corona en los años 2017 y 2018 se descubrió un nuevo monumento de piedra caliza, cuyo en relieve retrata a un gobernante sentado y que está acompañado por un texto jeroglífico (Figura 3.1). Este monumento se descubrió dentro de la Estructura 13R-45 (González y Cajas 2018, ver Capítulo 2 en este informe) se denominó Altar 5, de acuerdo al sistema de registro de esculturas de La Corona (Stuart et al. 2015). El monumento contiene en la inscripción una fecha en Cuenta Larga correspondiente a 9.5.10.0.0, colocándolo en el año 544 d.C., por lo que es la escultura fechada más antigua que se ha recuperado del sitio. Su estilo escultórico corresponde también al de mediados del siglo sexto, cerca de la transición del período Clásico Temprano al Clásico Tardío en la cronología Maya prehispánica.

La inscripción identifica al protagonista de la escena como un gobernante temprano llamado *Chak Tok Ich'aak*, quien también lleva elementos jeroglíficos de su nombre incorporados como parte de su tocado. El personaje se muestra de lado, viendo hacia la izquierda, sentado con las piernas cruzadas sobre un registro basal que representa un jeroglífico toponímico (ver discusión más adelante). El gobernante carga una serpiente bicéfala, y de sus fauces emergen las cabezas de dos deidades de seres ancestrales. Aunque la escultura está dañada en el área de la cara y brazos, la mayoría del relieve se ha conservado de forma excelente, casi prístina. El texto jeroglífico indica que el altar es un monumento que conmemora la participación de *Chak Tok Ich'aak* en el calendario ritual en el año 544 d.C., en la ocasión de un medio *k'atun*.

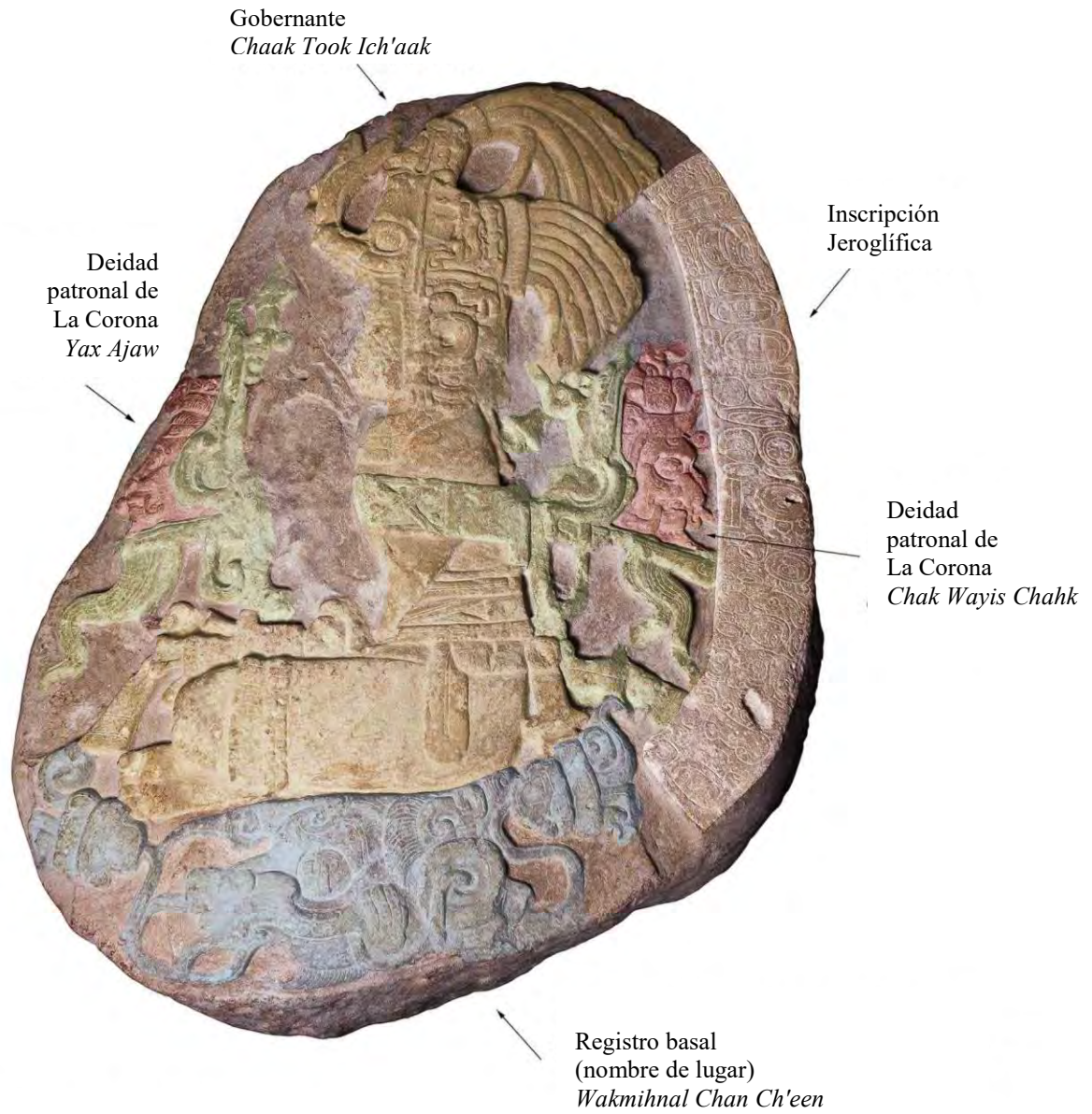


Figura 3.1 Fotografía del Altar 5, mostrando los distintos elementos iconográficos
(Fotografía por R. González y T. Barrientos)

La inscripción

Una banda de jeroglíficos fue tallada a lo largo del borde derecho del altar, atrás de la espalda del gobernante. El texto es curvo, ya que se ajustó a la forma irregular de la piedra (Figura 3.2). El texto se compone de doce glifos incisos, presentando una fecha de Cuenta Larga y una oración simple con un verbo y sujeto. La fecha 9.5.10.0.0 abarca los bloques 1 a 6. El jeroglífico que abre es el Glifo Introdutorio de la Serie inicial, mostrando el patrón del mes Zip (ya que 10 Ahau 8 Zip es la Rueda Calendárica correspondiente a la Cuenta Larga).

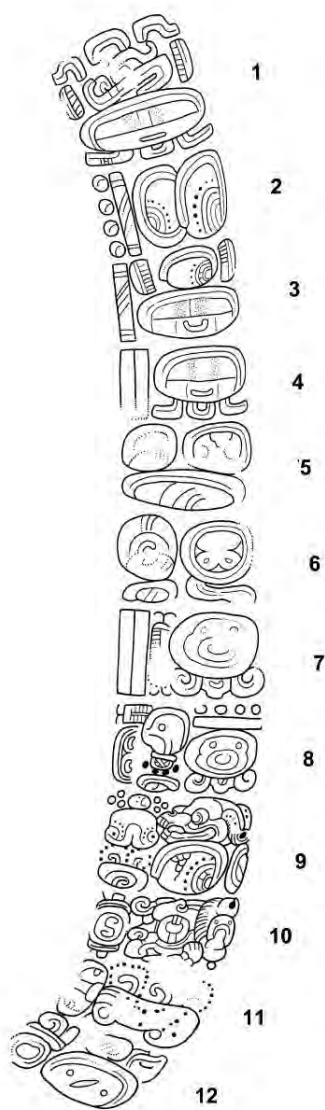


Figura 3.2 Inscripción jeroglífica del Altar 5 (Dibujo por D. Stuart)

La Cuenta Larga pareciera poco interesante en la mayoría de sus aspectos, con excepción de un afijo **-li** muy grande en el glifo de Uinal (Bloque 5). Esto se puede explicar de mejor forma como una parte del "cero" que fue colocado de forma extraña como prefijo del Uinal, replicando la secuencia de dos signos que se muestran como el prefijo del **K'IN-ni** en el bloque siguiente. Ambas formas de este "cero" parecen representar **MIH-li**, para *mih-il*, "nada" (nótese que en Ch'olti, *mihil* significa "en balde" o "de balde" y el proto-Maya **mi(h)*, "nadie, ninguno" [Kaufman 2003]). Otras formas idénticas a éstas aparecen de vez en cuando en las fechas de Cuenta Larga en otros sitios, usando un elemento "mano-concha" con un sufijo **li** (Figura 3.3a). La variante de cabeza de esta mano-concha muestra un perfil humano con una mano sobre la mandíbula – un personaje relacionado a la muerte en la mitología Maya (Schele 1987) – y es probable que los dos compartan un mismo origen gráfico, indicado por dicho símbolo de la mano (Figura 3.3b). Estas formas pueden sustituirse funcionalmente con la forma más conocida del cero de "flor" o "Cruz de Malta" (Figura 3.3c) que es también la sílaba **mi**, usada en **mi-hi**, para la raíz *mi(h)* (Figura 3.3d) (ver Grube y Nahm 1990; Stuart 2012).

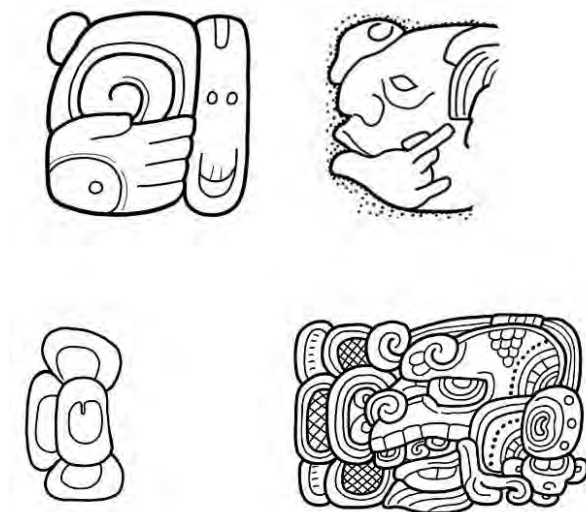


Figura 3.3 Comparación de representaciones Mayas Clásicas para *mih* "cero, nada".
 (a) **MIH-li**, Fragmento de Panel de Xupa (b) **MIH** o **mi**, Tableta de la Cruz Foliada, Palenque,
 (c) **mi** de la Estela 26, Uaxactun, (d) **mi-hi** silábica, Estela 63, Copan (Dibujos por D. Stuart)

También hay que notar que el signo mano-concha aparentemente puede server tanto como el logograma **MIH** y la sílaba **mi**. Curiosamente, para nuestro conocimiento, estas formas de escribir *mih-il* solamente se usaron para escribir "cero" en el contexto de fechas de Cuenta Larga, ya que, por ejemplo, nunca aparecen en Números de Distancia, donde *mi(h)* hubiera sido preferible.

Después de la fecha en Cuanta Larga aparece **10-ta-AJAW** (Bloque 7), indicando el punto correspondiente en la cuenta de los 260 días, 10 Ahau. En este texto no se menciona el "mes" 8 Zip, lo cual es una omisión rara para un texto tan formal como éste (el patrón de Zip en el Glifo Introdutorio de la Serie Inicial fue tal vez suficiente en lo que respecta al calendario de 365 días). El elemento **ta**, que corresponde a la preposición *ta-*, "en" aparece entre el número y el signo del día, conformando un patrón que se ha observado donde los registros de 260 días parecen describir la convergencia de sus dos componentes, número y nombre de día. Por lo tanto el significado es *lajuun ta ajaw*, "10 en Ajaw," no simplemente "10 Ajaw" (Figura 3.4)

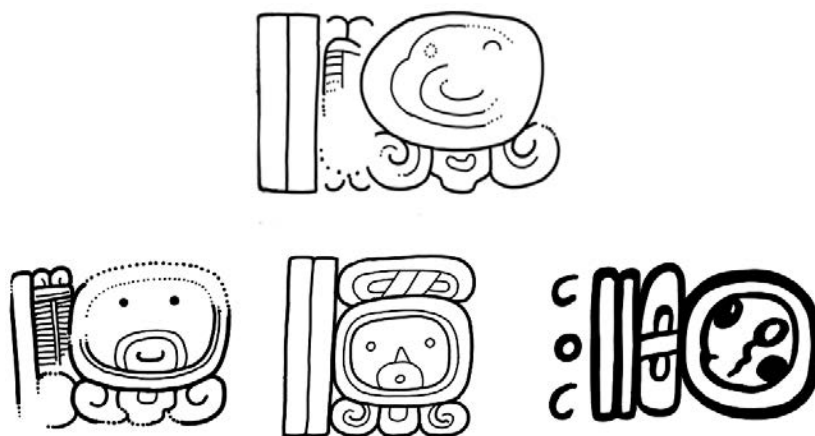


Figura 3.4 Registros de estaciones de 260 días mostrando la preposición **ta-** entre el número y el nombre de día (a) Altar 5, La Corona, (b) Monumento 106, Tonina, (c) Monumento 156, Tonina, (d) Tiesto inciso, Tonina. (Dibujos por D. Stuart)

Después del largo registro de la fecha se llega a una descripción de la estación de la Cuenta Larga, describiendo su naturaleza como un "medio período":

<i>Lajuun ta ajaw</i>	(es) Diez en Ajaw
<i>Ta u tahnlam-il bolon ajaw</i>	en la mitad inferior de Nueve Ajaw

Lo cual es como decir que 10 Ahau cae en el preciso punto medio del *k'atun*, referido aquí en la forma abreviada de "9 Ahau," para 9.6.0.0.0. Esto es muy parecido a los nombres truncados que se encuentran en los períodos de *k'atun* en los *Libros del Chilam Balam* de la época colonial -- "katun 8 Ahau," "katun 4 Ahau," y así sucesivamente. Con esto se termina el largo registro del Fin de Período en el altar, dando lugar a la sustancia de la oración (verbos y actores) para los últimos cuatro bloques.

El verbo principal (primera mitad del Bloque 9) es un glifo nunca antes visto en las inscripciones Mayas, el cual se deletrea **k'o-to-yi** (Figura 3.5). El **-yi** final es un fuerte indicador que se trata de un miembro de la clase de intransitivos marcados por un final **-Vy** (CVC-Vy); similar, por ejemplo, a **ju-bu-yi**, *jub-uy*, "él/ella cae". Esta clase de intransitivos es típicamente relacionada a los verbos de movimiento y cambio de estado. El signo inicial (T174:530) de este verbo es familiar en otros contextos, y varios años atrás ya se había sugerido que podía ser una variante de la sílaba **k'o** (Stuart 2017). Por lo tanto el Altar 5 provee nueva e importante evidencia que apoya esta hipótesis, dado que está junto a **-to-**. Solamente con base en la sinarmonía de las vocales que se encuentra en otras lecturas de este tipo (CV₁-CV₁-**yi**), se puede estar bastante confidente que se tiene un verbo con la forma *Cot-oy*. Solamente una raíz intransitiva conocida en las lenguas Ch'olanas encaja en este patrón: *k'ot*, como en el Ch'orti' *k'otoy*, "él/ella llega allí." La lectura **k'o** es entonces fuertemente sugerida por este único ejemplo, independientemente de otras claves consideradas anteriormente.

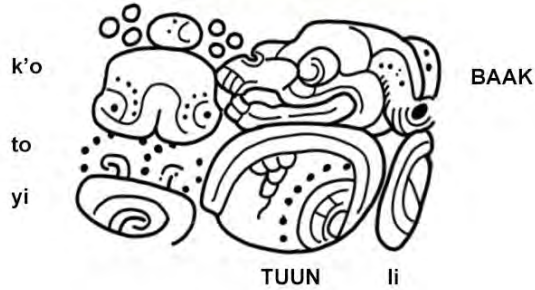


Figura 3.5 La frase verbal, usando el verbo intransitivo **k'o-to-yi**, *k'otoy-i*, “él llegó allí”, seguido por un posible nombre de lugar, **BAAK-TUUN-li**. (Dibujo por D. Stuart)

Toda la evidencia acumulada indica que **k'o-to-yi** es seguramente el verbo que se tiene en el altar de La Corona altar, el cual se lee *k'otoy*, “él llegó allí.” Lo que sigue, antes del nombre del sujeto, parece ser un nombre de lugar escrito con una variante de cabeza esquelética de **BAAK** antes de **TUUN-li**, proporcionando el toponímico *Baaktuunil* (“Lugar-Hueso-Piedra”). Esto podría especificar un lugar donde el sujeto, nombrado en los últimos bloques del texto, llegó en el Fin de Período.

El sujeto del verbo es el gobernante local, cuyo nombre aparece en los bloques 10 y 11 (Figura 3.6). El signo inicial en el primer bloque es una forma variante de **WAK**, “seis,” de acuerdo a su uso ocasional como reemplazo de la forma de numeral en barra y punto (Schele and Miller 1986:311). El signo de cabeza combinado con **WAK** presenta una confluencia de dos signos: el pájaro con la mano-sobre-mandíbula que es una forma animada de **CHAN**, “cielo”, como también otra cabeza que es caracterizada por una oreja de jaguar, la falta de la mandíbula y un elemento parecido a **OHL** sobre el ojo. Esta combinación aparece en otros ejemplares de este nombre en particular, provenientes de Tikal y El Perú-Waka'. El segundo de los dos signos de cabeza sigue sin descifrarse, aunque **PAN** es una posibilidad que vale la pena comprobar. La segunda parte del nombre se deletrea con los tres logogramas **CHAK**, **TOK** e **ICH'AAK**, creando el nombre con que se refiere comúnmente a este gobernante, *Chak Tok Ich'aak*. Su nombre completo posiblemente sería entonces *Wak Chan Pan(?) Chak Tok Ich'aak*. El nombre también lo lleva el gobernante en su tocado, donde se observan varios elementos glíficos: -- el signo **WAK**, el **TOK**, y posiblemente **CHAN**. Además, la gran cabeza zoomorfa que conforma el casco del gobernante es una forma animada del elemento **ICH'AAK** que se conoce de otras variantes de este nombre en las inscripciones de Tikal.



Figura 3.6 El nombre del protagonista, *Wak Chan Pan(?) Chak Took Ich'aak* (Dibujo por D. Stuart)

En el último bloque del texto se encuentra el título *sakwayis* (**SAK-WAYIS**), un término curioso que fue usado por varios gobernantes de La Corona y de otros centros cercanos del norte de Petén y sur de Campeche durante el Clásico Tardío (ver Grube 2005) (Figura 3.7). Se desconoce su significado, pero es muy común como título para hombres y mujeres (*ix sakwayis*) a lo largo de toda la región (por ejemplo, su aparición en muchas vasijas cerámicas saqueadas, del llamado 'Estilo Códice'). Su presencia aquí indicaría que *Chak Tok Ich'aak* llevó la misma designación que se observa en los gobernantes más tardíos de La Corona, y que el posiblemente fue un miembro de la línea dinástica de otros períodos mejor conocidos en la historia del sitio.

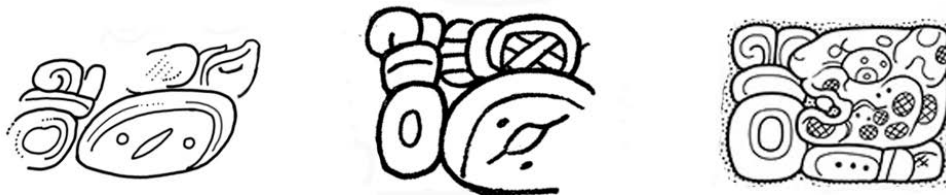


Figura 3.7 Ejemplos del título *Sakwayis*. (a) Altar 5, La Corona, (b) Panel 1, La Corona, (c) Elemento 56, La Corona (Dibujos por D. Stuart)

En resumen, la inscripción del altar nos dice que un gobernante de La Corona llamado *Chak Tok Ich'aak* viajó a un lugar llamado *Baaktuunil* cuando celebró el Fin de Período 9.5.10.0.0, en 544 d.C. La identificación de *Baaktuunil* es desconocida, pero es posible que se encuentre a una distancia considerable de La Corona, dado el uso particular del verbo *k'otoy* ("él llegó *allí*"). Esto es bastante inusual, lo que podría indicar que el gobernante local no celebró el Fin de Período en un lugar cercano, sino en una ubicación más lejana, en otro

centro. La noción que un gobernante haya realizado una ceremonia en un lugar lejano no es algo nuevo en la historia de La Corona, ya que en textos más tardíos de La Corona se registraron varios episodios donde los gobernantes locales “fueron a Calakmul,” para participar en ceremonias con los gobernantes *Kaanul*. Por lo tanto el Altar 5 puede aludir a un tipo similar de evento, aunque no necesariamente signifique que *Baaktuunil* fue un lugar localizado cerca de la capital *Kaanul*.

El signo toponímico

El gobernante se encuentra sentado sobre una cabeza grande en forma de animal o pájaro, que es una forma jeroglífica muy elaborada que provee información del lugar donde se encontraba *Chak Tok Ich'aak* durante su ritual (Figura 3.8). Estos registros basales que muestran cabezas grandes son comunes en la iconografía Maya, y suelen colocarse bajo los pies de los gobernantes o también marcando un lugar de cualquier otra forma (Stuart y Houston 1994:57-68). Generalmente estos son amalgamas de diferentes elementos jeroglíficos que proveen el nombre propio del lugar donde ocurrió un evento, ya sea de forma general o específica.

En el Altar 5, la cabeza basal está llena por muchos detalles en su diseño, pero se pueden discernir claramente su nariz y gran ojo; también lleva una orejera circular grande. A cada lado se observan formas como ramas delgadas o zarcillos que emanan de la boca, cada una terminando en un elemento en forma de flor que lleva un signo *ik'* en su interior, lo que simboliza viento o aliento. Otros dos rasgos llevan claves importantes para determinar la identidad de la cabeza: Una mano humana cerca de la mandíbula inferior de la cabeza, reminiscente del signo **MIH** que se discutió anteriormente, así como también un rasgo en forma de peine sobre la orejera. Ambos signos también forman parte de la cabeza que aparece de forma prominente en el nombre del rey en la inscripción jeroglífica (Bloque 10). Allí se observa la confluencia de dos cabezas, una todavía no descifrada (¿posiblemente PAN?, “excavar”) y la otra es el ave que es la forma animada de **CHAN**, “cielo”. La mano y el elemento de peine parecen ser dos diagnósticos para el logograma **CHAN**, y se observa que otros rasgos de la cabeza basal lo comparten, incluyendo el nudo en el pelo y la forma del pico y ojo. Por lo tanto se sugiere que la cabeza basal es también **CHAN**, en combinación con los otros elementos.



Figura 3.8 Detalle del registro basal del Altar 5 (Fotografía por D. Stuart)

El elemento trilobular curvo frente a la cara también ofrece una clave importante, ya que es un diagnóstico reconocido para la variante de cabeza de **CH'EEN**, “cueva, pozo” y “pueblo”. Esto no debe ser sorprendente, ya que la combinación *chan ch'een* es muy común en la escritura e iconografía Maya como un término asociado a nombres de lugares. Combinaciones similares de signos animados **CHAN** y **CH'EEN** aparecen con frecuencia como registros basales en muchos ejemplos en el arte Maya (Figura 3.9). El término “cielo-cueva” parece describir el punto focal de la actividad ritual, un lugar central definido por el eje vertical de lo que está arriba (cielo) y abajo (cueva) (Stuart 2015; ver también Tokovinine 2013:38-43). En un contexto textual, este término generalmente sigue al nombre propio del lugar. En su contexto iconográfico, como éste, los elementos de un glifo de lugar pueden fusionarse con los signos **CHAN** y **CH'EEN**, creando una amalgama visual compleja que une la frase “LUGAR, el cielo-y-cueva”.

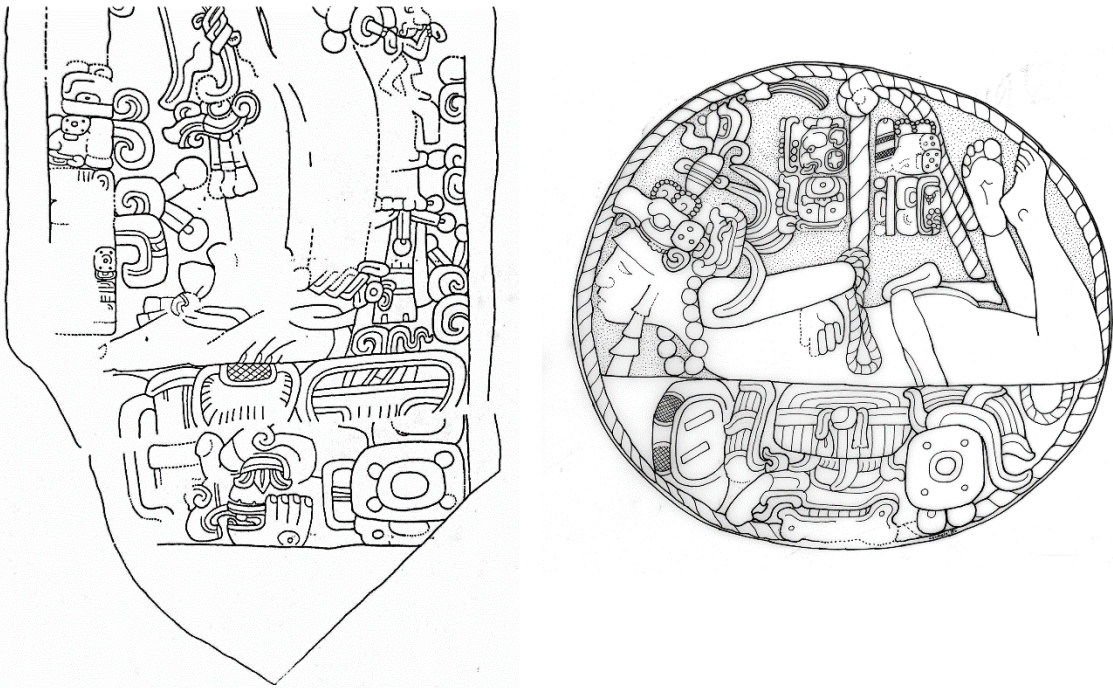


Figura 3.9 Registros basales similares en el arte Maya
 (a) Estela 11, Uxbenka, (b) Altar 8, Tikal, (Dibujos por L. Schele)

El ojo circular de la cabeza grande contiene una pequeña hacha en su interior, que cubre los detalles de la pestaña. Ese es un rasgo distintivo de otro elemento jeroglífico, la variante de cabeza del número seis (ver Thompson 1950: Fig.24). Este número aparece como parte de la frase nominal extendida del gobernante *Chak Tok Ich'aak*, pero aquí no parece señalar su nombre personal, dado que no aparecen otros elementos de su nombre. Como se indicó, la presencia de **CHAN** y **CH'EEN** sugiere que cualquier otro elemento glífico presente debe referirse a un nombre de lugar. Muchos lugares míticos y ceremoniales que se mencionan en los textos Mayas prehispánicos empiezan con el número “seis,” por lo que es posible que este sea el caso.

Esto inmediatamente sugiere el nombre de lugar *Wakmihnal*, citado en varias inscripciones de La Corona como el nombre de uno o más santuarios, posiblemente asociados con el Grupo Coronitas. *Wakmihnal* se menciona en el Panel 1, que fue descubierto en la Estructura 13R-5, a corta distancia del Altar 5, y explícitamente menciona este nombre en conexión con su contexto arquitectónico (Figura 3.10a). De hecho, otros elementos del glifo

Wakmihnal parecen estar presentes en el registro basal del Altar 5: la mano sobre la mandíbula de la cabeza, además de ser parte de la variante de cabeza de **CHAN**, podría referirse a la variante de cabeza de **MIH** que se discutió anteriormente. Sobre la orejera grande hay un elemento en forma de maíz que se parece mucho a **NAL**, proveyendo así todos los componentes necesarios. Se cree entonces que la cabeza elaborada sobre la cual está sentado el gobernante provee una confluencia de varios elementos: **WAK-MIH-NAL-CHAN-CH'EEN**, que sería “*Wakmihnal*, el cielo-y-cueva”. Esto puede ser interpretado como algo similar a “(en) *Wakmihnal*, el centro ritual”. Si esto es correcto, sería evidencia que *Wakmihnal* fue un nombre antiguo asociado con el Grupo Coronitas.

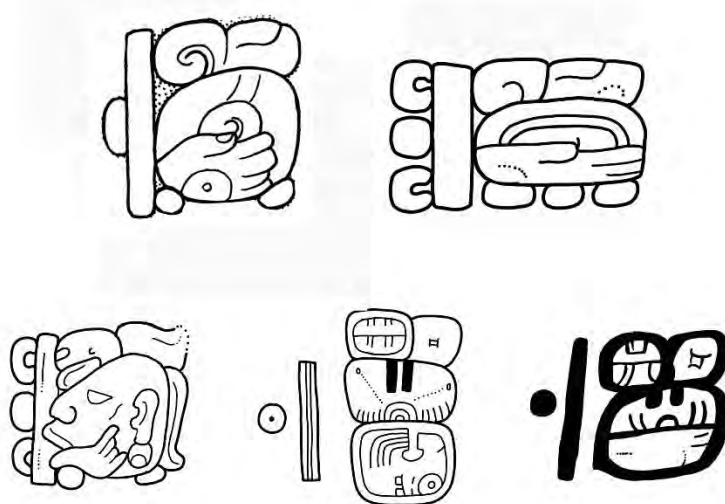


Figura 3.10 *Wakmihnal* y glifos relacionados. (a) Panel 1, La Corona, (b) EJ2 Yaxchilan, Escalón VII, (c) Elemento 19, La Corona, (d) mural de Santa Rita, (e) Códice de Desdén (Dibujos por D. Stuart)

Las conexiones mitológicas de *Wakmihnal* se reflejan claramente en sus apariciones frecuentes en inscripciones fuera de La Corona (Figura 3.10). Por ejemplo, está citado en el texto del Escalón VII de la EJ 2 de Yaxchilan, donde se asocia con el lugar llamado “agujero negro” (**IK'-WAY?-ya-NAL**) en una narrativa de tres sacrificios que sucedieron en un pasado mítico muy antiguo. Otra asociación se da con la deidad llamada *Wakmihwinkil*, “la persona *wakmih*,” y en contextos Postelásicos, con *Wakmihajaw*, “el Señor *wakmih*”. Un ejemplo interesante ocurre en el Elemento 19 de La Corona, donde sirve como un título para el gobernante *Chakaw Nahb Chan*. Estas referencias personalizadas pueden indicar que la

deidad personifica el signo **MIH** o “cero” en el texto jeroglífico discutido anteriormente – una conexión sustentada por la yuxtaposición del mismo nombre glífico con la imagen del “dios del cero” en el marcador central del Juego de Pelota IIb en Copán (Schele 1987) (Figura 3.11). La conexión de esta deidad con el sacrificio y la decapitación ritual (un tema común en juegos de pelota) parece reaparecer también en Quirigua, donde *Wakmihwinkil* sirve como un título ritual para una persona importante que es mencionada en la narrativa de la Estela E que trata de la decapitación del gobernante de Copán.



Figura 3.11 Marcador Central del Juego de Pelota IIb, Copan. (Dibujo por B. Fash)

La exhibición prominente del toponímico *Wakmihnal* en la iconografía del Altar 5 cuestiona la naturaleza de las diferentes referencias de lugares en el monumento, y lo que podría ser visto como información contradictoria. Es claro que la inscripción del altar menciona que *Chak Tok Ich'aak* “llegó” al lugar llamado *Baaktuunil*, por lo que surge la pregunta, ¿Por qué aparecen dos lugares, uno citado en el texto y otro en la iconografía? Es importante recordar que estas bien pueden ser dos distintas “categorías de lugar,” siendo *Baaktuunil* un destino, pueblo o comunidad, y *Wakmihnal* con un enfoque más ritual y

ceremonial, posiblemente el nombre de un santuario o templo. Por lo tanto, los dos lugares no son mutuamente excluyentes. Esta situación es común en los textos e iconografía Maya, donde varios lugares pueden ser mencionados en el mismo contexto, siendo unos más específicos que otros.

Las cabezas de deidades

Chak Tok Ich'aak sostiene una serpiente de dos cabezas o "barra ceremonial" a lo largo de su cuerpo. Aunque este elemento es muy común en la iconografía y retratos de la realeza Maya prehispánica, su simbolismo y naturaleza como objeto ceremonial (ya sea figurado o real) no ha sido estudiada en gran detalle. El cuerpo de la "barra" se compone comúnmente de diseños de petate (como este caso), bandas cruzadas, o bandas celestiales. En sus dos extremos aparecen grandes "orejeras" circulares, reminiscentes de las joyas de jade que se usaron como orejeras u otros ornamentos corporales. Serpientes o ciempiés pueden emerger de las cavidades internas de estas orejeras, con deidades o ancestros emergiendo de sus mandíbulas abiertas. También pueden aparecer cabezas de *k'awiil*, los llamados Dioses Remeros, u otros dioses específicos o ancestros de importancia local. En general, la exhibición de deidades emergentes en este contexto iconográfico en particular parece corresponder temáticamente a la idea transmitida por las expresiones glíficas *tzak k'uh* y *tzak k'awiil*, "conjurando dioses" y "conjurando espíritus". El texto del Altar 5 no hace uso de estos términos rituales, pero podría ser que una actividad similar es comunicada por el retrato de *Chak Tok Ich'aak*.

Las dos cabezas que emergen de la serpiente bicéfala (Figura 3.12) se identifican mediante etiquetas jeroglíficas, nombrándolas como *Yaxal Ajaw* (**YAX-AJAW**) en la izquierda y *Chak Wayaab Chahk* (**CHAK-WAY-bi-CHAHK**) a la derecha. *Yaxal Ajaw* y *Chak Wayaab Chahk* (posiblemente *Chak Wayib Chaak*) se conocen en La Corona como los nombres de la primera y tercera deidades que pueden ser llamadas como la "Triada de La Corona", un conjunto de dioses patronos mencionados en el Panel 1 (Figura 3.12c). Su presencia en el Altar 5 provee evidencia importante que estos caracteres (por lo menos dos de los tres) tuvieron una presencia a largo plazo como deidades patronas de la corte local.

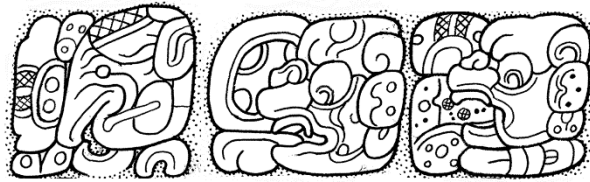


Figura 3.12 Cabezas de deidades que emergen de la barra ceremonial, las cuales corresponden a *Yaxal Ajaw* y *Chak Wayaab Chaak*, el primero y tercer nombres de la "Triada de La Corona"
(Fotografías y dibujo por D. Stuart)

El hecho que *Chak Tok Ich'aak* esté conjurando o manifestando a estos dioses apoya la idea que él fue un gobernante local de La Corona, no un visitante de un centro foráneo.

Contexto e implicaciones históricas del Altar 5

El mensaje histórico del Altar 5 es inusual por que conmemora un evento de Fin de Período que involucra a un gobernante local de La Corona en otra localidad (*Baaktuunil*). La inscripción e iconografía del altar no provee más contexto al respecto; la audiencia a que estaba destinado el altar hubiera entendido claramente el significado general político y ritual del evento.

Sin embargo hay otras conexiones que se pueden hacer con las inscripciones de La Corona y otros sitios, lo cual puede ayudar a entender de mejor forma la historia de este momento y el contexto histórico de la dedicación del altar.

La fecha de Fin de Período de 9.5.10.0.0 se encuentra en otra inscripción de La Corona: la de la Estela 1, una importante inscripción del Clásico Tardío que data de finales del siglo 7 d.C. De hecho, la prominencia de esta fecha en este texto más tardío es un testamento de su importancia en la historia local. Un número de distancia cuenta desde 9.5.10.0.0, una "línea base" histórica muy antigua, hasta una fecha más tardía que no está clara, donde se encuentra el registro de una ceremonia llamada *mak-way*, "cierre de-agujero?" (Figura 3.13). Este rito también se menciona con algo de frecuencia en las inscripciones de Machaquilá y en las piedras angulares pintadas de Ek Balam. Puede referirse al cierre o tapado de espacios arquitectónicos o depósitos rituales. De cualquier forma, el nombre del gobernante local de La Corona quien supervisa la ceremonia se representa con una cabeza de buitre con un signo **WINIK** en su boca; éste es posiblemente un reuso del elemento nominal que se conoce de un personaje temprano en la historia de La Corona.

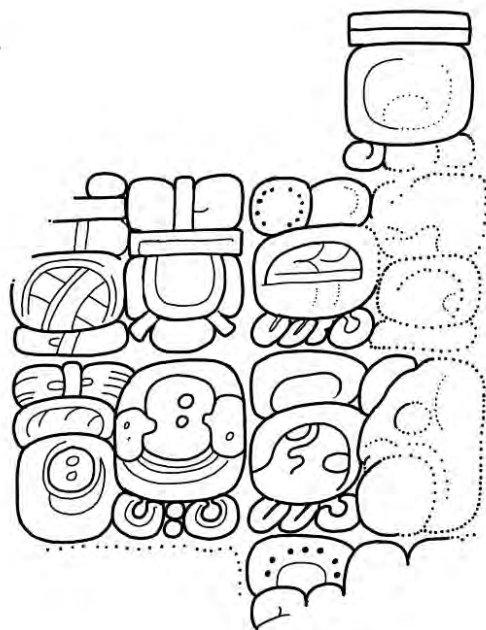


Figura 3.13 Pasaje de la Estela 1 de La Corona, recontando el Fin de Período 9.5.10.0.0
(Dibujo por D. Stuart)

Toda esta información es secundaria a la discusión de la fecha de 9.5.10.0.0, la cual se describe solamente con la frase verbal **PAT-ji-ya**, seguida por una cabeza en forma de calavera sobre el signo **TUUN-ni** o **TUUN-li**. Estos últimos elementos se han interpretado como otro posible ejemplo de *Baaktuunil*, el lugar nombrado en el Altar 5. El verbo que lo precede, *pat-j-iiy* o *pat-l-aj-iiy* significa “fue formado” o “fue hecho”, y se encuentra típicamente en conexión con la manufactura de objetos rituales o altares. Gran parte del texto de la Estela 1 está muy dañado para poder contar con los detalles necesarios para entender todo el contexto del evento; pero es suficiente para decir que la fecha de Fin de Período 9.5.10.0.0 fue un evento histórico y ritual clave en la historia de La Corona, a tal grado que fue recordado casi un siglo después, en el largo registro de ceremonias e interacciones dinásticas de la Estela 1. La ubicación del lugar *Baaktuunil*, mencionado nuevamente como un lugar clave en la narrativa, permanece todavía desconocida.

El nombre *Chak Tok Ich'aak* debería ser familiar para los estudiosos de la historia Maya del Clásico, ya que es un nombre recurrente en los registros históricos tempranos de Tikal. Existen por lo menos dos gobernantes del Clásico Temprano que llevan este nombre, siendo el más famoso el decimocuarto miembro de la dinastía, que gobernó desde aproximadamente 360 d.C. y fue derrotado y aparentemente asesinado durante la “entrada” de *Siyaj K'ahk'* en 378 d.C. *Chak Tok Ich'aak* II fue el decimoctavo gobernante, y reinó desde o antes de 488 d.C. hasta su muerte en 508 d.C. (Figura 3.14). El nombre extendido que se encuentra en el Altar 5 corresponde palabra por palabra al nombre usado por estos reyes de Tikal, y su reuso poco tiempo después por el gobernante de La Corona pudo haber evocado alguna conexión fuerte a esa dinastía. Los patrones de reciclaje y recurrencia de nombres de la realeza no han sido estudiados a detalle, pero pueden sugerir la posibilidad que hubo una conexión familiar entre Tikal y las familias gobernantes de La Corona y/o El Perú-Waka'.



Figura 3.14 *Chak Tok Ich'aak* de Tikal. (a) Retrato en una vasija de proveniencia desconocida (Dibujo por S. Martin), (b) glifos nominales en la Stela 31 (Dibujo por D. Stuart)

La presencia del nombre *Chak Tok Ich'aak* en La Corona inmediatamente lleva a considerar los registros históricos tempranos de El Perú (Waka'), localizado a aproximadamente 30 km al sur. Allí, un gobernante también llamado *Chak Tok Ich'aak* aparece en la inscripción de la recién descubierta Estela 44 (Pérez Robles *et al.* 2014) (Figura 3.15). Este importante monumento fue dedicado en 564 d.C., en el Fin de Período 9.6.10.0.0 (exactamente un *k'atun* después del Altar 5), supervisado por un gobernante local llamado *Wa'oom Uch'ahb Ahk*. La inscripción afirma que la estela fue erigida para conmemorar al difunto padre de *Wa'oom*, nombrado como *Chak Tok Ich'aak*. El seguramente había muerto poco tiempo antes de la entronización de su hijo en el año 556 d.C., un evento que también se registró en la Estela 44.

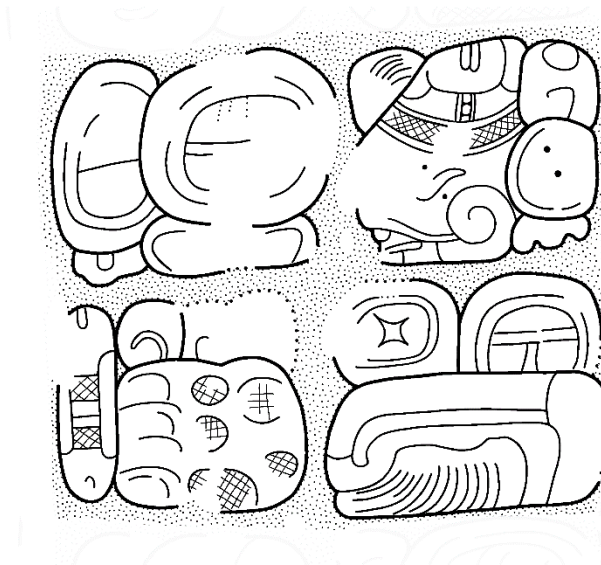


Figura 3.15 Nombre de *Chak Tok Ich'aak* en la Estela 44 de El Perú (Waka')
(Dibujo por Mary Kate Kelly)

Dado el tiempo corto de doce años entre los dos monumentos (544 d.C. del Altar 5 de La Corona y 556 d.C. de la Estela 44 de Waka') hay suficientes razones para pensar que las dos menciones de *Chak Tok Ich'aak* se refieren al mismo individuo histórico. Todos los elementos jeroglíficos del nombre extendido están presentes en ambos ejemplos, replicando la forma que también se encuentra en Tikal. Solo difieren en sus títulos: en el Altar 5 es *Sak Wayis*, y en la Estela 44 es *Waka' Ajaw*, "Señor de Waka'" (**wa-ka-AJAW**).

Hay varias formas para interpretar esta vaga evidencia, asumiendo que se trata de la misma persona. En un escenario, *Chak Tok Ich'aak* es un señor local de La Corona, un *Sak Wayis*, quien en un momento entre los doce años llegó a ser "promovido" para ser el gobernante del centro mayor de El Perú-Waka'. Alternativamente, es posible que *Chak Tok Ich'aak* sirvió en estos dos papeles concurrentemente, como gobernante de ambos centros pero llevando diferentes títulos de su estatus. Este escenario ayudaría a entender por qué viajó lejos de La Corona para conmemorar el Fin de Período 9.5.10.0.0.

La Estela 44 de El Perú también provee un contexto importante para discernir relaciones geopolíticas más amplias durante estos tiempos turbios en la historia Maya, las cuales van mucho más allá de La Corona y El Perú. El gobernante local de El Perú que dedicó este monumento fue el hijo de *Chak Tok Ich'aak*, *Wa'oom Uch'ab Ahk*, quien asumió el trono de El Perú en 556 d.C. El período de 22 años entre el altar de La Corona y la Estela 44 está

perfectamente de acuerdo con este escenario. El registro de la entronización de *Wa'oom Uch'ab Ahk* incluye una frase clave, ya que indica que él es el *y-ajaw*, “el señor de” otro individuo llamado *K'ahk' Uti' Ch'ich'*, recientemente identificado como un gobernante de la corte *Kaanul* (Martin y Beliaev 2017). Tal como lo notan Martin y Beliaev, la entronización de *K'ahk' Uti' Ch'ich'* seguramente sucedió en el año 550 d.C., la fecha en la cual está registrada (aunque implícitamente) en el Dintel 3 de (9.5.16.0.8 7 Lamat 6 Uo). Esto indica que el no pudo haber sido el gobernante *Kaanul* al momento del Fin de Período del altar de La Corona, que cae seis años antes. El gobernante *Kaanul* que estaba en el trono antes de 550 d.C. fue *Tuun K'ab Hix*, cuyo nombre aparece en varios centros, incluyendo en el Panel 6 de La Corona (el Altar de Dalla), donde se puede leer que su hija se casó con el gobernante de La Corona conocido como “Buitre” (su nombre permanece sin descifrar) en el año 520 d.C. (ver Freidel y Guenter 2003; Martin 2008; Stuart *et al.* 2014). Este oscuro rey de La Corona fue probablemente el predecesor inmediato de *Chak Tok Ich'aak* y posiblemente su padre. Aunque no se menciona a *Tuun K'ab Hix* en el Altar 5, es probable que haya sido el "supervisor" de *Chak Took Ich'aak*, tal como *K'ahk' Uti' Chich'* fue el gobernante *Kaanul* políticamente dominante sobre el hijo de *Chak Tok Ich'aak*, *Wa'oom Uch'ahb Ahk* de El Perú, en 556 d.C.

En resumen, parece claro que *Chak Tok Ich'aak* fue un actor político principal en la región durante la mitad del siglo VI d.C. El entonces: 1) conjuró dioses patronos y visitó lugares que permanecerían relevantes para La Corona por siglos después de su muerte; 2) gobernó en La Corona y El Perú; y 3) presidió durante el período en que *Kaanul* aseguró el control del occidente de Peten. Sin lugar a dudas, *Chak Tok Ich'aak* fue una figura de suma importancia en la historia política tanto de La Corona como de El Perú.

Una pregunta que queda sin resolver gira en torno al evento de Fin de Período que se conmemoró en el Altar 5: *k'otoy*, “él llegó allí”. Dado que es una descripción de Fin de Período única en las inscripciones Mayas, es difícil reconciliar con lo que se sabe de la práctica ceremonial Maya; la mayoría de la cual es claramente relacionada con acontecimientos locales. Se sospecha que la movilidad indicada en el evento del Altar 5 tiene alguna relación con el papel atípico que jugó La Corona en la política Maya durante gran parte de su historia, como un pequeño vasallo de un centro mayor lejano. En el siglo sexto, La Corona (*Saknikte'*) ya era parte de una red política y familiar extensa que abarcó grandes

distancias de las Tierras Bajas Mayas. Los registros de los siglos séptimo y octavo indican que gobernantes más tardíos de La Corona viajaron lejos al territorio de la corte *Kaanul* cuando ésta se basó en Calakmul, después de haberse movido desde Dzibanche. El Altar 5 puede entonces proveer alguna evidencia que el gobernante de La Corona fue convocado por un aliado foráneo (*Baaktuunil*) para participar en un rito calendárico importante. La ubicación de *Baaktuunil* permanece elusiva, pero parece posible que estuvo también estrechamente conectada de alguna forma a la red geopolítica de la dinastía *Kaanul*, ya sea cerca de El Perú o aún Dzibanche.

Para terminar, dado el contexto arquitectónico del altar, es posible que otros monumentos de este período temprano de La Corona puedan ser descubiertos en el Grupo Coronitas. De hecho, la forma del Altar 5 puede sugerir que fue originalmente parte de un programa escultural mayor, posiblemente concebido y dedicado con una “imagen de espejo”, es decir, un monumento que llevó el retrato de otro personaje de la realeza (tal como sería común en La Corona en los siglos siguientes). En su contexto original, el retrato de *Chak Tok Ich’aak* que ve hacia la izquierda pudo haber sido colocado en relación directa con otro monumento de diseño similar, con una figura sentada viendo hacia la derecha. Sin embargo esto es solo una especulación y se espera investigar esta posibilidad en las excavaciones futuras en el complejo Coronitas.

CAPÍTULO IV

INFORME DE TRASLADO Y MONTAJE DEL ALTAR 5 LOCALIZADO EN LA ESTRUCTURA 13R-45 DEL SITIO ARQUEOLÓGICO LA CORONA

Edwin Pérez Robles y Tomás Barrientos

Antecedentes

El 13 de junio del 2017, durante las excavaciones de la Operación 112B del Proyecto Regional Arqueológico La Corona (PRALC), a cargo de la arqueóloga María Antonieta Cajas, se halló un altar localizado *in situ* (Figura 4.1) en el interior de un pequeño edificio (Estructura 13R-45) ubicado en el Grupo Coronitas al este del sitio La Corona.

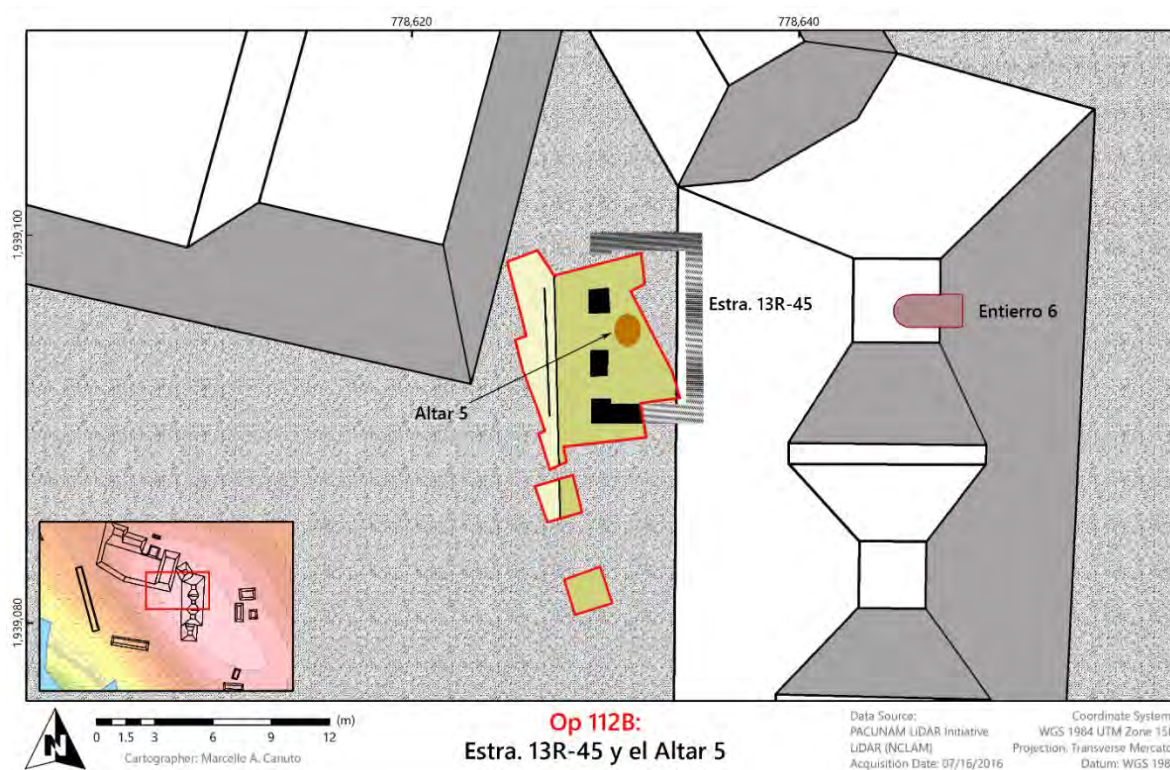


Figura 4.1 Ubicación del Altar 5, Sitio Arqueológico La Corona (Mapa por M. Canuto)

El monumento y el edificio estuvieron cubiertos por un árbol de Ramón cuyas raíces extensas penetraron y desplazaron la mayoría de sus muros (Figura 4.2). A raíz de este descubrimiento, se evaluó la posibilidad de trasladar el monumento fuera del sitio La Corona, pero por las condiciones climáticas adversas, no se pudo exponer todo el contexto arqueológico del altar en su totalidad. Además, el árbol de Ramón no podía ser cortado y retirado sin los permisos correspondientes de CONAP. Ante esta situación, se decidió en conjunto con DEMOPRE que lo más conveniente era que el altar permaneciera en el sitio La Corona hasta el 2018, cuando ya podía ser trasladado bajo condiciones óptimas (T. Barrientos, comunicación personal).



Figura 4.2 Excavación del Altar 5 durante la Temporada 2017. Nótese la presencia de las raíces del árbol de Ramón (Fotografías por A. Cajas)

El monumento consiste de una roca caliza de forma ovalada que mide 1.46 m de largo por 1.20 m de ancho y pesa cerca de 1 tonelada. Contiene una imagen tallada de un gobernante en bajorrelieve y un texto jeroglífico inciso en su borde derecho (ver Capítulos 2 y 4 en este informe) (Figura 4.3).



Figura 4.3 Altar 5 de La Corona (Fotografía por R. González)

Extracción del Altar 5 de La Corona in-situ

Para la extracción del Altar 5 se realizó un análisis visual de forma del monumento, posición y riesgos a enfrentar (Figura 4.4), ya que el altar se encontraba a unos escasos 0.40 m aproximados del muro y por la posición en que estaba ubicado, tendría que girar 90° en su eje para no dañar las columnas de la entrada del edificio y el altar en sí.



Figura 4.4 Excavación del Altar 5 durante la Temporada 2018, con la Estructura 13R-45 expuesta (Fotografía por A. González)

Para el izaje del monumento se construyó un columpio de madera en forma de A, con soportes estabilizadores de carga para mantener firmeza y estabilidad a la hora de realizar el movimiento. Para la nivelación del columpio fue necesario adaptarla a las condiciones del suelo de la estructura, asegurando que el ángulo de izaje y peso fueran acorde, en relación de esfuerzo mecánico y capacidad. Para levantamiento del altar se utilizaron eslingas, que es un equipo especial para izaje y de alto rendimiento, con capacidad de elevación de 10 toneladas. Estas son fabricadas en fibras sintéticas y brindan facilidad en el manipuleo y disminuyen el efecto de shock de carga. Además de ser un material inerte y de un ancho de 4 pulgadas, con lo que se obtenía mejor capacidad de recubrimiento y seguridad, se adaptó a la forma cóncava del reverso del monumento.

Una vez se logró estabilizar y verificar las condiciones del columpio, finalmente se procedió a levantar y mover el altar. Para ello se utilizó un polipasto con capacidad de 6.5 toneladas amarrado a un árbol de malerio (*Aspidosperma megalocarpon*) que es una madera con gran capacidad de flexión y carga al esfuerzo mecánico (Figura 4.5).



Figura 4.5 Movimiento del Altar 5 fuera de la Estructura 13R-45
(Fotografías por A. González y M. López)

Ya con la pieza removida se realizó una caja de embalaje hecha en madera de Ramón (*Brosimum alicastrum*); esta madera fue un aprovechamiento del árbol que fue removido para la extracción del altar, y que además de haber permanecido con él durante años, lo acompañó y protegió en su viaje final hasta el Museo Nacional de Arqueología y Etnología (MUNAE), a donde sería trasladado el monumento.

La caja de embalaje fue forrada internamente con ethafoam de 1 plg. de grosor, y esponja de amortiguamiento. Este movimiento de levantamiento y traslado hasta el campamento duró aproximadamente 13 horas de trabajo, que no hubiese sido efectuado sin la muy importante participación del personal de la comunidad de Dos Aguadas, trabajadores muy colaboradores del Proyecto La Corona y en especial la del supervisor del DEMOPRE Efraín Peralta.

Una vez en el sitio, el monumento fue trasladado hasta el Museo Nacional de Arqueología y Etnología (Figura 4.6), donde llegó el día 1 de junio del 2018 bajo la supervisión de Efraín Peralta y Analy Montenegro.



Figura 4.6 Ingreso del Altar 5 al sótano del Museo Nacional de Arqueología y Etnología (Fotografía por T. Barrientos)

Planificación de montaje para exposición y limpieza del Altar 5

Para retirar el altar del sótano del museo, se contó con un gran equipo logístico en donde se utilizó equipo de primera. Para el resguardo del monumento, un montacargas marca Mitsubishi modelo FD30N, con capacidad de tres toneladas, fue el encargado del traslado del sótano hacia la parte de las gradas de la entrada del MUNAE (Figura 4.7).



Figura 4.7 Embalaje y traslado del monumento por el montacargas del DEMOPRE, personal del MUNAE y de la Empresa Enytel, quienes fueron los encargados del movimiento (Fotografías por E. Pérez)

Allí lo aguardaba una grúa telescópica de capacidad de 15 toneladas de la Empresa Enytel, quien fue la responsable del izaje del altar a la entrada principal del museo (Figura 4.8), en donde se colocó sobre un *forklift* para trasladarlo dentro de las salas de exhibición del museo (Figura 4.9), hasta finalmente colocarlo en su base para su exhibición final.



Figura 4.8 Equipo de izaje, trasladando la pieza hacia la entrada del museo, bajo la supervisión de Efraín Peralta y Edwin Pérez. (Fotografías por T. Barrientos)



Figura 4.9 Traslado de la pieza hacia el *forklift*, bajo la supervisión de Daniel Aquino, Efraín Peralta y Edwin Pérez. (Fotografías por T. Barrientos)

Una vez la pieza estaba dentro del área de exposiciones del museo, el equipo levantó nuevamente el monumento con la ayuda de un andamio y polipasto, propiedad del MUNAE, esto con el fin de elaborar la base de metal (Figuras 4.10 y 4.11) acorde a las necesidades de la pieza. Este proyecto fue realizado por Tecni Herreros Yuc, quienes forjaron a fuerza de martillo la base que hoy sostiene el altar.



Figura 4.10 Elaboración y ajuste de la base de metal del monumento (Fotografías por T. Barrientos)

Ya con la base terminada se colocó un material aislante a base de poliisopreno, con buena resistencia mecánica al desgarre, resistente a la abrasión, respuesta a deformación por compresión, que además actúa como amortiguante y aislante para que el altar no entre en contacto con la base metálica (Figura 4.12).



Figura 4.12 Colocación de la pieza en su lugar de exposición (Fotografías por M. López)

Limpieza del monumento

Para que la presentación del altar tuviera condiciones museables, fue necesario efectuarle un trabajo de limpieza, y para realizar esta actividad tan delicada, se contó con el gran apoyo de los conservadores del museo, Mario Gutiérrez y Eugenia Cortave, y por parte del PRALC Marissa López quien demostró gran profesionalismo y entrega en el trabajo realizado (Figura 4.13).

El altar fue intervenido en dos etapas, la primera inició en el sótano del Museo Nacional, en donde se removió los remanentes de estuco y cal que habían quedado en la superficie superior, ya que, en su contexto original, el altar se encontraba ubicado como parte del piso interior de la Estructura 13R-45. De igual forma, se limpió la superficie inferior, donde quedaron porciones con tierra proveniente del relleno donde se asentó originalmente la pieza.

Toda intervención de limpieza fue efectuada mecánicamente en seco, utilizando brochas de cerdas finas y semi duras y duras, así como palillos de bambú y escariadores.



Figura 4.13 Mario Gutiérrez y Marissa López realizando trabajo de limpieza mecánica en el sótano del MUNAE (Fotografías por E. Pérez)

Al momento de efectuar la limpieza se detectaron unos remanentes de pintura roja en la superficie del altar (Figura 4.14), posiblemente óxido de hierro, en los cuales se limpió con agua desmineralizada para corroborar que estuvieran adheridos al altar, quedando confirmado que en alguna etapa de su vida útil la pieza presentaba color.



Figura 4.14 Pequeños restos de color rojo encontrados en el trabajo de limpieza (Fotografía por E. Pérez)

Exhibición final del monumento

Una vez la pieza fue colocada en su lugar, se realizó una estructura y forro de tablayeso para darle los acabados finales a la pieza y aplicarle color según los parámetros del museo. La iluminación fue a través de 2 focos de luz LED, MR 16 dicróico con pantalla difusora. Este tipo de luz de diodos emisores, no irradia rayos infra rojos, tampoco genera calor con lo que es sumamente útil en la conservación (Figura 4.15).

Finalmente, la exhibición de la pieza se inauguró el día 12 de septiembre de 2018 en el área del Período Clásico de la exposición permanente del Museo Nacional de Arqueología y Etnología de Guatemala, en donde se puede apreciar la grandeza y delicadeza de este gran ejemplo de la Cultura Maya.



Figura 4.15 Elaboración de la estructura de exhibición para el Altar 5 y paneles interpretativos (Fotografías por A. Montenegro y T. Barrientos)

INVESTIGACIONES EN EL GRUPO TORTUGAS DE LA CORONA: OPERACIONES CR-54 Y CR-55, TEMPORADA 2018

Marissa Lynn López Mosel y Kirsty Escalante

Introducción

En el año 2017 se realizaron varios reconocimientos en el sitio arqueológico La Corona con el apoyo de las imágenes LiDAR. Entre estos reconocimientos se realizó la ubicación y verificación del Grupo 13_AR26_10, ahora identificado como Grupo Tortugas. El Grupo Tortugas se encuentra en el extremo noreste de la calzada del sitio arqueológico La Corona a aproximadamente 600 m noreste del Palacio. Este grupo está compuesto por seis estructuras principales, dos de ellas piramidales, tres alargadas y una plataforma baja posicionadas alrededor de una plaza central. Se encuentra asociado directamente con el Cíbal Garza hacia su oeste y sur.

La importancia del grupo reside en las características únicas que éste presenta dentro del sitio de La Corona. Entre estos está la conexión directa con la calzada, pues es uno de los grupos con acceso directo a ella, al igual que el Palacio. El otro aspecto de importancia es la identificación de una estela lisa frente a la Estructura 12P-29 de este grupo, y junto a ello los hallazgos determinados durante esta temporada que consisten en la excavación de los entierros 24, 25,26 y 27, descrito en este capítulo. El objetivo principal de la temporada fue definir el piso de la plaza para poder fechar el período ocupacional y determinar función del grupo. El análisis de cerámica indica que el grupo data al Clásico Tardío.

Metodología

Las operaciones realizadas este año tuvieron como objetivo determinar la cronología y conocer la ocupación del grupo. Esta misma temporada el Dr. Marcello Canuto realizó un mapa preliminar dicho grupo (Figura 5.1).

Este grupo con anterioridad había sido saqueado, por lo que se limpiaron y documentaron dos saqueos en las dos estructuras piramidales del grupo: Saqueo 1 y Saqueo 2. A esta documentación se le asignó la Operación CR55. La limpieza consistió en la remoción del material expuesto en los perfiles, los cuales fueron producto de derrumbe, erosión y el daño mismo por los saqueadores. Se removió, en algunas secciones de los perfiles, aproximadamente 0.05 m con el fin de identificar rasgos arquitectónicos con mejor claridad y documentar características generales del material de relleno. Sin embargo, se decidió conservar algunas secciones por el mismo fin, ya que en algunos perfiles se identificaban claramente pisos y otros rasgos arquitectónicos, o bien estaban muy frágiles para trabajar.

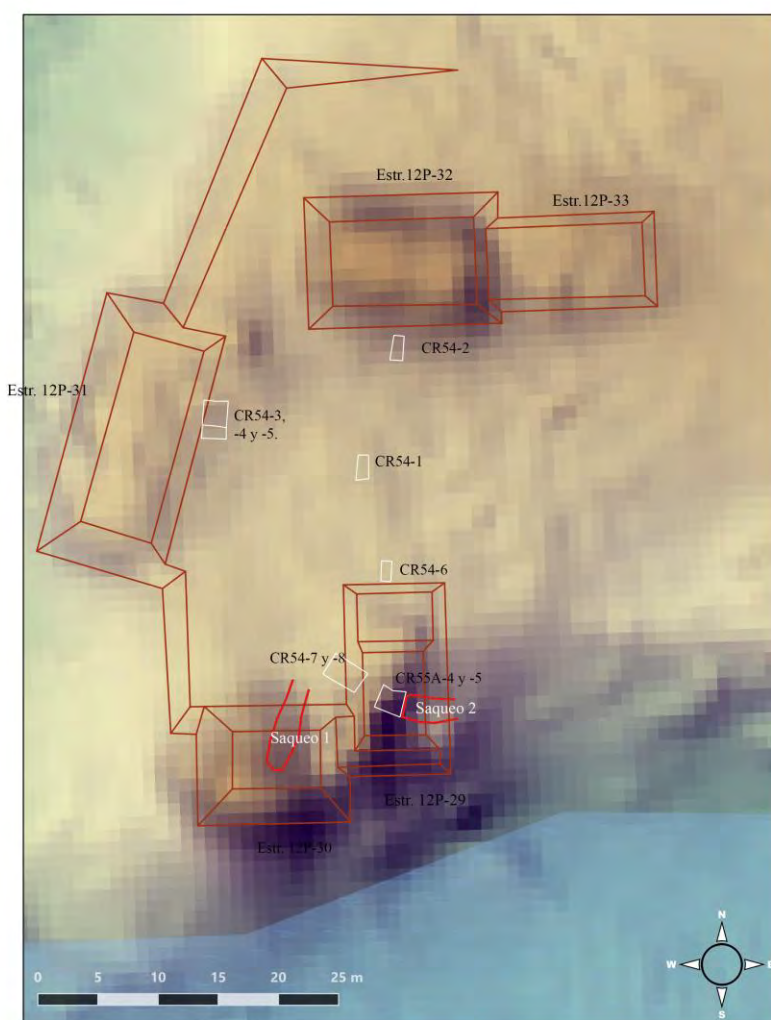


Figura 5.1 Mapa de Grupo Tortugas
(Mapa por M. Canuto, Modificado por M. López)

Posterior a ello se decidió realizar unidades de excavación vertical, a las cuales se les asignó Sub-operación CR55A. Dichas unidades de sondeo fueron de dimensiones variables adaptadas a cada contexto. Se excavaron con niveles arbitrarios de 0.20, a excepción de las unidades CR55A-4 y -5, las cuales se consideraron para proporcionar información en contexto controlado siguiendo rasgos claros de un cuarto en la Estructura 12P-29. Ambas unidades se excavaron estratigráficamente siguiendo los rasgos principales, tanto el piso como el muro interno del cuarto que se evidenciaba claramente en el perfil norte del Saqueo 2.

En cuanto a la Operación CR54, debido a la experiencia de excavación con la Unidad CR54-1, realizada durante la temporada anterior al centro de la plaza (López 2018), se decidió excavar arbitrariamente en niveles de 0.1 m y unidades de sondeo de 1 (E-O) x 2 (N-S) m en áreas de la plaza lo más cercano a cada estructura y frente a la estela lisa. Su objetivo fue ubicar mejor conservación de piso para determinar una secuencia clara y a su vez lograr encontrar material específico que pudiera determinar alguna función por cada estructura. Se utilizaron cernidores con malla de ¼” para localizar la mayor cantidad de artefactos, los cuales fueron recolectados y etiquetados debidamente.

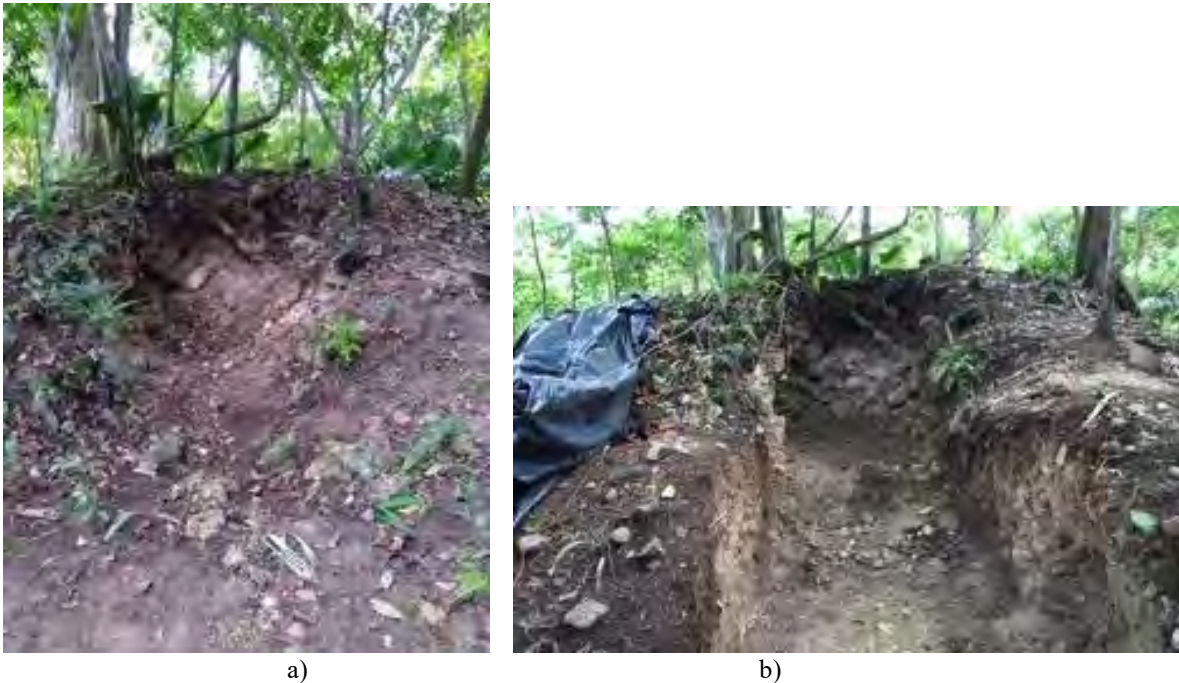
Operación CR55 y CR55A

Estructura CR12P-30

Unidad CR55-1

La Unidad CR55-1 se refiere al Saqueo 1 (Figura 5.2) el cual se ubica la Estructura 12P-30. Sus dimensiones aproximadas son de 8 m de largo por 2.50 m de ancho. El objetivo se enfocó en la limpieza general del saqueo. Asociadas al mismo contexto están las unidades de sondeo de las sub-operaciones CR55A-1 y CR55A-3. Dichas unidades se describen en la siguiente sección de este capítulo.

Lote 1 y 2 (CR55-1-1 y CR55-1-2) – Se refiere a la limpieza general del saqueo, es decir a la remoción de humus, material de saqueo colocado frente a la trinchera y el material de colapso; este relleno estaba revuelto y semi-compacto. Se recolectaron 447 fragmentos cerámicos, un hueso de fauna y un fragmento de pedernal. Del Lote 2 se recuperó una concha y un fragmento de lítica.



a) b)
 Figura 5.2 a) Saqueo 1 antes de limpieza y registro b) Saqueo 1 después de limpieza y registro
 (Fotografías por M. López)

Lote 3 (CR55-1-3) – proviene de la sección del saqueo interna que se limpió y removió de los perfiles del saqueo. El material se encontró revuelto y la mayoría es de proveniencia de derrumbe los perfiles del saqueo. Se recolectaron aproximadamente 100 fragmentos cerámicos. Adicional a ello se ubicaron dentro de este espacio varios fragmentos de estuco modelado que provenían probablemente de una subestructura (Figura 5.3).



Figura 5.3 Estuco modelado proveniente de la Estructura 12P-30
 (Fotografías por M. López).

Lote 4 (CR55-1-4) – Se agrupó en un lote por separado lo que se identificó como una acumulación de tiestos sobre lo que se interpretó como límite inferior del saqueo en su sección central. Se recuperaron 17 fragmentos, de los cuales varios probablemente forman parte de una vasija incompleta.

Lote 5 (CR55-1-5) – Al exponer la superficie de saqueo se identificó una piedra labrada (Figura 5.4) *in situ* al centro del saqueo en eje con la estructura. Se removió dicha piedra para verificar si no se trataba de una piedra tallada con alguna inscripción o iconografía. Al examinarla se determinó que solamente se encontraba pulida de un lado, el cual fue el que se expuso a través de esta intervención. Asociada a ella se recolectaron 7 fragmentos cerámicos.



Figura 5.4 Piedra labrada al centro del saqueo siguiendo el eje de la Estructura 12P-30
(Fotografía por M. López)

Unidades CR55A-1 y CR55A-3

Las unidades CR55A-1 y -3 se refieren a las unidades de sondeo que se realizaron dentro la trinchera de Saqueo 1 (Figura 5.5). El objetivo fue identificar con mayor claridad la nivelación de la plaza y recuperar material en contexto. Las dimensiones aproximadas fueron de 1 x 1.60 m, debido que se adaptaron al contexto del saqueo mismo. La excavación se inició controlada arbitrariamente, por medio de niveles de 0.10 m, siguiendo

con esta metodología en las otras unidades realizadas. Sin embargo, al finalizar la excavación y con el análisis del perfil creado a través de dicha excavación vertical, se logró identificar que el material removido pertenecía al derrumbe del saqueo mismo, es decir que todas las divisiones arbitrarias realizadas corresponden al contexto de saqueo. A continuación, se presenta una tabla (Tabla 5.1) con el resumen del material recolectado. Se alcanzó roca madre a distintas profundidades, siendo la máxima de 2.30 m por debajo del *datum 2*.

Contexto	Material			
	Cerámica	Obsidiana	Muestra de tierra	Huesos Fauna
CR55A-1-1-1	1	-	-	-
CR55A-1-2-2	1	-	-	-
CR55A-1-3-3	12	-	-	Varios (tortuga)
CR55A-1-4-4	-	-	-	-
CR55A-1-5-5	1	-	-	-
CR55A-1-5-6	4	-	-	-
CR55A-1-6-7	-	-	-	-
CR55A-1-6-8	-	-	-	-
CR55A-1-7-9	-	-	-	-
CR55A-1-7-10	-	-	-	-
CR55A-1-8-11	1	-	-	-
CR55A-1-8-12	-	-	-	-
CR55A-3-1-1	1	-	-	-
CR55A-3-2-2	-	-	-	-
CR55A-3-3-3	-	-	-	-
CR55A-3-3-4	-	-	-	-
CR55A-3-4-5	3	-	-	-
CR55A-3-4-6	16	1	-	Varios (tortuga)
CR55A-3-5-7	26	-	1	-
CR55A-3-5-8	-	-	-	-
CR55A-3-6-9	18	-	-	-

Tabla 5.1 Material recolectado de contexto de saqueo en las unidades CR55A-1 y CR55A-3



Figura 5.5 Finalización de unidades CR55A-1 y -3
(Fotografía por M. López)

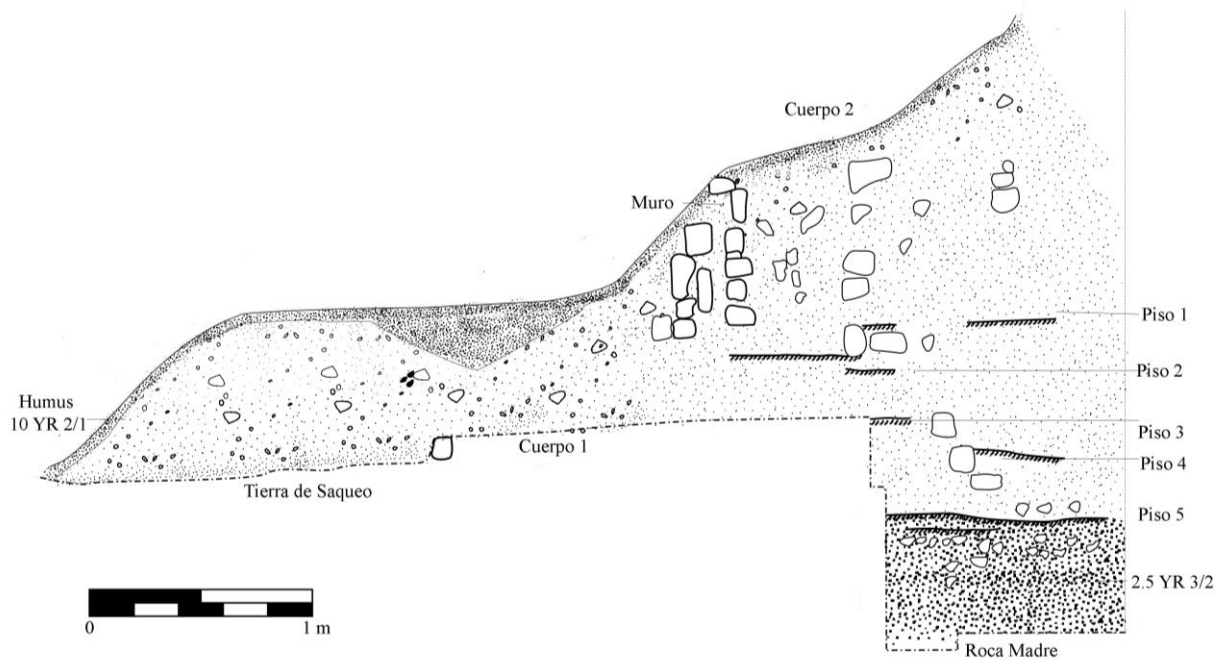


Figura 5.6 Perfil Este del Saqueo 1, Estructura 12P-30
(Dibujo por M. López)

Mediante la limpieza y registro del Saqueo 1 se reveló que posiblemente la última fase de la Estructura 12P-30 era una pirámide escalonada con tres cuerpos identificados en el perfil Este. Los saqueadores siguieron horizontalmente el Piso 3 directamente asociado a lo que se considera como el segundo cuerpo de la pirámide, hasta llegar al sector medio del montículo, rompiendo directamente el piso hasta llegar a roca madre. Tras esta inversión se destruyeron tres pisos que se lograron identificar en el perfil Este. Estos datos permiten identificar posiblemente dos fases constructivas de la estructura, siendo la primera fase una estructura con fachada altamente decorada con motivos de estuco modelado similares aquellos localizados en el palacio. Entre los resultados preliminares de análisis cerámico se han identificado hasta el momento los tipos Saxche-Palmar, Tinaja Rojo, Encanto Estriado, Infierno Negro y Azote Naranja y Zopilote Ahumado indicando un fechamiento para el Clásico Tardío (F. Saravia, comunicación personal).

Estructura 12P-29

Unidad CR55-2

La Unidad CR55-2 se refiere al Saqueo 2 (Figura 5.7 y Figura 5.8) el cual se ubica la Estructura 12P-29. Sus dimensiones aproximadas son de 7 m de largo por 1.50 m de ancho. El objetivo se enfocó en la limpieza general del saqueo. Asociado a este saqueo se encuentran las unidades CR55A-2, -4 y -5. Dichas unidades se encuentran descritas en la siguiente sección de este capítulo.

Lote 1 (CR55-2-1) – Se refiere la limpieza general del saqueo en la sección externa. Consistió en la remoción humus y material de colapso. El relleno se encontró revuelto y semi-compacto. Se recolectaron 319 fragmentos cerámicos.

Lote 2 y 3 (CR55-2-2 y CR55-2-3) – Se refiere la limpieza general del saqueo en la sección interna. Consistió en la remoción de humus y material de colapso. El relleno se encontró revuelto y compacto. Se recolectaron 29 fragmentos cerámicos, dos huesos de fauna y fragmento de pedernal. Del Lote 3 se recolectó 40 fragmentos de cerámica.

Los lotes de 4 al 6 corresponden a un registro que se realizó sobre el límite inferior del saqueo excavado arbitrariamente a cada 0.20 m con el objetivo de identificar roca madre.

Lote 4 – (CR55-2-4) Se inició a una profundidad de 0.85 m y alcanzó una profundidad de 1.05 m por debajo del *datum* 4. La tierra que se removió era arcilla compacta de color café rojizo 2.5 YR 3/3, donde se recolectaron 35 fragmentos de cerámica.

Lote 5 – (CR55-2-5) Continuó siendo el mismo estrato compacto de arcilla color café rojizo 2.5 YR 3/3, alcanzando una profundidad de 1.25 m por debajo del *datum* 4. Se recolectaron 73 fragmentos cerámicos.

Lote 6 – (CR55-2-6) Alcanzó la profundidad de lo que se considera roca madre, a una profundidad de 1.45 m por debajo del *datum* 4. Consistió en dos estratos, el primero siendo el mismo estrato compacto arcilloso de color café rojizo 2.5 YR 3/3, donde se recolectaron 8 fragmentos cerámicos. El segundo estrato fue la roca madre.



a) Saqueo 2 antes de limpieza y registro b) Saqueo 2 después de limpieza y registro
(Fotografías por M. López)

Unidad CR55A-2

La Unidad CR55A-2 se refiere a la unidad de sondeo que se realizó dentro de la trinchera de saqueo 2 con el fin de identificar roca madre y aclarar el relleno de nivelación que el Grupo Tortugas presenta en toda su área. Las dimensiones aproximadas de esta unidad fueron de 1 x 1 m y siguieron la misma orientación del Perfil Este del saqueo. Este se excavó arbitrariamente de en niveles de 0.10 m, alcanzando una profundidad máxima de 1.40 m por debajo del *datum* 4.

Lote 1 – (CR55A-2-1-1) Se inició a una profundidad de 0.83 m y alcanzó una profundidad de 1 m por debajo del *datum* 4. La tierra que se removió era compacta y arcillosa de color café rojizo 2.5 YR 3/3; de ella se recolectaron 7 fragmentos de cerámica y una muestra de carbón a una profundidad de 1 m por debajo del *datum* 4.

Lote 2 – (CR55A-2-2-2) Continuó siendo el mismo estrato compacto arcilloso de color café rojizo 2.5 YR 3/3, alcanzando una profundidad de 1.10 m por debajo del *datum* 4. Se recolectaron 4 fragmentos cerámicos.

Lote 3 – (CR55A-2-3-3) Estrato compacto arcilloso de color café rojizo 2.5 YR 3/3, alcanzando una profundidad de 1.23 m por debajo del *datum* 4. Se recolectaron 8 tiestos.

Lote 4 – (CR55A-2-4-4) lote estéril que presenta la combinación de dos estratos. El primero fue el mismo estrato compacto arcilloso de color café rojizo 2.5 Y/R 3/3 y el otro se identificó como roca madre. Alcanzó la profundidad de 1.30 m por debajo del *datum* 4.

Lote 5 – (CR55A-2-5-5) Roca madre. Sin material recolectado. Alcanzó una profundidad máxima de 1.38 m por debajo del *datum* 4.

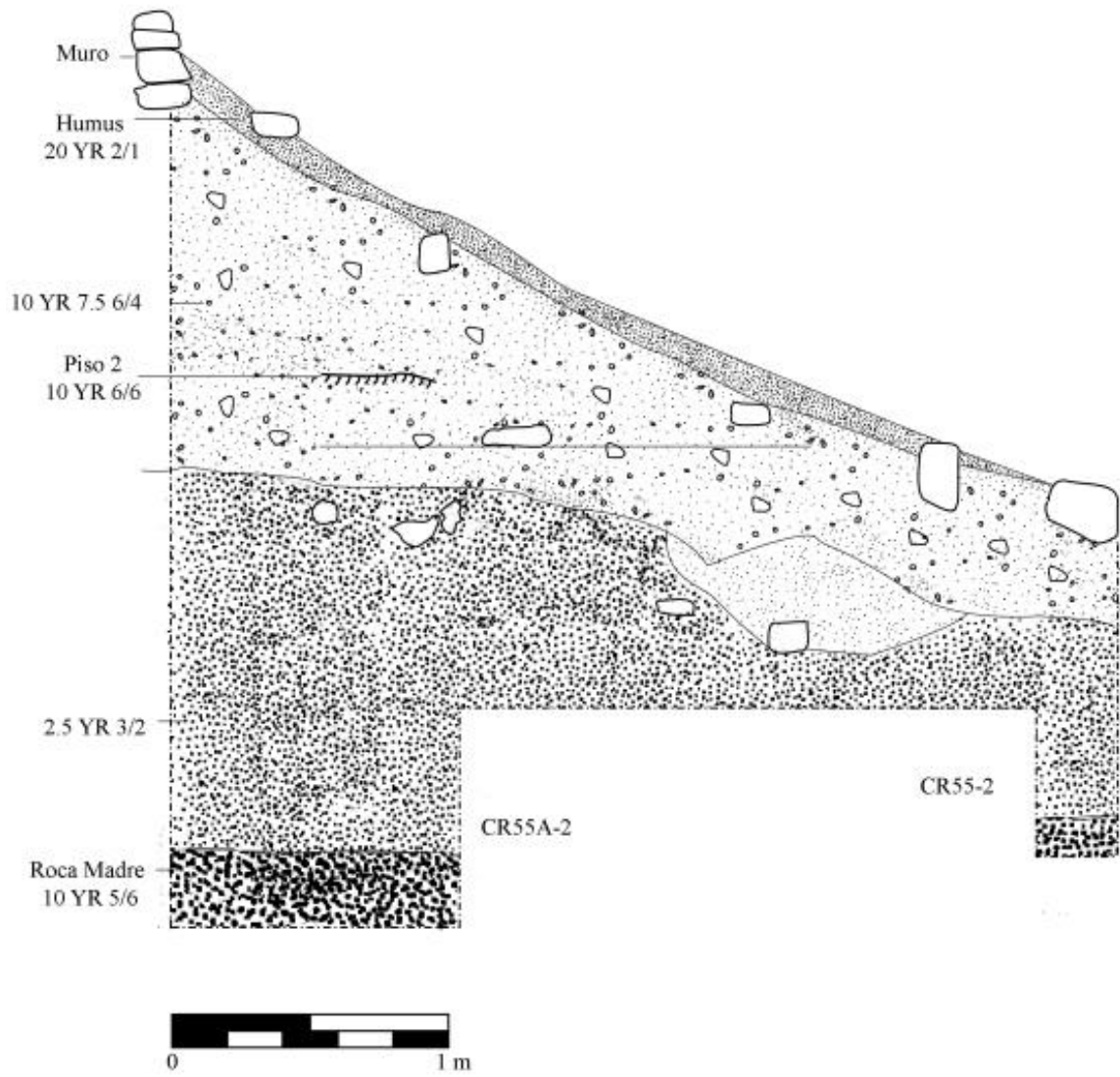


Figura 5. 8 Perfil Norte del Saqueo 2, Estructura 12P-29
(Dibujo por M. López)

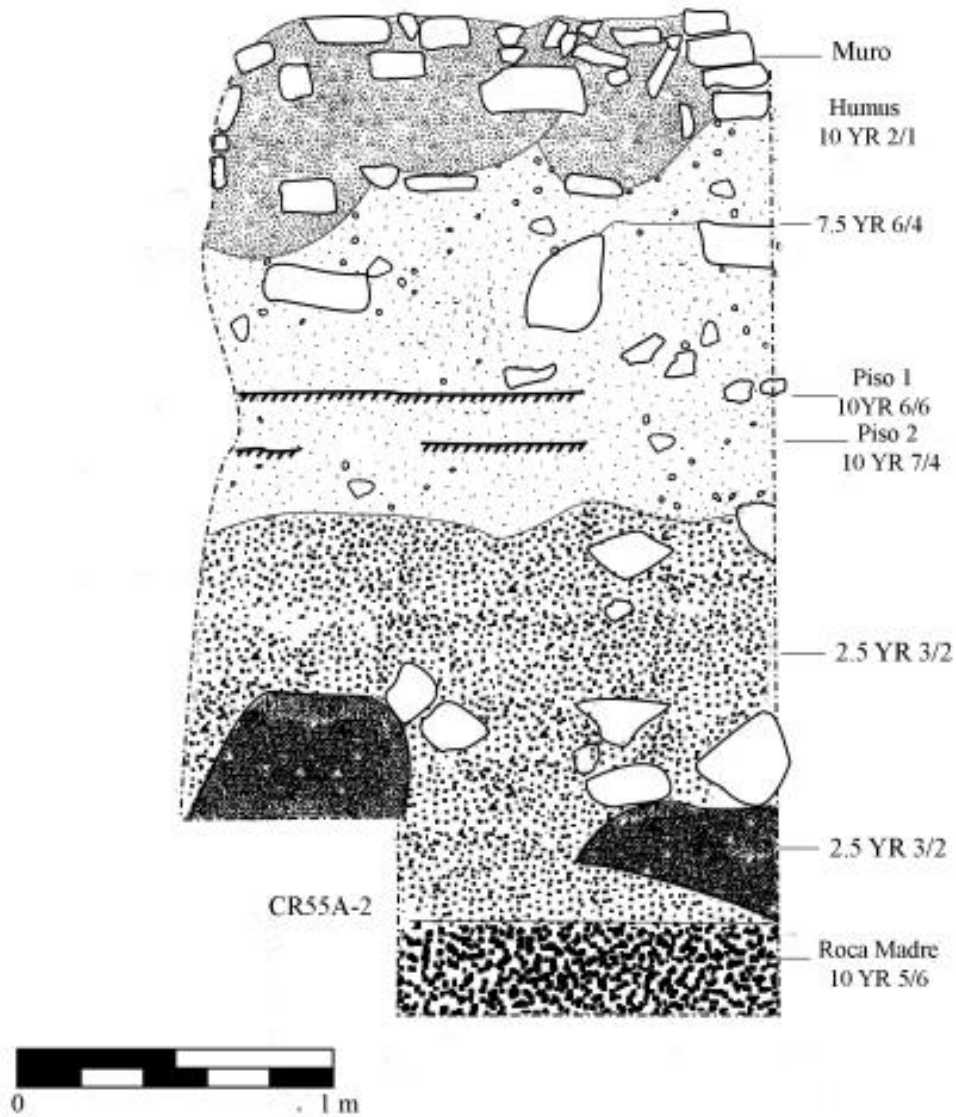


Figura 5.9 Perfil Oeste del Saqueo 2, Estructura 12P-29
(Dibujo por M. López)

Unidades CR55A-4 y CR55A-5: Unidades asociadas al cuarto de la Estructura 12P-29

La Unidad CR55A-4 se inició con el objetivo de determinar las dimensiones del cuarto y comprender la orientación de la Estructura 12P-29. Sin embargo, al identificar una jamba en la esquina NO de la unidad se decidió realizar una unidad siguiendo dicho rasgo. A ello se le denominó Unidad CR55A-5. Ambas unidades fueron de 1 x 2 m orientadas 210 Azimut.

Nivel 1 – Lote 1 (CR55A-4-1-1) consistió de la superficie y el Lote 2 (CR55A-4-1-2) consistió en la remoción del humus color café oscuro 10 YR 2/1. Se recolectaron 4 fragmentos cerámicos, un fragmento lítico y una concha de la Unidad CR55A-4. De la Unidad CR55A-5 se recolectaron 5 fragmentos cerámicos y un fragmento lítico.

Nivel 2 – Lote 3 (CR55A-4-2-3) consistió en una tierra café con mezcla amarillenta (10 YR 3/4) posiblemente por fragmentos de estuco provenientes de la fachada interna del cuarto excavado. Se determinó a una profundidad de 1.70 m por debajo del *datum* 3 una acumulación de fragmentos cerámicos *in situ* sobre un piso estucado. El análisis de laboratorio identificó esta acumulación como un 50% de vasija identificada como un incensario Pedregal Modelado (Figura 5.12) con variedad indefinida, fechada para el Clásico Tardío (Parris, en este informe).

Nivel 3 – Lote 4 (CR55A-4-3-4) consistió del material recuperado dentro del cuarto. De ello se recolectaron 187 fragmentos cerámicos y varias muestras de carbón (CR55A-5-3-3). Se alcanzó la profundidad del piso que se identificaba en el Perfil Oeste del Saqueo 2. Se identificó dentro de este cuarto una adición al muro en la fachada interna que recubría todo el lado oeste de la pared interna, al igual que la jamba de dicho cuarto (Figura 5.10 y 5.11).



Figura 5. 10 Unidad CR55A-4 y Unidad CR55A -5
(Fotografía por M. López)

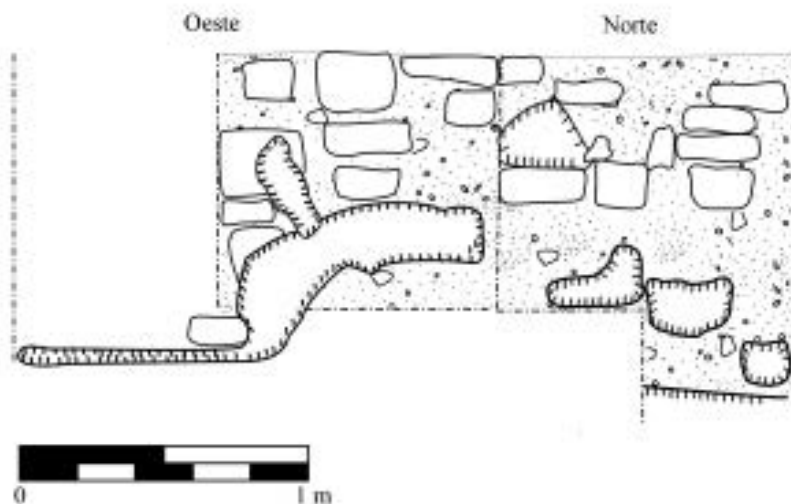


Figura 5.11. Perfil Oeste y Norte de la unidad CR55A-4 (Dibujo por M. López).



Figura 5.12 Vasija CR-V88 Incensario Pedregal modelado (Fotografía por C. Parris)

Operación CR54

Unidad CR54-2

Esta unidad consistió en un pozo de 2 m x 1 m orientado norte-sur y localizado en la base de la Estructura 12P-32. El objetivo de esta unidad fue determinar el nivel del piso de la plaza, además de la temporalidad y posible función del grupo. Se excavaron niveles arbitrarios de 0.10 m y un total de siete niveles y siete lotes. La unidad inició a una profundidad de 0.69 m y finalizó con una profundidad máxima de 1.58 m. Se encontró roca madre a una profundidad de 1.45 m a 1.58 m.

El Nivel 1 (CR54-2-1-1) estaba compuesto por humus, tierra café obscura (10YR 3/3) con bastantes raíces y material orgánico. No se recuperó material cultural en este lote. El nivel inició a una profundidad de 0.69 m desde el *datum* 1 y finalizó a una profundidad de 0.85 m desde el *datum* 1.

El Nivel 2 - Lote 2 (CR54-2-2-2) también consistió de la tierra café obscura del humus (10YR 3/3 - 7.5YR 3/3), aunque la tierra contenía bastante piedra caliza y menos raíces que el humus en nivel 1 lote 1 (CR54-2-1-1). Se recolectaron 4 tiestos de cerámica y una muestra de carbón en este lote. El nivel alcanzó una profundidad de 0.92 m desde el *datum* 1.

El Nivel 3 - Lote 3 (CR54-2-3-3) corresponde a una capa de tierra café (7.5YR 4/4) con abundantes piedras pequeñas y medianas. La cantidad de piedra caliza aumentó conforme la profundidad del nivel. Se recolectaron 26 tiestos, un hueso de fauna, un malacate y un fragmento de pedernal. También se observó un fragmento de estuco en el perfil norte de la unidad, pero éste no se recuperó. El nivel tuvo una profundidad de 1 m desde el *datum* 1.

El Nivel 4 - Lote 4 (CR54-2-4-4) estaba compuesto de la misma tierra café (7.5YR 4/4) con piedras pequeñas y medianas. Es posible que estas piedras formaran parte del relleno de la Estructura 12P-31 o del piso de la plaza. Se recuperaron 33 tiestos y una figurilla de cerámica. El nivel alcanzó una profundidad de 1.19 m desde el *datum* 1.

El Nivel 5-Lote 5 (CR54-2-5-5) consistió en tierra café (7.5YR 4/4) mezclada con tierra gris obscura (7.5YR 3/1) y bastantes piedras medianas. Se recolectó un tiesto, una navaja de obsidiana, dos fragmentos de pedernal y una muestra de carbón. El nivel alcanzó una profundidad de 1.26 m desde el *datum* 1.

La mayoría del Nivel 6 Lote 6 (CR54-2-6-6) consistió en tierra rojiza-café obscura (5YR 3/4) con piedras medianas. En la orilla este-central de la unidad se encontró un área difusa de tierra rojiza (2.5YR 4/6 - 4/8) con arcilla, piedras quemadas y bastante carbón. La tierra en este nivel se convirtió más rojiza y arcillosa conforme la profundidad, mientras que las piedras disminuyeron a medida que el nivel progresó. Se recuperaron 17 tiestos, dos navajas de obsidiana y una muestra de carbón. Se descubrió roca madre en la parte sur de la unidad, sin embargo ésta no estaba visible en toda la unidad. Este nivel alcanzó una profundidad de 1.36 m desde el *datum* 1.

El Nivel 7 - Lote 7 (CR54-2-7-7) estaba compuesto por un relleno muy compacto de tierra café-rojiza (5YR 3/4) con bastante piedra sobre la roca madre (Figura 5.13). La tierra rojiza en la parte este-central llegó hasta la roca madre y se recolectó carbón de esta área. Además, se recuperó 1 tiesto de cerámica antes de llegar a roca madre. Este nivel alcanzó una profundidad de 1.58 m desde el *datum* 1.

Aunque se encontraron posibles rasgos del piso, en particular el fragmento de estuco y el relleno rocoso observado en el nivel 4, lote 4 (CR54-2-4-4), no se logró definir la profundidad del piso de la plaza. Por esta razón, se decidió comenzar una nueva unidad en la base de la Estructura 12P-31.

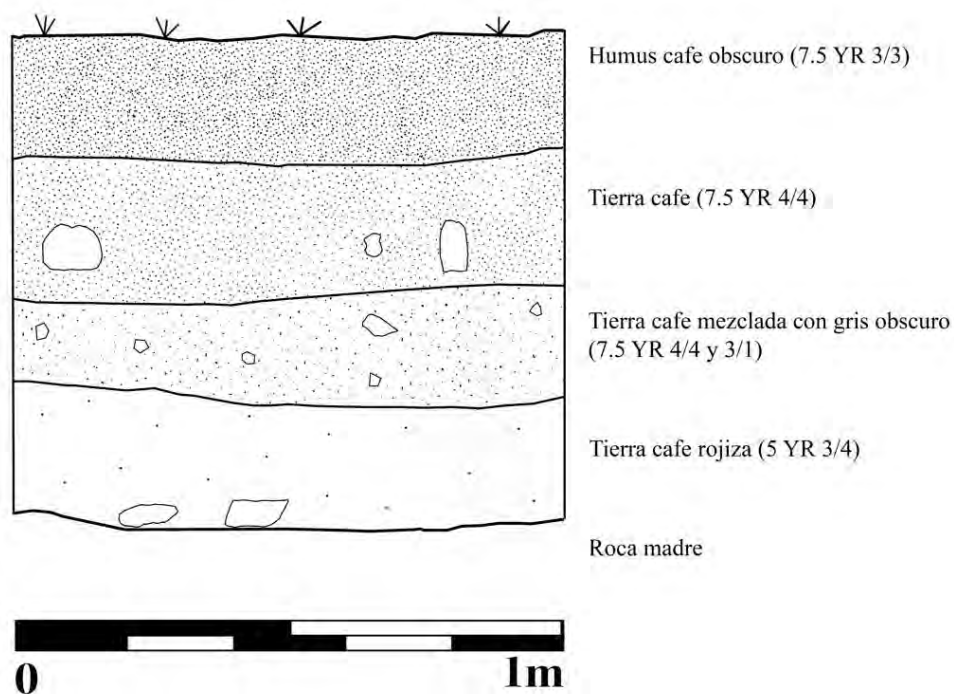


Figura 5.13 Perfil Norte de la Unidad CR54-2
(Dibujo y digitalización por K. Escalante)

Unidad CR54-3

Esta unidad consistió en un pozo de 2 m x 1 m orientado norte-sur y localizado en la base de la Estructura 12P-31. La Unidad CR54-3 se ubicó al oeste de la Unidad CR54-4 y al norte de la Unidad CR54-5. El objetivo de la Unidad CR54-3 fue determinar el nivel del piso de la plaza, temporalidad y posible función del grupo. Se excavaron niveles arbitrarios de 0.10 m-- un total de 9 niveles y 17 lotes. Juntas las Unidades CR54-3,-4 y -5 crearon un pozo midiendo un total de 3 m x 2 m y orientado norte-sur (Figura 5.14). El Entierro 25 se encontró en la parte oeste de la unidad debajo de un rasgo arquitectónico y asociado con los Entierros 24 (unidades CR54-4 y CR54-5) y 26 (Unidad CR54-5). La unidad inició con una profundidad de 0.59 m y finalizó con una profundidad máxima de 1.70 m desde el *datum* 1.

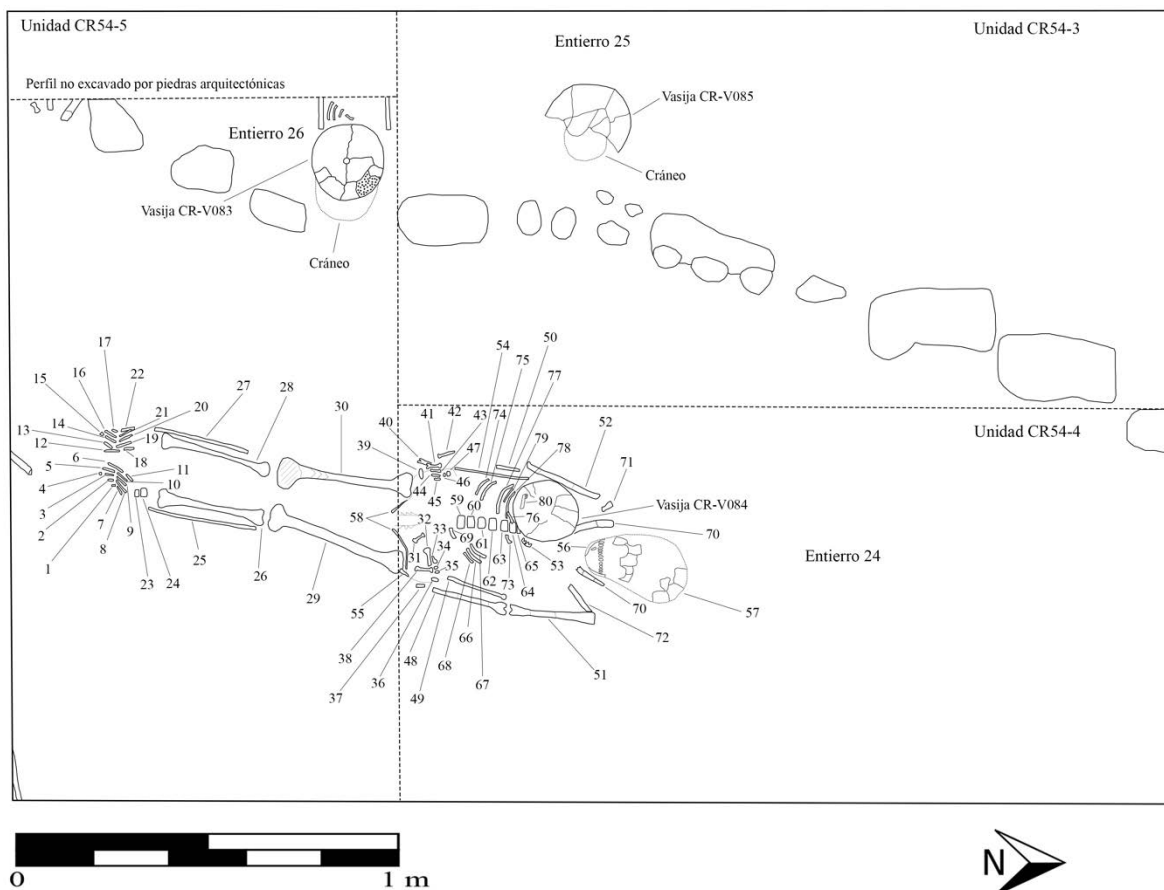


Figura 5.14 Planta de las Unidades CR54-3, -4 y -5
(Dibujo y digitalización por K. Escalante)

Nivel 1 - Lote 1 (CR54-3-1-1) corresponde a la capa de humus, una tierra café oscura (10YR 2/2) con bastantes raíces. Se recopilaron 31 tiestos. Además, se observó una alineación de 3 piedras grandes en la parte oeste de la unidad, posiblemente correspondiendo a la fachada de la Estructura 12P-31 o al derrumbe de ésta. El nivel comenzó 0.59 m desde el *datum* 1 y terminó 0.77 m desde el *datum* 1.

Iniciando con el Nivel 2 - Lote 2 (CR54-3-2-2), sólo la parte este de la unidad se excavó debido a la alineación de piedras grandes en la parte oeste. Esta área mide aproximadamente 2 m x 0.5 m. La tierra en este nivel era suave, suelta y con pocas piedras, y tenía un color café-amarillento oscuro (10YR 3/4). Se recuperaron 20 tiestos y una navaja de obsidiana. El nivel tuvo una profundidad de 0.93 m desde el *datum* 1.

El Nivel 3 - Lote 3 (CR54-3-3-3) tuvo un área de aproximadamente 2 m x 0.5 m y estaba compuesto por tierra suelta color café-amarillenta oscura (10YR 3/4) con pocas piedras. Se recuperaron 34 tiestos y tres navajas de obsidiana. La profundidad del nivel era 1 m desde el *datum* 1.

Al igual que el lote anterior, Nivel 4 - Lote 4 (CR54-3-4-4) midió aproximadamente 2 m x 0.5 m y tenía tierra suelta color café-amarillenta oscura (10YR 3/4) con pocas piedras. Rasgos del piso estucado comenzaron a aparecer en la parte sur de la unidad, específicamente fragmentos pequeños de estuco y una superficie blanca desnivelada (Figura 5.15). Se recolectó poco material en este nivel: 9 tiestos y una navaja de obsidiana. El nivel alcanzó una profundidad de 1.04 m desde el *datum* 1.

Debido al mal estado de preservación del piso, se mantuvo un área de aproximadamente 1 m x 0.5 m en la orilla sur de la unidad donde se podía observar el rasgo del piso. Por esta razón, Nivel 5 - Lote 5 (CR54-3-5-5) midió aproximadamente 1.5 m x 0.5 m. Este nivel corresponde al relleno del piso y estaba compuesto por tierra café mezclada con tierra café-amarillenta oscura (10YR 4/4 - 7.5YR 5/4) con bastantes piedras medianas irregulares. Se recopilaron 33 tiestos y el lote tuvo una profundidad de 1.22 m desde el *datum* 1.

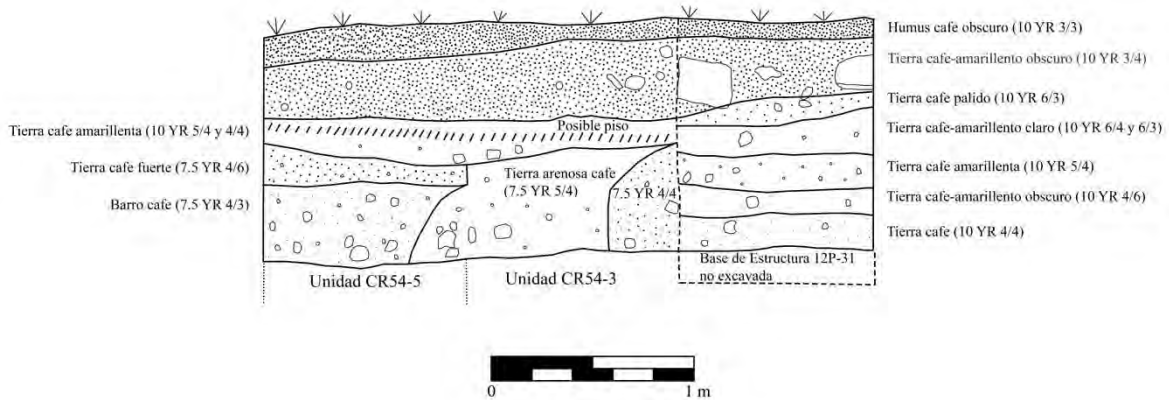


Figura 5.15 Perfil Oeste de las Unidades CR54-3 y -5
(Dibujo y digitalización por K. Escalante)

El Nivel 6 - Lote 6 (CR54-3-6-6) midió 1.5 m x 0.5 m y estaba compuesto por relleno del piso con tierra fina color café con bastantes piedras medianas. El relleno parece terminar en este nivel. Se recolectaron 80 tiestos, una navaja de obsidiana y una muestra de carbón. El lote alcanzó una profundidad de 1.38 m desde el *datum* 1.

El Nivel 7 - Lote 7 (CR54-3-7-7) midió 1.5 m x 0.5 m y estaba compuesto de tierra arenosa color café mezclada con pedrín. En lugar del relleno rocoso del lote 6, el lote 7 consistió en piedras pequeñas y más caliza. Este cambio de suelo indicó el inicio de la capa gris que se encontró en la Unidad CR54-4. En comparación con los previos lotes, se recuperó bastante material en este nivel: 121 tiestos y un fragmento de pedernal. El lote tuvo una profundidad de 1.42 m.

Después de comenzar a excavar la Unidad CR54-4, se decidió emparejar la Unidad CR54-3. Por esta razón se removió el rasgo del piso midiendo 0.5 m x 0.5 m en la esquina sureste de la unidad. Los lotes 8 (CR54-3-5-8), 9 (CR54-3-6-9), y 10 (CR54-3-7-10), formaron parte del proceso de emparejamiento. El lote 8 corresponde al mismo contexto que el lote 5, y de igual forma, el lote 9 al lote 6 y el lote 10 al lote 7.

El objetivo del Nivel 8 - Lote 11 (CR54-3-8-11) era seguir la capa gris encontrada en la Unidad CR54-4. Se observó que la capa gris fue delimitada por una alineación de piedras. Al este de las piedras se encontró la capa gris (7.5YR 7/1) arenosa mientras que la tierra café (7.5YR 4/4) arcillosa se ubicó al oeste de las piedras. El Entierro 25 se encontró incrustado en el perfil debajo de las piedras arquitectónicas al oeste de la alineación. En este lote sólo la orilla del cráneo estaba visible, ya que era necesario remover las piedras

arquitectónicas para descubrir el entierro completo. Se recuperaron 342 tiestos, tres huesos indefinidos, dos muestras de carbón y una muestra de la capa gris. El lote tuvo una profundidad de 1.65 m desde el *datum* 1.

El Nivel 9 - Lote 12 (CR54-3-9-12) consistió en tierra café (7.5YR 4/4) mezclada con la capa gris (7.5YR 7/1) y bastante piedra. El objetivo de este lote era remover la capa gris para investigar si el Entierro 24 extendía hacia la Unidad CR54-3. No se encontraron rasgos del Entierro 24 en este lote, pero se recolectaron 23 tiestos y una muestra de carbón. El lote alcanzó una profundidad de 1.75 m desde el *datum* 1.

Se removió un área de 1 m x 0.50 m de la alineación de piedras arquitectónicas en la esquina suroeste para llegar al Entierro 25 (Figura 5.16). Los lotes 13 (CR54-3-2-13 y CR54-3-3-13), 14 (CR54-3-4-14), y 15 (CR54-3-5-15) fueron parte del proceso de emparejamiento para llegar al Entierro 25 que yacía debajo de este rasgo.



Figura 5.16 Piedras arquitectónicas de la Estructura 12P-31
(Fotografía por K. Escalante)

En el Lote 13 (CR54-3-2-13 y CR54-3-3-13) se removieron las 4 piedras arquitectónicas en la esquina suroeste. El lote estaba compuesto de tierra fina y suave con color café oscuro (10YR 3/3). Se recopilaron 13 tiestos y el lote tuvo una profundidad de 1.02 m desde el *datum* 1.

El Lote 14 (CR54-3-4-14) consistió en tierra fina color café (7.5YR 4/4). Un piso midiendo 0.10 m de grosor se descubrió debajo de la alineación de piedras, aunque éste se encontró en mal estado de preservación. Se recopilaron 25 tiestos y el lote tuvo una profundidad de 1.15 m desde el *datum* 1.

La mayoría del Lote 15 (CR54-3-5-15) estaba compuesto de relleno del piso y la poca tierra entre las abundantes piedras era fina y color café (7.5YR 4/4). Se recolectaron 16 tiestos y el lote tuvo una profundidad de 1.29 m desde el *datum* 1.

El Lote 16 (CR54-3-6-16) corresponde al rasgo rocoso en las unidades 3 y 5 (CR54-5-7-7), midiendo 1.53 m x 0.90 m (Figura 5.17). Este rasgo se ubicó encima del Entierro 25 y con la eliminación de las piedras se logró observar una vasija de cerámica (CR-V085) colocada boca abajo sobre un cráneo. El lote tuvo poca tierra (color café) con bastantes piedras grandes. Se recuperaron 190 tiestos y el lote alcanzó una profundidad de 1.60 m encima de la vasija y 1.70 m en el suelo alrededor del Entierro 25 desde el *datum* 4.



Figura 5.17 Rasgo rocoso en las Unidades CR54-3 y -5
(Fotografía por K. Escalante)

El Lote 17 (CR54-3-9-17) corresponde al Entierro 25 (Figura 5.18). El contexto parece ser secundario, ya que el esqueleto no estaba articulado y se encontró solamente el cráneo y algunos huesos aislados. El Entierro 25 se ubicó en tierra fina y suave color café (7.5YR 4/4) y debajo de la fachada de la Estructura 12P-31. Una alineación de piedras separó el Entierro 24 de los Entierros 25 y 26. Un plato tipo Palmar Naranja Polícromo (CR-V085) fue colocado al revés y encima del cráneo. Se recolectaron 16 tiestos, una navaja de obsidiana, una cuenca de piedra verde, una muestra de carbón, una vasija (CR-V085) y dos bolsas de hueso humano. El Entierro 25 tuvo una profundidad de 1.70 m y se ubicó 0.47 m al norte del Entierro 26 y 0.84 m al oeste del Entierro 24. Por el tiempo limitado no se logró llegar a roca madre en la Unidad CR54-3.



Figura 5.18 Entierro 25 en la Unidad CR54-3
(Fotografía por K. Escalante)

Unidad CR54-4

La Unidad CR54-4 consistió en un pozo de 2 m x 1 m orientado norte-sur, localizado en la base de la Estructura 12P-31. La Unidad CR54-4 se ubicó al este de la Unidad CR54-3 y al norte de la Unidad CR54-5. El objetivo de la Unidad CR54-4 fue seguir los pisos que se encontraron en la Unidad CR54-3 y crear un espacio más amplio para excavar, ya que la alineación de piedras arquitectónicas en la unidad 3 causó que dicha unidad se redujera a aproximadamente 1.5 m x 0.5 m. Juntas las unidades CR54-3, -4, y -5 crearon un pozo midiendo un total de 3 m x 2 m orientado norte-sur. El Entierro 24 se encontró en las unidades CR54-4 y CR54-5, y parece estar asociado con los Entierros 25 (Unidad CR54-3) y 26 (Unidad CR54-5). Se excavaron niveles arbitrarios de 10 cm—un total de 9 niveles y 9 lotes, aunque sólo 8 niveles fueron registrados en la unidad 4 porque el Entierro 24 se registró en el lote CR54-5-9-12. La Unidad CR54-4 inició a una profundidad de 0.58 m y finalizó a una profundidad máxima de 1.76 m.

El Nivel 1 - Lote 1 (CR54-4-1-1) corresponde a la capa de humus, tierra café obscura (10YR 3/3) con raíces y caracoles terrestres. Se recuperaron 29 tiestos, una navaja de obsidiana y dos conchas. El nivel inició 0.58 cm desde el *datum* 1 y finalizó 0.80 cm desde el *datum*.

El Nivel 2 - Lote 2 (CR54-4-2-2) estaba compuesto de tierra suelta color café-amarillento oscuro (10YR 3/4) con pocas piedras. Se recolectaron 94 tiestos, una figurilla de cerámica, dos fragmentos de pedernal, una navaja de obsidiana y dos huesos de fauna. El lote tuvo una profundidad de 0.89 m desde el *datum* 1.

El Nivel 3 - Lote 3 (CR54-4-3-3) estaba compuesto de tierra suelta color café-amarillento oscuro (10YR 3/4) con varias piedras. Fragmentos grandes de estuco liso se encontraron en toda la unidad, lo que demuestra la presencia de un piso en este nivel. Se recopilaron 49 tiestos, tres fragmentos de estuco y un fragmento de metate. El lote se finalizó a una profundidad de 102 cm desde el *datum* 1.

El Nivel 4 - Lote 4 (CR54-4-4-4) corresponde al relleno del piso, ya que la tierra fina y suave color café (7.5YR 4/4) estaba mezclada con bastante piedra. Se recolectaron 46 tiestos, un fragmento de estuco, una navaja de obsidiana y un fragmento de pedernal. Este lote tuvo una profundidad de 1.17 m desde el *datum* 1.

El Nivel 5 - Lote 5 (CR54-4-5-5) consistió en relleno similar al Lote CR54-4-4-4: tierra fina y suave color café (7.5YR 4/4) mezclada con piedras medianas. Se recuperaron 74 tiestos, dos navajas de obsidiana y dos fragmentos de pedernal. Este lote alcanzó una profundidad de 1.26 m desde el *datum* 1.

Al igual que los lotes 4 CR54-4-4-4 y CR54-4-5-5, el Lote CR54-4-6-6 estaba compuesto de tierra fina color café (7.5YR 4/4) mezclada con abundante piedra. Como en el lote CR54-3-6-6, el relleno del piso parece terminar en este nivel. Se recolectaron 87 tiestos, un fragmento de hueso de fauna y un fragmento de pedernal. El lote tuvo una profundidad de 1.40 m desde el *datum* 1.

En el Nivel 7 - Lote 7 (CR54-4-7-7) se observó un cambio de suelo: la parte este estaba compuesta de tierra fina color café oscuro (10YR 3/4) mientras la mitad oeste tuvo una tierra más amarillenta (10YR 5/4), arenosa y con pedrín. Se recuperó una gran cantidad de material, incluyendo 653 tiestos, una figurilla de cerámica, tres navajas de obsidiana, dos conchas, tres fragmentos de pedernal, dos muestras de carbón y 16 huesos de fauna. El lote alcanzó una profundidad de 1.54 m desde el *datum* 1.

Debido al cambio de suelo observado en el nivel anterior, se separó el Nivel 8 en dos lotes. El Nivel 8 - Lote 8 (CR54-4-8-8) corresponde a la parte este de la unidad midiendo aproximadamente 2 m x 0.4 m. El lote estaba bastante mezclado y se observaron tres distintos tipos de tierra: gris claro (7.5YR 7/1) arenoso, café (7.5YR 5/4) arcilloso con pedrín y café (7.5YR 4/3) arcilloso con piedras medianas. Se recuperaron 123 tiestos, un fragmento de estuco, tres fragmentos de pedernal, dos navajas de obsidiana, cinco huesos de fauna y una muestra de carbón. El fragmento de estuco sugiere que había un segundo piso de estuco más antiguo que el que se observó en el nivel 4 (CR54-4-4-4). El Lote 8 tuvo una profundidad de 1.68 m desde el *datum* 1.

El Nivel 8 - Lote 9 (CR54-4-8-9) corresponde a la parte oeste de la unidad, midiendo aproximadamente 2 m x 1.60 m. Este lote consistió en una capa de tierra arenosa color gris claro (7.5 YR 7/1 - 6/2) en la mayoría de la unidad. La capa gris se extendió desde la orilla norte de la Unidad CR54-4, terminando 0.40 m de la orilla sur. En un área midiendo 0.65 m x 0.40 m se encontró la vasija CR-V084 junto con varios huesos que forman parte del entierro 24. Varias piedras grandes fueron colocadas encima de la vasija y

los huesos, lo cual dificultó la identificación de los huesos en este lote. Se recolectaron 99 tiestos, un hueso indefinido y un fragmento de pedernal; el lote alcanzó una profundidad de 1.65 m.

Aunque el Entierro 24 se encontró en ambas Unidades CR54-4 y -5, el entierro fue registrado en el lote CR54-5-9-12 para evitar confusión. Debido al tiempo limitado, no se logró llegar a la roca madre en las unidades CR54-3, -4, y -5.

Unidad CR54-5

La Unidad CR54-5 consistió en un pozo de 2 m x 1 m orientado este-oeste y localizado en la base de la Estructura 12P-31. La Unidad CR54-5 se encuentra al sur de las Unidades CR54-3 y CR54-4. El objetivo de esta unidad fue descubrir el Entierro 24 que fue encontrado en la Unidad CR54-4, además de excavar el rasgo rocoso sobre los Entierros 25 (Unidad CR54-3) y 26 (Unidad CR54-5). Juntas las unidades CR54-3, -4, y -5 crearon un pozo midiendo un total de 3 m x 2 m y orientado norte-sur. Se excavaron niveles arbitrarios de 10 cm—9 niveles y 13 lotes en total. La unidad inició con una profundidad de 0.73 m desde el *datum* 4 y finalizó con una profundidad máxima de 1.80 m desde el *datum* 4.

El Nivel 1 - Lote 1 (CR54-5-1-1) corresponde al humus, tierra café muy oscura (10YR 2/2) con bastante raíz, carbón y algunas piedras quemadas. Se recolectaron 25 tiestos y una muestra de carbón. El lote comenzó con una profundidad de 0.73 cm desde el *datum* 1 y alcanzó una profundidad de 0.88 m desde el *datum* 1.

El Nivel 2 - Lote 2 (CR54-5-2-2) contenía humus café oscuro (10YR 3/3) con raíces, bastante carbón y pocas piedras. Se recopilieron 26 tiestos, un fragmento de pedernal y una muestra de carbón. La profundidad del lote fue 0.98 cm desde el *datum* 1.

El Nivel 3 - Lote 3 (CR54-5-3-3) consistió de tierra fina y suave color café (7.5YR 4/4). Tres piedras cortadas arquitectónicas se descubrieron en la parte oeste del lote (Figura 5.19), y se recuperaron 22 tiestos, un fragmento de pedernal, una navaja de obsidiana y una muestra de carbón. El lote tuvo una profundidad de 1.08 m desde el *datum* 1.



Figura 5.19 Piedras cortadas en la parte oeste de la Unidad CR54-5
(Fotografía por K. Escalante)

El Nivel 4 - Lote 4 (CR54-5-4-4) estaba compuesto por tierra café (7.5YR4/3) mezclada con tierra café oscura (7.5YR 3/2). Similar al Nivel 3 - Lote 3 (CR54-5-3-3), el principio del lote tuvo bastantes raíces y pocas piedras. El suelo fue cambiando conforme la profundidad hasta que se observaron fragmentos de estuco entre las piedras del relleno. Aunque el piso estaba mal conservado, se pudo definir una profundidad de 1.17 m desde el *datum* 4. Se recolectaron 45 tiestos y tres fragmentos de pedernal. El lote tuvo una profundidad de 1.19 m desde el *datum* 4.

El Nivel 5 - Lote 5 (CR54-5-5-5) consistió en relleno del piso, tierra arcillosa color café (7.5YR 4/4) con piedras medianas. Se recopilieron 101 tiestos y una navaja de obsidiana. El nivel alcanzó una profundidad de 1.31 m desde el *datum* 4.

El Nivel 6 - Lote 6 (CR54-5-6-6) estaba compuesto de tierra café arcillosa (7.5YR 4/3) con piedras pequeñas y medianas. El relleno del piso parece terminar en este nivel. Se recuperaron 292 tiestos, dos fragmentos de pedernal, una lítica indefinida y una muestra de carbón. La profundidad del lote fue 1.42 m desde el *datum* 4.

El suelo del Nivel 7 - Lote 7 (CR54-5-7-7) consistió en tierra café (7.5YR 4/4) con bastante piedra. Además de 223 tiestos y una muestra de carbón, dos fragmentos de estuco fueron recolectados, posiblemente indicando la presencia de un piso a esta profundidad. El lote alcanzó una profundidad de 1.58 m desde el *datum* 4.

Rasgos deteriorados de un piso estucado continuaron a aparecer en Nivel 8 - Lote 8 (CR54-5-8-8), especialmente en la esquina sureste (Figura 5.20). La tierra en este lote era fina y color café (7.5YR 4/4) mezclado con rasgos de la capa gris (7.5 YR 7/1), principalmente en la esquina noreste. Se recuperaron 178 tiestos, tres fragmentos de pedernal, una navaja de obsidiana, dos fragmentos de estuco y un hueso indefinido. El lote tuvo una profundidad de 1.63 m desde el *datum* 4.

El Nivel 9 - Lote 9 (CR54-5-9-9) corresponde a la orilla este de la unidad y tuvo un área de aproximadamente 1 m x 0.5 m. Como en el Lote CR54-5-8-8, la tierra en este nivel era color café mezclado con rasgos sutiles de la capa gris y bastantes piedras. Esta área está directamente al este del Entierro 24 y se quería determinar si el entierro se extendía hacia este lote. No se encontraron rasgos obvios del Entierro 24, pero sí se encontró un hueso aislado incrustado en el perfil de la esquina sureste. Se recopilaron 136 tiestos, una figurilla de cerámica, un fragmento de pedernal, un hueso indefinido, una semilla quemada y una muestra de carbón. El lote llegó a una profundidad de 1.71 m del *datum* 4.

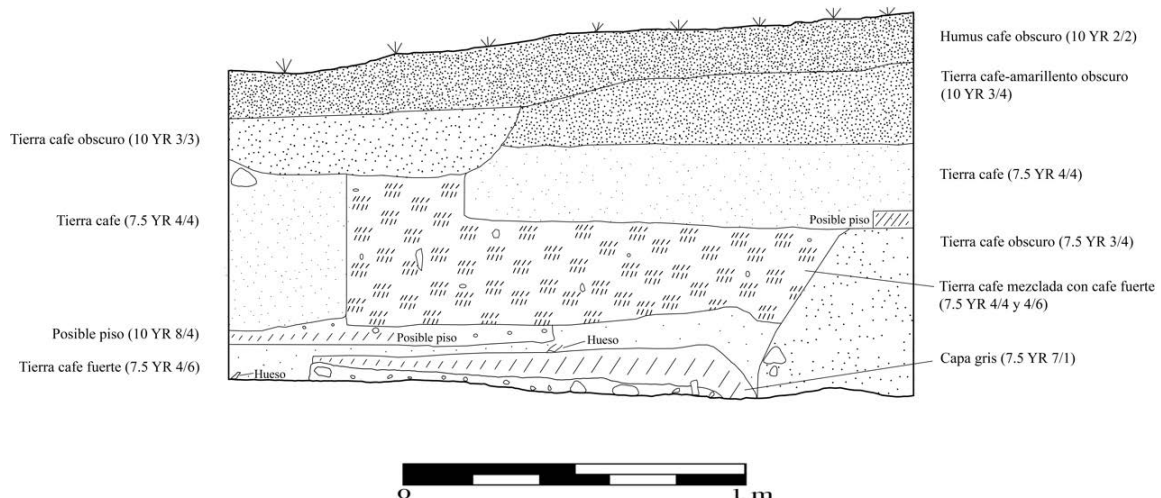


Figura 5.20 Perfil Sur de la Unidad CR54-5
(Dibujo y digitalización por K. Escalante)

El Nivel 9 - Lote 10 (CR54-5-9-10) era de aproximadamente 1 m x 1 m en el centro de la unidad, con el Lote CR54-5-9-9 al este y Lote CR54-5-9-11 al oeste. El suelo estaba compuesto por tierra fina y suave color café (7.5YR 4/4) con una gran cantidad de piedras. El Lote CR54-5-9-10 estaba directamente encima del Entierro 24 y justo al sur del Lote CR54-4-8-9, donde se observaron los primeros rasgos del entierro. Ya que el Entierro 24 se encontró en las unidades 4 y 5, este lote corresponde al estrato encima del entierro en ambas unidades. Además del Entierro 24, se observó un hueso incrustado en el perfil sur, pero no fue posible determinar si formaba parte del mismo entierro. Se recuperaron 219 tiestos, dos navajas de obsidiana, 18 fragmentos de hueso humano, dos conchas, una muestra de carbón y una lítica. Tuvo una profundidad de 1.70 m desde el *datum* 4.

El Nivel 9 - Lote 11 (CR54-5-9-11) corresponde al área oeste del Entierro 24, midiendo 1 m x 0.5 m. El suelo consistió de tierra suave color café (7.5YR 4/4) mezclada con rasgos de la capa gris (7.5YR 7/1). El Entierro 26 se encontró en la parte norte del lote debajo de la capa gris. Además, huesos aislados se observaron en la esquina suroeste de la Unidad CR54-5. Se notó que el Entierro 26 estaba en tierra suelta y arenosa color café (7.5YR 4/4), mientras que los huesos aislados estaban en tierra más oscura (7.5YR 5/4) y arcillosa. Se recopilaron 213 tiestos, 5 fragmentos de hueso humano y 6 conchas, alcanzó una profundidad de 1.70 m del *datum* 4.

El Nivel 9 - Lote 12 (CR54-5-9-12) corresponde al Entierro 24 (Figura 5.21), un individuo extendido midiendo 1.55 m x 0.47 m y orientado aproximadamente 10° norte-sur. El contexto es primario y se ubicó frente de la Estructura 12P-32, probablemente en lo que era la plaza, separado de los Entierros 25 y 26 por una alineación de piedras. Además, piedras fueron colocadas encima del individuo en el momento de entierro, causando que los huesos y la vasija se incrustaran en las rocas. Una vasija entera (CR-V084) estaba colocada en el lado derecho superior del torso, encima del húmero derecho y varias costillas y vertebras. La vasija es un plato matado tipo Infierno Negro del Clásico Tardío. El entierro se encontró fragmentado y en mal estado de preservación, posiblemente debido a la gran cantidad de piedras que se encontraron entre los huesos. Se recolectaron 47 tiestos, 3 muestras de carbón, 7 muestras de tierra, la vasija CR-V084 y 85 bolsas de hueso humano. El Entierro 24 se encontró 1.75-1.80 m del *datum* 4, 0.84 m al este del Entierro 25 y 0.65 m al este del Entierro 26.



Figura 5.21 Entierro 24, 25, y 26
(Fotografía por K. Escalante)

El Nivel 9 - Lote 13 (CR54-5-9-13) corresponde al Entierro 26 (Figura 5.22). El individuo parece estar extendido, pero la mayoría del entierro se encuentra hacia el oeste de la unidad; sólo el cráneo, algunas costillas, y los extremos proximales de los húmeros eran visibles en un área de aproximadamente 32 cm x 21 cm. Debido al tamaño y grosor de los huesos, es posible que el individuo era un sub-adulto. Sin embargo, no se ha confirmado la edad ni el sexo, ya que no se recolectó el esqueleto. Una vasija entera (CR-V083) estaba colocada boca abajo encima del cráneo. La vasija es un plato matado tipo Palmar Naranja Polícromo del Clásico Tardío. Se recuperaron 47 tiestos, dos muestras de carbón, una vasija y dos bolsas de hueso humano. Aunque el entierro no fue levantado, los huesos que se encontraron al cernir fueron recolectados. El Entierro 26 se encuentra a una profundidad de 1.70 m del *datum* 4, 0.65 m al oeste del Entierro 24 y 0.47 m al sur del Entierro 25.



Figura 5.22 Entierro 26 en la Unidad CR54-5
(Fotografía por K. Escalante)

Unidad CR54-6

Esta unidad se excavó de manera arbitraria con niveles de 0.10 m con el objetivo de obtener una cronología más refinada del Grupo Tortugas. Dicha unidad fue de 1 x 2 m con orientación 360° azimut. Consistió en su totalidad de 10 niveles arbitrarios y 10 lotes distribuidos en cinco estratos, alcanzando una profundidad máxima de 2 m desde el *datum* 1, en donde se destacaba roca madre.

Nivel 1 – Lote 1 (CR54-6-1-1) Este lote consistió en el humus de color café oscuro (10 YR 2/1). No se recolectó ningún tipo de material. Alcanzó una profundidad máxima de 0.98 m debajo del *datum* 1.

Nivel 2 – Lote 2 (CR54-6-2-2) Este lote consistió de tierra color café oscura 7.5 Y/R 3/2 semi compacta y semi arcillosa. Se recuperaron 148 fragmentos cerámicos. Alcanzó una profundidad de máxima de 1.02 m debajo del *datum* 1.

Nivel 3 – Lote 3 (CR54-6-2-2) Tierra color café rojizo (10 YR 3/6) compacta y bastante arcillosa difícil de trabajar. La cantidad de material aumentó considerablemente recolectando 251 fragmentos cerámicos y un hacha de piedra verde. Entre este lote se determinó un posible Gris Fino. Este lote alcanzó una profundidad de 1.14 m debajo del *datum* 1.

Nivel 4 – Lote 4 (CR54-6-4-4) Este lote se caracterizó por presentar rasgos de un posible piso erosionado a una profundidad de 1.17 m debajo del *datum* 1. El suelo removido fue una mezcla de pedrín de piedra pequeña y mediana y el color del sedimento fue de 7.5 YR 4/6. Alcanzó una profundidad de 1.26 m debajo del *datum* 1.

Nivel 5 – Lote 5 (CR54-6-5-5) El suelo siguió siendo el mismo presentado anteriormente en el nivel 4: una mezcla de pedrín; sin embargo en este nivel aumentó el tamaño de las piedras medianas y se evidenció una alineación de piedras en la sección sur de la unidad. Alcanzó una profundidad máxima de 1.38 m debajo del *datum* 1 y se recolectaron 62 fragmentos de cerámica.

Nivel 6 – Lote 6 (CR54-6-6-6) El suelo continuó siendo la misma matriz 7.5 YR 4/6 de tierra compacta y mezcla de pedrín. Se recolectaron únicamente 2 fragmentos de cerámica. El límite inferior de este nivel presentó fragmentos deteriorados de un piso gris. Alcanzó una profundidad máxima de 1.57 m debajo del *datum* 1.

Nivel 7 – Lote 7 (CR54-6-7-7) Único nivel que se dividió por presentar un piso claro. Este piso se localizó a una profundidad entre 1.57 y 1.60 m debajo del *datum* 1. No se recuperó material a este nivel.

Nivel 8 – Lote 8 (CR54-6-8-8) A partir de este nivel únicamente se excavó la sección norte de la unidad, dejando en evidencia clara la nivelación del piso gris presentado en el nivel anterior. Se alcanzó una profundidad de 1.67 m debajo del *datum* 1 y se recolectaron 6 fragmentos cerámicos. La matriz estaba compuesta de tierra arcillosa color café rojizo (5 YR 3/4) semi compacta mezclada con poca piedra.

Nivel 9 – Lote 9 (CR54-6-9-9) Este nivel consistió en un sedimento compacto de barro color café rojizo (5 YR 3/4) difícil de trabajar. No se recolectó material a este nivel, alcanzando una profundidad máxima de 1.76 m debajo del *datum* 1. No se recolectó ningún tipo de material.

Nivel 10 – Lote 10 (CR54-6-10-10) Este nivel estuvo compuesto tanto por el estrato de tierra presentado anteriormente (sedimento compacto de barro color café rojizo 5YR 3/4) y roca madre. Alcanzó una profundidad de 2 m por debajo del *datum* 1. No se recolectó material.

Unidad CR54-7: Contexto Estela lisa

La Unidad CR54-7 se trazó de 2 x 2 m, orientada 210° azimut y abarcando el perímetro de la estela lisa. Un análisis químico definió que la materia prima del cual es la estela es anhídrita (yeso), lo cual es muy inusual para ese tipo de monumento. Se excavaron 6 niveles y 9 lotes.

Nivel 1 – Lote 1 (CR54-7-1-1) Consistió del humus color café oscuro (10 YR 2/1). Se recolectaron 7 fragmentos de cerámica y se removió el fragmento de estela caído frente a su base aún *in situ*.

Nivel 2 – Lote 2 y Lote 3 (CR54-7-2-2 y -3) A partir del nivel 2 se excavó únicamente la sección norte de la unidad, es decir la parte inmediata frente a la estela lisa. Se separó en dos lotes, dividiendo la tierra directamente por debajo del fragmento de estela removido y la tierra perteneciente al segundo nivel arbitrario. Del Lote 2 se recolectó un fragmento de cerámica y del Lote 3 se recuperaron 5 fragmentos de cerámica, cuando la matriz cambió a café amarillenta 7.5 YR 3/6, de consistencia compacta con piedra mediana irregular. Alcanzó una profundidad de 1.12 m desde el *datum 2*.

Nivel 3 – Lote 4 y Lote 5 (CR54-7-3-4 y -5) Este nivel constó en la remoción de las piedras colocadas irregularmente frente a un pequeño muro que sostenía la estela lisa. Se dividió en dos lotes, el lote CR54-7-3-4 alcanzó una profundidad de 1.33 m por debajo del *datum 2* y se recolectaron 5 fragmentos de cerámica; del lote CR54-7-3-5 se recolectaron 8 fragmentos de cerámica. En este nivel se identificó un posible piso sumamente erosionado que alcanzó una profundidad máxima de 1.46 m por debajo del *datum 2*.

Nivel 4 – Lote 6 (CR54-7-4-6) Este lote consistió de una tierra café amarillenta (7.5 YR 4/6) de consistencia semi-arenosa con muy poco material. Se recolectaron 3 fragmentos de cerámica y se alcanzó una profundidad de 1.57 m por debajo del *datum 2*.

Nivel 5 – Lote 7 y Lote 8 (CR54-7-5-7 y -8) Se decidió establecer este nivel debido a la identificación de una acumulación de piedras medianas irregulares hacia el oeste de la unidad, frente a la estela lisa. Del Lote CR54-7-5-7, que corresponde la sección este de la unidad, se recolectaron 3 fragmentos de cerámica. Del Lote CR54-7-5-8, correspondiente a la sección oeste de la unidad se recolectaron 10 fragmentos cerámicos. El conjunto de piedras se encontraba a profundidades entre 1.57 y 1.60 m por debajo del *datum 2*. Tras la

remoción de dichas piedras se destacó la presencia de una vasija entera y un hueso humano, por lo que se creó el siguiente nivel y Lote CR54-7-6-9.

Nivel 6 – Lote 9 (CR54-7-6-9), Dicho nivel corresponde al contexto específico del Entierro 27. El suelo consistía en un barro altamente húmedo de color café rojizo con una mezcla de piedrín blanco.



Figura 5.23 Unidades CR54-7 y CR54-8 mostrando contexto de Entierro 27, Lote CR547-6-9 (Fotografía por M. López)

Unidad CR54-8: Contexto Estela lisa

La Unidad CR54-8 se trazó con el fin de definir mejor el rasgo de piedras ubicadas dentro del Nivel 5 de la Unidad CR54-7. Las dimensiones de la unidad corresponden a 1 x 2 m orientadas 210° azimut. En su totalidad se definieron 5 niveles y 6 lotes.

Nivel 1 – Lote 1 (CR54-8-1-1) Este lote consistió en el humus de color café oscuro (10 YR 2/1). Se recolectó material cerámico (6 tiestos). Alcanzó una profundidad máxima de 1.13 m debajo del *datum* 2.

Nivel 2 – Lote 2 (CR54-8-2-2) Este lote consistió de una matriz más clara de color café (10 YR 2/6). Se recolectó material cerámico (5 tiestos). Alcanzó una profundidad máxima de 1.20 m debajo del *datum* 2.

Nivel 3 – Lote 3 (CR54-8-3-3) Este lote consistió de una matriz color café amarillenta (10 YR 4/6) de consistencia semi suelta con piedrín. La frecuencia cerámica aumentó recolectando 28 fragmentos cerámicos. Alcanzó una profundidad máxima de 1.29 m debajo del *datum* 2.

Nivel 4 – Lote 4 (CR54-8-4-4) Se determinó a este nivel el piso gris ubicado en las unidades CR54-3, -4, -5 y -6. Este piso se ubica a 1.63 m por debajo del *datum* 1. Se recolectó a este nivel únicamente 7 fragmentos de cerámica.

Nivel 5 – Lote 5 y Lote 6 (CR54-8-5-5 y -6), consistió de una matriz color café amarillenta (10YR 4/6) con abundante piedra irregular mediana y pequeña tras la remoción el piso gris. Se recolectó a este nivel una muestra de tierra, una muestra de carbón y 68 tiestos cerámicos.

Entierro 27

El Entierro 27 (Figura 5.24 y 5.25) estaba a una profundidad de 1.76 m desde el *datum* 2. Dicho entierro consistía de un individuo, posiblemente adulto, con la cabeza orientada hacia el sur. Se infiere que el entierro era de contexto primario ya que todos los huesos se encontraban articulados en una posición flexionada. Asociado al entierro estaban dos vasijas cerámicas. Sobre el cráneo, a manera de cubrirlo, se encontraba la Vasija 1 (CR-V86) (Figura 5.26), y al lado oeste entre la sección media del cuerpo se encontraba la Vasija 2 (CR-V87) (Figura 5.26). Se recuperó la tierra que se localizaba dentro de la Vasija 2, confines de análisis posterior, al igual que una muestra de tierra por debajo de los huesos largos del entierro. El detalle de análisis cerámico se encuentra dentro de este volumen en el capítulo realizado por C. Parris (Capítulo 10, ver este informe).



Figura 5.24 Entierro 27
(Fotografía por M. López)

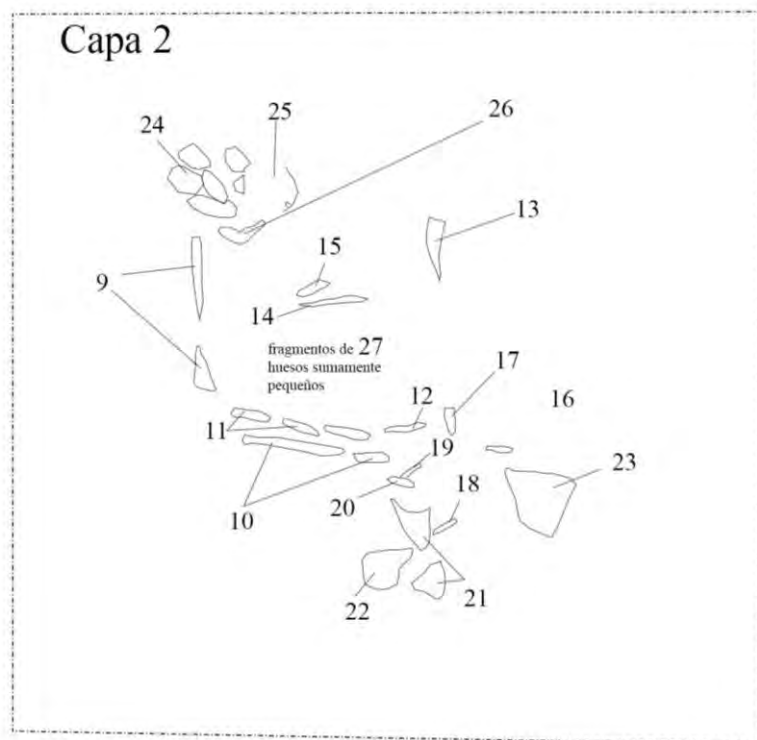
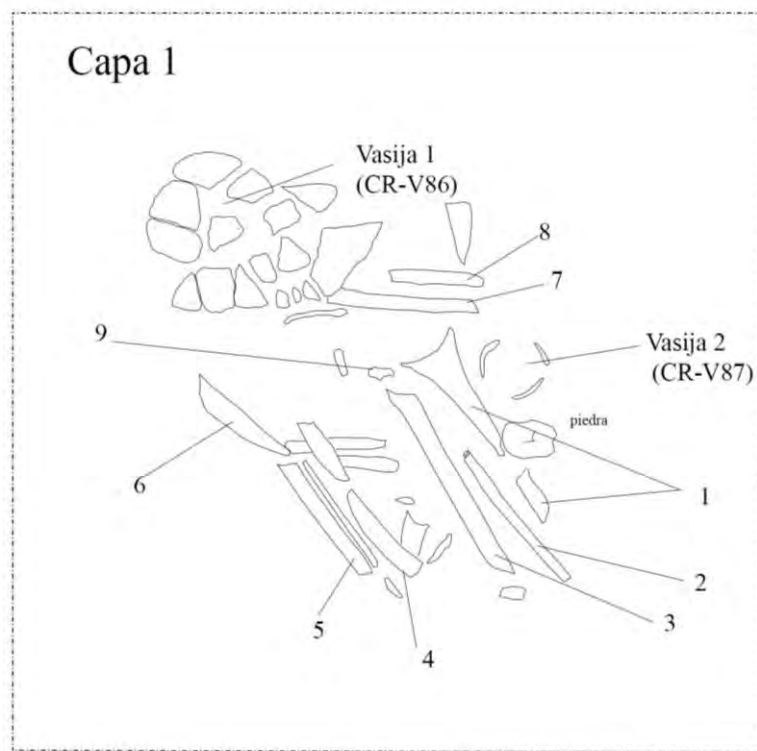


Figura 5.25 Dibujo del Entierro 27
(Dibujo por M. López)

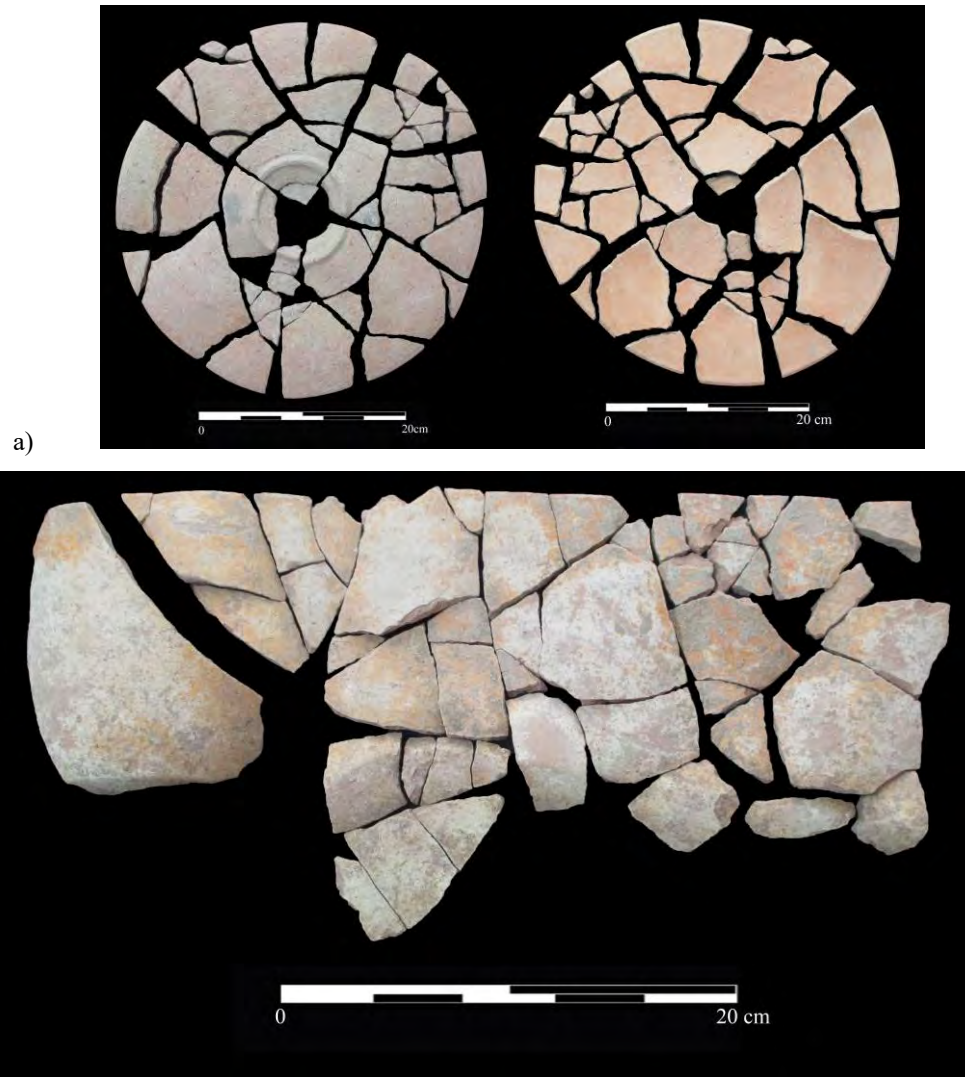


Figura 5.26 Ofrenda del Entierro 27. A) Vasija CR-V86 y B) CRV-87
(Fotografía por C. Parris)

Comentarios finales

Las investigaciones hasta el momento detallan que el Grupo Tortuga fue construido sobre roca madre nivelada a través de un estrato de barro compacto a lo largo de toda la plaza. La mayoría de los pisos se encontraron en un mal estado de conservación. No obstante, las excavaciones de la Temporada 2018 indican que la plaza del Grupo Tortugas tenía 3 pisos distintos. La profundidad del primer piso era 1.15 - 1.17 m desde el *datum* 1 (Nivel 4); el segundo piso se encontró en una profundidad aproximada de 1.55 m del *datum* 4 (Nivel 7); y el tercer piso estaba 1.67 m de profundidad del *datum* 4 (Nivel 8). Además de estos pisos, se observó una capa gris, posiblemente compuesta de ceniza, con un grosor de 10 cm en los niveles 8 y 9. Esta capa estaba presente en las Unidades CR54-3, -4, -5 y -6 aunque en muchas áreas estaba bastante deteriorada o mezclada con el suelo café. Debido a la ubicación de los entierros encima o entre la capa gris, es evidente que este estrato está asociado con los entierros 24, 25, y 26. Es más, la capa gris, los tres entierros y los huesos aislados en el perfil sur parecen ser parte de un solo evento.

La temporalidad de los entierros fue determinada a través del análisis cerámico de Caroline Parris. Su análisis indicó que la temporalidad de las vasijas CR-V083 (Entierro 26), CR-V084 (Entierro 24) y CR-V085 (Entierro 25) caen dentro del Clásico Tardío. Las vasijas CR-V083 y CR-V085 son parte del Tipo Palmar Naranja Polícromo mientras CR-V084 es del Tipo Infierno Negro. Por lo tanto, es probable que el período ocupacional del grupo también cae dentro del Clásico Tardío debido a la posición estratigráfica de los pisos encima de los tres entierros.

Adicional a estos entierros, se ubicó el Entierro 27 frente a la Estela Lisa del grupo. Este entierro, a manera de ofrenda, se colocó como dedicatorio a la estela y muy posiblemente como una ofrenda dedicatoria a la fundación de este grupo, pues una las vasijas cerámicas corresponde al Tipo Águila Naranja (CR-V86) lo cual corresponde al Clásico Temprano. Sin embargo, el material asociado y la cantidad de material recuperada permiten definir hasta el momento una ocupación fuerte del grupo durante el Clásico Tardío, correspondientes al Complejo *Waay* con la presencia de algunos tipos diagnósticos como Pedregal Modelado, así como la presencia de Chablekal en la plaza.

En su conjunto, (1) el rasgo identificado en la plaza, definido por la presencia de una capa gris, probamente debido a alta cantidad de ceniza, (2) los entierros 24, 25 y 26

ubicados en asociación con esta misma capa gris, (3) la particularidad del material de la estela lisa ubicada en la frente a la Estructura 12P-29 junto con el entierro dedicatorio (Entierro 27), (4) el acceso directo a la única calzada del sitio La Corona, definida por ser un punto de ingreso claro al epicentro del sitio y a su vez la particularidad de una estructura ubicado al extremo del Parapeto Oeste del lado de este grupo definida por una figura de estuco modelado y una ofrenda compuesta por tres incensarios cerámicos (López 2018) sugieren que las actividades en el Grupo Tortugas fueron mayoritariamente rituales o ceremoniales. Esto probablemente sea un reflejo de la importancia del grupo, el cual parece presentar habitantes de alto estatus en relación al resto del sitio.

Es necesario destacar que este análisis aún se encuentra en proceso y al momento solo se ha analizado materiales provenientes de los saqueos y las vasijas provenientes de las ofrendas de los cuatro entierros excavados esta temporada. Aún es necesario el análisis de los contextos controlados, es decir de las unidades de la Operación 54 y las unidades CR55A-4 y -5. Se espera a su vez, regresar a definir el rasgo particular de los entierros frente a la Estructura 12P-31.

INVESTIGACIONES ARQUEOLÓGICAS EN EL JOBILLO, TEMPORADA 2018

Jocelyne Ponce y Francisco J. Pérez

Introducción

El Jobillo es un conjunto arquitectónico ubicado 3 km al noroeste de la Plaza Principal de La Corona, asentado en un área elevada rodeada de arroyos estacionales. Está conformado por alrededor de 30 estructuras organizadas en siete plazas cerradas o parcialmente abiertas (Figura 6.1). La mayoría de las estructuras son plataformas bajas que probablemente tuvieron funciones residenciales. El conjunto también posee una estructura piramidal en el centro que fue utilizada para propósitos ceremoniales. La visita inicial al sitio se realizó en 2010 por personal del PRALC (Guzmán 2011) y en 2011 se realizó un mapa preliminar y recolección de material de superficie (Guzmán 2012). Posteriormente se excavó un *chultun* cerca del Grupo D, que resultó en el hallazgo de algunos restos paleobotánicos macrobotánicos (Cagnato 2013, 2016).

En 2016 se realizaron pozos de sondeo en el centro de cuatro plazas, correspondientes a los grupos A, B, C y F, al igual que la limpieza y documentación de cuatro saqueos recientes (Ponce 2017). Esto permitió afirmar que El Jobillo fue construido sobre un área elevada naturalmente y fue ocupado entre el Preclásico Tardío (250 a.C.- 250 d.C.) y finales del Clásico Tardío (600 d.C.->760 d.C.). Por su parte, las excavaciones realizadas en 2017 tuvieron el objetivo de refinar la cronología de El Jobillo y se enfocaron en las estructuras 7M-1 y 7M-2 del Grupo F, la Estructura 8M-1 del Grupo D y las periferias del Grupo A (Ponce 2018). Los resultados indicaron que El Jobillo no fue construido en un solo programa arquitectónico; el asentamiento creció a través del tiempo y no todos los grupos fueron habitados a la vez. El Grupo A fue ocupado durante el Clásico Temprano y Tardío, el Grupo F fue abandonado durante el Clásico Temprano, mientras que el Grupo B fue utilizado principalmente durante el Clásico Tardío. Aunque la evidencia sugiere una ocupación significativa para el Clásico Temprano, El Jobillo parece haber sido habitado principalmente durante el Clásico Tardío. Además, las investigaciones en la Estructura 8M-1 mostraron un cambio diacrónico significativo en materiales y calidad

constructiva como reflejo de cambios sociales locales y posiblemente regionales durante el Clásico Tardío.

En la Temporada 2018 las excavaciones tuvieron el objetivo de continuar investigando la manera en que cambió el asentamiento a través del tiempo en términos de distribución espacial y acceso a recursos materiales. Para comprender la naturaleza y razones de estos cambios, las excavaciones se enfocaron en comprender la secuencia constructiva de la Estructura 8M-1 en el Grupo D. Además, se realizaron pruebas de pala en las periferias de los Grupos A y B a manera de sondeo para identificar áreas de deposición de desechos. Por último, se realizó una prueba de pala en la orilla de la aguada del Grupo E con el objetivo de investigar si era usada regularmente. Los pozos fueron de distintas dimensiones y las excavaciones fueron estratigráficas verticales y horizontales, enfocadas en identificar estratos naturales y culturales. A continuación se presentan los resultados de excavación de arquitectura monumental en el Grupo D, seguido por las investigaciones en los grupos A, B y E. Al final de este capítulo se encuentra una tabla con los materiales recuperados por contexto.

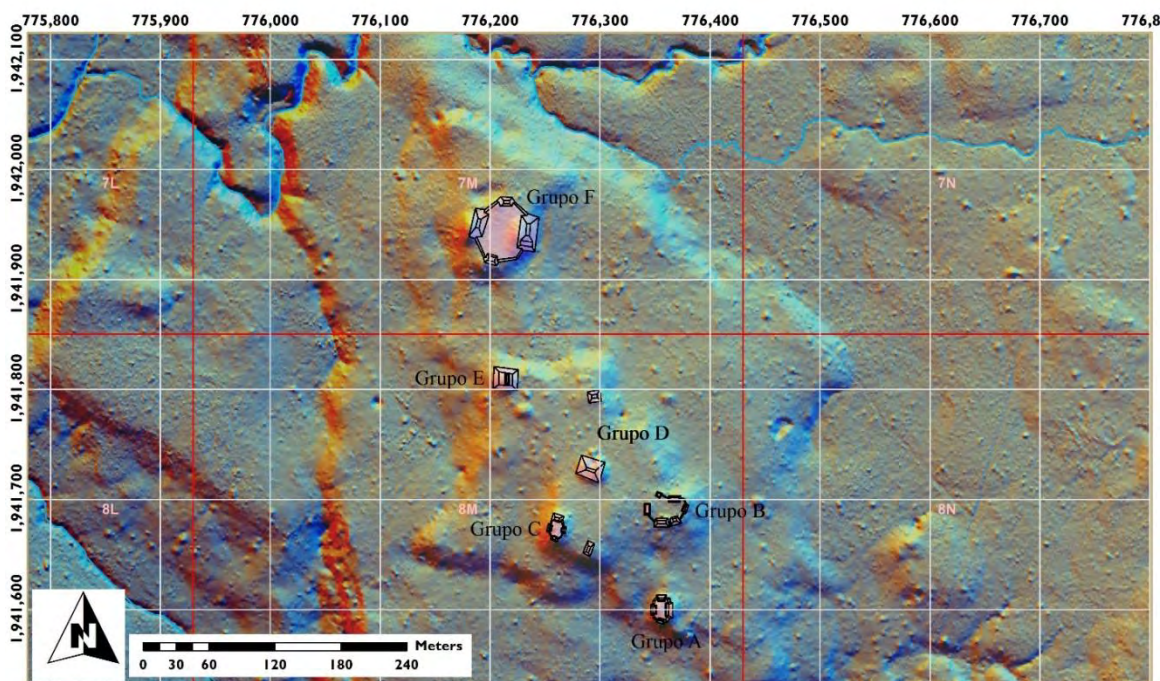


Figura 6.1 Imagen LIDAR con mapa de El Jobillo sobrepuesto (Mapa por M. Canuto)

Operación JOB16: Excavaciones en la Estructura 8M-1 del Grupo D

Suboperación JOB16C: Excavaciones en la Parte Superior de la Estructura 8M-1

La Estructura 8M-1 es un edificio piramidal de aproximadamente 27 m de largo (N-S) y 7 m de altura que se encuentra localizada en el Grupo D (Figura 6.2). Esta estructura es única en El Jobillo por su forma, dimensiones y ubicación céntrica. La evidencia arquitectónica y material encontrada hasta el momento sugiere que el edificio probablemente tuvo funciones rituales y ceremoniales. Las excavaciones de la Suboperación JOB16C se concentraron en explorar los rasgos arquitectónicos de la superestructura y sus modificaciones a través del tiempo (Figura 6.3). Para ello se continuaron las excavaciones de las unidades JOB16C-1 y JOB16C-2 comenzadas en 2017. La Unidad JOB16C-1 midió 3 m (N-S) x 3 m (E-O) y la Unidad JOB16C-2 fue de 2 m (N-S) x 2.5 m (E-O) (Figura 6.4). Adicionalmente, se excavó la Unidad JOB16C-3 de 2 x 2 m. Las excavaciones de la Suboperación JOB16C resultaron en una mejor comprensión de los estilos arquitectónicos de la etapa más tardía del edificio y las modificaciones realizadas a lo largo de esa fase, la cual está fechada con cerámica para el Clásico Tardío.

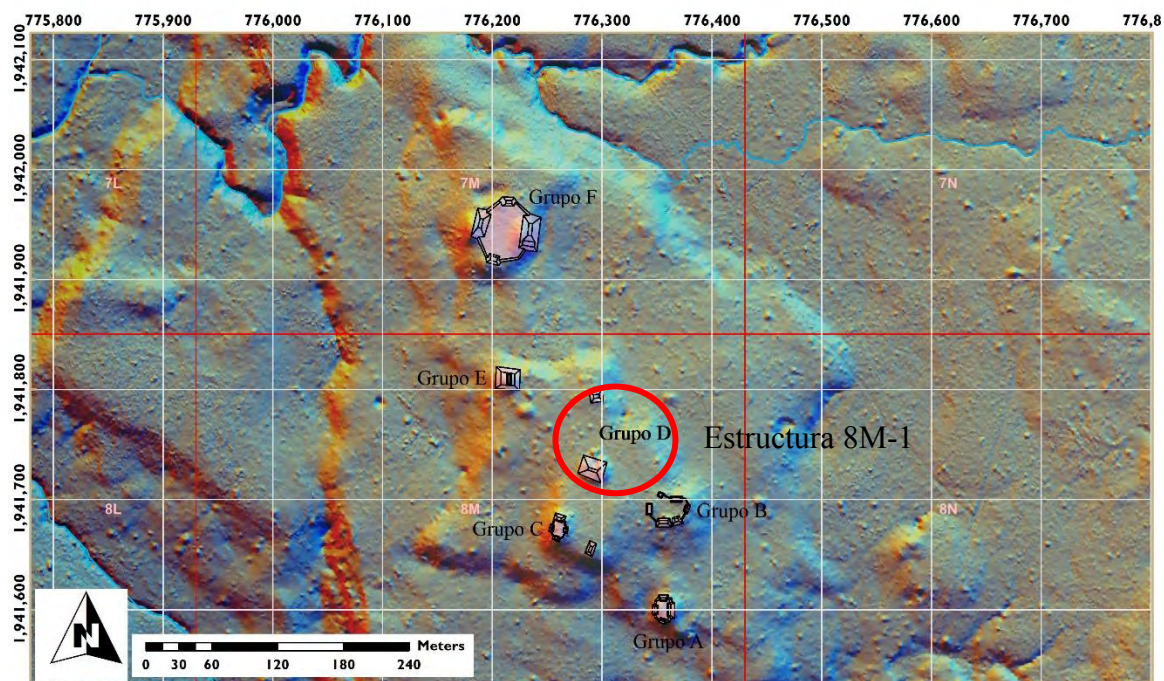


Figura 6.2 Ubicación de la Estructura 8M-1 (Mapa por M. Canuto)

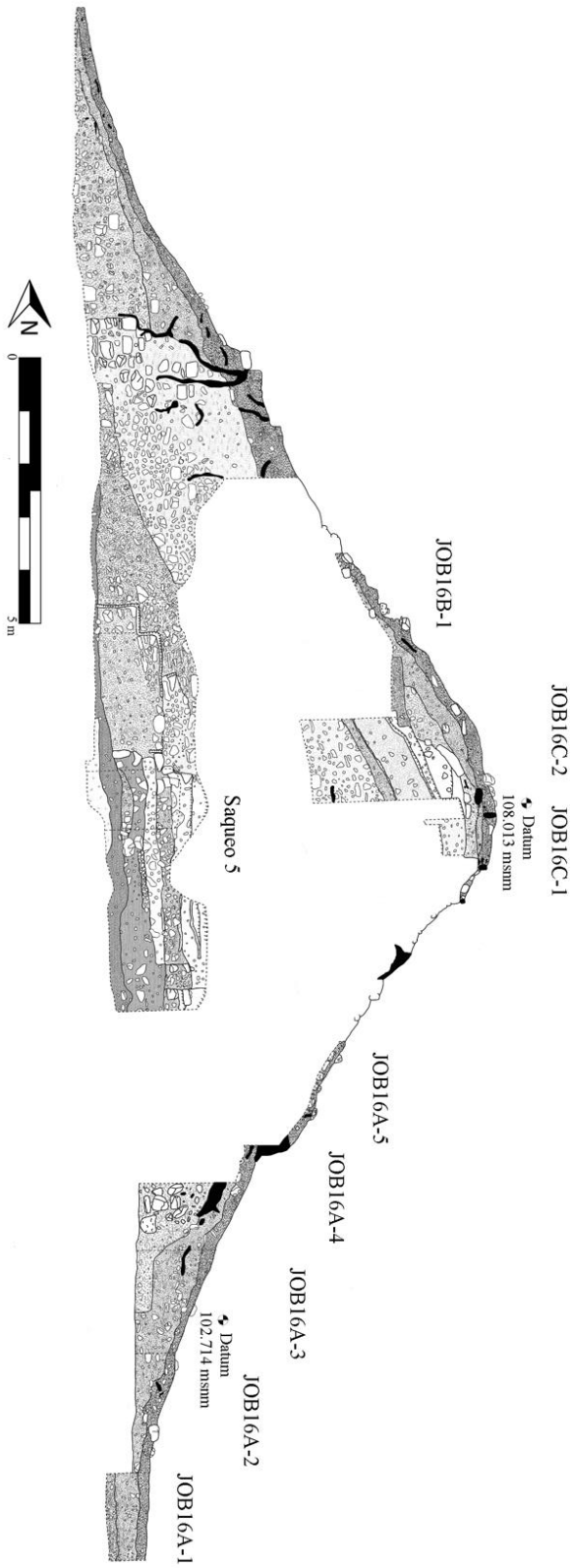


Figura 6.3 Perfil Sección Este-Oeste de la Estructura 8M-1 mostrando unidades excavadas en 2017 y 2018
(Dibujo por J. Ponce)

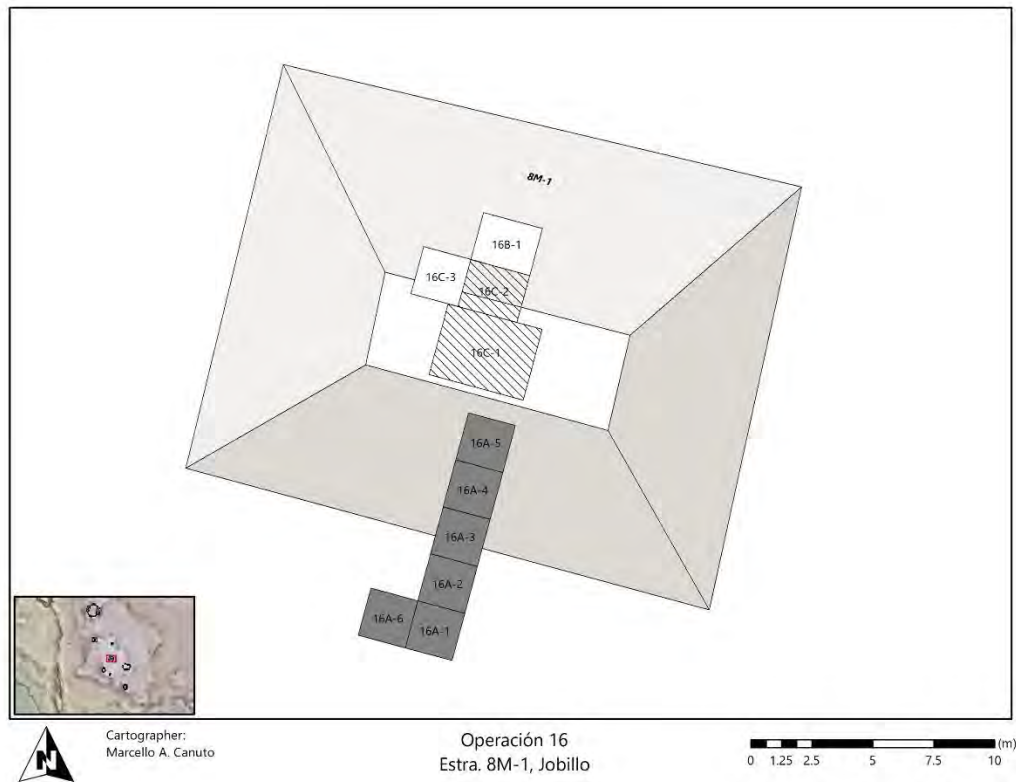


Figura 6.4 Ubicación de las unidades excavadas en la Estructura 8M-1 en 2017 y 2018, Operación JOB16 (Mapa por M. Canuto)

Unidad JOB16C-1

En esta unidad se excavaron dos niveles y seis lotes esta temporada, con un total de seis niveles y once lotes identificados entre 2017 y 2018. Las investigaciones se continuaron en un área de solamente 3 x 3 m y se alcanzó una profundidad máxima de 1.24 m desde la superficie (Figuras 6.5 y 6.6). La temporada pasada se había identificado un rasgo estucado que posiblemente representa una banqueta o escalón de 0.34 m de altura, cuya superficie se encontró inclinada hacia el lado norte (Ponce 2017: 292-296). Las excavaciones de este año se enfocaron en comprender mejor éste y otros rasgos arquitectónicos de la superestructura y las modificaciones que sufrieron a través del tiempo.

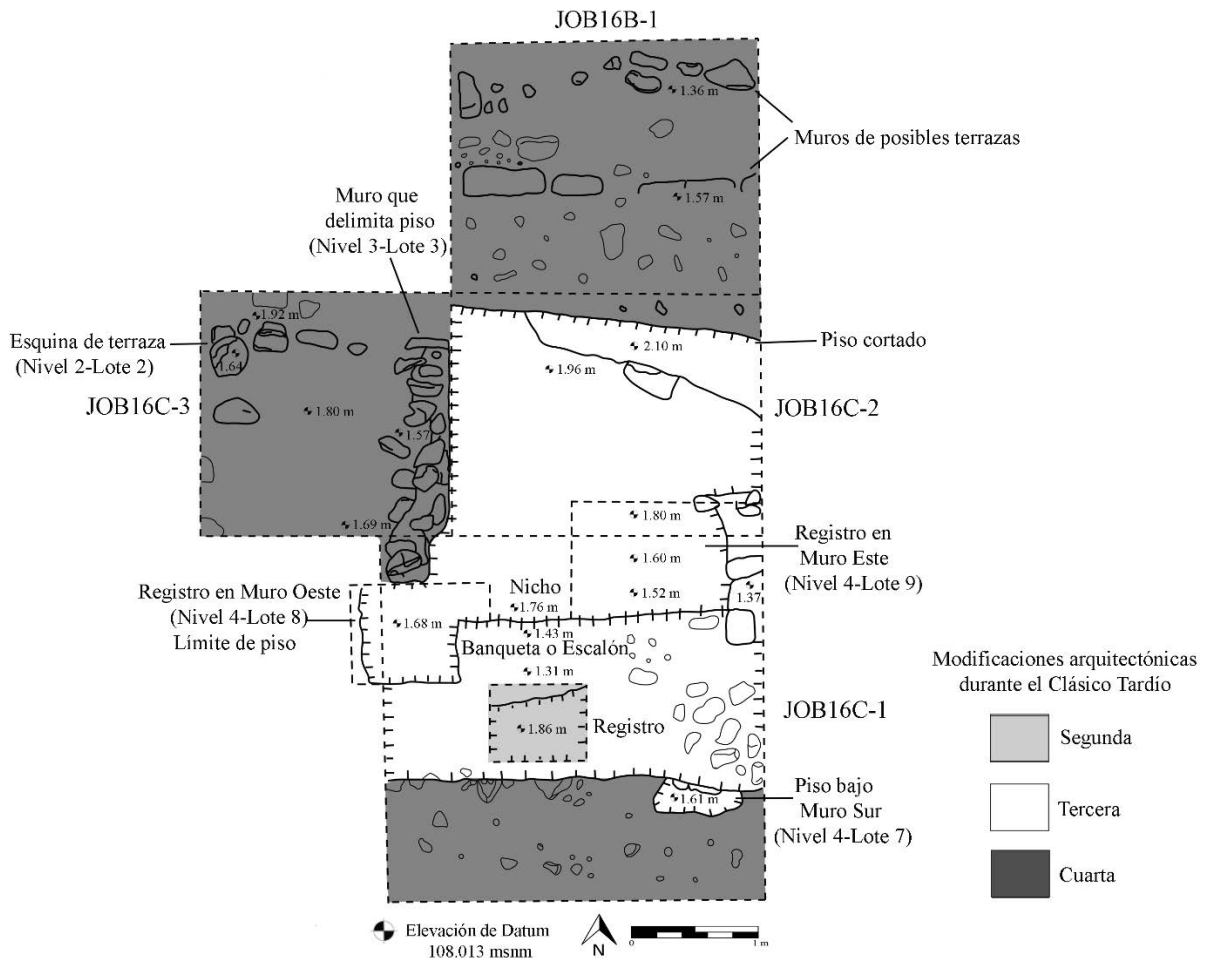


Figura 6.5 Planta de rasgos identificados en la superestructura de la Estructura 8M-1 mostrando modificaciones realizadas a lo largo del Clásico Tardío (Dibujo por J. Ponce)

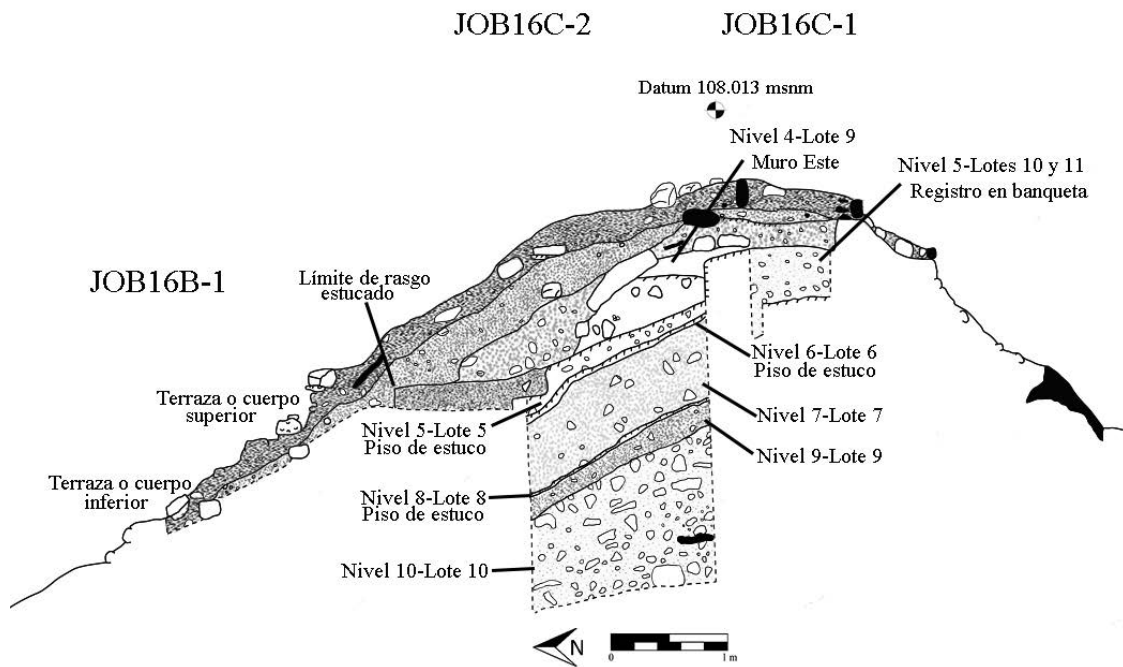


Figura 6.6 Detalle del Perfil Este de las unidades de las suboperaciones JOB16B y JOB16C en la superestructura de la Estructura 8M-1 (Dibujo por J. Ponce)

Las excavaciones comenzaron removiendo el Muro Sur de la última etapa de la superestructura. Un segmento ya se había removido en 2017 como parte del Nivel 2-Lote 3 (JOB16C-1-2-3), pero la excavación se profundizó este año con el objetivo de determinar si el rasgo estucado tenía una fachada simétrica en el lado sur. Por lo tanto, esta excavación se realizó en el sur de la unidad en un área de 3 m (E-O) x 1 m (N-S). Al relleno debajo del Muro Sur se le asignó el Nivel 4-Lote 6 (JOB16C-1-4-6), el cual constó de tierra café suelta mezclada con pedrín. Debajo del mismo se identificó un piso de estuco poroso y fragmentado que posiblemente funcionó como base para la construcción del muro y al cual se le denominó Nivel 4-Lote 7 (JOB16C-1-4-7) (Figura 6.7). Asociado a este relleno se recuperó una piedra caliza tallada en forma redonda al igual que fragmentos de concha marina, obsidiana y una concentración de once fragmentos de pedernal, la cual es alta en relación a otros contextos excavados hasta el momento en El Jobillo (Figura 6.8, Tabla 6.1). De igual manera se identificaron los tipos cerámicos Águila Naranja, Cambio sin Engobe, Balanza Negro y Encanto Estriado que sugieren una combinación de material del Clásico Temprano y Clásico Tardío. La parte superior del rasgo se encontró erosionada y no se encontró una fachada simétrica en el lado sur.



Figura 6.7 Fragmentos de piso de estuco bajo el Muro Sur (JOB16C-1-4-7)
(Fotografías por J. Ponce)

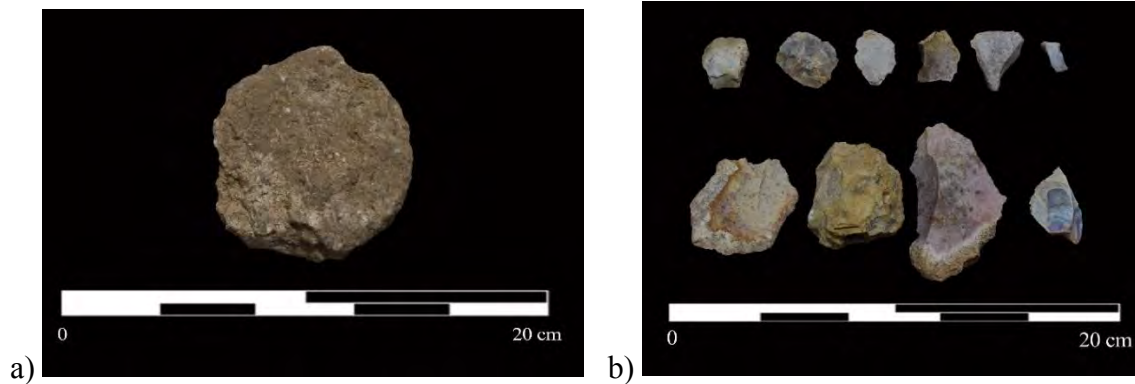


Figura 6.8 Materiales recuperados en JOB16C-1-4-6. a) Piedra caliza tallada y b) fragmentos de pedernal
(Fotografías por F. Pérez)

La temporada pasada se determinó que el rasgo estucado posiblemente se extendía hacia los lados este y oeste. Sin embargo, los extremos fueron cubiertos con una mezcla de argamasa con tierra arenosa, piedrín y piedras calizas de entre 0.05 y 0.10 m, a manera de formar dos muros que delimitaban un área central de 1.5 m (E-O) (Figura 6.9).



Figura 6.9 Rasgo estucado visto desde el noroeste mostrando ubicación de muros este y oeste (Fotografía por J. Ponce)

Por lo tanto, se realizaron registros en cada uno de los muros con el objetivo de encontrar los límites del rasgo. El Nivel 4-Lote 8 (JOB16C-1-4-8) se le asignó al registro en el muro del límite oeste en un área de excavación de 0.60 m (N-S) x 0.50 m (E-O). Se identificó el límite oeste del rasgo, sugiriendo que probablemente se trata de una banqueta. Además, es posible que parte de la superficie estucada haya sido removida intencionalmente, aunque se desconoce si esto fue realizado a manera de cancelación o como una modificación cuando el rasgo estaba en uso (Figura 6.10).



Figura 6.10 Límite oeste del rasgo estucado en JOB16C-1-4-8
(Fotografía por J. Ponce)

El Nivel 4-Lote 9 (JOB16C-1-4-9) le fue asignado al registro en el límite este de la banqueta y se excavó en un área de 0.80 m (E-O) x 1 m (N-S). No se encontró el extremo este del rasgo, sugiriendo que se extiende hacia esa dirección. Además, se determinó que el piso sobre el cual fue construido el muro tenía una superficie desigual y quebradiza, se encontraba pintado de color negro y estaba inclinado hacia el norte y oeste (Figura 6.11). Al remover el muro se recuperaron varios fragmentos de una vasija con engobe rojo y franjas de pintura negra de tipo indeterminado fechada para el Clásico Temprano (Figura 6.12). Sin embargo, como se verá más adelante, éste se trata de un contexto fechado para el Clásico Tardío.



Figura 6.11 a) Piso sobre el cual fue construido el Muro Este y b) detalle de restos de pintura negra en JOB16C-1-4-9 (Fotografías por J. Ponce)



Figura 6.12 Fragmentos de cerámica de tipo indeterminado (JOB16C-1-4-9)
(Fotografía por F. Pérez)

Por último, se realizó un registro de 0.70 x 0.70 m en la parte superior de la banqueta o escalón que alcanzó una profundidad máxima de 0.74 m desde la superficie del rasgo. Se identificó el Nivel 5-Lote 10 (JOB16C-1-5-10), que constó de tierra café limo arenosa mezclada con piedrín. Luego se encontró el piso de estuco sobre el cual fue construida la banqueta o escalón, el cual tuvo aproximadamente 0.10 m de grosor. Este piso se identificó solamente en el Perfil Norte y es posible que este haya sido el límite original, sugiriendo que este piso y el rasgo son contemporáneos (Figura 6.13). Debajo se identificó el Nivel 5-Lote 11 (JOB16C-1-5-11) que consistió de otro relleno de tierra café limo arenosa con piedras calizas de entre 0.05 y 0.10 m. Por último, se encontró un segundo piso de estuco de aproximadamente 0.05 m de grosor, que parece ser una fase temprana del piso identificado encima. Este segundo piso no estaba conservado en el Perfil Norte y se cree que posiblemente se deba a erosión, ya que se encontró conservado en la Unidad JOB16C-2, como se verá más adelante.

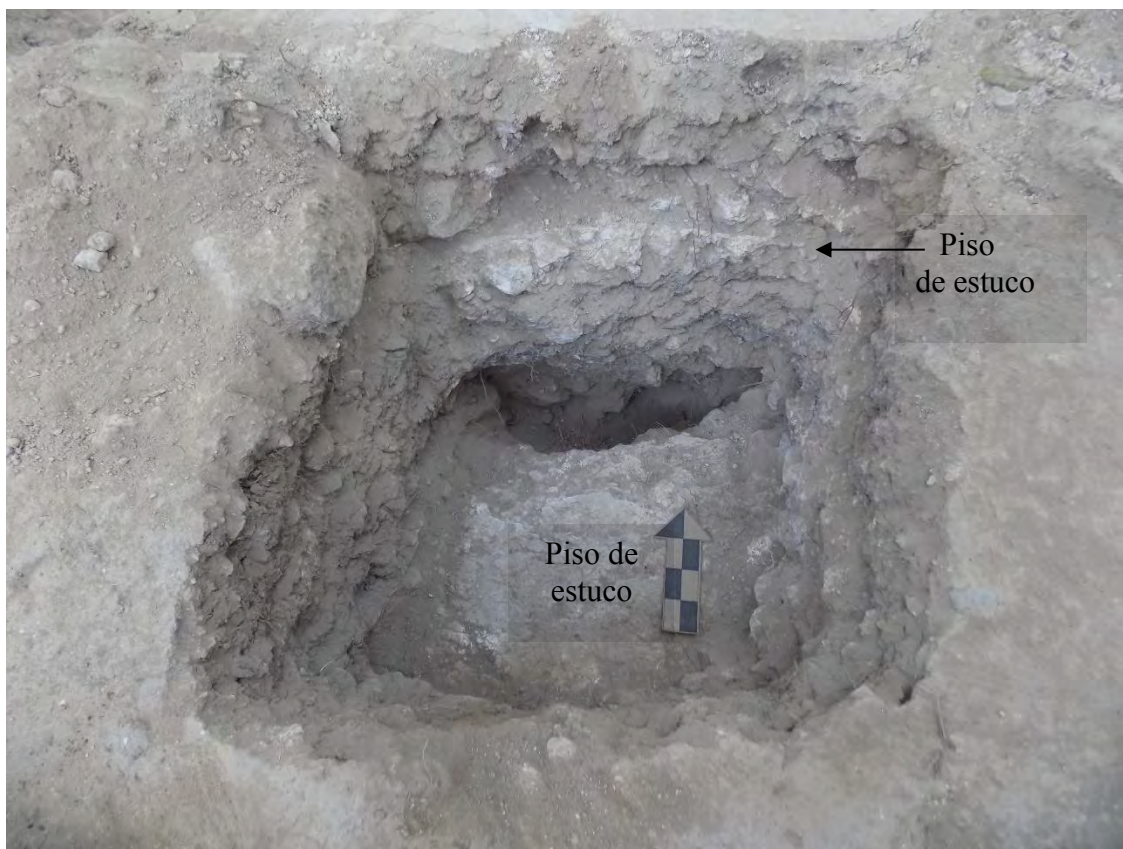


Figura 6.13 Registro en la parte superior de rasgo estucado mostrando pisos identificados (Fotografía por J. Ponce)

Unidad JOB16C-2

En esta unidad se excavaron seis niveles y seis lotes esta temporada. En total se identificaron diez niveles y lotes entre 2017 y 2018 y se alcanzó una profundidad máxima de 3.10 m desde la superficie (ver Figura 6.6). Aunque se expuso el área total de excavación del año pasado de 2 m (N-S) x 2.5 m (E-O), las excavaciones esta temporada se centraron en un pozo de 1.60 m (N-S) x 1.20 m (E-O) al pie de la banqueta o escalón, con el objetivo de esclarecer las etapas constructivas de la Estructura 8M-1. El Nivel 5-Lote 5 (JOB16C-2-5-5) fue el primer lote identificado y constó del piso de estuco sobre el cual fue construida la banqueta o escalón. Este representa el piso de estuco de mayor calidad identificado hasta el momento en la Estructura 8M-1. Posee entre 0.10 y 0.20 m de grosor y su interior estaba compuesto por tierra café clara compacta y piedrín. Este piso también fue identificado en el registro realizado sobre el rasgo estucado en la Unidad JOB16C-1 y corresponde al piso tardío (Figura 6.13).

Luego se identificó el Nivel 6-Lote 6 (JOB16C-2-6-6), que consistió de un piso de estuco poroso y quebradizo de aproximadamente 0.05 m de grosor. Es posible que represente una fase temprana del piso de estuco de encima, tal como se identificó en la Unidad JOB16C-1. Asociado a este piso se encontró una huella de poste de 0.30 m de diámetro, delimitada por piedras burdas de aproximadamente 0.10 x 0.10 m cada una (Figura 6.14). Posteriormente, el Nivel 7-Lote 7 (JOB16C-2-7-7) constó de un estrato de aproximadamente 0.50 m de tierra grisácea compacta mezclada con arena, ceniza, piedrín de piedra caliza y piedras de aproximadamente 0.10 x 0.10 m. En las áreas más profundas, el relleno fue más compacto y las piedras fueron de mayores dimensiones, con 0.20 x 0.20 m en promedio. La cerámica de este estrato incluyó los tipos Sierra Rojo, Dos Arroyos Naranja Polícromo, Águila Naranja, Dos Hermanos y Balanza Negro del Preclásico Tardío y Clásico Temprano. Debajo se encontró un tercer piso de estuco (JOB16C-2-8-8), el cual fue burdo y de aproximadamente 0.05 m de grosor. La huella de poste atravesó este piso como se observa en la Figura 6.15. Este piso, al igual que varios otros rasgos de la superestructura, se encontraron en desnivel hacia el norte, lo que sugiere que el edificio era empinado y probablemente angosto durante el Clásico Tardío.



Figura 6.14 Huella de poste (JOB16C-2-6-6)
(Fotografía por J. Ponce)



Figura 6.15 Huella de poste (JOB16C-2-8-8)
(Fotografía por J. Ponce)

Debajo del piso se identificó el Nivel 9-Lote 9 (JOB16C-2-9-9) que constó de un relleno de aproximadamente 0.20 m de tierra café compacta con pedrín y piedras de entre 0.10 y 0.20 m. Finalmente, el Nivel 10-Lote 10 (JOB16C-2-10-10) consistió en un relleno de tierra café con arena y ceniza. El color fue más grisáceo y la consistencia más suelta en comparación al de JOB16C-2-9-9. De igual manera, las piedras tuvieron mayor variedad de tamaños abarcando entre 0.10 y 0.50 m. En este estrato destaca el hallazgo de una cuenta de jadeíta fragmentada, la cual indica el acceso a este recurso por parte de los habitantes de El Jobillo (Figura 6.16). La cerámica identificada en ambos lotes incluyó los tipos Sierra Rojo, Triunfo/Encanto Estriado, Quintal/Cambio sin Engobe, Tinaja Rojo e Infierno Negro, indicando que estos rellenos están fechados para el Clásico Tardío. Esto también sugiere que los rasgos identificados en la superestructura fueron construidos durante este período y las modificaciones arquitectónicas identificadas hasta el momento fueron realizadas a lo largo del Clásico Tardío.



Figura 6.16 Cuenta de jadeíta fragmentada (JOB16C-2-10-10)
(Fotografía por F. Pérez)

Unidad JOB16C-3

Esta unidad de 2 x 2 m fue excavada al oeste de la Unidad JOB16C-2 y alcanzó una profundidad máxima de 1.15 m desde la superficie. La investigación en esta área tuvo el objetivo de esclarecer los rasgos encontrados en las unidades JOB16C-1 y JOB16C-2 y se identificó un total de tres niveles y tres lotes. El Nivel 1-Lote 1 (JOB16C-3-1-1) constó de humus suelto mezclado con escombros y material orgánico. Luego se identificó el Nivel 2-Lote 2 (JOB16C-3-2-2) que consistió de tierra café suelta mezclada con escombros. En este estrato se identificaron los muros de dos posibles cuerpos o terrazas pertenecientes a la última fase constructiva (Figura 6.17). Estos fueron hechos con piedras de entre 0.10 y 0.30 m. Las piedras más pequeñas fueron porosas sin labrar, mientras que las de mayor tamaño fueron de mayor calidad, aunque éstas tampoco se encontraron talladas.

Se notó que el muro del cuerpo superior tuvo originalmente al menos tres hileras, mientras que se encontraron solamente dos hileras conservadas en el cuerpo inferior. Una alineación adicional de piedras en el lado norte del pozo pudo haber representado un tercer cuerpo o terraza, aunque no fue posible definirlo. Asimismo, las piedras de mayor tamaño fueron utilizadas principalmente para el muro de la terraza o cuerpo inferior, mientras que las piedras medianas y pequeñas fueron predominantes en el muro superior. Entre el material recuperado en este contexto destacan dos piedras calizas talladas en forma redonda, cuya función se desconoce (Figura 6.18).



Figura 6.17 Muros de cuerpos o terrazas pertenecientes a la última fase constructiva (JOB16C-3-2-2) (Fotografía por J. Ponce)



Figura 6.18 Piedras calizas talladas (Fotografía por F. Pérez)

La erosión y calidad constructiva de estos rasgos dificultaron su definición, pero es probable que hayan formado parte de dos cuerpos o terrazas superiores que delimitaban la superestructura durante la última etapa. De igual manera, ambas terrazas fueron construidas sobre un basamento más amplio y es posible que éste sea su límite oeste. Por último, se identificó el Nivel 3-Lote 3 (JOB16C-3-3-3) que constó de tierra suelta rojiza y grisácea con piedras de entre 0.05 y 0.10 m. En el lado este del pozo se encontró que el rasgo estucado de las unidades JOB16C-1 y JOB16C-2 fue delimitado por el lado oeste por un muro alineado norte-sur, el cual fue hecho con piedras de entre 0.10 y 0.20 m (Figura 6.19). Solamente se encontró una hilera conservada y algunas de las piedras se encontraron labradas de manera burda y colocadas con la fachada hacia el norte.

Debido a que el rasgo estucado finaliza en este muro, es probable que haya sido construido a manera de cancelación como parte de la expansión del edificio. Asimismo, por su posición estratigráfica, este muro es más temprano que los cuerpos o terrazas identificadas en JOB16C-3-2-2 y parece haber servido como base para su construcción. Entre la cerámica recuperada en este contexto se identificaron los tipos Triunfo/Encanto Estriado, Tinaja Rojo, Quintal/Cambio sin Engobe y Águila Naranja, sugiriendo material cerámico de diferentes temporalidades y una fecha del Clásico Tardío para este contexto.

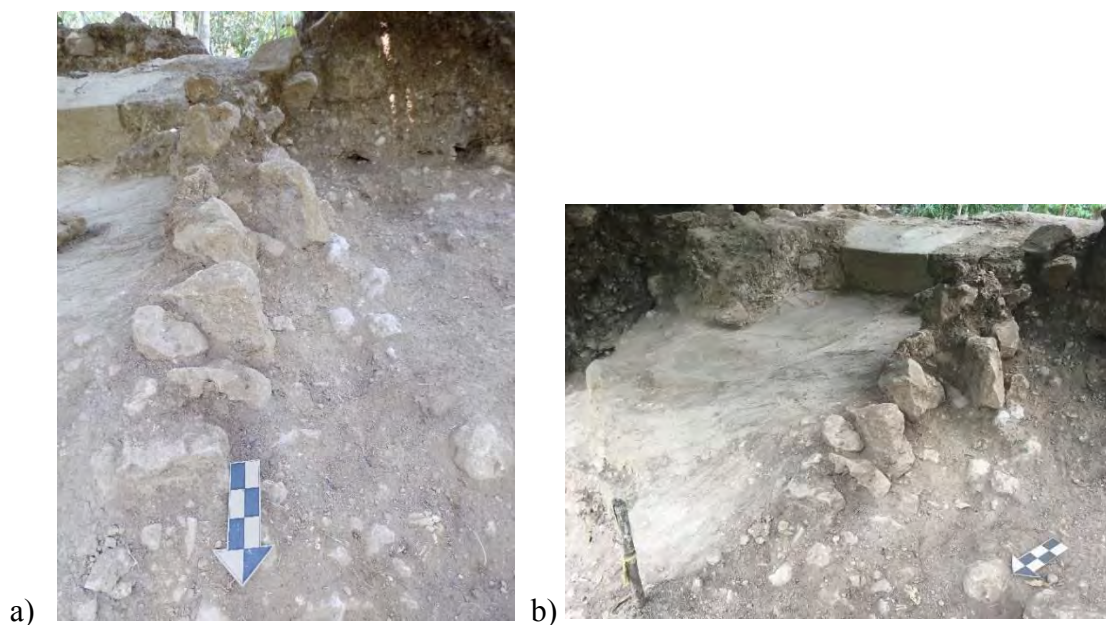


Figura 6.19 Muro que delimita el rasgo estucado por el lado oeste (JOB16C-3-3-3) a) visto desde el norte y b) visto desde el noroeste (Fotografías por J. Ponce)

Suboperación JOB16B: Excavaciones en la Fachada Norte de la Estructura 8M-1

Como parte de las investigaciones de esta suboperación se excavó la Unidad JOB16B-1 en el lado norte de la superestructura y se limpió y excavó parte del Saqueo 5 en la Fachada Norte. Las excavaciones tuvieron el objetivo de esclarecer los rasgos arquitectónicos de la superestructura y conocer la secuencia ocupacional de la Estructura 8M-1. Los datos contribuyeron a una mejor comprensión de los estilos arquitectónicos de la etapa más tardía del edificio, al igual que la definición de las tres grandes etapas constructivas de la Estructura 8M-1.

Unidad JOB16B-1

Esta unidad contó con unas dimensiones de 2 m (N-S) x 2.5 m (E-O) y fue ubicada al norte de la Unidad JOB16C-2. Se alcanzó una profundidad máxima de 0.50 m desde la superficie y se identificó un total de tres niveles y tres lotes. El primer lote constó de humus suelto con material orgánico y escombros (JOB16B-1-1-1). La mayoría de las piedras fueron porosas y sin labrar. El Nivel 2-Lote 2 (JOB16B-1-2-2) consistió de tierra café suelta mezclada con escombros, pedrín y piedras de aproximadamente 0.10 x 0.10 m. En el lado sur de la unidad se encontraron indicios de un muro con orientación este-oeste perteneciente a la última ocupación (Figura 6.20). Aunque el mal estado de conservación del rasgo no permitió definirlo adecuadamente, se cree que posiblemente formó parte de uno de los cuerpos o terrazas de la Fachada Norte que fueron identificados posteriormente.



Figura 6.20 Posible basamento de muro con orientación este-oeste (JOB16B-1-2-2)
(Fotografía por J. Ponce)

Por último, el Nivel 3-Lote 3 (JOB16B-1-3-3) consistió de tierra café suelta con piedrín y piedras de aproximadamente 0.05 m. Se encontraron dos basamentos de muros que podrían representar dos cuerpos o terrazas de la última ocupación (Figura 6.21). En el muro inferior se encontraron dos hileras conservadas, mientras que en el muro superior solamente una. Los muros fueron construidos sobre una superficie empedrada y fueron hechos con piedras de entre 0.10 y 0.30 m. Algunas de estas piedras fueron labradas en forma rectangular y colocadas con la fachada hacia el norte. En este nivel también fue claro que el piso de estuco asociado a la banqueta o escalón en la Unidad JOB16C-2 fue cortado por el lado norte. Esto delimitó el rasgo en esta dirección y posiblemente fue realizado a manera de cancelación al momento de ampliar el edificio. De igual manera, estos rasgos sugieren que no había escalones en la Fachada Norte en la última etapa y es posible que el acceso principal al edificio fuera por el lado este. Entre la cerámica recuperada en este contexto se identificaron los tipos Quintal/Cambio sin Engobe, Triunfo/Encanto Estriado, Sierra Rojo y Tinaja Rojo, sugiriendo material de diferentes temporalidades y un contexto fechado para el Clásico Tardío.



Figura 6.21 Muros de cuerpos o terrazas en la Fachada Norte de la Estructura 8M-1 a) vistos desde el noreste (Fotografía por J. Ponce)

JOB16B-Saqueo 5

Este túnel de saqueo se localiza en el eje central en la Fachada Norte de la Estructura 8M-1 (Figuras 6.3 y 6.22). La trinchera parece haber sido realizada inicialmente siguiendo el piso de plaza hacia el interior del edificio. El saqueo alcanzó una extensión de 16.7 m hacia el interior de la estructura y una altura máxima de 2.10 m. Adicionalmente, los saqueadores realizaron dos pequeños túneles transversales a manera de registro. La limpieza del Saqueo 5 se concentró en el Perfil Este y en la tierra dejada en el interior del túnel por los saqueadores, y tuvo el objetivo de esclarecer la estratigrafía para identificar las etapas constructivas de la Estructura 8M-1. Esto resultó en la identificación de tres grandes fases constructivas, las cuales se describen a continuación. Adicionalmente, se realizó una excavación de 1.7 m de altura y 2.4 m de distancia desde el límite del saqueo hacia el interior de la estructura, con el objetivo de obtener más información de la arquitectura de la fase temprana del edificio y recuperar material para fecharla.

Como parte de la fase más tardía del edificio se identificó inicialmente el humus, el cual cubría un estrato de tierra café mezclada con escombros y un relleno de tierra café clara con piedras que variaban entre 0.05 y 0.30 m aproximadamente. Debajo se identificó un muro que formaba parte de un cuerpo o terraza inferior. El relleno de este muro fue de tierra café amarillenta y arena compacta con gran cantidad de piedras de entre 0.10 y 0.20 m aproximadamente. Debajo de este estrato colocó un relleno de tierra café oscuro compacta con pedrín y pocas piedras de entre 0.05 y 0.15 m. Por último, se observó un estrato de barro café oscuro compacto que probablemente fue utilizado para nivelar el terreno natural y donde probablemente se encontraba el piso de plaza, tal como se ha observado en otros edificios de El Jobillo (Ponce 2016, 2017).

Posteriormente, a 5.40 m desde la fachada del cuerpo o terraza de la última fase hacia el interior del túnel, se encontró una subestructura perteneciente a una fase constructiva más temprana. Los saqueadores hicieron un registro transversal de 0.60 m de ancho y 1.20 m de altura, descubriendo parte de la fachada del edificio hacia el este. Fue posible observar que el exterior de la subestructura estaba cubierto por estuco de alta calidad, el cual se encontró en buen estado de conservación. Además, se identificaron tres posibles escalones que sugieren que posiblemente esta era la fachada principal del edificio durante esta etapa.

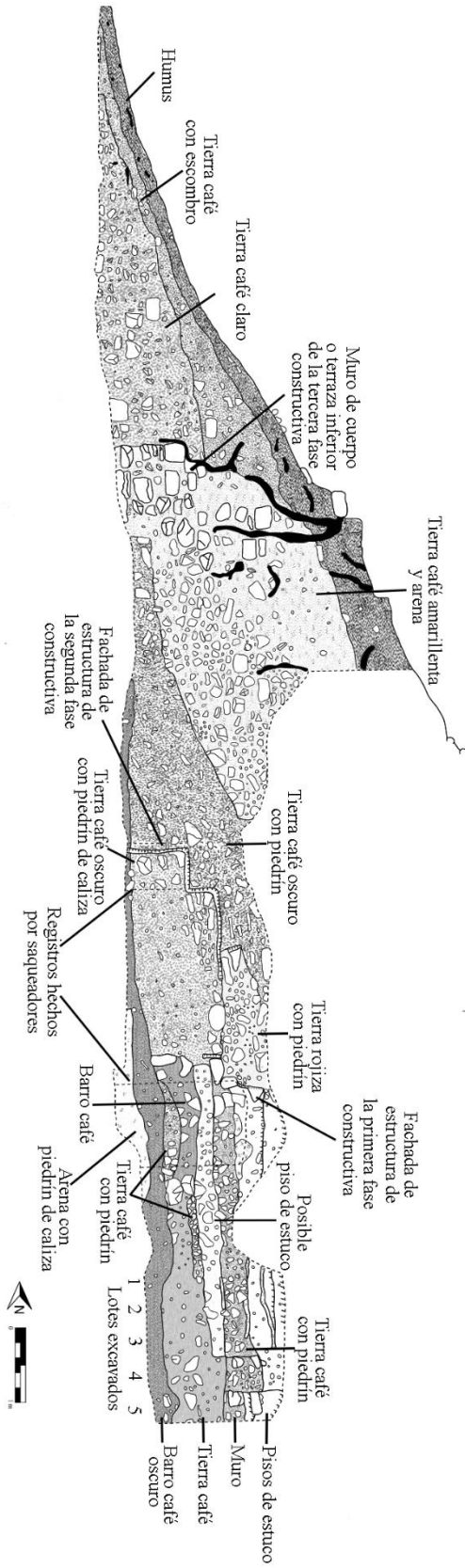


Figura 6.22 Detalle del Perfil Este del Saqueo 5
(Dibujo por J. Ponce)

En el interior de esta estructura se identificaron tres diferentes estratos. A nivel del suelo se identificó un relleno de barro sobre el cual probablemente se encontraba el piso de plaza. Sobre éste se encontró un estrato de tierra café oscuro compacto con piedrín de caliza. Las piedras de mayor tamaño que abarcaban entre 0.10 y 0.20 m aproximadamente fueron colocadas justo debajo de las áreas estucadas a manera de formar una base para los escalones. Por último, cubriendo este estrato y como parte del relleno del escalón superior, se observó un relleno de tierra rojiza con gran cantidad de piedrín y piedras de aproximadamente 0.10 m.

Luego, 2.30 m hacia el interior del túnel desde la fachada de este edificio, se encontró un muro que forma parte de una subestructura de una posible primera fase constructiva. Los saqueadores realizaron un registro transversal de 1.20 m de ancho x 1.60 m de altura en el interior de esta estructura. La fachada del muro de esta fase temprana es escalonada y fue cubierta con estuco en el exterior. El mal estado de conservación del estuco y la destrucción causada por el saqueo dificultó discernir si esta fue la fachada principal de este edificio. Sin embargo, fue posible observar que el muro fue hecho con piedras de entre 0.20 y 0.30 m aproximadamente, algunas de las cuales fueron de piedra caliza. Además, en el interior fue posible identificar ocho diferentes estratos. A nivel del suelo se encontró un relleno de arena color café claro con piedrín de caliza y es posible que haya sido utilizado para nivelar el terreno. Encima colocaron un relleno de barro compacto y probablemente a este nivel estaba el piso de plaza debido a que aquí se encontró la base del muro. Arriba se identificó un relleno de tierra café con piedrín y piedras de aproximadamente 0.10 m, sobre el cual colocaron un estrato de barro compacto con piedras de aproximadamente 0.10 a 0.15 m. Encima se encontró un posible piso de estuco hecho con una mezcla compacta de tierra y arena amarillenta mezclada con gran cantidad de piedrín de caliza. Luego se observó un estrato de tierra café con piedrín y piedras entre 0.05 y 0.30 m. Por último, en la parte superior del edificio se identificaron dos pisos de estuco.

El saqueo finalizó 16.7 m hacia el interior de la Estructura 8M-1 y 2.70 m adentro de la estructura de la etapa más temprana. A partir de este punto se excavó un túnel en lotes de 0.50 m hacia el interior del edificio en dirección al norte. El primer lote (JOB16B-Saqueo 5-1) abarcó de 16.7 m a 17.2 m del túnel, el segundo de 17.2 m a 17.7 m (JOB16B-Saqueo 5-2), y el tercero de 17.7 m a 18.2 m (JOB16B-Saqueo 5-3).

En estos tres lotes se identificó un total de seis estratos, los cuales fueron similares a los que se identificaron en el área saqueada. Inicialmente, a nivel del suelo se encontró un relleno de barro compacto donde probablemente se encontraba el piso de plaza. Encima se identificó un relleno de tierra café con piedrín y piedras de aproximadamente 0.10 m. Arriba se observó un posible piso de estuco hecho con una mezcla compacta de tierra y arena amarillenta con gran cantidad de piedrín de caliza. Sobre este posible piso colocaron un estrato de tierra café con piedrín y piedras entre 0.05 y 0.30 m. Por último, se observaron dos pisos de estuco en la parte superior del túnel.

La excavación del túnel finalizó con el lote 4 (JOB16B-Saqueo 5-4), el cual abarcó de 18.2 m a 18.7 m y el lote 5 de 18.7 m a 19.1 m (JOB16B-Saqueo 5-5). En ambos lotes se encontró un muro que delimita la estructura por el lado sur, sugiriendo que la primera fase de dicho edificio medía aproximadamente 5 m (N-S). Al igual que en los lotes anteriores, a nivel del suelo se identificó un relleno de barro compacto. Encima se encontró un relleno de tierra café con piedrín y piedras de aproximadamente 0.10 m. Luego se observó un estrato de tierra café con piedrín y piedras de entre 0.05 y 0.30 m, algunas de las cuales formaban parte de la arquitectura; por último se identificó un piso de estuco en la parte superior del túnel. Las excavaciones no permitieron discernir detalles de la arquitectura de esta fase y se desconoce cuál fue la fachada principal del edificio durante esta etapa. No se recuperó gran cantidad de material en el interior de esta estructura temprana (Tabla 6.1) y la cerámica identificada incluyó los tipos Sierra Rojo, Encanto/Triunfo Estriado y Cambio/Quintal sin Engobe del Preclásico Tardío y Clásico Temprano. Los restos de carbón recuperados en este contexto permitirán fechar esta fase con mayor precisión.

Operaciones JOB04, JOB06 y JOB07: Excavaciones en el Grupo A

Estas excavaciones consistieron en la realización de pruebas de pala de 0.50 x 0.50 m en las periferias del Grupo A (Figura 6.23). Estas pruebas no alcanzaron una profundidad mayor de 1 m y se localizaron en la parte posterior de las estructuras. La distancia entre una unidad y otra fue arbitraria, adecuándose a la topografía del terreno, aunque se procuró tener una distancia promedio de 3 m entre cada unidad. Las excavaciones se realizaron con el fin de encontrar áreas de deposición de desechos para obtener una muestra substancial de diferentes materiales para analizar patrones de acceso a recursos por parte de los habitantes

de El Jobillo. Para decidir cuales áreas se ampliarían para investigar potenciales basureros, se tomó en cuenta la cantidad total de material obtenido en cada grupo. En el caso del Grupo A, las pruebas de pala fueron descartadas si no presentaban una acumulación de material mayor a 130 tiestos. En total se realizaron 54 pruebas de pala en el Grupo A, 19 de las cuales fueron realizadas en 2017 y 35 en 2018. Estas resultaron en la identificación de un área con alta concentración de materiales en la parte posterior de la Estructura 8M-3, al igual que una mejor comprensión de la cronología del Grupo A.

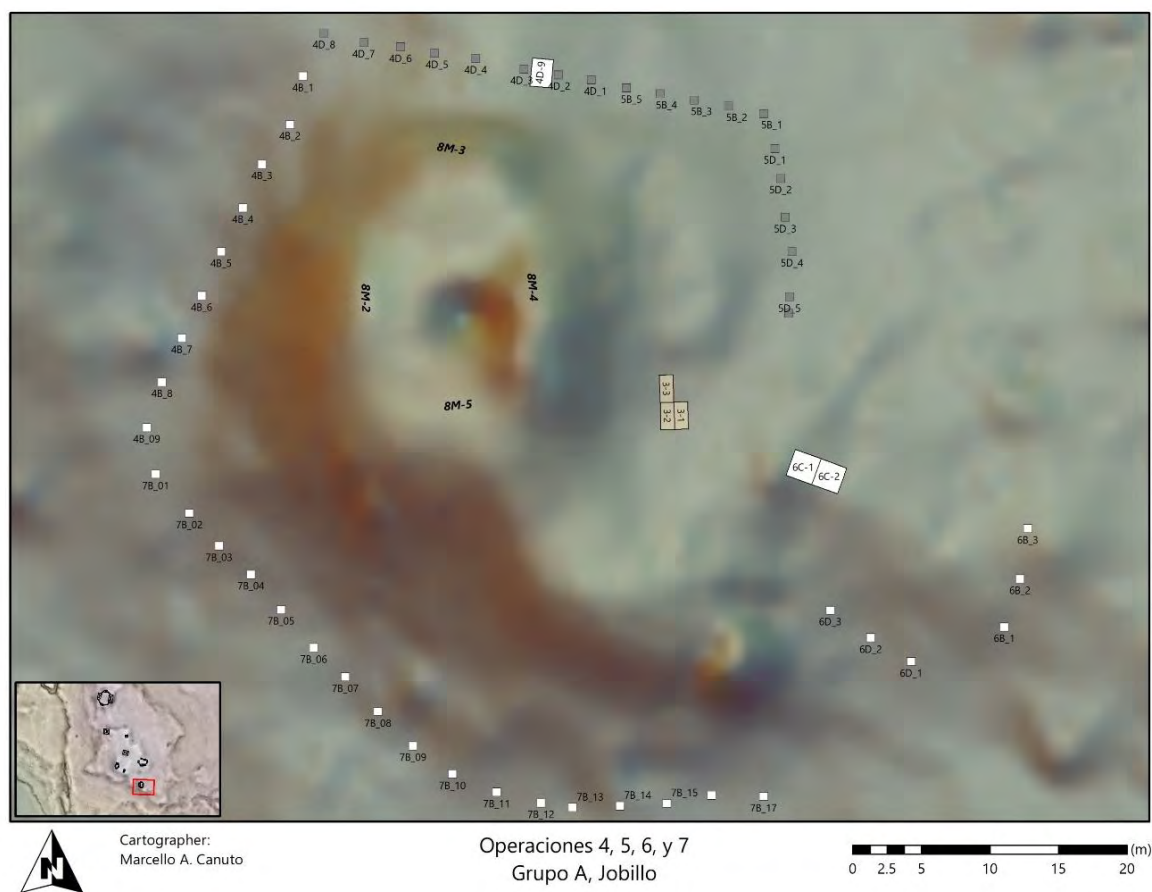


Figura 6.23 Unidades y pruebas de pala realizadas en el Grupo A en 2016, 2017 y 2018. Operaciones JOB03, JOB04, JOB06 y JOB07 (Mapa por M. Canuto)

Suboperación JOB07B: Sondeos entre las estructuras 8M-2 y 8M-5 y lado sur de 8M-5

Entre las estructuras 8M-2 y 8M-5 se realizaron once pruebas de pala (JOB07B-1 a JOB07B-11). La mayor cantidad de material encontrado fue de 57 tiestos en la Unidad JOB07B-4, mientras que la menor fue de trece tiestos en la Unidad JOB07B-1. También se recuperó una figurilla y pedernal (Tabla 6.1). La cantidad de estratos entre las unidades varió entre dos y tres, siendo los más comunes el humus y la tierra café oscuro con presencia de piedras. En esta área no se identificó ningún basurero y los pozos fueron finalizados debido a su escaso material.

Por su parte, en el lado sur de la Estructura 8M-5 se realizaron seis pruebas de pala (JOB07B-12 a JOB07B-17). La mayor cantidad de material fue de 34 tiestos en JOB07B-15, mientras que en JOB07B-17 se recuperó solamente uno; también se recolectó pedernal. Con la excepción de JOB07B-16 que presentó un estrato de tierra café arcillosa mezclada con una fina tierra blanca, y JOB07B-17 que contó con un estrato de barro rojizo, las demás unidades presentaron una variación entre dos o tres estratos, siendo los más comunes el humus y la tierra café oscura con piedras. Ninguna de las pruebas fue considerada como potencial basurero y por dicha razón fueron finalizadas. Aunque la cerámica recuperada en esta suboperación se encontró bastante erosionada, se logró identificar el tipo Águila Naranja entre varios tiestos erosionados e indeterminados del Clásico Temprano, al igual que Cambio sin Engobe, Encanto Estriado y Pantano Impreso del Clásico Tardío.

Suboperación JOB06B: Sondeos en el lado este de la Estructura 8M-4

En esta temporada se notó que la Estructura 8M-4 consta de una plataforma de aproximadamente 20 x 20 m y se realizaron siete pruebas de pala en sus alrededores. Cuatro de estas pruebas se ubicaron al este de la plataforma como parte de la Suboperación JOB06B, mientras que el resto se excavaron en el lado sur como parte de la Suboperación JOB06D. La mayor cantidad de material que apareció en las pruebas de pala del área este fue de 45 tiestos (JOB06B-4) y la menor fue de cinco (JOB06B-1). A pesar de que esta última presentó poco material, aquí se encontró la esquina sureste de la plataforma, la cual contaba con un poco de estuco (Figura 6.24). La cantidad de estratos por prueba varió de dos a tres, siendo los más comunes el humus y la tierra café clara. Un tercer estrato fue el de tierra café mezclada con ceniza y se presentó en las unidades JOB06B-1 y JOB06B-2.

Suboperación JOB06D: Sondeos en el lado sur de la Estructura 8M-4

En el área al sur de la plataforma asociada a la Estructura 8M-4 se excavaron tres pruebas de pala. La mayor cantidad de material fue de 15 tiestos en JOB06D-2 y la menor fue de seis en JOB06D-3; no se encontró ningún material adicional. Las tres pruebas de pala presentaron dos estratos, el primero fue el humus y el segundo fue tierra café oscura con piedras (JOB06D-2 y JOB06D-3) o tierra café arcillosa (JOB06D-1). Al final de cada unidad aparecieron piedras del derrumbe de la Estructura 8M-4, con excepción de JOB06D-1 en donde se encontró un posible piso o grada. Ninguna de las pruebas de pala realizadas en esta área dio indicios de un posible basurero. Debido a su escaso y poco variado material, las unidades fueron finalizadas. En la cerámica de las suboperaciones JOB06B y JOB06D se identificaron algunos tiestos indeterminados del Clásico Temprano, al igual que los tipos Chaquiste Impreso y Gris Fino del Clásico Tardío, indicando que el grupo fue habitado después de 760 d.C.



Figura 6.24 Esquina de la plataforma asociada a la Estructura 8M-4 (JOB06B-1)
(Fotografía por F. Pérez)

Suboperación JOB06C: Excavaciones en la parte superior de la Estructura 8M-4

Unidad JOB06C-1

Con la finalidad de ubicar la entrada hacia la plataforma anexada a la Estructura 8M-4 y comprender su función, se realizó la Unidad JOB06C-1, la cual se ubicó entre la estructura y la plataforma. Esta unidad tuvo una extensión de 2 x 2 m y una profundidad máxima de 0.74 m. La unidad contó con dos estratos, el primero fue humus (JOB06C-1-1-1) y abarcó una profundidad de 0.15 m a 0.25 m desde el *datum*. No se recuperó ningún tipo de material y en el lado oeste se encontró parte del derrumbe de la Estructura 8M-4. El segundo estrato fue de tierra café oscura (JOB06C-1-2-2) y tuvo una profundidad de 0.25 m a 0.74 m. A diferencia del primer nivel-lote, aquí se recuperaron 20 tiestos de cerámica y un fragmento de estuco. Además, al remover el derrumbe se encontró la posible escalinata de la Estructura 8M-4 en el lado oeste de la unidad (Figuras 6.25 y 6.26). Por último, en el lado sureste se identificó un piso empedrado hecho en su mayoría de piedra caliza muy erosionada, el cual se extendía hasta la Unidad JOB06C-2.

Unidad JOB06C-2

Con el propósito de comprender mejor la función de la plataforma anexada a la Estructura 8M-4 se excavó la Unidad JOB06C-2 al este de la Unidad JOB06C-1, la cual también contó con una extensión de 2 x 2 m. El pozo presentó dos estratos, siendo el primero el humus (JOB06C-2-1-1) y donde se recuperaron nueve fragmentos de cerámica. El segundo estrato estaba compuesto por tierra café oscura (JOB06C-2-2-2) y aquí se encontraron 20 tiestos y un fragmento de estuco. En el lado sur de la unidad se encontró el piso de piedra caliza erosionado identificado en la Unidad JOB06C-1. De igual manera, se encontró una acumulación de piedras que podría ser el basamento de un muro. Asociado a este rasgo se encontró concentrado el material cerámico, el cual incluyó los tipos Chaquiste Impreso, Cambio sin Engobe y Encanto Estriado del Clásico Tardío, entre otros erosionados e indeterminados.



Figura 6.25 Vista del lado este de las unidades JOB06C-1 y JOB06C-2
(Fotografía por F. Pérez)

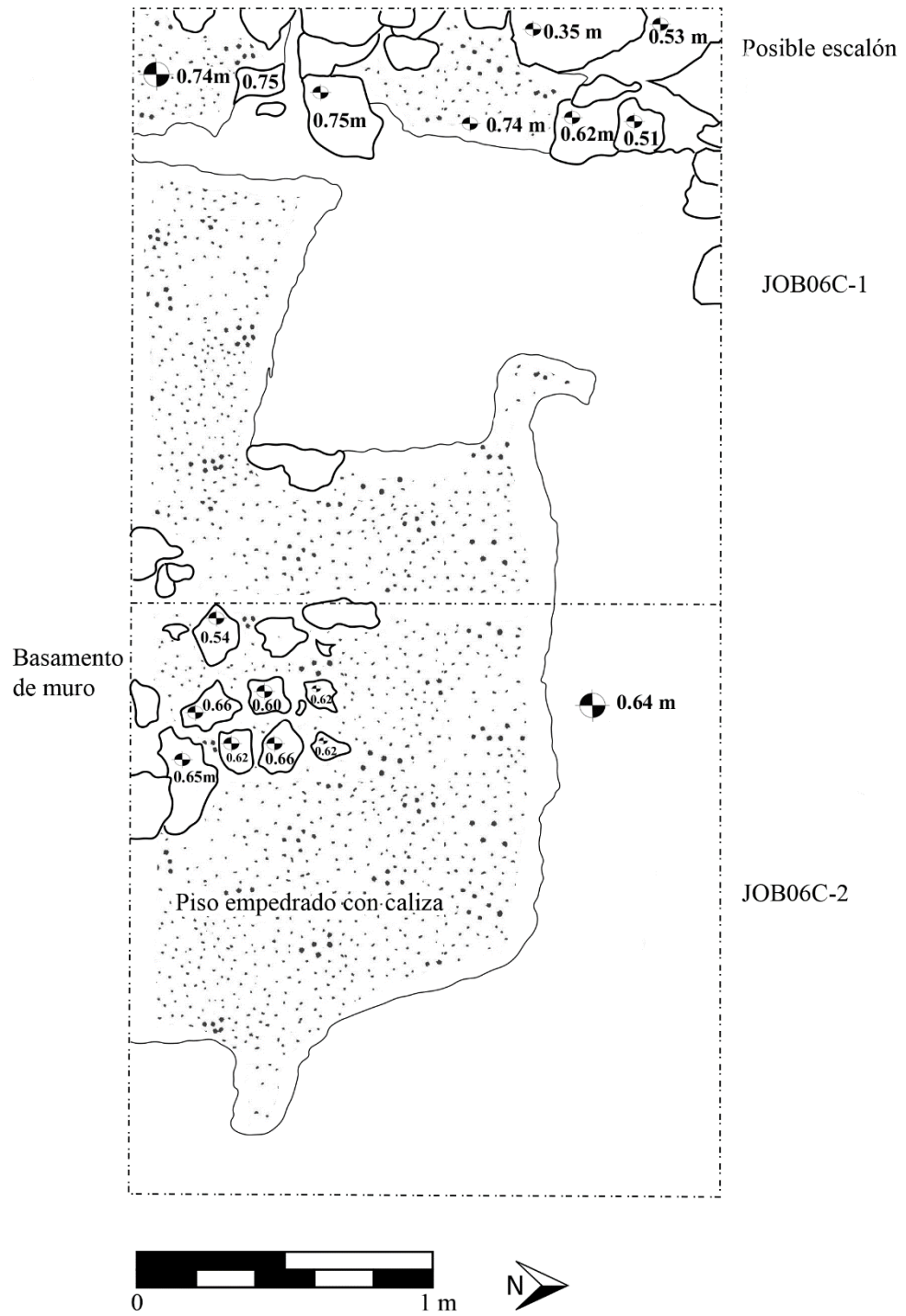


Figura 6.26 Rasgos de las unidades JOB06C-1 y JOB06C-2
(Dibujo por F. Pérez)

Suboperación JOB04B: Sondeos en el lado oeste de la Estructura 8M-02

En la parte posterior de la Estructura 8M-2 se realizó un total de nueve pruebas de pala (JOB04B-1 a JOB04B-9). La mayor cantidad de material encontrado fue de 104 tiestos en la Unidad JOB04B-6 y la menor fue de nueve en JOB04B-9. Además de cerámica se encontró pedernal, obsidiana y otro tipo de material lítico. La cantidad de estratos presentes no fue regular, ya que la cantidad varió entre dos y tres estratos. Sin embargo, los más predominantes fueron el humus y la tierra café oscura compacta con piedrín. Ninguna de las pruebas mostró indicios de ser un basurero. Varias de ellas fueron finalizadas debido a su escasa presencia de material, mientras que otras fueron finalizadas debido a que se había llegado a una especie de apisonado o roca que dificultaba su excavación. Aunque la cerámica se encontró bastante erosionada, se identificaron los tipos Águila Naranja y Dos Hermanos del Clásico Temprano, al igual que Cambio sin Engobe, Encanto Estriado y Chaquiste Impreso del Clásico Tardío.

Suboperación JOB04D: Unidad JOB04D-9 en el lado norte de las Estructura 8M-2 y 8M-3

Las investigaciones de esta suboperación consistieron en la excavación de la Unidad JOB04D-9, la cual se ubicó en el lado norte de las estructuras 8M-2 y 8M-3, entre las pruebas de pala JOB04D-2 y JOB04D-3 excavadas en 2017. Ambas pruebas resultaron en una alta cantidad de materiales en relación a las demás del Grupo A (138 tiestos en JOB04D-2 y 219 en JOB04D-3), por lo que esta unidad fue excavada con el objetivo de investigar la posibilidad que el área haya sido utilizada para deposición de desechos, así como para recuperar materiales para análisis. La Unidad JOB04D-9 fue de 2 m (N-S) x 1.5 m (E-O) y fue orientada al norte. Se identificó un total de tres niveles y lotes, alcanzando una profundidad máxima de 0.60 m desde la superficie (Figura 6.27).

Inicialmente se encontró el humus mezclado con piedras de derrumbe y material orgánico (JOB04D-9-1-1). En este estrato se recuperaron 156 fragmentos de cerámica. Posteriormente, se identificó un estrato de tierra café suelta con piedrín y piedras de derrumbe, varias de las cuales medían aproximadamente entre 0.10 y 0.15 m (JOB04D-9-2-2). Fue en este estrato donde se recuperó la mayor cantidad de material, incluyendo 298 tiestos cerámicos y un fragmento de figurilla (Figura 6.28).

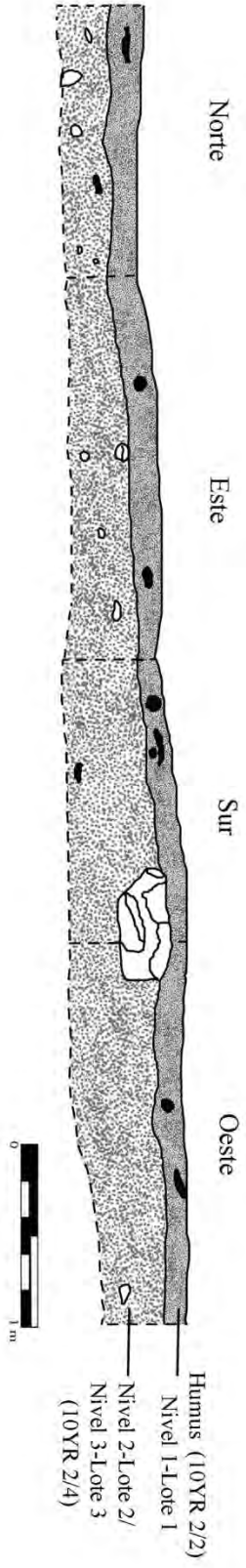


Figura 6.27 Perfiles de la Unidad JOB04D-9
(Dibujo por J. Ponce)



Figura 6.28 Fragmento de figurilla (JOB04D-9-2-2)
(Fotografía por F. Pérez)

Además, se encontró una piedra de 60 x 20 cm en la esquina suroeste que posiblemente se derrumbó de la Estructura 8M-2 o 8M-3. Debajo de esta piedra, a 0.35 m desde la superficie, se cambió al Nivel 3-Lote 3 (JOB04D-9-3-3) debido a que posiblemente el piso de plaza se encontraba a este nivel. Aunque no hubo cambios significativos en la estratigrafía, el cambio de lote también se hizo con el objetivo de separar el material para investigar la posibilidad que se tratara de un basurero estratificado. En este nivel-lote se recuperaron 248 fragmentos de cerámica.

En la cerámica de esta unidad se observaron varios tios erosionados del Clásico Temprano y fue posible identificar los tipos Encanto Estriado, Cambio sin Engobe, Tinaja Rojo y Chaquiste Impreso del Clásico Tardío que sugieren una combinación de material de ambas temporalidades. Aunque se observó una variedad de formas de cerámica y la densidad de material fue mayor en relación a otras áreas de las periferias del Grupo A, la falta de diversidad de materiales no permite asegurar que este contexto se trate de un área de deposición primaria.

Operaciones JOB09, JOB10, JOB11, JOB12 y JOB13: Excavaciones en el Grupo B

Estas excavaciones consistieron en la realización de pruebas de pala de 0.50 x 0.50 m en las periferias del Grupo B (Figura 6.29). Al igual que en el Grupo A, estas pruebas no alcanzaron una profundidad mayor de 1 m y se localizaron en la parte posterior de las estructuras. La distancia entre una unidad y otra fue arbitraria, adecuándose al tamaño de cada estructura y a la topografía del terreno. Las excavaciones se realizaron con el fin de encontrar áreas de deposición de desechos para obtener una muestra substancial de diferentes materiales para analizar patrones de acceso a recursos por parte de los habitantes de El Jobillo. En total se realizaron 42 pruebas de pala en el Grupo B y las que no presentaron una acumulación de material mayor a 140 tiestos fueron descartadas. Las pruebas resultaron en la identificación de tres áreas con alta concentración de materiales en la parte posterior de las Estructura 8M-7 y 8M-11, al igual que una mejor comprensión de la cronología del grupo.

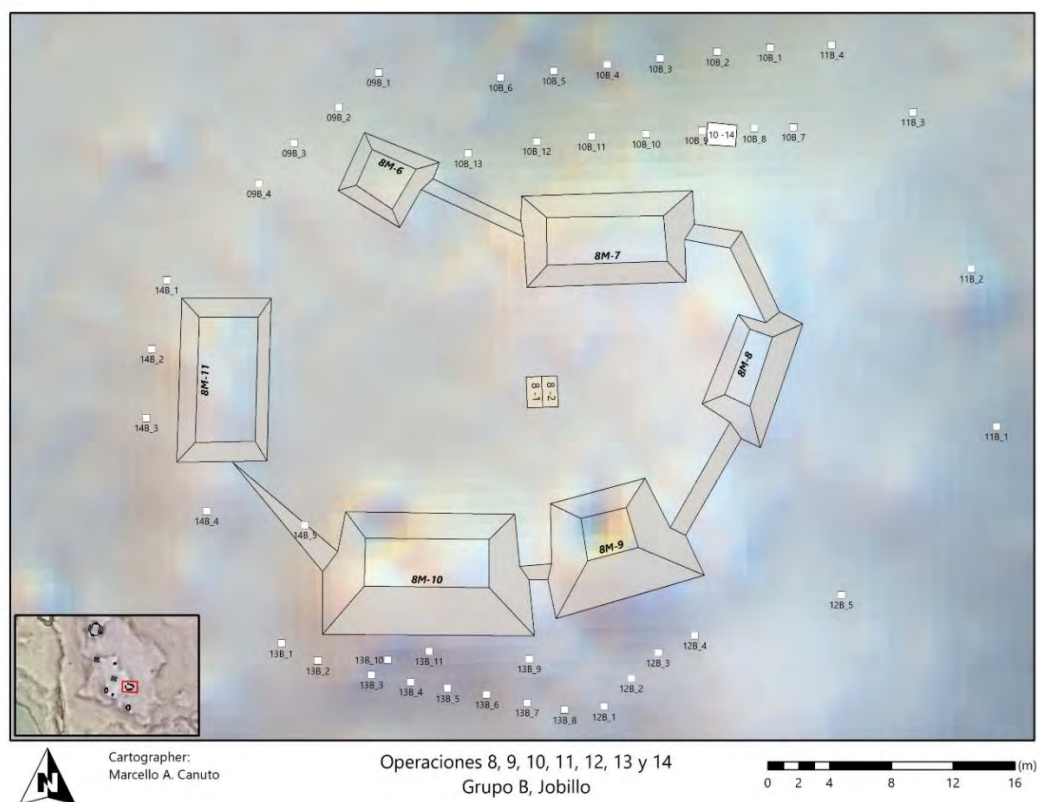


Figura 6.29 Unidades y pruebas de pala realizadas en el Grupo B en 2016 y 2018.
Operaciones JOB08, JOB09, JOB10, JOB11, JOB12, JOB13 y JOB14
(Mapa por M. Canuto)

Suboperación JOB09B: Sondeos en el lado oeste de la Estructura 8M-6

Se realizaron cuatro pruebas de pala en la parte posterior de la Estructura 8M-6. La mayor cantidad de material fue de 88 tiestos (JOB09B-2) y la menor de tres (JOB09B-4); no se encontró ningún tipo de material adicional. La cantidad de estratos entre las unidades varió entre dos y tres. Sin embargo, el humus y la tierra café oscura se presentaron en todos los pozos, mientras que tierra rojiza solamente apareció en las unidades JOB09B-2 y JOB09B-3. Por el escaso material presentado ninguna de las pruebas mostró indicios de ser un basurero. Entre la cerámica recuperada se identificaron los tipos Cambio sin Engobe, Gris Fino, Chinja Impreso y Chaquiste Impreso fechados para el Clásico Tardío.

Suboperación JOB10B: Sondeos y excavaciones en el lado norte de la Estructura 8M-7

En la parte posterior de la Estructura 8M-7 se realizaron trece pruebas de pala, las cuales fueron distribuidas en dos filas. En la fila más alejada de la estructura se realizaron seis pruebas de pala (JOB10B-1 a JOB10B-6). La mayor cantidad de material en esta área fue de 141 tiestos en JOB10B-3 y la menor de 25 en JOB10B-4, también se encontró pedernal. La presencia de estratos en las unidades varió entre tres y cuatro, siendo los más comunes el humus, tierra café oscura y tierra café clara o rojiza. Se identificaron los tipos cerámicos Chinja Impreso, Pantano Impreso, Cambio sin Engobe y Encanto Estriado del Clásico Tardío, al igual que algunos indeterminados y erosionados del Clásico Temprano.

La segunda fila fue ubicada más cerca de la Estructura 8M-7 y en ella se realizaron siete pruebas de pala (JOB10B-7 a JOB10B-13). La mayor cantidad de material en esta área fue de 214 tiestos en JOB10B-8 y la menor de 13 en JOB10B-13, también se encontró pedernal y carbón. La presencia de estratos en las unidades varió entre dos y cuatro, siendo los más comunes el humus y la tierra café oscura. La única excepción se presentó en la Unidad JOB10B-9 la cual contó con tierra anaranjada, roja, blanco/gris y negra distribuida en todo el pozo. Estos tipos de tierra tenían un grosor no mayor a 0.05 m cada uno y se encontraron bajo el humus. En ese estrato se recuperaron 99 tiestos y pedernal.

Debido a la presencia y variedad de material encontrado en la parte posterior de la Estructura 8M-7 se determinaron dos posibles ubicaciones de basureros. La primera entre las unidades JOB10B-8 y JOB10B-9 debido a que en total se presentaron 365 tiestos más pedernal. La otra posible ubicación de un basurero se encontró entre JOB10B-2 y JOB10B-

3 con un total de 215 tiestos más pedernal. Estas áreas presentaron una cantidad mayor de material que el resto de las pruebas de pala del Grupo B y por dicha razón se consideraron como posibles ubicaciones de áreas de deposición de desechos. Sin embargo, esta última área no pudo ser excavada debido a limitaciones de tiempo. Entre la cerámica recuperada en las pruebas de pala en este sector se identificaron los tipos Sierra Rojo, Águila Naranja y Dos Hermanos del Preclásico Tardío y Clásico Temprano, al igual que Cambio sin Engobe, Encanto Estriado, Chaquiste Impreso, Chinja Impreso, Corozal Inciso y Gris Fino del Clásico Tardío.

Unidad JOB10B-14

Por la alta concentración y variedad de material presentado en las pruebas de pala JOB10B-8 y JOB10B-9 se realizó una excavación de 2 m (N-S) x 1.5 m (E-O) entre ambas unidades. El primer nivel-lote de esta unidad (JOB10B-14-1-1) estuvo conformado por humus negro (10 YR 1/2) y abarca una profundidad de 0.54 m a 0.57 m desde el *datum*; no se encontró ningún tipo de material. El segundo nivel-lote (JOB10B-14-2-2) abarcó una profundidad de 0.57 m a 0.83 m y estuvo conformado principalmente por tierra café oscura (10 YR 2/4). Sin embargo, en la esquina suroeste del pozo se identificaron otros tipos de tierra, los cuales son similares a los que se presentaron en la prueba de pala JOB10B-9 (Figura 6.30). Los otros tipos de tierra que se presentaron fueron de color rojo (5 YR 3/6), blanca (10 YR 7/2) y negro (10 Y 1/2).

Debajo de estos tipos de tierra apareció una piedra caliza de grandes dimensiones, la cual se extendía hasta el fondo del pozo. En este nivel-lote se recolectaron 1,275 tiestos, al igual que obsidiana, una figurilla, pedernal, otros materiales líticos, muestras de tierra y siete tiestos cerámicos que servirán para análisis de almidón (Figura 6.31). A pesar de que el material se encontró esparcido en todo el pozo, hubo una mayor acumulación en la región noroeste del mismo, en donde todo el material estaba debajo del derrumbe de la Estructura 8M-7 (Figura 6.32). En el caso de la obsidiana esta no apareció debajo del derrumbe, sino que se encontró asociada a la piedra caliza. Entre la cerámica recuperada se identificaron los tipos Quintal/Cambio sin Engobe, Triunfo/Encanto Estriado, Saxché Palmar, Tinaja Rojo, Gris Fino, Chaquiste Impreso e Infierno Negro del Clásico Tardío, al igual que Balanza Negro entre varios erosionados e indeterminados del Clásico Temprano.

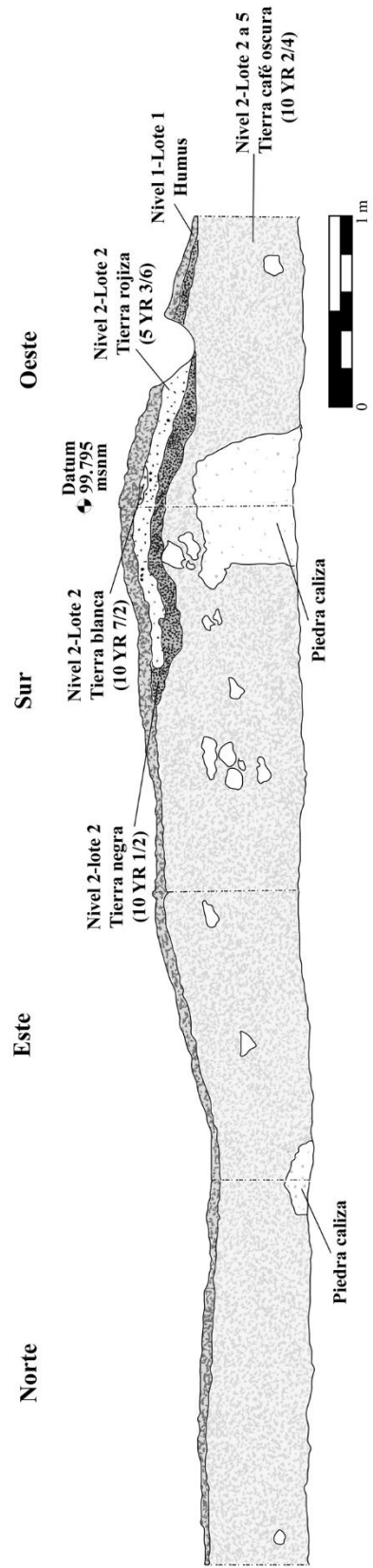


Figura 6.30 Perfiles de la Unidad JOB10B-14
(Dibujo por F. Pérez)

A partir de JOB10B-14-2-2 se mantuvo el mismo nivel y solo se cambió el número de lote. Además, con el fin de llevar una excavación más controlada solo se excavaron 0.10 m por lote. JOB10B-14-2-3 abarcó una profundidad de 0.83 m a 0.95 m y contuvo la misma tierra café oscura (10 YR 2/4) del lote anterior. El material que se recolectó en este espacio fue obsidiana, muestras de tierra, muestras para análisis de almidón y 433 tuestos (Figuras 6.31 y 6.33). Se identificaron los tipos cerámicos Encanto/Triunfo Estriado, Quintal/Cambio sin Engobe, Tinaja Rojo, Saxché Palmar, Chinja Impreso y varios erosionados e indeterminados del Clásico Temprano.

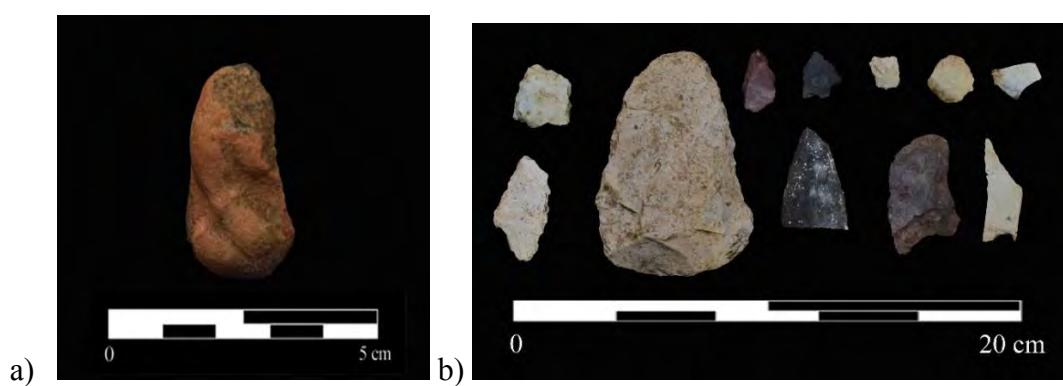


Figura 6.31 Algunos materiales recuperados en basurero: a) fragmento de figurilla (JOB10B-14-2-2) y b) pedernal (JOB10B-14-2-3) (Fotografías por F. Pérez)



Figura 6.32 Cerámica debajo de una piedra de derrumbe (JOB10B-14-2-2) (Fotografía por F. Pérez)



Figura 6.33 Cerámica y pedernal *in situ* (JOB10B-14-2-3)
(Fotografía por F. Pérez)

Posteriormente, JOB10B-14-2-4 abarcó una profundidad de 0.95 m a 1.00 m y estuvo conformado por el mismo estrato de tierra café oscura (10 YR 2/4) de los lotes anteriores. En este nivel-lote se recolectaron 271 tiestos, obsidiana, pedernal, muestras de tierra, muestras para pruebas de almidón y carbón. En el área norte del pozo se encontraron algunas piedras que formaban un área en forma casi triangular. Al lado oeste y este de estas piedras había concentraciones de carbón en forma de puntos, aunque se desconoce la naturaleza del rasgo. Entre la cerámica recuperada se identificaron los tipos Encanto/Triunfo Estriado, Quintal/Cambio sin Engobe, Tinaja Rojo, Chinja Impreso, Saxché Palmar y varios erosionados/indeterminados del Clásico Temprano.

Por último, JOB10B-14-2-5 tuvo una profundidad entre 1.00 a 1.14 m y estuvo conformado por un estrato de tierra café oscura (10 YR 2/4), el cual también apareció en los demás lotes de este nivel. El material recolectado en este lote estuvo conformado por 218 tiestos, obsidiana, muestra de tierra, carbón, pedernal y muestras para análisis de almidón. Además, en la misma área en donde se habían presentado las tres piedras en forma casi triangular del lote anterior se identificó un rasgo de barro (Figura 6.34), el cual contenía carbón en su superficie y ningún otro tipo de material asociado. Entre la cerámica

recuperada se identificaron los tipos Encanto/Triunfo Estriado, Quintal/Cambio sin Engobe, Tinaja Rojo, Chaquiste Impreso, Saxché Palmar y Zacatal Crema del Clásico Tardío, al igual que Dos Arroyos Naranja Policromo entre varios erosionados e indeterminados del Clásico Temprano.



Figura 6.34 Rasgo de barro en JOB10B-14-2-5 (Fotografía por F. Pérez)

Suboperación JOB11B: Sondeos en el lado este de la Estructura 8M-8

Se realizaron cuatro pruebas de pala asociadas a la Estructura 8M-8. Tres de ellas se hicieron en la parte posterior (JOB11B-1 a JOB11B-3) y una se hizo entre las estructuras 8M-7 y 8M-8 (JOB11B-4). La mayor cantidad de material fue de 32 tiestos (JOB11B-2) y la menor de seis (JOB11B-3); no se encontró ningún material adicional. La presencia de estratos entre las unidades varió entre tres y cuatro, siendo los más comunes el humus, la tierra café oscura y la tierra café clara/rojiza. El cuarto estrato estaba constituido por una suave tierra blanca, la cual se identificó en dos unidades (JOB11B-3 y JOB11B-4). Por el escaso material presentado, ninguna de las pruebas mostró indicios de ser un basurero. La mayor parte de la cerámica de este contexto se encontró erosionada, por lo que no fue posible identificar tipos cerámicos.

Suboperación JOB12B: Sondeos en el lado sur de la Estructura 8M-9

Se realizaron cinco pruebas de pala asociadas a la Estructura 8M-9, cuatro de ellas se hicieron en la parte posterior (JOB12B-1 a JOB12B-4) y una se hizo entre las estructuras 8M-8 y 8M-9 (JOB12B-5). La mayor cantidad de material fue de 13 tiestos en JOB12B-3 y la menor de cuatro tiestos en JOB12B-2 y JOB12B-5; no se encontró ningún material adicional. Todas las unidades presentaron tres estratos, los cuales fueron humus, tierra café oscura y tierra café clara/rojiza. Por el escaso material presentado ninguna de las pruebas mostró indicios de ser un basurero. Entre la cerámica recuperada solamente se identificó el tipo Tinaja Rojo del Clásico Tardío y algunos erosionados e indeterminados del Clásico Temprano.

Suboperación JOB13B: Sondeos en el lado sur de la Estructura 8M-10

En la parte posterior de la Estructura 8M-10 se realizaron once pruebas de pala (JOB13B-1 a JOB13B-11). La mayor cantidad de material fue de 94 tiestos en JOB13B-1 y la menor de ocho en JOB13B-8; también se recolectó obsidiana, pedernal, carbón y otros materiales líticos. Los estratos presentes entre las unidades variaron de dos a tres, siendo los más comunes el humus, la tierra café oscura y la tierra café clara. Una excepción se presentó en la Unidad JOB013B-9, la cual contó con estratos de tierra café oscura mezclada con una fina tierra blanca. La ubicación de esta unidad fue diferente en comparación con las demás pruebas de pala asociadas a la Estructura 8M-10, debido a que se realizó en una pequeña acumulación de tierra a modo de montículo. No se identificó ningún potencial basurero asociado a esta estructura. Se identificaron los tipos Tinaja Rojo, Cambio sin Engobe, Encanto Estriado y Chaquiste Impreso del Clásico Tardío, al igual que Águila Naranja entre varios erosionados e indeterminados del Clásico Temprano.

Suboperación JOB14B: Sondeos en el lado oeste de la Estructura 8M-11

Se realizaron cinco pruebas de pala asociadas a la Estructura 8M-11. Tres de ellas se hicieron al oeste en la parte posterior de la estructura (JOB14B-1 a JOB14B-3), una en el lado sur (JOB14B-4) y la última entre las estructuras 8M-10 y 8M-11 (JOB14B-5). La mayor cantidad de material fue de 336 tiestos en JOB14B-2 y la menor de 68 en JOB14B-4; también se recolectó pedernal, obsidiana y concha. La presencia de estratos varió entre

dos y tres. Sin embargo, el humus y la tierra café oscura estuvieron presentes en todas las unidades. Además, en este último estrato se presentó casi todo el material encontrado. Debido a la cantidad y variedad de material recolectado, toda la parte posterior de la Estructura 8M-11 representa una posible ubicación de un área de deposición de desechos, aunque debido a restricciones de tiempo no fue posible investigarlo. Entre la cerámica recuperada se identificaron los tipos cerámicos Gris Fino, Tinaja Rojo, Chaquiste Impreso, Pantano Impreso, Infierno Negro, Cambio sin Engobe y Encanto Estriado del Clásico Tardío, al igual que Águila Naranja entre varios erosionados e indeterminados del Clásico Temprano.

Operación JOB29: Excavaciones en la Aguada del Grupo E

Las excavaciones en el Grupo E constaron solamente de una prueba de pala de 0.50 x 0.50 m en la orilla de la aguada del grupo, la cual se encuentra aproximadamente 50 m al noroeste de la estructura donde fue documentado el Saqueo 8 (Ponce 2017). El objetivo de esta excavación fue investigar la posibilidad que la aguada fuera utilizada regularmente por los habitantes de El Jobillo para extraer agua para diversos propósitos. La prueba de pala alcanzó una profundidad máxima de 0.50 m y se identificaron solamente dos estratos. El primero constó de tierra café oscura compacta en terrones y el segundo de barro compacto. No se recuperó material cultural, sugiriendo que esta área probablemente no era utilizada regularmente para la extracción de agua. Considerando que El Jobillo se encuentra rodeado de arroyos estacionales, es probable que el agua fresca era obtenida de esas áreas.

Conclusiones

Las investigaciones de esta temporada confirmaron una ocupación amplia en El Jobillo abarcando desde el Preclásico Tardío hasta finales del Clásico Tardío. Los datos demuestran una ocupación representativa durante el Clásico Temprano reflejada en una cantidad significativa de material fechado para este período en los diferentes contextos investigados, ya que 52% de estructuras y plazas investigadas poseen cerámica fechada para el Clásico Temprano. Por su parte, el incremento poblacional durante el Clásico Tardío es evidente en el 76% de contextos investigados con cerámica de este período, y la expansión de espacios para uso ceremonial y residencial tales como el Grupo B y la

Estructura 8M-1. Esto muestra que aunque hubo una población asentada desde el Preclásico Tardío y Clásico Temprano, El Jobillo parece haber sido habitado principalmente durante el Clásico Tardío.

Las investigaciones de arquitectura monumental en la Estructura 8M-1 reflejan la importancia de actividades ceremoniales y comunales para los habitantes de El Jobillo a través del tiempo. En este edificio se lograron identificar tres grandes fases constructivas (Figura 6.35). Las dos etapas más tempranas están representadas por estructuras con fachadas estucadas, cuyo acceso principal posiblemente se encontraba en la Fachada Norte. Es probable que estas estructuras fueran construidas durante el Preclásico Tardío y/o Clásico Temprano. Aunque se desconoce la altura original de ambas, la estructura de la primera fase midió aproximadamente 5.20 m N-S y fue ampliada 2.30 m hacia el norte durante la segunda fase. Las diferencias en rellenos constructivos y calidad del estuco utilizado sugieren diferencias en acceso a recursos durante ambas etapas. Posteriormente, la mayor ampliación de la Estructura 8M-1 fue realizada durante el Clásico Tardío y se documentaron cuatro modificaciones a lo largo de este período.

Inicialmente, el edificio alcanzó una altura entre 4 y 5 m. Esta ampliación está representada por un piso de estuco poroso e inclinado hacia el lado norte. Posteriormente, el edificio fue agrandado nuevamente, elevándolo aproximadamente 0.50 m de altura. Esta segunda remodelación está representada por un piso de estuco con una huella de poste que es indicio de un techo de material percedero en la superestructura durante esta etapa. Como parte de una tercera modificación, estos rasgos fueron cubiertos por el piso de estuco de mayor calidad identificado hasta el momento en la Estructura 8M-1 y una banqueta o escalón, la cual se encontraba pintada originalmente de rojo y negro.

Finalmente, como parte de la cuarta y última remodelación, los rasgos de la tercera etapa fueron cortados por los lados oeste y norte y cubiertos cuidadosamente con piedras labradas al momento de su cancelación. El edificio fue ampliado significativamente en volumen para medir aproximadamente 17 m N-S y elevado aproximadamente 0.20 m para alcanzar una altura de 6.5 m desde el piso de plaza en el lado sur. Sin embargo, la calidad de los materiales constructivos utilizados fue considerablemente menor en comparación a la etapa previa. La arquitectura de esta última fase está representada por un piso de estuco frágil en la superestructura delimitado por muros hechos con piedras porosas y la mayoría

sin labrar. La Fachada Norte presentaba terrazas y el acceso principal posiblemente fue en la Fachada Este. Los contrastes en la arquitectura de la tercera y cuarta fase en particular muestran un cambio significativo en acceso a recursos durante el Clásico Tardío. Esto podría deberse a cambios sociales a nivel local y posiblemente regional durante este período, tales como variaciones poblacionales y/o en dinámicas de poder. De igual manera, la evidencia arqueológica muestra continuidad en prácticas ceremoniales en la Estructura 8M-1 a lo largo de este período.

Los sondeos realizados en los Grupos A y B permitieron refinar la secuencia ocupacional de El Jobillo y conocer más sobre las actividades que allí se realizaban. Los sondeos en el Grupo A indican que este grupo residencial fue habitado desde el Clásico Temprano y su ocupación se extendió hasta finales del Clásico Tardío. Por su parte, aunque el Grupo B fue habitado principalmente durante el Clásico Tardío, las excavaciones de este año demostraron que al menos algunas de las estructuras estuvieron presentes desde el Clásico Temprano, sugiriendo una ocupación más representativa durante este período en El Jobillo en comparación a lo que se conocía previamente. Los basureros identificados en el Grupo B indican que fue un foco de actividades comunales que involucraban el consumo de alimentos y bebidas, aunque no es posible saber si participaba solamente un grupo selecto de personas o toda la comunidad. De igual manera, puede que las actividades que se realizaban en el Grupo B estuvieran relacionadas con las de la Estructura 8M-1 debido a su cercanía física.

Finalmente, las investigaciones en El Jobillo han demostrado variaciones en su configuración física y social a través del tiempo como reflejo de cambios socioeconómicos diacrónicos. Los resultados de las investigaciones en esta y otras áreas periféricas de La Corona muestran la importancia de la investigación de estos asentamientos para comprender dinámicas sociales a escala local y regional.

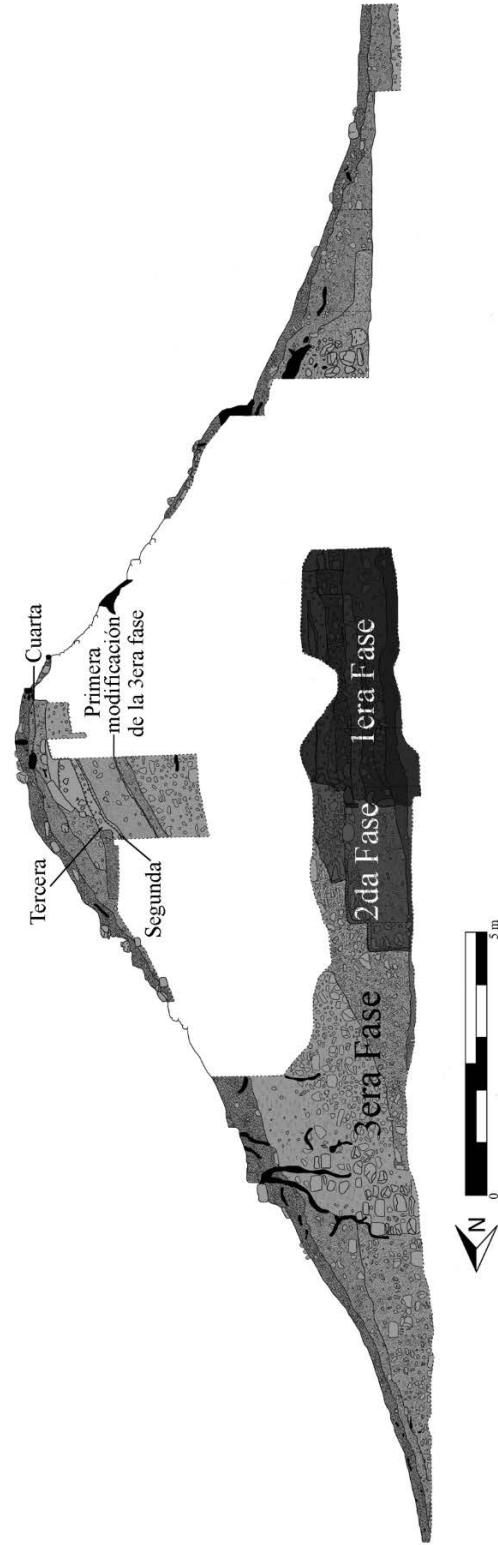


Figura 6.35 Perfil sección este-oeste de la Estructura 8M-1 mostrando temporalidades y fases constructivas (Dibujo por J. Ponce)

Tabla 6.1 Frecuencia de materiales recuperados en El Jobillo por contexto

Contexto	Cerámica	Obsidiana	Pedernal	Concha	Figurilla	Otros
Estructura 8M-1						
JOB16B-1-1-1	12		1			
JOB16B-1-2-2	69					
JOB16B-1-3-3	69	3		3		7
JOB16B Saqueo 5	11					
JOB16B- Saqueo 5-1	8					2
JOB16B- Saqueo 5-2	9					
JOB16B- Saqueo 5-3	7					1
JOB16B- Saqueo 5-4	20					1
JOB16C-1-2-3	22					1
JOB16C-1-4-6	196	4	11	3		1
JOB16C-1-4-8	25			1		
JOB16C-1-4-9	19	1				
JOB16C-1-5-10	23			1		
JOB16C-1-5-11	57					
JOB16C-2-5-5	49		2			3
JOB16C-2-7-7	723	3	16	4		6
JOB16C-2-9-9	152	9	4	1		7
JOB16C-2-10- 10	190	10	1	4		18
JOB16C-3-1-1	37		1			5
JOB16C-3-2-2	96	1	2	1		11
JOB16C-3-3-3	120		4	1		18
Grupo A						
JOB04B-1-2-2	97					
JOB04B-2-2-2	65					
JOB04B-2-3-3	3		2			
JOB04B-3-3-3	46	3	4			
JOB04B-4-3-3	54					
JOB04B-5-3-3	83					
JOB04B-6-1-1	13					
JOB04B-6-3-3	91					
JOB04B-7-1-1	10					

Contexto	Cerámica	Obsidiana	Pedernal	Concha	Figurilla	Otros
JOB04B-7-2-2	26					
JOB04B-7-3-3	2	1				
JOB04B-8-1-1	8					
JOB04B-8-2-2	60					
JOB04B-9-1-1	9					
JOB4D-9-1-1	156					
JOB4D-9-2-2	298				1	1
JOB4D-9-3-3	248					
JOB06B-1-1-1	5					
JOB06B-2-1-1	11					
JOB06B-2-2-2	13					
JOB06B-3-1-1	42					
JOB06B-4-1-1	45					
JOB06D-1-1-1	11					
JOB06D-1-2-2	3					
JOB06D-2-1-1	15					
JOB06D-3-1-1	6					1
JOB06C-1-2-2	20					1
JOB06C-2-1-1	9					
JOB06C-2-2-2	20					1
JOB07B-1-1-1	10					
JOB07B-1-2-2	3					
JOB07B-2-1-1	15					
JOB07B-2-2-2	24					
JOB07B-3-1-1	17					
JOB07B-3-2-2	38					
JOB07B-4-1-1	17		1			
JOB07B-4-2-2	40					
JOB07B-5-1-1	15					
JOB07B-6-1-1	19					
JOB07B-7-1-1	13					
JOB07B-7-2-2	7					
JOB07B-8-1-1	22					
JOB07B-8-2-2	7					
JOB07B-9-1-1	14					
JOB07B-9-3-3	1					
JOB07B-10-2-2	19				1	
JOB07B-11-1-1	14					

Contexto	Cerámica	Obsidiana	Pedernal	Concha	Figurilla	Otros
JOB07B-12-1-1	10					
JOB07B-12-2-2	14					
JOB07B-13-1-1	1					
JOB07B-13-2-2	20					
JOB07B-14-1-1	15		1			
JOB07B-14-2-2	1					
JOB07B-14-3-3	3					
JOB07B-15-1-1	34					
JOB07B-16-1-1	8					
JOB07B-17-2-2	1					
Grupo B						
JOB09B-1-2-2	54					
JOB09B-2-2-2	70					
JOB09B-2-3-3	18					
JOB09B-3-2-2	15					
JOB09B-4-2-2	3					
JOB10B-1-2-2	94					
JOB10B-1-3-3	4					
JOB10B-1-3-4	7					
JOB10B-2-2-2	70					
JOB10B-2-3-3	4					
JOB10B-3-2-2	141		1			
JOB10B-4-2-2	20					
JOB10B-4-3-3	5					
JOB10B-5-2-2	86					
JOB10B-6-Superficie	2					
JOB10B-6-2-2	71					
JOB10B-6-3-3	9					
JOB10B-7-2-2	39					
JOB10B-8-2-2	207		2			
JOB10B-8-3-3	7					
JOB10B-9-2-2	99		1			
JOB10B-9-2-3	52					1
JOB10B-10-2-2	83		5			
JOB10B-11-2-2	34					
JOB10B-12-2-2	45		1			
JOB10B-13-2-2	13		2			1

Contexto	Cerámica	Obsidiana	Pedernal	Concha	Figurilla	Otros
JOB10B-14-2-2	1275	4	22		1	9
JOB10B-14-2-3	433	2	11			7
JOB10B-14-2-4	271	2	8			3
JOB10B-14-2-5	218	3	4			3
JOB11B-1-2-2	19					
JOB11B-1-3-3	8					
JOB11B-2-2-2	32					
JOB11B-3-2-2	6					
JOB11B-4-2-2	13					
JOB11B-4-4-4	5					
JOB12B-1-1-1	2					
JOB12B-1-2-2	3					
JOB12B-1-3-3	3					
JOB12B1-2-2-2	4					
JOB12B-3-2-2	13					
JOB12B-4-3-3	9					
JOB12B-5-2-2	4					
JOB13B-1-Superficie	2					
JOB13B-1-2-2	94		1			
JOB13B-2-2-2	81					
JOB13B-3-2-2	62	1				1
JOB13B-3-3-3	2					3
JOB13B-4-2-2	30		1			
JOB13B-5-2-2	21					
JOB13B-5-3-3	2					
JOB13B-6-Superficie	3					
JOB13B-6-2-2	62					
JOB13B-7-1-1	6					
JOB13B-7-2-2	22					
JOB13B-7-3-3						1
JOB13B-8-2-2	8					
JOB13B-8-3-3						1
JOB13B-9-2-2	45					
JOB13B-9-2-3	7					
JOB13B-10-2-2	19					
JOB13B-10-3-3	14					

Contexto	Cerámica	Obsidiana	Pedernal	Concha	Figurilla	Otros
JOB13B-11-2-2	14					
JOB14B-1-2-2	155					
JOB14B-2-2-2	300	1	2	1		
JOB14B-2-3-3	36					
JOB14B-3-2-2	174		1			
JOB14B-3-3-3	35					
JOB14B-4-2-2	68					
JOB14B-5-2-2	124					

CAPÍTULO XII

INVESTIGACIONES EN LA REGIÓN DE ACHIOTAL

Luke Auld-Thomas y Alejandra González

Introducción

La región de Achiotal comprende 155 km² centrados en el sitio de El Achiotal, los cuales se encuentran a aproximadamente 20 km al este de La Corona. La región se define por su característica fisiográfica principal: una escarpa de gran tamaño con forma de pata o trébol de cuatro hojas. Por encima de la escarpa, en el norte y al este de la región, el paisaje es mayoritariamente plano. Por debajo de dicha escarpa se ubican numerosos *civales* y bajos relativamente bien drenados e intercalados con islas de terreno más elevadas, de la cual la mayor es una meseta alargada ocupada por el sitio de El Achiotal (Figura 7. 1).

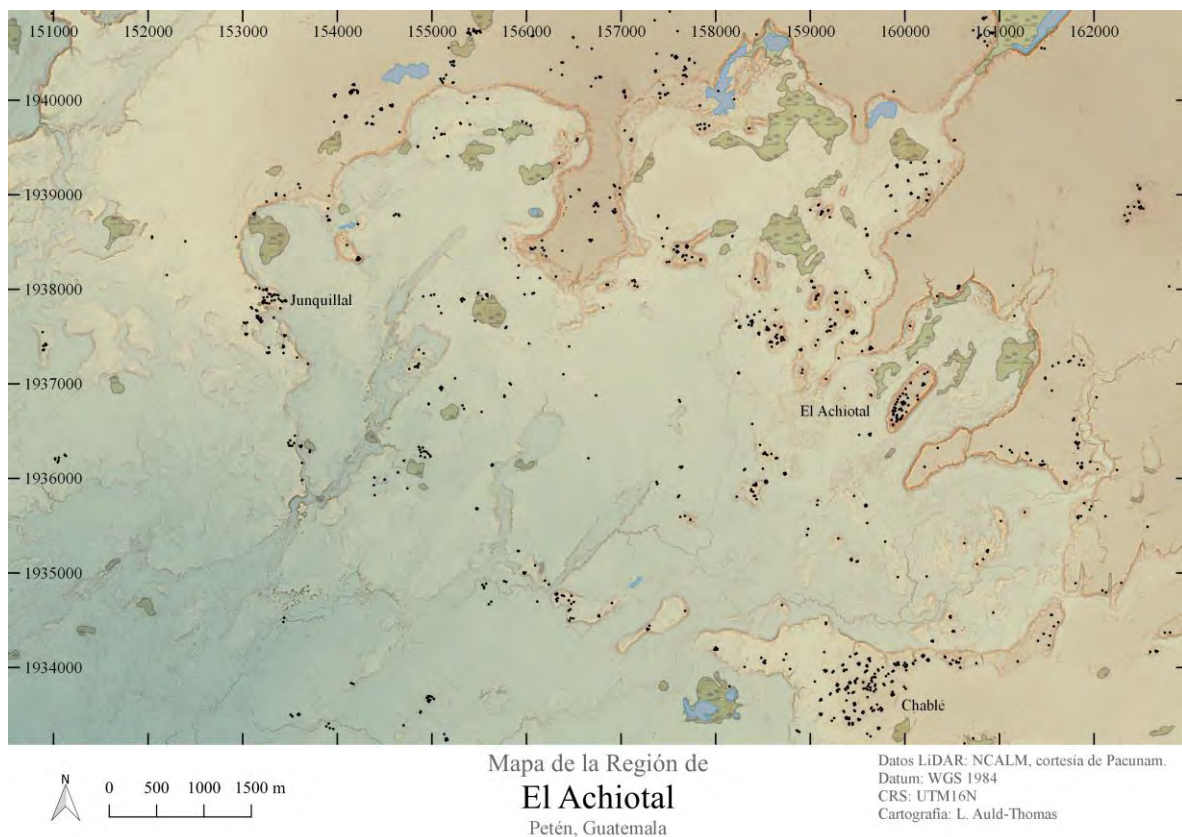


Figura 7.1 La Región El Achiotal (Mapa por L. Auld-Thomas)

El Achiotal ha sido investigado por PRALC desde el año 2009 (Arredondo, ver Capítulo 8), y en 2017 las investigaciones se extendieron hacia las tierras altas adyacentes al noreste de la escarpa (Auld-Thomas 2018). Las investigaciones regionales se expandieron más allá del sitio tras de un reconocimiento aéreo LiDAR realizada en el año 2016, que generó un mapa de 430 km² alrededor de El Achiotal y La Corona y abrió la posibilidad de una evaluación relativamente rápida y completa de patrones de asentamiento en el área de estudio del PRALC.

Las investigaciones regionales durante la Temporada de Campo 2018 tenían dos objetivos: (1) evaluar que tan bien las identificaciones de rasgos basadas en LiDAR concuerdan con las identificaciones realizadas a través del reconocimiento terrestre; y (2) recuperar datos cronológicos sobre asentamientos regionales. Debido a la corta temporada, se llevaron a cabo pocas excavaciones estratigráficas y el trabajo se centró en la excavación de pruebas de pala con el fin de recolectar material cerámico cerca de la superficie y en la validación de las identificaciones de rasgos identificados basadas en LiDAR.

Mapeo Asistido por LiDAR

Metodología

Los datos LiDAR fueron recolectados por el *National Center for Airborne Laser Mapping* (NCALM siglas en inglés) en julio de 2016. Los datos en bruto de la nube de puntos fueron clasificados por el NCALM y entregados a PRALC como una nube de puntos clasificados y como un modelo ráster de terreno con una resolución de cuadrícula de 1 m. Las identificaciones preliminares de rasgos de interés arqueológico se realizaron a principios de 2017 y posteriormente se validaron en campo durante la temporada del mismo año (Auld-Thomas 2018), lo que ayudó a establecer qué tipos de rasgos visibles por medio de LiDAR podrían ser arqueológicos y cuáles podrían representar errores de datos o rasgos naturales (como hormigueros de gran tamaño y rastros de vegetación caída). Con este conocimiento ya adquirido, se llevó a cabo una segunda ronda de identificación de rasgos a fines de 2017. Ese fue el conjunto de datos que se utilizó como base para la validación en campo durante la Temporada 2018 (Figura 7. 2).

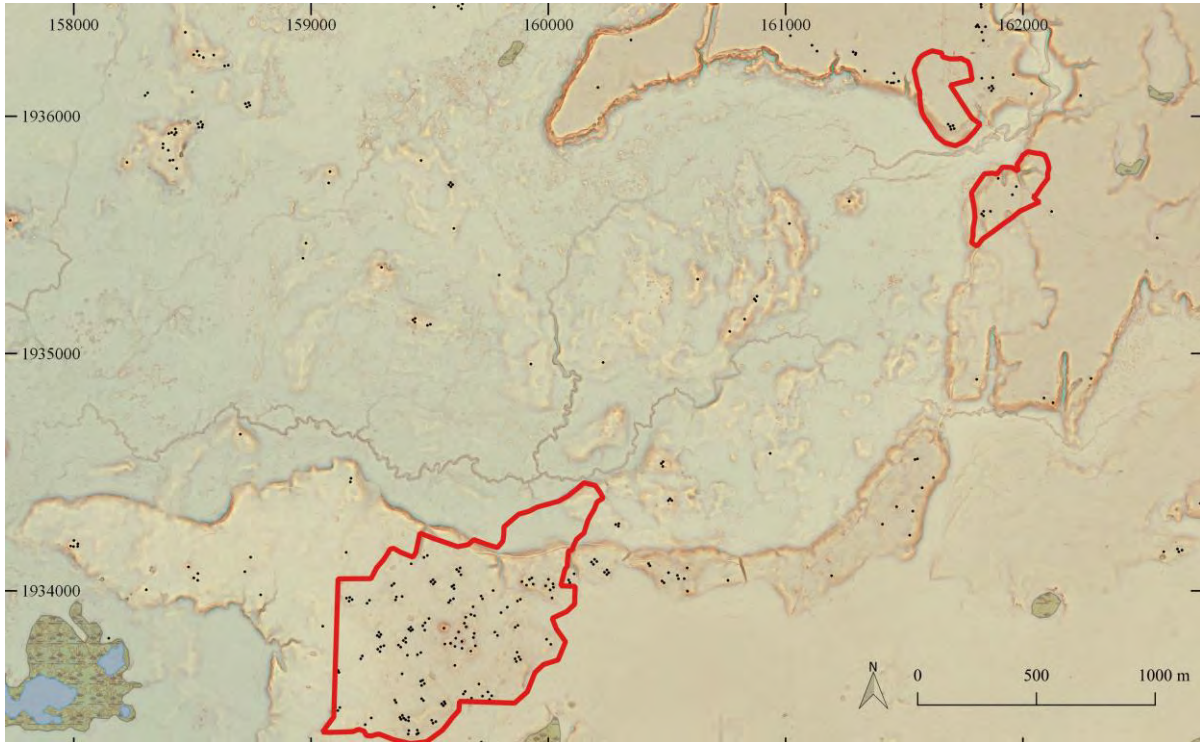


Figura 7.2 Estructuras arqueológicas identificadas manualmente a través de análisis visual de modelos LiDAR del terreno. La vista detallada evidencia áreas sujetas a validación en campo durante 2018 (Mapa por L. Auld-Thomas)

Las visualizaciones del terreno derivadas de LiDAR junto con las capas que contienen rasgos de interés arqueológico identificados preliminarmente, se cargaron en un teléfono inteligente Moto G4, cuyas capacidades de GPS son comparables a las de GPS de uso común, con precisión de 5-7 m bajo vegetación densa y mejor de 5 m bajo un cielo despejado. Todos los datos generados por el mapeo en campo, incluidas las ubicaciones de las estructuras, las pruebas de pala y las excavaciones estratigráficas, se recopilaron utilizando MapIt GIS, una aplicación de SIG móvil para el sistema operativo Android (Figura 7.3).

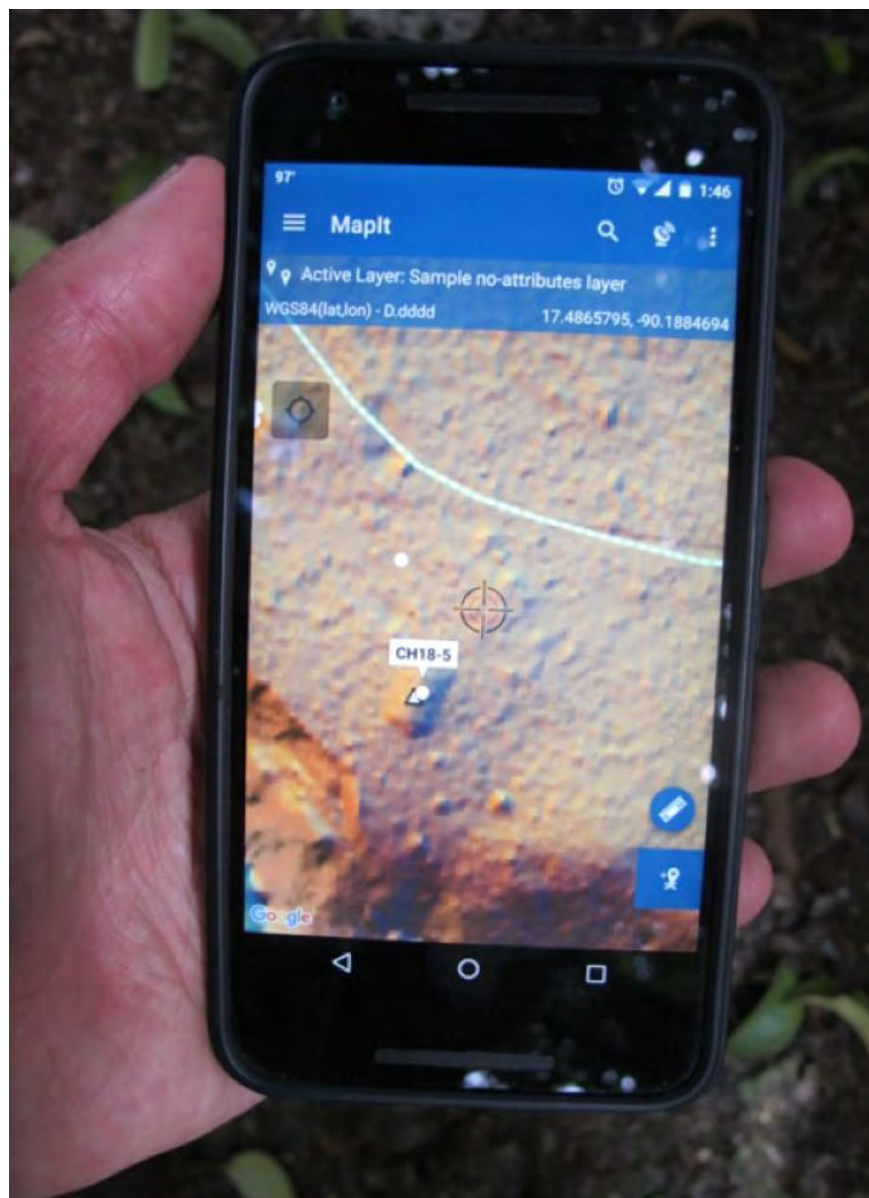


Figura 7.3 Moto G4 utilizando MapIT GIS (Foto por L. Auld-Thomas)

La validación de datos en campo durante la Temporada 2018 se centró en dos áreas: (1) la cuadrícula CI17 inmediatamente al sur del campamento de El Achiotal; y (2) los cuadrantes de cuadrícula CD13, CE13 y partes de los cuadrantes de cuadrícula adyacentes que en conjunto abarcan el asentamiento de Chablé. El equipo de reconocimiento utilizando el GPS se dirigió a los rasgos identificados remotamente, registrando todos los remanentes arqueológicos que se hallaron en el camino, ya sea que hayan sido identificados previamente o no. Al llegar a un rasgo identificado remotamente, el área se limpió de vegetación baja y el equipo de reconocimiento investigó la zona en busca de otros rasgos a una distancia

aproximada de 40 m en todas las direcciones. Todos los rasgos arqueológicos se registraron como puntos utilizando el teléfono inteligente Moto G4, registrando el tipo de rasgos (chultún, estructura, terraza, depósito, etc.) y su "confirmación LiDAR". Adicional a las posibilidades de "confirmación LiDAR", "falso negativo" y "falso positivo" (p.e. Reese-Taylor et al. 2016; Inomata et al. 2018), se incluyó la opción "LiDAR visible pero no reconocido". La categoría "visible pero no reconocida" básicamente identifica rasgos que se identificaron como arqueológicos durante el reconocimiento en campo y que luego fue posible su identificación en los datos LiDAR. La categoría no indica qué tan claros o fáciles de interpretar son los rasgos en las imágenes, simplemente establece que podían ser reconocidos.

Esta opción se consideró necesaria porque los rasgos que se identificaron en los modelos de terreno LiDAR por un analista humano, quien puede ser más o menos conservador en cuanto a la identificación de bajas protuberancias como montículos arqueológicos en oposición a, por ejemplo, la vegetación. Como tal, simplemente contabilizar los falsos negativos y los falsos positivos y usarlos como una medida de cuán fieles son los datos de terreno LiDAR puede opacar el punto importante de que los rasgos deben ser reconocidos por un analista humano, y a la vez que distintos analistas abordarán el mismo conjunto de datos de manera ligeramente diferente. La categoría "visible pero no reconocido" proporciona una medida de que tan conservador fue el analista, lo cual es importante para calibrar futuras fases de identificación de rasgos en la región.

Además de tomar las coordenadas GPS para todos los rasgos identificados durante el reconocimiento, todos los rasgos se mapearon con pasos y brújula y se dibujaron usando la convección esquemática conocida como "Malerización" (Carr et al. 2015) (Figura 7.4). Los rasgos se registraron y se asignaron a nivel de "grupo", definidas como el nivel mínimo en el que los rasgos se articulan o "se agrupan". Adicional al registro de rasgos arqueológicos, los formularios de reconocimiento incluyeron información sobre la vegetación, el entorno topográfico, las perturbaciones modernas y el clima.

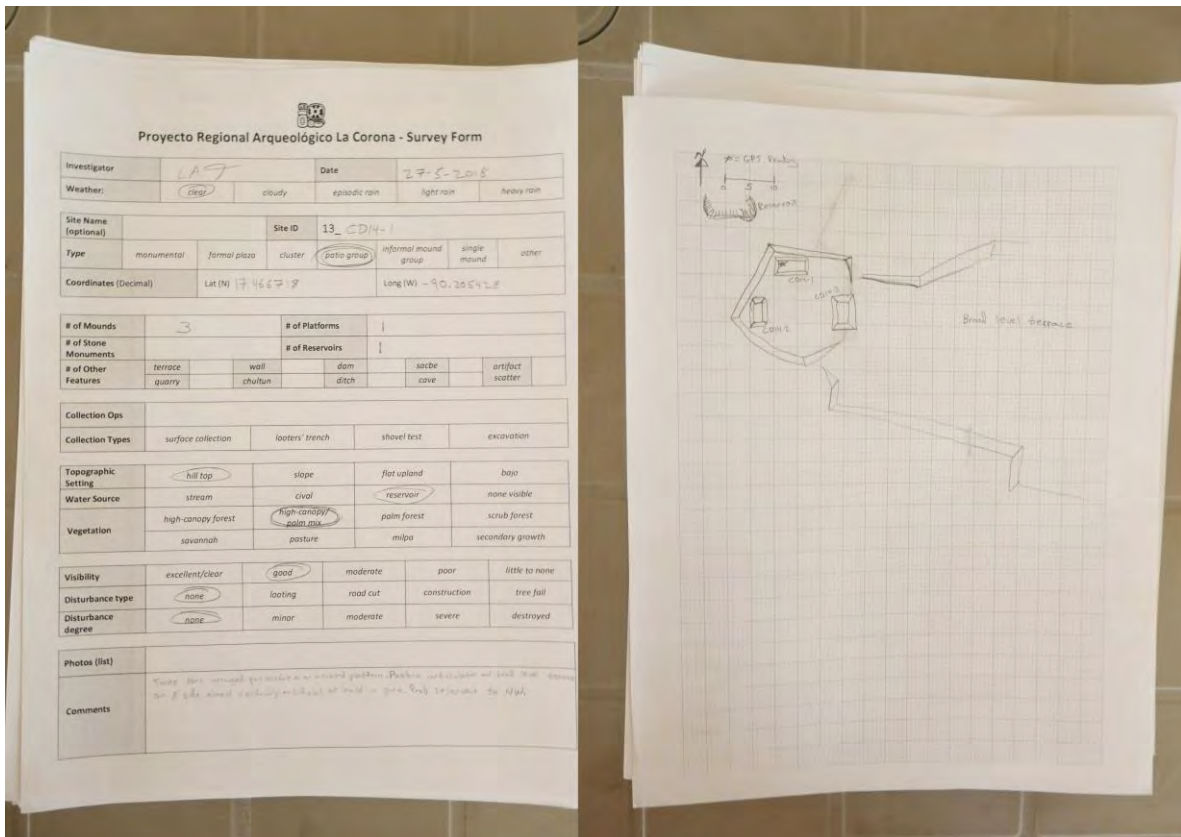


Figura 7.4 Formato completo de Reconocimiento junto con mapa realizado a paso y brújula (Fotografía por L. Auld-Thomas)

El investigador principal mantuvo el seguimiento de todas las áreas cubiertas por el equipo de mapeo y si alguna de las áreas seguía sin estar cubierta por la metodología mencionada anteriormente, aseguró que el equipo de mapeo cubriera esas áreas utilizando el reconocimiento tradicional de mapeo completo. De esta manera, el equipo de reconocimiento pudo cubrir un área relativamente grande de manera eficiente, con apoyo del conocimiento previo del terreno y la distribución general de los rasgos arqueológicos gracias a los datos del modelo de terreno LiDAR.

Resultados

Rasgos Mapeados

El equipo de mapeo fue capaz de llevar a cabo el reconocimiento completo de un área de 88 km² durante la Temporada de Campo 2018, que incluyeron 15 km² adyacentes al campamento El Achiotal y 73 km² en el sitio Chablé. En total, 232 rasgos arqueológicos fueron mapeados: 196 estructuras, 11 chultunes, 1 cantera, 16 reservorios, 2 rampas, 1 presa, 4 estructuras largas como plataformas y 3 terrazas lineales. Los resúmenes detallados de los datos de grupo-por-grupo se pueden localizar en los formularios de reconocimiento realizados por el investigador principal, archivados en el Laboratorio PRALC.

Todos los rasgos mapeados en campo fueron redibujados en QGIS 3.2, especialmente corregidos utilizando los datos de terreno LiDAR. El mapa final se presenta a continuación (Figura 7.5 y 7.6):

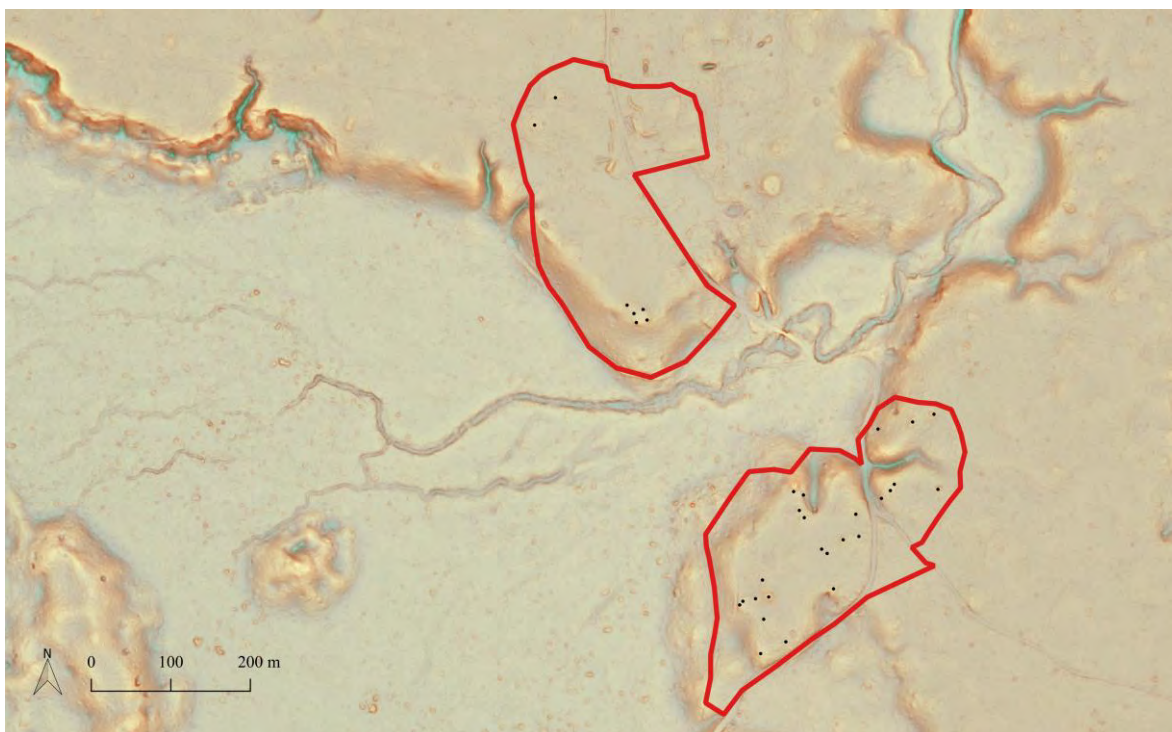


Figura 7.5 Rasgos arqueológicos mapeados al sur del Campamento Achiotal. Se indica el alcance de la cobertura total de reconocimiento durante la Temporada 2018 (Mapa por L. Auld-Thomas)

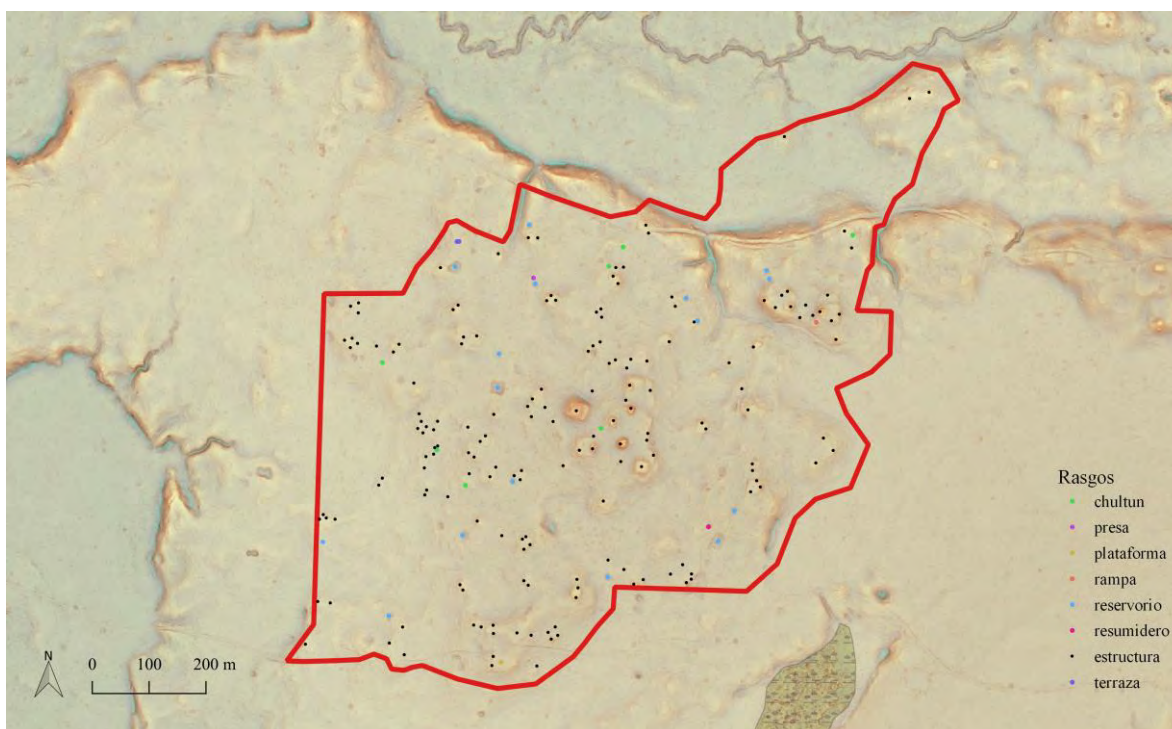


Figura 7.6 Rasgos arqueológicos mapeados en Chablé. Se indica el alcance de cobertura total del reconocimiento durante la Temporada 2018 (Mapa por L. Auld-Thomas)

Fidelidad LiDAR

El único tipo de rasgos arqueológico que fue sistemáticamente digitalizado antes de la Temporada de Campo 2018 fueron las “estructuras”, siendo estos edificios o plataformas que pudieron haber soportado agrupamientos de pequeñas estructuras precederas. Como tal, este fue el único rasgo para el cual se pudo calcular la fidelidad de la identificación.

La fidelidad fue calculada de dos maneras: (1) derivando la medida-F a partir de una matriz de confusión, una medida estadística común para medir el éxito de un modelo de clasificación correcta de datos binarios (Manning et al. 2009: 151–176), y (2) derivando un valor de corrección general, que proporciona una medida más intuitiva de lo que es más probable que un arqueólogo quisiera saber sobre los conjuntos de datos de estructuras derivados de LiDAR, es decir, si "sobre-cuentan" o "sub-cuentan" estructuras en un área de estudio determinada (ver Inomata et al. 2018).

Identificación remota de estructuras	Total estructuras validadas en campo	Confirmación LiDAR	Falso Negativo	Visible pero no identificado	Falso Positivo
145	174	119	23	32	26

Tabla 7.1 Resultados de validación de datos en Chablé.

Identificación remota de estructuras	Total estructuras validadas en campo	Confirmación LiDAR	Falso Negativo	Visible pero no identificado	Falso Positivo
13	22	9	5	8	3

Tabla 7.2 Resultados de validación de datos al sur del Campamento Achiotal.

Identificación remota de estructuras	Total estructuras validadas en campo	Confirmación LiDAR	Falso Negativo	Visible pero no identificado	Falso Positivo
158	196	128	28	40	29

Tabla 7.3 Combinación de resultados de Validación total en campo durante la Temporada de Campo 2018.

Las tablas 7.1 y 7.2 resumen los resultados de la validación en campo para Chablé y para el área al sur del Campamento de El Achiotal. Los dos se abordan por separado debido a las diferentes condiciones de vegetación, ya que esto puede afectar el rendimiento de la clasificación del terreno LiDAR. Chablé está dominado principalmente por un bosque de árboles de ramón y corozal maduro; si bien ha sido expuesto a cierta tala selectiva y al corte para varias carreteras, el bosque se encuentra en su mayor parte no perturbado por la actividad humana reciente. En contraste, el área al sur del campamento de El Achiotal ha estado sujeta a tala significativa y otras perturbaciones ejecutadas por el ser humano desde la década de 1960, y como resultado, el bosque es denso y frondoso, típico de un crecimiento secundario.

La tabla 7.3 combina las dos áreas en un único conjunto de datos que representa toda la validación terrestre en campo realizada durante el 2018.

Pasar de estos resultados "sin procesar" a datos de rendimiento cuantificables requiere la reclasificación de los rasgos "LiDAR visible pero no reconocido", de modo que los datos se ajusten a un esquema simple de clasificación binaria correcta/incorrecta. Esto se hizo dos veces (tablas 7. 4 a 7. 7). La combinación de los rasgos "LiDAR visible pero no reconocido" con "verdadero positivo" evalúa la confiabilidad de los datos de terreno LiDAR en sí, en lugar de la identificación de los rasgos por parte de un analista, al combinar todos los rasgos que eran reconocibles en los datos del terreno en una única clase, independientemente de si se identificaron o no de forma remota antes del reconocimiento en campo. Hacer lo contrario, y combinar "LiDAR visible pero no reconocido" junto con "falso negativo" evalúa la precisión de la identificación de rasgos del analista. La medida-F que acompaña a cada matriz de confusión resume el rendimiento general de los conjuntos de datos derivados de LiDAR en comparación con la validación de campo; las puntuaciones cercanas a 1 indican un mejor rendimiento.

La medida-F (escrita aquí como "F1") se calcula sobre la base de dos variables: *precisión* y *recuperación*. Estos se calculan utilizando las siguientes fórmulas:

$$\textit{Precisión} = \frac{\textit{Verdadero Positivo}}{\textit{Verdadero Positivo} + \textit{Falso Positivo}}$$

$$\textit{Recuperación} = \frac{\textit{Verdadero Positivo}}{\textit{Verdadero Positivo} + \textit{Falso Negativo}}$$

$$F1 = 2 * \frac{\textit{Precisión} * \textit{Recuperación}}{\textit{Precisión} + \textit{Recuperación}}$$

		Predicho	
		Positivo	Negativo
Actual	Positivo	119+32=151	23
	Negativo	26	N/A
Precisión = 0.853, Recuperación = 0.868			
F1 = .860			

Tabla 7.4 Matriz de confusión que resume la fidelidad de los datos LiDAR para Chablé. Las estructuras con el atributo "LiDAR visible pero no reconocido" se incluyen en el total de "verdadero positivo" (Compare con la Tabla 7.5).

		Predicho	
		Positivo	Negativo
Actual	Positivo	119	23+32=55
	Negativo	26	N/A
Precisión = 0.821, Recuperación = 0.684			
F1 = .746			

Tabla 7.5 Matriz de confusión que resume la fidelidad de los datos LiDAR para Chablé. Las estructuras con el atributo "LiDAR visible pero no reconocido" se incluyen en el total de "falso negativo" (Compare con la tabla 7.4).

		Predicho	
		Positivo	Negativo
Actual	Positivo	9+8=17	5
	Negativo	3	N/A
Precisión = 0.850, Recuperación = 0.773			
F1 = 0.810			

Tabla 7.6 Matriz de confusión que resume la fidelidad de los datos LiDAR para el campamento de El Achiotal. Las estructuras con el atributo "LiDAR visible pero no reconocido" se incluyen en el total de "verdaderos positivos" (compare con la tabla 7.7).

Como se puede apreciar, cuando las estructuras "LiDAR visible pero no identificado" se incluyen entre los "verdaderos positivos", el puntaje de F1 es bastante alto, lo que indica una alta fidelidad entre los datos LiDAR en sí y lo que los mapeadores encuentran en campo. La inclusión de "estructuras LiDAR visibles pero no identificados" junto con "falsos negativos" reduce la puntuación de F1, lo que indica que el analista fue bastante conservador en la identificación remota de estructuras. Sin embargo, se debe tener en cuenta que si bien un conjunto menos conservador de identificación de rasgos pudo haber reducido el número de identificaciones "falsas negativas", es probable que también haya resultado en una *mayor* incidencia de identificaciones "falsas positivas". En ausencia de múltiples conjuntos de datos de identificación remota generados por diferentes analistas o por el mismo analista siguiendo pautas más permisivas, es difícil saber si los cambios en el procedimiento de identificación remota mejorarían la base de datos de la estructura identificada remotamente.

Finalmente, aunque la diferencia entre la puntuación F1 entre Chablé y el Campamento El Achiotal probablemente indica las diferencias de fiabilidad de la clasificación de terreno LiDAR en cuanto a diferentes zonas de vegetación, el tamaño reducido del área mapeada cerca del campo de El Achiotal hace difícil generar conclusiones de dicha comparación. Es suficiente decir que la correlación bien establecida entre la altura/densidad de la vegetación y la claridad de los rasgos arqueológicos en los modelos de terreno LiDAR (Reese 2016; Hutson 2015) aparece confirmada en el caso del Campamento El Achiotal.

Además de las matrices de confusión y las puntuaciones F1, se calculó el "error total" para la base de datos completa (combinando Chablé y el Campamento Achiotal). El error total representa el impacto general de las identificaciones "falsas negativas" y "falsas positivas" e indica si las identificaciones de rasgos basadas en LiDAR sobreestiman o subestiman rasgos arqueológicos. Esta cifra se calculó con la siguiente fórmula:

$$\text{Error Total} = \frac{(\text{Falso Positivo} - \text{Falso Negativo})}{\text{Total Lidar IDs}}$$

El error total representa el ajuste general que es necesario para que las identificaciones remotas de rasgos concuerden con las identificaciones en campo de los rasgos. Los valores negativos indican que las identificaciones remotas *subestiman* el número total de rasgos registrados por el reconocimiento en campo terrestre, mientras que los valores positivos indican lo contrario, es decir que las identificaciones remotas *sobrestiman* la cantidad de rasgos.

Al igual que en el cálculo de la puntuación F1, el error total se calculó dos veces, una vez combinando "LiDAR visible pero no reconocido" junto con "verdadero positivo" y una vez combinando con "falso negativo".

La aplicación de los valores presentados en la Tabla 7.3 al cálculo anterior produce un error total de -0.005 en el primer caso (que representa la fidelidad general del modelo de terreno LiDAR) y -.209 en el segundo (que representa la fidelidad de la identificación de rasgos por los analistas). Es decir, en ambos casos, la identificación de rasgos derivadas de LiDAR subestimaron el número total de rasgos, en 0.5% y 20.9%, respectivamente.

En resumen, después de los resultados de la validación en campo durante el 2018, se puede afirmar que las identificaciones remotas de los rasgos basados en los datos LiDAR fueron precisas, aunque ligeramente conservadoras, con un error total de aproximadamente -21%. Se encontró que los datos LiDAR en sí eran extremadamente fieles en su representación de la superficie del terreno (error total = -0.5%), con la mayoría de los rasgos que no se identificaron en el análisis remoto siendo discernibles en los modelos de terreno una vez que los topógrafos en el campo supieron búscalos e identificarlos específicamente.

Operación ACH100: Recolección de Superficie

Las condiciones ambientales de Petén limitan la utilidad de recolección cerámica de superficie, puesto que los tiestos tienden a estar muy erosionados. Por esta razón, la recolección de superficie no se realizó para las estructuras mapeadas, excepto cuando se identificará un árbol caído, una trinchera de saqueo o algún otro disturbio reciente que ofreciera la posibilidad de recuperar material en mejores estados de conservación.

La Tabla 7.8 presenta el resumen de los materiales recuperados en la recolección de superficie y la Figura 7.7 muestra la ubicación de las operaciones de recolección de superficie.

Operación	# Cerámica	# Lítica	# Obsidiana	# Concha
ACH100-CD13-ch1	286	11	2	-
ACH100-CD13-60	40	-	-	-
ACH100-CD13-67	8	-	-	-
ACH100-CD14-07	31	-	-	-
ACH100-CD13-24	19	-	-	-
ACH100-CE14-15	143	2	-	-
ACH100-CE13-Res1	77	1	-	1
ACH100-CE13-06	24	-	-	-
ACH100-CD12-pl1	1,847	8	2	-

Tabla 7.8 Artefactos recuperados de la recolección de superficie (ACH100)

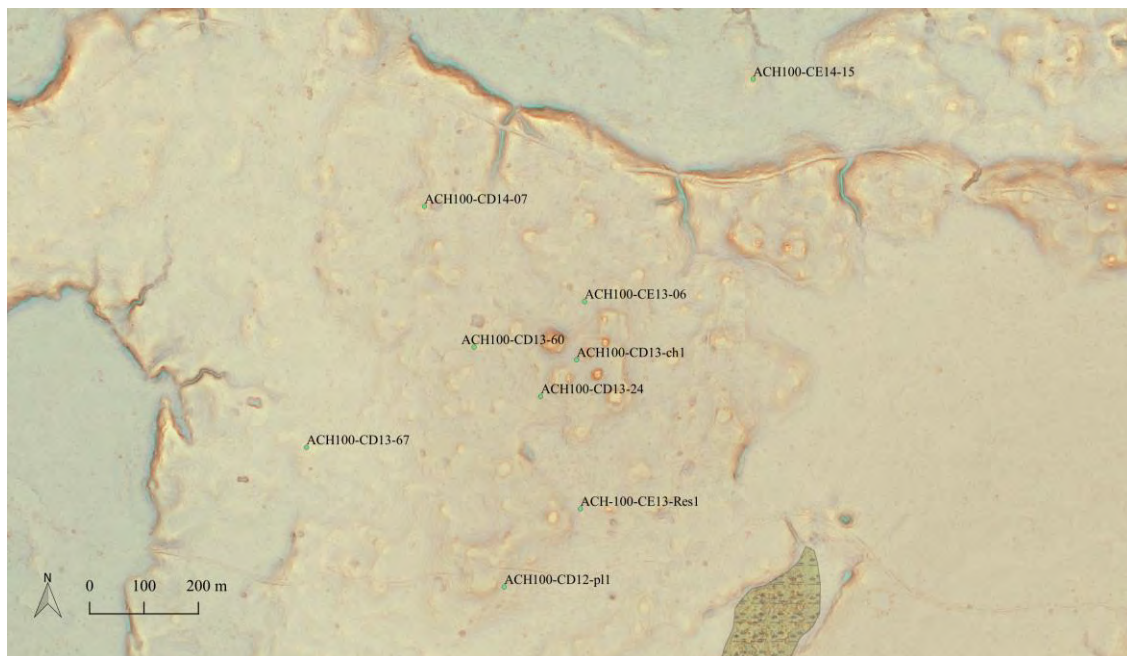


Figura 7.7 Ubicación de la Recolección de Superficie (Mapa por L. Auld-Thomas)

Se deben hacer notar dos hechos con respecto a la recolección de superficie. En primera instancia ACH100-CD12-pl1 se llevó a cabo justo al norte de CD12-pl1, una plataforma grande con dos superestructuras en el extremo sur del epicentro de Chablé. Aquí, parece que la caída de un árbol ocurrió en el área de un depósito de basurero importante, ya que la cantidad de tiosos recuperados (1,847) fue realmente sorprendente. En segundo lugar,

la recolección de la superficie ACH100-CE13-Res1 se realizó después de que se encontró una caracola/concha muy dañada de *Strombus* (concha marina) en la superficie del reservorio. Al encontrarse con una especie de molusco marino en un contexto acuoso tan lejos del océano, seguramente trata de deposición intencional, probablemente ritual.

Operación ACH101: Pruebas de Pala

Dada la limitada utilidad de la recolección de superficie y la extensa cantidad de tiempo requerido para la realización de excavación estratigráfica, se optó por realizar pruebas de pala como un medio de muestreo relativamente grande de estructuras en un tiempo corto.

Metodología

Las pruebas de pala se excavaron en estructuras elegidas a conveniencia después de haber sido validadas en el campo. Una estrategia de muestreo más sólida desde el punto de vista estadístico hubiera sido preferible, sin embargo, antes de la validación de campo no se tenía conocimiento de qué tan precisos serían las coincidencias entre los rasgos identificados remotamente y las observaciones en campo y, por consiguiente, el diseño de una estrategia de muestreo sobre la base de datos de identificaciones remotas fue considerado como muy anticipado. En su lugar, el muestreo a conveniencia trató de distribuir las pruebas de palas lo más uniformemente posible en un área extensa, con enfoque principal en el sitio de Chablé. Se excavó una densidad de pruebas de pala comparativamente alta en un área pequeña adyacente al campamento de El Achiotal; éstas fueron esencialmente experimentales, con intención de establecer la ubicación óptima de las pruebas de pala *vis-á-vis* a los montículos para recuperar la mayor cantidad de artefactos (Figuras 7.7 y 7.8).

Las pruebas de pala fueron de 0.50 x 0.50 x 0.50 m en todos los casos y se colocaron cerca de las esquinas de los montículos— a lo largo de la parte posterior cuando ésta se pudiera determinar— y justo por encima de la base del montículo. Esta ubicación tenía la intención de maximizar las posibilidades de encontrar depósitos de basureros al mismo tiempo que recolectar material que perteneciera al derrumbe la última etapa constructiva de la estructura. Mientras que de algunas pruebas de pala se recolectaron muy pocos artefactos, en otras se identificaron depósitos con alta densidad de artefactos cerámicos, líticos y de concha, de los cuales incluyen al menos un basurero secundario (ver ACH99-26, a continuación).

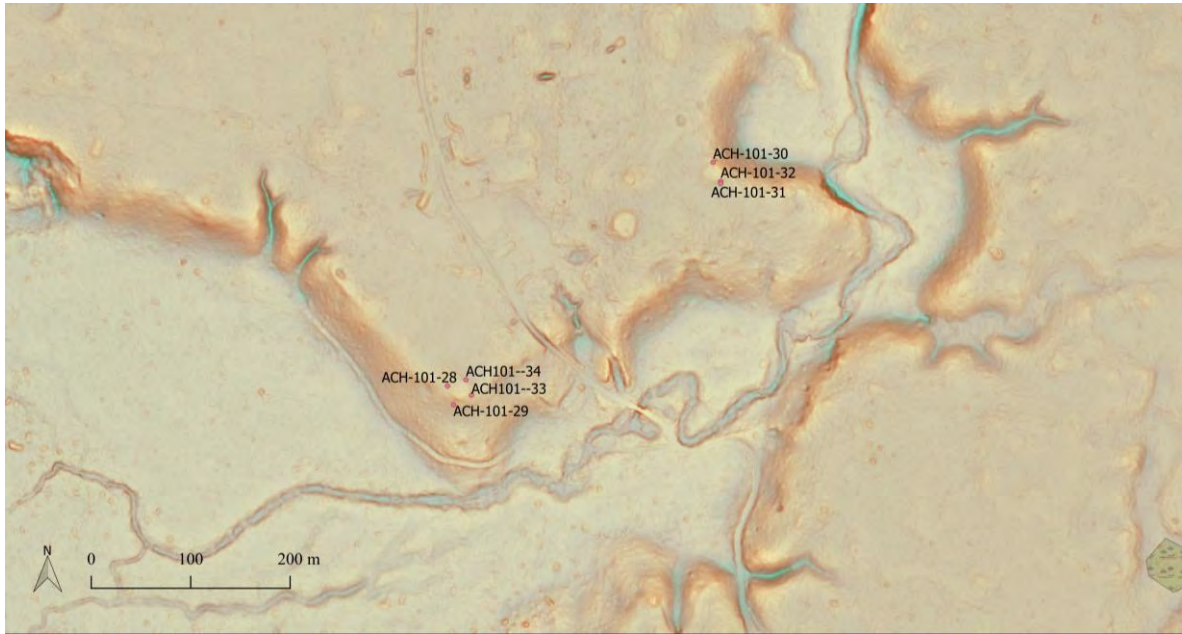


Figura 7.8 Ubicación de las pruebas de pala cercanas al Campamento Achiotal (Mapa por L. Auld-Thomas)



Figura 7.9 Ubicación de las pruebas de pala en Chablé (Mapa por L. Auld-Thomas)

La Tabla 7.9 resume los resultados de las pruebas de pala durante la Temporada de Campo 2018. Aquellas pruebas de pala que pudieran haber identificado un posible basurero –basándose en número, tamaño y conservación de tuestos al igual que la diversidad de tipo de artefactos – se identifican en la misma tabla.

Pruebas de Pala	Ubicación	Cerámica	Lítica	Obsidiana	Concha	¿Basurero?
ACH101-28	CI17-10	87	2	-	1	No
ACH101-29	CI17-7	44	-	-	-	No
ACH101-30	CI18-3	33	1	-	-	No
ACH101-31	CI18-3	28	-	-	-	No
ACH101-32	CI18-3	33	-	-	-	No
ACH101-33	CI17-8	128	19	3	-	Posible
ACH101-34	CI17-9	143	8	3	1	Posible
ACH101-35	CE14-1	44	-	-	-	No
ACH101-36	CE14-4	57	7	-	-	No
ACH101-37	CD13-1	-	-	-	-	No
ACH101-38	CD13-3	196	6	1	-	Posible
ACH101-39	CD13-7	20	8	-	-	No
ACH101-40	CD13-8	39	9	-	-	No
ACH101-41	CD13-9	24	-	-	-	No
ACH101-42	CD13-11	8	-	-	-	No
ACH101-43	CD13-14	57	-	-	-	No
ACH101-44	CD13-32	63	1	-	-	Posible
ACH101-45	CD13-16	15	-	-	-	No
ACH101-46	CE13-8	84	1	1	1	Yes
ACH101-47	CD13-17	106	-	-	-	Probable
ACH101-48	CD13-33	23	-	-	1	No
ACH101-49	CE13-3	16	-	-	-	No
ACH101-50	CD13-48	-	-	-	-	No
ACH101-51	CD13-47	6	-	-	-	No
ACH101-52	CE13-11	24	2	-	-	No
ACH101-53	CE13-15	76	-	-	-	Posible
ACH101-54	CE13-15	57	2	-	-	Posible
ACH101-55	CD13-53	13	-	-	-	No
ACH101-56	CD13-58	61	-	-	-	Posible
ACH101-57	CD13-54	39	-	-	-	No
ACH101-58	CD13-23	-	-	-	-	No
ACH101-59	CE13-25	16	-	-	-	No
ACH101-60	CE13-30	8	-	-	-	No
ACH101-61	CE13-33	36	2	-	-	No

Tabla 7.9 Resumen de los artefactos recolectados en las pruebas de pala (ACH101)

Operación ACH99: Unidades de Excavación

Metodología

Las excavaciones estratigráficas (Figuras 7.10 y 7.11) se llevaron a cabo utilizando un sistema simple de lotes y siguieron la estratigrafía natural/cultural, exceptuando los casos de los depósitos de basurero, donde se excavaron lotes arbitrarios de 0.10 m hasta que se determinaran cambios claros en la matriz y se continuara nuevamente con la estratigrafía natural/cultural subsiguiente. Tras la excavación, los lotes se agruparon en niveles que indicaban una contemporaneidad estratigráfica. Todas las unidades fueron excavadas hasta alcanzar roca madre.

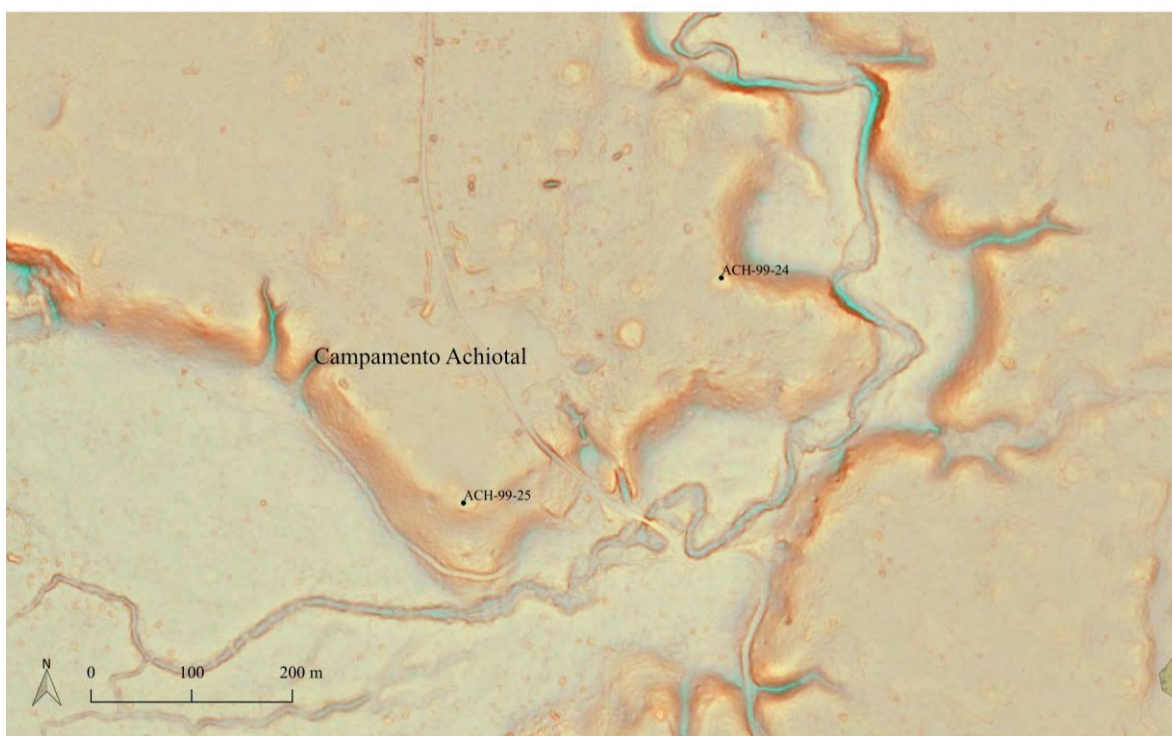


Figura 7.10 Ubicación de las Unidades de excavación ACH99-24 y ACH99-25 durante la Temporada de Campo 2018 (Mapa por L. Auld-Thomas)

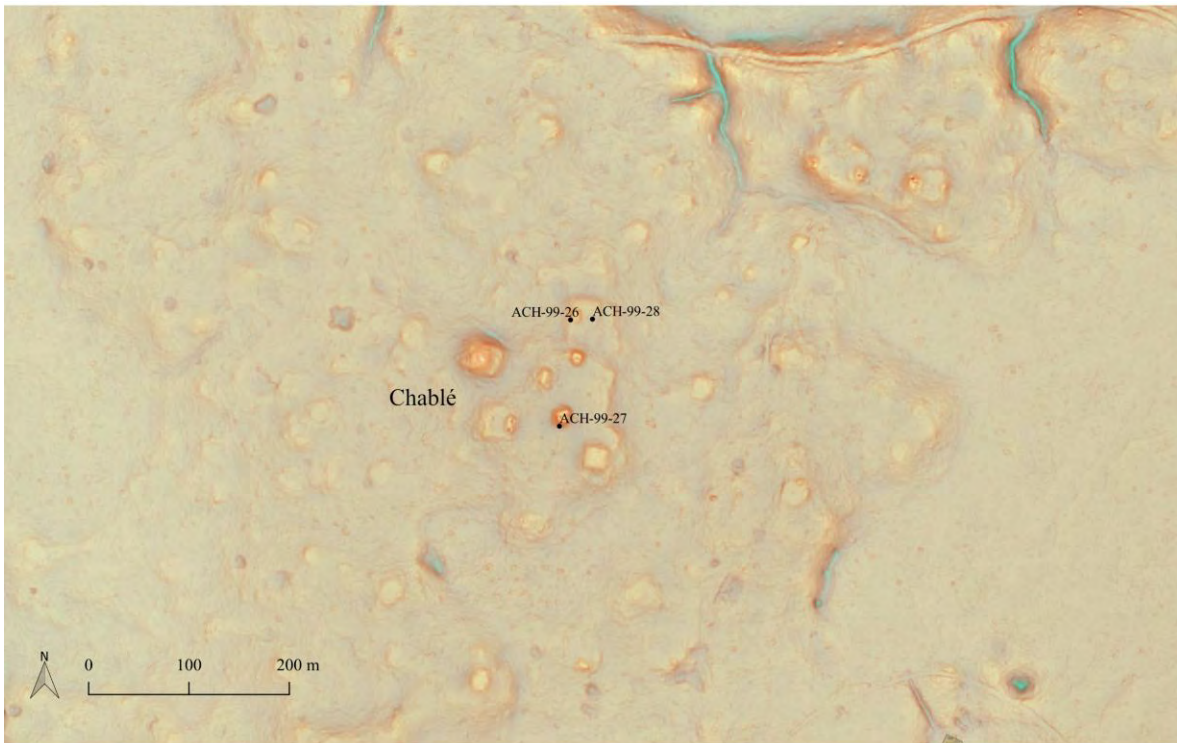


Figura 7.11 Ubicación de las Unidades de excavación ACH99-26; ACH99-27 y ACH99-28 durante la Temporada de Campo 2018 (Mapa por L. Auld-Thomas)

Unidad ACH99-24

La Unidad ACH99-24 consistió en un pozo de sondeo de 1 x 2 m ubicado inmediatamente al este de la Estructura CII8-3, sobre la base de plataforma de esta estructura orientada aproximadamente 60° este del norte. Alcanzó una profundidad máxima de 1.92 m y se excavaron 7 lotes agrupados en 3 niveles estratigráficos.

Nivel 1 (ACH99-24-1) consistió del suelo superficial, extendiéndose desde la superficie a 0.20 m por debajo del *datum* hasta una profundidad de 0.41 m. El sedimento era de color café oscuro (7.5 YR 2.5 / 3). De este nivel se recuperaron 400 fragmentos de cerámica, 6 fragmentos de obsidiana, 12 fragmentos de concha y 7 artefactos de pedernal. Entre estos se destacó un fragmento de soporte mamiforme erosionado (Figura 7.12), lo cual indica ocupación o actividad durante el período Protoclásico.



Figura 7.12 Fragmento de soporte mamiforme, Lote ACH99-24-1-1 (Fotografía por L. Auld-Thomas)

Nivel 2 (lotes ACH99-24-2, -3, -4, y -6) consiste del relleno arquitectónico, aunque no había estuco conservado o pavimento de piedra que indicara la ubicación precisa de algún piso. Como tal, este nivel se separó del Nivel 1 basándose en cambio en el color del sedimento a un café más claro (7.5 YR 4/4) y un aumento en la cantidad y el tamaño de las piedras. La parte superior del nivel estaba a 0.40 m por debajo del *datum* y se extendió hasta una profundidad máxima de 1.62 m por debajo del *datum*.

Se identificó un piso parcialmente conservado a una profundidad de 1.15 m, que marca la transición al Nivel 3. Sin embargo, este piso se cortó en la parte este de la excavación y, como tal, los materiales dentro del corte son intrusivos y contemporáneos con el Nivel 2. Dentro del corte, a una profundidad de 1.53 m, había una capa de piedras planas que se asemejaban a un pavimento, de nuevo únicamente en la parte este de la unidad (Figura 7. 13). Por debajo de estas piedras se localizaban huesos humanos a una profundidad de 1.62 m. Se removió la mayor cantidad de sedimento posible de los huesos y se fotografiaron *in situ* (Figura 7.14), sin embargo, no se siguió excavando debido a la falta de tiempo. No obstante, su presencia indica que el corte en el piso a 1.15 m fue realizado para la colocación de un entierro intrusivo, el cual fue sellado por los adoquines planos.

Del Nivel 2 se recuperaron 452 fragmentos cerámicos, 2 fragmentos de obsidiana y tres fragmentos de pedernal. Los huesos a 1.62 m fueron cubiertos con tierra fina cernida sobre la cual se colocaron piedras con el objetivo de conservar los huesos lo mejor posible para futura excavación.

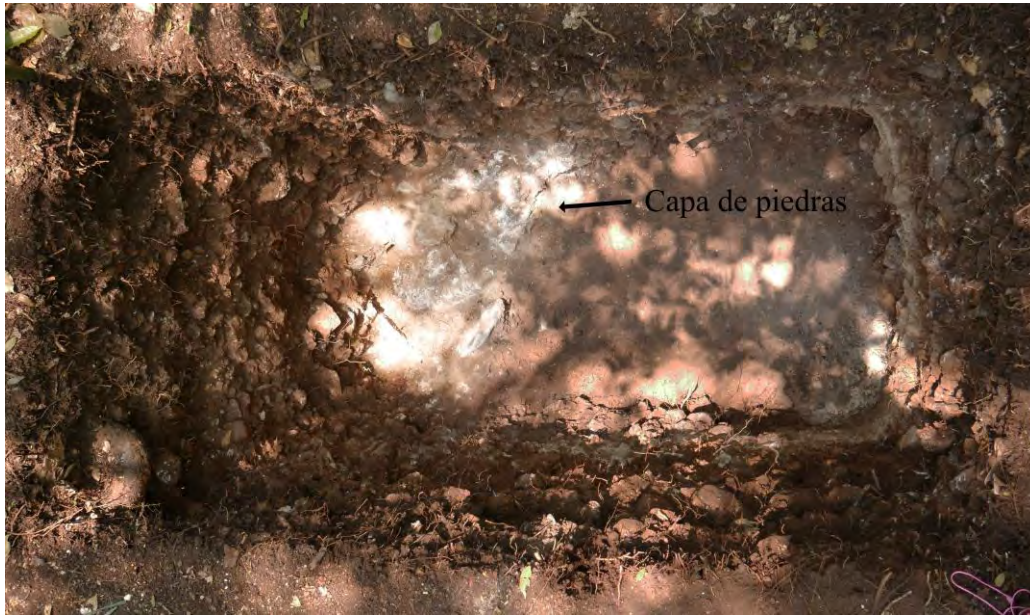


Figura 7.13 Piedras planas “pavimento” en el Lote ACH99-24-6, únicamente al este de la Unidad ACH99-24 (Fotografía por L. Auld-Thomas)



Figura 7.14 Huesos humanos in situ ubicados en el Lote AHC99-24-6 (Fotografía por L. Auld-Thomas)

Nivel 3 (lotes ACH99-24-5 y -7) consistía en un piso y su relleno subyacente (ACH24-5), junto con una base de arcilla gruesa. Este nivel se extendió desde 1.15 m por debajo del *datum* hasta una profundidad máxima de 1.92 m por debajo del *datum* sobre roca madre. De este nivel se recuperaron 128 fragmentos de cerámica, 5 fragmentos de pedernal y 2 muestras de carbón. Debido a un error en el laboratorio, la cerámica del lote 5 se mezcló con los lotes 3 y 4 durante su respectivo marcado.

El relleno arquitectónico de este nivel contaba con abundante grava, consistiendo aproximadamente 60% de piedras pequeñas mezcladas en una matriz de sedimento compacto color café (5YR 4/4). A una profundidad de 1.52 m la matriz cambió abruptamente a un barro compacto y grueso de color café rojizo oscuro (5YR 3/4), casi sin piedras, el cual se asentaba sobre roca madre a una profundidad de 1.92 m. Esta nivelación gruesa de arcilla es característica la arquitectura doméstica del período Preclásico Tardío.

En resumen, la Unidad ACH99-24 documentó dos fases de construcción de la Estructura CI18-3, uno fechado para el Preclásico Tardío y otro para el Protoclásico de acuerdo con la evidencia de un soporte mamiforme recuperado en superficie. La fase más temprana fue construida sobre una nivelación de arcilla gruesa color café rojizo. Durante la construcción de la segunda fase, un entierro fue colocado de manera intrusiva en la estructura temprana, luego fue recubierta por adoquines cuando la plataforma se elevó a su altura final.

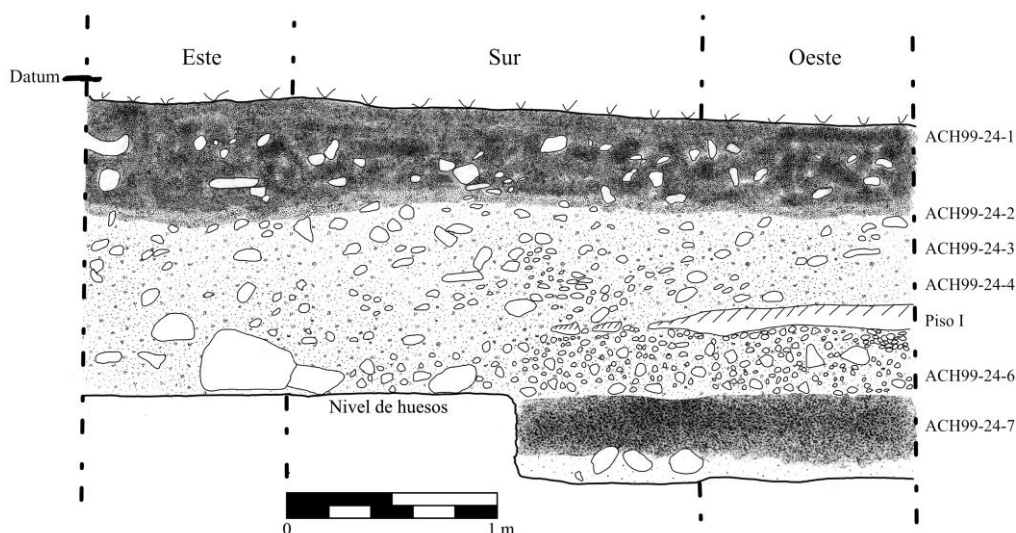


Figura 7.15 Perfil de Unidad ACH99-24
(Dibujo por S. Young, E. Viñals y L. Auld-Thomas. Digitalización por L. Auld-Thomas)

Unidad ACH99-25

La Unidad ACH99-25 consistió en un pozo de sondeo de 1 x 2 m ubicado al noroeste de la Estructura CI17-8, en la plaza definida por las estructuras CI17-7 al -10. El eje largo de la unidad fue alineado perpendicularmente al eje de la Estructura CI17-8, orientado NO-SE. La excavación alcanzó una profundidad máxima de 0.98 m por debajo del *datum* y consistió en 3 lotes agrupados en 2 niveles estratigráficos.

Nivel 1 (ACH99-25-1) consistió en humus y restos de superficie, extendiéndose desde una profundidad de 0.20 a 0.40 m por debajo del *datum*. Este fue un sedimento color café oscuro (7.5 YR 2.5/1) con abundante piedra. Un total de 486 fragmentos cerámicos se recuperaron junto con una figurilla cerámica (cabeza) de un estilo diagnóstico del Clásico Tardío (Figura 7.16). Esta figura representa un pájaro con un tocado.



Figura 7.16 Figurilla cerámica recuperada del Lote ACH99-25-1 (Fotografía por L. Auld-Thomas)

El Nivel 2 (lotes ACH99-25-2 y 25-3) representa el relleno arquitectónico de la plaza. La identificación de un piso pulido, pero parcialmente conservado de estuco en la parte oeste de la unidad, junto con un cambio en el color del sedimento, marcó la transición a un contexto

arquitectónico. El sedimento era de color café (7.5 YR 3/4) con varias piedras grandes. En este nivel se recuperaron 597 fragmentos cerámicos junto con 3 fragmentos de obsidiana, 49 artefactos de pedernal y 1 fragmento de una mano de moler. El análisis preliminar indica un agrupamiento cerámico del Clásico Tardío. El Nivel 2 alcanzó una profundidad máxima de 0.98 m sobre roca madre con nivelación variada.

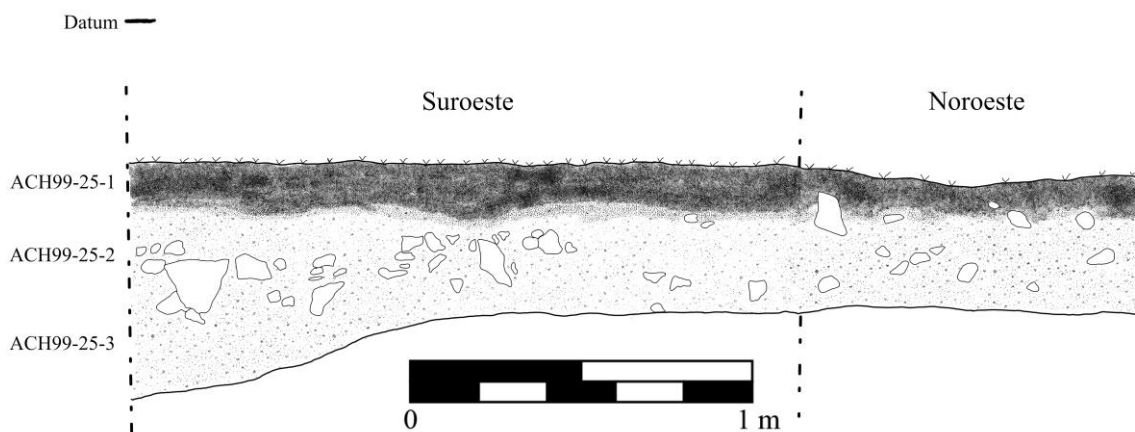


Figura 7.17 Perfil de la Unidad ACH99-25
(Dibujo por M. Acevedo y J. Recinos. Digitalización por L. Auld-Thomas)

Unidad ACH99-26

La Unidad ACH99-26 fue un pozo de sondeo de 2 x 2 m ubicado sobre la esquina suroeste de la Estructura CE13-08. Se eligió esta ubicación debido a que en la Prueba de Pala ACH101-46 se identificó un depósito denso de fragmentos grandes de cerámica junto con artefactos de concha y pedernal, lo que indica un basurero. La Unidad ACH99-26 se colocó directamente en la parte superior de la prueba de la pala para muestrear y documentar este contexto a mayor profundidad. La unidad alcanzó una profundidad máxima de 2 m y consistió en 9 lotes, que representan 8 niveles estratigráficos.

El Nivel 1 (Lote ACH99-26-1) consistió de la tierra de la superficie (7.5 YR 2.5 / 3) mezclada con derrumbe arquitectónico en forma de numerosas piedras de tamaño mediano y la parte más alta del basurero. Su punto más alto se encontraba a 0.10 m por encima del datum y su punto más bajo era 0.45 m por debajo del datum, el cual era el nivel de la superficie en el extremo oeste de la unidad. Se recuperaron 70 fragmentos de cerámica, 2 fragmentos de obsidiana y 3 artefactos de pedernal.

El Nivel 2 (Lote ACH99-26-2) fue un nivel arbitrario de 0.10 m, desde 0.45 a 0.55 m por debajo del *datum*. El sedimento era café oscuro (7.5 YR 2.5 / 3) y compacto con abundantes tiestos. Se recolectaron 546 tiestos, junto con 39 fragmentos de pedernal.

El Nivel 3 (Lote ACH99-26-3) también fue un nivel arbitrario de 0.10 m, desde 0.55 a 0.65 m por debajo del *datum*. El sedimento era de color café oscuro (7.5 YR 2.5 / 3) y compacto con abundantes tiestos cerámicos. Se recolectaron 933 tiestos, junto con 8 fragmentos de obsidiana, 2 conchas y 22 fragmentos de pedernal. Los fragmentos de la misma vasija de estilo Códice se identificaron en los lotes ACH99-26-3 y ACH99-26-4 (Figura 7.18).

El Nivel 4 (Lote ACH99-26-4) consistió en un nivel arbitrario de 0.10 m, desde 0.65 a 0.75 m por debajo del *datum*. El sedimento era de color café oscuro (7.5 YR 2.5 / 3) y compacto con abundantes fragmentos de cerámica y pocas piedras. De este nivel se recuperaron 1,541 tiestos, 14 fragmentos de obsidiana, 2 de concha y 81 fragmentos de pedernal. Fragmentos de dos vasijas estilo Códice se encontraron en este nivel. Uno se reajusta parcialmente con fragmentos identificados en el Nivel 3 (Figura 7.18), el otro es de una vasija distinta con un engobe más claro y más duro y no “caza” con ningún otro fragmento recuperado (Figura 7.19).



Figura 7.18 Vasija parcial Estilo Códice (Fotografía por L. Auld-Thomas)



Figura 7.19 Fragmento cerámico Estilo Códice, perteneciente a otra vasija (ver Figura 7.18)
(Fotografía por L. Auld-Thomas)

Debido a la cantidad de material que se estaba recuperando y la falta de tiempo, el tamaño de la unidad se redujo a 1 x 2 m con el eje largo N-S, siguiendo la orientación de la Estructura CE13-08. Es decir, todos los lotes subsiguientes (ACH9926-5 a ACH99-26-9) tuvieron una extensión de 1 x 2 m.

El Nivel 5 (Lote ACH99-26-5) consistió un nivel arbitrario de 0.10 m, desde 0.75 a 0.85 m por debajo del *datum*. El sedimento era de un color café claro (7.5 YR 5/2) y la cantidad de artefactos se redujo ligeramente en comparación con los niveles anteriores, inclusive considerando el tamaño reducido de la unidad. Se recuperaron 398 tiestos, 4 fragmentos de obsidiana, 22 fragmentos de pedernal y 2 conchas.

El Nivel 6 (Lote ACH99-26-6) también consistió en un nivel arbitrario de 0.10 m, desde 0.85 a 0.95 m por debajo del *datum*. El sedimento era de color café amarillento opaco y no saturado (10 YR 4/2) con pocas piedras y con una densidad de artefactos marcadamente reducida. El cambio en la matriz junto con la fuerte reducción en la cantidad de artefactos indicó que en este nivel se había alcanzado el fondo del basurero. Se recuperaron de este nivel 74 fragmentos cerámicos, 1 fragmento de obsidiana y 3 artefactos de pedernal.

Con la finalización de la excavación del Nivel 6 se inició nuevamente a excavar siguiendo metodológicamente niveles estratigráficos/culturales y ya no de manera arbitraria.

El Nivel 7 (Lote ACH99-26-7) inició a una profundidad de 0.95 m y se extendió a una profundidad de 1.30 m por debajo del *datum*. La matriz era de color café (7.5 YR 4/3) y altamente compacta, con mayor cantidad de piedras que en el Nivel 6. La naturaleza de la matriz y el hecho de que se encontraba por debajo a un depósito de basura sugieren que puede tratarse de un colapso arquitectónico. De este nivel se recuperaron 188 tuestos junto con 2 fragmentos de pedernal. En la base del Nivel 7, y solo en el borde este de la unidad, se identificó una alineación de piedras orientadas Norte-Sur (Figura 7.20). Se identificó un único alineamiento de mampostería, con la parte superior de las piedras que iban desde 1 m a 1.06 m. Las piedras parecían estar colocadas o descansando sobre un sedimento especialmente denso y margoso (Lote ACH99-26-8), por lo tanto, probablemente representan el alineamiento basal de un muro de mampostería colocado sobre una plataforma, aunque no había estuco ni pedrín conservado para indicar la presencia de un verdadero piso.



Figura 7.20 Alineación de piedras en ACH99-26-7, que parecen descansar sobre la matriz del Lote ACH99-26-8 (Fotografía por L. Auld-Thomas)

El Nivel 8 (Lote ACH99-26-8 y -9) fue el nivel más profundo alcanzado en esta unidad, extendiéndose desde 1.30 m por debajo del *datum* hasta una profundidad máxima de 2 m donde se alcanzó roca madre. El sedimento del Lote ACH99-26-8 era una matriz

mezclada de color amarillo-gris, muy duro (10 YR 5/3) que dio paso a un color café grisáceo compacto (7.5 YR 4/2) manchado con blanco a una profundidad de 1.72 m (Lote ACH99-26-9). Éste se encontraba por encima de roca madre alcanzando una profundidad de 2 m. Se realizó un pequeño registro con el objetivo de confirmar roca madre, el cual consistió en ser de piedra dura y no de marga o *sascab*. Del Nivel 8 se recuperaron 530 fragmentos de cerámica junto con un fragmento de obsidiana y una concha.

En resumen, la Unidad ACH99-26 recuperó un depósito de basurero denso, con múltiples tiestos finos que incluyen al menos dos vasijas de estilo Códice, que se superponían al nivel de un aparente colapso arquitectónico. Un alineamiento de mampostería y lo que puede ser una plataforma erosionada debajo de ella representan la probable procedencia del colapso. La presencia de la cerámica estilo Códice junto con el análisis preliminar de las formas de las vasijas y los acabados de superficie indican un fechamiento para la última fase del Clásico Tardío. La cerámica del nivel más profundo (Nivel 8) aún no se ha analizado.

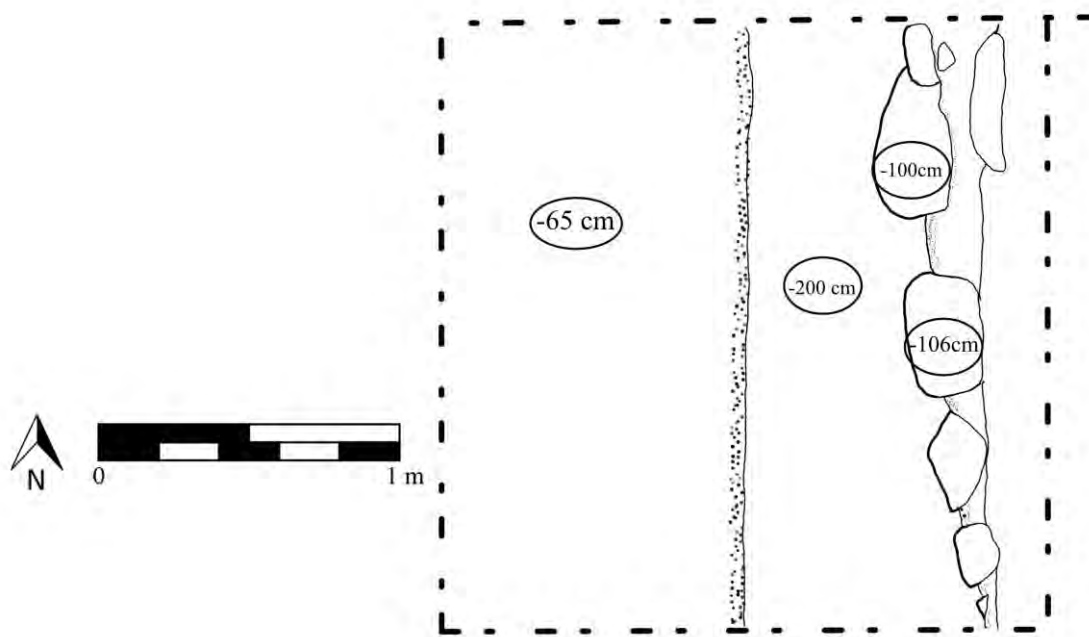


Figura 7.21 Planta de la Unidad ACH99-26, que muestra el alineamiento de mampostería en la base del Nivel 7 (Dibujo por L. Auld-Thomas)

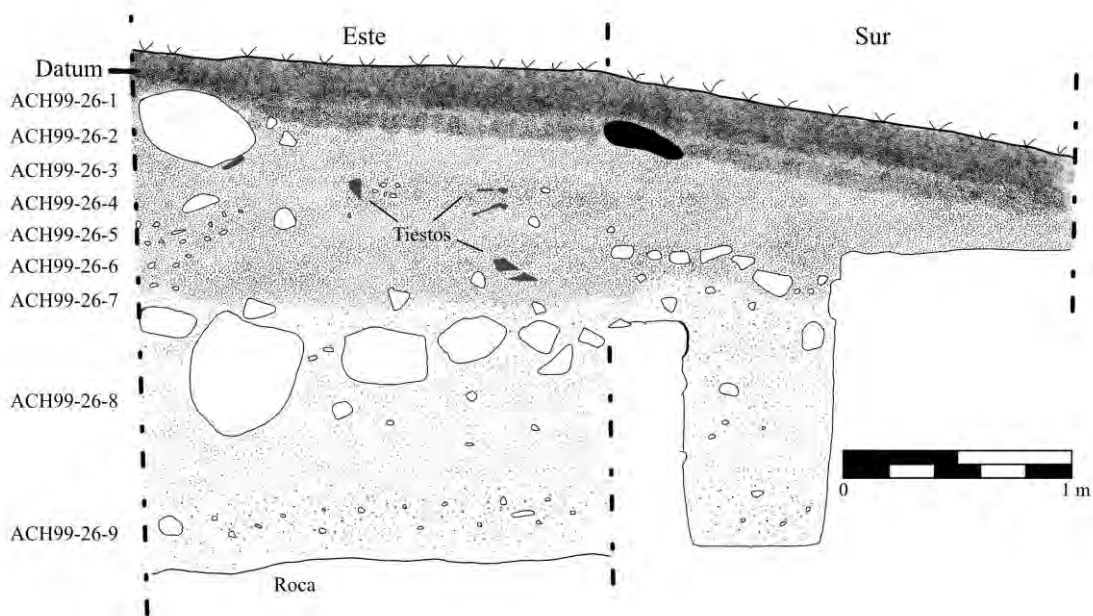


Figura 7.22 Perfiles este y sur de la Unidad ACH99-26 (Dibujo por L. Auld-Thomas)

Unidad ACH99-27

La Unidad ACH99-27 consistió en un pozo de sondeo de 1 x 2 m ubicado inmediatamente al sur de la Estructura CE13-13, en la plaza principal de Chablé. El eje largo de la unidad estaba orientado a 19 grados al este del norte, aproximándose al eje de la Estructura CE13-1. El objetivo de esta excavación consistía en identificar los pisos de la plaza principal con el fin de establecer una cronología general de ocupación del sitio. De esta unidad se excavaron 11 lotes agrupados 9 niveles estratigráficos y se alcanzó una profundidad máxima de 3.08 m por debajo del *datum* al alcanzar la roca madre.

El Nivel 1 (Lote ACH99-27-1) era suelo café oscuro (7.5 YR 2.5 / 3), que se extendió desde la superficie más alta de la unidad a 0.80 m por debajo del *datum* hasta una profundidad máxima de 1.20 m por debajo del *datum*. El grosor promedio de la capa superficial del suelo en pendiente fue de aproximadamente 0.20 m. Se recuperaron de este nivel 110 tiestos, 14 fragmentos de pedernal y 5 fragmentos de hueso de fauna. Los grupos cerámicos identificados en el análisis preliminar incluyen Infierno y Tinaja, lo cual indica un fechamiento del Clásico Tardío para la fase final de la Estructura CE13-13.

El Nivel 2 (Lote ACH99-27-2) era subsuelo, un Horizonte B con una matriz sedimentaria de color amarillo-naranja (10 YR 5/4). Grandes piedras dispersas en la matriz representan un colapso arquitectónico. Este nivel se extendió desde una altura máxima de 0.93 m por debajo del *datum* hasta una profundidad de 1.45 m por debajo del *datum*. Ningún tipo de material se recolectó de este nivel.

El Nivel 3 (lotes ACH99-27-3 y -4) consistió en un piso de estuco erosionado de la plaza y su relleno asociado. El piso (Lote ACH99-27-3) se identificó a 1.45 m por debajo del *datum* y tenía un grosor de 0.11 m. Tenía una ligera inclinación de norte a sur con el extremo sur aproximadamente 0.04 m más bajo que el extremo norte. El estuco era de consistencia suave debido a desgaste. Originalmente, se pensó que era derrumbe de la Estructura CE13-13, pero el hecho de que superponía relleno, indicó que este trataba de un piso erosionado. El relleno por debajo (ACH99-27-4) era de color café grisáceo (10 YR 5/3) con alrededor de 20% de inclusiones de grava y adoquín, y se extendió hasta una profundidad de 1.90 m. Se recuperaron 106 tiestos y 1 muestra de carbón (ambos del lote 4). Los grupos cerámicos identificados en el análisis preliminar fueron: Saxche-Palmar, Tinaja, Águila, Sierra y Flor, lo cual que indica que el período de construcción fue para Clásico Tardío. Sin embargo incluyó cantidades significativas de material de fechas más tempranas.

El Nivel 4 (Lote ACH99-27-5) consistía en un piso de estuco alisado y pulido a 2.04 m por debajo del *datum*, extendiéndose a 2.10 m por debajo del *datum*, al igual que su relleno subyacente. El piso se fragmentó en varias secciones debido a la presencia de raíces y no se conservó en la sección norte de la unidad. En este caso, la ausencia del piso había provocado que el relleno subyacente se elevara a un nivel ligeramente más alto que la del propio piso (1.90 m por debajo del *datum*), probablemente debido a la acción directa de la raíz. El relleno del subsuelo consistió de un color gris opaco (7.5YR 6/1) y textura suave. En campo, se asumió que era ceniza, sin embargo, el análisis de cerámica dentro de esta matriz evidencia que están recubiertas con polvo de estuco compactado (C. Parris, comunicación personal.). Por lo tanto, la matriz parece haberse mezclado con una gran cantidad de estuco en polvo. Dentro de este lote se recuperaron 229 tiestos, 4 fragmentos de pedernal y una muestra de carbón. También se tomaron dos muestras (~ 5L cada bolsa) de sedimento. Los grupos cerámicos recuperados incluyen Polvero, Águila y Sierra, lo cual indica un fechamiento para el período Protoclásico o Clásico Temprano.

El Nivel 5 (Lote ACH99-27-6) era una capa de marga de cal extremadamente compacta (10YR 8/2) rellena de piedrín, que se extendía desde 2.36 m hasta 2.50 m por debajo del *datum*. La parte superior de la capa de marga era bastante suave y la abundancia de piedrín indica que era un piso relativamente rústico que nunca se cubrió con estuco, o un piso que estuvo expuesto a la intemperie durante un período prolongado. De este nivel se recuperaron 54 tiestos y 38 fragmentos de pedernal. El único grupo cerámico identificable diagnóstico fue Sierra, lo cual indica un fechamiento para el Preclásico Tardío.

El Nivel 6 (Lote ACH99-27-7) era un piso de estuco liso, pulido y en buen estado de conservación (7.5 YR 8/2) a una profundidad de 2.50 m por debajo del *datum*. El piso tenía únicamente 0.03 m de grosor y se encontraba sobre otro piso (Lote ACH99-27-8) a 2.53 m (Figura 7.23). El piso contaba dos tiestos de cerámica incrustados en el estuco. Ningún otro material se identificó. Uno de estos fragmentos cerámicos contaba con engobe rojo ceroso, que probablemente pertenecía al Grupo Sierra, lo cual indica un fechamiento para el Preclásico Tardío.



Figura 7.23 Piso de 0.03 m de grosor (ACH99-27-7) inmediatamente sobre otro piso (ACH99-27-8)
(Fotografía por L. Auld-Thomas)

El Nivel 7 (Lote ACH99-27-8 y -9) era un piso de estuco liso, pulido y moderadamente conservado (7,5 YR 8/2) a una profundidad de 2.50 m por debajo del *datum*, junto con su relleno subyacente. El piso (Lote ACH99-27-8) tenía 0.14 m de grosor, con su punto más bajo a 2.67 m por debajo del *datum*. Se identificó que había una pequeña marca de quemadura oscura en el extremo sur del piso, sin embargo, no se recuperó carbón. De este piso se recuperaron 63 tiestos, un fragmento de obsidiana, 19 fragmentos de pedernal y una muestra de carbón, específicamente del piedrín subyacente y adherido a la capa gruesa de estuco.

Por debajo del piso había un sedimento café (7.5 YR 4/3) con aproximadamente 50% de piedrín y adoquín. Esta matriz se extendió desde 2.67 m a 2.82 m por debajo del *datum*. De este lote se recuperaron 149 tiestos, un fragmento de concha y 15 fragmentos de pedernal. Los grupos cerámicos representados en el Nivel 7 incluyen Sierra y Polvero, lo cual indican un fechamiento probablemente del Preclásico Tardío. Dos tiestos se clasificaron como pertenecientes al Grupo Águila del Clásico Temprano, pero dada la ubicación estratigráfica, esto probablemente sea una clasificación errónea.

El Nivel 8 (Lote ACH99-27-10) consistió en un piso de estuco (10 YR 8/3) a una profundidad de 2.82 m, con un balastro de piedrín que se extendió hasta 3 m. El suelo estaba ligeramente inclinado y desigual. Una pequeña mancha circular de aproximadamente 0.30 m en la esquina noroeste de la unidad parecía mostrar signos de quemado. De este nivel se recuperaron 25 fragmentos de cerámica y 3 fragmentos de pedernal. El único grupo cerámico representado entre los tiestos fue Sierra, indicando un fechamiento para el período Preclásico Tardío.

El Nivel 9 (Lote ACH99-27-11) era marga natural, muy por debajo del piso CH99-27-10 y a una profundidad de 3 m. Parece representar una nivelación de roca madre, ya que la superficie era lo suficientemente alisada como para que pudiera considerarse un posible "piso". La excavación alcanzó una profundidad máxima de 3.06 m, punto en el que el material se endureció considerablemente, indicando roca madre. Se recuperaron 11 tiestos, 2 fragmentos de concha, 4 fragmentos de pedernal y una muestra de carbón de la parte superior de este nivel, en su interfaz con el Lote ACH99-27-10. Se infiere que estos artefactos se incrustaron en la marga mientras se colocaba el piso superior. Únicamente un fragmento fue diagnóstico, perteneciente al Grupo Sierra del Preclásico Tardío.

En resumen, la Unidad ACH99-27 documentó una extensa secuencia de pisos en la plaza principal en Chablé (Figura 7.24 y Figura 7.25). Sin contar la nivelación de la roca madre, se documentaron 6 pisos en la plaza. La mayoría de estos datan para período Preclásico Tardío, aunque al menos uno (ACH99-27-5) data probablemente para el período Protoclásico o Clásico Temprano y el último parece indicar un fechamiento para el Clásico Tardío.

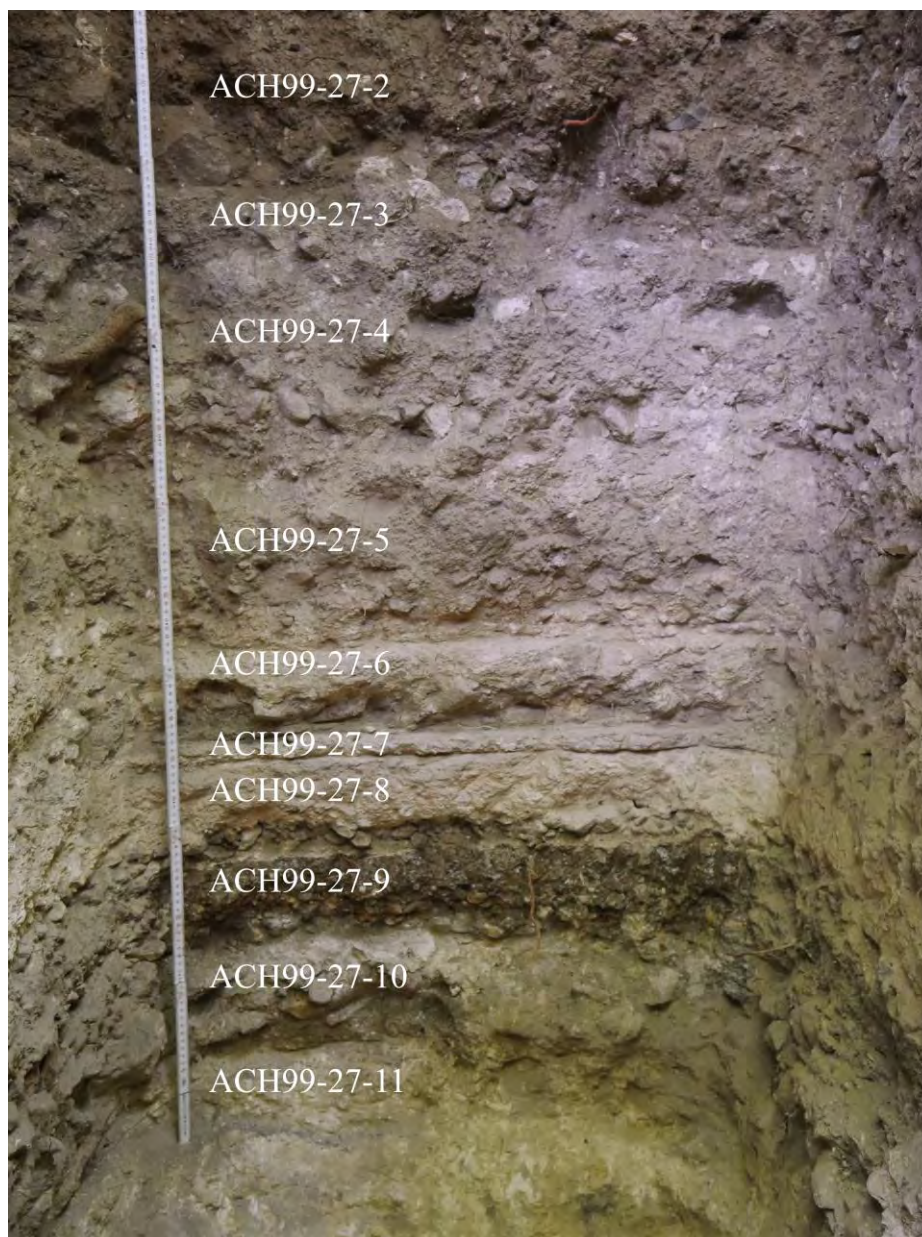


Figura 7.24 Perfil Norte de la Unidad ACH99-27, que muestra la secuencia de los pisos. El piso asociado con el Nivel 4 no se conservó en esta parte de la unidad (Fotografía por L. Auld-Thomas)

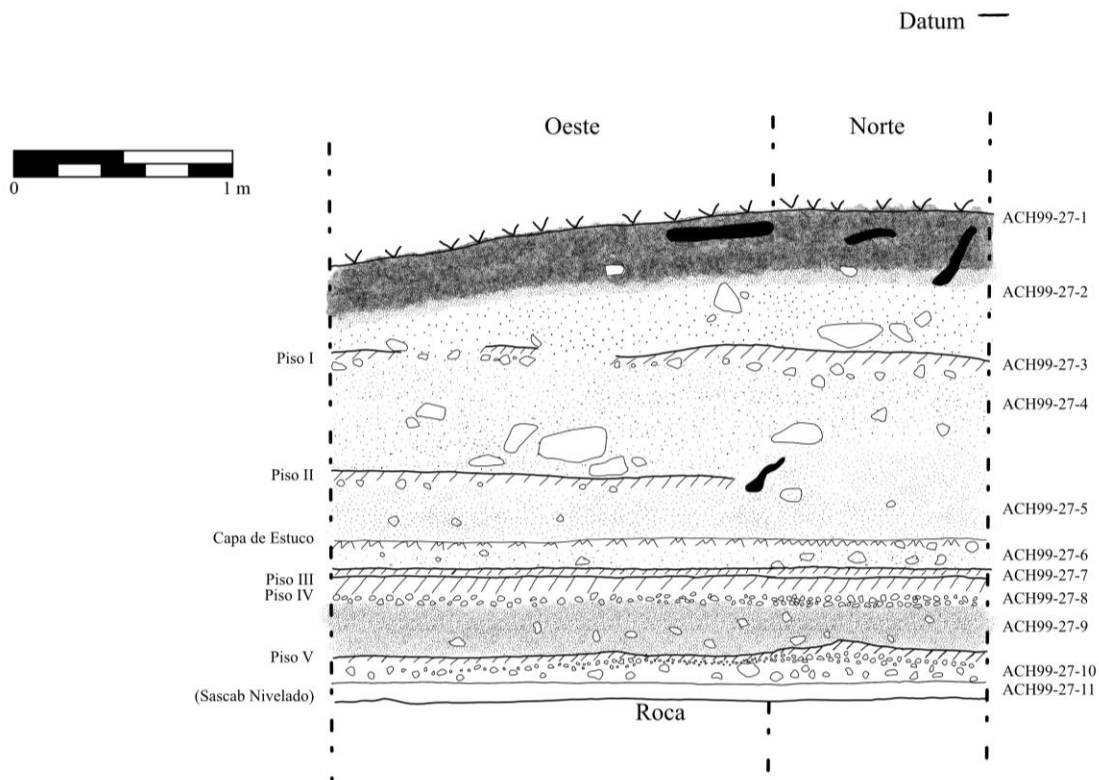


Figura 7.25 Perfiles Oeste y Norte de la Unidad ACH99-27 (Dibujo por Auld-Thomas)

Unidad ACH99-28

Esta unidad tuvo por dimensiones 2 x 1 m (NS-EO) y su objetivo fue recolectar la mayor cantidad de material cultural para fechar el área. Fue excavada por niveles arbitrarios. La capa inicial fue de humus negro de consistencia suelta y tuvo una profundidad de 0.20 m con evidencia de material cultural; siendo 41 tiestos. El segundo lote tuvo una profundidad aproximada de 0.20 m, consistía en tierra café con presencia de piedra y se encontró material cultural, entre ellos 499 tiestos de cerámica, dos dientes y tres fragmentos de obsidiana. El tercer nivel presentó evidencia de material cerámico y tierra café con presencia de piedra suelta; en cuánto a material se recuperaron 361 tiestos cerámicos y tres fragmentos de obsidiana. El siguiente nivel (Lote ACH99-28-4) tuvo una profundidad aproximada de 0.10 m; por la parte norte se encontraron piedras grandes como parte de relleno y material cultural en todo el nivel; siendo 148 tiestos cerámicos (Figura 7.26). El Lote ACH99-28-5 tuvo una profundidad aproximada de 0.20 m; consistía de tierra de color amarillenta con piedra caliza. La presencia de material disminuyó este lote con 26 tiestos de cerámica, lo cual hace referencia a un posible relleno para nivelar la plaza (Figura 7.27).



Figura 7.26 Piedra de relleno del Lote ACH 99-28-4 (Fotografía por A. González)



Figura 7.27 Piedra de relleno ACH 99-28-5 (Fotografía por A. González)

El Lote ACH99-28-6 tuvo una profundidad aproximada de 0.20 m y estaba conformado por piedra grande, utilizada como relleno para posiblemente rellenar la plaza. Se encontraron fragmentos de un plato *in situ* en el lado norte de la unidad, el cuál posiblemente se colocó antes de rellenar a nivel la plaza (Figuras 7.28 y 7.29). El material consistió en 126 tiestos cerámicos, un fragmento de obsidiana y dos fragmentos de hueso.



Figura 7.28. Material *in situ* del Lote ACH 99-28-6 (Fotografía por A. González)

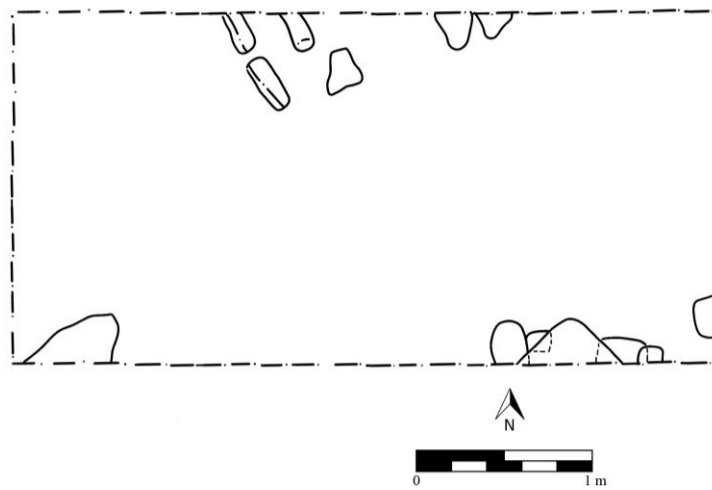


Figura 7.29 Planta representando el material *in situ* del Lote ACH 99-28-6 (Dibujo por A. González)

El Lote ACH99-28-7 tuvo una profundidad aproximada de 0.04 m; se encontró un conjunto de piedras colocadas en triángulo cerca de la cerámica *in situ* del nivel anterior. El material cultural de este lote consistió en 71 tiestos de cerámica, un fragmento de obsidiana y una concha (Figuras 7.30 y 7.31).



Figura 7.30 Piedra de relleno del Lote ACH 99-28-7 (Fotografía por A. González)

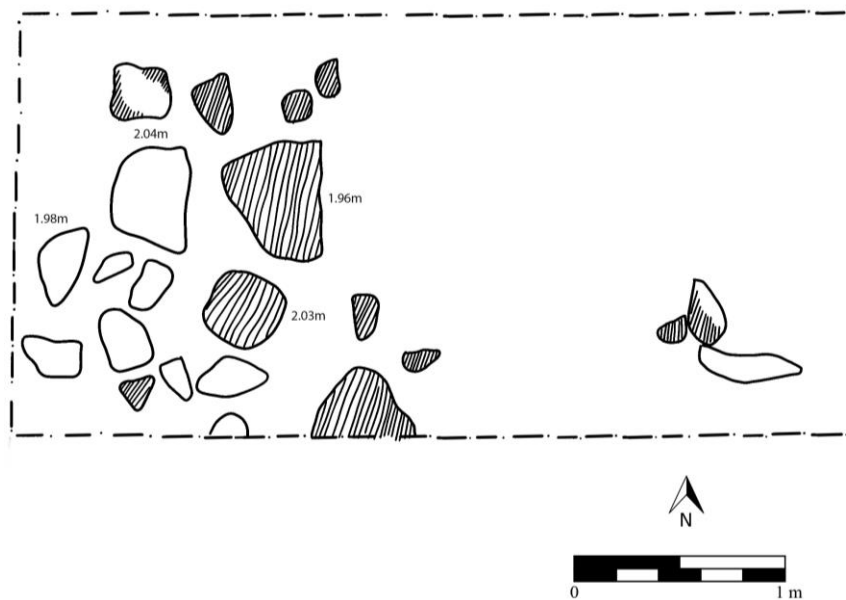


Figura 7.31 Planta del Lote ACH 99-28-7 (Dibujo por A. González)

El Estrato 8 tuvo una profundidad aproximada de 0.10 m; presentó evidencia de tierra negra y la disminución de material cultural, que consistió en 58 tiestos de cerámica. La tierra era muy parecida al humus, pero poseía abundante piedra y mezcla con algún material vegetal. Poseía piedra caliza y bolas grandes de cal. El siguiente lote (Lote ACH99-28-9)

tuvo una profundidad aproximada de 0.22 m; presentó evidencia de barro y tierra negra, así mismo incrementó el material cultural, con 503 tiestos de cerámica, 18 conchas y un fragmento de lítica. Dicho lote consistía en un posible relleno del nivel anterior. El último estrato (Lote ACH99-28-10) tuvo una profundidad aproximada de 0.20 m y hacía referencia a la roca madre. No presentó evidencia de material cultural (Figuras 7.32 y 7.33).

En resumen, la unidad ACH 99-28 presentó abundante cantidad de material cultural en la mayoría de sus estratos. Se identificaron diversas capas de relleno que posiblemente funcionaron para nivelar la plaza entre las dos estructuras. Posiblemente, esta unidad hace referencia a un basurero por la cantidad de material cerámico y de conchas que se encontraban en los estratos más bajos.



Figura 7.32 Fin de excavación del Lote ACH 99-28-10 (Fotografía por A. González)

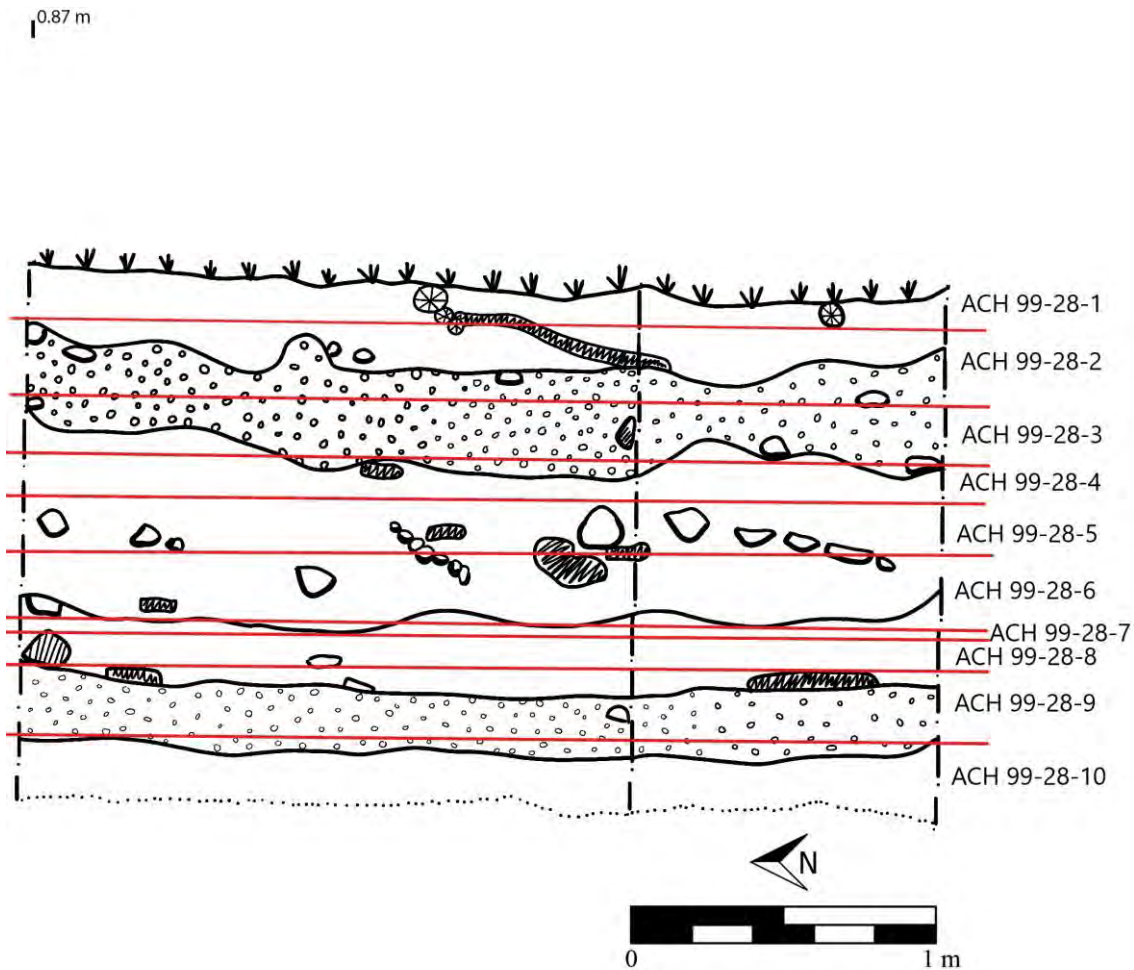


Figura 7.33 Perfil norte y este de la Unidad ACH 99-28 (Dibujo por A. González)

Conclusiones

Las investigaciones que se llevaron a cabo en la región de Achiotal durante la Temporada de Campo de 2018 tenían dos objetivos: (1) cuantificar la fidelidad entre los rasgos identificados remotamente y aquellos identificados de campo; y (2) recopilar la mayor cantidad de información cronológica posible sobre los rasgos arqueológicos, con el objetivo general de entender las tendencias diacrónicas en cuanto a la distribución de los asentamientos.

Con respecto al primer objetivo, la investigación de campo estableció que la fidelidad general de los modelos de terreno derivados de LiDAR es bastante buena y que los asentamientos arqueológicos se capturaron con precisión; sin embargo, un enfoque

relativamente conservador para la identificación de rasgos remotos llevó a una subestimación de la cantidad de estructuras identificadas. En general, el número total de estructuras identificadas por el reconocimiento en campo es aproximadamente un 20% más alto que el número de estructuras de identificación remota, tomando en cuenta el conjunto de datos de 2017. No obstante, resulta interesante que evaluar la fidelidad a nivel de grupos en lugar de estructuras minimiza en gran medida el impacto de las identificaciones “falsas positivas” y “falsas negativas”, ya que únicamente un grupo de múltiples estructuras no se identificó y no se identificó ningún grupo de estructuras identificadas-remotamente con error.

Con respecto al segundo objetivo, la evaluación cronológica de los asentamientos, el número limitado de excavaciones solo permitió establecer algunas observaciones. La primera gira torno a que, si bien el asentamiento se encuentra en la región que abarca los períodos del Preclásico Tardío, Clásico Temprano y Clásico Tardío, tomando en cuenta la cerámica recuperada y analizada, pocos de los contextos excavados hasta ahora fuera del núcleo del sitio de El Achiotal, representan una secuencia continua. En Chablé, basándose en la Suboperación ACH99-27, se puede identificar un posible hiato en la construcción/renovación de la plaza principal durante la última parte del Clásico Temprano, ya que no se encontraron depósitos puros que contuvieran materiales del Clásico Temprano en dicha excavación. Sin embargo, esta "brecha" puede ser más aparente que real, ya que el Clásico Temprano es significativamente más corto que el Preclásico Tardío, lo que significa que una constante renovación de la plaza cada 300 años podría fácilmente dar como resultado un piso “faltante” en la plaza del Clásico Temprano.

La presencia de múltiples fragmentos de vasijas estilo Códice en el depósito de basurero detrás de Estructura CE13-08, excavado como Unidad ACH99-26, es sorprendente. Se tiene conocimiento de que las vasijas estilo Códice se fabricaron en Calakmul y en algunos otros sitios estrechamente asociados con la dinastía *Kaanu'l* (probablemente Nakbe) (García Barrios 2010; Hansen et al. 1991) durante el período Clásico Tardío. Su presencia, junto con una vasija completa estilo Códice procedente del sitio El Achiotal (Auld-Thomas et al. 2016), expone una conexión relativamente estrecha entre los habitantes de la región de El Achiotal y la capital de la dinastía *Kaanu'l* durante el Siglo VIII.

Finalmente, los resultados de las pruebas de pala indican una fuerte ocupación durante el período Clásico Tardío en Chablé. Las pruebas de pala en Chablé no recuperaron cerámica del Preclásico ni Clásico Temprano, a pesar de la existencia de renovaciones sustanciales en la plaza que datan a esos períodos, tal como se documentó en la Unidad ACH99-27. Este desajuste no es del todo sorprendente ya que las pruebas de pala están mejor posicionadas para determinar la ocupación de la fase final, sin embargo, esto indica la necesidad de excavaciones estratigráficas en las estructuras para identificar asentamientos que fechen el Preclásico Tardío y Clásico Temprano.

CAPITULO VIII

EXCAVACIONES EN LA ESTRUCTURA 5C-08 DE EL ACHIOTAL, NUEVAS INVESTIGACIONES, TEMPORADA 2018

Ernesto Arredondo Leiva

Introducción

Durante la Temporada de Campo 2018, los esfuerzos se centraron en continuar las excavaciones de las unidades ACH 3C 2 y ACH 3C 3 iniciadas en 2017, así como concluir el registro del Saqueo 2 e iniciar una inspección del Saqueo 4 de la Estructura 5C-08. Con los datos obtenidos se pueden reforzar algunas observaciones de la temporada pasada y ofrecer una variante a las mismas. Durante la presente temporada se realizó a su vez una nueva unidad, la cual pretendió inicialmente cubrir la totalidad del área de un entierro nuevo encontrado en las capas superiores de la cima del montículo. Sin embargo, la extensión se volvió innecesaria en este sentido, pero confirmó las observaciones del año pasado en cuanto a la secuencia constructiva final del edificio.

Objetivos Generales y Metodología.

Las intervenciones de la Temporada 2018 en el sitio El Achiotal, tuvieron como principal propósito continuar las excavaciones inconclusas durante el año anterior, en sus unidades ubicadas en la Estructura 5C-08 (ACH 3C-2 y 3), además de documentar el Saqueo 4 en dicha estructura y extender nuestro conocimiento sobre el Saqueo 2, anteriormente intervenido (Arredondo 2018) (Figura 8.1) En vista de la corta temporada prevista, se plantearon objetivos puntuales en la referida estructura, que permitieran definir algunos aspectos confusos sobre la construcción de dicho edificio y su vida ocupacional.

En cuanto a las operaciones verticales, se reabrieron las unidades ACH 3C-2 y ACH 3C-3 las cuales fueron preparadas durante 2017 con la colocación de un plástico que facilitara la reexcavación y evitara la contaminación de materiales de estratos superiores a estratos no excavados. Ambas unidades fueron excavadas, continuando con la nomenclatura alcanzada hasta la anterior temporada. Una sola excavación más fue

realizada, la Unidad ACH 3C 4, con el objetivo de cubrir la totalidad de un depósito de huesos (Entierro 7), el cual fue encontrado hacia la esquina suroeste de la Unidad ACH 3C-2. Sin embargo, la extensión total del entierro fue alcanzada por los límites originales de la última. Aun así, la excavación nueva fue rebajada hasta el nivel de los restos en la sección que colindó con la Unidad ACH 3C-2, no así en su sector oeste, que se limitó a alcanzar una profundidad de 0.60 m bajo el *Datum*. Las dimensiones de la nueva unidad fueron de 1.50 x 0.60 m, hacia la esquina noroeste de la Unidad ACH 3C-2, cubriendo un metro de su límite sur, y continuando por 0.50 m hacia el oeste, en dirección hacia la Unidad ACH 3C-1 de 2017. Los lotes se establecieron en base a la estratigrafía observada y en base a los contextos observados durante la excavación, y siguieron la secuencia iniciada en la temporada anterior para el caso de las unidades ACH 3C-2 y ACH 3C-3.

El registro de los saqueos siguió la metodología utilizada anteriormente (*Ibid.*), realizándose una limpieza en la base actual del saqueo y profundizando en el material derrumbado, intentando alcanzar los límites bajos de la intrusión. Luego se procedió a limpiar los perfiles para lograr obtener mayor claridad al momento de definir rasgos arquitectónicos. Todo el material fue cernido y colectado, tomando como Lote 1 a aquellos materiales en el exterior de los saqueos y del Lote 2 en adelante, cualquier otra recolección, partiendo del interior de los túneles presentes. En el caso del Saqueo 2, los lotes continuaron la secuencia iniciada en la temporada pasada, partiendo entonces del Lote 3 en adelante.

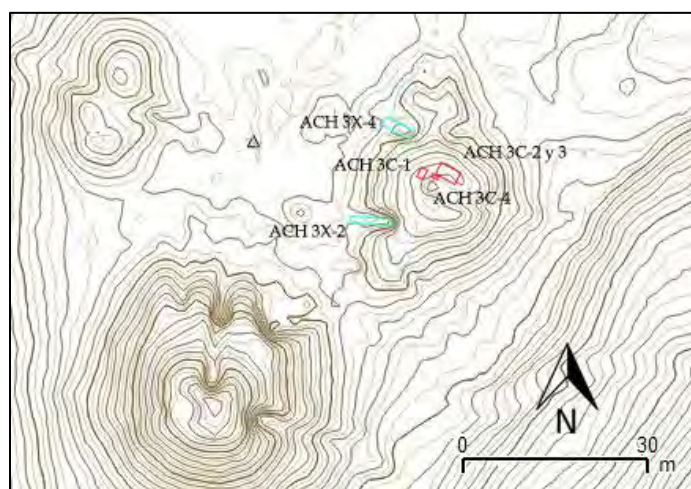


Figura 8.1 Mapa topográfico de la Estructura 5C-08 mostrando las unidades ACH 3C- 1,- 2, 3 y- 4 (rojo) y las limpiezas a los saqueos 2 y 4 (celeste) (Mapa por L. Auld-Thomas y E. Arredondo)

Sub-operación ACH 3C

La Sub-operación ACH 3C tuvo como objetivo el conocer la secuencia constructiva del edificio 5C-08, particularmente en relación a la colocación de la cámara funeraria reportada en 2017 (*Ibid.*). Con tal objetivo, las unidades ACH3C-2 y ACH3C-3 fueron continuadas en su excavación, a partir de los lotes alcanzados con anterioridad, intentando en esta ocasión, alcanzar niveles más profundos y una mayor exposición del interior de la estructura. Se mantuvieron las dimensiones originales de 2 x 2 m.

Unidad ACH 3C-2

La Unidad ACH 3C-2 se localiza sobre la cima de la Estructura 5C-08, hacia el norte de su eje este-oeste, a unos 0.40 – 0.60 m del borde oeste del Saqueo 8. Colinda inmediatamente al este con la Unidad ACH 3C-3 (Figura 8.2). Por medio de su reapertura y continuación, se pretendía conocer la secuencia constructiva en la parte superior del edificio, intentando obtener mayor claridad en cuanto a un piso observado durante 2017 en el perfil norte, extremo oeste del Saqueo 8. Con anterioridad, se localizó un piso estucado de locomoción (Piso 1 ACH 3C-2), que finalizó en un muro o alineación de piedras bajas de orientación norte-sur. El piso se mostró en mal estado de conservación, más aún hacia el oeste, donde muestra un desnivel posiblemente producto de la degradación natural del montículo. Por sobre él, se encontró una capa de tierra con piedras pequeñas, notablemente gruesa, y por sobre ésta, el humus. La excavación dio inicio removiendo el piso y bajando por debajo del nivel de éste, ya dentro del relleno al que cubre.

Lote 5 (ACH 3C-2-5): (0.65 – 1.00 m). Relleno, tierra café oscura (10YR 3/4), de grano medio, poco compacto con piedras grandes a medianas, debajo del nivel del piso de estuco registrado para el final del Lote 3 (ACH 3C-2-3). La capa tuvo un grosor de unos 0.40 m, aunque fue separada en dos lotes, siendo el Lote 5 (ACH 3C-2-5) correspondiente a los primeros 0.20 m, en donde se ubicaron los restos óseos descritos más adelante. El lote debió cubrir toda la extensión de la unidad, sin embargo, debido a la profundidad alcanzada el año pasado, ésta fue prácticamente en la mitad sur. Se recolectaron 42 tiestos, 3 fragmentos de lítica y se colectaron 4 fragmentos de estuco modelado. Dentro del estrato se descubrió el Entierro 7 y se colectó dentro del mismo lote debido a que inicialmente no se reconoció como tal durante la excavación, debido a su mal estado y a la carencia de cista o preparación notoria del contexto (Figuras 8.3 y 8.4). El entierro se depositó debajo del

piso mencionado antes, y es difícil argumentar si es intrusivo o, por el contrario, fue depositado durante la aplicación del relleno. El piso que pasa sobre él, se notó muy deteriorado en ese sector y fue problemática su identificación en los sectores hacia el oeste. Inicialmente no pareció que los huesos tuvieran una disposición natural, por lo que es posible que se encontrara desarticulado; además no se encontraron huesos de cráneo o dientes. Sí se encontraron huesos largos de brazos y piernas, además de algunas costillas (Figuras 8.5 y 8.6). Por el tamaño de los huesos, éstos parecen pertenecer a un individuo joven o un niño. Fue imposible identificar el sexo del individuo. Tampoco tuvo una orientación bien definida, pero se puede estimar en 164° Azimut en un eje norte-sur. Los restos aparecieron a una profundidad desde el *Datum* de 0.86 m hasta 1.01 m, unos 0.50 m a 0.65 m de la superficie del área. No existen ofrendas asociadas directamente con él, aunque un depósito notorio de cerámica y un bifacial fue encontrado a 1 m aproximadamente, hacia el suroeste del entierro en la Unidad ACH 3C-4 pero por sobre el nivel de los huesos. Se recolectaron 21 bolsas de diferentes sectores durante el levantamiento de los restos y se obtuvieron 5 tiosos de cerámica y una lasca de pedernal.

Lote 6 (ACH 3C-2-6): (1.00 – 1.10 m). Relleno, tierra café oscura (10YR 3/4), de grano medio, poco compacto con piedras grandes a medianas. Es el mismo estrato que el anterior, por debajo del nivel del Entierro 7, hasta alcanzar una capa de estuco (Figuras 8.7 y 8.8). La excavación fue limitada a la mitad sur del pozo, en un área de 2 x 1 m (Figuras 8.10, 8.11 y 8.12). Se recolectaron 15 tiosos, 1 fragmento de concha y 1 lasca. También una piedra labrada de forma redonda con una extensión a manera de cuello (Figura 8.9). La escultura fue encontrada al este del entierro, a unos 0.40 m, sin embargo, no parece estar asociada a él. Tuvo unos 0.14 m de alto por 0.12 m de diámetro.

Lote 7 (ACH 3C-2-7): (1.10 - 1.64 m). Relleno, tierra café amarillenta (10YR 5/4), de grano medio, poco compacto, también con piedras grandes y medianas. No parece diferenciarse mucho del estrato del Lote 6 (ACH 3C-2-6), aunque a la vista tuvo un aspecto más rojizo que aquél. La excavación se limitó al lado norte del pozo. Se recolectaron 19 fragmentos de cerámica.



Figura 8.2 Vista general hacia el este de las unidades ACH 3C-2 y -3 al remover el relleno de 2017
(Fotografía por E. Arredondo)

Resultados

La excavación de la Unidad ACH 3C-2, expuso con mayor claridad el relleno aplicado a la estructura temprana que contiene la cámara funeraria. Lamentablemente, la corta temporada no permitió alcanzarla pero se pudo confirmar que al ser cubierta, se aplicó una gran cantidad de relleno de piedras grandes y medianas (Figura 8.13), aplicando en ocasiones capas de estuco como las observadas durante 2017 en los perfiles norte y sur del Saqueo 8. Es posible que durante la colocación del relleno se colocaran los restos óseos denominados Entierro 7 (Figuras 8.14, 8.15, 8.16 y 8.17), aunque no se descarta totalmente su posible intrusión, luego de la construcción de la nueva estructura. Debido a su posición, cercana al eje central del edificio, es posible que éste fuera considerado como una ofrenda durante la construcción, o quizás, en caso de ser intrusivo, a una ofrenda posterior en vista de la relevancia de la Estructura 5C-08. En cuanto al piso observado en la Temporada 2017, se confirma que éste cubrió con claridad un relleno constructivo y que se diferencia de la segunda capa de estuco encontrada por debajo, la cual, habiendo sido cubierta con relleno, presentó una superficie tan irregular que no parece funcional en el sentido de locomoción. Una capa similar fue observada en el Saqueo 4 descrito más adelante.



Figura 8.3 Vista hacia el este de la Unidad ACH 3C-2 al iniciar la remoción del Lote ACH 3C-2-5. El Entierro 7 comienza a aparecer en la esquina inferior derecha de la imagen (Fotografía por E. Arredondo)



Figura 8.4 Unidad ACH 3C-2 vista hacia el sur, el área del Entierro 7 aparece al centro de la imagen (Fotografía por E. Arredondo)



Figura 8.5 Entierro 7, proceso de excavación
(Fotografía por E. Arredondo)



Figura 8.6 Entierro 7, a) vista general en la Unidad ACH 3C-2; y b) detalle del Entierro 7 y el perfil sur
(Fotografía por E. Arredondo)



Figura 8.7 Unidad ACH 3C-2, remoción del pequeño muro y relación con Unidad ACH 3C-3
(Fotografía por E. Arredondo)



Figura 8.8 Unidad ACH 3C-2, Lote 6 aún *in situ*
(Fotografía por E. Arredondo)



a)



b)

Figura 8.9 Escultura cercana al Entierro 7, a) en contexto respecto del entierro al centro izquierda de la unidad; y b) acercamiento (Fotografía por E. Arredondo)



a)



b)

Figura 8.10 Unidad ACH 3C-2, Lote 7, a) Fotografía general; y b) detalle (Fotografía por E. Arredondo)



Figura 8.11 Unidad ACH 3C-2, Perfil Oeste
(Fotografía por E. Arredondo)



Figura 8.12 Unidad ACH 3C-2, Perfil Norte
(Fotografía por E. Arredondo)

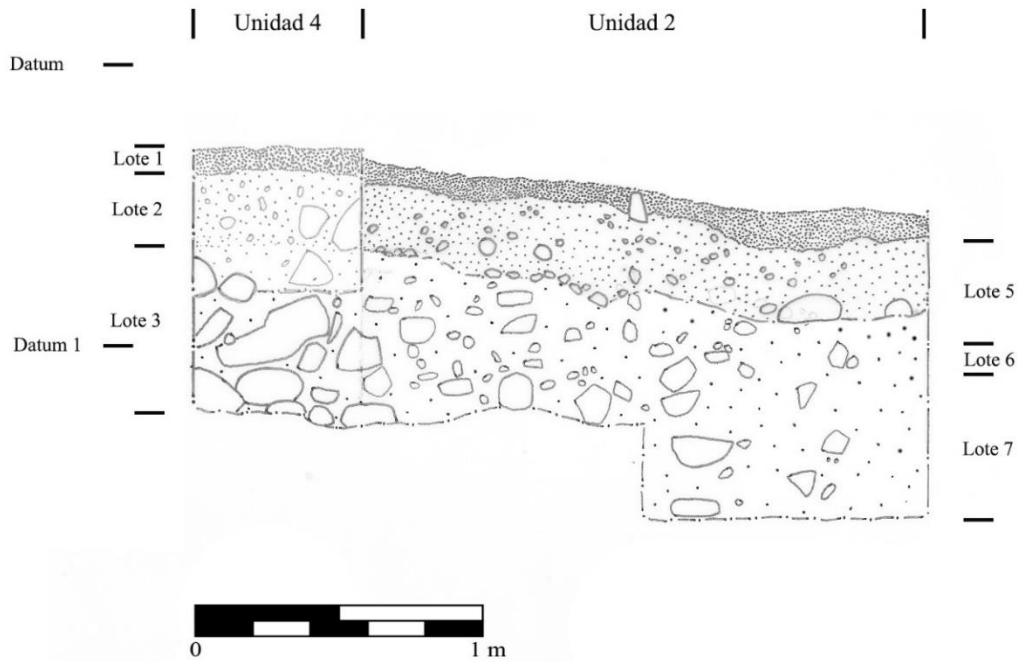


Figura 8.13 ACH 3C-2 y ACH 3C 4, Perfil Oeste integrando los perfiles de 2017 (Dibujo por E. Arredondo)

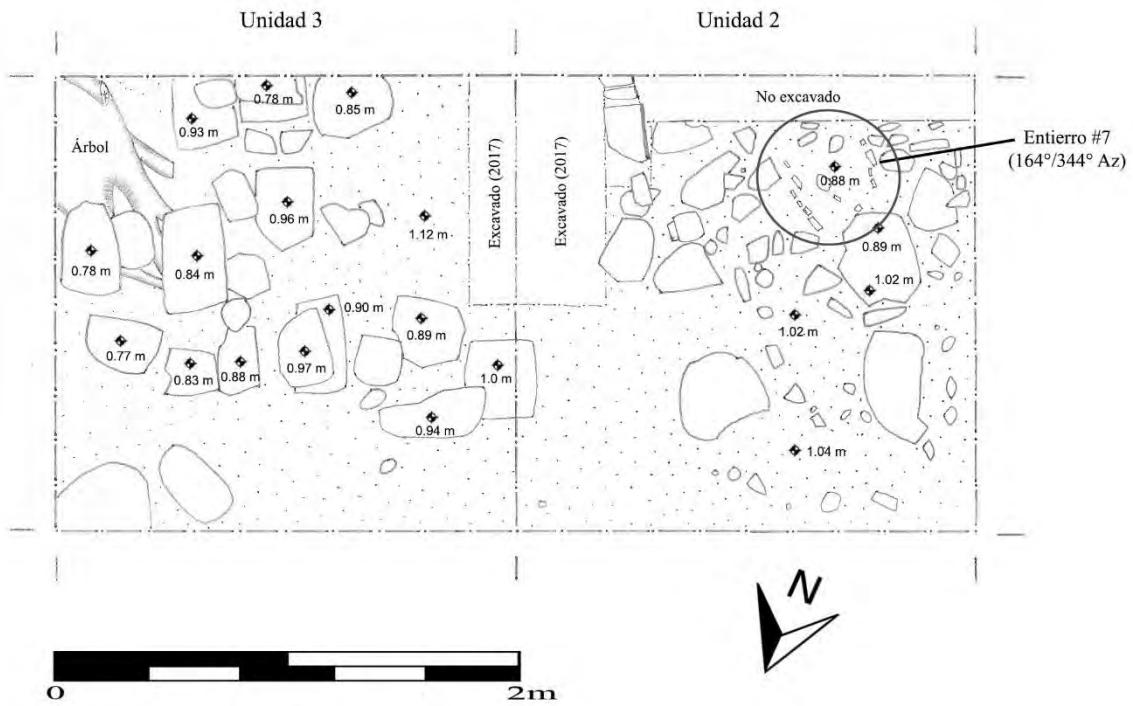


Figura 8.14 ACH 3C-2 y -3, Planta (Dibujo por E. Arredondo).

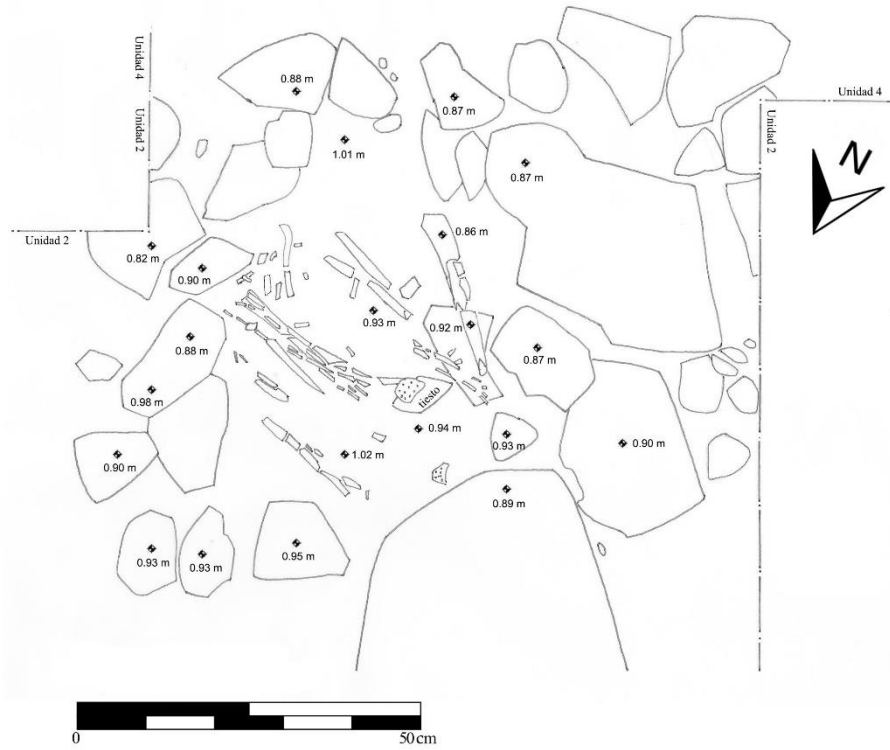


Figura 8.15 Unidad ACH 3C-2 y ACH 3C-4, Planta, Entierro 7
(Dibujo por E. Arredondo)

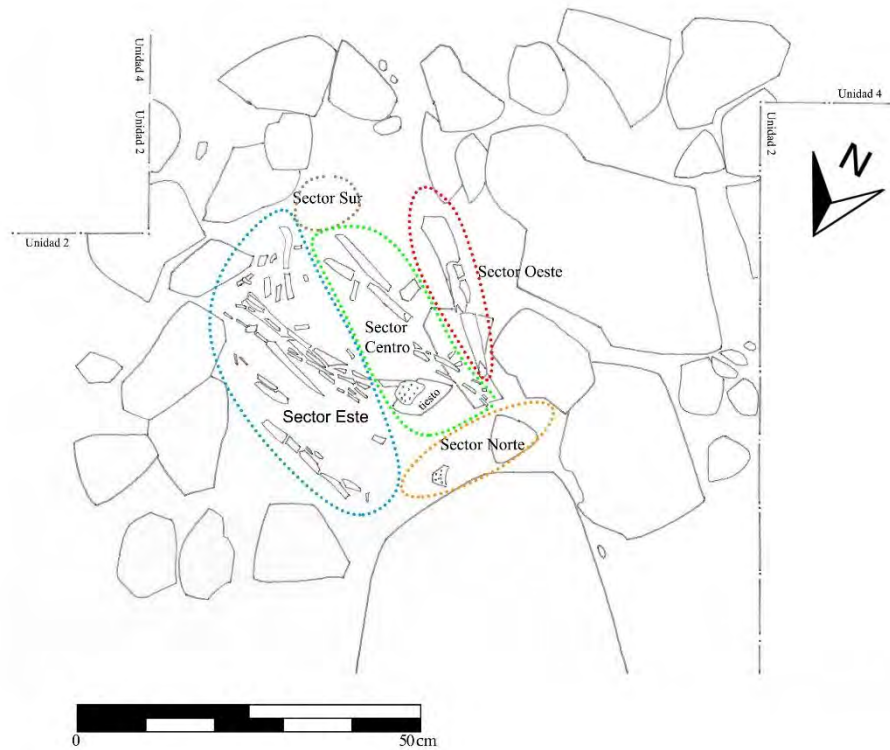


Figura 8.16 ACH 3X-2 y ACH 3C 4, Planta, Entierro 7, sectores generales de recolección
(Dibujo por E. Arredondo)



Figura 8.17 ACH 3X-2 y ACH 3C 4, Planta, Entierro 7, sectores específicos de recolección (Dibujo por E. Arredondo)

Unidad ACH 1C-3

Se localizó en la cima del montículo hacia su lado norte y corriendo entre 0.40 y 0.60 m del Saqueo 6 (Figura 8.18). Colinda al oeste con la Unidad ACH 3C-2. Sus objetivos fueron similares a dicha unidad, agregando el intento de conocer una acumulación notable de piedras grandes y labradas en su mitad sur. Durante la temporada anterior se notó en el perfil norte del Saqueo 8, en su sección al oeste, la presencia de un piso y un posible muro. La excavación entonces no reveló ningún muro, aunque sí encontró los restos mal conservados de un piso, coincidente en profundidad con el mencionado antes. Durante este año se intervino el área con la intención de revelar más información sobre estos dos rasgos y conocer la naturaleza de la apilación de piedras labradas. También durante 2017 la excavación se limitó a poca profundidad en la mayoría del pozo, siendo el lado oeste, por al menos unos 0.30 m los que se excavaron hasta 1.19 m de profundidad, junto a la sección este de la Unidad ACH 3C-2 colindante. Los lotes encontrados entonces, consistieron en humus y una capa de piedras pequeñas por debajo de éste, observado en las todas las unidades realizadas entonces. Mientras que en la profusión oeste, se notó un nivel

de tierra café amarillenta sobre una capa de piedras pequeñas con tierra café amarillenta que cubrió el piso o capa de estuco mal conservada mencionado arriba. La numeración de los lotes continuó a partir de los lotes concluidos en la pasada temporada.

Lote 4 (ACH 3C-3-4): (0.75 – 1.15 m). Relleno con tierra café oscura (10YR 3/4), de grano medio, poco compacto con piedras medianas y grandes. Se excavó en el sector norte del pozo, a partir del aparente final de una apilación de piedras labradas grandes notado en el resto de la unidad (Figura 8.19). Se recolectaron 4 tiestos, 3 obsidianas que incluyeron una punta bifacial en su sección distal y 7 fragmentos de estuco modelado.

Lote 5 (ACH 3C-3-5): (0.75 – 1.00 m). Relleno de grandes piedras labradas en el sector central y sur del pozo. Estrato de tierra café amarillenta (10YR 5/4), de grano medio y poco compacto. Tuvo un grosor de unos 0.30 m hasta alcanzar el nivel que mostró un aparente cambio de sedimento, y que se sospechó podría haber sido un piso o un apisonado. Se recolectaron 25 fragmentos de cerámica.

Lote 6 (ACH 3C-3-6): (1.0 – 1.15 m). Relleno de tierra café amarillenta (10YR 5/4), grano medio y poco compactada, con piedras medianas. El lote profundiza hasta 1.17 m en su sector más oeste, donde se alcanzó el piso reportado para esta profundidad en 2017. Se notó que hacia el este, el nivel del piso asciende hasta 1.08 m de profundidad y es notable en los perfiles de la excavación (hacia el sector norte se dejó sin remover una línea de piedras labradas que parecían indicar el extremo de un rasgo a manera de plataforma discutido en 2017) (Figura 8.20). Se observaron restos de lo que pareció una capa de estuco, pero es notablemente diferente a los restos de los perfiles, en cuanto éstos están pulidos y mejor conservados, aunque son quebradizos en extremo. Es posible que el proceso de excavación con piochín haya destruido los restos del piso en este sector, al inicio mismo de la excavación del lote por encontrarse tan cercano a éste. Se recolectaron 5 tiestos y una muestra de estuco del piso.

Lote 7 (ACH 3C-3-7): (1.15 – 1.50 m). Relleno de piedras medianas con tierra café muy pálida (10YR 7/3), fina y poco compacta. Esta tierra es similar a la reportada en 2017 (Arredondo 2018), de color muy similar y parecida descripción, una tierra café muy pálida (10YR 8/3). Por esto se ha considerado que es claramente el mismo estrato observado en el perfil norte del Saqueo 8. Se recolectaron 15 tiestos y 1 fragmento de lítica.



Figura 8.18 Unidad ACH 3C-3, vistas generales del rasgo rectangular de piedras labradas, a) vista hacia el sur; y b) vista hacia el este (Fotografía por E. Arredondo)

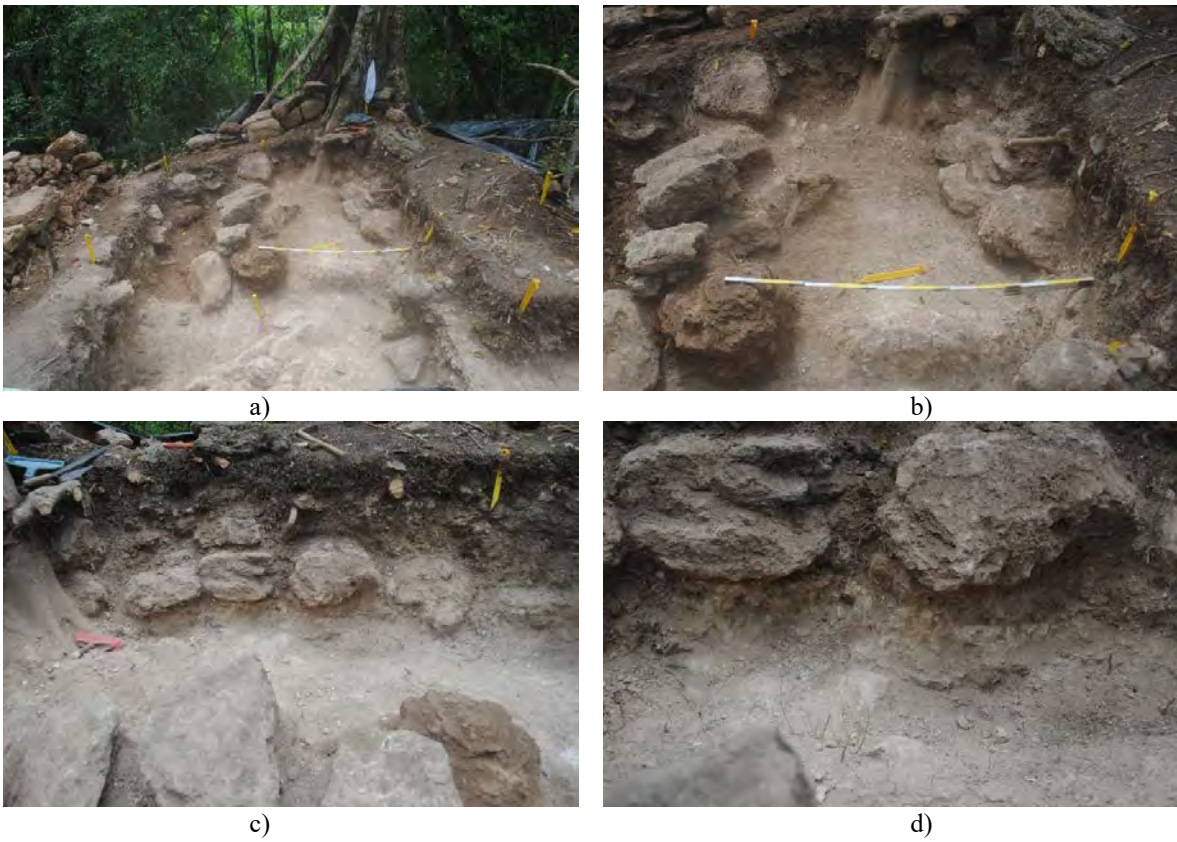


Figura 8.19 Unidad ACH 3C 3, a) Lote 4 al norte (izquierda de la imagen) y Lote 5 al sur (derecha de la imagen); b) detalle del Lote 5; c) detalle del Perfil Sur del Lote 5; y d) detalle del piso en Lote 6 (Fotografía por E. Arredondo)

Resultados

La excavación en la Unidad ACH 3C-3 expuso con mayor claridad la situación constructiva en el sector. El aparente rasgo cuadrado o rectangular, si bien es notable en comparación del relleno que lo rodea, no presentó restos de estuco alguno que lo cubriera, y puede deberse a la intención de nivelar el área con mayor precisión utilizando piedras labradas posiblemente tomadas de otros edificios ya en desuso. Este rasgo se colocó directamente sobre el piso observado en 2017 en el perfil norte del Saqueo 8 y parece ser la parte superior de la estructura temprana asociada a la cámara funeraria. Debajo del piso se encuentra el relleno característico de la estructura temprana observado también en el Saqueo 8 (Figura 8.20).

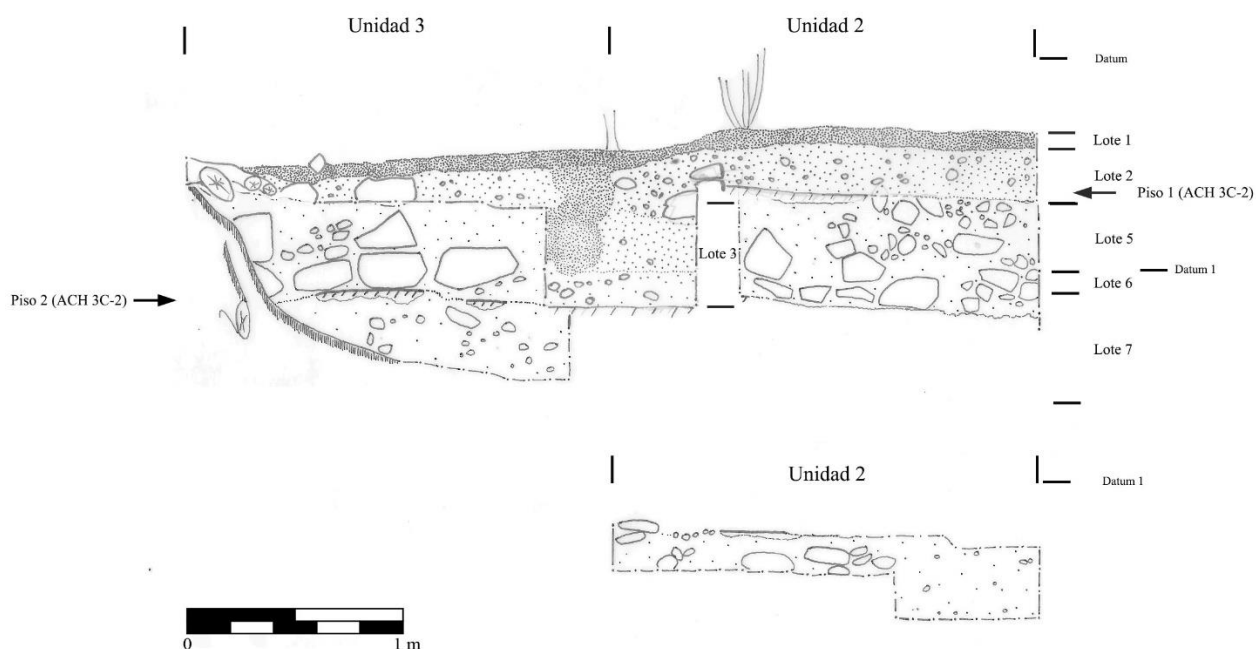


Figura 8.20 ACH 3C-2 y 3, Perfil Sur, con perfiles integrados de 2017

(Dibujo por E. Arredondo)

Unidad ACH 1C-4

La Unidad ACH 3C-4 fue una extensión requerida para poder cubrir la totalidad del Entierro 7 cuando su excavación aún estaba en proceso. Se colocó junto a la Unidad ACH 3C-2 partiendo de la mitad oeste de ésta y cubriendo por 0.50 m más hacia el oeste, acercándose a la Unidad ACH 3C-1 de 2017 (Arredondo 2018). Tuvo un ancho de 0.60 m por lo que eliminó parte del perfil norte del Saqueo 8 en su extremo oeste (Figura 8.20). En la extensión colindante con la Unidad ACH 3C-2, se excavó hasta alcanzar el nivel de la

capa de estuco irregular visto en aquella y que marcó el fin de la excavación en ambas unidades en la zona. Mientras que en la extensión hacia el oeste, sólo se rebajó hasta el nivel más alto del entierro, habiendo confirmado que los restos dejaron de aparecer en el sector anteriormente descrito.

Lote 1 (ACH 3C-4-1): (0.30 – 0.39 m). Humus de tierra café oscura (10 YR 2/2), con un grosor aproximado de 10 cm. Se recolectaron 5 tiestos, 2 obsidianas (navajas prismáticas, un fragmento proximal y otro distal), 2 lascas de pedernal y un fragmento de concha.

Lote 2 (ACH 3C-4-2): (0.39 – 0.65 m) Relleno de piedras pequeñas abundantes, con tierra café oscura amarillenta (10YR 3/4), similar al estrato correspondiente en las unidades 1 y 2. El lote concluyó donde se encontraron los restos de un piso (correspondiente con el piso más alto de la Unidad ACH 3C-1) (Figura 8.21). Existen restos de pisos en varias áreas de la excavación aunque en mal estado de preservación (Figura 8.22). Se recolectaron 31 tiestos, 1 fragmento de obsidiana y 1 fragmento de concha.

Lote 3 (ACH 3C-4-3): (0.65 – 1.23 m). Relleno debajo de piso, con tierra café amarillenta (10YR 5/4 a 5/3), de grano medio a fino con piedras grandes. Alcanza la segunda capa de estuco observada en la Unidad ACH 3C-2 (Figuras 8.23 y 8.24). A la mitad del estrato se encontró una gran cantidad de tiestos hacia el sector más al oeste, en donde también se encontró un bifacial. Se recolectaron 36 tiestos, 1 navaja prismática de obsidiana (proximal), 1 punta bifacial y 3 muestras de carbón.



Figura 8.21 Unidad ACH 3C-4, vista general hacia el este antes de iniciar la excavación (Fotografía por E. Arredondo)



a)



b)

Figura 8.22 Unidad ACH 3C-4, a) Lote 1; y b) Lote 2
(Fotografía por E. Arredondo)



a)



b)



c)



d)

Figura 8.23 Unidad ACH 3C- 4, a) vista hacia el sur en relación a la Unidad ACH 3C- 2; b) vista hacia el norte en relación al Saqueo 8; c) Perfil este; y d) Perfil oeste en relación al perfil oeste de la Unidad ACH 3C- 2 (Fotografía por E. Arredondo)



Figura 8.24 Unidad ACH 3C-4, vista hacia el suroeste en relación a la Unidad ACH 3C-2 y el Entierro 7, mostrando la remoción del Piso 1 y el relleno que lo sostuvo (Fotografía por E. Arredondo)

Resultados

La excavación de la Unidad ACH 3C- 4 confirma la secuencia de estratos observada antes, en las Unidades ACH 3C-1 y ACH 3C-2. La capa de humus cubre a una notable capa de piedras pequeñas con tierra por sobre un piso estucado en mal estado y que se degrada hacia los extremos del montículo (Figura 8.25). Debajo, un relleno de piedras medianas y grandes es claro. En él, una acumulación de tiestos y la presencia de un bifacial pueden representar algún tipo de deposición intencional fuera del mero aspecto constructivo. Por su posición, y tomando en cuenta la presencia de un entierro cercano (Entierro 7), no se descarta esta posibilidad. El piso, conservado en este sector, no aporta evidencias sobre la característica intrusiva o no de los restos humanos descritos más arriba.

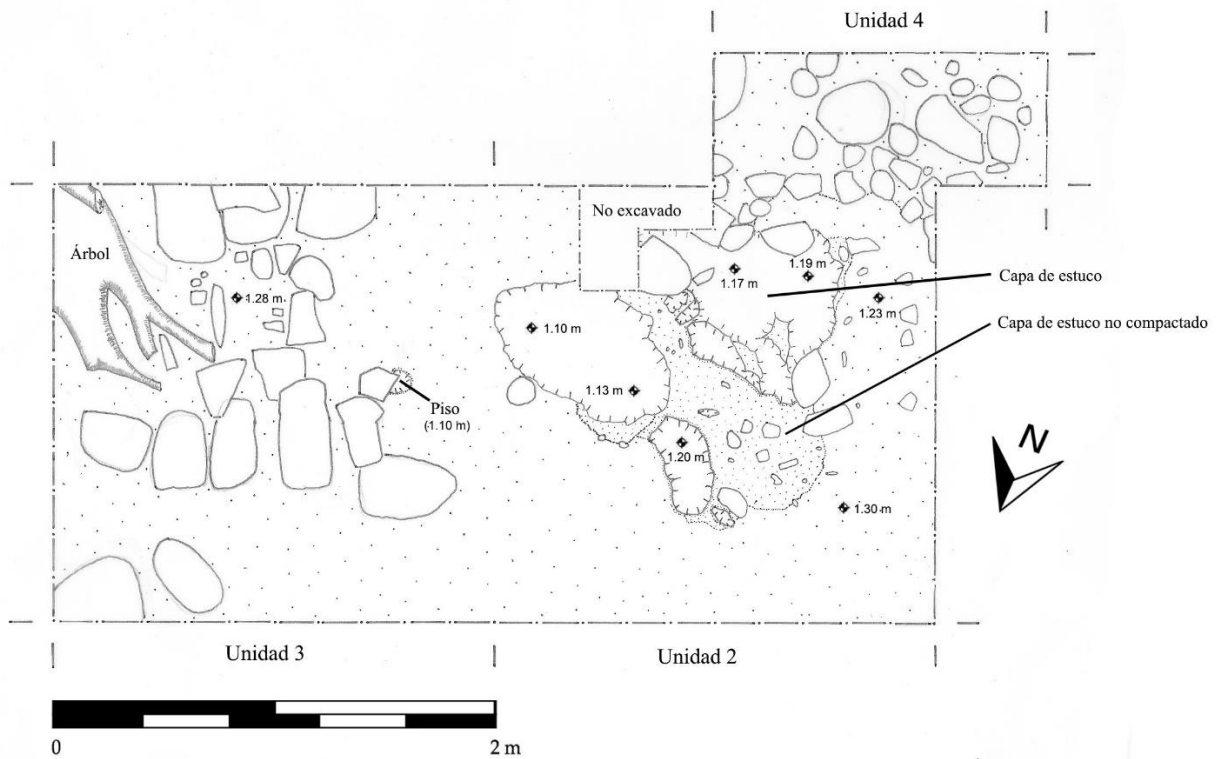


Figura 8.25 ACH 3C-2. 3 y -4, Planta
(Dibujo por E. Arredondo)

Sub-operación ACH 3X

La Sub-operación ACH 3X continuó con el objetivo trazado en 2017 de limpiar, registrar y analizar los saqueos existentes en la Estructura 5C-08. Durante esta temporada y conociendo el corto plazo de trabajo, se decidió continuar con el registro del Saqueo 2, y del Saqueo 4, con el fin de obtener información de su secuencia constructiva y poder compararla entre ambas áreas. Las colecciones del primero siguieron la nomenclatura ya iniciada, mientras que en el segundo dio inicio con el Lote 1 (ACH 3X-4-1).

Unidad 3X-2

El Saqueo 2 fue nuevamente intervenido, extendiendo el dibujo ya realizado, enfocándose principalmente en la sección este del saqueo. Allí, la intrusión ilegal penetró en forma de túnel a la estructura y se extendió hacia el sur (Figuras 8.26, 8.27, 8.32 y 8.33). El túnel reveló una cista (existen dos más reportadas en temporadas pasadas, cistas 2 y 3, correspondientes a los entierros 4 y 5 respectivamente), la cual no fue inspeccionada con detenimiento anteriormente (Figura 8.27 y 8.28). Se le denominó Cista 4 y Entierro 6. Se

procuró realizar los dibujos de perfil y planta para poder agregarla a los dibujos llevados a cabo en 2017. No se realizó ninguna colección de superficie, pues fue notorio que los saqueadores rompieron el piso de la cista, extrayendo cualquier material, ya fuera óseo o de artefactos. El túnel se desvió hacia el sureste en donde penetró el relleno constructivo sin revelar ningún rasgo de relevancia (Figuras 8.29 y 8.30).

Lote 3 (ACH 3X-2-3): material colectado en el sector exterior del saqueo durante la limpieza general del sector, en un área de 5 x 0.90 m. Material revuelto por la intrusión ilegal. Se recolectó 1 tiesto.

Lote 4 (ACH 3X-2-4): material colectado en la limpieza del interior del saqueo, en su sector bajo, no en los túneles de saqueo al sur y al este. El área limpiada fue de 2.50 x 0.90 m aproximadamente. Se recolectó 1 tiesto.

Cista 4, Entierro 6

La presencia de la Cista 4 presupone la presencia de un entierro, denominado Entierro 6, aunque muy probablemente removido físicamente por los saqueadores. Se presume, por las dimensiones del rasgo, que el cuerpo estuvo de forma extendida. Sin embargo, a falta de datos factuales, no se puede realizar mayor descripción. En cuanto a la cista, ésta tuvo 2 m de largo por 0.50 m de ancho constante. Esto es diferente a las cistas 2 y 3, las cuales muestran un ancho variable que inicia con unos 0.35 a 0.45 m en sus extremos, y se ensanchan más allá de 0.70 m al alcanzar la mitad de su extensión total. En cuanto al alto, la Cista 4 tiene unos 0.80 m, mientras las anteriores redondean los 0.70 m. Los acabados también son diferentes, y se nota el uso de mayor número de piedra labrada para la Cista 4 que con las anteriores (Figura 8.28). Eso incluye las lajas de techo del espacio mortuario, en donde los bloques de la primera son más rectangulares que los últimos. La disposición de las paredes también es diferente. Mientras que en la Cista 4 son verticales (Figura 8.32), en las otras dos éstas tienen una inclinación hacia el centro del espacio. Además, ésta cuenta con un arranque de bóveda en la última fila de piedras de las paredes, deteniendo así las lajas que cubren el espacio mortuario.

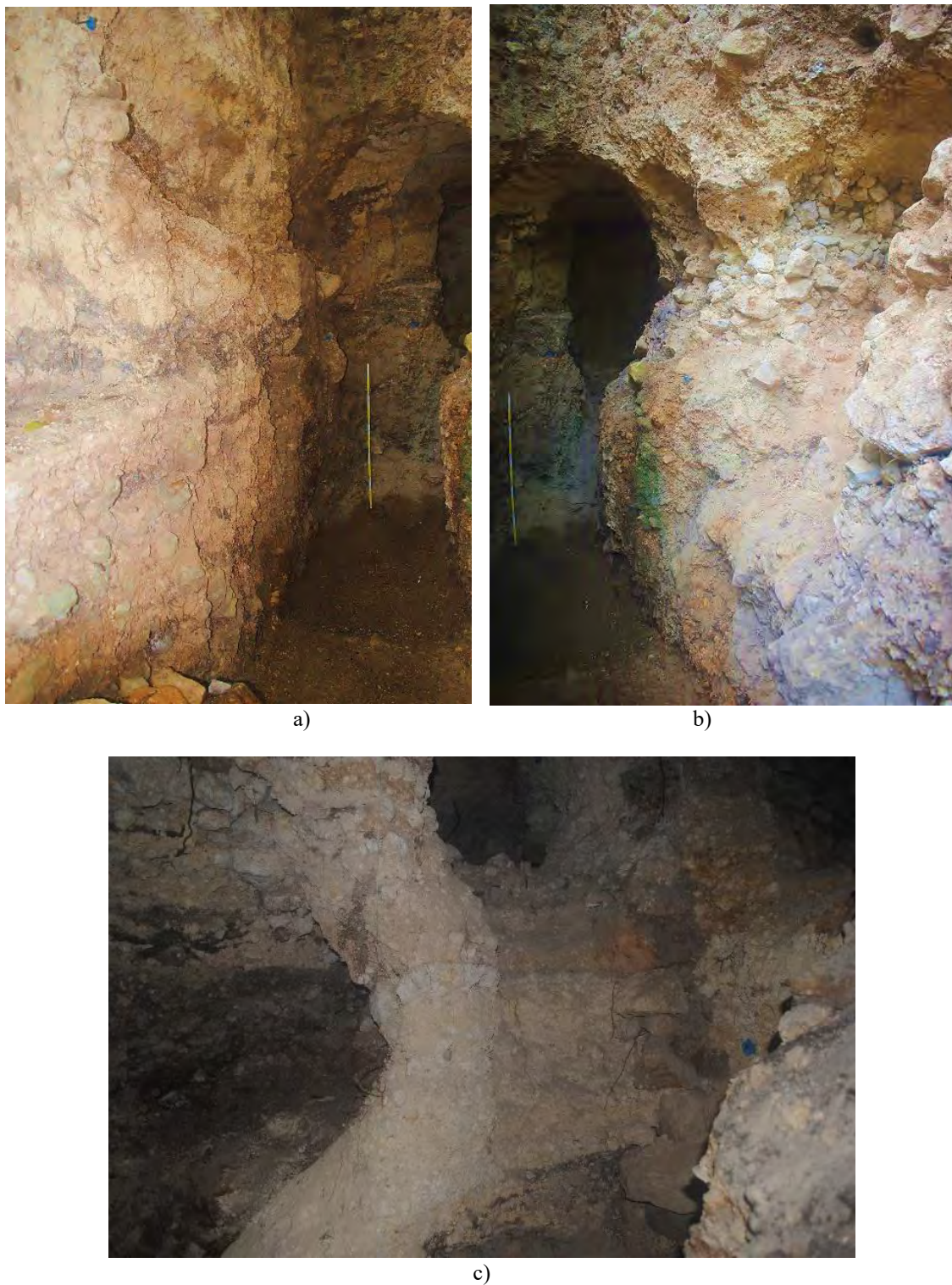


Figura 8.26 Saqueo 2, a) detalle del relleno del perfil norte sección este; b) detalle del relleno del perfil sur sección este; y c) detalle de los estratos en el interior de la estructura, la Cista 4 se encuentra en la esquina superior derecha, mientras un túnel se extiende hacia el este, hacia el centro de la imagen (Fotografías por E. Arredondo)

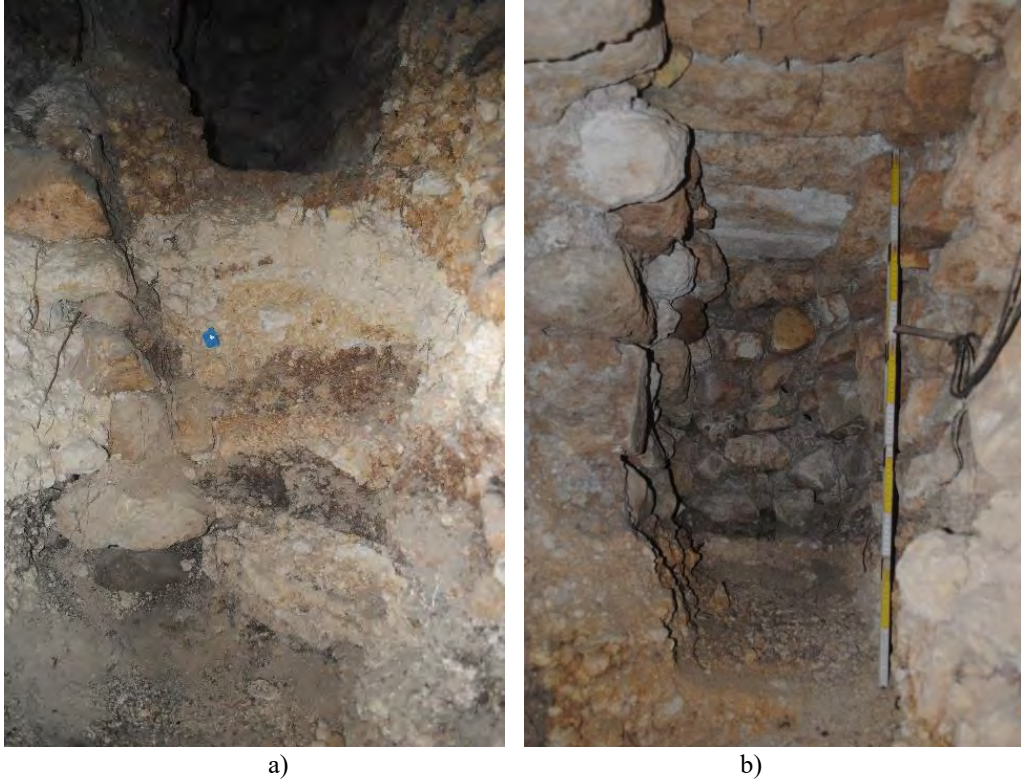


Figura 8.27 Cista 4, a) detalle de los estratos por debajo de la cista; y b) interior de la cista, vista hacia el sur (Fotografías por E. Arredondo)

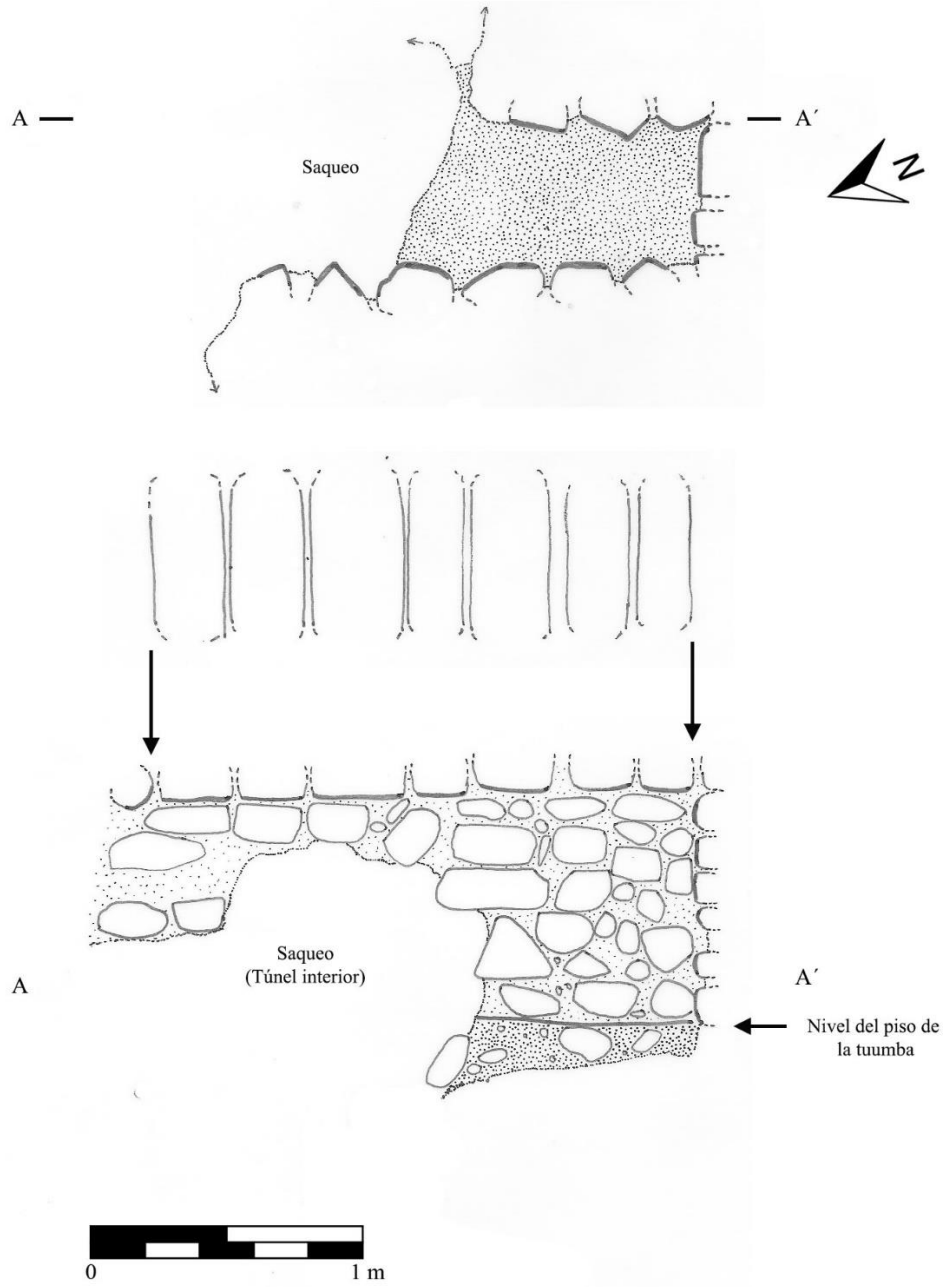


Figura 8.28 Planta y perfil este de la Cista 3, Estructura 5C-08
(Dibujo por E. Arredondo)

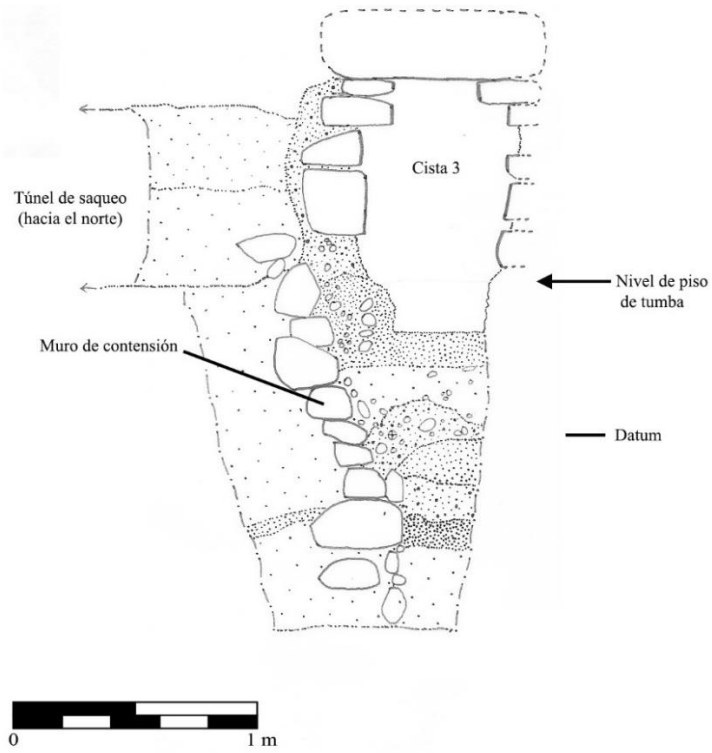


Figura 8.29 Perfil del frente de la Cista 3, interior de Saqueo 2 (Dibujo por E. Arredondo)

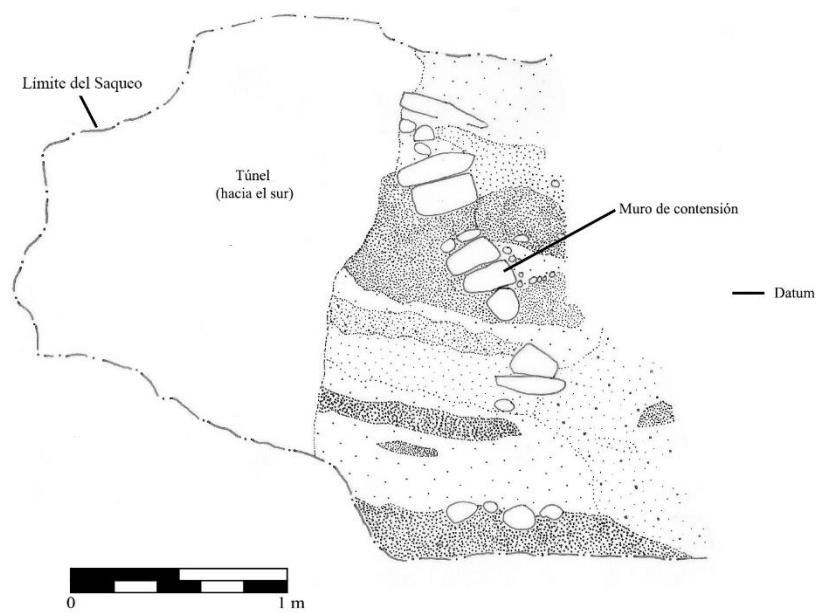


Figura 8.30 Perfil sur del extremo este del Saqueo 2 (Dibujo por E. Arredondo)

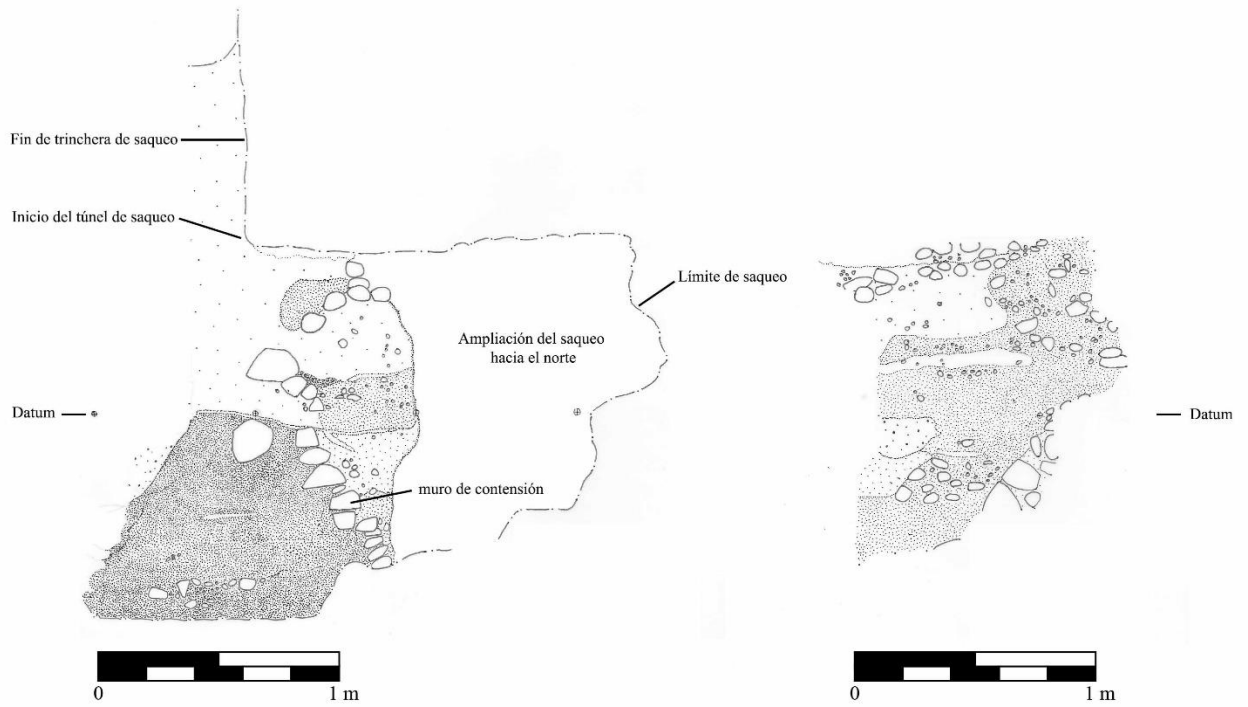


Figura 8.31 Perfil norte del extremo este del Saqueo 4 (izquierda), y perfil de su ampliación hacia el norte (derecha) (Dibujo por E. Arredondo)



Figura 8.32 Perfil Sur, Saqueo 2 (Dibujo por E. Arredondo)



Figura 8.33 Perfil norte del Saqueo 2
(Dibujo por E. Arredondo)

Resultados

La revisión de los perfiles en el interior de la Estructura 5C-08 no produjo mayores cambios en nuestro conocimiento de la construcción del edificio (Figuras 8.32 y 8.33). Sí es notable la presencia de la Cista 4, la cual tiene un acabado un tanto más formal y se localiza más arriba que las anteriores, y en un sector más a lo interno del edificio. Por sobre ella, ocurre un cambio de estratigrafía notado en los perfiles durante 2017, por sobre el cual se levantó una plataforma o terraza que no está presente en el sector norte del edificio. La ausencia de restos óseos podría explicar la presencia de más de un individuo en la recolección realizada en las cistas 2 y 3 durante la pasada temporada. Quizás los saqueadores tomaron los huesos y los movieron a aquellas en su intento de recuperar todos los artefactos posibles. Por otro lado, se notó la presencia de piedras ordenadas de forma ascendente, pero con un gradiente de inclinación, a manera de muros de contención. Un ejemplo claro se nota en el perfil sur del Saqueo 2, al este inmediato de la Cista 2, y presentado en el informe de excavaciones de 2017 (Arredondo 2018).

Unidad ACH 3X-4

Se localiza en la sección norte de la Estructura 5C-08, ingresando por la fachada oeste, hacia la Plaza (Figura 8.34). La intención principal de su intervención fue la de poder conocer la secuencia constructiva en ese sector para compararlo con lo observado en el Saqueo 2 de la misma estructura. Para el efecto, se limpió de escombros todo el espacio principal del saqueo, colectándose todo material encontrado durante el cernido. Por el limitado tiempo a disposición, no se penetró hasta los límites de la intrusión, pero se obtuvo una visión clara de la mayoría del rasgo, cubriéndose unos 10 m del saqueo. Éste, tuvo inicialmente unos 0.90 m de ancho, pero al ingresar claramente dentro de la estructura, se amplió. Su comportamiento es similar al Saqueo 8 descrito en la Temporada 2017 y se presume que en algún momento se realizó un túnel, el cual pudo haber colapsado, como parece ser el caso de aquel y al menos dos saqueos más en las estructuras de la plaza.

Lote 1 (ACH 3X-4-1): material recolectado en la limpieza general del Saqueo 4. Relleno constructivo y material colapsado por la intrusión ilegal. Se recolectaron 167 tiestos.



Figura 8.34 Saqueo 4, vista general hacia el este
(Fotografía por E. Arredondo)

Resultados

La limpieza del Saqueo 4 de la Estructura 5C-08 produjo la identificación de algunos rasgos de interés. En primer lugar, se confirmó la similitud de rellenos y técnicas constructivas de las extensiones norte y sur de la estructura (Figura 8.35). A excepción de un relleno de notables grandes piedras que aparece al final del saqueo, las técnicas constructivas y los rellenos son bastante parecidos. Existe el uso de tierras similares, espacios con relleno de piedras pequeñas y medianas al vacío, y la existencia de apilaciones similares a muros de contención con un declive notorio, pero con piedras de poca dimensión o peso en contraste con otros ejemplos de muros de contención vistos en la misma estructura.

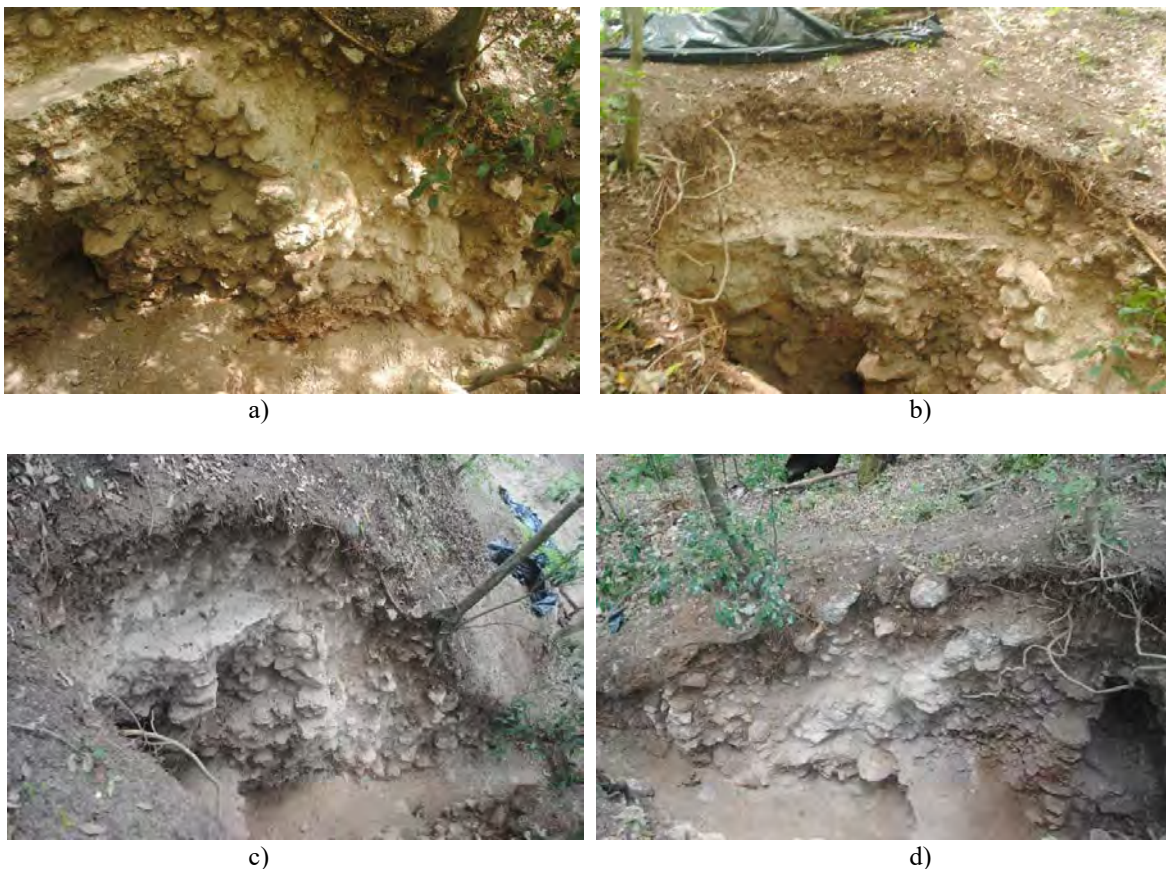


Figura 8.35 Saqueo 4, a) vista general del Perfil Sur, sector este; b) detalle del piso de estuco visto hacia el sureste; c) vista general del saqueo, perfil sur; y d) vista general del saqueo, perfil norte (Fotografías por E. Arredondo y A. González).

En segundo lugar, las terrazas observadas aquí, son bastante similares, si no idénticas, a las que se han identificado en el Saqueo 2, con una variante. En este último caso, se reportó en 2017 la existencia de un cambio en la coloración de los estratos superiores, pero sin la aparente presencia de ningún piso. El cambio es notorio y da paso a más relleno (en ambas instancias, de tierra), el cual culmina con un piso estucado que sostiene o del cual parte, una terraza de unos 1.40 m aproximadamente. La terraza es evidente en el perfil del saqueo, así como su piso asociado. Esta elevación no ocurre en el Saqueo 4. Por el contrario, a la altura del cambio de estrato referido, existe un piso bastante grueso y bien preservado y por sobre él, una capa de piedras y luego relleno de tierra, pero no existe evidencia alguna de ninguna terraza aquí (Figura 8.36). Incluso, la altura actual del montículo es distinta en ambas secciones.



Figura 8.36 Detalle del cambio de estrato en el Saqueo 2; y b) detalle del piso estucado a la misma profundidad o altura pero en el Saqueo 4 (Fotografías por E. Arredondo)

Por otro lado, en el Saqueo 4, la primera terraza es confusa, como en el caso de los perfiles del Saqueo 2. No se definen claramente en los perfiles, una situación diferente a una segunda terraza, por sobre aquella, que sí es clara y definida. Sin embargo, ambos perfiles parecen reflejarse, y la presencia de la primera terraza puede ser aproximada gracias a los rellenos y a algunas piedras talladas y acumulaciones de lo que parece ser estuco ya en proceso de decaimiento. No se descarta la destrucción de la primera terraza en cuanto a su fachada, ya sea por el deterioro debido a un período de abandono o por una destrucción intencional, como se ha observado en la Estructura 5C-01.

Finalmente, un rasgo llamativo es la presencia de una fachada de poca altura, de piedras más pequeñas y un tanto burdas, y que parece representar una terraza posterior. Ésta contendría el escombros o relleno derrumbado que se observa por sobre la estructura temprana. La observación en campo hace proponer que este muro (Figuras 8.37, 8.38 y 8.39) corresponde a un muro observado por Luke Auld-Thomas en temporadas anteriores al momento de la excavación de la Estructura Nicho que contuvo la Estela 1 de El Achiotal (Comunicación personal, 2018). Si estamos en lo correcto, entonces esto bien puede representar a la estructura “tardía” que cambió el eje central de la estructura temprana (que contuvo la cámara funeraria), y que se mostró con un acabado burdo en las excavaciones de 2016 (Auld-Thomas 2017). Se referirá a esta situación más adelante.



Figura 8.37 Saqueo 4, sección oeste, pequeño muro de piedra, posiblemente de segunda etapa constructiva al centro inferior de la imagen (Fotografía por E. Arredondo)

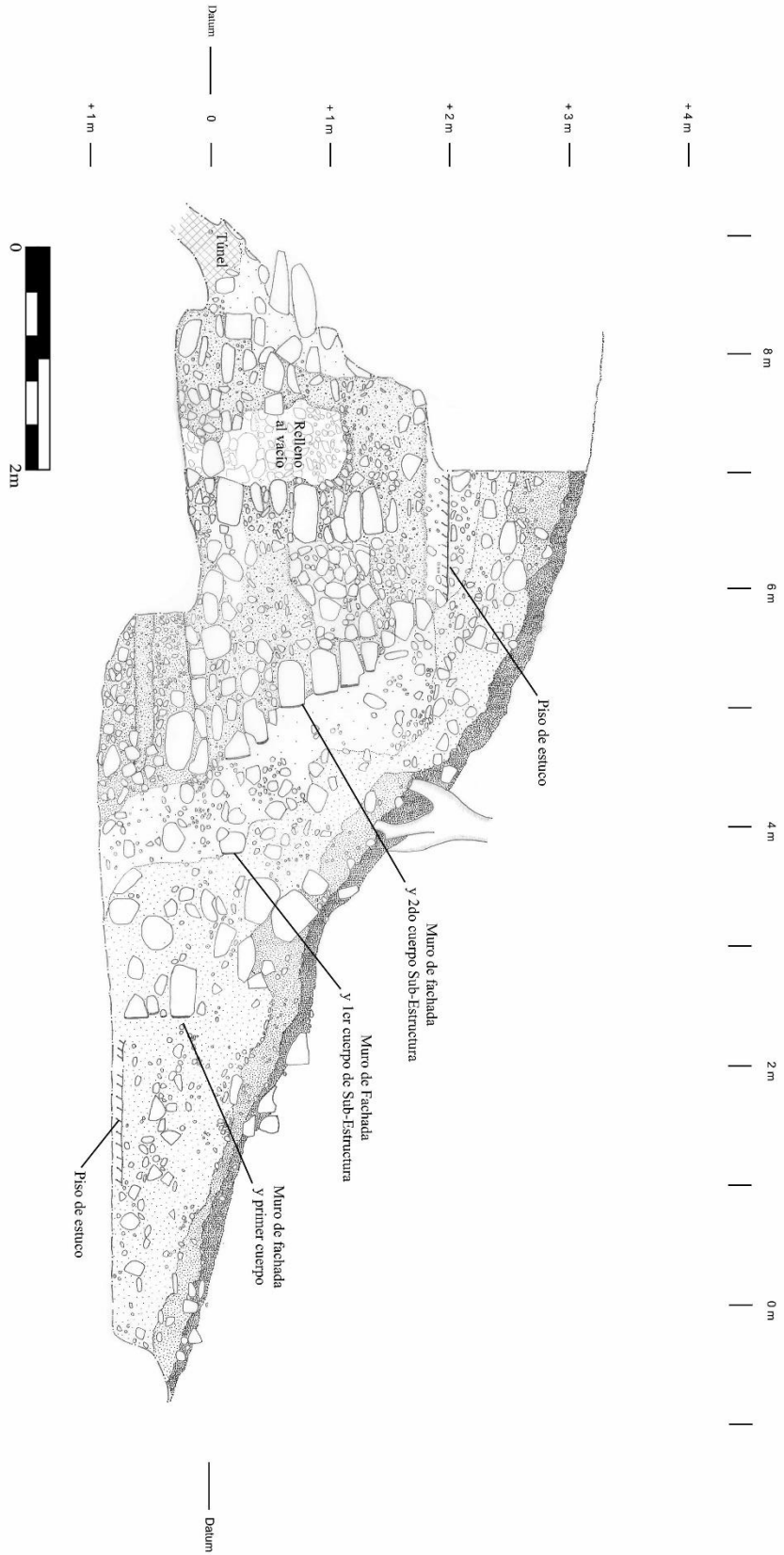


Figura 8.38 Perfil sur, Saqueo 4, Estructura 5C-08
(Dibujo por E. Arredondo)

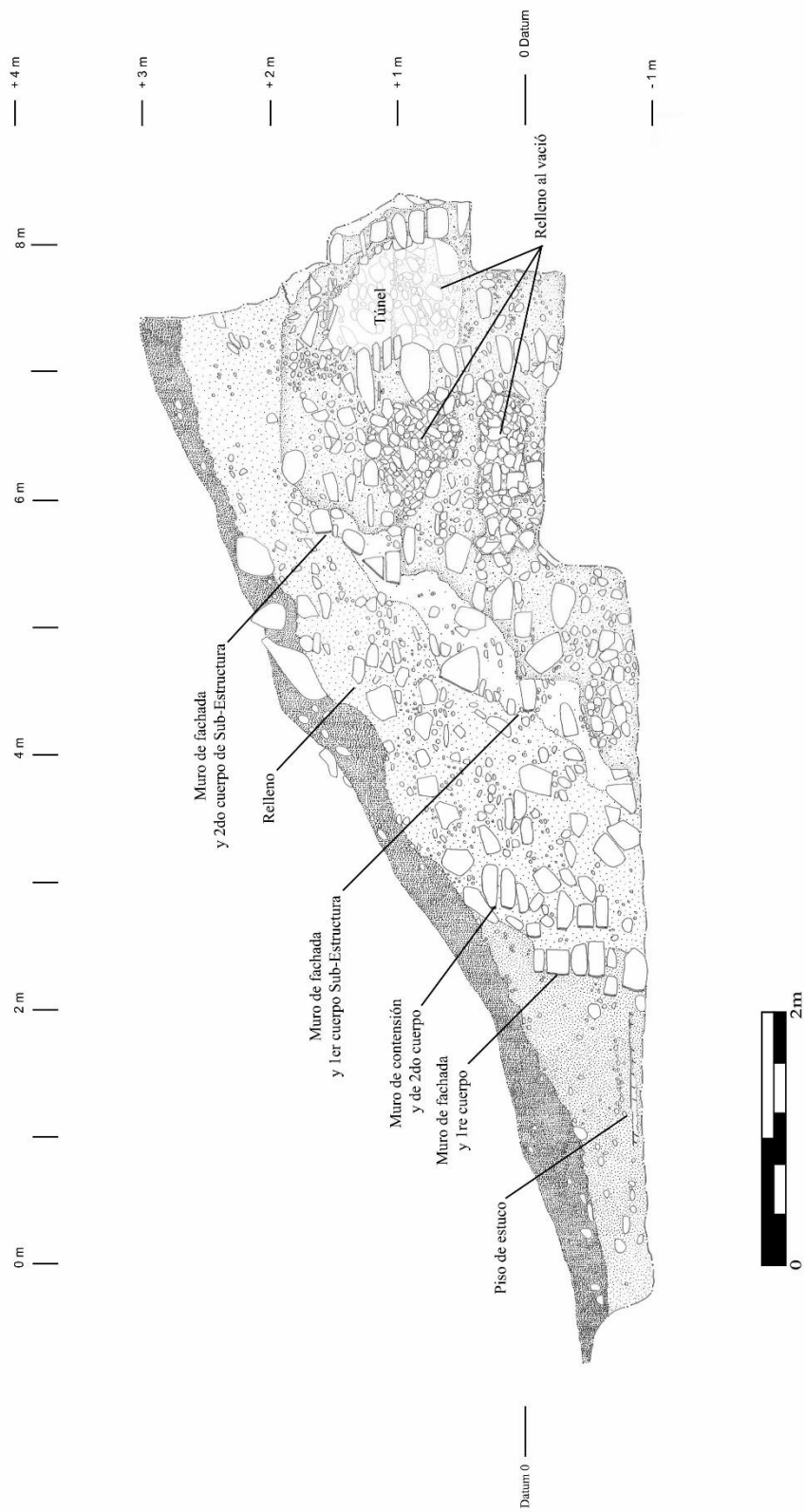


Figura 8.39 Perfil Norte, Saqueo 4, Estructura 5C-08
(Dibujo por E. Arredondo)

Conclusiones

A partir de los datos recabados por la Operación ACH3C, durante las temporadas 2017 a 2018, se pueden realizar algunas conclusiones preliminares. La Estructura 5C-08 tiene tres etapas constructivas: 1) una etapa temprana, posiblemente de la transición del Preclásico Tardío en su fase terminal (100-250 d.C.) al Clásico Temprano (250-600 d.C.); 2) una etapa seguramente de éste último período, representada por un acabado burdo y con un aparente cambio de eje respecto de la estructura anterior y proyectada principalmente hacia la plaza, también ocurrida durante el Clásico Temprano; y 3) una última etapa, correspondiente a una cubierta de la segunda etapa, realizada con un relleno que no logró definir una nueva estructura, pero que cubrió la fachada frontal de la misma, así como la sección oeste de su cima, quizás como una construcción no concluida o como un intento de enfocar la atención en una nueva estructura adosada más pequeña que contendría la Estela 1. Como opción alternativa, podría ser el colapso mismo de la segunda etapa. Sin embargo, la cantidad de material en la parte alta del montículo, así como la preservación del piso en esa zona hacen sospechar que existió una cubierta posterior del mismo y de la estructura que lo sostiene.

La etapa más temprana, definida aquí como Estructura 5C-08-Sub-2, corresponde a un edificio compuesto por un basamento alargado de dos terrazas, que sostienen a otro cuerpo arquitectónico más reducido, que cuenta con tres plataformas más, ubicadas al centro de la extensión actual del montículo. Observando el corte del Saqueo 8, sobre el eje central del edificio, las plataformas más bajas parecen coincidir bien con los cambios estratigráficos y evidencias de terrazas observadas en los cortes de los Saqueos 2 y 4. En el caso del “ala” sur de la plataforma, se nota una terraza más, a diferencia del “ala” norte, con lo cual los extremos norte y sur del edificio, serían desiguales en altura.

En un reporte anterior, se expuso la presencia de una remodelación o construcción nueva, por sobre la escalinata central del edificio anterior llamado por Auld-Thomas como *Chajuk*, denominándosele a la nueva construcción como Estructura *Tok'al* (Auld-Thomas 2017) Acá se sugiere que *Tok'al* puede no representar una nueva etapa constructiva, pero un momento constructivo que se ha denominado provisionalmente como Estructura 5C-08-Sub-2a. Al momento, no se ha reconocido ningún cambio drástico en la composición real

del edificio, pero se ha notado al menos una doble capa de estuco en la parte posterior de la estructura, que podría corresponder a esta remodelación o momento.

La segunda etapa constructiva, llamada aquí como Estructura 5C-08-Sub-1, corresponde con la construcción de un edificio de características burdas, que aparentemente modificó el eje central del edificio anterior, y que Alud-Thomas llamó *Mus*. La nueva construcción cubrió con su relleno la fachada de la estructura central y parte (al menos) de las alas norte y sur del edificio original, proyectándose principalmente, otra vez, hacia la plaza. Su relleno es de piedras grandes y alcanzó la cima del edificio. Allí cubrió con un piso la zona, pero elevando la altura por una pequeña y burda plataforma. Hacia el “ala” norte, se nota una terraza o primer cuerpo de fachada burda representada por un muro bajo que también fue reportada por Auld-Thomas con anterioridad, y que bien puede corresponder con esta etapa.

La tercera etapa, denominada preliminarmente como Estructura 5C-08 Final, es más complicada en su definición. Debido a una amplia capa de piedras pequeñas sobre el último piso mencionado (con la consecuente protección y conservación del mismo), se cree muy posible que represente la cubierta del edificio anterior con material de relleno, pero sin que llegara nunca a constituir un edificio de formas bien definidas. La gran cantidad de material sobre la anterior construcción, hacia el sector de la plaza, así como la presencia de un muro bien definido que lo atraviesa de norte a sur hacia su altura media, hace proponer un intento de encajonamiento para sostener este material aplicado posteriormente. Sería en este estrato donde se encontraron algunas ofrendas muy cercanas a la superficie, un caso similar a lo reportado en la Estructura 5C-01 por Arredondo en 2016 (Arredondo 2017). El material se encontró localizado únicamente hacia el frente del edificio y cubrió la fachada posterior de la Estructura Nicho que resguardó la Estela 1 de El Achiotal y que de paso, no presenta cubierta de estuco.

Este comportamiento hace pensar en que ese sector (la fachada posterior de la Estructura nicho) no fue pensado para ser expuesto y que desde su construcción fue cubierto por este material de relleno. Podría entonces indicar, una construcción intrusiva en el material de relleno de la Estructura 5C-08 Final, o como parte de la construcción de la misma. Un dato interesante es que el muro posterior de la Estructura Nicho muestra un ángulo, es decir, no es totalmente vertical, sino inclinado. Esta inclinación podría deberse a

la intención de erigirlo de esa forma (contrario a lo que muestra su fachada al interior del cuarto, el cual sí es vertical), quizás para sostener el peso del relleno hacia el este. Lamentablemente nuestro desconocimiento sobre cómo se une la Estructura nicho en sus costados a la estructura 5C-08 Final, nos impide sugerir cuál de las dos opciones es la correcta y solo podemos afirmar que fue colocada dentro del relleno constructivo, ya sea de manera intrusiva o de forma planificada al momento de colocar aquel. Mientras que, por otro lado, no podemos suponer que fuera anterior a esta etapa, por su inclinación y por la falta total de una cubierta de estuco.

En cuanto a los edificios propuestos con anterioridad por Auld-Thomas, se cree que la estructura denominada antes como *K'in* corresponde a la misma Estructura *Mus*, y que *Ha'al*, es un muro de contención de material de relleno que la cubre. El uso de piedra labrada de amplio tamaño, similar o casi idéntica a lo observado en la construcción de la Estructura 5C-08 Sub-1 pueden ser parte de escalinatas pertenecientes a otra estructura, quizás la Estructura 5C-01, la cual careció de los mismos en su etapa final y parece ser el caso para una etapa anterior.

En cuanto a los fechamientos asignados a cada etapa, y en base a los resultados de la Operación ACH3C, hay que aceptar que al momento se carece de los análisis completos de cerámica y se cuenta únicamente con las ofrendas encontradas, datadas todas para el Clásico Temprano. El material del Clásico Tardío a Terminal proviene del interior de la Estructura Nicho o Estructura 5C-08a y formarían parte de rituales realizados durante un largo período de tiempo luego de su construcción, según la propuesta inicial. Durante este período, la Estructura 5C-08 no tendría mayor actividad y queda para futuras temporadas el conocer si la actividad constructiva se trasladó con mayor vitalidad hacia la plaza al centro de la meseta, en donde se encuentran varios edificios que parecen tener un carácter administrativo y que quizás centralizaron el poder del sitio durante tiempos posteriores.

Por otro lado, agregando información de la cercana Estructura 5C-01, además de datos epigráficos y de la política regional, se pueden atar inicialmente las construcciones observadas con eventos de relevancia que pudieron motivarlas y/o modificarlas. En este sentido, la Estructura 5C-08-Sub-2 sería construida en algún momento de la transición hacia el Clásico Temprano, de acuerdo con las fechas de radiocarbono obtenidas en lo que se supone corresponde a la clausura del Edificio Bulto (en la Estructura 5C-01), y la

presencia abundante estuco modelado en el material que cubrió la Estructura *Pet*, por debajo de 5C-08, el cual se asume, como parte del material obtenido en la destrucción de aquel edificio. En algunas secciones de los túneles de saqueo, se observa que la fachada de la primera etapa de 5C-08 no presenta estuco y se ha asumido que es resultado de una destrucción intencional. El edificio *Pet*, según Auld-Thomas (2017) fue dejado parcialmente expuesto por algún tiempo. Se desconoce si la Estructura 5C-08-Sub-2 fue entonces construida o si existe un vacío de tiempo antes de su construcción. Sin embargo, por su estilo, la Estructura 5C-08-Sub-2, parece pertenecer más al período Clásico Temprano, y se deja la puerta abierta a otras fuentes de información que puedan en el futuro afinar nuestras observaciones de campo.

Durante el tiempo de vida de la Estructura 5C-08-Sub-2, ésta sufrió una aparente modificación. Existe una segunda capa de estuco observada en una sección del lado posterior de la misma que puede indicar una remodelación y que podría jugar bien con la aplicación de una nueva escalinata hacia el frente, referido antes como Estructura *Tok'al*. Si esto es correcto, aquí puede haber bien la construcción de la cámara funeraria, que debiera estar asociada al personaje de la Estela 1 de El Achiotal, colocada frente a la estructura y con una fecha de 418 d.C., posiblemente una fecha muy cercana a la deposición de la cámara. Las otras cistas debieran estar en una cercanía cronológica esperada en cuanto su disposición espacial y de estilo, apuntando a personajes de relevancia para el sitio, de un rango menor al individuo de la cámara o al menos considerado con un rango distinto al primero. Este orden de eventos remite directamente al evento conocido como La Entrada ocurrido en Tikal en 378 d.C. Sin embargo, allí el gobernante enterrado sería el depuesto, y enterrado junto a su familia (Laporte y Fialko 1995), mientras que en El Achiotal, sería un gobernante instalado en el año 379 d.C. por los participantes de La Entrada, a quien se le darían honras fúnebres a su muerte, unos años después de aquel evento (Auld-Thomas, Montejo y Parris 2015). Siguiendo con esta lógica, sería fácil señalar a la segunda etapa constructiva (Estructura 5C-08-Sub-1) como el resultado del cambio de poderes políticos ocurridos en la nueva dinastía de Tikal, y que comienzan a verse hacia el final del Siglo V. Mientras que la tercera fase, Estructura 5C-08-Final, sería una vuelta a los viejos lazos dinásticos, ya en un tiempo en donde la preponderancia de la

dinastía de *Mutul* en las Tierras Bajas sería nuevamente ligada a los íconos Teotihuacanos del Clásico Temprano.

Una segunda opción, colocaría a la segunda etapa de la Estructura 5C-08 como la asociada a la cámara funeraria, siendo ésta intrusiva a la primera etapa y rompiendo con la vieja tradición local, ejemplificándolo con el cambio de eje aparente. La Ofrenda 9, reportada por Auld-Thomas (2017), podría apoyar esta propuesta pues parece contemporánea. Otro factor sería la aparente cubierta de la cámara funeraria por un relleno que sostiene a la Estructura 8-Sub-1 y que se discutió en 2017 (Arredondo 2018). En este caso, su estado burdo, sin estucos preservados, podría representar un acto de destrucción intencional y que podría relacionarse a la destrucción misma de la Estela 1. En todo caso, nuevamente posicionaría este evento en algún momento hacia el final del Siglo V, al menos cercana al año 486 d.C. cuando la expansión de Tikal, bajo la influencia –cualquiera que sea el tipo- de Teotihuacán parece comenzar a tambalearse. Durante aquel año, el futuro gobernante de Tikal *Kalomte Balam*, afirma haber capturado a un personaje relevante de *Masul*, un sitio o entidad relacionada a los *Chatan Winik*, a quienes se asocia el Gobernante de la Estela 1 de El Achiotal. El problema, sin embargo, es explicar la reerección del monumento. Una solución a esta interrogante sería pensar en términos locales. En otro documento también se ha propuesto que la reerección pudo haber ocurrido hacia el año 550 d.C. o incluso después, tomando en base dos eventos similares en otros sitios de las Tierras bajas. En este caso, la reerección tendría más una intencionalidad de reivindicar el pasado local, más que los nexos políticos pasados, y en donde la figura del ancestro transgrede las viejas conexiones políticas, en un momento en donde el grupo o entidad llamada *Chatan Winik*, toma relevancia en la región nuevamente, aunque en este caso, posiblemente atada a otras facciones también foráneas que no están ligadas ni a la facción Teotihuacana, ni a la facción establecida en El Achiotal anteriormente. La ofrenda de cerámica tipo códice podría apuntar en esta dirección.

Ambas opciones están basadas en los mismos sucesos políticos, pero relacionan diferentes eventos constructivos de la misma estructura a éstos. Al momento la primera opción parece más probable, pero hay que aceptar que la segunda opción tiene algunos elementos en los rasgos constructivos que aún hacen dudar en cuanto al momento de la colocación de la cámara funeraria principal, o mejor dicho, la relación de la cámara con una

u otra etapa constructiva. En todo caso, las dos opciones muestran un comportamiento activo en cuanto a construcción durante el Clásico Temprano y que se puede ajustar a las posibles filiaciones políticas de El Achiotal. El seguimiento de la entidad conocida actualmente como *Chata Winik*, es a su vez intrigante y al momento solo se puede decir que durante todo el Período Clásico mantuvo relaciones que la hicieron gravitar alrededor de las dos grandes fuerzas políticas antagonistas de la región, la Dinastía de *Mutul* y la de los Señores de la Dinastía *Kanuul*, relación que bien podría estar expresada en los dramáticos cambios observados en la construcción en la Estructura 5C-08.

**SUBOPERACIÓN ACH6A: INVESTIGACIONES EN LA
ESTRUCTURA CF18-6 DE EL ACHIOTAL**

Alejandra González

Introducción

La ubicación de las excavaciones en la estructura CF18-6 es sobre el lado norte de la fortificación masiva del terraplén justo al oeste de la meseta de Achiotal. Esta mide 344 m de largo, rodeando un promontorio de tierra al sur y al oeste de la meseta. Desde la superficie del terreno natural hasta la parte superior del terraplén, la medida es de 3.4 m; desde el fondo de la fosa es de 5.9 m (Auld-Thomas 2017) (ver Figura 9.1). Los objetivos de la excavación fueron demostrar si el área era utilizada como un área de defensa en la que se manejaba y controlaba el ingreso de personas hacia el sitio. La metodología que se utilizó fue por pozos de 2 x 1 m o 2 x 1.5 m, para comprender las estructuras y el terraplén defensivo. Así mismo, se excavó por lotes artificiales y naturales. Solamente se realizaron tres pozos de excavación (Tabla 9.1) por falta de tiempo en la temporada.

La importancia de la evolución sociopolítica en las Tierras Bajas Mayas es evidente en la evidencia arquitectónica, y según Webster (1976), la representación más grande son los muros defensivos o terraplenes. Los sitios que presentan este tipo de estructuras son aquellos que poseen implicaciones políticas y estructuras socioeconómicas importantes de la región. Este tipo de construcciones surgen durante el período Preclásico, en el cual se observa la guerra como un proceso generativo. Por ende, la finalidad de éstos era la protección del sitio y el control de entradas hacia el mismo.

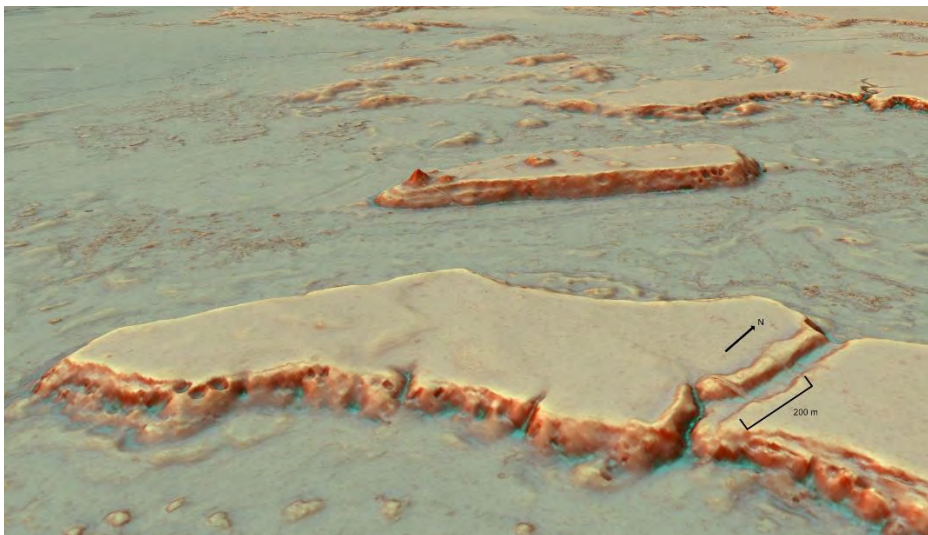
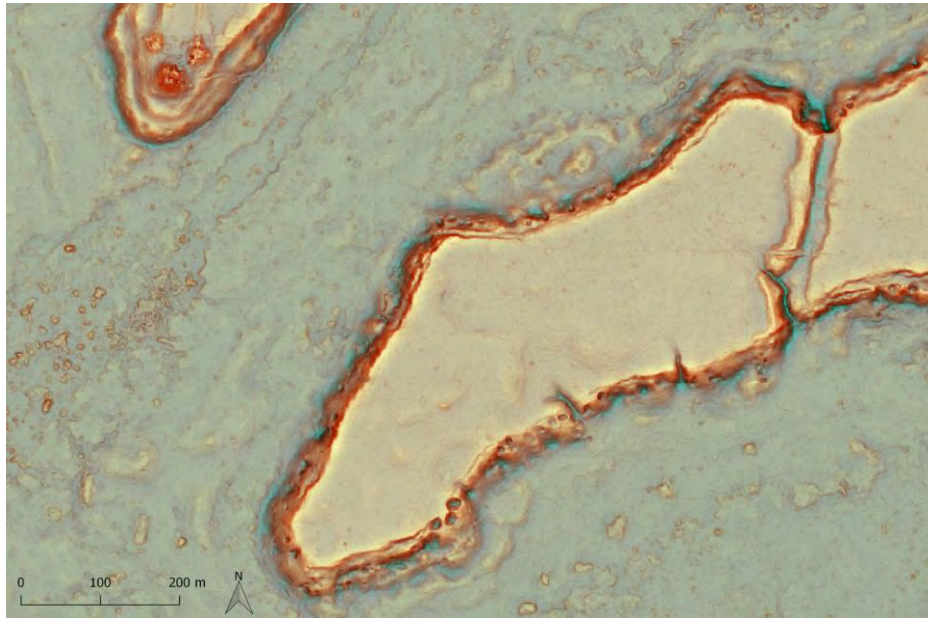


Figura 9.1 Ubicación de la excavación (Mapa por L. Auld-Thomas)

Unidad	Medida	Ubicación
ACH 6A-1	2x1m	Sobre terraplén
ACH 6B-1	2x1.5m	Sobre subestructura
ACH 6B-2	2x1m	Sobre subestructura

Tabla 9.1 Resumen de excavaciones.

Suboperación ACH6A

La Suboperación ACH6A hace referencia a la excavación sobre la fortificación. El método de excavación fue realizado por niveles culturales con orientación norte-sur y solamente se realizó la Unidad ACH6A-1.

Unidad ACH 6A-1

La Unidad ACH 6A-1 se encuentra ubicada al borde de la posible entrada del terraplén, es decir, la que se encuentra con mayor inclinación. Se encuentra alineada a la posible estructura CF18-6-2, la cual posee forma de “L” ubicada en la parte superior de la fortificación. Sus dimensiones fueron de 2 x 1 m, con orientación norte-sur.

Lote 1 (ACH 6A-1-1) Humus (10YR 2/1) con evidencia de piedra grande y sin evidencia de material. Las profundidades del nivel fueron: NE 0.97 m, NO: 1.84 m SO 1.74 m y SE 0.96 m.

Lote 2 (ACH 6A-1-2) Tierra suave color café (10YR 3/3) con abundante piedra acumulada en la parte oeste del pozo y sin evidencia de material. Las profundidades del nivel fueron: NE 1.16 m, NO: 1.90 m, SO 1.89 m y SE 1.15 m.

Lote 3 (ACH 6A-1-3) Tierra café combinado con el inicio de una capa de tierra caliza (10 YR 5/6), abundante piedra y sin evidencia de material. Las profundidades del nivel fueron: NE 1.41 m, NO: 2.00 m, SO: 2.06 m y SE 1.46 m. En este nivel se observa más piedra que en los anteriores (Figura 9.2).

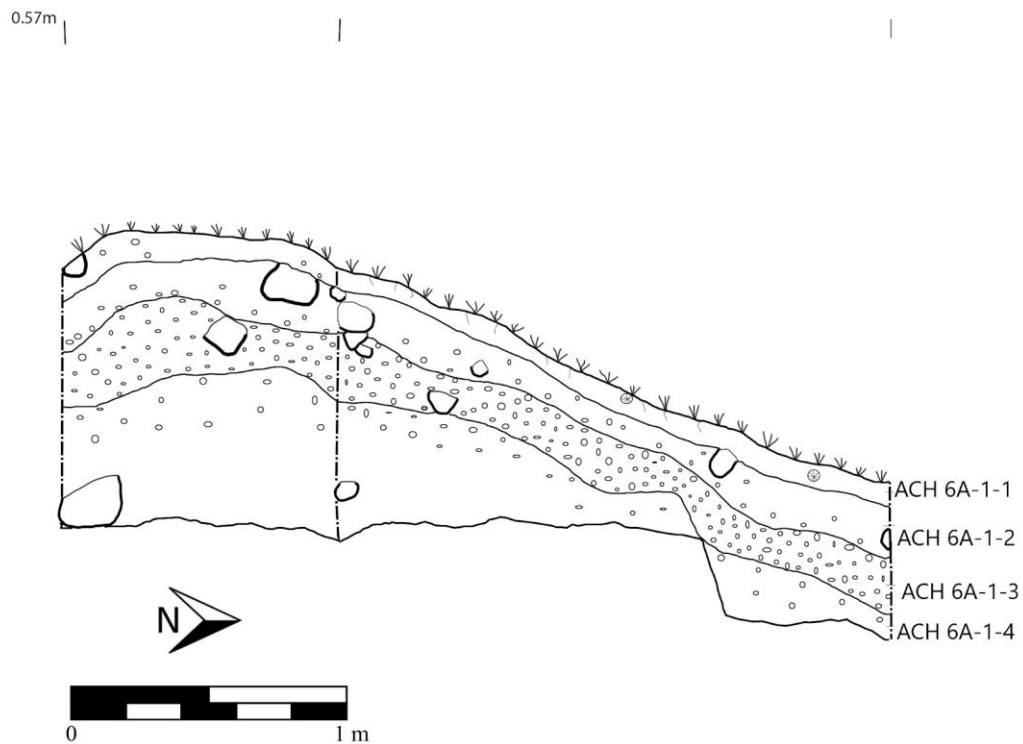


Figura 9.2 Perfil oeste y norte de la Unidad ACH 6A-1
(Dibujado y digitalizado por A. González)

Lote 4 (ACH 6A-1-4) Tierra totalmente caliza color blanco (10 YR 8/4) a excepción del lado este en el cual la tierra no era de color tan blanco, piedra y sin evidencia de material. Las profundidades del nivel fueron: NE 1.87 m, NO: 2.26 m, SO: 2.33 m y SE 1.73 m. Se dejó un rasgo para evidenciar la acumulación de piedra como posible derrumbe de la excavación (Figura 9.3).



Figura 9.3 Evidencia del rasgo en el Lote ACH 6A-1-4.
(Fotografía por A. González)

Suboperación ACH6B

La Suboperación ACH6B hace referencia a las excavaciones de estructuras sobre el terraplén. El método de excavación fue realizado por niveles arbitrarios y orientación nortesur. Se excavaron las unidades ACH6B-1 y ACH6B-2.

Unidad ACH 6B-1

La Unidad se ubica sobre la posible estructura CF18-6-1, esta es cuadrada y se ubica sobre terraplén del lado norte. Su dimensión fue de 2 x 1.5 m. El método de excavación utilizado fue arbitrario.

Lote 1 (ACH 6B-1-1) La tierra de este nivel era de color negro (10 YR 2/1), muy dura, con presencia de mucho caracol moderno y dos tiosos de cerámica. Las profundidades del nivel fueron NO 0.98 m, NE 0.90 m, SE 0.90 m y SO 0.89 m.

Lote 2 (ACH 6B-1-2) Tierra café clara (10 YR 3/3) dura, con abundante piedra suelta como relleno de la estructura con presencia de cinco tiosos de cerámica. Las profundidades del nivel fueron de NO 1.18 m, NE 1.14 m, SE 1.10 m y SO 1.10 m.

Lote 3 (ACH 6B-1-3) Tierra amarillenta (10 YR 5/6) suave, con abundante piedra suelta, en algunos casos se encontró piedra compactada, pero como parte del relleno. Presencia de nueve tiestos de cerámica. Las profundidades del nivel fueron NO 1.30 m, NE 1.30 m, SE 1.28 m, y SO 1.29 m.

Lote 4 (ACH 6B-1-4) Tierra amarillenta (10 YR 5/6) dura y arcillosa con piedras sueltas en menor cantidad y de tamaño grande como parte del relleno. Sin presencia de material. Las profundidades del nivel fueron NO 1.50 m, NE 1.50 m, SE 1.50 m y SO 1.50 m.

Lote 5 (ACH 6B-1-5) Tierra amarilla clara con mezcla de tierra caliza (10 YR 8/4), suave y con poca presencia de piedra suelta. En este nivel se llevó a la altura del terraplén y no se encontró evidencia de piso (Figura 9.4). Las profundidades del nivel fueron NO 1.70 m, NE 1.70 m, SE 1.70 m y SO 1.70 m.



Figura 9.4 Nivel de estructura a terraplén en el Lote ACH 6B1-5
(Fotografía por A. González)

Lote 6 (ACH 6B-1-6) Tierra caliza (10 YR 8/4); del lado sur del pozo la tierra se encontraba suave a diferencia del lado norte la cual se encontraba dura y compactada; en este nivel se redujo la cantidad de piedra grande (Figura 9.5). Sin evidencia de material. Las profundidades del nivel fueron NO 1.95 m, NE 1.95 m, SE 1.95 m y SO 1.95 m.

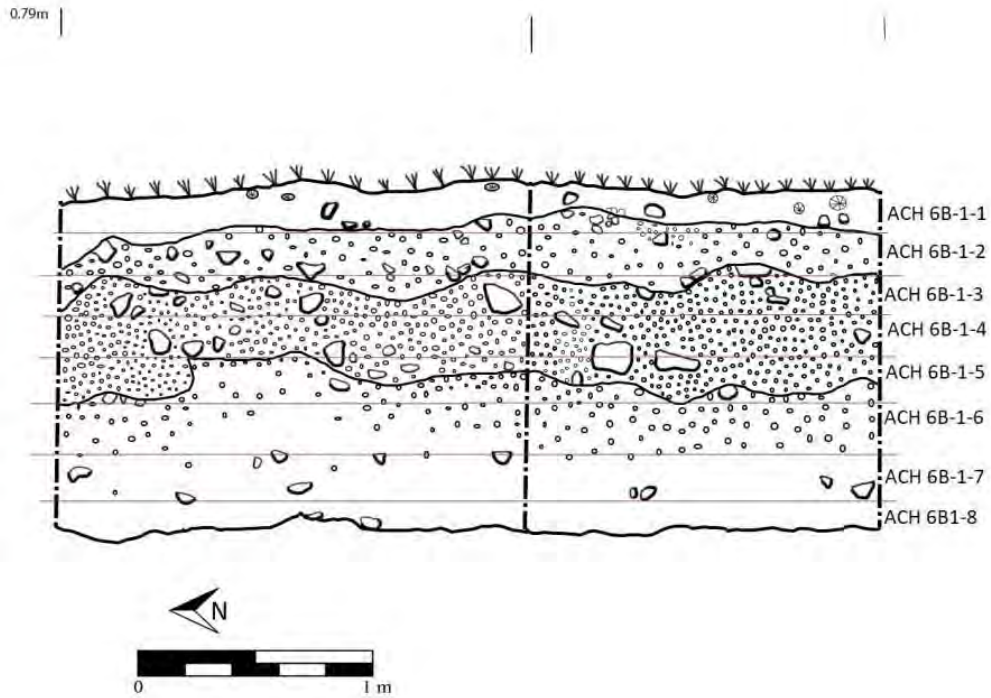


Figura 9.5 Perfil Este y Sur de la Unidad ACH 6B-1
(Dibujado y digitalizado por A. González)

Lote 7 (ACH 6B-1-7) Tierra caliza (10 YR 8/4) dura con presencia de piedra grande no compactadas. Sin evidencia de material. Las profundidades del nivel fueron NO 2.10 m, NE 2.12 m, SE 2.10 m y SO 2.10 m.

Lote 8 (ACH 6B-1-8) Tierra caliza (10 YR 8/4) dura con abundante presencia de piedra grande como relleno de la estructura sobre terraplén (Figura 9.6). Sin evidencia de material. Las profundidades del nivel fueron NO 2.27 m, NE 2.27 m, SE 2.20 m y SO 2.21 m.



Figura 9.6 Fin de excavación de la Unidad ACH 6B-1.
(Fotografía por A. González)

Unidad ACH 6B-2

Esta unidad se ubica sobre la posible estructura CF18-6-2 la cual posee forma de “L”, ubicada sobre terraplén. Su dimensión fue de 2 x 1 m y se orientó norte-sur.

Lote 1 (ACH 6B 2-1) Tierra negra (10YR 2/1) con relleno abundante de piedra grande. No se encontró material asociado al nivel. Las profundidades del nivel fueron NO 1.11 m, NE 1.01 m, SE 1.07 m y SO 1.10 m.

Lote 2 (ACH 6B 2-2) Tierra café (10 YR 3/3) con abundante piedra grande utilizada como relleno de la estructura y presencia de algunas raíces. No se encontró material asociado al nivel. Las profundidades del nivel fueron NO 1.42 m, NE 1.46 m, SE 1.46 m y SO 1.48 m (Figuras 9.7 y 9.8).



Figura 9.7 Fin de excavación de la Unidad ACH 6B-2
(Fotografía por A. González)

0.79 m

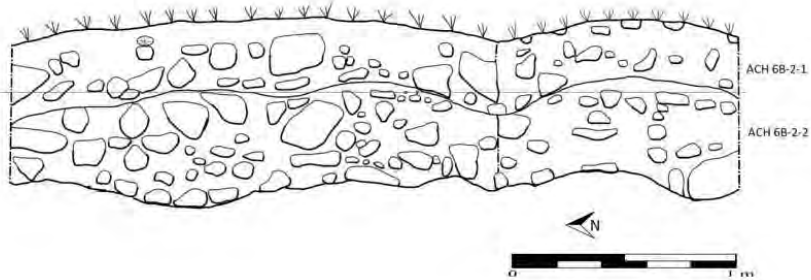


Figura 9.8 Perfil norte y este de la Unidad ACH 6B-2
(Dibujado y digitalizado por A. González)

Resultados

En el área de Tierras Bajas existen varios sitios con fortificaciones datadas para los períodos Preclásico y Clásico. Estos sitios son: Dzonotake, Cuca, Ake, Chacchob, Muna, Edzná, Becán, La Victoria, Acatucha, Tikal, Los Naranjos, Tulum, Xelha, Mayapán, Ichpaatun y Aguacatal (Webster 1967: 362). Con la finalidad de tener un muro defensivo en el área, El Achiotal no es la excepción a esta dinámica en la cual un muro extensivo cubre la entrada del mismo.

Las excavaciones sobre el terraplén fueron realizadas con la finalidad de conocer las estructuras ubicadas sobre el mismo. Las excavaciones realizadas del lado norte del terraplén incluyeron tres pozos, dos sobre pequeñas subestructuras y el otro sobre el mismo.

Las excavaciones realizadas sobre el terraplén, específicamente la parte más empinada de éste, fueron diferenciadas por la nomenclatura ACH 6A. En la excavación no se encontró material asociado; posiblemente por su ubicación se expuso el derrumbe de las estructuras sobre el terraplén. Se dejó un rasgo para identificar la posible subida empinada de la estructura.

Las excavaciones realizadas sobre las estructuras sobre terraplén fueron identificadas con la nomenclatura ACH 6B-1 y ACH 6B-2. La excavación ACH 6B-1 fue realizada para identificar hasta qué nivel llegaba la estructura y conocer el nivel de terraplén. Por ausencia de materiales, esta estructura fue más un apilamiento de piedras que estructura como tal. Esto se debe a la gran cantidad de piedra grande que se encontró, la cual comenzó a estar ausente al llegar al nivel de terraplén.

La Suboperación ACH 6B-2 demostró la conexión de la posible estructura CF18-2 en forma de “L”. No se excavó a profundidad ya que solo se quería demostrar la conexión y relleno de piedra grande en la estructura. A esta unidad se encuentra asociado poco material y ausencia de piso.

Con las excavaciones en terraplén se puede concluir que esta área era totalmente defensiva, no habitacional; lo que explica la ausencia de material. Las estructuras eran más burdas, es decir, de piedra, para poder tener el área como un control de personas acercándose al sitio. Esta estructura es una de las que bordea el sitio El Achiotal por lo cual cumplía la función de proteger la entrada y tener un control de esta. Se debe de realizar más investigaciones en las posibles estructuras CF18-6-1 y CF18-6-2 para poder determinarlas

como tal y su función; ya que ambas poseían poco material. Sin embargo, en las investigaciones realizadas en las fortificaciones de otros sitios de Tierras Bajas el material cultural asociado es poco.

CAPÍTULO X

ANÁLISIS PRELIMINAR DE LAS VASIJAS COMPLETAS DE LAS TEMPORADAS 2016-2018: LA CORONA

Caroline A. Parris

Introducción

Este capítulo documenta y describe vasijas completas y parciales excavadas en La Corona durante las temporadas de campo 2016-2018; al igual que tres vasijas semicompletas previamente no descritas. Estas vasijas fueron recuperadas de entierros y ofrendas y se encuentran en estados variados de conservación. Algunas están intactas y completas, mientras que otras se encuentran altamente erosionadas. Este capítulo se enfoca en la documentación de estas vasijas a través de la descripción de su forma, tratamiento de superficie, tipo cerámico y métrico. Se incluyen citas bibliográficas de los capítulos de informes previos para cada vasija. Estas deben ser consultadas para mayor información del contexto y excavación de cada vasija.

CR-V072

Procedencia: CR-35C-5-4

Contexto: Entierro 4, Vasija 1

Referencias: Desailly-Chanson 2010; Desailly-Chanson 2012

Vasijas Asociadas: Entierro 4, Vasija 2 (CR-V073)

Descripción: CR-V072 es un plato de pared divergente y base plana, su borde es evertido ligeramente horizontal y su labio redondeado. Presenta un agujero de “matado” casi al centro de la base. Esta vasija se encuentra aproximadamente 90% completa y no fue identificada como vasija durante el momento de excavación.

Grupo: Infierno

Tipo: Infierno Negro

Variedad: Indeterminada

Fecha Cerámica: Clásico Tardío

Fotografía: Figura 10.1

Perfil: Figura 10.2

Dimensiones:

<u>Diámetro al borde (cm):</u>	33 cm
<u>% circunferencia:</u>	100%
<u>Diámetro de la base (cm):</u>	26 cm
<u>% circunferencia:</u>	100%
<u>Altura (cm):</u>	4.2 cm
<u>Grosor del borde (mm):</u>	10.9 mm
<u>Grosor de la pared (mm):</u>	7.4 mm
<u>Grosor de la base (mm):</u>	8.2 mm

Número de fragmentos: 42

Arqueólogo: Yann Desailly-Chanson

Año de Excavación: 2009



Figura 10.1 Fotografía de la Vasija CR-V072
(Fotografía por C. Parris)



Figura 10.2 Perfil de la Vasija CR-V072
(Dibujo por C. Parris)

CR-V073

Procedencia: CR-35C-5-4

Contexto: Entierro 4, Vasija 2

Referencias: Desailly-Chanson 2010; Desailly-Chanson 2012

Vasijas Asociadas: Entierro 4, Vasija 1 (CR-V072)

Descripción: CR-V073 es un plato de pared divergente con base plana, borde recto y labio cuadrado. El interior presenta engobe negro. Esta vasija se encuentra aproximadamente 60% completa y no fue identificada como vasija durante el momento de excavación.

Grupo: Infierno

Tipo: Infierno negro

Variedad: Indeterminada

Fecha Cerámica: Clásico Tardío

Fotografía: Figura 10.3

Perfil: Figura 10.4

Dimensiones:

<u>Diámetro al borde (cm):</u>	18 cm
<u>% circunferencia:</u>	60%
<u>Diámetro de la base (cm):</u>	14 cm
<u>% circunferencia:</u>	indeterminado
<u>Altura (cm):</u>	3.1 cm
<u>Grosor del borde (mm):</u>	7.7 mm
<u>Grosor de la pared (mm):</u>	7.9 mm
<u>Grosor de la base (mm):</u>	7.1 mm

Número de fragmentos: 21

Arqueólogo: Yann Desailly-Chanson

Año de Excavación: 2009



Figura 10.3 Fotografía de la Vasija CR-V073
(Fotografía por C. Parris)

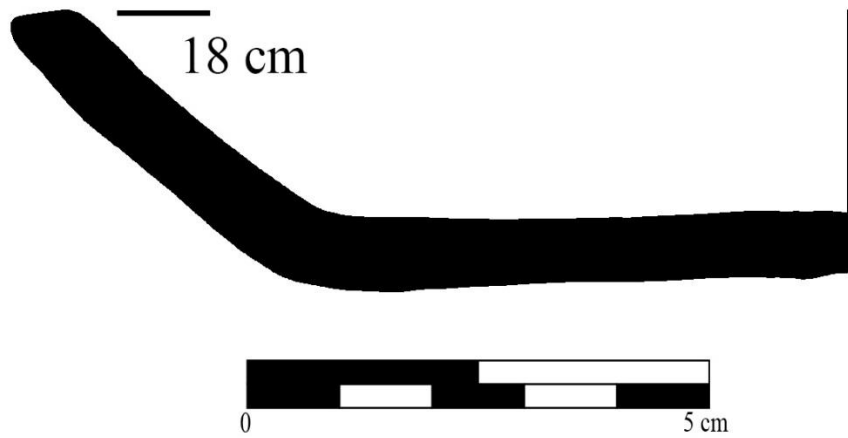


Figura 10.4 Perfil de la Vasija CR-V073
(Dibujo por C. Parris)

CR-V074

Procedencia: CR-31B-10-4

Contexto: Entierro 19

Referencias: Álvarez 2015; Parris 2015

Vasijas Asociadas: Entierro 19 Vasijas (CR-V065, CR-V066, CR-V067, CR-V068, CR-V069, CR-V070, CR-V071)

Descripción: CR-V074 es un plato de pared divergente con base plana, borde exterior engrosado y labio biselado. En el interior de la vasija se presenta engobe naranja sobre crema y en el exterior de la vasija no se presenta engobe.

Comparaciones:

Grupo: Palmar

Tipo: Palmar Naranja Polícromo

Variedad: Indeterminada

Fecha Cerámica: Clásico Tardío

Fotografía: Figura 10.5

Perfil: Figura 10.6

Dimensiones:

<u>Diámetro al borde (cm):</u>	26 cm
<u>% circunferencia:</u>	89%
<u>Diámetro de la base (cm):</u>	19 cm
<u>% circunferencia:</u>	100%
<u>Altura (cm):</u>	3.5 cm
<u>Grosor del borde (mm):</u>	8.6 mm
<u>Grosor de la pared (mm):</u>	8 mm
<u>Grosor de la base (mm):</u>	7.4 mm

Número de fragmentos: 45

Arqueólogo: Camilo Álvarez Aguilar

Año de Excavación: 2014



Figura 10.5 Fotografía de la Vasija CR-V074
(Fotografía por C. Parris)

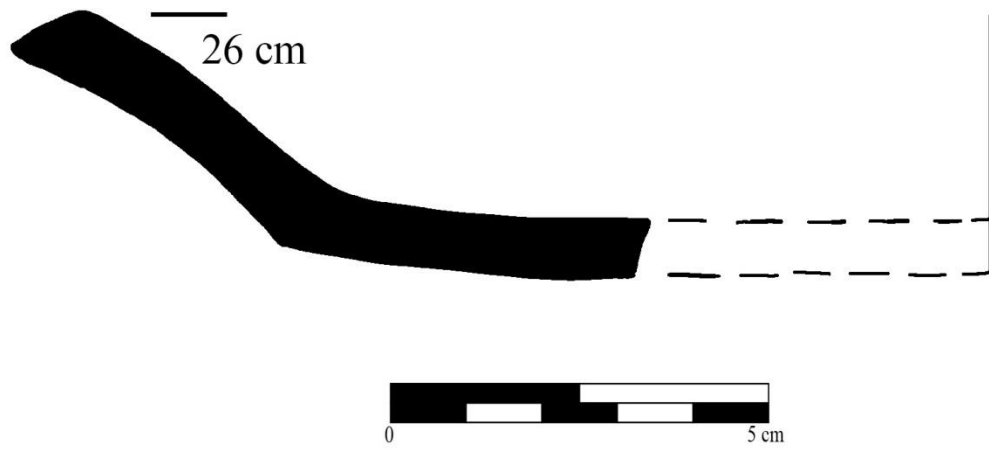


Figura 10.6 Perfil de la Vasija CR-V074
(Dibujo por C. Parris)

CR-V075

Procedencia: CR20E-14-5

Contexto: Entierro 21

Referencias: Bustamante 2017:94

Vasijas Asociadas: CR-V076

Descripción: CR-V075 es un cuenco de pared divergente con engobe naranja sobre crema en su interior y exterior, a excepción de la base. La base es plana, el borde recto y el labio redondeado. Presenta una banda circunferencial de color rojo en el labio.

Comparaciones:

Grupo: Palmar

Tipo: Desquite Rojo sobre Naranja

Variedad: Indeterminada

Fecha Cerámica: Clásico Tardío

Fotografía: Figura 10.7a y 10.7b

Perfil: Figura 10.8

Dimensiones:

<u>Diámetro al borde (cm):</u>	14 cm
<u>% circunferencia:</u>	100%
<u>Diámetro de la base (cm):</u>	12 cm
<u>% circunferencia:</u>	77%
<u>Altura (cm):</u>	8.4 cm
<u>Grosor del borde (mm):</u>	5.1 mm
<u>Grosor de la pared (mm):</u>	7 mm
<u>Grosor de la base (mm):</u>	6.2 mm

Número de fragmentos: 7

Arqueólogo: Eduardo Bustamante

Año de Excavación: 2016

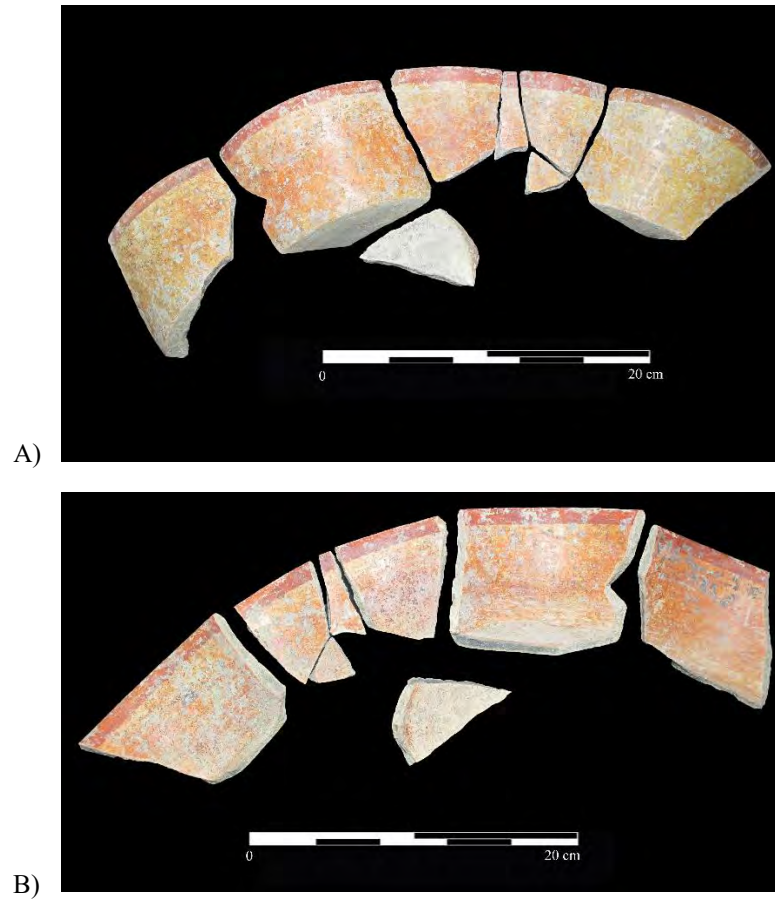


Figura 10.7 A) Fotografía del exterior de la Vasija CR-V075
 B) Fotografía del interior de la Vasija CR-V075
 (Fotografía por C. Parris)

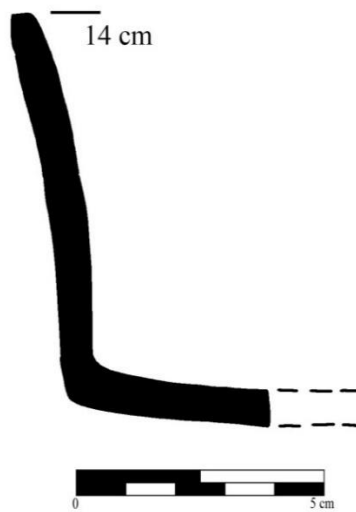


Figura 10.8 Perfil de CR-V075
 (Dibujo por C. Parris)

CR-V076

Procedencia: CR-20E-14-5

Contexto: Entierro 21

Referencias: Bustamante 2017:94

Vasijas Asociadas: CR-V075

Descripción: CR-V076 es un plato de pared divergente con borde recto, labio redondeado, y base ligeramente curva. El interior presenta engobe negro. Un agujero de “matado” se encuentra en el centro de la base.

Comparaciones:

Grupo: Infierno

Tipo: Infierno Negro

Variedad: Indeterminada

Fecha Cerámica: Clásico Tardío

Fotografía: Figura 10.9

Perfil: Figura 10.10

Dimensiones:

<u>Diámetro al borde (cm):</u>	17.5 cm
<u>% circunferencia:</u>	100%
<u>Diámetro de la base (cm):</u>	12 cm
<u>% circunferencia:</u>	100%
<u>Altura (cm):</u>	3.9 cm
<u>Grosor del borde (mm):</u>	6.9 mm
<u>Grosor de la pared (mm):</u>	no fue posible de medir
<u>Grosor de la base (mm):</u>	no fue posible de medir

Número de fragmentos: 1

Arqueólogo: Eduardo Bustamante

Año de Excavación: 2016

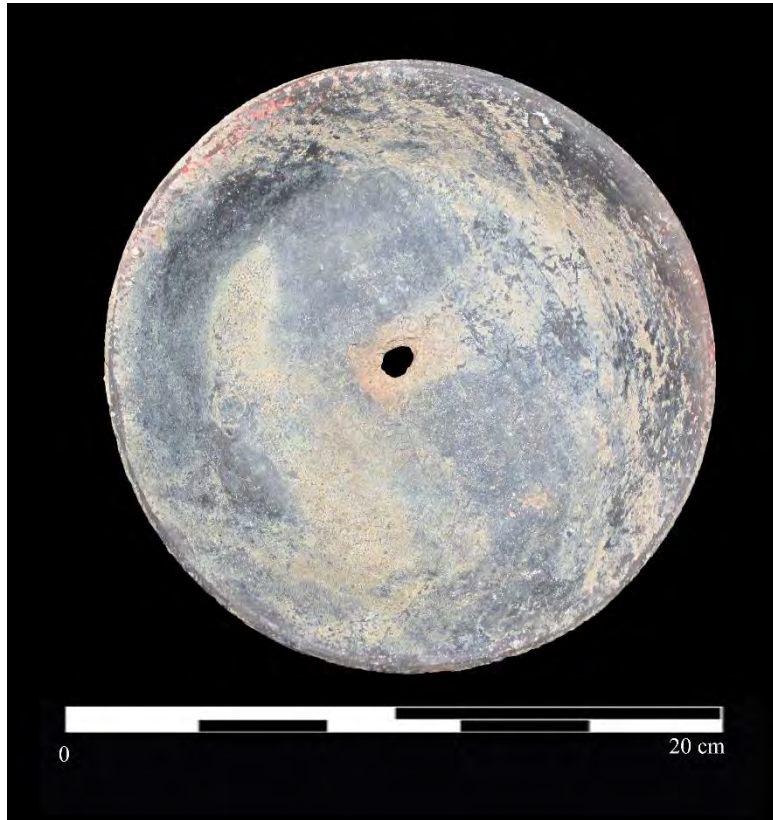


Figura 10.9 Fotografía de la Vasija CR-V076
(Fotografía por C. Parris)

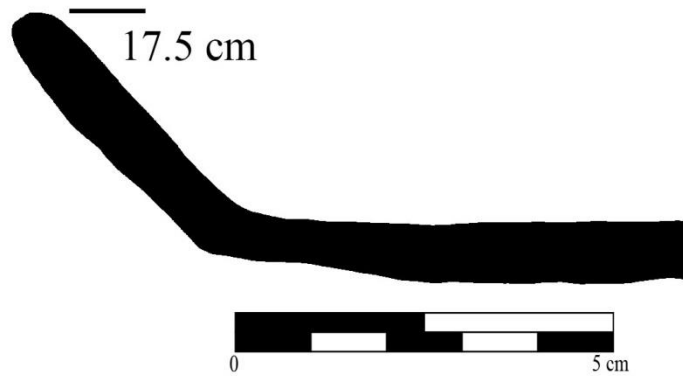


Figura 10.10 Perfil de la Vasija CR-V76
(Dibujo por C. Parris)

CR-V077

Procedencia: CR-20D-8-5

Contexto: Vasija de Ofrenda

Referencias: Bustamante 2017:85

Vasijas Asociadas: ninguna

Descripción: CR-V077 es cilindro de pared recta, borde recto, labio redondeado y base plana. La vasija posee un acabado con engobe café en su interior y exterior. La base se presenta sin engobe.

Comparaciones:

Grupo: Maquina

Tipo: Maquina Café

Variedad: Indeterminada

Fecha Cerámica: Clásico Tardío

Fotografía: Figura 10.11

Perfil: Figura 10.12

Dimensiones:

<u>Diámetro al borde (cm):</u>	14 cm
<u>% circunferencia:</u>	90%
<u>Diámetro de la base (cm):</u>	12.5 cm
<u>% circunferencia:</u>	100%
<u>Altura (cm):</u>	13.2 cm
<u>Grosor del borde (mm):</u>	4.2 mm
<u>Grosor de la pared (mm):</u>	6.8 mm
<u>Grosor de la base (mm):</u>	8.3 mm

Número de fragmentos: 9

Arqueólogo: Eduardo Bustamante

Año de Excavación: 2016



Figura 10.11 Fotografía de la Vasija CR-V077
(Fotografía por C. Parris)

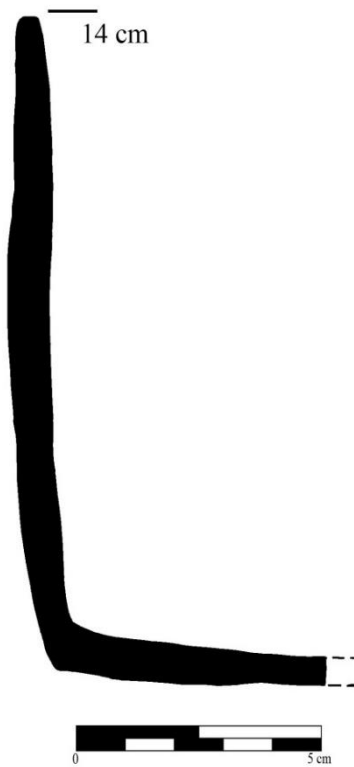


Figura 10.12 Perfil de la Vasija CR-V077
(Dibujo por C. Parris)

CR-V078

Procedencia: CR-20E-15-9

Contexto: Entierro 22, Vasija 1

Referencias: Bustamante 2018:72

Vasijas Asociadas: Entierro 22, Vasija 2 (CR-V079)

Descripción: CR-V078 es un cuenco con pared recto-divergente y doble fondo con tres soportes de botón sólidos. Su pasta es gris fino sin engobe. El exterior posee tres líneas incisas en el borde. Por debajo de las líneas horizontales hay zonas de decoración. Una zona contiene decoración aflautada vertical, y la otra zona contiene incisiones profundas de un mono. Un agujero de “matado” se presenta en al centro de la base interior.

Comparaciones:

Grupo: Chablekal

Tipo: Telchac

Variedad: Indeterminado

Fecha Cerámica: Faceta Tardía, Clásico Tardío

Fotografía: Figura 10.13

Perfil: Figura 10.14

Dimensiones:

<u>Diámetro al borde (cm):</u>	17 cm
<u>% circunferencia:</u>	50%
<u>Diámetro de la base (cm):</u>	12.5 cm
<u>% circunferencia:</u>	100%
<u>Altura (cm):</u>	9.2 cm
<u>Grosor del borde (mm):</u>	4.5 mm
<u>Grosor de la pared (mm):</u>	3.3 mm
<u>Grosor de la base (mm):</u>	3.7 mm

Número de fragmentos: 13

Arqueólogo: Eduardo Bustamante

Año de Excavación: 2017



Figura 10.13 Fotografía de la Vasija CR-V078
(Fotografía por C. Parris)

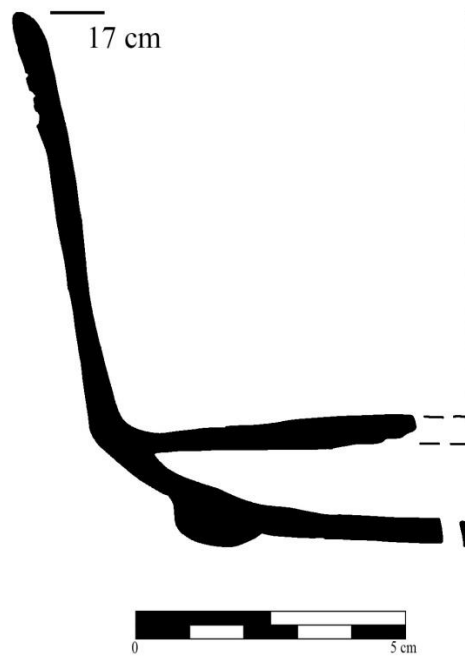


Figura 10.14 Perfil de la Vasija CR-V078
(Dibujo por C. Parris)

CR-V079

Procedencia: CR-20E-15-9

Contexto: Entierro 22, Vasija 2

Referencias: Bustamante 2018:72

Vasijas Asociadas: Entierro 22, Vasija 1 (CR-V078)

Descripción: CR-V079 es un plato de pared divergente con una base ligeramente curva. El exterior se encuentra sin engobe con residuos rojos en la base. El interior presenta engobe naranja claro sobre naranja con una banda roja al borde, óvalos negros en el labio y el diseño de “La Corona” al centro de la base en color negro. Un agujero de “matado” se encuentra al centro de la base.

Comparaciones:

Grupo: Palmar

Tipo: Palmar Naranja Polícromo

Variedad: Indeterminada

Fecha Cerámica: Clásico Tardío

Fotografía: Figura 10.15

Perfil: Figura 10.16

Dimensiones:

<u>Diámetro al borde (cm):</u>	28 cm
<u>% circunferencia:</u>	100%
<u>Diámetro de la base (cm):</u>	20 cm
<u>% circunferencia:</u>	100%
<u>Altura (cm):</u>	3.9 cm
<u>Grosor del borde (mm):</u>	7.5 mm
<u>Grosor de la pared (mm):</u>	6.6 mm
<u>Grosor de la base (mm):</u>	8.4 mm

Número de fragmentos: 7

Arqueólogo: Eduardo Bustamante

Año de Excavación: 2017

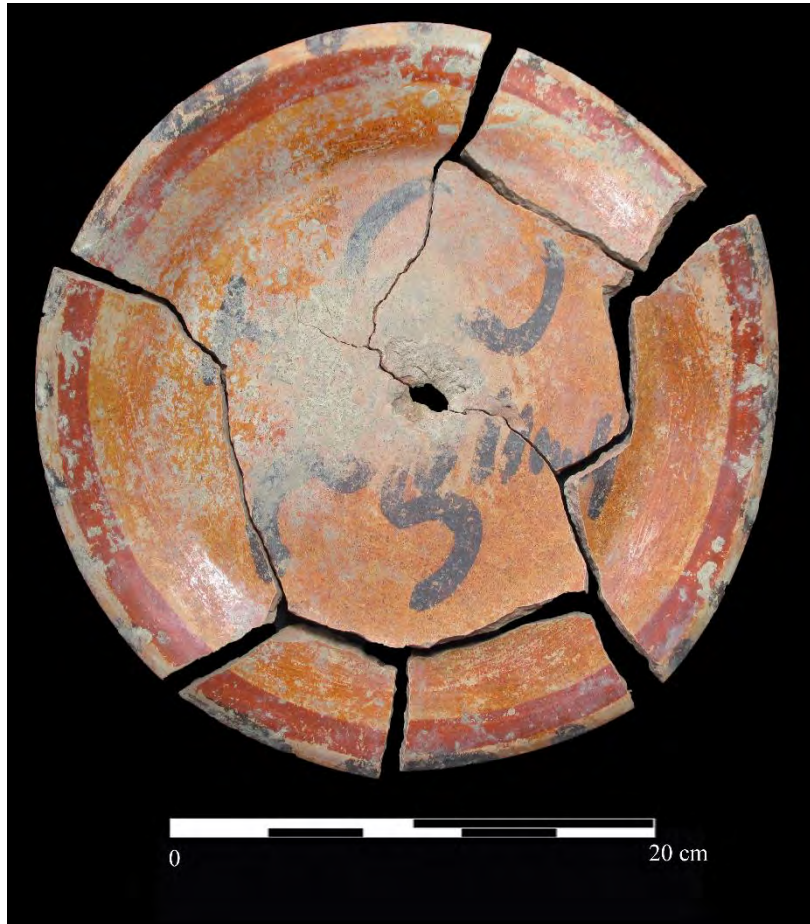


Figura 10.15 Fotografía de la Vasija CR-V079
(Fotografía por C. Parris)

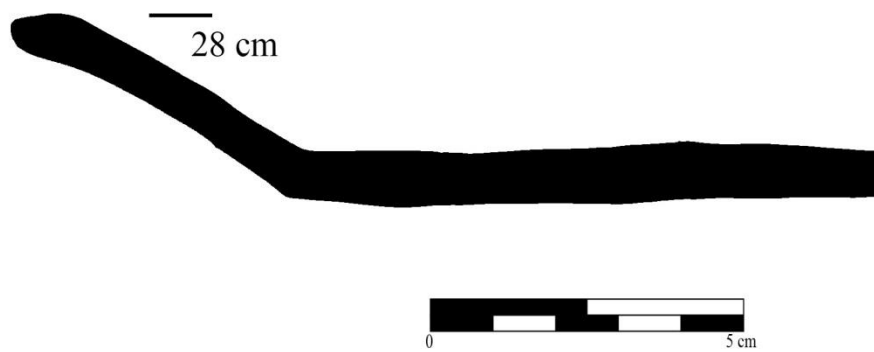


Figura 10.16 Perfil de la Vasija CR-V079
(Dibujo por C. Parris)

CR-V080

Procedencia: CR-20G-15-3-1

Contexto: Entierro 23

Referencias: Morales Forte 2018:108

Vasijas Asociadas: ninguna

Descripción: CR-V080 es un plato de pared recto-divergente con tres soportes de botón sólidos y base plana. El borde se encuentra ligeramente evertido y el labio redondeado. En su interior posee engobe rojizo y el exterior se encuentra sin engobe.

Comparaciones:

Grupo: indeterminada

Tipo: indeterminada

Variedad: Indeterminada

Fecha Cerámica: Indeterminada

Fotografía: Figura 10.17a y 10.17b

Perfil: Figura 10.18

Dimensiones:

<u>Diámetro al borde (cm):</u>	16 cm
<u>% circunferencia:</u>	68%
<u>Diámetro de la base (cm):</u>	10.5 cm
<u>% circunferencia:</u>	85%
<u>Altura (cm):</u>	5.4 cm
<u>Grosor del borde (mm):</u>	4.4 mm
<u>Grosor de la pared (mm):</u>	5.9 mm
<u>Grosor de la base (mm):</u>	5.5 mm

Número de fragmentos: 4

Arqueólogo: Rubén Morales Forte

Año de Excavación: 2017

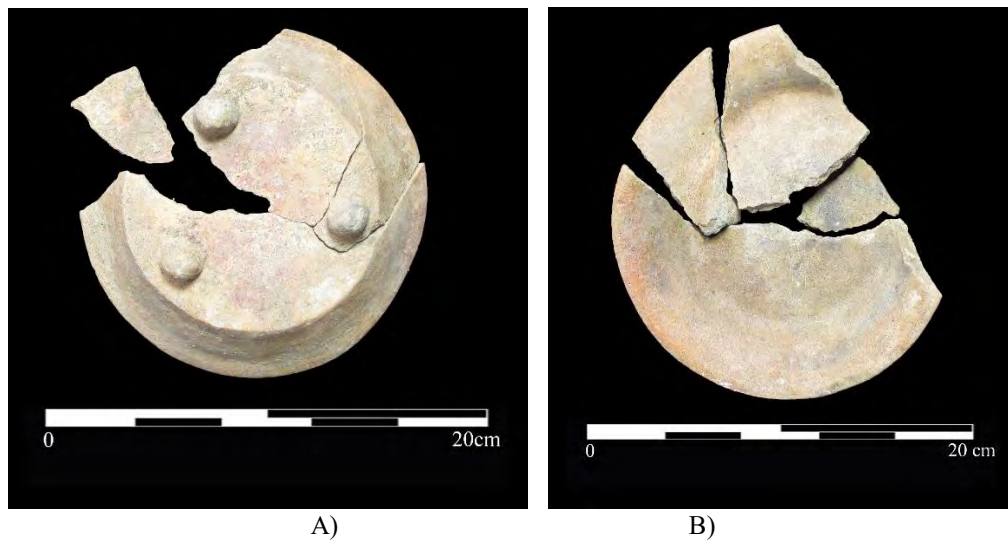


Figura 10.17 A) Fotografía del exterior de la Vasija CR-V080
 B) Fotografía del interior de la Vasija CR-V080
 (Fotografías por C. Parris)

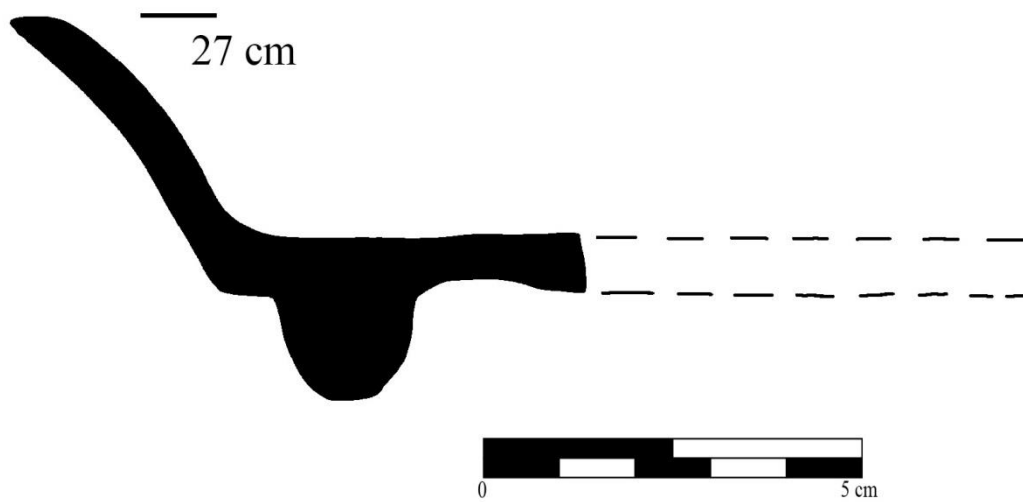


Figura 10.18 Perfil de la Vasija CR-V080
 (Dibujo por C. Parris)

CR-V081

Procedencia: CR-52A-11-3-5

Contexto: Vasija frente al mascarón de Estuco

Referencias: López Mosel 2018:177-178

Vasijas Asociadas: CR-V082

Descripción: CR-V081 es un cuenco de pared ligeramente divergente con base plana, borde evertido y labio redondeado. Una serie de aplicaciones se presentan a su alrededor en la parte externa de la pared en conjuntos de seis. La vasija no presenta engobe ni en su interior y ni en su exterior. Cuanta con evidencia de quema en su interior y exterior.

Comparaciones:

Grupo: Cambio

Tipo: Miseria Aplicado

Variedad: Puas

Fecha Cerámica: Clásico Tardío o Terminal

Fotografía: Figura 10.19

Perfil: Figura 10.20

Dimensiones:

<u>Diámetro al borde (cm):</u>	16 cm
<u>% circunferencia:</u>	76%
<u>Diámetro de la base (cm):</u>	10 cm
<u>% circunferencia:</u>	100%
<u>Altura (cm):</u>	11.5 cm
<u>Grosor del borde (mm):</u>	6.3 mm
<u>Grosor de la pared (mm):</u>	6.9 mm
<u>Grosor de la base (mm):</u>	7.6 mm

Número de fragmentos: 14

Arqueólogo: Marissa López

Año de Excavación: 2017



Figura 10.19 Fotografía de la Vasija CR-V081
(Fotografía por M. López y F. Saravia).

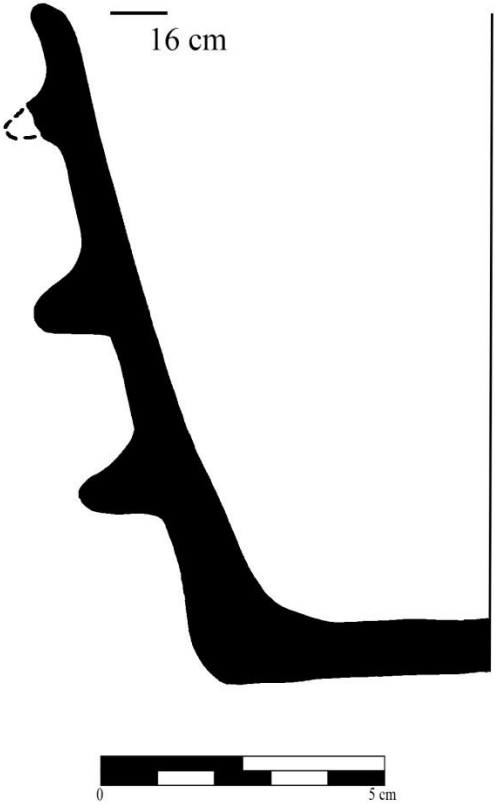


Figura 10.20 Perfil de la Vasija CR-V081
(Dibujo por C. Parris)

CR-V082

Procedencia: CR-52A-11-3-5

Contexto: Vasija frente al Marcaron de Estuco

Referencias: López Mosel 2018:177-178

Vasijas Asociadas: CR-V081

Descripción: CR-V082 es un cuenco con pared divergente de base plana, borde recto y labio aplanado. No presenta engobe y la vasija evidencia quema en su interior. Aplicaciones de espinas decoran la pared exterior de la vasija.

Comparaciones:

Grupo: Cambio

Tipo: Miseria Aplicado

Variedad: Puas

Fecha Cerámica: Clásico Tardío o Terminal

Fotografía: Figura 10.21

Perfil: Figura 10.22

Dimensiones:

<u>Diámetro al borde (cm):</u>	22 cm
<u>% circunferencia:</u>	44%
<u>Diámetro de la base (cm):</u>	10 cm
<u>% circunferencia:</u>	100%
<u>Altura (cm):</u>	6.75 cm
<u>Grosor del borde (mm):</u>	6.6 cm
<u>Grosor de la pared (mm):</u>	6.7 mm
<u>Grosor de la base (mm):</u>	6.7 mm

Número de fragmentos: 6

Arqueólogo: Marissa López

Año de Excavación: 2017



Figura 10.21 Fotografía de la Vasija CR-V082
(Fotografía por C. Parris)

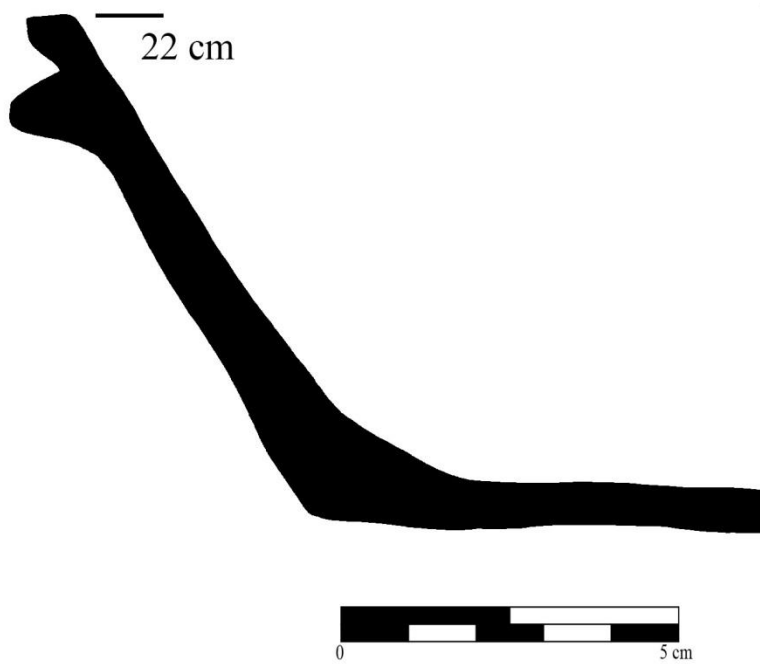


Figura 10.22 Perfil de la Vasija CR-V082
(Dibujo por C. Parris)

CR-V083

Procedencia: CR-54-5-9-13

Contexto: Entierro 26

Referencias: Ver capítulo 5 de este informe.

Vasijas Asociadas: ninguna

Descripción: CR-V083 es un plato pequeño con pared divergente, base ligeramente curva y borde engrasado en el interior. En su interior se presenta engobe naranja sobre crema y el exterior no tiene engobe. El labio presenta una banda circunferencial de color rojo seguida por una línea circunferencial negra. Es probable que tenga un diseño pintado al interior. Un agujero de “matado” se ubica al centro de la base. Esta vasija fue examinada sin lavar con el fin de preservar residuos para análisis posterior.

Comparaciones:

Grupo: Palmar

Tipo: Palmar Naranja Polícromo

Variedad: Indeterminada

Fecha Cerámica: Clásico Tardío

Fotografía: Ninguno

Perfil: Figura 10.23

Dimensiones:

<u>Diámetro al borde (cm):</u>	20 cm
<u>% circunferencia:</u>	85%
<u>Diámetro de la base (cm):</u>	12.5 cm
<u>% circunferencia:</u>	100%
<u>Altura (cm):</u>	4.5 cm
<u>Grosor del borde (mm):</u>	6.7 mm
<u>Grosor de la pared (mm):</u>	2.9 mm
<u>Grosor de la base (mm):</u>	3.9 mm

Número de fragmentos: 8

Arqueólogo: Kirsty Escalante

Año de Excavación: 2018

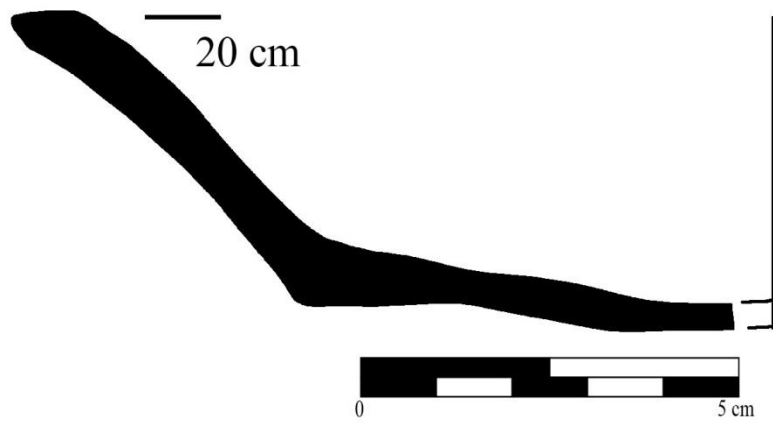


Figura 10.23 Perfil de la Vasija CR-V083
(Dibujo por C. Parris)

CR-V084

Procedencia: CR-54-5-9-12

Contexto: Entierro 24

Referencias: Ver capítulo 5 de este informe.

Vasijas Asociadas: ninguna

Descripción: CR-V084 es un plato con pared divergente, borde directo, labio cuadrado y base ligeramente curva. El exterior se encuentra sin engobe, mientras que el interior presenta engobe negro. En la base exterior de la vasija se presenta una sustancia en polvo color rojo sin identificar. Un agujero de “matado” se ubica cerca del centro de la base. Esta vasija fue examinada sin lavar con el fin de preservar residuos para análisis posterior.

Comparaciones:

Grupo: Infierno

Tipo: Infierno Negro

Variedad: Indeterminada

Fecha Cerámica: Clásico Tardío

Fotografía: Ninguno

Perfil: Figura 10.24

Dimensiones:

<u>Diámetro al borde (cm):</u>	20 cm
<u>% circunferencia:</u>	96%
<u>Diámetro de la base (cm):</u>	13 cm
<u>% circunferencia:</u>	100%
<u>Altura (cm):</u>	4 cm
<u>Grosor del borde (mm):</u>	7 mm
<u>Grosor de la pared (mm):</u>	6.1 mm
<u>Grosor de la base (mm):</u>	3.7 mm

Número de fragmentos: 26

Arqueólogo: Kirsty Escalante

Año de Excavación: 2018

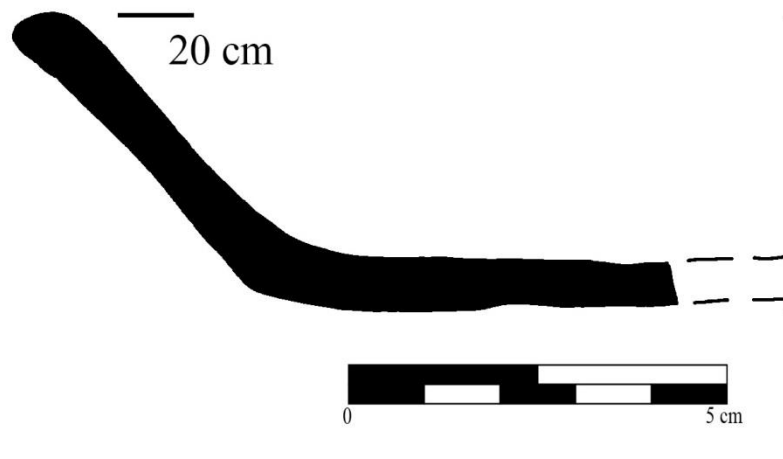


Figura 10.24 Perfil de la Vasija CR-V084
(Dibujo por C. Parris)

CR-V085

Procedencia: CR-54-3-8-17

Contexto: Entierro 25, Vasija sobre cráneo

Referencias: Ver capítulo 5 de este informe

Vasijas Asociadas: ninguna

Descripción: CR-V085 es un plato con pared curvo-divergente, borde ligeramente evertido y labio plano. La base es ligeramente curva. El exterior de la vasija no presenta engobe, mientras que el interior de la vasija tiene engobe naranja sobre crema. Presenta una banda circunferencial gruesa de color rojo en el labio. Un diseño negro indeterminado con relleno rojo se presenta al centro del fondo de dicha vasija.

Comparaciones:

Grupo: Palmar

Tipo: Palmar Naranja Polícromo

Variedad: Indeterminada

Fecha Cerámica: Clásico Tardío

Fotografía: Ninguno

Perfil: Figura 10.25

Dimensiones:

<u>Diámetro al borde (cm):</u>	23 cm
<u>% circunferencia:</u>	54%
<u>Diámetro de la base (cm):</u>	15 cm
<u>% circunferencia:</u>	55%
<u>Altura (cm):</u>	5.3 cm
<u>Grosor del borde (mm):</u>	8.6 mm
<u>Grosor de la pared (mm):</u>	5.7 mm
<u>Grosor de la base (mm):</u>	7 mm

Número de fragmentos: 17

Arqueólogo: Kirsty Escalante

Año de Excavación: 2018

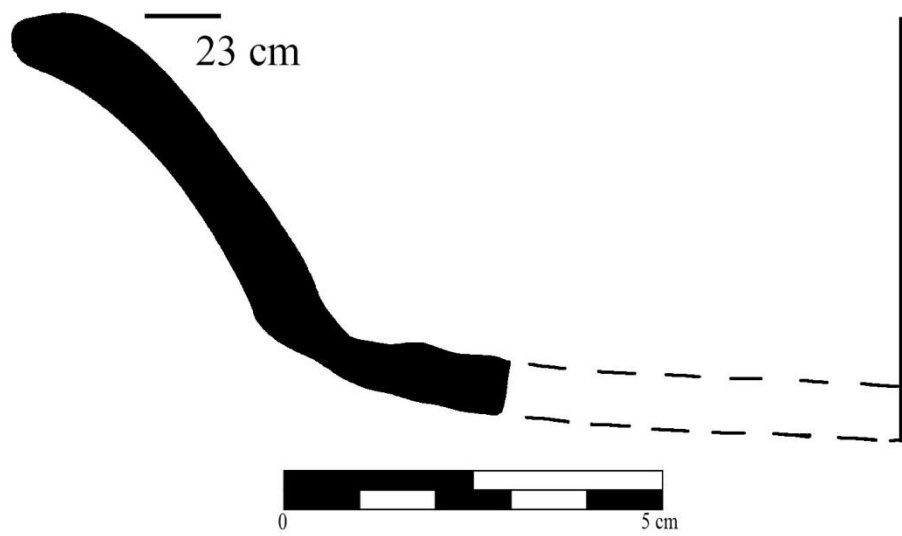


Figura 10.25 Perfil de la Vasija CR-V085
(Dibujo por C. Parris)

CR-V086

Procedencia: CR-54-7-6-9

Contexto: Entierro 27, Vasija 1

Referencias: Ver capítulo 5 de este informe

Vasijas Asociadas: Entierro 26, Vasija 2 (CR-V087)

Descripción: CR-V086 es un cuenco de pared divergente con borde recto, labio cuadrado y base anular. La vasija posee engobe naranja en su interior y al exterior no posee engobe. No es claro si dicha vasija presenta un agujero de “matado” ya que hacen falta los tiestos del centro de la base.

Comparaciones:

Grupo: Águila

Tipo: Águila Naranja

Variedad: Indeterminada

Fecha Cerámica: Clásico Temprano

Fotografía: Figura 10.26a y 10.26b

Perfil: Figura 10.27

Dimensiones:

<u>Diámetro al borde (cm):</u>	27 cm
<u>% circunferencia:</u>	98%
<u>Diámetro de la base (cm):</u>	8 cm
<u>% circunferencia:</u>	100%
<u>Altura (cm):</u>	7 cm
<u>Grosor del borde (mm):</u>	5.8 mm
<u>Grosor de la pared (mm):</u>	6 mm
<u>Grosor de la base (mm):</u>	7.5 mm

Número de fragmentos: 37

Arqueólogo: Marissa López

Año de Excavación: 2018

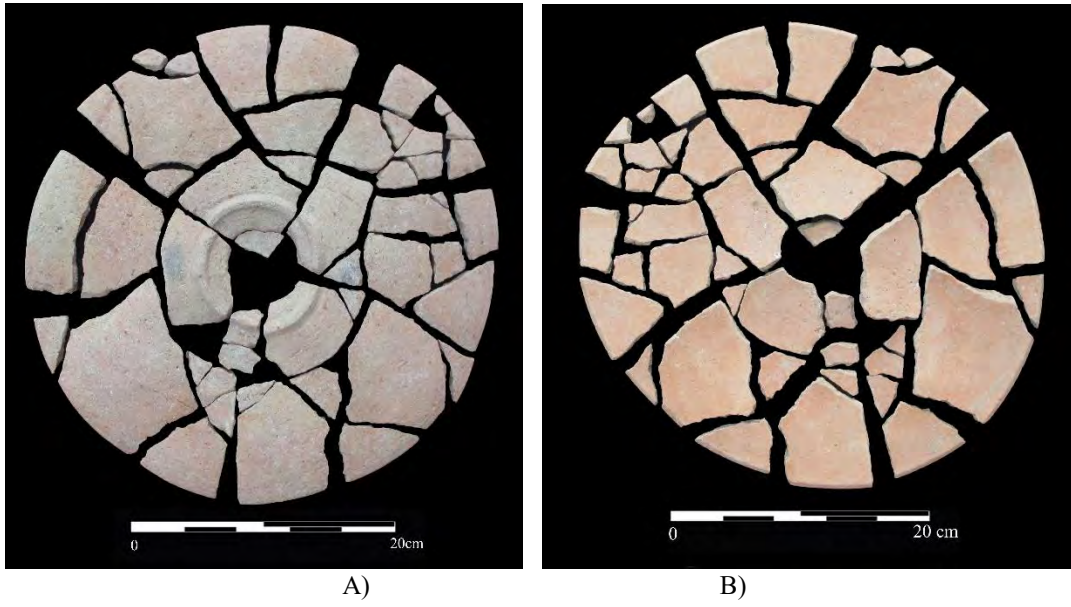


Figura 10.26 A) Fotografía del exterior de la Vasija CR-V086
 B) Fotografía del interior de la Vasija CR-V086
 (Fotografías por C. Parris)

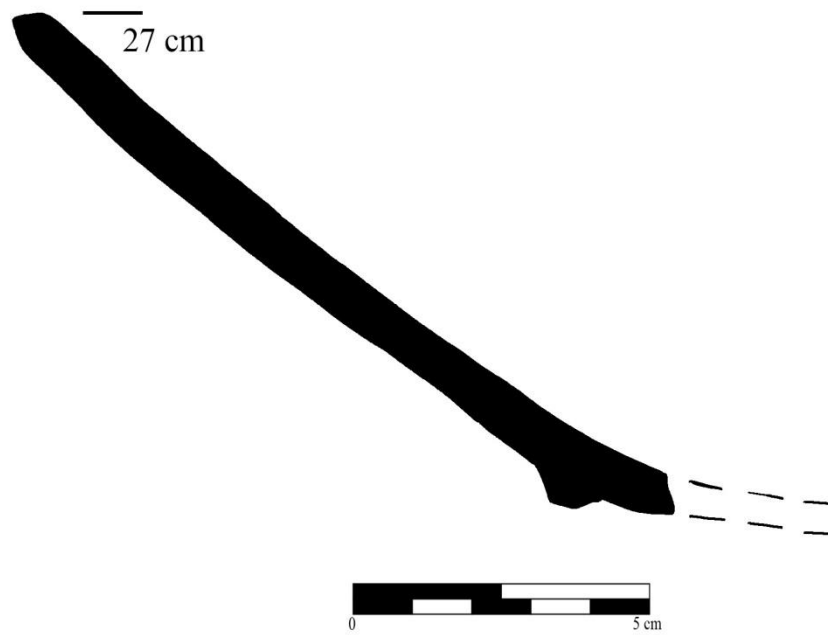


Figura 10.27 Perfil de la Vasija CR-V086
 (Dibujo por C. Parris)

CR-V087

Procedencia: CR-54-7-6-9

Contexto: Entierro 27, frente a estela lisa, Vasija 2

Referencias: Ver capítulo 5 de este informe

Vasijas Asociadas: Vasija 1 del Entierro 26 (CR-V086)

Descripción: CR-V087 es un cilindro con pared ligeramente divergente, borde recto, labio afinado, y base ligeramente curva. Las paredes presentan en su exterior engobe naranja sobre crema y en un interior engobe de color negro café oscuro.

Comparaciones:

Grupo: Azote

Tipo: Azote Naranja

Variedad: Indeterminada

Fecha Cerámica: Clásico Tardío

Fotografía: Figura 10.28

Perfil: Figura 10.29

Dimensiones:

<u>Diámetro al borde (cm):</u>	14 cm
<u>% circunferencia:</u>	100%
<u>Diámetro de la base (cm):</u>	9 cm
<u>% circunferencia:</u>	100%
<u>Altura (cm):</u>	12 cm
<u>Grosor del borde (mm):</u>	3.6 mm
<u>Grosor de la pared (mm):</u>	3.8 mm
<u>Grosor de la base (mm):</u>	4.5 mm

Número de fragmentos: 50

Arqueólogo: Marissa López

Año de Excavación: 2018



Figura 10.28 Fotografía de la Vasija CR-V087
(Fotografía por C. Parris)

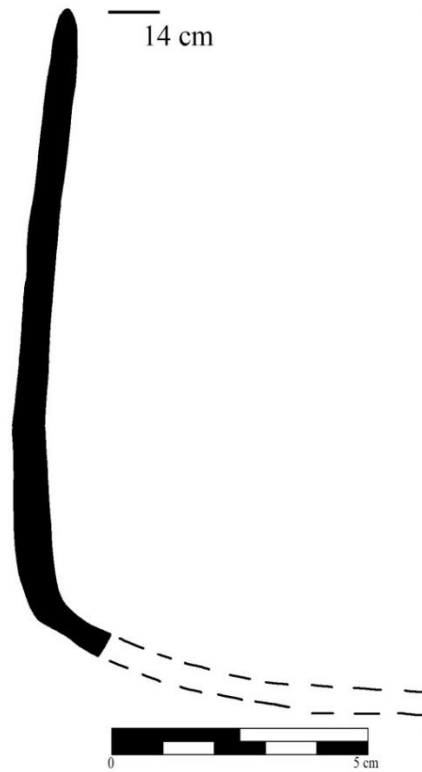


Figura 10.29 Perfil de la Vasija CR-V087
(Dibujo por C. Parris)

CR-V088

Procedencia: CR-55A4-2-3

Contexto: Incensario sobre piso 1 de Estructura 12P-29

Referencias: Ver capítulo 5 de este informe

Vasijas Asociadas: ninguna

Descripción: CR-V088 es un cilindro con pared ligeramente divergente y base plana. La vasija no presenta engobe. Una cara parcialmente modelada y aplicada se encuentra presente en un lado de la pared externa. La cara contiene dos ojos, una nariz y una boca. Existe evidencia de que la vasija tuvo asas verticales en sus laterales.

Comparaciones:

Grupo: Cambio

Tipo: Pedregal Modelado

Variedad: Indeterminada

Fecha Cerámica: Clásico Tardío

Fotografía: Figura 10.30

Perfil: Figura 10.31

Dimensiones:

<u>Diámetro al borde (cm):</u>	17 cm
<u>% circunferencia:</u>	44%
<u>Diámetro de la base (cm):</u>	15 cm
<u>% circunferencia:</u>	100%
<u>Altura (cm):</u>	13 cm
<u>Grosor del borde (mm):</u>	6.3 mm
<u>Grosor de la pared (mm):</u>	8.2 mm
<u>Grosor de la base (mm):</u>	10.1mm

Número de fragmentos: 9

Arqueólogo: Marissa López

Año de Excavación: 2018



Figura 10.30 Fotografía de la CR-V088
(Fotografía por C. Parris)

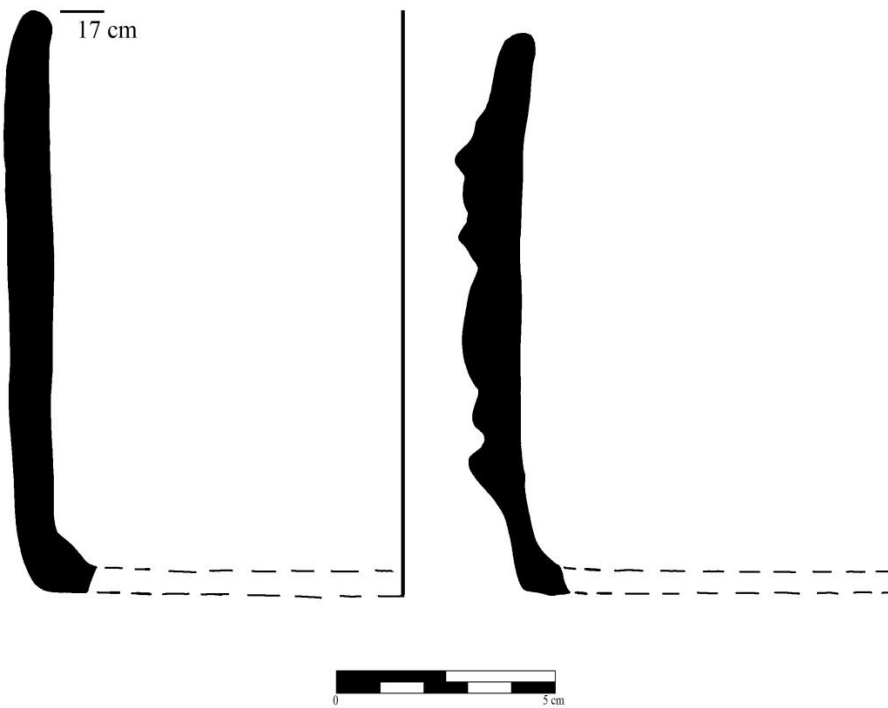


Figura 10.31 Perfil de la Vasija CR-V088
(Dibujo por C. Parris)

CR-V089

Procedencia: CR-52A-11-3-3 y CR52-A-11-4-4

Contexto: Vasija frente al Marcaron de Estuco

Referencias: López Mosel 2018:177-178

Vasijas Asociadas: CR-V81 y CR-V82

Descripción: CR-V089 es un cuenco pequeño con paredes recto-divergentes y base plana. Su borde es directo y el labio finado. Presenta nubarrones de cocción y ahumado interior. En su exterior presenta un baño de color rojo ligeramente erosionado y superficie alisada. Esta vasija posiblemente fue utilizada como tapadera de la Vasija CR-V81, ya que el lote de excavación se encuentra directamente sobre el contexto de este incensario. Se identificó durante el proceso de análisis cerámico.

Comparaciones:

Grupo: Cambio

Tipo: Cambio sin Engobe

Variedad: Baño Rojo

Fecha Cerámica: Clásico Tardío

Fotografía: Figura 10.32

Perfil: Figura 10.33

Dimensiones:

<u>Diámetro al borde (cm):</u>	15 cm
<u>% circunferencia:</u>	89%
<u>Diámetro de la base (cm):</u>	8 cm
<u>% circunferencia:</u>	80%
<u>Altura (cm):</u>	6.4 cm
<u>Grosor del borde (mm):</u>	6 mm
<u>Grosor de la pared (mm):</u>	8 mm
<u>Grosor de la base (mm):</u>	12 mm

Número de fragmentos: 14

Arqueólogo: Marissa López

Año de Excavación: 2017



Figura 10.32 Fotografía de la CR-V089
(Fotografía por F. Saravia)

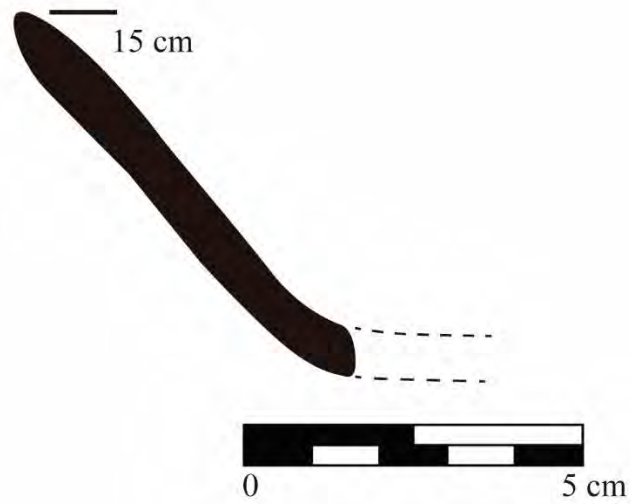


Figura 10.33 Perfil de la Vasija CR-V089
(Dibujo por F. Saravia)

CAPÍTULO XI

ANÁLISIS CERÁMICO PROVENIENTE DEL CUARTO 13Q-4P1: TABLETAS Y VASIJAS

Maxime Lamoureux-St-Hilaire

Introducción

Este capítulo presenta los resultados del análisis morfológico y tecnológico del conjunto cerámico que se encontró en el Cuarto 1 de la Estructura 13Q-4P, ubicado en el Grupo Suroeste del Palacio Real de La Corona. Los artefactos reportados en este capítulo y analizados por el autor fueron excavados por Eduardo Bustamante durante la Temporada de Campo 2016 (Bustamante 2017). Este material se encontró como parte de un agrupamiento ritual de terminación reverencial que cerró/culminó el edificio administrativo 13Q-4P alrededor de 750 d.C. (Canuto et al. 2017; Lamoureux-St-Hilaire et al. I.p.) Lo más significativo es que este análisis identificó 15 tabletas cerámicas y 3 vasijas parciales.

Contexto de los artefactos y las vasijas

Las 15 tabletas cerámicas (Figura 11.3) se recuperaron de tres lotes distintos. Las tabletas 1 a 6, registradas por primera vez por el supervisor de excavación (en mayo de 2015; Bustamante 2017:93), se encontraron como parte del Lote CR20E-14-3, que corresponde al material encontrado en la superficie de la banca. Sin embargo, se identificaron varias tabletas más durante el análisis de 2018. La Tableta 7 se identificó dentro del Lote CR20E-14-2, correspondiente al material de derrumbe del cuarto. Finalmente, las tabletas 8 a 15 se encontraron como parte del Lote CR20E-14-4, correspondiente al material ubicado en el piso del cuarto, cerca de la banca.

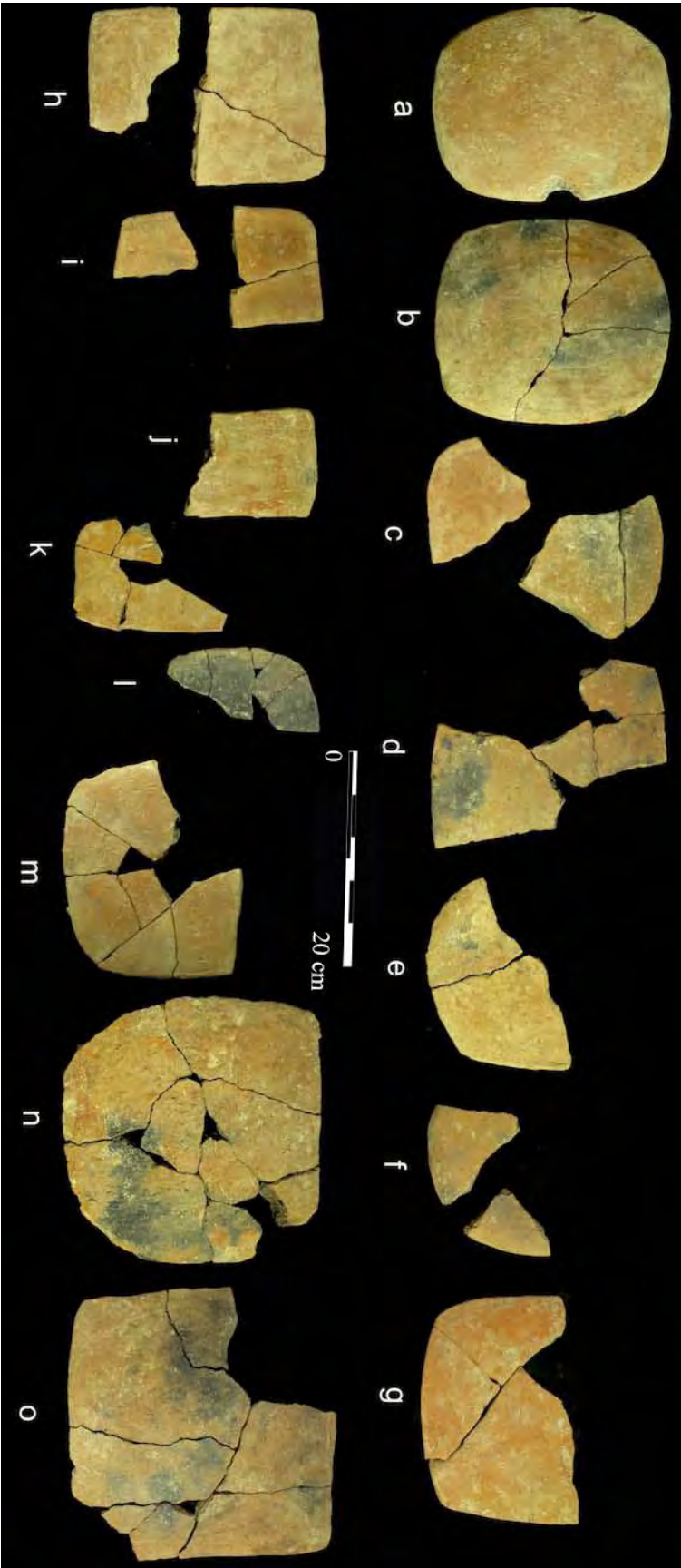


Figura 11.1 Conjunto de tabletas. Las tabletas están organizadas por forma. Correspondencia entre letras y T = número de tableta: a = 1; b = 2; c = 6; d = 8; e = 7; f = 15; g = 11; h = 4; i = 12; j = 5; k = 14; l = 13; m = 3; n = 9; o = 10.



Figura 11.2 Fotografía y perfil de la Vasija 1 (Fotografía y Dibujo por M. Lamoureux-St-Hilaire)

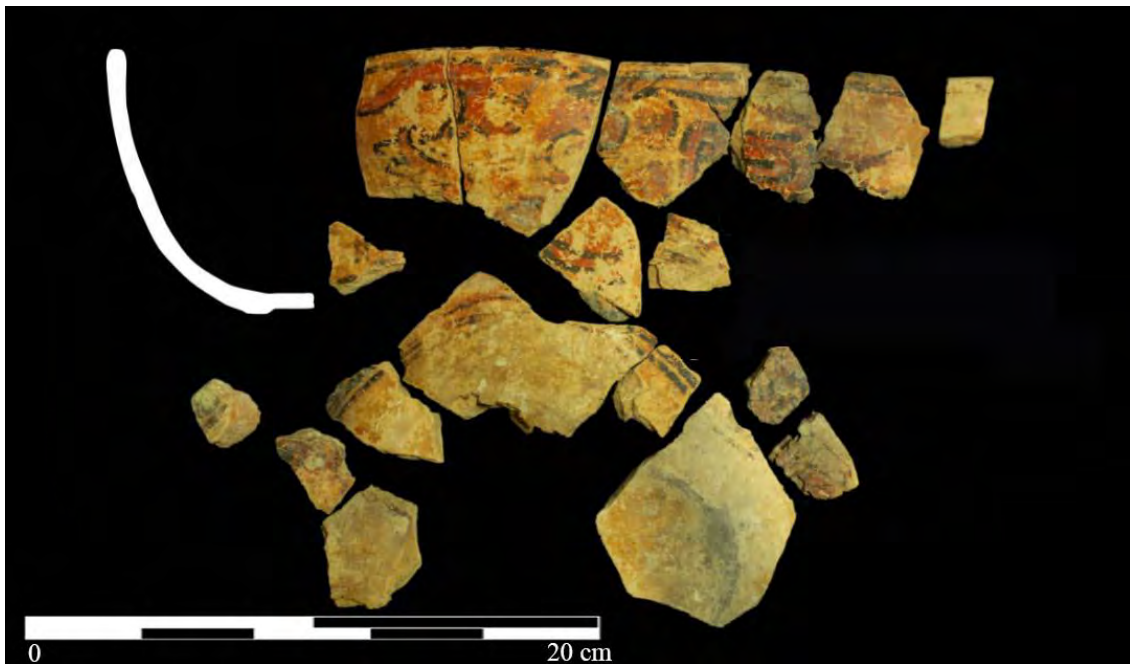


Figura 11.3 Fotografía y perfil de la Vasija 2 (Fotografía y Dibujo por M. Lamoureux-St-Hilaire)

Además de las tabletas, se identificaron tres vasijas parciales provenientes del Lote CR20E-14-4. La Vasija 1 consiste en un cuenco Nanzal Rojo pequeño casi completo (0.19 m de diámetro) con paredes convergentes y borde evertido (Figura 11.2). La Vasija 2 se puede reconstruir aproximadamente en un 50% y consiste en un cuenco policromo Saxche-Palmar pequeño (0.19 m de diámetro) con paredes redondeadas (Figura 11.3). Este cuenco policromo cuenta con una curiosa, pero mal conservada iconografía. Finalmente, la Vasija 3

consiste en pequeño cántaro Chinos Negro Sobre Crema parcial (ca. 15% reconstruible; 0.14 m de diámetro) con paredes restringidas y borde evertido, junto con una tapadera parcial (Figura 11.4). Los tipos de estas tres vasijas son cronológicamente congruentes con la fecha de 750 d.C. para el ritual de terminación. Más allá del material cerámico, también se encontró un adorno de concha fragmentado en la superficie de la banca (Bustamante 2017: 93).



Figura 11.4. Fotografía y perfil de la Vasija 3 (Fotografía y Dibujo por M. Lamoureux-St-Hilaire)

Curiosamente, a pesar de que hubo varios fragmentos de tabletas que encajaban entre ellos dentro de cada lote específico, no hubo ningún encaje entre lotes distintos, lo que sugiere que los contextos originales estaban bastante bien conservados. Dado que no encajaron los fragmentos de tabletas entre lotes, parece que se colocaron seis tabletas en la banca, mientras que ocho se colocaron en el piso frente a ella. La ubicación original de la Tableta 7 no queda clara, aunque probablemente se sentó originalmente en la banca antes de que fuera desplazada durante el derrumbe y se incorporara al estrato de derrumbe, lo que aumenta el número de "tabletas de banca" a siete.

Tableta/ Atributo	Forma	Dimensiones (cm)	Área (cm ²)	Grosor (cm)	Borde	Superficie: textura(color)	Pasta
1	Ovalada	21 x 17.5	ca. 288	1.45	Redondeado	1(rojo)-1(rojo c/nubes de quema)	2
2	Ovalada	21.5 x 18	ca. 303	1.6	Redondeado burdo	1(rojo)-2(rojo c/nubes de quema)	3
3	Forma en D	18.5 x 15.5	ca. 225	1.3	Redondeado burdo	1(rojo)-2(café claro)	2
4	Cuadrangular	(¿22?) x 17	ca. 242	1.7	Cuadrado/ Aplanado	1(café rojizo)- 1(rojo c/nubes de quema)	3
5	Cuadrangular	>11(¿18?) x 9	ca. 162	2.8	Cuadrado/ Aplanado	2(café rojizo)- 2(café rojizo)	3
6	Ovalada	(¿21?) x (¿18?)	ca. 297	1.5	Redondeado burdo	1(rojo c/ nubes de quema)-2(café rojizo c/ nubes de quema)	2
7	Ovalada	>11(¿21?) x 18.5	ca. 305	1.7	Burdo	1(café rojizo c/ nubes de quema)-2(café rojizo c/ nubes de quema)	2
8	Ovalada	21 x >15(¿20?)	ca. 330	1.2	Redondeado	1(rojo)-1(café rojizo c/ nubes de quema)	3
9	Forma en D	23.5 x 22.5	ca. 385	1.8	Burdo	3(café rojizo c/ nubes de quema)-3(café rojizo c/ nubes de quema)	4
10	Cuadrangular	24 x 24	ca. 576	1.5	Redondeado burdo	2(café rojizo c/ nubes de quema)-3(café rojizo c/ nubes de quema)	3
11	Cuadrangular	20.5x > 13(¿24?)	ca. 492	1.8	Cuadrado/ Aplanado	1(rojo)-1(rojo)	2
12	Cuadrangular	14.5(?) x 16(?)	ca. 232	1.2	Cuadrado/ Aplanado	1(café rojizo)- 1(café rojizo)	1

13	Ovular	>13.5(¿16?) x>8.5(12)	ca. 151	0.7	Redondeado	2(gris)-2(gris)	3
14	Cuadrangular	>13.5(¿15?) x>10(¿12?)	ca. 174	1	Redondeado burdo	2(café rojizo)- 2(café rojizo)-	2
15	Ovular	(¿21?) x (¿18?)	ca. 297	1.5	Acanalado	1(rojo c/ nubes de quema)-1(café rojizo)	3

Tabla 11.1 Resultados del análisis tecnológico de las 15 tabletas. Clave: Superficie: 1: alisado, 2: medio, 3: burdo. Pasta: 1: fina, 2: media, 3: burdo, 4: muy burdo

Resultados del análisis de tabletas

Las tabletas fueron reconstruidas, analizadas y fotografiadas por el autor. El análisis cerámico básico se centró en los aspectos tecnológicos de las tabletas: su forma, dimensiones, grosor, forma del borde, color de la superficie y composición de la pasta (resultado en la Tabla 11.1).

Forma

Hubo tres categorías generales de formas: ovalada, cuadrangular y en forma de D. La forma más común fue ovalada (n = 7; 47%), seguida de la forma cuadrangular (n = 6; 40%), con la forma de D como la forma menos frecuente (n = 2; 13%). Los bordes de las tabletas ovaladas eran predominantemente (5/7; 71%) redondeados o aproximadamente redondos; uno de ellos áspero y otro acanalado. Los bordes de las tabletas cuadrangulares eran predominantemente cuadrados o aplanados (4/6; 67%), no obstante, dos de ellos eran algo redondeados. Finalmente, los bordes de las tabletas en forma de D fueron redondeados y ásperos respectivamente.

Tamaño

El análisis reveló una considerable variabilidad de tamaño dentro del conjunto de tabletas. Para facilitar el análisis, las tabletas se pueden dividir en tres categorías amplias según el tamaño. Las tabletas pequeñas (n = 3; 20%) corresponden a las tabletas 5, 13 y 14, y varían desde 151-162 cm². Las tabletas de tamaño mediano (n = 9; 60%) corresponden a

las tabletas 1, 2, 3, 4, 6, 7, 8, 12 y 15, y varían de 225 a 330 cm². Las tabletas grandes (n = 3; 20%) corresponden a las tabletas 9, 10 y 11, y varían desde 385-576 cm².

El grosor de las tabletas varió considerablemente (Figura 11.5), la mayoría de las tabletas (n = 12; 87%) se encontraron un rango de 1.2 a 1.8 cm. Únicamente las tres tabletas pequeñas se alejaron significativamente de esta norma. Dos de éstas, Tableta 13 (0.7 cm) y Tableta 14 (1.0 cm), eran considerablemente más delgadas, mientras que la Tableta 5 (2.8 cm) era mucho más gruesa que cualquier otra; característica que le da un aspecto de ladrillo.

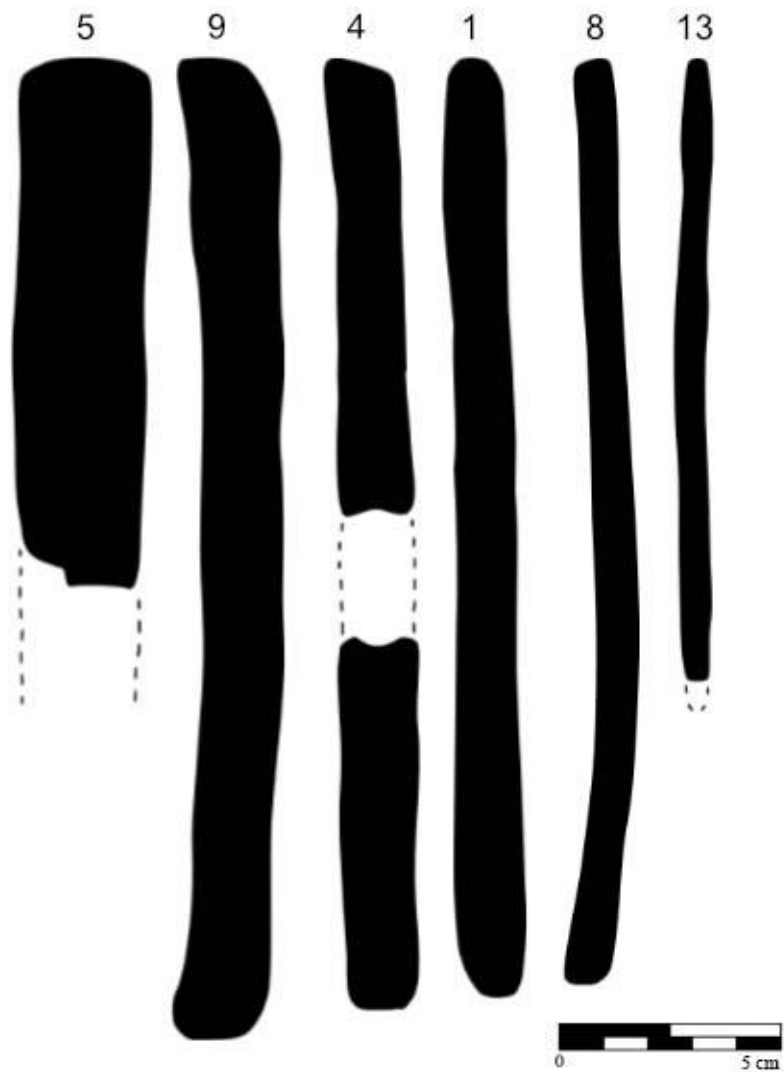


Figura 11.5 Comparación de diferentes perfiles de tabletas (Dibujo por M. Lamoureux-St-Hilaire)

Superficies y pastas

Todas las tabletas no contaban con engobe. La mayoría de las tabletas ($n = 10$; 67%) tenían al menos una de sus superficies lisas, todas eran de color rojo o café rojizo, varias de las cuales contaban con nubes de quema. Cuatro tabletas tenían una de sus caras de textura media como la superficie más lisa, tres de las cuales eran de color café rojizo con nubes de quema. La Tableta 1 contaba con una superficie color gris, haciéndola única. Finalmente, las superficies de la Tableta 9 eran burdas, ambas de color café rojizo con nubes de quema.

La gran mayoría de las tabletas ($n = 13$; 87%) era de pasta mediana a gruesa con inclusiones de calcita pequeña a mediana. La Tableta 9 contenía una pasta muy gruesa, con grandes inclusiones de calcita y pirita, mientras que la Tableta 11 tenía una pasta fina, comparable a la pasta del cuenco Nanzal Rojo. Todas las pastas variaban de rojo a café rojizo en color, sin embargo, la pasta de la Tableta 13 era gris. Todas contaban, hasta cierto punto, con un núcleo negro.

Tipos de tabletas

Los tipos de tabletas se atribuyeron en función de la forma y el tamaño. El tipo de tableta predominante fue la tableta ovalada de tamaño mediano ($n = 6$; 40%): tabletas 1, 2, 6, 7, 8 y 15 (Figura 11.2, a-f). Seguido de ello, tres tipos de tabletas ocurrieron dos veces (13%): (1) tabletas cuadrangulares de tamaño mediano: tabletas 4 y 12 (Figura 11.2, h e I); (2) tabletas cuadrangulares de tamaño grande: tabletas 10 y 11 (Figura 11.2, g y o); y (3) tabletas cuadrangulares pequeñas: tabletas 5 y 14 (Figura 11.2, j y k). Finalmente, tres tabletas únicamente tenían un ejemplo (7%): ovalada pequeña (Tableta 13; Figura 11.2, l); De tamaño mediano en forma de D (Tableta 3; Figura 11.2, m); y en forma de D de tamaño grande (Tableta 9; Figura 11.2, n).

Resumen

Se identificaron siete tipos de tabletas. En general, 11 de las 15 tabletas fueron bastante comparables en términos tecnológicos, mientras que cuatro tabletas se destacaron. La Tableta 5 fue la más inusual; pequeña en tamaño y gruesa con forma de ladrillo. La Tableta

11 de tamaño grande consistía de una pasta particularmente fina. Finalmente, la Tableta 13 constaba de una pasta grisácea que le daba una superficie más oscura y la Tableta 9 era extrañamente burda tanto de la pasta como de la superficie.

Entre las tabletas inusuales, únicamente la Tableta 5 se identificó *in situ* sobre la banca, mientras que las otras tabletas provenientes de la banca (6/7) fueron de tamaño mediano (cuando se incluyó la Tableta 7). Es posible que estas tabletas de tamaño medio ovaladas, rectangulares y en forma de D representen la norma para las tabletas de escribas mayas del Clásico. Por otro lado, el grupo de tabletas que se encontró en el piso presentó una mayor variabilidad tanto en la forma como en el tamaño, desde la delgada y pequeña tableta gris (Tableta 13) hasta la tableta grande y burda, en forma de D (Tableta 9).

Conclusiones

El hallazgo de este agrupamiento de tabletas y vasijas por Bustamante durante la Temporada de Campo 2016, en un contexto tan bien conservado, fue afortunado. Si las tabletas se hubieran fragmentado y erosionado aún más, podrían haberse identificado erróneamente como tiosos atípicamente planos, quizás pertenecientes a alguna base de vasija o como comales. Hasta donde se tiene conocimiento, las tabletas de cerámica nunca han sido reportadas previamente en el registro arqueológico maya. Dicho esto, Freidel, Masson y Rich (2016: 37-39) sugirieron recientemente que los elementos rectangulares de registros iconográficos - principalmente vasijas y figurillas policromas- a menudo se han identificado erróneamente como escudos o espejos (véase también McAnany 2010:284), pero que corresponden más bien a lo que ellos llaman "*paletas para escribir*". Se ha sugerido que estas tabletas probablemente fueron hechas de pizarra, y según Michael Coe, recubiertas con cera (Freidel et al. 2016: 37-39). Estas tabletas de escritura habrían formado parte del kit de herramientas de escribas mayas del Clásico; los antiguos escribas mayas habrían escrito en su superficie de cera con una aguja o estilo (*Ibid.*). Una distinción importante entre el conjunto de La Corona y el argumento de Freidel y sus colegas es el material del que se encontraban hechas las tabletas, pues éstas no eran de pizarra, sino de cerámica.

Además de su morfología, el contexto de estas tabletas refuerza la idea de que fueron utilizadas por los escribas. Primero, las tabletas se encontraron en asociación con otros artefactos relacionados con el trabajo de los escribas, que en este caso fueron nueve

monumentos de piedra caliza fina no tallados encontrados en el piso de la misma habitación (ver Bustamante 2017; Lamoureux-St-Hilaire et al. I.p.). Adicional a ello, la banca con la que se asociaron estas tabletas originalmente tenía un respaldo, una característica asociada con las funciones administrativas en el palacio real de La Corona (Lamoureux-St-Hilaire 2018). Se espera que futuros análisis interdisciplinarios puedan identificar los residuos de la superficie de dichas tabletas. Los resultados positivos de este tipo de análisis, especialmente la identificación de residuos de cera, podrían proporcionar evidencia adicional para afirmar que representan una forma de tecnología de escritura propia del Clásico Maya.

Las tabletas de cerámica del Cuarto 1 de la Estructura 13Q-4P pueden representar el primer ejemplo arqueológico de este tipo de tecnología referente a la escritura del Clásico Maya. Es interesante ver el rango de tamaño y forma entre las tabletas, ya que no todas eran rectangulares. La variedad en el conjunto trae consigo preguntas interesantes. Si se tratara de tablas de escritura, ¿por qué tanta variedad morfológica? ¿Los escribas moldearon diferentes formas para registrar distintas actividades? ¿Cada escriba tenía preferencia por alguna forma específica? ¿Fueron algunas tabletas diseñadas para ser más portátiles? ¿O simplemente la forma no tenía relevancia específica?

Para concluir, los resultados de este análisis cerámico son reveladores. Se identificaron tres vasijas parciales (y una tapadera) correspondientes a tipos cerámicos congruentes con la fecha aproximada de 750 d.C., la cual ya había sido estipulada para la terminación del Cuarto 1 de la Estructura 13Q-4P (Barrientos *et al* 2018). Más importante aún es que se cuantificaron nueve tabletas de cerámica no identificadas con anterioridad. Éstas, junto con las otras seis tabletas, fueron fotografiadas y analizadas exhaustivamente, indicando que el conjunto de 15 tabletas estaba compuesto por siete tipos distintos, que pueden representar una sección transversal de un tipo de artefacto maya no identificado previamente.

LA CERÁMICA DE LA CARIBA: UN ANÁLISIS PRELIMINAR

David Chatelain

Introducción

Este capítulo presenta información preliminar sobre la cerámica de La Cariba, un centro menor cerca del sitio arqueológico La Corona. El autor actualmente se encuentra realizando un análisis a gran escala de los artefactos cerámicos recuperados durante cuatro temporadas de excavación (Chatelain 2015, 2018b; Chatelain y González 2016, 2017). La mayoría de la cerámica ha sido y está siendo analizada a través del análisis Tipo-Variedad, mientras que una muestra específica de cerámica proveniente de siete basureros del centro del sitio y de los asentamientos periféricos, están siendo analizados con mayor detalle utilizando un análisis Tipo-Variedad Modal. Basado en los resultados preliminares de este análisis, se presenta una secuencia cerámica general, la cual está relacionada con la secuencia de la cerámica de La Corona creada por Caroline A. Parris (2016). Sin embargo, los períodos Preclásico Tardío, Preclásico Terminal y la faceta temprana del Clásico Temprano están mucho mejor representados en La Cariba que en La Corona. Si bien este capítulo no proporciona una síntesis de la secuencia cerámica de estos dos sitios, los datos de La Cariba sugieren cómo puede refinarse nuestra comprensión de la cronología cerámica a nivel regional.

La Cariba se localiza a 4.2 km sureste de La Corona, al borde del Río Chocop (Figura 12.1). El asentamiento alrededor de La Cariba es extremadamente escaso. Únicamente 9 grupos residenciales se identifican en un área de 4 km² alrededor del epicentro del sitio (Figura 12.2). Dos grupos residenciales proximales están situados al sur, tres al este y cuatro grupos sin excavar se encuentran a casi 1 km al norte. Inmediatamente del otro lado del río se encuentra el área casi vacante de la Laguna del Tigre. Las secuencias de construcción arquitectónica, el análisis energético, los datos osteológicos, los datos epigráficos y el análisis preliminar cerámico han proporcionado una enriquecedora visión del desarrollo de La Cariba desde el período Preclásico Tardío hasta el Clásico Tardío (Chatelain 2018a).

En el Preclásico Tardío (300 a.C. –250 d.C.), el sitio era un centro ceremonial de una comunidad dispersa y los esfuerzos de construcción monumental en el núcleo del sitio

contribuyeron a la formación e integración de comunidades tempranas de la región. La población parece haber incrementado durante la primera parte del Clásico Temprano (250 – 400 d.C.) y una etapa constructiva significativa ocurrió en La Cariba durante este momento. Existe poca evidencia de actividad dentro y alrededor de La Cariba durante la segunda mitad del Clásico Temprano (400-600 d.C.) y la primera mitad del Clásico Tardío (600-700 d.C.), a excepción de la notable expansión de la Estructura 20M-5 en el núcleo del sitio y la colocación de un entierro y tumba dentro de dicha estructura alrededor de 600 d.C. Durante la segunda mitad del Clásico Tardío (700-830 d.C., correspondiente a la Esfera Tepeu 2), el núcleo del sitio La Cariba fue renovado en su totalidad con relativamente poco volumen o esfuerzo. Esta etapa final de construcción probablemente fue comisionada por *Yajawte' K'inich*, el *sak wahyis* de La Corona durante mediados Siglo VIII, quien aparece registrado y mencionado en el Altar 1 realizando una ceremonia de terminación. El sitio y su asentamiento parecen haber sido abandonados en gran medida para el Clásico Terminal (830-900 d.C.).

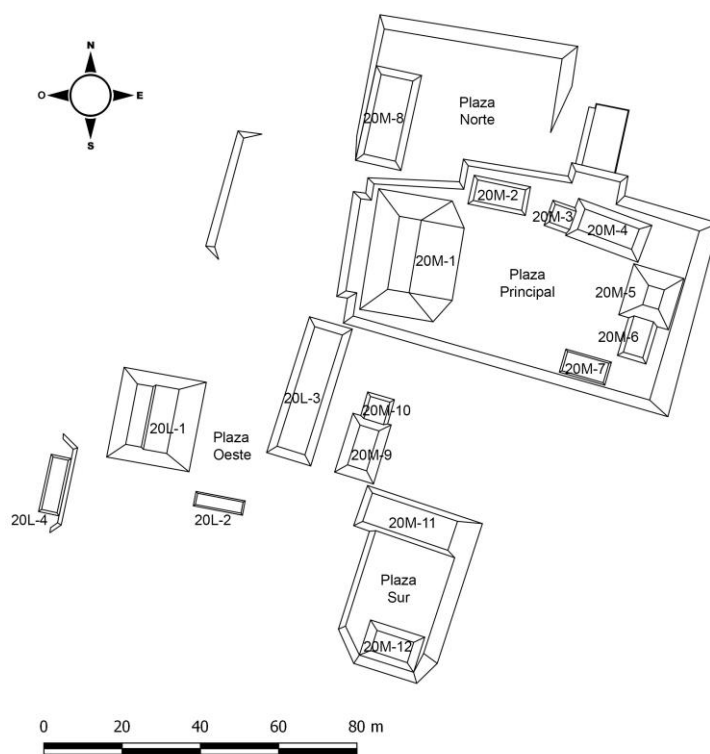


Figura 12.1 Mapa de La Cariba (Mapa por D. Chatelain)

Muestras y Contextos

La mayoría de la cerámica de La Cariba y sus asentamientos provienen de contextos mixtos, incluyendo rellenos de plaza y de arquitectura, derrumbes, contextos de superficie y contextos de saqueo. La gran mayoría de esta cerámica ha sido analizada a través del análisis Tipo-Variedad. Cualquier otro tipo de análisis más detallado de estos contextos no hubiera producido resultados muy significativos. En este reporte no se incluyen 498 tiestos provenientes de relleno constructivo y contextos de saqueos previamente analizados, ya que los métodos de registro cambiaron en el año subsiguiente. También se ha analizado una muestra pequeña de cerámica proveniente de escondites utilizando tanto el análisis Tipo-Variedad como el análisis Tipo-Variedad Modal, y se han descrito las vasijas completas y parciales provenientes de estos mismos contextos (Parris 2016). La cerámica restante se ha recuperado de los depósitos de basureros identificados, dos excavados en el núcleo del sitio (Chatelain 2018b: 246-249; Chatelain and González 2017: 178-180) y cinco en los grupos residenciales de la periferia del sitio (Chatelain 2018b). Esta cerámica está siendo analizada actualmente utilizando la metodología Tipo-Variedad Modal (Forné 2006; Gifford 1976; Sabloff 1975; Sabloff and Smith 1969).

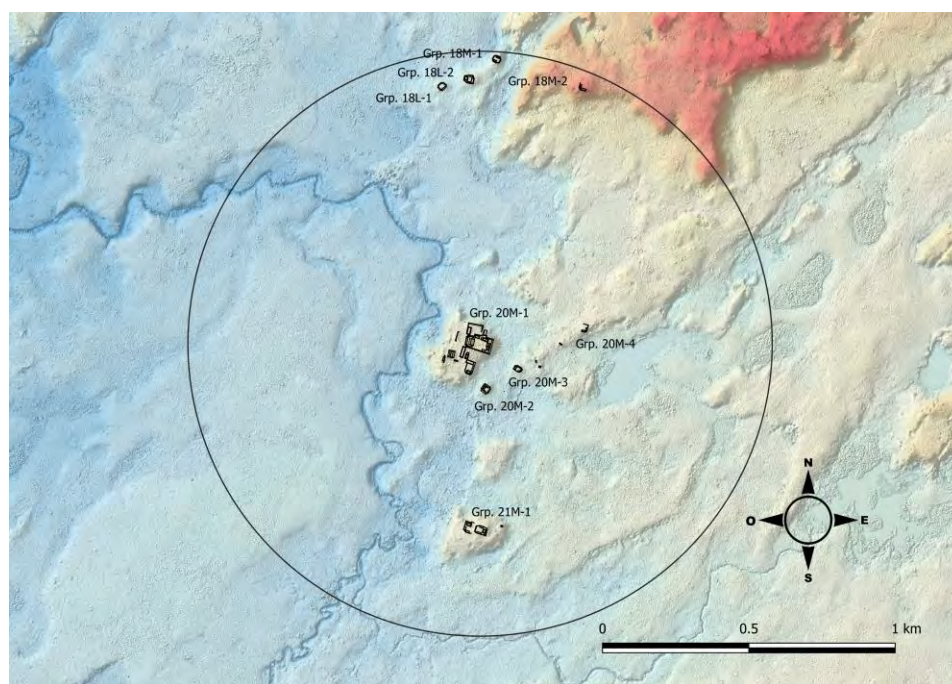


Figura 12.2 Asentamiento dentro de un radio de 1 km de La Cariba
(Mapa por D. Chatelain)

Metodología

El análisis Tipo-Variedad siguió los métodos y la terminología definidos por Gifford (1960), Smith *et al.* (1960) y Willey *et al.* (1967). Este es un sistema de clasificación jerárquica basado principalmente en las características del tratamiento de superficie y decoración. Es ampliamente utilizado en el mundo maya, aunque ha sido objeto de mucho debate (Aimers 2013). Las principales ventajas de este método de clasificación a "nivel superficial" son su velocidad, eficiencia y comparabilidad entre diferentes sitios y contextos (Rice 2013). La cerámica de La Cariba se clasificó según grupo, tipo, variedad y clase según descripciones comparativas de Altar de Sacrificios (Adams 1971), Barton Ramie (Gifford 1976), Becan (Ball 1977), Calakmul (Carrasco 1994), Cuello (Kosakowsky 1987), El Mirador (Forsyth 1989), la región de Holmul (Callaghan y Neivens de Estrada 2016), La Joyanca (Forné 2006), Petexbatun (Foias y Bishop 2013), Seibal (Sabloff 1975), Tikal (Culbert 1993) y Uaxactun (Smith 1955; Smith y Gifford 1966).

El análisis Tipo-Variedad Modal sigue el método y la terminología del sistema Tipo-Variedad (Forné 2006; Gifford 1976; Sabloff 1975), combinando clasificación taxonómica (tipo-variedad) y clasificación analítica (modal). Esencialmente, el sistema de clasificación tipo-variedad se combina con una descripción detallada de atributos variados (forma, métrico, estilístico y/o tecnológico) para tiestos individuales. La clasificación modal es ventajosa por su detalle y su capacidad para responder otras preguntas además del de tipo-variedad. Su principal desventaja es el tiempo requerido, por lo que generalmente se necesita algún procedimiento de muestreo para limitar el tamaño total de la muestra.

En la clasificación de Tipo-Variedad Modal, los fragmentos cerámicos se clasificaron según el análisis Tipo-Variedad descrito anteriormente, pero también se registraron 65 atributos para cada fragmento (cuando fuese apropiado), relacionados con la forma, las métricas, el acabado de superficie, la decoración, la pasta, las inclusiones y cocción. Todos los atributos (cuando correspondían) se registraron para los bordes así como también para los cuerpos. Los tiestos erosionados que no pudieron identificarse se analizaron solo por atributos de forma y métricos. La Tabla 12.1 enumera los atributos registrados:

Forma	Métricos
Parte de la Vasija	Masa (g)
Forma de la Vasija	Diámetro del borde (cm; exterior e interior)
Cuello de Vasija	Diámetro de apertura (cm)
Forma del borde	Porcentaje de circunferencia
Forma del labio	Grosor del borde (mm)
Forma de la base	Grosor de la pared (mm)
pestañas/ángulos/bandas	Grosor del cuello (mm)
Forma del vertedero	Altura del cuello (mm)
Forma de la asa	Grosor de la base (mm)
Forma del soporte	Grosor del soporte (mm)
Forma de la tapadera	Altura del soporte (mm)
	Grosor del soporte (mm)
Tratamiento de Superficie / Decoración	Pasta, cocción y desgrasante
Grado de erosión (int/ext)	Color de pasta
Presencia de engobe (int/ext)	Textura de pasta
Ubicación de engobe	Friabilidad de pasta
Color de engobe (int/ext)	Ubicación del núcleo
Presencia de pre-engobe (int/ext)	Color del núcleo
Ubicación de pre-engobe	Márgenes del núcleo
Color de pre-engobe (int/ext)	Errores de cocción
Presencia de baño (int/ext)	Densidad de inclusiones
Ubicación de baño	Tipos de inclusión
Color de baño (int/ext)	Presencia/ausencia de partículas ferrosas
Presencia de pintura (int/ext)	Inclusión tipo 1, 2, 3, 4
Ubicación de pintura	Inclusión tamaño 1, 2, 3, 4
Color de pintura (int/ext)	Inclusión forma 1, 2, 3, 4
Tratamiento de superficie (int/ext)	
Decoración de superficie (int/ext)	
Tamaño de estriación	
Patrón de estriación	

Tabla 12.1 Atributos registrados para cada tiesto

Secuencia Cerámica

La ocupación en La Cariba fue entre la primera parte del Preclásico Tardío hasta el final del Clásico Tardío, probablemente antes del inicio del Clásico Terminal. Se ha encontrado una pequeña cantidad de tipos cerámicos del Preclásico Medio mezclados en los rellenos del Preclásico Tardío y se han encontrado depósitos de los períodos Clásico Terminal y Posclásico en contextos específicos. Debido a que el sitio de La Cariba es tan próximo al sitio La Corona y la interacción política y económica se puede demostrar claramente durante el período Clásico, los nombres de los complejos cerámicos establecidos por Caroline Parris (2016) se utilizan en este análisis. Los nuevos datos de La Cariba han sugerido una faceta tardía para el Preclásico Tardío, asociada con una serie de nuevos tipos y cambios tecnológicos/estilísticos, así como una faceta temprana para el Clásico Temprano con tipos nuevos y cambios tecnológicos/estilísticos adicionales. Estas facetas reflejan bastante las facetas tempranas y tardías del "Protoclásico" tal como lo definen Brady *et al.* (1998) y claramente pertenecen a un proceso más gradual de cambio cultural/tecnológico de lo que sugiere la división entre el Complejo *Naah* del Preclásico Tardío y el Complejo *Ochib* del Clásico Temprano.

La secuencia cerámica completa describe cada tipo y variedad por sus principales atributos de identificación: pasta, cocción e inclusión; acabado de superficie y decoración, Las formas y los contextos intrarregionales e interregionales establecidos por Sabloff y Smith (1969) están fuera del alcance de este informe preliminar. En su lugar, se proporciona una tabla de clases (vajillas o wares), grupos, tipos y variedades (con sus respectivas frecuencias y porcentajes) para cada complejo. A continuación se presenta una breve discusión de los principales grupos y/o tipos y sus características generales. Los patrones notables se discuten en donde están presentes y las revisiones a la cronología cerámica regional se aborda en la discusión final. Finalmente, se presenta un resumen de los desarrollos en La Cariba basado en la evidencia cerámica. La secuencia cerámica establecida por Parris (2016: 258) se presenta en la Tabla 12.2 a continuación.

Período Cronológico	Complejo
Preclásico Tardío	<i>Naah</i>
Clásico Temprano	<i>Ochib</i>
Clásico Tardío	<i>Waay</i>
Clásico Tardío Terminal	<i>Paat</i>
Postclásico	<i>Bih</i>

Tabla 12.2 Lista de complejos cerámicos establecidos por Parris (2016)

Preclásico Medio

Se identificó una muestra pequeña (N = 12) de tipos del Preclásico Medio en contextos mixtos en La Cariba (Tabla 12.3); casi todos se identificaron mezclados con tipos cerámicos del Preclásico Tardío en rellenos de construcción de la faceta del Preclásico Tardío. Este material no ha sido analizado mediante el análisis modal y no existe ninguna arquitectura conocida correspondiente al período Preclásico Medio.

Clase	Grupo (% de complejo)	Tipo: Variedad	Frecuencias		Porcentajes	
			Borde	Cuerpo	Grupo	Complejo
Flores Ceroso	Juventud (8.3%)	Desvario Achaflanado: Variedad Indeterminada	1	0	100.0	8.3
	Chunhintá (33.3%)	Centenario Aflautado: Variedad Indeterminada	2	0	50.0	16.7
		Achaflanado Negro Indeterminado	2	0	50.0	16.7
	San Diego (8.3%)	San Diego Punzonado Zonificado: Variedad Indeterminada	1	0	100.0	8.3
Mars Pasta Naranja	Savana (50.0%)	Savana Naranja: Variedad Indeterminada	1	5	100.0	50.0
TOTAL			7	5		

Tabla 12.3 Clases, grupos, tipos, y variedades del Preclásico Medio

Dada la fecha de radiocarbono de 350-105 a.C. en el rango *2-sigma* de la fase del Preclásico Tardío de la Plaza Principal (Chatelain 2018a), no es sorprendente encontrar algunos tipos cerámicos del Preclásico Medio en el relleno de construcción más temprano del sitio. Incluso podrían ser ejemplos tardíos de tipos anteriores que se extendieron a la

primera parte del Preclásico Tardío. En cualquier caso, lo extremadamente pequeño de la muestra de tipos del Preclásico Medio que se encuentra en La Cariba y la falta de ellos en La Corona, no crea una necesidad inmediata para definir un complejo del Preclásico Medio para la región.

Complejo Naah: Preclásico Tardío

El período Preclásico Tardío representa la fase de construcción más grande del epicentro del sitio en términos de volumen (55%) y mano de obra (48%) (Chatelain 2018a), por lo que la distribución del núcleo del sitio se definió esencialmente durante este período. Dada la importancia de la fase del Preclásico Tardío en La Cariba, no es sorprendente que el complejo *Naah* del Preclásico Tardío sea el más representado en el sitio (N = 3920; Tabla 12.4). Los tipos cerámicos del Preclásico Tardío se encuentran en casi todos los contextos en La Cariba, a excepción de basureros posteriores o depósitos primarios. La cerámica del Preclásico Tardío se encuentra principalmente en los rellenos de construcción del Preclásico Tardío y del Clásico Temprano, pero también se encontraron depósitos densos en dos basureros: uno que data del Preclásico Terminal (75 a.C. – 150 d.C.) y el otro que data de la faceta temprana del Clásico Temprano (150 – 420 d.C.). La cerámica del Preclásico Tardío de estos basureros se analizó utilizando el análisis Tipo-Variedad Modal, proporcionando más detalles sobre los atributos de forma, métricos, estilísticos y tecnológicos.

Clase	Grupo (% de complejo)	Tipo: Variedad	Frecuencias		Porcentajes	
			Borde	Cuerpo	Grupo	Complejo
Uaxactún Sin Engobe	Achiotes (41.5%)	Achiotes Sin Engobe: Variedad Achiotes	141	828	59.6	24.7
		Sapote Estriado: Variedad Sapote	2	648	40.0	16.6
		Sapote Estriado: Variedad Impresa Indeterminada	0	1	0.1	0.0
		Sapote Estriado: Variedad Aplicada Indeterminada	0	1	0.1	0.0
		Modelado Indeterminado	0	2	0.1	0.1
		Aplicado Indeterminado	2	0	0.1	0.1
		Modelado-Aplicado Indeterminado	0	2	0.1	0.1
		Paso Caballo Ceroso	Sierra (43.3%)	Sierra Rojo: Variedad Sierra	389	1215
Laguna Verde Inciso: Variedad Indeterminada	4			2	0.3	0.2

	Laguna Verde Inciso: Variedad Incisa-Excisa Indeterminada	0	1	0.1	0.0
	Alta Mira Aflautado: Variedad Indeterminada	10	4	0.8	0.4
	Lagartos Punzonado: Variedad Indeterminada	0	1	0.1	0.0
	Ahchab Ante y Rojo: Variedad Indeterminada	16	40	3.3	1.4
	Correlo Inciso-Bicromo: Variedad Indeterminada	0	1	0.1	0.0
	Hongo Compuesto: Variedad Indeterminada	0	6	0.4	0.2
	Ciego Compuesto: Variedad Indeterminada	0	1	0.1	0.0
	Repasto Negro y Rojo: Variedad Indeterminada	1	2	0.2	0.1
	Society Hall Rojo: Variedad Indeterminada	0	1	0.1	0.0
	Estriado Indeterminado	0	3	0.2	0.1
Polvero (5.1%)	Polvero Negro: Variedad Polvero	36	154	94.5	4.8
	Lechugal Inciso: Variedad Indeterminada	3	0	1.5	0.1
	Aflautado Indeterminado	4	0	2.0	0.1
	Forma de Hongo Indeterminado	0	4	2.0	0.1
Flor (6.1%)	Flor Crema: Variedad Flor	17	163	75.3	4.6
	Acordeón Inciso: Variedad Indeterminada	3	1	1.7	0.1
	Mateo Rojo y Crema: Variedad Indeterminada	13	42	23.0	1.4
Boxcay (0.0%)	Boxcay Café: Variedad Indeterminada	0	2	100.0	0.1
Caramba (0.2%)	Caramba Rojo sobre Rojo/Naranja: Variedad Indeterminada	1	5	100.0	0.2
Zapatista (0.0%)	Pintura Roja Indeterminado	0	2	100.0	0.1
Sacluc (0.3%)	Sacluc Negro sobre Naranja: Variedad Indeterminada	2	8	100.0	0.3
Iberia (3.0%)	Iberia Naranja: Variedad Paso Caribe	21	82	87.3	2.6
	Inciso Indeterminado	1	0	0.8	0.0
	Rojo y Naranja Compuesto Indeterminado	2	10	10.2	0.3
	Negro y Naranja Compuesto Indeterminado	2	0	1.7	0.1
Indeterminado (0.5%)	Rojo-crema-negro Abigarrado Indeterminado	6	12	100.0	0.5
TOTAL		676	3244		

Tabla 12.4 Clases, grupos, tipos, y variedades del Complejo *Naah*

El Complejo *Naah* en La Cariba está claramente alineado con la esfera Chicanel que se encuentra en las Tierras Bajas. La mayoría de la cerámica son tipos con engobe, pertenecientes a la Clase Cerosa Paso Caballo. El grupo más común es el Grupo Sierra definido por un engobe ceroso y grueso que varía en color de rojo oscuro, rojo, rojo-naranja, a rojo café (Figuras 12.3 y 12.4). Áreas de naranja o crema aparecen ocasionalmente, probablemente como resultado de errores en cocción. Los errores de cocción, como nubes de cocción (18%) y el craquelado (24%) ocurren comúnmente en este grupo. Las formas abiertas como platos y cuencos son la forma más común en este grupo, generalmente con paredes divergentes, aunque también se produjeron paredes curvo-divergentes y curvo-convergentes. Los bordes en las formas abiertas tienden a ser rectos, sin embargo, los bordes evertidos también son bastantes frecuentes y con a menudo poseen acanaladura pre-engobe en el labio interior evertido. Pestañas labiales y mediares ocurren raramente en La Cariba, a diferencia de sitios como El Mirador (Forsyth 1989) y Uaxactún (Smith 1955). Cántaros con cuellos curvo-divergentes también ocurren comúnmente en el Grupo Sierra. Los bordes usualmente son rectos con labios redondeados o cuadrados/aplanados. Soportes mamiformes se han encontrado para el Grupo Sierra. Varios tipos del Grupo Sierra se identifican en La Cariba, sin embargo Sierra Rojo es el dominante de este grupo. Los otros tipos ocurren pero a una frecuencia menor. Ahchab Ante y Rojo y Alta Mira Aflautado son los únicos que ocurren con cierta regularidad.



Figura 12.3 Sierra Rojo: Variedad Sierra
(Dibujo por D. Chatelain)

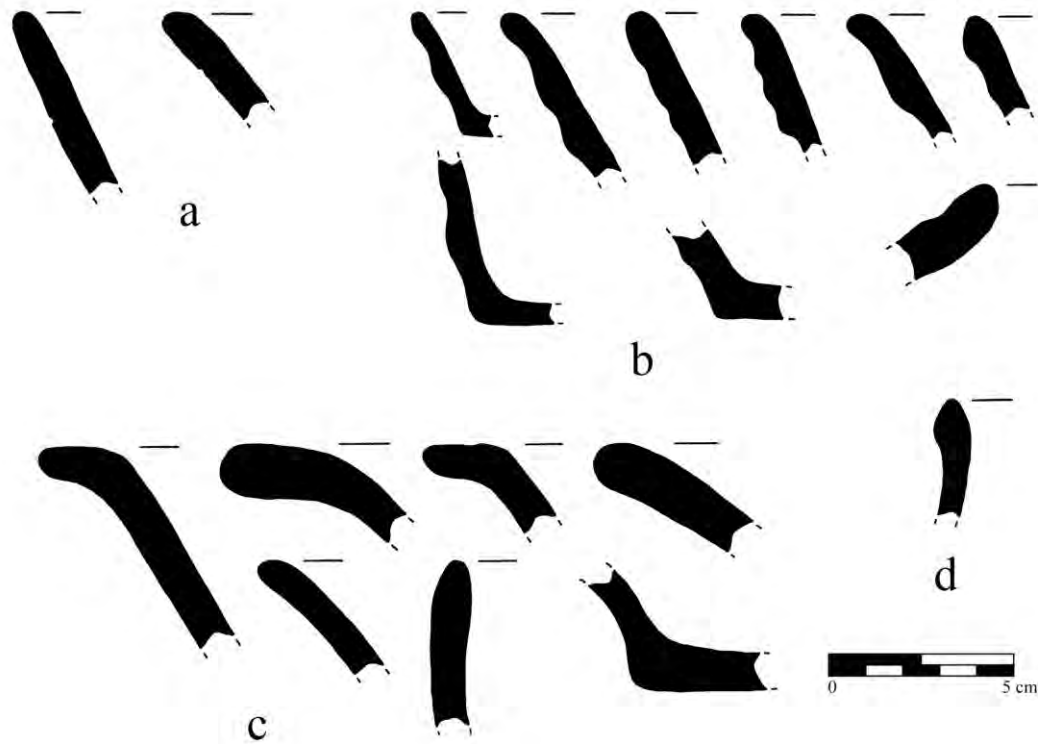


Figura 12.4 Laguna Verde Inciso: Variedad Indeterminada (a); Alta Mira Aflautado: Variedad Indeterminada (b); Ahchab Ante y Rojo: Variedad Indeterminada (c); y Repasto Negro y Rojo: Variedad Indeterminada (d) (Dibujo por D. Chatelain)

El Grupo Flor es el siguiente grupo más común (Figura 12.5), siendo Flor Crema el tipo dominante, aunque Mateo Rojo sobre crema ocurre con bastante regularidad. El grupo se define por engobe ceroso y grueso cuyo color varía a menudo entre crema naranja, crema café y crema grisácea. Las vasijas Flor Crema y Acordeón Inciso incluyen formas de ollas con cuellos curvo-divergentes y formas variadas con bordes rectos y abiertos. Vasijas Mateo Rojo sobre Crema siempre se presentan en formas abiertas, típicamente con engobe rojo ceroso en una de las superficies y engobe crema ceroso en la superficie opuesta. Bordes evertidos son comunes para este tipo.

El Grupo Polvero (Figura 12.5) se identifica por un engobe ceroso color negro que a veces varía entre negro café y negro rojizo. Las formas abiertas con paredes curvo-divergentes y curvo-convergentes son comunes y los cántaros son ligeramente menos comunes. Polvero Negro es el tipo más común para este grupo.

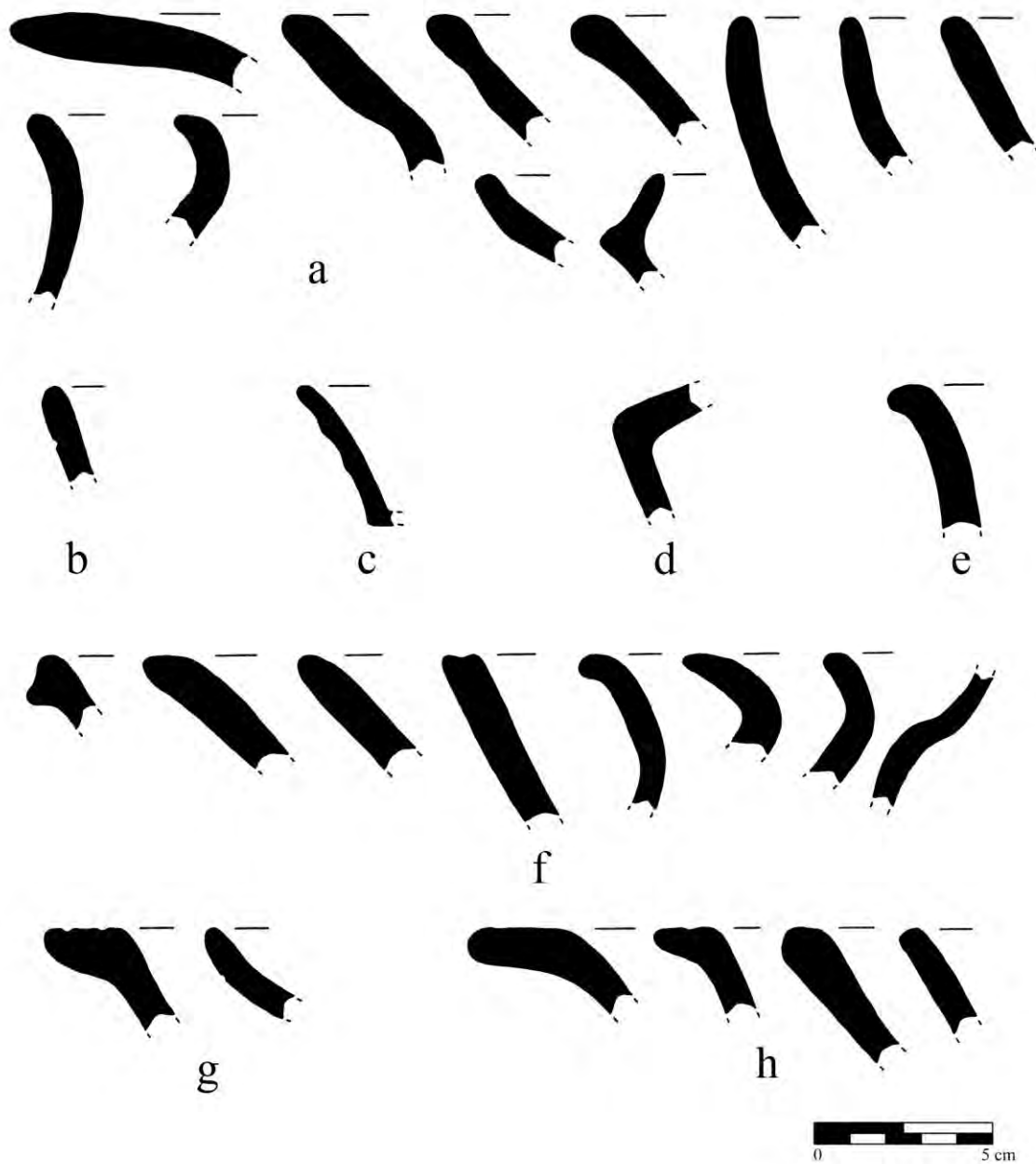


Figura 12.5. Polvero Negro: Variedad Polvero (a); Lechugal Inciso: Variedad Indeterminada (b); Aflautado Indeterminado, grupo Polvero (c); Forma de Hongo Indeterminado, grupo Polvero (d); Rojo-crema-negro Abigarrado Indeterminado, grupo Indeterminado (e); Flor Crema: Variedad Flor (f); Acordeón Inciso: Variedad Indeterminada (g); y Mateo Rojo y Crema: Variedad Indeterminada (h) (Dibujo por D. Chatelain)

El siguiente grupo cerámico más común es el Grupo Iberia (Figura 12.6), el cual es claramente un grupo de la faceta tardía del Preclásico Tardío o Preclásico Terminal. Nunca aparece en la fase arquitectónica inicial del núcleo del sitio, datado para el Preclásico Tardío temprano. Éste está asociado con el segundo episodio más grande de construcción del sitio (Fase *Chan* en el Grupo Principal y la Fase *Sinik* en el Grupo Oeste). También aparece en el relleno de la plaza del Grupo 21M-1 ubicado al sur del núcleo de La Cariba y en los basureros de los grupos 20M-2 y 20M-3 al este. Este grupo se define por un engobe color naranja pálido o cremoso y a menudo se asemeja a un tipo de imitación de decoración resistente como Ahchab Ante y Rojo, tal y como lo indican Foias y Bishop (2013:107). El engobe es ceroso y claramente pertenece a la Clase Paso Caballo Ceroso en el caso de La Cariba, similar al Iberia Naranja: Variedad Paso Caribe establecido por Foias y Bishop (2013:106-108), y no se asemeja al engobe lustroso descrito para Iberia Naranja: Variedad Iberia por Forsyth (1989:53-55). De hecho, el Iberia Naranja: Variedad Iberia descrito por Forsyth, parece asemejarse más a La Compuerta Naranja de Brandy (1989:177-178) que al Iberia Naranja: Variedad Iberia originalmente establecido por Sabloff (1975:90-94). Por estas razones, el tipo variedad designado Iberia Naranja: Paso Caribe es utilizado para los ejemplos de La Cariba. Este tipo incluye en su mayoría cántaros con cuellos curvo-divergentes, formas abiertas con paredes curvo-convergentes y curvo-divergentes. Se han encontrado soportes mamiformes vaciados de Iberia Naranja, los cuales probablemente pertenecen a cuencos o platos. Dos tipos indeterminados establecidos en este estudio incluyen el Tipo Rojo y Naranja Compuesto Indeterminado. Este tipo exhibe el engobe típico del Grupo Iberia en una superficie y un engobe ceroso de color rojo parecido al Sierra en la superficie opuesta. Un Tipo Negro y Naranja Compuesto Indeterminado exhibe el engobe típico del Grupo Iberia en una superficie y manchado de color negro y naranja con un brillo cremoso en la superficie opuesta. El primer tipo incluye formas abiertas, mientras que el último tipo incluye una olla redondeada con cuello corto y vertical.

Otros tipos cerámicos con engobe observados en frecuencias más bajas incluyen Sacluc, Caramba, Zapatista y Boxcay. Los grupos Sacluc y Caramba están particularmente asociados con la parte tardía del Preclásico Tardío o Preclásico Terminal y los contextos de Zapatisitas en La Cariba también son consistentes con esta fase tardía.

La cerámica sin engobe ocurre con bastante frecuencia en La Cariba, y representa el 41.5% del conjunto del Complejo *Naah* de La Cariba. Las formas son abrumadoramente ollas de cuello corto y curvo-divergentes, aunque formas abiertas sí ocurren raramente (Figura 12.7). Las superficies interiores y exteriores generalmente están bien alisadas. También se han identificado fragmentos de formas modeladas, aplicadas y combinadas: modeladas-aplicadas. Achiotes sin Engobe se identifica más comúnmente que Sapote Estriado, aunque es probable que en muchos casos los tiestos de ambos tipos provengan de la misma clase de ollas sin engobe en donde el estriado se ubica en el cuerpo debajo del cuello. Las estriaciones son en su mayoría finas, con estriaciones medias y amplias más comunes en el período Clásico.

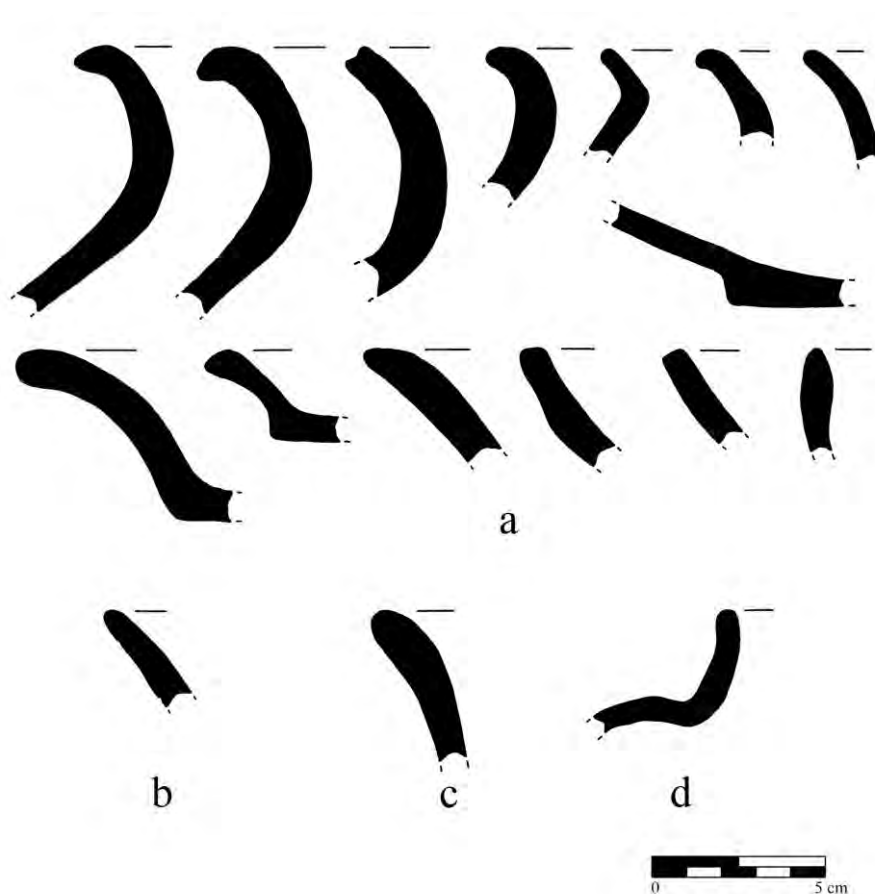


Figura 12.6 Iberia Naranja: Variedad Paso Caribe (a); Inciso Indeterminado, Grupo Iberia (b); Rojo y Naranja Compuesto Indeterminado, Grupo Iberia (c); y Negro y Naranja Compuesto Indeterminado, Grupo Iberia (d) (Dibujo por D. Chatelain)

La pasta y las inclusiones son notablemente consistentes a lo largo del período Preclásico Tardío en la cerámica con engobe. Si bien el color de la pasta varía mucho, las pastas rojas, naranjas y cafés son extremadamente comunes y la textura de la pasta es en su mayoría media (92%). La pasta de textura fina se produce en menos del 5% de los casos. Los núcleos de cocción ocurren en el 33% de los casos. Alrededor del 96% de la cerámica con engobe del Preclásico Tardío incluye inclusiones de carbonato blanco, generalmente inclusiones finas (<0.5 mm). Las inclusiones ferruginosas esféricas o redondeadas son comunes y ocurren en el 27% de los casos. Solo el 3% de la cerámica con engobe del Preclásico Tardío incluye inclusiones de carbonato gris o de carbonato blanco y gris mixto. Esto parece ocurrir exclusivamente en contextos del Preclásico Terminal. En la cerámica sin engobe, las inclusiones de carbonato blanco son las más comunes (70%), con menos frecuencia las inclusiones de carbonato gris (13%) y las inclusiones de carbonato gris y blanco mixtas (14%). Inclusiones de roca triturada se producen en el 2% de los casos.

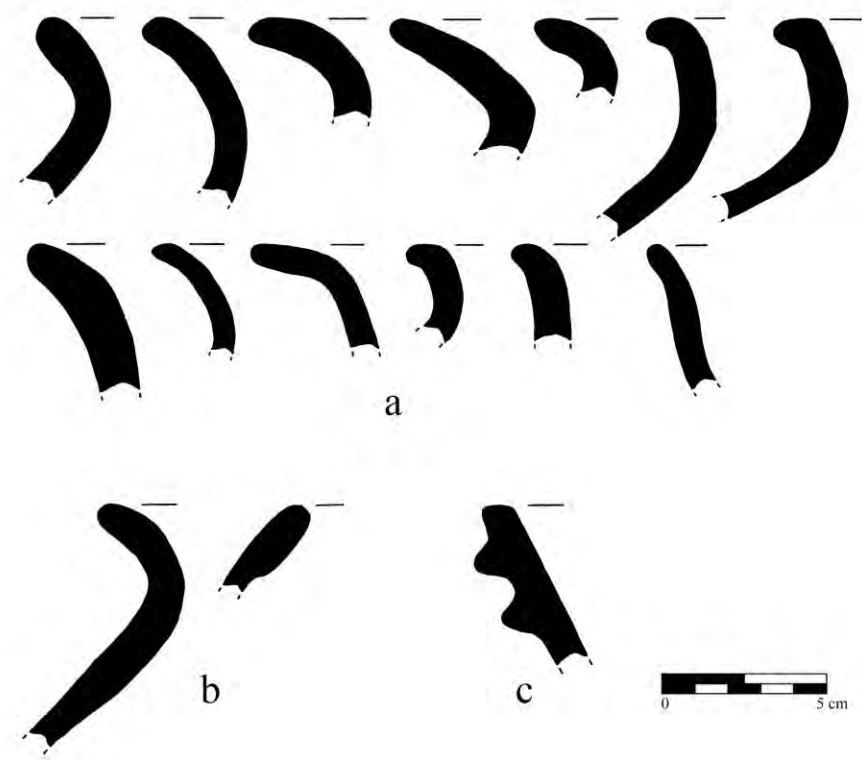


Figura 12.7 Achiotes Sin Engobe: Variedad Achiotes (a); Sapote Estriado: Variedad Sapote (b); y Aplicado Indeterminado, Grupo Achiotes (c) (Dibujo por D. Chatelain)

Complejo Ochib: Clásico Temprano

Un episodio significativo de construcción tuvo lugar en La Cariba en la primera parte del Clásico Temprano y una muestra de radiocarbono tomada de la Plaza Principal data este episodio para 260-420 d.C. en el rango de sigma 2, probablemente en la segunda mitad del Siglo IV. La mayor parte del núcleo del sitio se construyó verticalmente, aunque la distribución del sitio no se expandió horizontalmente. Las facetas iniciales de la construcción del Clásico Temprano representan el 33% del volumen arquitectónico del núcleo del sitio y el 33% de la mano de obra involucrada en la construcción del epicentro del sitio. Adicional a ello cuatro grupos residenciales fueron construidos a su alrededor durante este momento.

Sin embargo, a pesar de la importancia de esta fase, la cerámica de la Esfera Tzakol del Clásico Temprano no está bien representada en La Cariba (N = 324; Tabla 12.5). Esto se debe a la continuación de las clases (vajillas o wares), grupos y tipos cerámicos del Preclásico Tardío y del Preclásico Terminal durante la primera parte del período Clásico Temprano (Brady et al. 1998), lo que provocó que muchos arqueólogos proyectaran descensos poblacionales que pueden deberse en parte a cuestiones tipológicas/cronológicas (Foias y Bishop 2013). Estos temas se abordan con más detalle en la sección de discusión del presente capítulo. En cualquier caso, la falta de cerámica de la Esfera Tzakol en la mayor parte del sitio sugiere una disminución en el uso del sitio durante la última parte del período Clásico Temprano (la Estructura 20M-5 es una excepción; ver Chatelain 2018a). Los tipos del Clásico Temprano correspondientes al Complejo *Ochib* de La Corona se han encontrado en La Cariba en: relleno de construcción de la Fase *Chan* en el Grupo Principal; relleno de la fase *Sinik* en el Grupo Oeste; rellenos de plaza de los grupos 21M-1, 20M-3 y 20M-4; y un basurero del Grupo 20M-3. Los tipos del Clásico Temprano del basurero se analizaron a través del análisis modal mientras que el resto fue analizado utilizando únicamente el análisis Tipo-Variedad.

Clase	Grupo (% de complejo)	Tipo: Variedad	Frecuencias		Porcentajes	
			Borde	Cuerpo	Grupo	Complejo
Uaxactún Sin Engobe	Quintal (7.1%)	Quintal Sin Engobe: Variedad Indeterminada	22	1	100.0	7.1
Petén Brillante	Águila (68.8%)	Águila Naranja: Variedad Águila	25	134	71.3	49.1
		Águila Naranja: Variedad Dos Hermanos	9	49	26.0	17.9
		Pita Inciso: Variedad Indeterminada	3	2	2.2	1.5
		Nitan Compuesto: Variedad Indeterminada	0	1	0.5	0.3
		Balanza (10.8%)	Balanza Negro: Variedad Indeterminada	8	26	97.1
Dos Arroyos (13.3%)		Lucha Inciso: Variedad Indeterminada	0	1	2.9	0.3
		Dos Arroyos Naranja Policromo: Variedad Indeterminada	13	23	83.7	11.1
		San Blas Rojo sobre Naranja: Variedad Indeterminada	5	2	16.3	2.2
TOTAL			85	239		

Tabla 12.5 Clases, grupos, tipos, y variedades del Complejo Ochib

El Complejo *Ochib* en La Cariba corresponde a la esfera cerámica Tzakol común en los sitios de las Tierras Bajas Mayas. La pequeña muestra de cerámica del Complejo *Ochib* en La Cariba hace que sea difícil describir con certeza las frecuencias relativas de clases (wares), grupos y tipos. Como se describe en la sección de discusión, la cerámica sin engobe está subestimada, debido a la dificultad de distinguir los fragmentos de cuerpos pertenecientes al Complejo *Naah* de los fragmentos de cuerpos del Complejo *Ochib*. La cerámica sin engobe, representada por el Tipo Quintal sin engobe, incluyen cántaros de cuellos más largos que el Preclásico Tardío (Figura 12.8). Los cuellos varían desde formas rectas hasta curvo-divergentes, con bordes directos o doblados hacia el exterior. Las formas de los labios varían uniformemente desde redondeados, biselados y acanalados hasta aplanados redondeados.

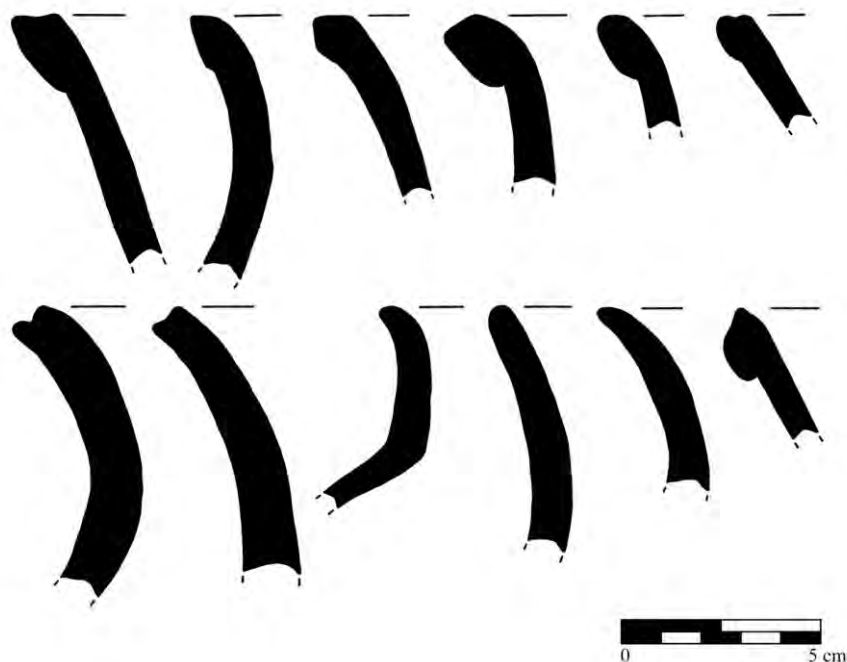


Figura 12.8. Quintal Sin Engobe: Variedad Indeterminada
(Dibujo por D. Chatelain)

La cerámica con engobe está representada principalmente por el Grupo Águila (Figura 12.9). Águila Naranja: Variedad Águila, Pita Incisa y Nitán Compuesto se identifican por su engobe lustroso color naranja, mientras que Águila Naranja: Variedad Dos Hermanos se define por un engobe rojizo-naranja a rojo. Otros ceramistas definen un tipo separado, Caribal Rojo o Dos Hermanos Rojo, para el período Clásico Temprano, pero no hay una distinción clara entre los engobes rojos y naranjas en La Cariba ya que los tiestos de color rojo oscuro no son comunes. Los engobes rojos y naranjas existen en una gradación, y ocasionalmente se clasifican de uno a otro en el mismo fragmento. Como resultado, se tomó en cuenta el tipo de clasificación de Forsyth (1989) al clasificar los tiestos rojos del Clásico Temprano como una variedad separada de Águila Naranja. En el Grupo Águila, las formas abiertas son más comunes con paredes divergentes, curvo-convergentes o curvo-divergentes. Las formas compuestas con ángulos z son comunes. Los bordes por lo general son directos y los labios son generalmente redondeados o, de vez en cuando, biselados o acanalados.

El Grupo Dos Arroyos incluye los tipos Dos Arroyos Naranja Polícromo y San Blas Rojo sobre Naranja, aunque algunos otros ceramistas han clasificado este último tipo bajo el

Grupo Águila. Solo se han identificado formas abiertas, generalmente con paredes divergentes o curvo-convergentes, y las formas compuestas con pestañas o ángulos Z son comunes (Figura 12.9). Los bordes son generalmente directos, aunque se han encontrado bordes engrosados hacia afuera y un borde evertido horizontal. Las formas de los labios incluyen redondeados, biselados interiores, redondeados-afinados y aplanados. Dados los contextos temporales y cerámicos de muchos de estos policromos, es posible que algunos puedan clasificarse mejor como Polícromos Naranja Ixcario. Sin embargo, dado el estado generalmente erosionado de los policromos en La Cariba y la falta de depósitos grandes del Clásico Temprano para distinguir entre el Ixcario más temprano y el Dos Arroyos más tardío, todos se clasificaron como Dos Arroyos.

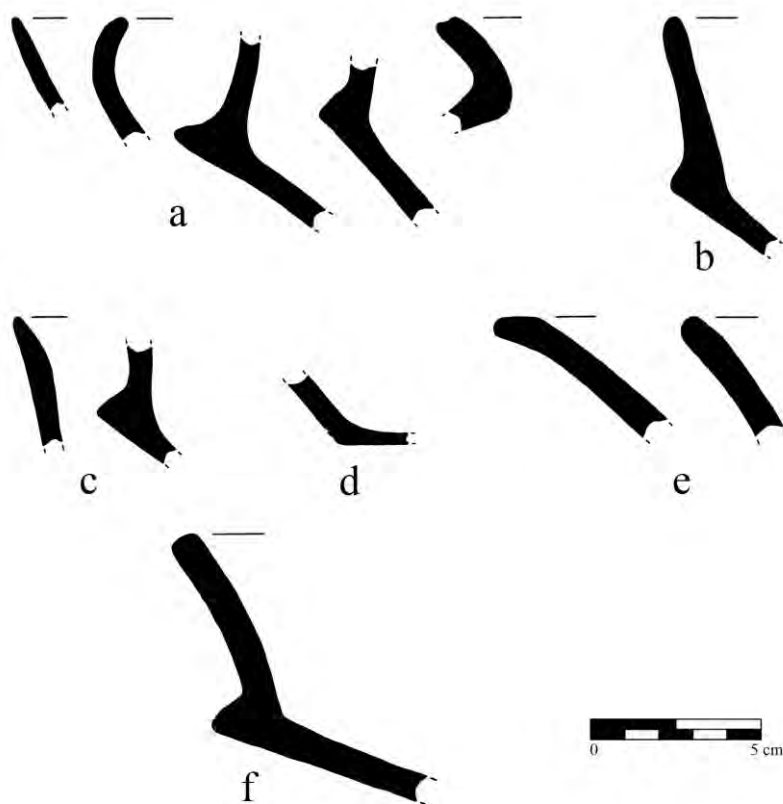


Figura 12.9. Águila Naranja: Variedad Águila (a); Águila Naranja: Variedad Dos Hermanos (b); Balanza Negro: Variedad Indeterminada (c); Lucha Inciso: Variedad Indeterminada (d); Dos Arroyos Naranja Policromo: Variedad Indeterminada (e); y San Blas Rojo sobre Naranja: Variedad Indeterminada (f) (Dibujo por D. Chatelain)

El Grupo Balanza, distinguido por el engobe lustroso negro, incluye formas abiertas, más comúnmente paredes divergentes y/o compuestas (Figura 12.9). Los bordes son

generalmente directos con labio redondeado, biselado o redondeado-afinado. El engobe es casi siempre un negro oscuro.

El carácter de las pastas del Clásico Temprano cambia dramáticamente del Preclásico Tardío, particularmente en cerámica con engobe. El color de la pasta varía mucho, pero en general es más clara. Este varía de naranja a rosa y amarillo con mayor frecuencia. La textura de la pasta suele ser fina (69%), mientras que la textura gruesa no se produce. Un perfil de pasta notablemente común es una pasta de textura fina con rojo claro y café amarillento, separados por márgenes claros con inclusiones de carbonato gris. Los núcleos de cocción son poco frecuente (14%) y las nubes de cocción ocurren en solo el 6% de los casos. Las inclusiones de carbonato gris más grandes son las más comunes (62%) y las inclusiones de carbonato blanco y gris mixtas son las siguientes más frecuentes (22%), mientras que las inclusiones de carbonato blanco ocurren en solo el 16% de los casos. Las inclusiones ferruginosas se vuelven menos comunes en este momento, ocurriendo en solo el 15% de los casos. Es probable que la transición del Preclásico Tardío al Clásico Temprano implique cambios significativos en la producción y distribución de cerámica. Los tiestos sin engobe no cambian tan dramáticamente con respecto al Preclásico Tardío, siendo las inclusiones densas de carbonato blanco las más comunes (67%), aunque las inclusiones de carbonato gris también ocurren con frecuencia (33%). La producción y distribución de cerámica sin engobe parece haber cambiado en un grado mucho menor, aunque el tamaño de la muestra es pequeño.

Complejo Waay: Clásico Tardío

Después del aparente declive de La Cariba durante la última parte del Clásico Temprano, el núcleo del sitio fue renovado con relativamente poco esfuerzo en el período Clásico Tardío. La construcción durante este momento representa solo el 19% de la energía y el 12% del volumen invertido en el núcleo del sitio a lo largo del tiempo (Chatelain 2018a). La construcción probablemente fue comisionada por el gobernante *Yajawte' K'inich* de La Corona, quien se menciona en el Altar 1 de La Cariba con una fecha calendárica 746 d.C. Los tipos y modos sugieren una fecha después de 700 d.C. para este episodio de construcción, correspondiente a la esfera cerámica Tepeu 2. Los cinco grupos residenciales periféricos investigados, a excepción de uno (20M-3), parecen haber estado ocupados durante este

período de tiempo, sin construcción alguna de nuevos grupos. El Grupo Sur, un grupo residencial de élite, se creó y definió en el núcleo del sitio durante este momento. Los tipos del Clásico Tardío, correspondientes al Complejo *Waay* de La Corona, se encuentran en contextos de humus, contextos saqueados, rellenos de construcción del Clásico Tardío (principalmente estructuras), en tres depósitos de basurero en el Grupo 21M-1 y dos basureros en el núcleo del sitio (N = 1912; Tabla 12.6). Se realizó un análisis Tipo-Variedad para la cerámica de los depósitos mixtos (humus, contextos saqueados y relleno), y se realizó análisis modal para un basurero del Grupo 21M-1. El análisis modal para los otros basureros se realizará en el futuro.

Clase	Grupo (% de complejo)	Tipo: Variedad	Frecuencias		Porcentajes			
			Borde	Cuerpo	Grupo	Complejo		
Uaxactún Sin Engobe	Cambio (53.5%)	Cambio Sin Engobe: Variedad Cambio	85	303	38.0	20.3		
		Encanto Estriado: Variedad Encanto	0	621	60.7	32.5		
		Encanto Estriado: Variedad Impresa Indeterminada	0	2	0.2	0.1		
		Encanto Estriado: Variedad Aplicada-Impresa Indeterminada	0	3	0.3	0.2		
		Manteca Impreso: Variedad Indeterminada	1	2	0.3	0.2		
		Manteca Impreso: Variedad Cinta Aplicada Indeterminada	2	0	0.2	0.1		
		Manteca Impreso: Variedad Estampada Indeterminada	0	2	0.2	0.1		
		Pedregal Modelado: Variedad Indeterminada	0	1	0.1	0.1		
		Petén Brillante	Tinaja (23.2%)	Tinaja Rojo: Variedad Indeterminada	74	355	96.8	22.4
				Corozal Inciso: Variedad Indeterminada	2	0	0.5	0.1
				Chaquiste Impreso: Variedad Indeterminada	4	4	1.8	0.4
Chaquiste Impreso: Variedad Estampada Indeterminada	3			1	0.9	0.2		
Infierno (5.8%)	Infierno Negro: Variedad Infierno			Carmelita Inciso: Variedad Indeterminada	4	3	6.4	0.4
				Carmelita Inciso: Variedad Incisa/Excisa Indeterminada	1	3	3.6	0.2
				Impreso de Tela Indeterminado	1	1	1.8	0.1
		Impreso Indeterminado	1	0	0.9	0.1		
Azote (0.8%)	Azote Naranja: Variedad Indeterminada	1	14	100.0	0.8			
Máquina (0.4%)	Máquina Café: Variedad Indeterminada	0	8	100.0	0.4			

Palmar (10.5%)	Palmar Naranja Policromo: Variedad Indeterminada	61	114	87.1	9.2
		8	11	9.4	1.0
		1	6	3.5	0.4
Zacatal (3.5%)	Zacatal Crema Policromo: Variedad Indeterminada	21	14	52.2	1.8
	Naranjal Rojo sobre Crema: Variedad Indeterminada	3	2	7.5	0.3
	Chinos Negro sobre Crema: Variedad Indeterminada	9	17	38.8	1.4
	Inciso Indeterminado	1	0	1.5	0.1
Indeterminado (0.6%)	Rojo-negro Abigarrado Indeterminado	2	9	100.0	0.6
Pasta Gris Fina (0.9%)	Chablekal	1	6	38.9	0.4
		6	0	33.3	0.3
		2	3	27.8	0.3
Indeterminado (0.9%)	Gris Fino Indeterminado	0	13	76.5	0.7
	Inciso Indeterminado	0	3	17.6	0.2
	Inciso-Acanalado Compuesto Indeterminado	1	0	5.9	0.1
TOTAL		333	1579		

Tabla12.6 Clases, grupos, tipos, y variedades del Complejo *Waay*

El Complejo *Waay* corresponde a la esfera cerámica Tepeu 1-2 que se encuentra en las Tierras Bajas Mayas, aunque los indicadores de Tepeu 1 generalmente están ausentes en La Cariba. A diferencia de los complejos anteriores, la mayoría de la cerámica del Complejo *Waay* en La Cariba no posee engobe, y pertenece al Grupo Cambio. El tipo más común es Encanto Estriado, seguido de Cambio Sin Engobe. La forma predominantemente son las ollas con cuello curvo-divergente (Figura 12.10). Los bordes generalmente están engrosados hacia el exterior o doblados al exterior y los labios generalmente están aplanados, biselados o redondeados-afinados. Muchos de estos tiestos (Cambio Sin Engobe y Encanto Estriado) probablemente provienen de los mismos tipos de vasija, es decir, ollas de bordes y cuellos no estriados con estriaciones que comienzan debajo del cuello. También se han encontrado variedades con impresiones de uña o formas de "grano de café" en la parte inferior del cuello; o ambas, justo por encima de las estriaciones. También se ha encontrado un pequeño número de ejemplos de Manteca Impreso en formas de ollas con una o más líneas de impresiones de uñas en la parte inferior del cuello, junto con un solo ejemplo de Pedregal Modelado.

La cerámica con engobe representa el 46.5% del Complejo *Waay* del Clásico Tardío en La Cariba, y Tinaja es el grupo cerámico más común, definido por su engobe rojo lustroso. Los engobes del Grupo Tinaja varían regularmente de rojo intenso a rojo naranja y rojo café, y los errores de cocción, como nubes de cocción, son muy raros y ocurren en menos del 5% de los casos. Alrededor de dos tercios de las vasijas del Grupo Tinaja son formas abiertas con paredes divergentes o curvo-convergentes (Figura 12.11). Los cuencos grandes con paredes curvo-convergentes y orificios ligeramente restringidos son comunes. Los bordes suelen ser directos, engrosados al exterior o interior, o doblados al exterior y los labios normalmente están redondeados, biselados o cuadrados redondeados. Alrededor de un tercio de las vasijas del Grupo Tinaja son ollas con cuellos curvo-divergentes, bordes directos y labios redondeados. El tipo dominante es Tinaja Rojo dentro del grupo, aunque también aparecen Chaquiste Impreso y Corozal Inciso. A pesar de la gran muestra de tiestos Tinaja Rojo, la variedad se dejó sin especificar, dada la preponderancia un tanto confusa de los tipos y variedades de cerámica roja monocromática del Clásico Tardío.

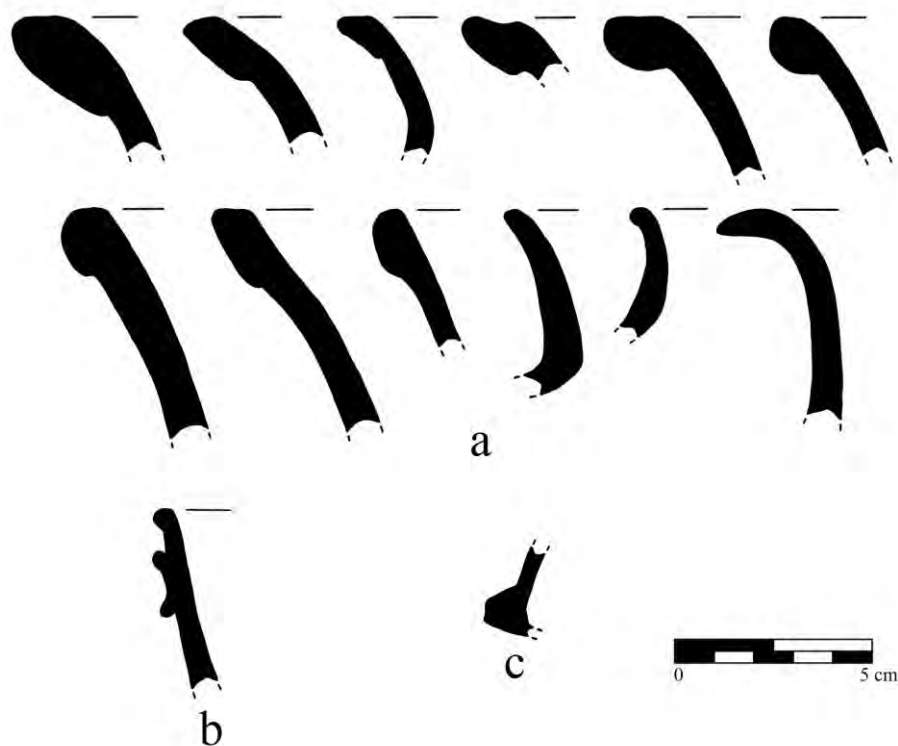


Figura 12.10 Cambio Sin Engobe: Variedad Cambio (a); Manteca Impreso: Variedad Cinta Aplicada Indeterminada (b); y Pedregal Modelado: Variedad Indeterminada (c) (Dibujo por D. Chatelain)

El Grupo Infierno es el segundo grupo con engobe monocromo más común del Complejo *Waay* en La Cariba, definido por engobe color negro lustroso, aunque es mucho menos común que Tinaja. El engobe suele ser un negro lustroso intenso, pero en ocasiones aparece como un negro rojizo o, más raramente, como un negro café. Las formas son abiertas con paredes divergentes o, menos comunes, con paredes curvo-divergentes o rectas. Los bordes suelen ser directos y los labios biselados o redondeados son los más comunes (Figura 12.11). Las ollas y jarrones ocurren raramente. Infierno Negro: Variedad Infierno es el tipo: variedad más común, aunque también se produjo el tipo Carmelita Inciso, un tipo: Indeterminado Impreso con Tela y un tipo: Indeterminado Impresionado. Dos tiestos Indeterminados Impreso con Tela, con la impresión de la tela en la parte superior a unos pocos centímetros por debajo del borde, se asemejan a una vasija con engobe negro e impresiones con tela proveniente de la Estructura 20M-1 en el núcleo del sitio. Aparentemente, en La Corona se ha encontrado cerámica similar con engobe negro impreso con tela (Caroline Parris, comunicación personal 2018).

Entre los grupos adicionales con engobe monocromático se incluyen Azote y Maquina, con engobe de color naranja y café, respectivamente (Figura 12.12). Si bien Azote se asignó originalmente al Complejo Tepeu 3 (Smith y Gifford 1966), Foias y Bishop (2013) lo asignan al período Clásico Tardío general. Aunque los engobes en estos ejemplos se mantienen consistentes a lo largo de los tiestos y parecen distintos de Tinaja, sigue siendo posible que puedan ser de áreas con mala cocción de color naranja o café del Grupo Tinaja.

Las vasijas policromas y bicromas son comunes en La Cariba, y representan el 14% del Complejo *Waay*. Los policromos y los bicromos suelen estar en un estado altamente erosionado, lo que dificulta una clasificación más detallada. El Grupo Palmar, que incluye Palmar Naranja Polícromo, Desquite Rojo sobre Naranja y Chantuori Negro sobre Naranja, es el más común, siendo el 10.5% del Complejo *Waay*. El Grupo Zacatal, que incluye Zacatal Crema Polícromo, Naranjal Rojo sobre Crema, Chinos Negro sobre Crema y un tipo de Incisión Indeterminado, representa el 3.5% del complejo. Las formas son abiertas, en su mayoría con paredes divergentes, aunque paredes curvo-divergentes y curvo-convergentes ocurren con menos frecuencia (Figura 12.12) Vasijas cilíndricas ocurren con mucho menor frecuencia.

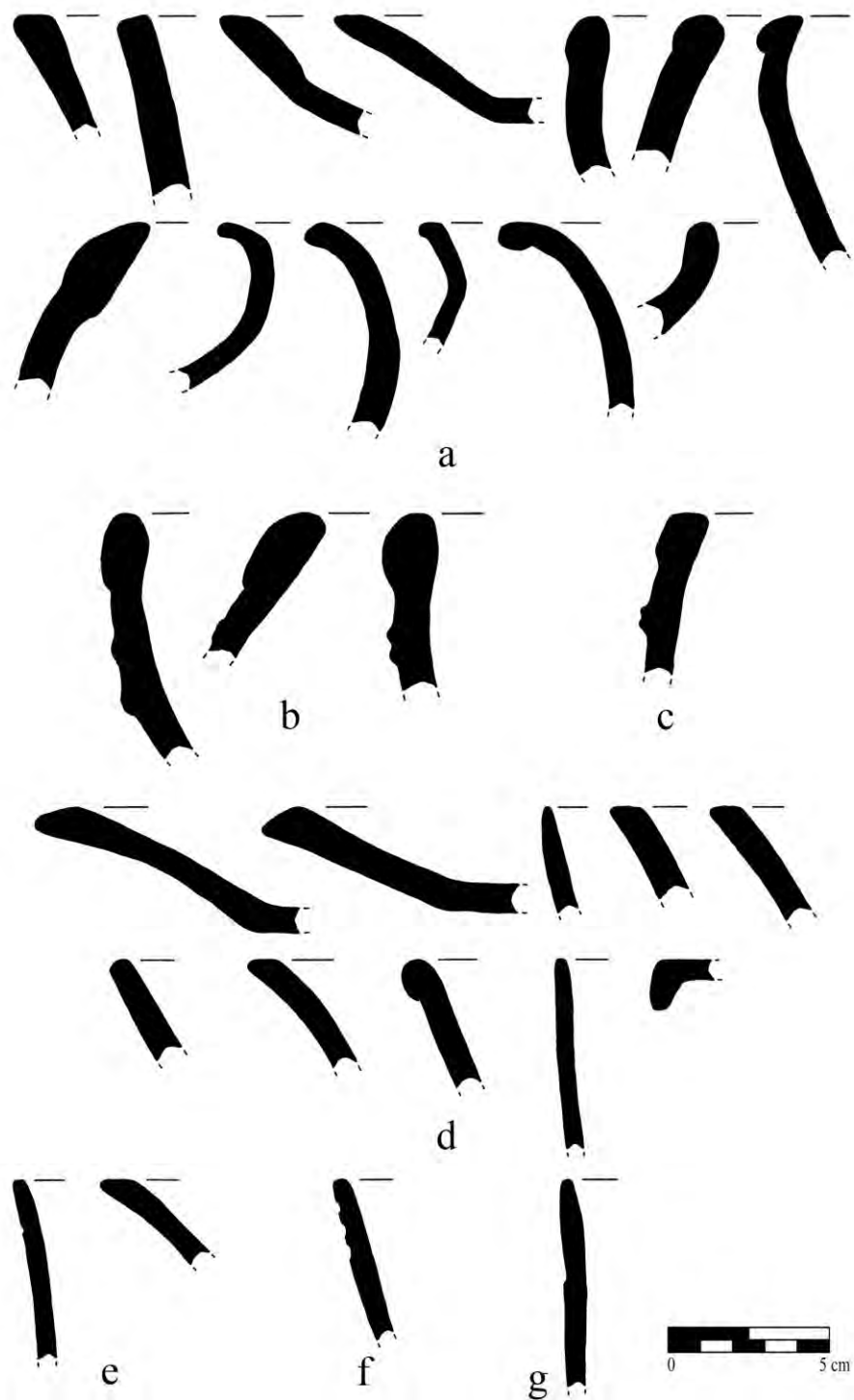


Figura 12.11 Tinaja Rojo: Variedad Indeterminada (a); Chaquiste Impreso: Variedad Indeterminada (b); Chaquiste Impreso: Variedad Estampada Indeterminada (c); Infierno Negro: Variedad Infierno (d); Carmelita Inciso: Variedad Indeterminada (e); Carmelita Inciso: Variedad Incisa/Excisa Indeterminada (f); e Impreso de Tela Indeterminado, grupo Infierno (g) (Dibujo por D. Chatelain)

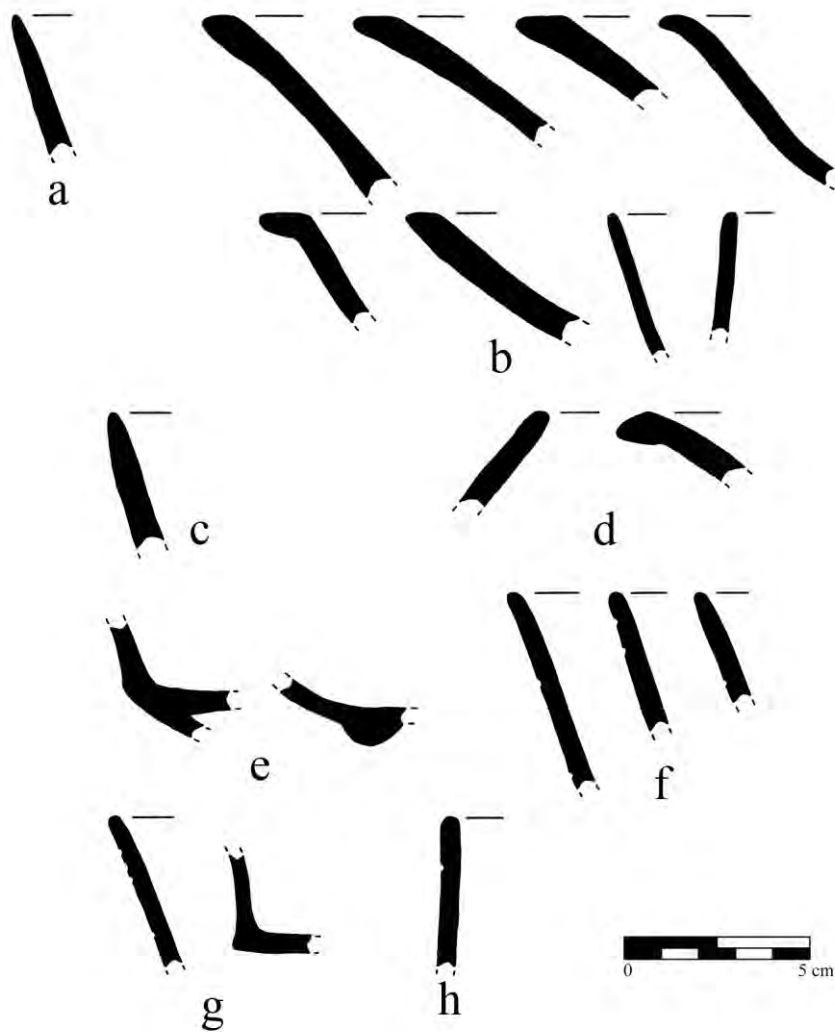


Figura 12.12. Azote Naranja: Variedad Indeterminada (a); Palmar Naranja Policromo: Variedad Indeterminada (b); Desquite Rojo sobre Naranja: Variedad Indeterminada (c); Zacatal Crema Policromo: Variedad Indeterminada (d); Chablekal Gris: Variedad Indeterminada (e); Chicxulub Inciso: Variedad Indeterminada (f); Telchac Compuesto: Variedad Indeterminada (g); e Inciso-Acanalado Compuesto Indeterminado, clase Pasta Gris Fino (h) (Dibujo por D. Chatelain)

La Clase Gris Fino se encuentra ocasionalmente en La Cariba, generalmente en contextos de humus, pero también se encontró en el basurero del grupo residencial 21M-1, lo que sugiere que la ocupación en La Cariba y sus alrededores continuó al menos hasta finales del siglo VIII. Los tiestos se identifican como Gris Fino Indeterminado a menos que se pueda distinguir por grupo o tipo basándose en la forma. La cerámica Gris Fino se define por su pasta gris de textura fina sin desgrasante aunque dos ejemplos tienen un brillo micáceo. El engobe casi siempre se encuentra erosionado completamente, aunque dos ejemplos aún

conservaban rastros de engobe gris oscuro. Todas las formas eran abiertas, casi siempre con paredes divergentes, aunque una tenía paredes verticales (Figura 12.12). Los bordes son casi siempre directos con los labios redondeados. Los soportes de botón son comunes y los soportes bulbosos vaciados son menos comunes. Uno de los bordes era de un cuenco de pared vertical o tal vez un cuenco pequeño. Los tipos Chablekal Gris, Chicxulub Inciso y Telchac Compuesto están bien representados dentro del Grupo Chablekal.

Los atributos de pasta y desgrasante difieren del Clásico Temprano, pero no drásticamente como las distinciones entre el Clásico Temprano y el Preclásico Tardío. Entre la cerámica con engobe, la textura de la pasta es predominantemente fina (70%) y el color de la pasta varía ampliamente de naranja a rojo claro y de café claro a gris. Los núcleos de cocción se producen en el 24% de los casos y los errores de cocción se encuentran en menos del 2% de los casos. Las inclusiones de carbonato gris son más comunes en un 48%, y las inclusiones de carbonato blanco también son comunes en un 43%. Las inclusiones mixtas de carbonato gris y blanco aparecen en el 9% de los casos. Las inclusiones ferruginosas son poco frecuentes y ocurren en el 10% de los casos. En la cerámica sin engobe, las pastas de textura media y gruesa son comunes. Las inclusiones de carbonato blanco siguen siendo predominantes (91%) como en períodos anteriores y las inclusiones de carbonato gris (3%) y carbonato gris y blanco mixto (3%) son mucho menos comunes que en el Clásico Temprano.

Complejo Paat: Clásico Terminal

Se encontró una pequeña cantidad de material diagnóstico Clásico Terminal (N = 2; Tabla 12.7) en los depósitos de humus; uno en la escalinata de la Estructura 20M-1 y uno en la entrada noreste (Operación 14). Este material no ha sido analizado mediante análisis modal. Se han observado en la entrada noreste una serie de otros tipos cerámicos diagnósticos del Clásico Terminal, particularmente la Clase Naranja Fino, las cuales tenían una densidad inusualmente alta. Clase Gris Fino también se ha observado en este depósito, con un color más claro y más café que el Gris Fino encontrado en otros contextos. Existe la posibilidad que estos sean representativos del Grupo Tres Naciones, aunque es necesario su análisis. Es posible que éste sea un depósito específico del Clásico Terminal, y de no ser así, el material del Clásico Terminal estaría ausente en La Cariba. Los modos diagnóstico del Clásico

Terminal, como las vasijas de paredes curvas y las bases redondeadas con soportes tipo trípode, hasta ahora están ausentes en La Cariba, a excepción del borde Tres Naciones encontrado en la Operación 14. Los policromos también se encuentran comúnmente en los depósitos del Clásico Tardío, lo que sugiere una fecha Tepeu 1-2, y no una fecha Tepeu 3. Si el análisis adicional de la Operación 14 sugiere que este es un depósito específico del Clásico Terminal, entonces proporcionará más información sobre el Clásico Terminal en La Cariba.

Clase	Grupo	Tipo: Variedad	Frecuencias		Porcentajes
			Borde	Cuerpo	Complejo
Pasta Naranja Fino	Altar	Altar Naranja: Variedad Indeterminada	0	1	50.0
Pasta Gris Fino	Tres Naciones	Tres Naciones Gris: Variedad Indeterminada	1	0	50.0

Tabla 12.7 Clases, grupos, tipos, y variedades del Complejo *Paat*

El único ejemplo de Altar Naranja fue un fragmento de cuerpo encontrado en la superficie en la Estructura 20M-1. Aparte de la pasta fina de color naranja y el distintivo sonido agudo que produce cuando se suelta o se golpea sobre una superficie, de este ejemplo se obtuvo poca información.

El ejemplo de Tres Naciones fue el borde de una vasija de pared curva. Debido a esta forma distintiva, el fragmento cerámico se clasificó como Tres Naciones en lugar de Gris Fino Indeterminado. El engobe se encontraba erosionado y la pasta gris fina fue notablemente más clara y de color más café que la cerámica del Tipo Gris Fino encontradas en los otros contextos de La Cariba y su asentamiento

Complejo Bih: Postclásico

Una pequeña cantidad de material Posclásico (N = 27; Tabla 12.8) se recuperó del humus en la Estructura 20L-1 (lotes CAR12B-2-1-1 y CAR12B-2-1-2). No incluido aquí, también se encontró un incensario completo del Postclásico en el humus en la Estructura 20M-1 (Chatelain y González 2016: 157). Incensarios similares del Posclásico se han encontrado en La Corona, revelando un patrón aparente de visitantes del Postclásico en estos sitios. Ninguno de estos materiales ha sido analizado por análisis modal.

Clase	Grupo	Tipo: Variedad	Frecuencias		Porcentajes	
			Borde	Cuerpo	Grupo	Complejo
Montículo Sin Engobe	Pozo (55.6%)	Pozo Sin Engobe: Variedad Indeterminada	3	11	93.3	51.9
		La Justa Compuesto: Variedad Indeterminada	0	1	6.7	3.7
Volador Engobe <i>Dull</i>	Paxcamán (40.7%)	Paxcamán Rojo: Variedad Indeterminada	3	8	100.0	40.7
	Trapeche (3.7%)	Trapeche Rosado: Variedad Indeterminada	0	1	100.0	3.7
TOTAL			6	21		

Tabla 12.8 Clases, grupos, tipos, y variedades del Complejo *Bih*

Los tiestos Pozo Sin Engobe, probablemente parte de una única vasija, representaban una olla globular con un cuello corto y vertical (Figura 12.13). El ejemplo de La Justa Compuesto fue un fragmento de cuerpo con aplicaciones en formas de espinas, probablemente un incensario. Los tiestos Paxcamán Rojo tenían engobe rojo opaco con una pasta fina limosa con inclusiones de concha de caracol, similares a los ejemplos encontrados en el área de los lagos de Petén (Rice 1987) y en el área de Petexbatun (Foias y Bishop 2013). Estos tiestos probablemente pertenecían a un único plato con soportes en voluta, dos de los cuales fueron recuperados. El fragmento Trapeche Rosado era un fragmento de cuerpo con engobe color rosado.

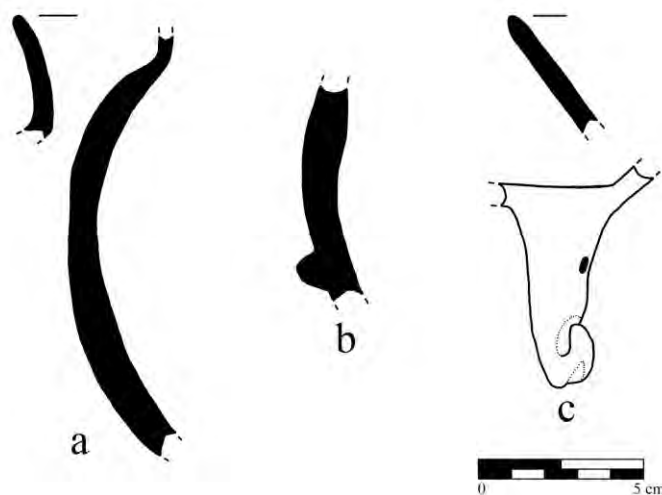


Figura 12.13 Pozo Sin Engobe: Variedad Indeterminada (a); La Justa Compuesto: Variedad Indeterminada (b); y Paxcamán Rojo: Variedad Indeterminada (c)
(Dibujo por D. Chatelain)

Discusión

Revisión de la Cronología Regional

Uno de los desarrollos más significativos de la cerámica de La Cariba es la riqueza disponible de la cerámica del Preclásico Tardío y Preclásico Terminal, los cuales se encuentran de manera poco común en La Corona. Particularmente de interés son dos contextos de basurero que parecen reflejar facetas discretas, con tipos y modos específicos correspondientes a esas facetas. Brady et al. (1998) han argumentado la existencia de dos facetas para el período Protoclásico/Preclásico Terminal, que se superponen con los períodos Preclásico Tardío y Clásico Temprano. A continuación se proporcionan breves descripciones de estas facetas reflejadas en La Cariba, que se complementan con la información específica presentada en los apartados del Complejo *Naah* y el Complejo *Ochib*. Los datos se ajustan bastante a los argumentos presentados por Brady et al. (1998). En cuanto a fechas absolutas para definir estas facetas, aún no están disponibles en La Cariba, sin embargo las muestras de carbón en forma de huesos de fauna están presentes en los dos basureros correspondientes a éstas.

La primera es una faceta tardía del Complejo *Naah* del Preclásico Tardío. Este período de tiempo a menudo se denomina Preclásico Terminal o Protoclásico, aunque la nomenclatura es bastante complicada y debatida (Brady et al. 1998). Brady et al. (1998) se refieren a esto como la Faceta 1, argumentado una fecha de 75 a. C. a 150 d.C. para esta faceta Protoclásico 1. Su definición se asemeja mucho a los agrupamientos de contextos específicos en La Cariba, particularmente al basurero denso del grupo residencial 20M-2. Los grupos cerámicos diagnósticos clave para esta última faceta del Complejo *Naah* incluyen Iberia, Caramba, Sacluc, Zapatista y el Tipo Correló Inciso-Bicromo del Grupo Sierra. La decoración de líneas paralelas onduladas pseudo-Usulutanes, usualmente una imitación pintada en positivo de la técnica resistente, es característica de esta faceta. El modo de labio acanalado también aparece durante esta faceta en las ollas Sierra Rojo, Flor Crema e Iberia Naranja. Particularmente notable es el aumento en la experimentación con los pre-engobes crema en el Grupo Iberia y la combinación de este color y otros engobes en formas que frecuentemente imitan la técnica de pintura al negativo. El “último patrón” se ve claramente en la frecuencia incrementada de Ahchab Rojo sobre Ante durante esta faceta. Si bien este tipo también aparece antes, parece estar relacionado con la experimentación de pre-engobes

crema que eventualmente se desarrollarían en tradiciones policromas. Una característica particularmente local de esta faceta en La Cariba es la introducción de inclusiones de carbonato gris en la cerámica tanto con engobe como sin engobe, que eventualmente se convierten en el desgrasante dominante durante el Complejo *Ochib* del Clásico Temprano. Un modo adicional, de alguna manera preliminar, es el comienzo (en varios ejemplos) de un perfil de pasta de doble color y textura media que antecede un perfil de pasta común de la cerámica con engobe del Clásico Temprano (ver arriba). En la última faceta del Complejo *Naah*, esto aparece como una pasta de textura media con colores rojo y amarillo-café definidos por un margen definido, con las típicas inclusiones de carbonato blanco fino del Preclásico Tardío. Este perfil de pasta aparece raramente y únicamente en este momento, mientras que la versión de textura fina aparece comúnmente en el Clásico Temprano.

La segunda faceta es una faceta temprana del Complejo *Ochib* del Clásico Temprano. Brady et al. (1998) se refieren a esto como la faceta 2 de su etapa cerámica "Protoclásica", con un rango de fechas aproximadas de 150-420 d.C. Esta fecha concuerda bien con la fecha de radiocarbono 260-420 d.C. (rango 2-sigma) de la Fase *Chan* de la plaza principal en La Cariba. Este importante episodio de construcción, correspondiente a la fase *Chan* en el Grupo Principal y la fase *Sinik* en el Grupo Oeste, contiene un conjunto particular de grupos y modos cerámicos que está mejor representado por el basurero del grupo residencial 20M-3. Estos marcadores cerámicos generalmente corresponden a los argumentados de Brady et al. (1998) y el hecho de que las fechas absolutas coincidan también es alentador. Los marcadores cerámicos diagnósticos para esta faceta temprana del Complejo *Ochib* incluyen el Grupo Dos Arroyos (particularmente policromos) y la aparición de la clase cerámica Petén Lustroso como Águila y Balanza. Sin embargo, los tipos anteriores del Preclásico Tardío parecen seguir siendo la cerámica más común en uso durante este período. Los modos formales, como los soportes mamiformes y las bases anulares, comienzan a utilizarse en esta faceta y los labios acanalados continúan. En cuanto a la cerámica sin engobe, mientras que continúan las formas típicas de Achiote Sin Engobe, comienzan a aparecer ollas de cuello largo vertical a curvo-divergentes con bordes doblados hacia el exterior, clasificados como Quintal Sin Engobe. Las inclusiones de carbonato gris y las inclusiones combinadas de carbonato gris y blanco se vuelven más comunes en esta faceta. El perfil de pasta de doble color rojo y amarillo-café de textura fina se vuelve común en Petén Lustroso, particularmente en los

grupos Águila y Dos Arroyos. Las descripciones resumidas de estas dos facetas definidas en La Cariba se presentan a continuación:

Complejo Naah, faceta tardía (Protoclásico 1):

Grupo Iberia, Grupo Caramba, Grupo Sacluc, Grupo Zapatista, Correlo Inciso-Bicromo, decoración Pseudo-Usulután, modo labio acanalado; mayor experimentación con los pre-engobes cremas y la combinación del engobe crema con otros engobes; introducción de inclusiones de carbonato gris; y perfil temprano de pasta de dos colores de textura media.

Complejo Ochib, faceta temprana (Protoclásico 2):

Aparición de la Clase Petén Brillante, incluyendo Dos Arroyos Polícromos Naranja; la continuación de los tipos del Preclásico Tardío; soportes mamiformes; modo de labio acanalado; bases anulares; ollas con cuellos largos verticales a curvo-divergentes con bordes doblados hacia el exterior; el aumento en el uso de inclusiones de carbonato gris; y el perfil de pasta de doble color de textura fina.

A medida que los trabajos futuros encuentren más contextos primarios correspondientes a estas facetas cerámicas, puede ser posible promoverlos a complejos específicos; sin embargo incluso hasta ahora estos modos y conjuntos de tipos pueden ayudarnos a ajustar nuestra cronología para la región noroeste de Petén durante el Preclásico Tardío al Clásico Temprano. Será particularmente interesante ver cómo la cerámica de otros sitios tempranos en la región se parecen o difieren de los patrones vistos en La Cariba.

Implicaciones para el desarrollo en La Cariba

La secuencia cerámica preliminar presentada anteriormente proporciona algunas ideas sobre el desarrollo en La Cariba a lo largo del tiempo. El período Preclásico Tardío parece haber sido la ocupación más longeva, con cerámica desde la primera parte del Preclásico Tardío hasta la faceta tardía del Preclásico Tardío representada en todo el sitio. Sin embargo, la falta de depósitos del Preclásico Tardío en la mayoría de los grupos residenciales alrededor de La Cariba sugiere que el asentamiento fue escaso y disperso. La consistencia de cerámica del Preclásico Tardío, particularmente las pastas del Preclásico

Tardío a través del tiempo y diferentes contextos, sugiere una larga tradición de producción probablemente local, con inclusiones finas de carbonato blanco y altas frecuencias de inclusiones ferruginosas, quizás marcadores de esta tradición local. El único grupo residencial del Preclásico Tardío es el 20M-2, que se encuentra cerca del núcleo del sitio y tenía un basurero que databa la faceta tardía del Complejo *Naah* del Preclásico Tardío, quizás entre 75 a.C. y 150 d.C. La cerámica de esta faceta tardía demuestran los inicios de diversos cambios tecnológicos, morfológicos y estilísticos, con nuevos grupos y modos de cerámica que indican una mayor experimentación; característica común en las Tierras Bajas durante este momento.

La faceta temprana del Clásico Temprano, que data tal vez entre 150 y 420 d.C., demuestra cambios drásticos en La Cariba y su asentamiento. El núcleo del sitio se construyó en un episodio significativo durante este momento, probablemente alrededor de la segunda mitad del Siglo IV. A su vez cuatro grupos residenciales adicionales (21M-1 Oeste y Este, 20M-3 y 20M-4) se establecieron durante este momento. La cerámica sugiere cambios tecnológicos, morfológicos y estilísticos continuos durante este tiempo, aunque las tradiciones anteriores continuaron junto con clases o vajillas (*wares*) nuevas e innovadoras. La simple comparación entre Preclásico Tardío Sierra Rojo y el Clásico Temprano Águila Naranja sugeriría un cambio drástico y repentino en el estilo y la tecnología, sin embargo, los contextos "de transición" y los datos detallados de La Cariba proporcionan evidencia de un cambio más gradual, potencialmente más local, durante algunos siglos. Es todavía incierto si los cambios tecnológicos en la pasta, inclusiones y la técnica de cocción reflejan la importación cada vez mayor de material cerámico no local a lo largo del tiempo o si reflejan los cambios tecnológicos locales a lo largo del tiempo. Los sistemas de producción y distribución probablemente cambiaron junto con los principales cambios políticos y demográficos en la región; sin embargo, el proceso no necesariamente se produjo rápidamente o se debió únicamente a causas externas. La Cariba parece haber sido parte de los cambios que estaban ocurriendo en las Tierras Bajas Mayas en ese entonces. La evidencia de una posible tumba de élite en la Estructura 20L-1 en este momento sugiere que las estructuras sociales se estaban cambiando simultáneamente con los cambios en la tecnología (Chatelain 2018a).

La segunda parte del Complejo *Ochib* del Clásico Temprano (ca. A.D 420-600) está poco representada en La Cariba, y la única construcción identificada hasta la fecha para este período es la expansión de la Estructura 20M-5, ubicada en el Grupo Principal, junto con la colocación de un entierro y una tumba en su interior. La escasez de material del Clásico Temprano más tardío a través de La Cariba y sus asentamientos hace que este contexto sea enigmático, especialmente considerando que el individuo enterrado en la Estructura 20M-5 no era local. La forma exacta de cómo se estaba utilizando el núcleo del sitio durante este momento es incierta, pero aparentemente conservó algún tipo de uso e importancia si es que no se mantuvo la ocupación.

La continua falta de cerámica correspondiente a Tepeu 1 respalda la interpretación de que La Cariba estaba en declive. Las formas policromas, como los cuencos de paredes curvo-convergentes o redondeadas, indicadores de Tepeu 1 (Callaghan y Neivens de Estrada 2016; Foias y Bishop 2013), son extremadamente inusuales. El sitio se renovó con relativamente poco volumen o esfuerzo durante el Clásico Tardío y la cerámica correspondiente a Tepeu 2 proveniente del relleno de construcción (policromos de paredes divergentes y curvo-divergentes, vasijas cilíndricas, cerámica del Grupo Zacatal, etc.) de este episodio reflejan un *terminus post quem* de aproximadamente 700 d.C. para la renovación del sitio. Evidencia epigráfica y arquitectónica sugiere que el gobernante de La Corona, *Yajawte' K'inich*, encargó la renovación del sitio. Todos excepto uno de los grupos residenciales periféricos del sitio estaban ocupados en este momento y la presencia del tipo de pasta Gris Fino y quizás otros tipos posteriores, sugieren que la ocupación continuó hasta fines del siglo VIII. Otros cambios en el estilo y la tecnología de la cerámica junto con un aumento en la diversidad cerámica, son características del período Clásico Tardío. Pueden también reflejar sistemas de producción/distribución más complejos y diversos, probablemente conectados y facilitados a través de La Corona.

La falta de diagnósticos del Complejo *Paat* del Clásico Terminal en el núcleo del sitio y en los grupos residenciales periféricos sugiere que la ocupación activa no se extendió más allá de aproximadamente 830 d.C. Un posible depósito en el humus que se encuentra en la zona noreste del sitio tiene posibilidades de fechar para el Clásico Terminal. Su asociación con una plataforma baja y burda que se extiende hacia el norte desde la plataforma del Grupo Principal puede sugerir la fecha Clásico Terminal para la plataforma, o quizás un nivel burdo

superior de la plataforma con un posible altar circular pequeño y completamente erosionado. Altares circulares similares, aunque mejor conservados, son indicadores del Clásico Terminal en La Corona; Marcello Canuto (comunicación personal 2017) sugirió por primera vez la posibilidad de que esto fuese un contexto del Clásico Terminal antes de que se identificara cerámica del Clásico Terminal. También se colocó una piedra circular masiva a través de la puerta de la Estructura 20M-3 en el Grupo Principal, que también puede reflejar algún tipo de actividad de terminación durante dicho período.

El sitio fue abandonado durante el período Posclásico, sin embargo la gente visitó La Cariba y La Corona durante este tiempo, dejando incensarios en las superficies de las pirámides más grandes en estos sitios. Un pequeño depósito de tiestos Paxcamán Rojo, Trapeche Rosado, Pozo Sin Engobe y La Justa Compuesta en el humus de la Estructura 20L-1 sugiere posibles visitantes del área de los lagos de Petén o cerca del centro de Petén.

La clasificación y el análisis adicionales proporcionarán información más detallada y precisa sobre la cronología y la historia presentada anteriormente. Sin embargo, se puede lograr una claridad significativa en cuanto a la cronología, la tecnología y la relación con los procesos socioeconómicos con el análisis preliminar Tipo-Variedad Modal. Se espera que el análisis continuo proporcione mayor claridad sobre estos procesos en el futuro.

ANÁLISIS DE MATERIALES LÍTICOS, TEMPORADAS 2015-2018

Rachel A. Horowitz

Introducción

El análisis de materiales líticos llevado a cabo en 2018 incluyó material de pedernal y obsidiana, y abarcó artefactos provenientes de los sitios La Corona, El Jobillo y El Achiotal. Los materiales analizados de La Corona incluyen los que fueron excavados en los años 2017 y 2018, los de El Jobillo incluyen el material de los años 2017 y 2018 y los materiales de El Achiotal incluyen el material de 2015 a 2018. Esta discusión abarca cada sitio por separado y concluye con una discusión de los temas regionales que se pueden apreciar desde este análisis.

Algunos de los materiales líticos de PRALC han sido analizado anteriormente (Andrieu y Roche 2015), en donde dicha descripción se enfocó en los materiales de La Corona y La Cariba. También, la autora ya había revisado los materiales del sitio La Corona en el año 2016. En el presente informe, se discutirá sobre materiales recientes de La Corona que no fueron incluidos en los análisis previos y aquellos materiales provenientes de los sitios de El Jobillo y El Achiotal, que tampoco fueron incluidos en estudios previos. No se han realizado más estudios abarcando los materiales de La Cariba, debido a que David Chatelain se encuentra analizando estos materiales para su tesis doctoral.

El análisis de los materiales líticos de PRALC, enfocado en los sitios de La Corona, El Achiotal y El Jobillo, puede brindarnos información sobre temas importantes de la economía y la política de estos sitios. La evidencia de producción de lítica en estos lugares proporciona información sobre cómo se intercambiaban los materiales, con quién y de qué forma. La investigación enfocada en el análisis de las colecciones completas de estos sitios puede contribuir a resolver preguntas importantes sobre las redes económicas y las relaciones económicas entre las elites y no-elites del área.

El análisis consistió en un análisis de atributo detallado, siguiendo las convenciones definidas por Whittaker (1994), Andrefsky (2005), y Odell (2003). Los atributos analizados incluyeron información métrica, tecnológica y tipológica. Además, se analizaron aspectos de la secuencia de producción, del mecanismo de producción y si había evidencia de retoque y uso visible macroscópicamente. Estos también incluyeron la presencia de corteza y el tratamiento de

calor (en total, fueron 23 atributos analizados). Los núcleos y herramientas se analizaron tomando en cuenta aspectos más allá de la talla, incluyendo aspectos morfológicos y tecnológicos, para tener una descripción más completa. Por lo tanto, Este análisis provee una descripción completa de los materiales líticos e información detallada sobre la producción y uso de materiales.

El Jobillo

Durante los dos años de excavaciones en el Jobillo no se recuperó mucho material lítico, únicamente 185 fragmentos. Estos materiales provienen de dos contextos: relleno de estructuras y depósitos afuera de las estructuras. La mayoría de estos son de pedernal, aunque hay algunos fragmentos de obsidiana y piedra caliza (Tabla 13.1).

Material	Cantidad
Pedernal	125 (67.6%)
Piedra caliza	5 (2.7%)
Obsidiana	54 (29.2%)
Total	185 (100%)

Tabla 13.1 Tipo de material lítico de El Jobillo

Obsidiana

La mayoría de los artefactos de obsidiana son navajas (n=47; 87%), aunque hay presencia de lascas (n=6; 11%). La presencia de lascas significa que hubo cierta producción de navajas; es decir que las navajas estaban siendo producidas en el sitio y no introducidas de esta forma (Figura 13.1). Todas las lascas de obsidiana provienen de excavaciones de la Estructura 8M-1 y las navajas provienen de la mayoría de los lugares excavados, incluyendo 8M-1, 7M-1 y afuera de las estructuras 8M-2, 7, 10, y 11.



Figura 13.1 Obsidiana de JOB 16C-2-10-10
(Fotografía por R. Horowitz)

Pedernal y Piedra Caliza

Por otro lado, el pedernal proviene de la mayoría de estructuras que han sido excavadas. La mayoría de los materiales fueron tallados como herramientas más formales, incluyendo bifaciales, raspadores y un perforador (Tabla 13.2). El perforador se produjo de una lasca y está trabajado unifacialmente (Figura 13.2). Así mismo se encontraron raspadores, los cuales estaban contruidos en lascas con retoque unifacial.



Figura 13.2 Perforador de pedernal de JOB 20B-14-2-3
(Fotografía por R. Horowitz)

Los bifaciales consisten en formas diferentes. Unos son Bifaciales de Utilidad General – BUG (*General Utility Bifaces*, GUB), otros son puntas de lanzas y otros son grandes, pero no son BUGs ni puntas de lanzas (Figura 13.3). La mayoría de los materiales están fracturados por uso y se encuentran desechados por dicha fractura. Hay dos ejemplos de bifaciales sin terminar – lo cual representa evidencia de producción de estos materiales en El Jobillo. Sin embargo, la mayoría de los bifaciales están completos y con evidencia de uso. Existe también una mezcla en cuanto a los tipos de materia prima; unos están hechos de pedernal que parece ser local– el cual tiene colores blancos y cremas– y otro, que quizás no sea de este sitio, de color café. Este tipo de pedernal se encuentra mayormente en forma de puntas de lanza completas.



Figura 13.3 Bifaciales de JOB 20B-14-2-3
(Fotografía por R. Horowitz)

Forma	Cantidad
Talla	107 (82%)
Bifaciales	19 (14.6%)
Núcleo	1 (0.77%)
Raspador	2 (1.5%)
Perforador	1 (0.77%)
Total	130 (100%)

Tabla 13.2 Forma de materiales de pedernal y piedra caliza de El Jobillo

El núcleo y la talla presentan más evidencia sobre los tipos de producción que ocurren en El Jobillo. Ya que solo se ha recuperado un núcleo, no existe mayor evidencia en relación con los tipos de producción; sin embargo, el núcleo es un bifacial con corteza, lo que significa acceso a materia prima para producir dicho núcleo. La mayoría de la talla fue realizada con percusión con percutor duro (n=87), aunque hay algunos ejemplos de percusión con percutor suave (n=11) (Figura 13.4). Esto significa que la mayoría de la producción estaba destinada hacia la producción de lascas. Los números de facetas de planos de percusión (promedio=1.5) y negativos de lascas (promedio=3) indican también esta producción de lascas. Existen algunos materiales con corteza (n=16) lo cual significa acceso a materia prima. Hay poca evidencia de la preparación de los planos de percusión (n=5) que evidencia que la producción era generalizada.



Figura 13.4 Talla de JOB 14B-2-2-2
(Fotografía por R. Horowitz)

Conclusiones

Los materiales de El Jobillo muestran producción de navajas de obsidiana que proviene de las Tierras Altas; producción de pedernal para lascas, probablemente de material local; y bifaciales, algunos producidos en el sitio y otros que venían ya completos. La cantidad de material es muy baja, lo que puede ser resultado de la ubicación de las excavaciones, las cuales hasta el momento se han centrado en las estructuras más grandes del centro ritual del sitio. Probablemente, podría haber más lítica en los alrededores del sitio y en sus áreas habitacionales.

La Corona

El análisis de los materiales líticos de La Corona de este año proviene de las excavaciones realizadas durante las temporadas de campo 2017 y 2018. Los materiales de años precedentes fueron analizados por Andrieu y Roche (2015) y en un análisis separado, por Horowitz. Las excavaciones durante los años 2017 y 2018 se enfocaron en el epicentro del sitio, específicamente en El Palacio, el Grupo Coronitas y el Sacbe junto con las estructuras cercanas. Este enfoque en el centro del sitio afecta la distribución y la cantidad de lítica en todo el sitio, la cual probablemente sería diferente en las áreas habitacionales más alejadas del epicentro. La mayoría de los materiales líticos de La Corona consistieron de pedernal y piedra caliza (Tabla 13.3). Sin embargo, existe presencia de obsidiana. A continuación, se discutirá primero la obsidiana y luego los materiales de pedernal y piedra caliza en conjunto.

Material	Cantidad
Pedernal	332 (66%)
Piedra caliza	43 (8.6%)
Obsidiana	127 (25.3%)
Total	502 (100%)

Tabla 13.3 Tipo de material de los líticos de La Corona

Obsidiana

La mayoría de obsidiana proveniente de las excavaciones en La Corona se encuentra en forma de navajas (Tabla 13.4; Figura 13.5). Esto sugiere que la obsidiana del sitio era transportada en forma de núcleos para la producción de navajas. De los dos núcleos recuperados del sitio, uno es un núcleo para producir navajas – el cual posee muchos errores de producción, probablemente la razón de su descarte; y el otro es un núcleo general, no para la producción de navajas, lo cual significa algún tipo de acceso a materia prima de obsidiana, pero no en gran cantidad. También hay poca evidencia de talla, y lo que se recuperó puede ser resultado de la producción de navajas y la preparación de núcleos para hacer estos materiales en el sitio. Todos los materiales que no son navajas (excluyendo el ‘otro’) provienen de las excavaciones en el Palacio de La Corona, indicando que se tenía más acceso a la materia prima de obsidiana en relación a otras áreas del sitio. Sin embargo, el tamaño de la muestra no es lo suficientemente grande para establecer esto como una conclusión definitiva.

Forma	Cantidad
Navajas	119 (93.7%)
Talla	5 (3.9%)
Núcleo	2 (1.6%)
Otro	1 (0.8%)
Total	127 (100%)

Tabla 13.4 Forma de material de obsidiana de La Corona

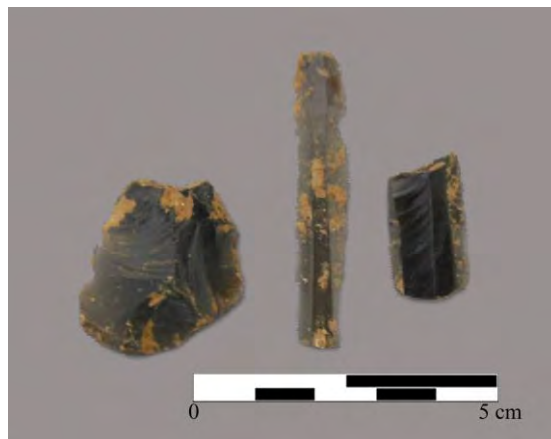


Figura 13.5 Obsidiana de CR21N-4-3-1 de La Corona (Fotografía por R. Horowitz)

La mayoría de las navajas son fragmentos mediales ($n=78$), la minoría son fragmentos distales ($n=12$), algunos son fragmentos proximales ($n=28$), y únicamente hay una navaja completa. Esta distribución de navajas mediales, distales y proximales es común porque uno puede crear más de un segmento medial de una navaja, por tanto, normalmente hay más de esos segmentos. Todas las navajas son de tercera serie, lo que significa que los núcleos estaban siendo transportados al sitio ya preparados para la producción de navajas. Esto concuerda con la evidencia de los núcleos y la talla en el sitio.

En términos de la distribución de las navajas dentro del sitio, la mayoría vienen del Palacio ($n=72$), la minoría vienen del Grupo Coronitas ($n=14$) y algunos provienen del Sacbe junto con los grupos a su alrededor ($n=33$). Con esta cantidad de materiales es difícil llegar a cualquier conclusión. Sin embargo, parece que hay más acceso a la obsidiana en el Palacio. En el futuro, comparaciones con las demás muestras de obsidiana del sitio puede proporcionar una manera de evaluar esta conclusión.

Pedernal y Piedra caliza

La mayoría de los materiales de pedernal y piedra caliza de La Corona son de talla, con algunas herramientas formales incluyendo bifaciales, unifaciales, raspadores y perforadores (Tabla 13.5). El raspador, el perforador y los unifaciales fueron retocados unifacialmente hasta alcanzar su forma.

Los bifaciales son una mezcla de BUG (Figura 13.6), puntas de proyectil (Figura 13.7) y otras formas. La mayoría de los bifaciales se encuentran completos, lo que significa que no hubo mucha producción de estos materiales en las áreas excavadas. Hay una mezcla de materia prima – algunos son de color de café, los cuales son mayormente utilizados como puntas de proyectil; y otros blancos y grises, que tienden a ser BUGs y en algunos casos puntas de proyectil. Parece que el material café no es local, ya que no hay evidencia en la talla de estos materiales (esto es algo que se discute por Andrieu y Roche (2015)). La mayoría de los bifaciales se encuentran fraccionados con evidencia de uso, lo que sugiere que su desecho fue porque estaban fragmentados.

Los bifaciales están distribuidos a través del sitio. La mayoría provienen del Palacio (n=46), la minoría del Grupo Coronitas (n=6), y unos cuantos de las excavaciones en el Sacbe y las estructuras alrededor (n=20). En todas estas ubicaciones se recolectaron tanto BUGs como puntas de proyectil, lo que significa una distribución de ambos a través del sitio. Así como con los materiales de obsidiana, se requiere realizar más investigación para establecer una conclusión definitiva sobre los patrones de distribución de estos materiales en el sitio.

Forma	Cantidad
Talla	294 (78.4%)
Bifacial	72 (19.2%)
Unifacial	3 (.8%)
Núcleo	3 (.8%)
Raspador	1 (.3%)
Perforador	1 (.3%)
Percutor	1 (.3%)
Total	375 (100%)

Tabla 13.5 Forma de material de pedernal y piedra de cal de La Corona



Figura 13.6 BUGs de CR22-7-5-6
(Fotografía por R. Horowitz)

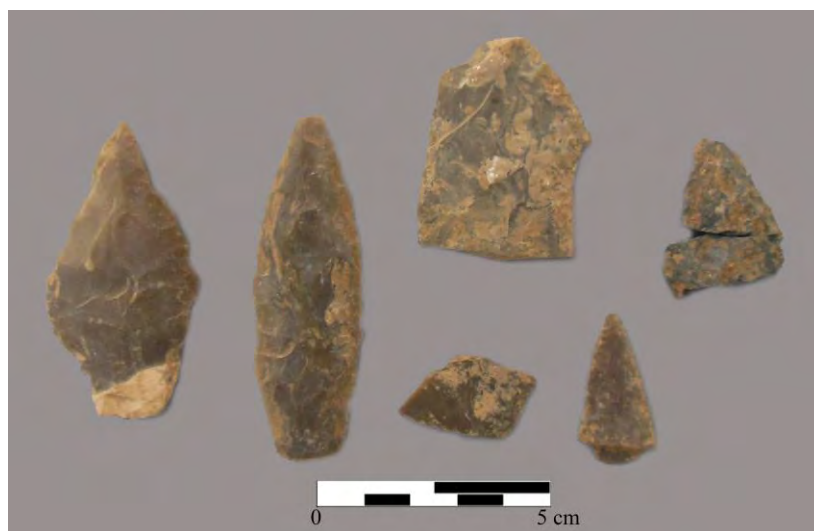


Figura 13.7 Bifaciales de CR21N-5-3-3 de La Corona
(Fotografía por R. Horowitz)

Los núcleos y la talla pueden evidenciar más sobre la producción de materiales en La Corona. De los tres núcleos, dos son probados, sin mucho trabajo, mientras que el tercero es un núcleo general hasta al punto de desecho. Esto significa que hay acceso a la materia prima en forma de núcleos y que sí hubo producción en el sitio. El percutor proporciona más evidencia de producción. La talla muestra que la mayoría es el resultado de la producción generalizada de lascas (Figura 13.8), las cuales vienen de núcleos no preparados. Hay algunas lascas de percutor suave, lo cual indica producción o reparación de bifaciales. Las lascas de percutor suave indican que la mayoría fueron para reparación de bifaciales y no de producción, dado su tamaño y cantidad. En general, la talla indica producción generalizada para herramientas de lascas.

Tipo de producción	Cantidad
Lascas de percutor duro	193 (65.6%)
Otro	61 (20.7%)
Lascas de percutor suave	40 (13.6%)
Total	294 (100%)

Tabla 13.6 Tipo de producción de lascas de La Corona



Figura 13.8 Talla de CR20EC-4-2-2
(Fotografía por R. Horowitz)

En términos de la distribución de estos materiales a través del sitio, lo mayoría provienen del Palacio (n=166), luego del Sacbe y las estructuras a su alrededor (n=84), y por último la minoría del Grupo Coronitas (n=14). Nuevamente, no hay suficiente información al momento para establecer una conclusión sobre la significancia para la distribución de materiales a través del sitio. Sin embargo, con la información presentada aquí, parece que hay algo de producción en algunas áreas del sitio, aunque no mucho en el Grupo Coronitas.

Conclusiones

La lítica excavada de La Corona durante los años 2017 y 2018 no es mucho material, lo que indica que la obsidiana estaba siendo importada al sitio en forma de núcleos para hacer navajas y su distribución se encontraba restringida dentro del sitio. Parece que parte del pedernal estaba siendo producido localmente, mayormente para producir lascas y herramientas de lasca, y había acceso a núcleos de pedernal. A su vez, también existe evidencia de pedernal que estaba siendo importada al sitio en su forma final, mayormente puntas de proyectil – especialmente aquellos fueron producidos en el material de color café. Investigaciones adicionales sobre los materiales líticos de La Corona van a proporcionar más información sobre la producción de la lítica y cómo estaba distribuida a través del sitio.

El Achiotal

Los materiales de El Achiotal que se analizaron este año incluyen los materiales excavados durante las temporadas de campo 2015 al 2018, e incluyen obsidiana, pedernal y piedra caliza. Estos materiales no habían sido estudiados con anterioridad y la mayoría de las excavaciones en El Achiotal durante estos años se enfocaron en el epicentro del sitio, por tanto, la lítica también proviene de estas áreas.

En total, hay 1,731 artefactos líticos, de los cuales, una gran cantidad proviene de un depósito especial que estaba en una tumba saqueada (n=544). La mayoría de los materiales de El Achiotal son de pedernal (Tabla 13.7), con algunos de piedra caliza y obsidiana. La cantidad de obsidiana es menor a los porcentajes de las colecciones del El Jobillo y La Corona; no obstante, si no se incluyeran los materiales de la tumba saqueada, el porcentaje de materiales es 21.7%, lo cual es más similar a los de El Achiotal y La Corona.

Material	Cantidad
Pedernal	1401 (80.9%)
Piedra de cal	72 (4.2%)
Obsidiana	257 (14.8%)
Volcánico de Grano Fino (VGF)	1 (<0.1%)
Total	1731 (100%)

Tabla 13.7 Tipo de material prima de El Achiotal

Obsidiana

La mayoría de la obsidiana de El Achiotal se encuentra en forma de navajas. El único bifacial del área es un bifacial de dos puntas, que proviene de la misma tumba saqueada que contiene la cantidad elevada de pedernal (Figura 13.9). Este es un contexto especial y el bifacial de gran tamaño, por lo que es de uso ceremonial y no de uso cotidiano. El bifacial es de obsidiana verde, lo que significa que su origen es la fuente de Pachuca, en el centro de México. La muesca está constituida por una lasca, que es parte de la colección de talla de obsidiana. El único núcleo es un fragmento de núcleo para navajas. Este núcleo, junto con la cantidad de talla que se encuentra en el sitio, indica que hubo acceso a obsidiana en la forma de núcleos ya preparados para la producción de navajas. La talla también indica que había reducción para navajas y no para otros tipos de materiales. La talla viene de diferentes áreas del sitio, indicando que la distribución de obsidiana no estaba restringida únicamente para el centro del sitio.

Forma	Cantidad
Navaja	232 (90.3%)
Muesca	1 (.4%)
Núcleo	1 (.4%)
Bifacial	1 (.4%)
Talla	22 (8.6%)
Total	257 (100%)

Tabla 13.8 Forma de materiales de obsidiana de Achiotal

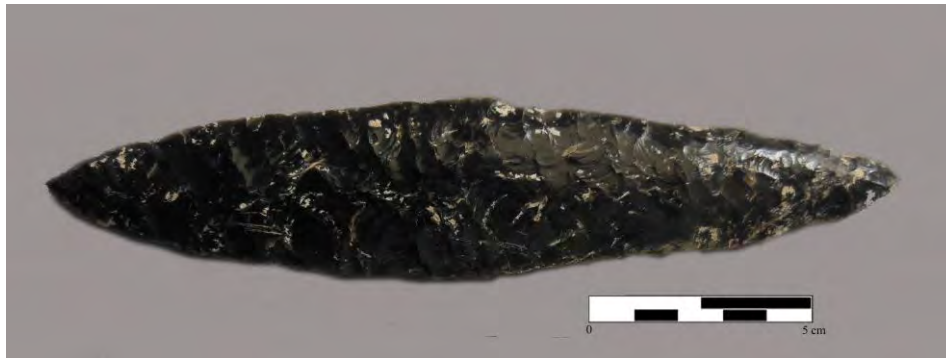


Figura 13. 9 Bifacial de dos puntas de ACH3X-8-1
(Fotografía por R. Horowitz)

Las navajas también están distribuidas a través del centro del sitio (Figura 13.10), ya que hay navajas en varias áreas diferentes. La cantidad elevada de navajas es típica de otros sitios en las Tierras Bajas, porque vienen en la forma de núcleos y se producen las navajas desde esta forma. Casi todas estas navajas son de tercera serie, lo que significa que eran producidas de núcleos ya preparados. Hay tres navajas de rejuvenecimiento, lo cual indica la reducción de núcleos en El Achiotal. Los tres provienen de diferentes áreas del sitio, lo cual no indica mucho sobre la distribución de producción de obsidiana en del sitio.

Como en muchas colecciones, la mayoría de las navajas son fragmentos mediales (n=124). Sin embargo, sí se encuentran navajas enteras (n=4), fragmentos proximales (n=58) y fragmentos distales (n=45). La cantidad elevada de segmentos mediales de navajas es muy común, porque puede haber más de un fragmento medial, pero solo puede haber una parte próxima y distal. La obsidiana muestra acceso a materiales de obsidiana en la forma de núcleos para hacer navajas y no hay evidencia a acceso a este material en otras formas.



Figura 13.10 Obsidiana de Achiotal ACH3A-4-2
(Fotografía por R. Horowitz)

Pedernal y piedra caliza

La mayoría de los materiales de pedernal y piedra caliza son talla (Tabla 13.9), con algunos ejemplos de herramientas más formales. Las herramientas formales incluyen muescas, perforadores y lascas retocadas (Tabla 13.9). Todas estas formas tienen retoque unifacial en lascas para producir las herramientas. Se recuperaron navajas de pedernal, lo cual no es muy común en esta colección. La cantidad baja de estos materiales significa que no estaban siendo utilizados en grandes cantidades.

La cantidad de bifaciales en esta colección es baja en comparación con las proporciones de La Corona y El Jobillo. La mayoría son BUG y otros bifaciales grandes (Figura 13.11). Solo hay cinco ejemplos de puntas de proyectil. Este es un patrón diferente al de los otros sitios, en donde hay porcentajes más altos de puntas de proyectil. Esto puede estar relacionado a la variación de fechamiento de estos sitios. La mayoría de la ocupación de El Achiotal es durante el Preclásico Tardío y Clásico Temprano, por lo que normalmente hay menor cantidad de puntas de proyectil durante el Preclásico en comparación a las cantidades durante el Período Clásico, especialmente durante el Clásico Tardío. La mayoría de los bifaciales se encuentran completos, pero hay algunos que fueron desechados durante su producción, lo que significa que había cierta cantidad de producción de bifaciales. Se puede saber más sobre esto con el estudio de la talla.

Forma	Cantidad
Talla	1410 (95.7%)
Bifaciales	46 (3.1%)
Núcleo	3 (0.2%)
Lasca retocada	1 (<0.1%)
Perforador	4 (0.3%)
Muesca	2 (<0.1%)
Navaja	5 (0.3%)
Excéntricos	3 (0.2%)
Total	1474 (100%)

Tabla 13.9 Forma de materiales de pedernal y piedra caliza

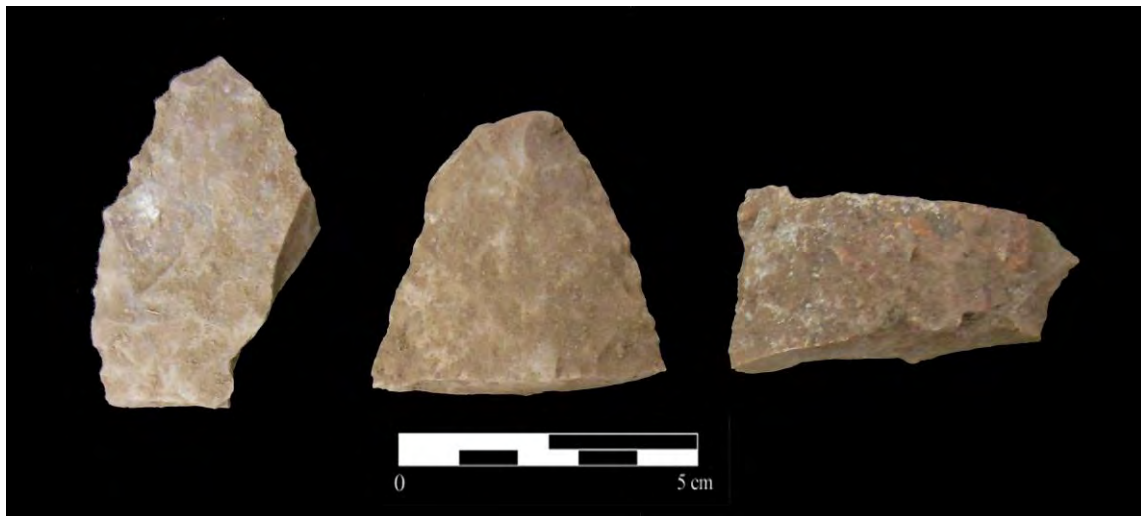


Figura 13. 11 Bifaciales de ACH-99-26-2
(Fotografía por R. Horowitz)

La talla y los núcleos proveen más información sobre la producción de materiales en El Achiotal. Los tres núcleos indican reducción generalizada para la producción de lascas; hay dos núcleos generalizados y uno que solo es probado. Uno de los núcleos es de pedernal de color café, el cual probablemente no sea local, ya que la mayoría del material no es de este tipo.

Las lascas también indican la presencia de producción generalizada, porque la mayoría son lascas de percutor duro (n=884), aunque hay algunos de percutor suave (n=300). Un total de 197 de éstas provienen de la tumba saqueada y serán discutidos en la próxima sección. El resto de lascas y la presencia de bifaciales no terminados indica que sí ocurrió algo de producción bifacial en El Achiotal. El restante de las lascas son fragmentos que no pueden ser atribuidos a un tipo de producción (n=226).

La talla indica producción generalizada, lo cual también se encuentra apoyado por la presencia de pocas facetas del plano de producción (promedio = 1.3) y pocos negativos de lascas (promedio 2.3) (Figura 13.12). La reducción generalizada es típica de reducción para herramientas de lascas, que pudieron ser usadas por diversas razones. Esta producción probablemente es un reflejo la producción de los residentes del sitio.



Figura 13.12 Talla de ACH99-22-1
(Fotografía por R. Horowitz)

Excéntricos

Hay cuatro excéntricos de pedernal en los materiales analizados de El Achiotal. Tres provienen de Estructura 5C-08 y el otro de la Estructura 5C-02. Los cuatro excéntricos se encuentran completos y todos están producidos iniciando con un bifacial. Dos de los excéntricos que provienen de Estructura 5C-08 tienen una forma muy similar (Figuras 13.13, 13.14) y el otro se asemeja a una macronavaja peduncular, pero la tecnología de producción es bifacial y no de navaja (Figura 13.15). El que proviene de Estructura 5C-02 tiene tecnología de producción similar a los demás, pero difiere en su forma (Figura 13.16). Algo interesante sobre estos excéntricos es su gran tamaño, que no es necesariamente normal para excéntricos. También, la materia prima de la cual están manufacturados no es muy buena y puede ser que sean de manufactura local debido a la misma materia prima.



Figura 13.13 Excéntrico de ACH 3A-1-12-2
(Fotografía por R. Horowitz)



Figura 13.14 Excéntrico de ACH 3A-1-12-1
(Fotografía por R. Horowitz)



Figura 13.15 Excéntrico que parece macronavaja pedunculada, ACH3O-1-12-3
(Fotografía por R. Horowitz)



Figura 13.16 Excéntrico de ACH 30-12-4
(Fotografía por R. Horowitz)

Materiales de la tumba saqueada en la Estructura 5C-08

Esta sección trata del pedernal que fue recuperado durante la limpieza de Saqueo 8 de la Estructura 5C-08 (Arredondo 2018). El material lítico proviene de la parte superior de una cámara funeraria que estaba perturbada por tres diferentes túneles de saqueo (Arredondo 2018). Este material no representa la cantidad total de materiales de la tumba, solo los que fueron recuperados en la limpieza de dichos túneles. Sin embargo, sí es representativa de la colección, pero no es la cantidad total de estos materiales

Grandes depósitos de talla y herramientas líticas se encuentran en las Tierras Bajas, normalmente en asociación con tumbas elites (Andrieu 2011). Estos depósitos son restringidos al periodo Clásico y mayormente consisten en la talla de la producción de bifaciales de pedernal (ver Andrieu 2011, 2016; Coe 1988; Moholy Nagy 1997; Hall 1989). Excavaciones en La Corona ubicaron uno de estos depósitos (Barron 2013, 2016), pero en vez de producción de bifaciales, estos depósitos consistían en núcleos generalizados y lascas del principio de producción (Andrieu y Roche 2015). Andrieu y Roche (2015) sugieren que esto fue resultado de la falta de pedernal en el área, lo cual resulta en la falta de talla, pues usaron materiales locales, que en este caso fueron núcleos y lascas. Otro ejemplo de estos tipos de depósitos en esta área proviene de El Perú/Waka', donde se encontró una tumba con lascas de la producción de bifaciales y muchos bifaciales fragmentados (Hurby y Rich 2014). El material de la cámara funeraria representa una colección grande (n=544), aunque no es la totalidad de todo el depósito.

La mayoría de la colección son lascas (Tabla 13.10), con un bifacial de obsidiana (discutido anteriormente) y algunas navajas. Las navajas son de obsidiana y de pedernal. La talla será el enfoque de la discusión porque es la mayoría del material.

Forma	Cantidad
Navaja	4 (2 pedernal; 2 obsidiana) (0.7%)
Muesca	2 (0.4%)
Bifacial	1 (0.2%)
Talla	537 (98.7%)
Total	544 (100%)

Tabla 13.10 Forma de materiales de Saqueo 8, Estructura 5C-8

La talla es una mezcla de materiales de percutor duro y de percutor suave (Tabla 13.11). Los materiales de percutor suave son el desecho de la producción de los bifaciales (Figura 13.17, 13.18). Los de percutor duro son de la producción generalizada de lascas, como las demás lascas en otros lados del sitio. Esta colección es un poco diferente a otros depósitos similares porque no es solamente materiales de producción de bifaciales, sino una mezcla. Es posible que provienen de un taller de producción, porque muchos talleres de producción de los materiales bifaciales también muestran evidencia de otros tipos de producción. O bien, puede ser evidencia de la producción de bifaciales desde núcleos primarios. Hay 106 lascas de percutor duro con corteza, pero solo 29 de percutor suave, lo cual indica la reducción inicial de núcleos con un percutor duro para quitar la corteza y sucesivamente con un percutor suave siguiendo la reducción.



Figura 13.17 Talla de depósito, ACH3X-8-2
(Fotografía por R. Horowitz)



Figura 13.18 Talla de depósito, ACH3X-8-1
(Fotografía por R. Horowitz)

Forma de Talla	Cantidad
Percutor duro	254 (47.3%)
Percutor suave	197 (36.7%)
Otro	86 (16%)
Total	537 (100 %)

Tabla 13.11 Forma de talla de Saqueo 8, Estructura 5C-8

El tamaño de las lascas no indica reducción *in situ*, y si este fuera el caso, los materiales serían más pequeños. No obstante, este puede ser el resultado de la manera de recolección, ya que el material fue cernido a través de una malla de ¼” y los objetos más pequeños no estarían representados en este material recuperado. Probablemente los materiales fueron traídos de un taller de producción de otra localidad en El Achiotal. Esta colección de una cámara funeraria representa otro ejemplo de este tipo de depósitos que se encuentran por encima de las tumbas elitistas en las Tierras Bajas Mayas. Este sigue los patrones de otros depósitos con evidencia de la producción bifacial, aunque no se puede comparar la cantidad de material con otros ejemplos porque se tiene todo el material del depósito original, pero en otras maneras comparativas es muy similar a otros depósitos de este tipo.

Conclusiones

El material de El Achiotal tiene una variedad de materiales líticos y es diferente a las colecciones de La Corona y El Jobillo en la cantidad y tipo de material. Hay menor presencia de bifaciales (en el porcentaje de la colección), lo cual puede estar relacionado al período de tiempo de los depósitos o la ubicación de las excavaciones en el sitio. En total, hay evidencia para la reducción generalizada de materiales líticos y poca evidencia de producción de bifaciales.

Conclusiones Finales

El análisis de materiales líticos durante la Temporada 2018 provee más información sobre la importancia de la lítica y la variabilidad en materiales líticos entre los diferentes sitios investigados. La Corona tiene poca evidencia de producción en las áreas excavadas, pero hay presencia de muchos bifaciales, que parecieran que estaban siendo producidos en otras áreas – quizás áreas del sitio o en algún lugar más lejos – lo cual es algo que se puede investigar en el futuro. El Achiotal también muestra poca evidencia de producción generalizada, poca de producción de bifaciales, pero con menor cantidad de herramientas formales. Esto puede ser un resultado de la ubicación de las excavaciones o un patrón diferente en El Achiotal, que también es algo que vale la pena más investigar con una mirada más comprensiva de los materiales excavados hasta ahora. Hay muchas rutas de investigación para estos materiales, particularmente su distribución a través de los diferentes sitios y comparaciones entre los sitios diferentes, que requieren el análisis total de las colecciones.

SÍNTESIS Y CONCLUSIONES DE LA TEMPORADA DE CAMPO 2018

Marcello Canuto y Tomás Barrientos Q.

Introducción

Después de once temporadas de campo a cargo del Proyecto Regional Arqueológico La Corona, lo que antes era una región prácticamente desconocida en términos arqueológicos, ahora constituye una zona de gran importancia para entender los procesos históricos, sociales, políticos y ambientales de las Tierras Bajas Mayas en su época prehispánica. La investigación del área ha incluido diversas actividades, entre las que destacan los reconocimientos regionales, excavaciones y análisis de materiales en laboratorio, pero recientemente se cuenta con el complemento de 28 nuevas fechas absolutas (radiocarbono) y modelos de terreno a base de LiDAR que cubren un área aproximada de 410 km². En La Corona destaca la presencia de una alta cantidad de inscripciones jeroglíficas en distintos tipos de monumentos (estelas, altares, paneles, escalinatas jeroglíficas y otros tipos de elementos), que si bien se esperaba por los ejemplares extraídos ilícitamente durante la segunda mitad del siglo XX, ha sobrepasado cualquier expectativa, constituyéndose así en uno de los mayores corpus de inscripciones conocidos en las Tierras Bajas. En general, todos estos nuevos datos han permitido construir un panorama regional y cronológico actualizado.

En cuanto al impacto de los datos LiDAR, estas imágenes han sido importantes para analizar los procesos demográficos y sociopolíticos en distintas épocas. Antes del inicio del Proyecto PRALC, solamente se conocían dos sitios en la zona, y en los siguientes cinco años se registraron unos 40 sitios más (Chiriboga 2013). Aun así, la percepción del asentamiento en La Corona y sus alrededores mejoró significativamente con las imágenes LiDAR, gracias al apoyo de la Fundación PACUNAM, a través del proyecto PACUNAM LiDAR Initiative (PLI) (Canuto y Barrientos 2018) (Figura 14.1).

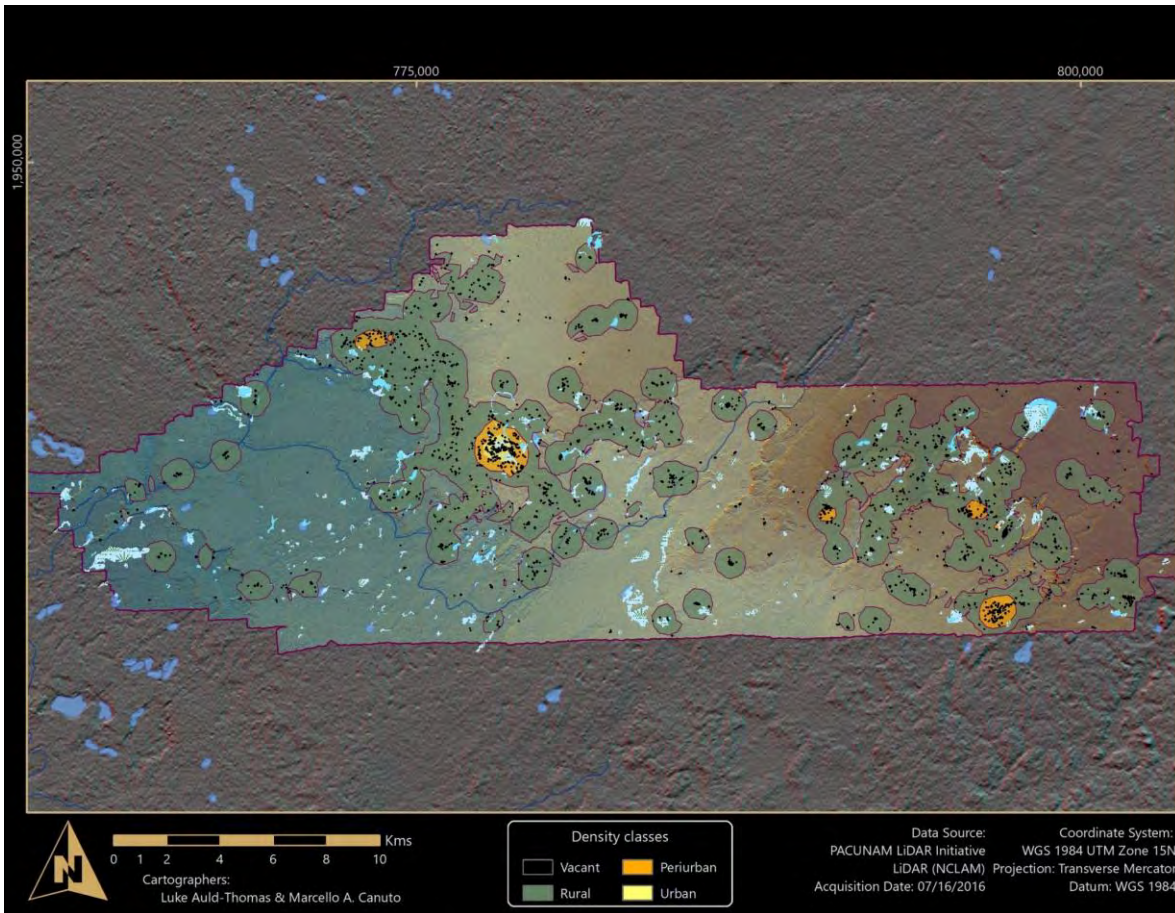


Figura 14.1 Región mapeada con sensores LiDAR, mostrando agrupamientos de asentamiento (Mapa por M. Canuto)

Síntesis de la Temporada 2018

La Temporada de excavaciones e investigación fue desarrollada entre el 12 de mayo y el 19 de junio de 2018, la cual consistió en 33 días de trabajo, más 6 días de preparación y cierre de campamento (distribuidos 3 días previos a la temporada y 3 días posteriores).

En general, PRALC contó esta temporada con el trabajo de 5 profesionales graduados guatemaltecos y extranjeros, así como 14 estudiantes nacionales y extranjeros. En cuanto al personal operativo, se contó con 35 técnicos (excavadores, tuneleros y ayudantes) y 9 personas en el equipo administrativo y de logística (administración, cocina y campamento) y cuatro en vigilancia, haciendo un total de 67 personas. La dirección estuvo a cargo del Dr. Tomas Barrientos y el Dr. Marcello Canuto.

Resultados de la Temporada 2018

Trabajos derivados de las imágenes LiDAR

Gracias al Proyecto PACUNAM LiDAR *Initiative* (PLI), se contó con imágenes LiDAR de la región comprendida entre La Corona y El Achiotal (Figura 14.1). En el año 2018 se procedió a una verificación de rasgos en la región de El Achiotal, por parte de Luke Auld-Thomas y estudiantes de la Universidad del Valle de Guatemala (Figura 14.2). La investigación de campo estableció que la identificación de rasgos llevó a una subestimación de la cantidad de estructuras identificadas. En general, el número total de estructuras identificadas por el reconocimiento en campo es aproximadamente un 20% más alto que el número de estructuras de identificación remota, tomando en cuenta el conjunto de datos de 2017. Al evaluar la fidelidad a nivel de grupos en lugar de estructuras minimiza en gran medida el impacto, ya que únicamente un grupo de múltiples estructuras no se identificó y no se identificó ningún grupo de estructuras identificadas-remotamente con error.

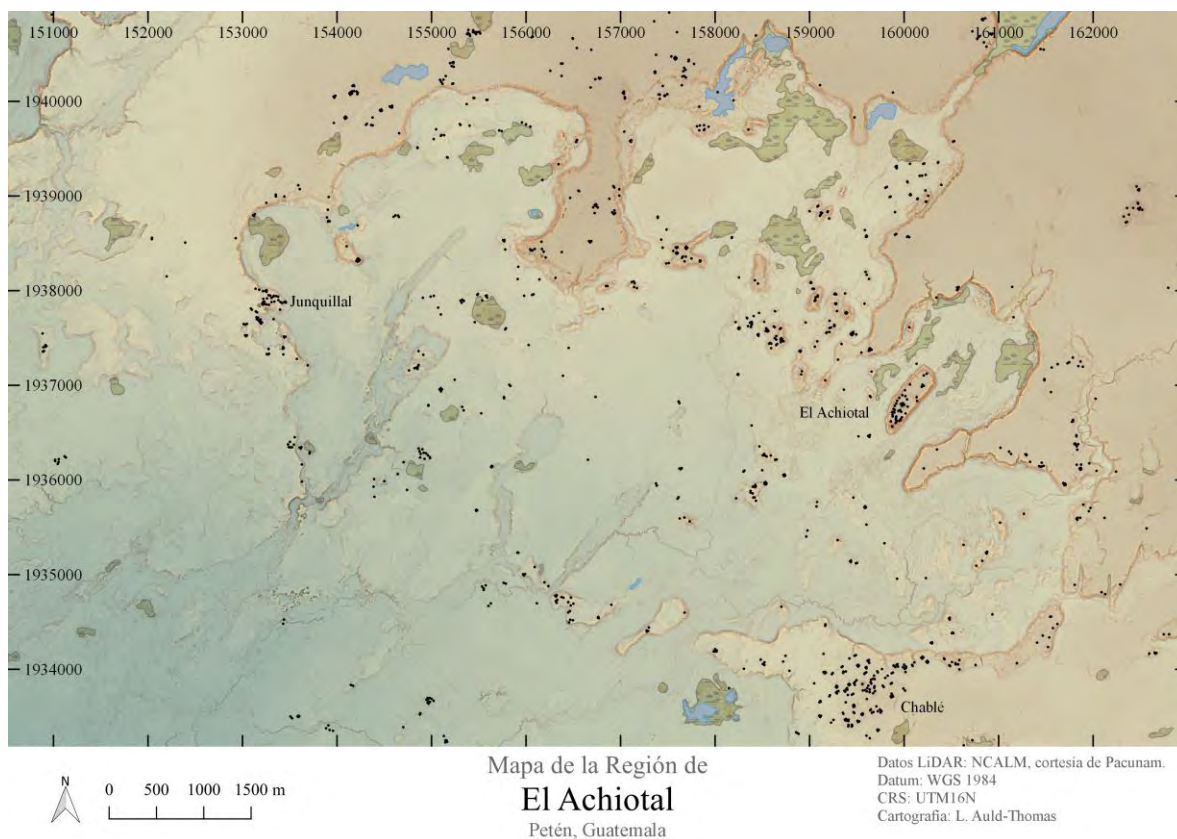


Figura 14.2 Imagen LiDAR de la región de El Achiotal (Mapa por L. Auld-Thomas)

El número limitado de excavaciones solo permitió establecer algunas observaciones cronológicas en la zona, que cubre los periodos del Preclásico Tardío, Clásico Temprano y Clásico Tardío. Pocos de los contextos excavados hasta ahora fuera del núcleo del sitio de El Achiotal representan una secuencia continua y en el sitio de Chablé, se puede identificar un posible hiato en la construcción/renovación de la plaza principal durante la última parte del Clásico Temprano. La presencia de múltiples fragmentos de vasijas estilo Códice en un basurero es notable. Los resultados de las pruebas de pala indican una fuerte ocupación durante el período Clásico Tardío en Chablé.

Investigaciones en El Achiotal

Se continuó la excavación de la Estructura 5C-08 (Operación ACH3C) por parte de Ernesto Arredondo, con lo que finalmente se definieron tres etapas constructivas: 1) una etapa temprana, de la transición del Preclásico Tardío en su fase terminal (100-250 d.C.) al Clásico Temprano (250-600 d.C.); 2) una segunda etapa que cambió de eje respecto de la estructura anterior también ocurrida durante el Clásico Temprano; y 3) una última etapa que cubrió la fachada frontal de la anterior, quizás como una construcción no concluida o para enfocar la atención a la nueva estructura adosada contendría la Estela 1. Se determinó también que la Estructura denominada *Tok'al* (Auld-Thomas 2017) corresponde a un momento constructivo que se ha denominado provisionalmente como Estructura 5C-08-Sub-2a. De igual forma se cree que la estructura denominada como *K'in* corresponde a la misma Estructura Mus, y que *Ha'al*, es un muro de contención de material de relleno que la cubre.

En cuanto a la cámara funeraria, debiera estar asociada al personaje de la Estela 1 de El Achiotal (con una fecha de 418 d.C.) y las otras cistas debieran estar en una cercanía cronológica esperada en cuanto su disposición espacial y de estilo, apuntando a personajes de relevancia para el sitio, de un rango menor al individuo de la cámara o al menos considerados con un rango distinto al primero. En base a esto se puede señalar a la segunda etapa constructiva (Estructura 5C-08-Sub-1) como el resultado del cambio de poderes políticos ocurridos en la nueva dinastía de Tikal, mientras que la tercera fase, Estructura 5C-08-Final, sería una vuelta a los viejos lazos dinásticos. Una segunda opción colocaría a la segunda etapa de la Estructura 5C-08 como la asociada a la cámara funeraria, siendo ésta intrusiva a la primera etapa y rompiendo con la vieja tradición local

Investigaciones en El Jobillo

Las investigaciones de esta temporada en el sitio de El Jobillo confirmaron una ocupación desde el Preclásico Tardío hasta finales del Clásico Tardío, con una ocupación representativa durante el Clásico Temprano (52% de estructuras y plazas investigadas poseen cerámica de este período). Durante el Clásico Tardío, 76% de contextos investigados contienen cerámica de este período. Esto muestra que, aunque hubo una población asentada desde el Preclásico Tardío y Clásico Temprano, este sitio parece haber sido habitado principalmente durante el Clásico Tardío.

En la Estructura 8M-1 se identificaron tres grandes fases constructivas (Figura 14.3); las dos etapas más tempranas están representadas por estructuras con fachadas estucadas, construidas durante el Preclásico Tardío y/o Clásico Temprano. Posteriormente, la mayor ampliación de la Estructura 8M-1 fue realizada durante el Clásico Tardío y se documentaron cuatro modificaciones a lo largo de este período. Inicialmente, el edificio alcanzó una altura entre 4 y 5 m. y fue agrandado 0.50 m más de altura. La tercera modificación contó con una banqueta o escalón, la cual se encontraba pintada originalmente de rojo y negro. Finalmente, como parte de la cuarta y última remodelación, el edificio fue ampliado significativamente para medir 17 m N-S y elevado aproximadamente 0.20 m para alcanzar una altura de 6.5 m desde el piso de plaza. Sin embargo, los cambios en la calidad de los materiales constructivos utilizados muestran un cambio significativo en acceso a recursos durante el Clásico Tardío, debido a cambios sociales a nivel local y posiblemente regional durante este período.

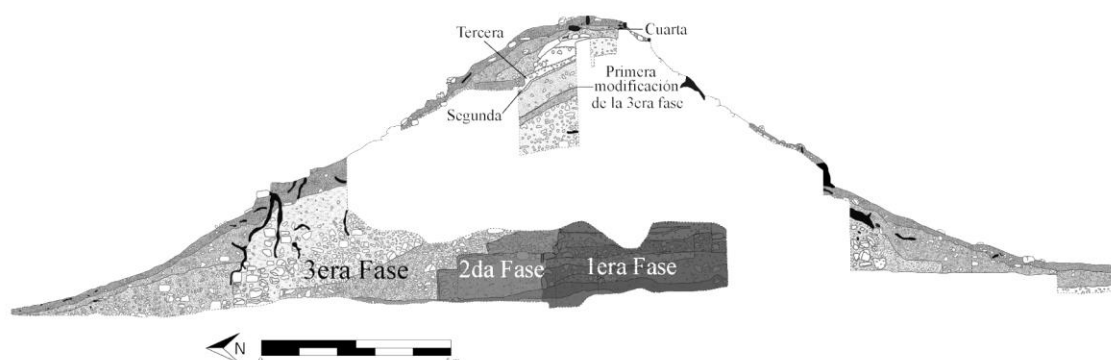


Figura 14.3 Perfil sección este-oeste de la Estructura 8M-1 mostrando temporalidades y fases constructivas (Dibujo por J. Ponce)

Investigaciones en el Grupo Coronitas

En esta temporada se continuó la excavación de la Estructura 13R-45 y el Altar 5, descubierto en 2017. Las excavaciones realizadas por Alejandro González permitieron descubrir por completo el monumento, cortando el árbol de ramón ubicado por encima de él, así como sus raíces, exponiendo así todas sus dimensiones (Figura 14.4).

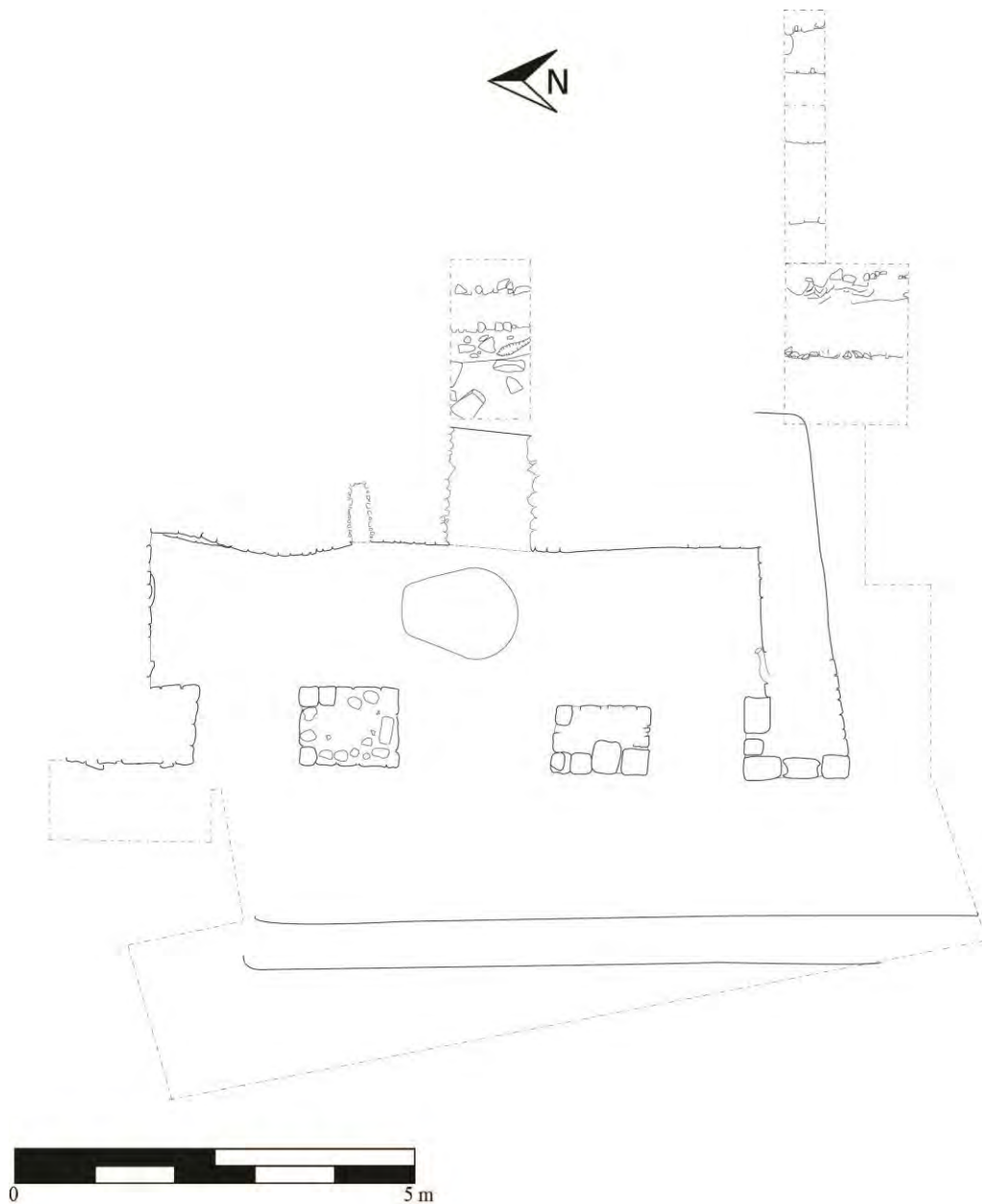


Figura 14.4 Planta de excavaciones de la Estructura 13R-45, con la ubicación del Altar 5 (Dibujo por A. Cajas, modificado y digitalizado por A. González)

Se determinó que la extensión de la Estructura 13R-45 está asociada directamente a la fachada de la Estructura 13R-2 y que contiene tres fases constructivas. La primera corresponde al Piso 3 y es probable que para entonces no fuera un rasgo arquitectónico independiente, sino una plataforma agregada a la Estructura 13R-2, que fue cortada para ubicar el Altar 5. Esto fue precedido por la colocación de la ofrenda de 14 conchas de agua dulce. Posiblemente este acto esté relacionado al texto del Panel 1. La segunda fase corresponde al Piso 2, que cubrió todo el Piso 3 y rodeó el Altar 5. La tercera fase corresponde al Piso 3, el cual cubrió el Piso 2 por completo e igualmente rodeó el Altar 5. Sobre este piso se levantó formalmente el santuario que contó con tres entradas en su fachada, y que clausuró el acceso a la Estructura 13R-2. Una posible cuarta fase sería la colocación de un muro que acortaría las dimensiones originales del cuarto, clausurando aproximadamente la mitad del mismo y agregando el techo abovedado. En este momento se fechan rituales de quema que se reflejan en los dos lotes de tiestos *in situ* encontrados dentro del cuarto. Los tres depósitos son consistentes con el período Clásico Tardío, específicamente a mediados del mismo.

El Altar 5 fue retirado de su lugar original y con la asesoría de Edwin Pérez fue trasladado hasta el Museo Nacional de Arqueología y Etnología, donde fue puesto en exhibición después de una conferencia de prensa (Figura 14.5). También se limpió cuidadosamente el relieve, lo que reveló muchos detalles epigráficos e iconográficos (Figura 14.6), lo que ha permitido su interpretación histórica con la asesoría de David Stuart. La inscripción del altar indica que el gobernante de La Corona *Chak Tok Ich'aak* viajó a un lugar llamado *Baaktuunil* para celebrar el Fin de Período 9.5.10.0.0, en el año 544 d.C., para lo cual se usó el verbo inusual *k'otoy* (“él llegó allí”). El altar también indica que este gobernante está sentado sobre un registro basal que puede interpretarse como el lugar llamado *Wakmihnal*, de carácter mitológico pero que puede referirse a un santuario o templo específico.

Este monumento demuestra que *Chak Tok Ich'aak* fue un actor político principal en la región durante la mitad del siglo VI d.C., ya que gobernó los sitios de La Corona y El Perú, asegurando el control del occidente de Peten para los intereses hegemónicos de la Dinastía *Kaanul*.



Figura 14.5 Presentación oficial del Altar 5 de La Corona en el Museo Nacional de Arqueología y Etnología (Fotografía por UVG)



Figura 14.6 Altar 5 de La Corona, con elementos iconográficos y texto resaltados (Fotografía por R. González y T. Barrientos)

Investigaciones en el Grupo Tortugas

En esta Temporada 2018 se llevaron a cabo excavaciones en el Grupo 13_AR26_10, ahora identificado como Grupo Tortugas, él se encuentra en el extremo noreste de la calzada de La Corona, a 600 m noreste del Palacio, y está compuesto por cinco estructuras principales, dos de ellas piramidales, tres alargadas y una plataforma baja. Las investigaciones de Marissa López determinaron que el Grupo Tortuga fue construido sobre roca madre nivelada a través de una nivelación de barro compacto a lo largo de toda la plaza. La mayoría de pisos se encontraron en un mal estado de conservación, sin embargo el material asociado define una ocupación del grupo durante Clásico Temprano y Clásico Tardío. Destacó la presencia de un piso gris, con alta cantidad de ceniza, frente a las estructuras 12P-29, 12P-31 y 12P-30. La presencia de una estela lisa, el Entierro 27 y otros rasgos asociados a la Estructura 12P-29, sugiere que las actividades fueron rituales o ceremoniales, reflejando la importancia del grupo habitado por personas de alto rango. Las excavaciones de Kirsty Escalante se enfocaron en la Estructura 12P-31, donde se identificaron 3 pisos distintos y los entierros 24, 25, y 26, todos fechados para el Clásico Tardío (Figura 14.7).



Figura 14.7 Entierros 24, 25, y 26 (Fotografía por K. Escalante)

Interpretaciones Finales y Conclusiones de la Temporada 2018

A continuación, se presenta una síntesis cronológica de la región noroccidental de Petén, haciendo referencia a varias interpretaciones previas, pero ahora interrelacionadas de una mejor forma, gracias a los ajustes recientes realizados mediante el análisis de radiocarbono de muestras de carbón y hueso recuperados de rellenos de etapas constructivas, entierros y otros rasgos cuya ubicación temporal no había sido posible determinarla con exactitud. Aunque algunos de los datos aquí presentados modifican interpretaciones publicadas previamente (Barrientos et al 2011; Canuto et al. 2012), es claro que con estudios futuros también están susceptibles a cambios. Se reconoce entonces que la naturaleza de los datos e inferencias arqueológicas no es estática y por lo tanto tienen un carácter cambiante, a medida que se realicen nuevas investigaciones.

Preclásico Tardío (300 a.C. - 200 d.C.)

El asentamiento temprano en el Noroccidente de Petén se ha evidenciado desde el período Preclásico Medio, en algunos sitios de la región como Los Costales (Chiriboga 2013:41-43), pero con los datos disponibles al momento todavía se considera una ocupación bastante modesta, ya que ninguno de los sitios mayores ha presentado depósitos fechados para este período. Por lo tanto es durante el Preclásico Tardío que se tienen evidencias más claras de asentamientos formales, especialmente en los sitios de El Achiotal y La Cariba.

Las excavaciones en El Achiotal y sus alrededores permiten definir este centro como el más importante de la zona durante el Preclásico Tardío, por lo que se considera también que pudo fungir como una "capital regional" o sede de una entidad política independiente. Además de los numerosos fragmentos cerámicos recuperados en pozos de sondeo por todo el sitio de El Achiotal (Acuña 2013:90-91), las investigaciones en las estructuras 5C-01 y 5C-08 han permitido definir que la configuración del epicentro del sitio data para este momento, y que las modificaciones y adiciones posteriores mantuvieron el patrón básico original, donde destacan éstos y otros edificios ubicados al sur de la meseta donde se ubica el sitio (Figura 14.8).



Figura 14.8 Mapa del sitio El Achiotal, basado en datos LiDAR (Mapa por L. Auld-Thomas)

Las investigaciones en la Estructura 5C-01 han definido una primera versión que constituye una pequeña acrópolis triádica, conformada por un basamento principal que sostuvo varios edificios que formaron un patio cerrado, el cual fue creciendo a través del tiempo en distintos episodios, tal como se ha documentado con el Grupo H de Uaxactun. En su primera fase, fechada para la primera parte del Preclásico Tardío (300 a.C.-50 d.C.), destaca la Estructura 5C-01-sub 4, conocida como "Jonon" o "Casa del Bulto", decorada con

pintura mural en sus esquinas, con motivos que evocan los bultos ceremoniales que son característicos en la cosmovisión y religión mesoamericana (Acuña 2013, Guernsey y Reilly, 2006), especialmente como símbolos de poder de gobernantes. La Casa del Bulto fue ubicada al frente de la plataforma, como parte del conjunto triádico y la parte sur fue dominada por la Estructura 5C-01-sub 8, denominado "Cacao", cuya fachada fue decorada con dos grandes mascarones que representan a la deidad conocida como "Ave Principal", pintados con varios colores (Arredondo et al. 2018: 316). La plataforma que sostuvo este edificio también fue decorada con un pequeño mascarón en su escalinata de acceso, el cual contiene elementos que lo relacionan con las deidades terrestres.

La Estructura 5C-08, contigua a la anterior, también presenta construcciones importantes para el Preclásico Tardío, evidenciada por la escalinata bien conservada de su primera fase. Sin embargo destaca la presencia de la Estructura "Pet", ubicada en el lado sur y cuya planta es de forma circular, conteniendo muros de mampostería (Chatelain y Auld-Thomas 2017). Aunque se conocen muchos ejemplos de plataformas circulares en la región Maya, son muy raros los casos de edificios de mampostería de esta forma.

Fuera del epicentro, el asentamiento parece extenderse a otras dos áreas que han sido identificadas en las imágenes LiDAR, y que constituyen los sitios de Chablé y Zancudero (Auld-Thomas 2018) (Figura 14.9). Este último parece conformarse por un templo triádico de grandes dimensiones, pero con poco asentamiento alrededor. En el caso de Chablé, antes conocido como Zoilo Cilis, es el mayor sitio de la zona y algunos pozos de sondeo indican una ocupación del Preclásico Tardío, evidenciada por cerámica y pisos gruesos de estuco. No obstante, por ahora no se puede determinar la extensión de la ocupación en este momento.

Aunque el sitio de La Corona no cuenta con ocupación tan temprana, los sitios de El Jobillo y La Cariba si la tienen. En El Jobillo parece haber sido una ocupación modesta, ya que la cerámica preclásica solamente ha aparecido en contextos mezclados y solamente en el Grupo B (Ponce 2017: 197-8). Al contrario, La Cariba tiene evidencia significativa, por lo que no hay duda que fue el principal centro en la región de La Corona. Las excavaciones en este sitio han mostrado que la mayoría de la arquitectura corresponde al Preclásico Tardío, en especial la Plaza Principal, cuya nivelación y la construcción de la Estructura 20M-1 constituyó el mayor esfuerzo constructivo en la historia del sitio (Chatelain y Auld-Thomas 2017).

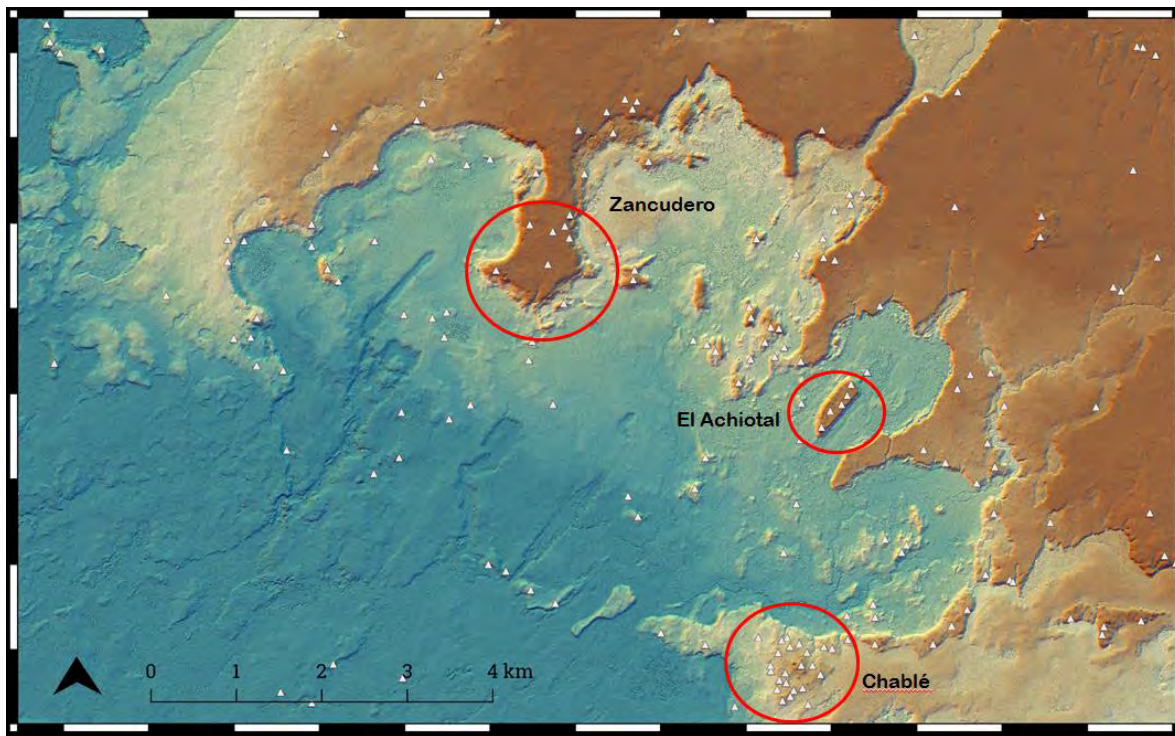


Figura 14.9 Mapa de la región de El Achiotal, basado en datos LiDAR (Mapa por L. Auld-Thomas)

En resumen, por ahora se puede reconstruir el panorama general de la región mediante la presencia de dos centros principales: El Achiotal al este y La Cariba al oeste. En cuanto a El Achiotal, tomando en cuenta los sitios cercanos de Zancudero y Chablé, constituye el centro de mayor tamaño en toda la región, y hay que considerar que se encuentra muy cerca de la región de El Mirador, en especial con el sitio de Xulnal. Las dimensiones de éste y otros sitios como El Tintal podrían sugerir que El Achiotal pudo formar parte de la entidad política de El Mirador o estos otros sitios, o que fue absorbida en algún momento (Figura 14.10). Sin embargo, las características del asentamiento y la arquitectura del epicentro indican lo contrario, ya que a pesar de contener elementos en común, refleja una planificación distinta. Como se verá más adelante, la continuidad de la ocupación en El Achiotal y sus rasgos del Clásico Temprano sustentan la idea de un centro políticamente importante, que dominó una parte del Noroccidente de Petén, por lo menos de unos 150 km², entre la Laguna Chablé y el Río Chocop. Por lo tanto su influencia no fue tan extensa como para incluir sitios como La Cariba, por lo que éste y otros sitios de dimensiones similares o menores se asentaron de una forma dispersa y con pocos habitantes en el Preclásico Tardío.

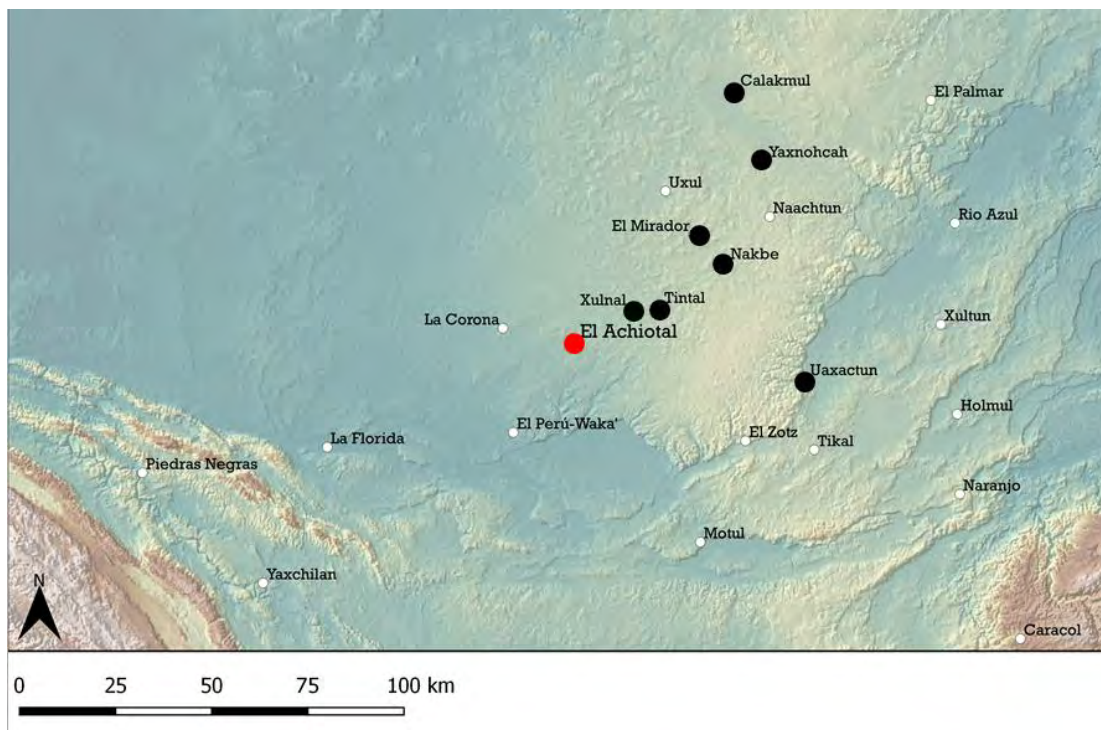


Figura 14.10 Mapa mostrando sitios Preclásicos importantes (Mapa por L. Auld-Thomas)

Preclásico Terminal / Protoclásico (200 d.C. - 300 d.C.)

Este momento transicional entre el Preclásico y Clásico presenta diferentes características a lo largo del Área Maya, por lo que varios autores han cuestionado su definición como un período. En el caso del Noroccidente de Petén, es un momento importante porque a pesar de mostrar cambios arquitectónicos y políticos en El Achiotal, no hay evidencia de abandono como en otros sitios, en especial la región vecina de El Mirador. En el área de La Corona, el sitio La Cariba siguió siendo el centro principal, el cual tampoco sufrió de un proceso de abandono. En lugar de abandonarse, el sitio de El Achiotal experimentó una nueva etapa de crecimiento arquitectónico, ejemplificado en la Estructura 5C-01, cuyas edificaciones originales fueron cubiertas por una nueva plataforma también decorada por mascarones con el tema de la deidad "Pájaro Principal" (Arredondo et al. 2018). En su parte posterior, se ha documentado un basurero perteneciente a esta época, indicando así la continuidad de actividades ceremoniales o habitacionales (Auld-Thomas 2018). La Estructura 5C-08 también fue modificada en este período transicional, indicando así que El Achiotal experimentó una época de auge mientras que muchos de los sitios vecinos eran abandonados.

Primera parte del Clásico Temprano (300 d.C. - 500 d.C.)

El inicio del Clásico Temprano en El Achiotal se caracteriza por la continuidad del control de la región. La construcción de la última fase de la Estructura 5C-01 alcanza las dimensiones monumentales visibles en la actualidad, aunque arquitectura ya no parece ser de la misma calidad. Lo interesante es que esta última versión parece continuar con la tradición de incluir una estructura ritual en su fachada, en este caso un recinto denominado "Banca", que emula al recinto de la versión inicial de la acrópolis ("Bulto") (Arredondo *et al.* 2018: 318-9).

La importancia de El Achiotal en la primera parte del Clásico Temprano se ejemplifica también por la erección de la Estela 1, probablemente dedicada en el año 418 d.C., y que parece haber sido colocada en la fachada de la Estructura 5C-08 (Barrientos *et al.* 2016). La parte que se conserva del texto de este monumento indica que conmemora un aniversario de dos katunes, lo que indicaría que se relaciona directamente con el año 379 d.C., unos pocos meses después de la llamada "Entrada Teotihuacana" (Arredondo *et al.* 2018). Por otro lado, este monumento retrata a un gobernante, que aunque no se conoce su nombre, si se indica que es "nieto de un *CHAtahn Winik*" (Figura 14.11).

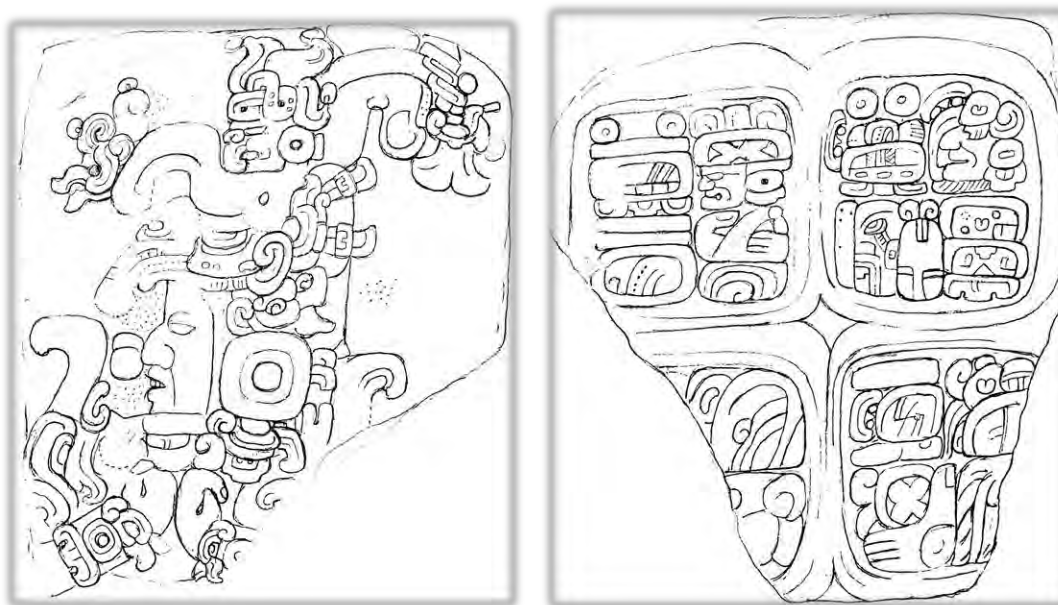


Figura 14.11 Dibujo preliminar de la Estela 1 de El Achiotal (Dibujos por D. Stuart)

El término *CHAtahn Winik* es bastante común en las inscripciones del Clásico Tardío, asociadas con las vasijas estilo código y monumentos del norte de Petén y sur de Campeche (Boot 2005; García y Velásquez 2016, Velásquez y García 2018, Vázquez *et al.* 2016). Es posible entonces que esta inscripción sea un indicio que el área de El Achiotal – y posiblemente la región noroccidental y norcentral de Petén– haya sido conocida bajo el nombre de *CHAtahn*. De cualquier forma, la presencia de la Estela 1 de El Achiotal sugiere que éste y los demás gobernantes del sitio tuvieron un papel importante en los procesos políticos que vincularon a Teotihuacan con Tikal y otros sitios importantes del siglo IV d.C., y que otorgaron a Tikal el control de gran parte del territorio de las Tierras Bajas en casi todo el Clásico Temprano.

El registro de las excavaciones de saqueo en la Estructura 5C-08 de El Achiotal reveló la presencia de varias tumbas abovedadas, en especial una cripta de gran tamaño en el centro de la estructura (Figura 14.12). Aunque no se pudo recuperar información del contenido original de éstas, en el relleno acumulado por las actividades de saqueo se recuperó un bifacial de obsidiana verde, que pudo pertenecer a una ofrenda funeraria o dedicatoria. La presencia de este objeto importado desde el Altiplano Central de México confirma la conexión entre esta región y El Achiotal (Arredondo *et al.* 2018: 319).

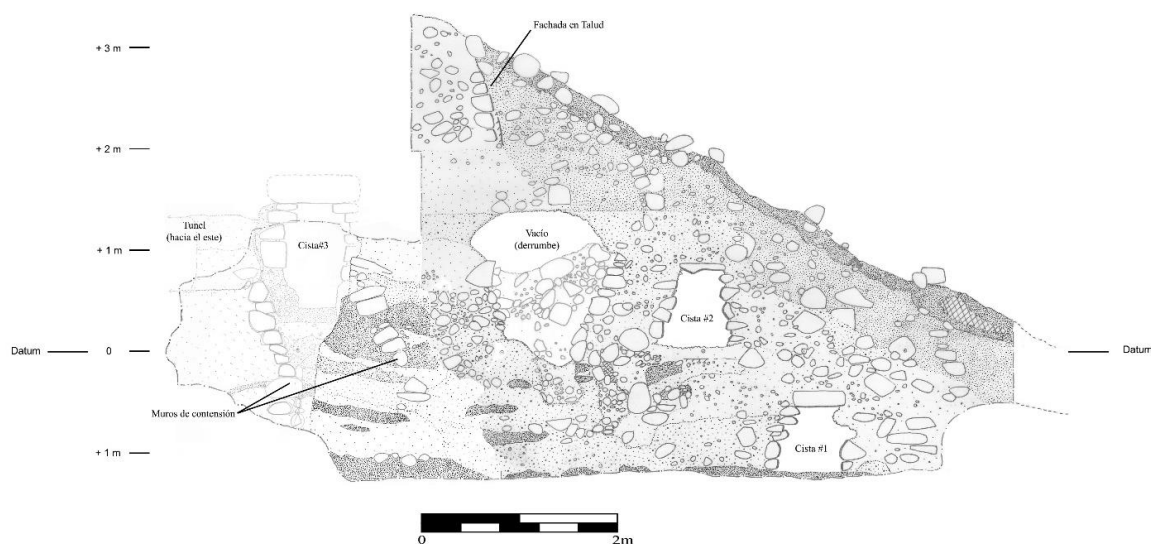


Figura 14.12 Perfil Sur, Saqueo 2, Estructura 5C-08 (Dibujo por E. Arredondo)

Mientras el sitio de El Achiotal experimentó un declive político a finales del siglo V d.C., el sitio de La Corona surgió como la nueva capital regional. Esta correlación de eventos no parece ser casualidad, si se toma en cuenta que el crecimiento de La Corona se relacionó directamente con la llegada de la dinastía *Kaanul*, enemiga de Tikal. Arqueológicamente, ya se había propuesto que la ocupación más antigua en La Corona corresponde al primer siglo del Clásico Temprano (Barrientos *et al.* 2011, Canuto *et al.* 2012), lo cual se ha constatado con las fechas de radiocarbono provenientes de un basurero en la primera ocupación de la Estructura 13R-10 (Fase Sacpa-Poite) (Canuto *et al.* 2014; Barrientos *et al.* 2018). Esta evidencia cerámica coincide con la fecha de 314 d.C. que se menciona en el Panel 1 y que parece corresponder a la fundación de la comunidad de La Corona (Stuart *et al.* 2014: 436). En este momento el sitio de La Cariba muestra una segunda etapa constructiva, indicando así un proceso de continuidad política y demográfica. En La Corona se han identificado fases arquitectónicas asociadas a cerámica del Clásico Temprano, especialmente la Estructura 13Q-3 (Canuto y Barrientos 2009), la fase Kinich de los templos del Grupo Coronitas (Baron 2013) y la fase Aceituno-Mancuernillo de la Estructura 13R-10 (Ponce 2015). Con las fechas de radiocarbono provenientes de dos contextos en la Subestructura *Ahk* del Palacio, se han colocado las fases Canario y Cocochan (350-500 d.C.) al momento previo a esta primera alianza entre La Corona y Dzibanché (Barrientos *et al.* 2018) (Figura 14.13)

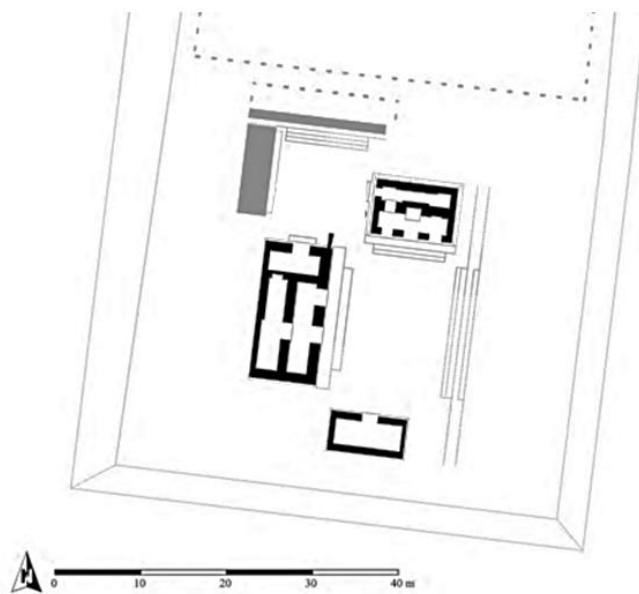


Figura 14.13 Planta de la Fase Cocochán del Palacio (Dibujo por E. Bustamante)

Segunda parte del Clásico Temprano (500 d.C. - 600 d.C.)

Es importante señalar que la Estela 1 de El Achiotal se encontró incompleta, ya que fue destruida en tiempos prehispánicos. Por lo tanto solo se conoce su mitad superior y su base, las cuales se encontraron dentro de un recinto de mampostería, con varias ofrendas y escondites asociados. Aunque no se sabe cuándo fue mutilada la estela, se estima que sucedió a finales del siglo V d.C. o inicios del siglo VI d.C. Con el paso de los años, el fragmento de la estela fue motivo de culto, por lo que se agregaron dos cámaras más, así como otras ofrendas correspondientes a períodos posteriores (Chatelain y Auld-Thomas 2017). La evidencia arqueológica también sugiere que después de la destrucción de la Estela 1, el sitio sufrió de un abandono significativo, al mismo momento que La Corona surgió como el ente político más importante del Noroccidente de Petén. Este auge de La Corona parece haber afectado también a otros sitios más cercanos como La Cariba, que experimenta una disminución en su actividad constructiva. Para el sitio de El Jobillo, se han documentado edificios de tamaño considerable para este momento, especialmente en los grupos D y F (Ponce 2018).

Los datos epigráficos indican que La Corona inició sus relaciones con la dinastía *Kaanul* a inicios del siglo VI d.C., cuando una mujer de dicho reino contrajo matrimonio con el gobernante "Buitre *Winik I*" de La Corona en el año 520 d.C., tal como indica el texto del Panel 6 (Martin 2008). En este momento, Dzibanché fungía como sede dinástica *Kaanul*, bajo el reinado del gobernante *Tuun K'ab Hix* (Stuart *et al.* 2014: 437). De hecho, es de notar que este evento es el más temprano que se conoce para la expansión política de los *Kaanul*, indicando así que desde este momento La Corona empezó a fungir como uno de sus principales aliados estratégicos.

Datos epigráficos provenientes de Dzibanché y otros sitios indican que el siglo VI d.C. fue un momento importante para la consolidación del poder político regional de la dinastía *Kaanul* (Estrada-Belli y Tokovinine 2016, Martin y Beliaev 2017, Martin y Velásquez 2016, Martin y Grube 2008: 102-106; Helmke y Awe 2016a, 2016b, Velásquez 2008), mediante alianzas y campañas que resultaron en el dominio de La Corona, Waka', Caracol, Naranjo y Holmul. Eventualmente, esta estrategia llevó al gobernante Testigo del Cielo a derrotar a su enemigo Tikal en el año 562 d.C., tal como se registra en el Altar 21 de Caracol (Martin y Grube 2008: 89-90). (Figura 14.14)

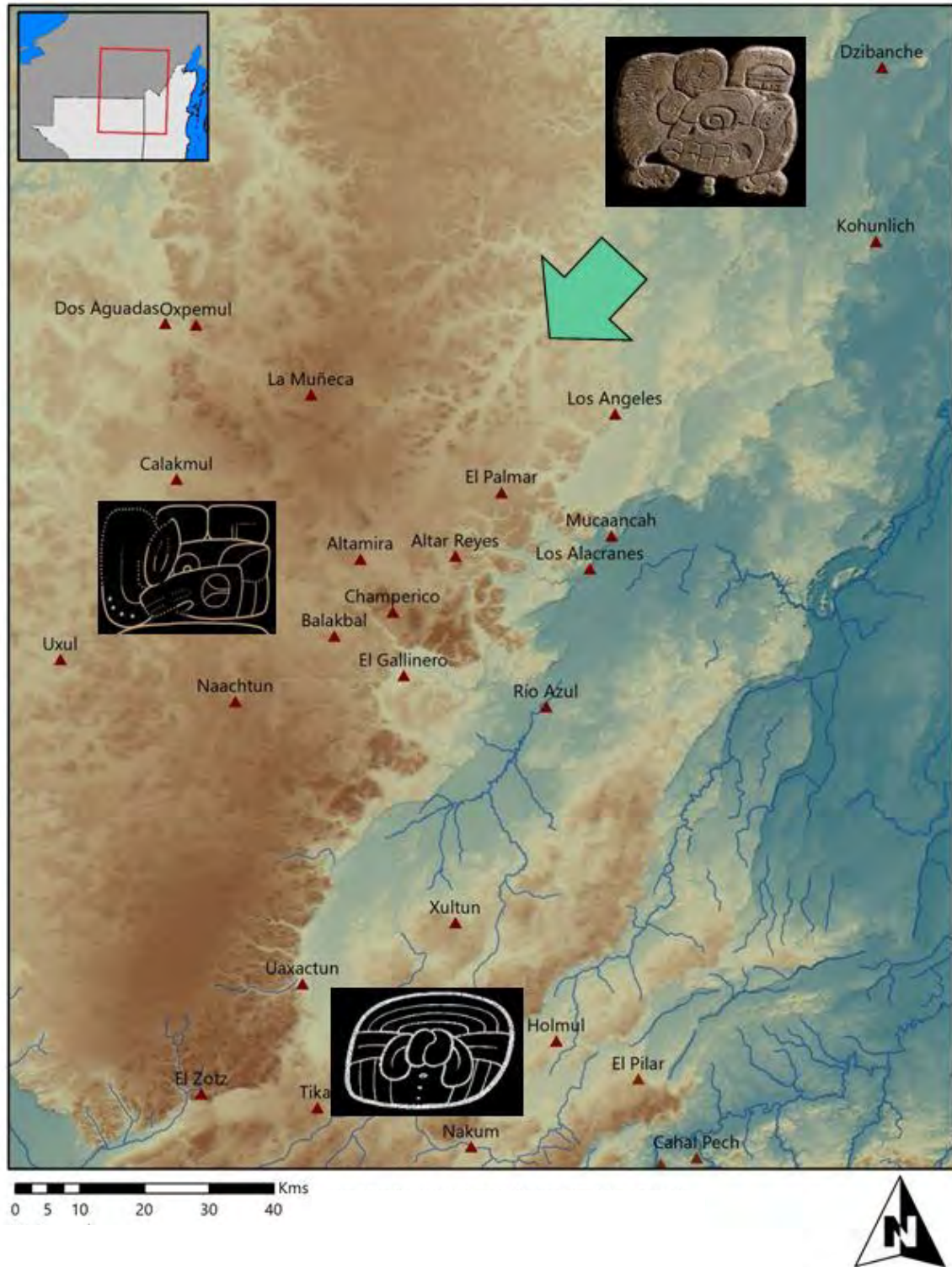


Figura 14.14 Mapa de la región de Dzibanche (Mapa por M. Canuto y T. Barrientos)

Esta estrategia política de *Kaanul* se ha evidenciado por el reciente descubrimiento del Altar 5, cuya fecha de dedicación es 9.5.10.0.0 (546 d.C.). El altar muestra el gobernante *Wak Chan Chak Took Ich'aak* identificado como un *Sahk wahyis*, un título noble que es característico de los gobernantes de La Corona y otros sitios que se aliaron con la dinastía *Kaanul* (Canuto y Barrientos 2018). El altar representa el monumento más antiguo hallado hasta la fecha en La Corona y el gobernante es el mismo que se menciona en la Estela 44 de *Waka'*, que conmemora en 564 d.C. su muerte (Pérez *et al.* 2014). Por lo tanto *Chak Took Ich'aak* gobernaba La Corona a mediados del siglo VI d.C. como súbdito del gobernante *Kaanul K'ahk' Ti' Ch'ich'*, el cual avanzó sus intereses hegemónicos hasta *Waka'*. Tal como lo menciona la Estela 44 de *Waka'*, el hijo de *Chak Took Ich'aak* asumió el trono en 564 d.C., siempre como vasallo de *Kaanul* (Pérez *et al.* 2014).

Otro aspecto importante del Altar 5 de La Corona es su iconografía, ya que el gobernante fue retratado cargando un cetro bicéfalo, del cual salen las cabezas de dos dioses patronos de La Corona, *Yaxal Ajaw* a la izquierda y *Chak Wayib Chahk* a la derecha. La presencia de estas mismas deidades en el Panel 1 sugiere que el dominio de *Kaanul* incluyó la instalación de nuevos dioses patronos en estos sitios, por lo que los cambios de régimen político impuestos por *Kaanul* se reflejaron también en cambios en su sistema religioso (Canuto y Barrientos 2018).

En cuanto a la evidencia arqueológica, el inicio de las relaciones con los *Kaanul* corresponde a la fase Colibrí del palacio, que consiste en un nuevo basamento que cubrió parcialmente la versión anterior de la acrópolis (Cocochoan) (Lamoureux-St-Hilaire y Bustamante 2016). En el Grupo Coronitas, se construyeron las primeras versiones de los tres templos (fase Mam) y colocándose tres tumbas de gobernantes antes de la construcción de la siguiente versión de los mismos (fase Muk). Aunque dos de estas tumbas se encontraron totalmente saqueadas, se logró excavar la que se encontraba en la Estructura 13R-2, y que fue denominada Entierro 6. Su ocupante seguramente fue un gobernante del siglo VI d.C. y su ajuar funerario fue bastante modesto, ya que consistió solamente de vasijas monocromas, varios tipos de conchas, una tortuga y un pequeño cocodrilo. Sin embargo, la cripta excavada dentro de la roca madre fue cubierta con un techo de petate y sellada por cientos de lascas de pedernal (Baron 2012:238-48, 2013; Canuto *et al.* 2012)

En resumen, al inicio del Clásico Tardío es claro que La Corona substituyó a El Achiotal como la entidad política dominante de la zona, en este caso mediante el apoyo directo de la dinastía *Kaanul*, la cual se encontraba en un proceso expansionista para dominar todas las Tierras Bajas. Aunque La Corona fue un aliado importante en esta estrategia, el tamaño de su asentamiento pareciera que no creció significativamente y su arquitectura no alcanzó niveles monumentales. De igual forma, las características del Entierro 6 indican que la corte real de La Corona no obtuvo acceso a bienes de alto prestigio como el jade.

Primera mitad del Clásico Tardío (600 d.C. - 700 d.C.)

El proceso de expansión territorial de la dinastía *Kaanul* se vio interrumpido por un conflicto interno o "guerra civil" acontecido entre los años 630 y 640 d.C., y que tuvo como resultado el cambio de la sede dinástica de Dzibanché a Calakmul (Helmke y Awe 2016b). Durante el Clásico Temprano, las inscripciones de Calakmul lo asocian a otra entidad política, identificada con una cabeza de murciélago (Martin 2005, Valencia y Esparza 2018), pero gracias a este movimiento o "rebelión" liderado por *Yuknoom Ch'en II*, esta ciudad se convirtió en la nueva capital *Kaanul*. De la misma forma que La Corona fue un punto clave para la expansión inicial de los *Kaanul* en el siglo VI d.C., este sitio parece haber jugado un papel importante en las aspiraciones de *Yuknoom Ch'en II*. Esto se evidencia en los elementos 35 y 36 de La Corona, donde este personaje aparece jugando pelota con el gobernante de La Corona, *Sak Maas* en el año 635 d.C., es decir, 5 años antes de asumir el trono en Calakmul (Stuart *et al.* 2014: 437). (Figura 14.15)

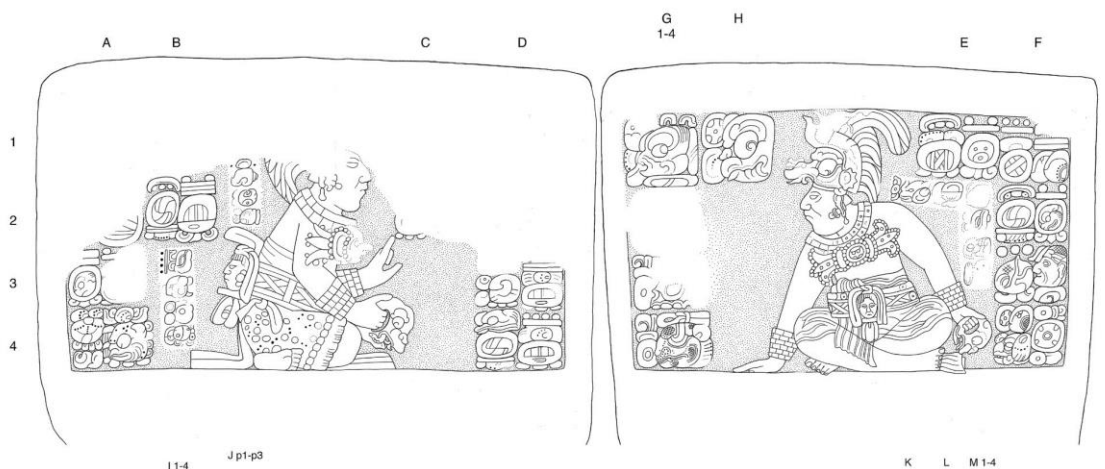


Figura 14.15 Elementos 35 y 36 de La Corona (Dibujo por D. Stuart)

Geográficamente, La Corona ya se había establecido como un nodo importante en las rutas de comunicación hacia el sur, como conexión con los sitios de *Waka'* y La Florida (*Naaman*), ya que ambos fueron importantes en el control del Río San Pedro Mártir (Figura 14.16). De hecho, la relación ente La Corona y *Waka'* fue muy cercana, ya que *Yuknoom Ch'en II* casó a dos de sus hijas con los gobernantes de ambos sitios: La señora *Kab'el* fue esposa de *K'inich Bahlam II* de *Waka'* (Pérez *et al.* 2015), mientras que la señora *Ix Tz'ib Winik* desposó a *K'inich ? Yook* de La Corona (Martin 2008). En cuanto a la relación entre La Corona y La Florida, se evidencia mediante el texto de una tapadera de vasija cerámica que contiene el nombre de uno de los gobernantes de *Naaman*, así como un plato policromado cuya inscripción también se ha asociado a este sitio (Canuto *et al.* 2014).

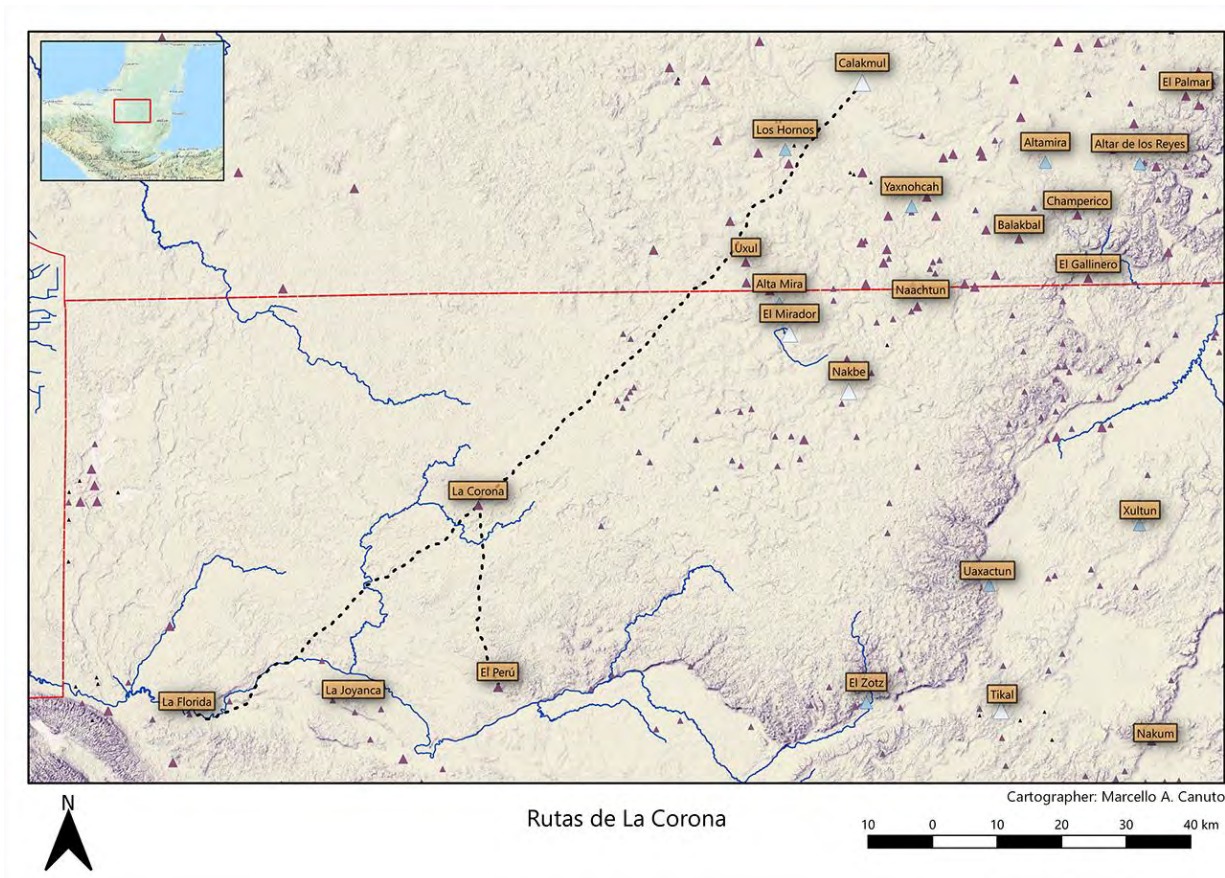


Figura 14.16 Mapa que muestra la posición estratégica de La Corona (Dibujo por M. Canuto)

Ya establecida la hegemonía *Kaanul* bajo el reinado de *Yuknoom Ch'en II* en Calakmul, La Corona se caracterizó por la presencia de una gran cantidad de inscripciones que se realizaron en esculturas de piedra, especialmente paneles de tamaño pequeño que fueron finamente tallados. Los textos refieren con gran detalle la historia dinástica, incluyendo eventos como rituales, viajes, investiduras y otras actividades que los reyes y nobles de La Corona realizaban en Calakmul. De hecho, se ha considerado que para esta época, la corte real de La Corona no se consideraba un aliado de los *Kaanul*, sino parte de la misma familia consanguínea, por lo que la naturaleza de La Corona podría ser definida de mejor forma como una colonia *Kaanul* (Canuto *et al.* 2012).

El siglo VII d.C. ha sido considerado entonces como una "Era Dorada" para La Corona, ya que sus gobernantes gozaron de muchos privilegios políticos, dada su cercanía con la corte *Kaanul*. Sin embargo, la evidencia arqueológica y epigráfica ha mostrado que esta posición privilegiada llevó consigo varias contrapartes. Una de ellas fue la ausencia del título *K'uhul Ajaw*, el cual no fue usado nunca por los gobernantes de La Corona, al igual que otros sitios que conformaron la esfera de "control directo" de Calakmul, como Uxul, Oxpeñul, Champerico y Los Alacranes (Grube 2005; Grube *et al.* 2012; Domínguez *et al.* 2011; Robichaux 2009). En su lugar, los aliados de *Kaanul* se identificaron mediante el título *Sahk Wahyis*.

Como ya se mencionó anteriormente, el inicio del dominio de Calakmul corresponde al reinado de *Sak Maas* en La Corona, quien parece haber sido un actor importante para la entronización de *Yuknoom Ch'en II*. Es posible que en este momento se haya construido la primera versión de la Estructura 13Q-2 y el palacio haya sido remodelado de forma significativa, en la fase denominada Halcón 1, donde un basamento de grandes dimensiones cubrió totalmente las construcciones anteriores (Lamoureux-St-Hilaire y Bustamante 2016). Sin embargo, la acrópolis todavía mantuvo un carácter bastante modesto en comparación a otros sitios de la época, indicando así que La Corona no experimentó un crecimiento significativo y los privilegios de la alianza con *Kaanul* parecen haberse restringido a la corte real. De hecho, hay evidencia de un conflicto interno en el linaje gobernante de La Corona, ya que el Panel 2 de La Corona menciona que en el año 655 d.C. asume *K'uk' Ajaw*, quien parece haber matado al rey anterior, *Sak Maas*.

No obstante, después de dos años, *K'uk' Ajaw* fue también eliminado, ahora por *Chak Nahb Chan*, hijo de *Sak Maas* (Stuart *et al.* 2014:438). De acuerdo al Panel 1 de La Corona, en 658 d.C. *Chakaw Nahb Chan* supervisó la construcción de tres santuarios (*wayib*) dedicados a la triada local de deidades, las cuales se nombran como *Yaxal Ajaw*, *K'an Lakam Chahk*, y *Chak Wayib Chahk* (Stuart *et al.* 2014:439). Este evento se interpretó inicialmente como un acto de imposición de deidades nuevas como parte de las políticas de control hegemónico por los *Kaanul* (Baron 2013), pero con el descubrimiento del Altar 5, el evento se ha reinterpretado como una restauración o re-dedicación de los santuarios a estas deidades. Esta inferencia se basa en el hecho que el Altar 5 fue mutilado en el área del rostro del gobernante *Chak Took Ich'aak*, y que este monumento fue encontrado dentro de un santuario que no parece ser el lugar de su ubicación original (Canuto y Barrientos 2018). Por lo tanto, es posible que el evento ya mencionado se refiera a que *Chakaw Nahb Chan* construyó la Estructura 13R-45 para colocar el Altar 5, directamente frente al templo funerario de un ancestro dinástico (fase Ub del Grupo Coronitas) y como medio para reestablecer el culto a los dioses patronos introducidos a partir de la presencia de los *Kaanul* (Figura 14.17).

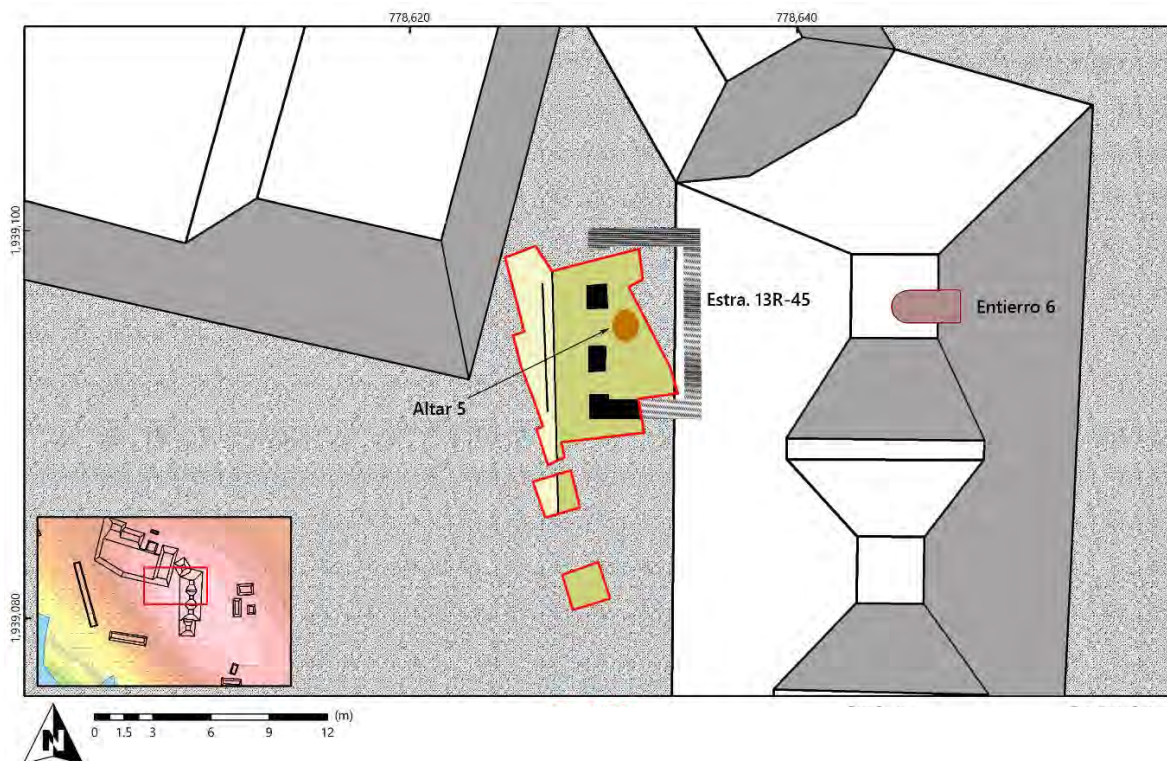


Figura 14.17 Mapa que muestra la ubicación del Altar 5 de La Corona (Dibujo por M. Canuto)

En este momento también se construyó la pequeña pirámide 13R-9, en cuya base se encontró un gran depósito de cerámica policromada, posiblemente los restos de grandes festividades (Cajas 2013). En la cima de ese mismo edificio, se colocó un escondite con elementos marinos y una navaja de obsidiana usada para autosacrificio, lo que confirma una fuerte actividad ceremonial en el Grupo Coronitas (Gómez 2010).

La estabilidad política de La Corona llegó a su máxima expresión durante el gobierno de *K'inich ? Yook* entre (667-689 d.C.) y su hermano *Chak Ak Paat Kuy* (689 d.C.-?), quienes pasaron gran parte de su vida en la corte de Calakmul, tal como lo indican los textos del Panel 1 y el Elemento 56 (Stuart *et al.* 2014:439; Barrientos *et al.* 2016). En este momento el dominio *Kaanul* se extendió por casi todas las Tierras Bajas, ya que integraron sitios más distantes como Zapote Bobal (*Hix Witz'*), Dos Pilas, Itzimte y Cancuén dentro de una red de alianzas que han sido interpretadas como un "Camino Real" que permitió un acceso seguro hasta las Tierras Altas Mayas (Canuto y Barrientos 2013a) (Figura 14.18). Otros textos indican algún tipo de relación más indirecta con sitios todavía más lejanos, como Piedras Negras, Quiriguá, Edzná e incluso Cobá (Canuto *et al.* 2017). De esta manera, *Kaanul* se convirtió en la entidad política con el mayor territorio en toda la historia Maya (Figura 14.19).



Figura 14.18 Mapa que muestra el "Camino Real" controlado por Calakmul (Dibujo por M. Canuto)

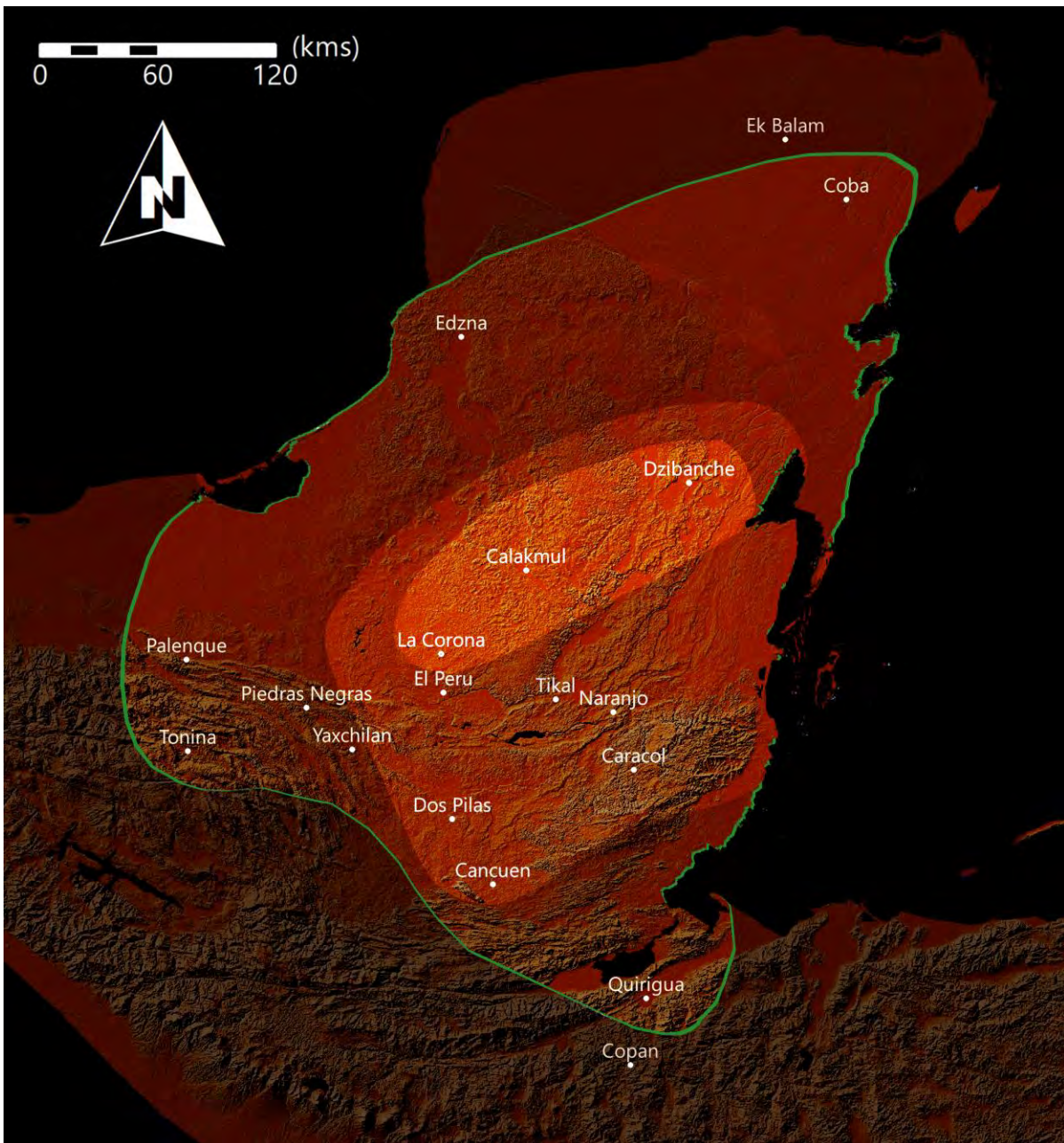


Figura 14.19 Mapa que muestra las áreas de influencia directa (naranja) e indirecta (rojo) de Calakmul, así como la extensión de sus relaciones políticas (perímetro verde) (Dibujo por M. Canuto y T. Barrientos)

Segunda mitad del Clásico Tardío (700 d.C. - 800 d.C.)

Estando en su mayor expansión territorial, *Yuknoom Yich'aak K'ahk*, hijo y heredero de *Yuknoom Ch'en II* sufrió una importante derrota militar a manos de *Jasaw Chan K'awiil* de Tikal en 695 d.C.

A partir de este momento, el territorio controlado por los *Kaanul* inició un proceso de reducción y fragmentación paulatino, que afectó directamente el destino de muchos de sus aliados. No obstante, La Corona siguió siendo un aliado fiel, tal como lo demuestra el Elemento 33, que narra la visita de *Yuknoom Yich'aak K'ahk* a La Corona a solo 6 meses después de su derrota (Stuart *et al.* 2014:440). De igual forma, el Elemento 32 constituye la única referencia a la muerte de este gobernante *Kaanul* (Stuart *et al.* 2015).

A pesar de este revés político de Calakmul, sitios como La Corona continuaron su relación estrecha, ahora bajo el nuevo gobernante *Kaanul*, llamado *Ti' K'awiil*, retratado en el Elemento 55 de La Corona (Barrientos *et al.* 2016). Sin embargo, el grado de control directo por parte de los *Kaanul* parece haber disminuido con respecto a las décadas anteriores, ya que el gobernante de La Corona *Yajawte' K'inich* emprendió nuevos proyectos arquitectónicos que sobrepasaron los de sus antecesores. Esto se ve reflejado en la nueva fase constructiva del palacio, denominada Halcón II, que se caracteriza por edificaciones de gran calidad en la parte norte y sur de la acrópolis (estructuras 13Q-4F, 13Q-4G y 13Q-4P) (Lamoureux-St-Hilaire y Bustamante 2016), así como más monumentos con inscripciones, donde destacan las escalinatas jeroglíficas. No obstante, hasta la fecha no se ha encontrado ninguna tumba de los gobernantes de esta época, por lo que no es posible discernir el acceso que tuvieron a materiales exóticos e importados. Solamente el Entierro 13, encontrado en la Estructura 13R-10, contenía los restos de una reina llamada *K'uh Ix Yax ¿? K'ik'*, cuyas ofrendas incluyeron jades, artefactos de hueso, conchas de varios tipos y dos vasijas cerámicas (Canuto *et al.* 2015). Es importante también que *Yajawte' K'inich* aparece retratado en el único monumento tallado de La Cariba, el Altar 1, con fecha de 746 d.C., lo cual indica que La Corona había ya expandido sus dominios regionales de forma directa.

A pesar de sobreponer la derrota de 695 d.C., Calakmul sufrió una nueva derrota ante Tikal en 736 d.C., y sus aliados Waka' y Naranjo también fueron derrotados por Tikal en 743 y 744 d.C., respectivamente (Martin y Grube 2008: 49-50). Esto sin dudas resultó en la retirada definitiva de los *Kaanul* del territorio del actual Petén guatemalteco y significó la "independencia" política de varios sitios como Dos Pilas y La Corona. En el caso de este último, la evidencia arqueológica indica que el final de la hegemonía de *Kaanul* en La Corona se evidencia por un evento de "spolia" de todos los conjuntos escultóricos pertenecientes a la "Era Dorada", que incluyó el desmantelamiento de escalinatas y la

remoción de paneles, estelas y altares de sus lugares originales (Barrientos *et al.* 2016). Estos elementos fueron recolocados en otras partes del sitio, como es el caso de la Escalinata Jeroglífica 2, descubierta en la Estructura 13R-10, y los elementos 55, 56, 57, 58 y 59 encontrados en distintas partes del Patio Noreste del palacio (Lamoureux-St-Hilaire y Bustamante 2016). Aunque todavía no se comprende con exactitud la naturaleza de este evento, posiblemente sucedido alrededor de 750 d.C., es claro que fue parte de un proceso de revitalización política que incluyó la reinterpretación del pasado histórico relacionado con los *Kaanul* y el desarrollo de una nueva entidad regional con características locales.

La reconfiguración política de La Corona incluyó la erección de varias estelas y altares con inscripciones que reflejan un estilo local, con una calidad inferior con respecto a las esculturas de la "Época Dorada". En uno de éstos, el Altar 4, destaca la mención de una mujer asociada con el glifo emblema de Tikal (*Ix Mutal Ajaw*), que llegó a La Corona en el año 791 d.C. (Stuart *et al.* 2014:441). Por el momento no puede explicarse la naturaleza de este evento porque durante esa época, Tikal ya iniciaba un proceso de fragmentación política propia. Entonces, se puede también considerar que la cuarta mujer fuera de la región del Petexbatun (Lamoureux-St-Hilaire 2018) donde los aliados de *Kaanul* (Dos Pilas y Aguateca) usaron el glifo emblema de Tikal.

El epicentro de La Corona sufrió modificaciones significativas, aumentando el volumen de todas las construcciones principales, incluyendo los templos 13Q-1 y 13Q-2, los cuales contuvieron una tumba real cada uno (entierros 18 y 19), los cuales contuvieron jades muy finos y conchas *spondylus* como parte de sus ajuares funerarios (Canuto *et al.* 2015) (Figura 14.20). En el palacio, la fase Tucán incluye varias remodelaciones en la parte norte, así como la construcción de la Estructura 13Q-O hacia el oeste. Varios basureros adjuntos al basamento del palacio indican una fuerte actividad ceremonial y festiva para esta época, lo que ha sido confirmado por el análisis geoquímico de los patios y el interior de cámaras en la mitad norte de la acrópolis (Lamoureux-St-Hilaire y Bustamante 2016, Canuto *et al.* 2017; Lamoureux-St-Hilaire 2018) (Figura 14.21). De igual forma, la Estructura 13R-10 cambió de función ceremonial a residencial (fase Chicozapote-Guaya), conteniendo evidencia de grandes festines dentro de un chultún reutilizado como basurero (Fernández 2011).



Figura 14.20 Joyas de jade pertenecientes al Entierro 18, Estructura 13Q-2
(Fotografía por E. Gómez)

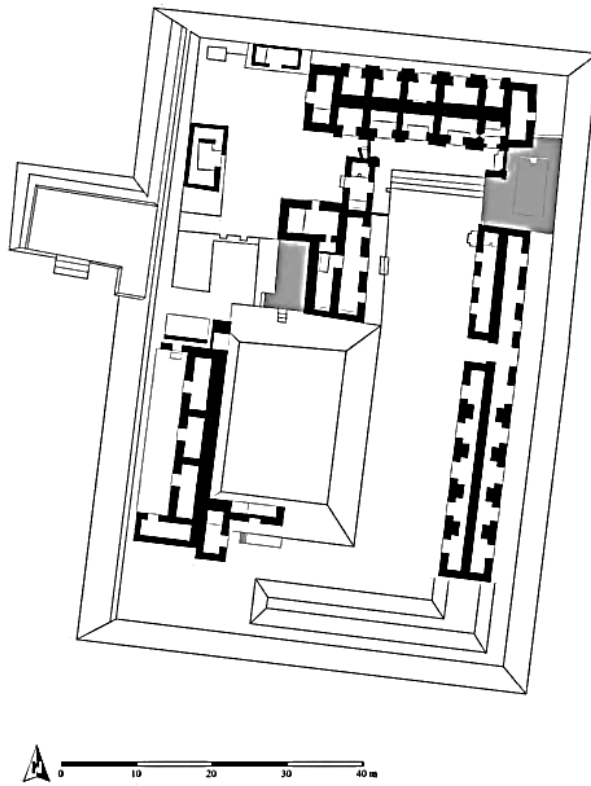


Figura 14.21 Palacio de La Corona durante la Fase Tucán
(Dibujo por M. Lamoureux-St-Hilaire y E. Bustamante)

En cuanto al asentamiento en el sitio, su extensión para el siglo VIII d.C. parece haber sido el mayor tamaño alcanzado en su historia. Los mapas realizados anteriormente con Estación Total habían definido una extensión aproximada de 1.5 km² para su epicentro, pero las imágenes por LiDAR permitieron identificar la presencia de un número considerable de grupos residenciales en el sector este y norte del sitio que no habían sido registrados (Figura 14.22). De éstos, destaca el Grupo Tortugas, ubicado en el extremo norte de la calzada que inicia desde la esquina noroeste del palacio, así como varios grupos residenciales que también se ubican a ambos lados de la calzada. Aunque la naturaleza dispersa y poco densa del asentamiento no cambió significativamente, si se amplió la extensión del sitio.



Figura 14.22 Mapa de La Corona mostrando asentamiento en su parte central (Mapa por M. Canuto)

En el aspecto regional, los datos recabados con LiDAR indican la presencia de varios sitios con ocupación importante en el siglo VIII d.C., siendo La Corona el único de rango superior, con otros sitios secundarios como El Jobillo, La Cariba, El Tesoro y Gavilán. Dentro de este contexto, el centro de La Corona presenta una densidad aproximada de 125 estructuras por km², y la periferia con 36 estructuras por km², haciendo un total entre 5,000 y 8,000 habitantes en esa zona (Figura 14.23).

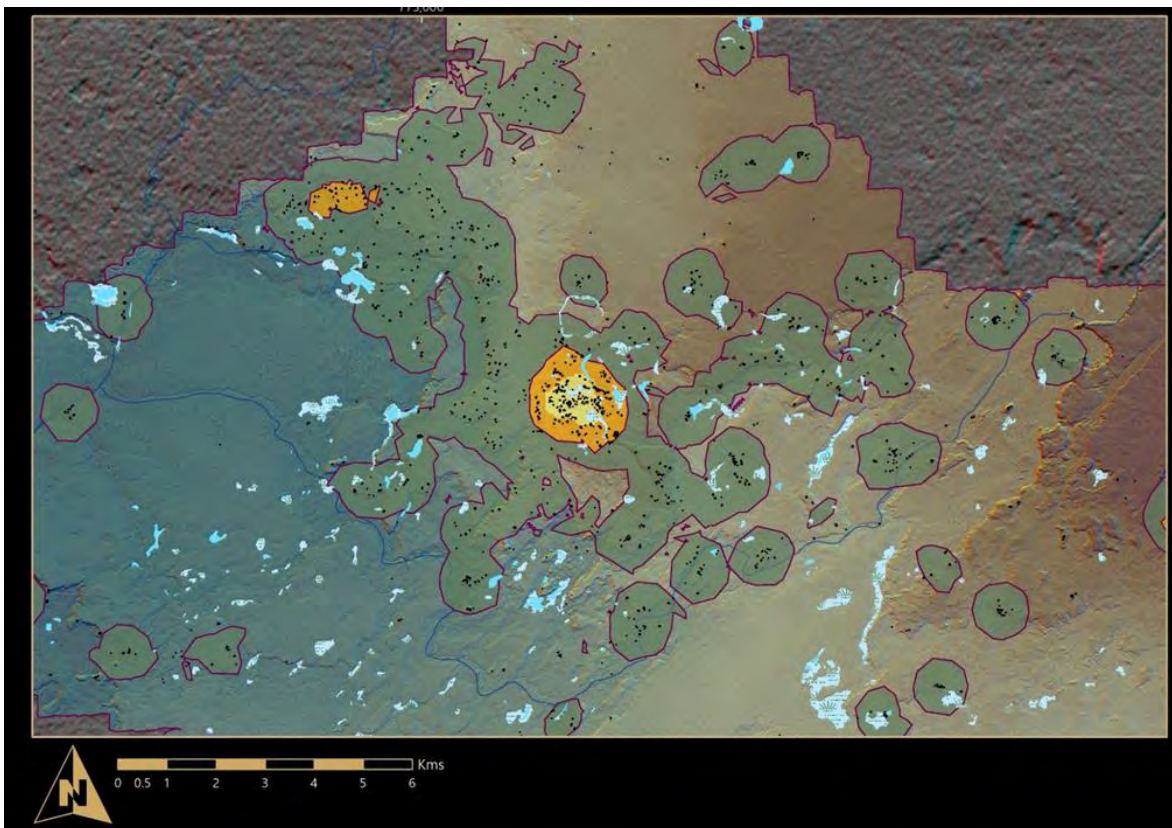


Figura 14.23 Mapa de los alrededores de La Corona mostrando núcleos de asentamiento. Las áreas amarillas y naranjas son las más densas (Mapa por M. Canuto)

La región de El Achiotal experimentó un proceso de repoblamiento durante todo el Clásico Tardío, tal como se ha documentado en Chablé y en el mismo epicentro de El Achiotal, así como en la cercana región de El Mirador. Destaca la continuidad en la deposición de ofrendas en el recinto de la Estela 1, las cuales incluyeron un vaso estilo códice (Barrientos *et al.* 2016). Dado que estos vasos suelen incluir textos con el título *Chatan Winik*, es posible que estos peregrinos que visitaron el epicentro de El Achiotal, y que estuvieron involucrados en la producción de este tipo de vasijas, hayan tenido alguna conexión ancestral con el gobernante retratado en la estela.

Clásico Terminal (800 - 900 d.C.)

La evidencia de ocupación en el siglo IX d.C. es bastante escasa en toda la región noroccidental de Petén, y se reduce a algunos contextos de La Corona. Las excavaciones han definido cerámica del Clásico Terminal en la parte norte del Palacio, en contextos previos al

abandono del mismo antes de 900 d.C. (Canuto *et al* 2017). En los alrededores de las estructuras 13R-10, algunos cuartos agregados para esta fecha indican que se trata de áreas que originalmente no fueron domésticas y que se modificaron para ser habitables, también poco antes de que se abandonara el sitio (Ponce y Nájera 2012). El noroccidente de Petén no fue un área densamente poblada durante toda la época prehispánica, por lo que su abandono seguramente fue rápido a finales del siglo IX d.C. Sin embargo, vale la pena mencionar que la presencia de varios incensarios del período Postclásico en la cima de las estructuras principales de La Corona indica que el sitio fue visitado esporádicamente con fines ceremoniales, ya sea por los descendientes de la población original o por otros grupos que veneraron los vestigios de esta ciudad (Figura 14.24).



Figura 14.24 Incensarios postclásicos encontrados en las estructuras principales de La Corona (Fotografía por C. Guirola)

Comentarios Finales

Aunque el Proyecto PRALC ha podido obtener información importante para continuar resolviendo las interrogantes generales del proyecto, todavía falta mucho más investigación. Por el momento es claro que el poblamiento de esta zona de las Tierras Bajas Mayas fue el producto de la expansión de otras entidades políticas ubicadas hacia el este, y que a lo largo del período Clásico no presentó un crecimiento rápido, sino que se mantuvo un patrón de asentamiento disperso y poco denso, donde los sitios se asocian a recursos hídricos o rutas de comunicación. Falta mucho por analizar, especialmente lo relacionado a la época posterior al apogeo de los *Kaanul*, en la segunda mitad del siglo VIII d.C., cuando La Corona alcanzó su máximo esplendor arquitectónico y sus relaciones comerciales se ampliaron.

	Cerámica	Palacio	13R-10	Coronitas	Gobernantes La Corona	Reinas La Corona	Gobernantes Kaanul							
850 - 900	<i>Paat</i>	Abandono	Clásico Terminal											
800 - 850		Tucán	Guaya											
750 - 800	<i>Waay</i>	Halcón II	Chicozapote	<i>Unen</i>	Entierros 18 y 19	<i>Ix Kaloomte' K'uh Ix Yax ¿? K'ik'</i>	<i>Ti' K'awiil Yuknoom Yich'ahk K'ahk II Yuknoom Ch'een II Tajoom Uk'ab k'ahk Yuknoom Ti' Chan "Serpiente voluta" Yax Yopaat "Testigo del Cielo" K'ahk' Ti' Ch'ich' Tuun K'ab Hix Yuknoom Ch'een I</i>							
700 - 750		Halcón I	Aceituno - Mancuernillo		<i>Ub</i>	<i>Yajawte K'inich K'ahk Wayna' Chak Ak' Paat Kuy K'inich ? Yook Chakaw Nahb Chan K'uk Ajaw Sak Maas</i>		<i>Ix Ti' Kan Ix Tz'ib Winik Ix Chak Tok Chahk Ix Ox kan</i>						
650 - 700				<i>K'uh</i>					<i>Muk</i>	<i>Chak Took Ich'aak "Buitre" Winik</i>	<i>Ix Nah Ek'</i>			
600 - 650												<i>Mam</i>	Entierro 6	
550 - 600														
500 - 550	Colibrí													
450 - 500	<i>Ochib</i>	CocoChan II												
400 - 450		CocoChan I												
350 - 400		Canario												
300 - 350	<i>Naah</i>		Sacpa - Poite											
250 - 300														
200 - 250														
150 - 200														
100 - 150														

Tabla 14.1 Cronología del sitio La Corona

BIBLIOGRAFÍA

Acuña, Mary Jane

- 2007 “Capítulo 14. CR-ES: Excavaciones de sondeo en los Grupos A, B y C de La Corona”. En Proyecto Arqueológico El *Perú-Waka'*: *Informe No.4, Temporada 2006* (editado por Héctor Escobedo y David Freidel), pp.457-466. Instituto de Antropología e Historia, Guatemala.
- 2013 *Art, Ideology, and Politics at El Achiotal: A Late Preclassic Frontier Site in Northwestern Petén, Guatemala*. Tesis de Doctorado, Escuela de Artes y Ciencias de la Universidad de Washington, St. Louis., Missouri.

Adams, Richard E.W.

- 1971 *The Ceramics of Altar de Sacrificios*. Papers of the Peabody Museum of Archaeology and Ethnology, vol. 63, no. 1. Harvard University, Cambridge, Massachusetts.

Aimers, James John (ed.)

- 2013 *Ancient Maya Pottery: Classification, Analysis, and Interpretation*. University Press of Florida, Gainesville.

Álvarez, Camilo

- 2015 “Operación CR31: Excavaciones en la Estructura 13Q-I, Temporada 2014.” En *Proyecto Arqueológico La Corona: Informe Final, Temporada 2014* (editado por Tomás Barrientos Q., Marcello A. Canuto, y Eduardo Bustamante), pp. 75-100. Instituto de Antropología e Historia, Guatemala.

Andrieu, Chloé y Alejandra Roche

- 2015 “Análisis del Material Lítico de La Corona y La Cariba”. En *Proyecto Regional Arqueológico La Corona No. 7, Temporada 2014* (editado por T. Barrientos Q., M. A. Canuto y E. Bustamante), pp. 335-346. Instituto de Antropología e Historia, Guatemala.

Andrieu, Chloé

- 2016 Flake Deposits and the Missing Workshops of the Maya Lowlands: the Complexity of Classic Maya Lithic Economy. Ponencia presentada en *la Society for American Archaeology Meetings*, Orlando, Fl.
- 2011 “La interpretación económica de los depósitos de lascas en las Tierras Bajas”. En *XXIV Simposio Internacional de Arqueología* (editado por, B. Arroyo, L. Paiz, A. Linares y A. Arroyave), pp. 1043-1058. Museo Nacional de Arqueología y Etnología, Guatemala.

Andrefsky, William Jr.

- 2005 *Lithics: Macroscopic Approaches to Analysis*. Cambridge University Press, Cambridge.

- Arnauld, Charlotte, Veronique Breuil-Martínez y Erick Ponciano
 2004 *La Joyanca: Antigua Ciudad Maya del Noroeste del Petén*. Centro Francés de Estudios Mexicanos y Centroamericanos CEMCA. Guatemala.
- Arredondo Leiva, Ernesto
 2017 “Nuevas investigaciones en la Estructura 5C-01 de El Achiotal: Excavaciones y Registro de Saqueos, Temporada 2016”. En *Proyecto Arqueológico La Corona: Informe Final, Temporada 2016* (editado por T. Barrientos, M. Canuto y E. Bustamante), pp. 213-292. Instituto de Antropología e Historia, Guatemala
 2018 “Excavaciones en la Estructura 5C-08 de El Achiotal, Nuevas Investigaciones, Temporada 2017.” En *Proyecto Arqueológico La Corona: Informe Final, Temporada 2017* (editado por T. Barrientos, M. Canuto, M. López y E. Bustamante), pp. 321-364. Instituto de Antropología e Historia, Guatemala.
- Arredondo, Ernesto, Luke Auld-Thomas y Marcello Canuto
 2018 “La transformación de las instituciones religiosas y de gobierno del Preclásico Tardío al Clásico Temprano en las Tierras Bajas Mayas: Una visión desde el sitio El Achiotal, Petén, Guatemala”. En *XXXI Simposio de Investigaciones Arqueológicas en Guatemala, Tomo I* (editado por B. Arroyo, L. Méndez y G. Ajú), pp. 315-329. Ministerio de Cultura y Deportes, IDAEH y Asociación Tikal, Guatemala.
- Auld-Thomas, Luke
 2017 “Operación ACH3: Excavaciones en la Estructura 5C-08 de El Achiotal”. En *Proyecto Arqueológico La Corona: Informe Final, Temporada 2016* (editado por T. Barrientos, M. Canuto y E. Bustamante), pp. 293-328. Instituto de Antropología e Historia, Guatemala.
 2018 “Investigaciones en la región de El Achiotal, Temporada 2017”. En *Proyecto Arqueológico La Corona: Informe Final, Temporada 2017* (editado por T. Barrientos, M. Canuto, M. López y E. Bustamante), pp. 365-442. Instituto de Antropología e Historia, Guatemala.
- Auld-Thomas, Luke, Mauro Montejo y Caroline A. Parris
 2016 “Investigaciones Arqueológicas en El Achiotal, Temporada 2015”. En *Proyecto Arqueológico La Corona: Informe Final, Temporada 2015* (editado por T. Barrientos, M. Canuto y E. Bustamante), pp. 189-252. Instituto de Antropología e Historia, Guatemala.
- Ball, Joseph W.
 1977 *The Archaeological Ceramics of Becan, Campeche, Mexico*. Middle American Research Institute, Publication 43. Tulane University, New Orleans.
- Baron, Joanne
 2011 “Operaciones CR12, CR14 y CR15: Excavaciones en las Estructuras 13R-3, 13R-4 y 13R-2 del Grupo Coronitas”. En *Proyecto Regional Arqueológico La Corona: Informe Final, Temporada 2010* (editado por T. Barrientos, M. Canuto y M. J. Acuña), pp. 249-276. Instituto de Antropología e Historia, Guatemala

- 2012 “Capítulo IX. Operaciones CR14, CR15 y CR17: Excavaciones en el Grupo Coronitas, estructuras 13R-2, 13R-3, 13R-4 y 13R-5”. En *Proyecto Regional Arqueológico La Corona: Informe Final Temporada 2011* (editado por T. Barrientos, M. Canuto y J. Ponce), pp. 231-264. Guatemala.
- 2013 *Patrons of La Corona: Deities and power in a Classic Maya community*. Tesis de Doctorado, Universidad de Pennsylvania, Philadelphia.
- 2016 *Patron Gods and Patron Lords: The Semiotics of Classic Maya Community Cults*. University Press of Colorado, Boulder.

Barrientos, Tomás y Marcello Canuto (editores)

- 2010 *Proyecto Regional Arqueológico La Corona, Informe Final Temporada 2009*. Informe entregado a IDAEH, Guatemala.

Barrientos, Tomás, Marcello Canuto y Mary Jane Acuña (editores)

- 2011 *Proyecto Regional Arqueológico La Corona, Informe Final Temporada 2010*. Informe entregado a IDAEH, Guatemala.

Barrientos, Tomás, Marcello Canuto y Jocelyne Ponce (editores)

- 2012 *Proyecto Regional Arqueológico La Corona, Informe Final Temporada 2011*. Informe entregado a IDAEH, Guatemala.
- 2013 *Proyecto Regional Arqueológico La Corona, Informe Final Temporada 2012*. Informe entregado a IDAEH, Guatemala.
- 2014 *Proyecto Regional Arqueológico La Corona, Informe Final Temporada 2013*. Informe entregado a IDAEH, Guatemala.

Barrientos, Tomás, Marcello Canuto y Eduardo Bustamente (editores)

- 2015 *Proyecto Arqueológico La Corona: Informe Final, Temporada 2014*. Informe entregado a IDAEH, Guatemala.
- 2016 *Proyecto Arqueológico La Corona: Informe Final, Temporada 2015*. Informe entregado a IDAEH, Guatemala.
- 2017 *Proyecto Arqueológico La Corona: Informe Final, Temporada 2016*. Informe entregado a IDAEH, Guatemala.

Barrientos, Tomás, Marcello Canuto, Marissa López y Eduardo Bustamente (editores)

- 2018 *Proyecto Arqueológico La Corona: Informe Final, Temporada 2017*. Informe entregado a IDAEH, Guatemala.

Barrientos, Tomás, Marcello Canuto, Joanne Baron, Yann Desailly-Chanson y Bruce Love

- 2011 “El Reino de Sak Nikte’: Nuevos datos sobre la historia, cronología, asentamiento y medio ambiente en La Corona”. En *XXIV Simposio de Investigaciones Arqueológicas en Guatemala, 2010* (editado por B. Arroyo, L. Paiz, A. Linares y A. Arroyave), pp. 165-177. Ministerio de Cultura y Deportes, IDAEH y Asociación Tikal, Guatemala.

Barrientos, Tomas, Marcello Canuto, David Stuart, Luke Auld-Thomas y M. Lamoureux-St-Hilaire

2016 “Memoria social escrita en piedra: cambios y reconfiguraciones del discurso político en las tierras bajas durante el período Clásico”. En *XXX Simposio de Investigaciones Arqueológicas en Guatemala, Vol. 1*. (editado por B. Arroyo, L. Méndez y G. Ajú) pp 311-328. IDAEH, Asociación Tikal. Guatemala, Guatemala.

Barrientos, Tomás, Marcello A. Canuto, Maxime Lamoureux-St. Hilaire, David Chatelain y Caroline Parris

2018 “Resultados de Análisis de Radiocarbono: Nuevos Aportes a la Cronología de La Corona, El Achiotal y La Cariba.” En *Proyecto Arqueológico La Corona: Informe Final, Temporada 2017* (editado por Tomás Barrientos Q., Marcello A. Canuto, M. López y Eduardo Bustamante), pp. 39-52. Instituto de Antropología e Historia, Guatemala.

Benavides, Antonio

2005 Campeche Archaeology at the turn of the century. *Anthropological Notebooks*. 11:13-30. En línea:
www.drustvo-antropologov.si/AN/PDF/...1/Anthropological_Notebooks_XI-1_2.pdf

Boot, Erik

2005 “North of Lake Petén Itzá: A Regional Perspective on the cha-TAN-na/cha-ta Collocation”. En *Continuity and Change in Text and Image at Chichén Itzá, Yucatán, Mexico: A Study on the Transformation of the Classic Maya Paradigm of Power at a Late Classic to Early Postclassic Maya Site*, pp. 505-516. Tesis doctoral, Leiden University, The Netherlands.

Brady, James E.

1989 *An Investigation of Maya Ritual Cave Use with Special Reference to Naj Tunich, Peten, Guatemala*. Tesis de Doctorado, Área de Antropología, University of California, Los Angeles. University Microfilms, Ann Arbor.

Brady, James E., Joseph W. Ball, Ronald L. Bishop, Duncan C. Pring, Norman Hammond y Rupert A. Housley

1998 The Lowland Maya ‘Protoclassic’: A reconsideration of its nature and significance. En *Ancient Mesoamerica* 9:17-38.

Bustamante, Eduardo

2017 “Operaciones CR20E, CR20D, y CR20O: Excavaciones en las secciones Sur y Suroeste del Palacio de La Corona.” En *Proyecto Arqueológico La Corona: Informe Final, Temporada 2016* (editado por Tomás Barrientos Q., Marcello A. Canuto, y Eduardo Bustamante), pp. 115-154. Instituto de Antropología e Historia, Guatemala.

2018 “Operaciones CR20E y CR20O: Excavaciones en las Estructuras 13Q-M, 13Q-4P y 13Q-4O del Palacio de La Corona.” En *Proyecto Arqueológico La Corona: Informe Final, Temporada 2017* (editado por Tomás Barrientos Q., Marcello A. Canuto, M. López y Eduardo Bustamante), pp. 53-80. Instituto de Antropología e Historia, Guatemala.

Cagnato, Clarissa

2013 “Investigación de chultunes en El Jobillo. En Reconocimiento arqueológico y mapeo en El Jobillo”. En *Proyecto Arqueológico La Corona Informe Final Temporada 2012* (editado por T. Barrientos, M. Canuto y J. Ponce), pp. 289-296. Instituto de Antropología e Historia, Guatemala.

2016 *A Paleoethnobotanical Study of Two Classic Maya Sites, El Perú-Waka' and La Corona*. Tesis de Doctorado, Área de Antropología, Washington University en St. Louis, MO.

Cajas, Antonieta

2013 “Operación 11B: Excavaciones en la Estructura 13R-19, Temporada 2011”. En *Proyecto Arqueológico La Corona: Informe Final Temporada 2013* (editado por T. Barrientos, M. Canuto y J. Ponce), pp. 61-81. Instituto de Antropología e Historia, Guatemala.

Callaghan, Michael G. y Nina Neivens de Estrada

2016 *The Ceramic Sequence of the Holmul Region, Guatemala*. Anthropological Papers of the University of Arizona, Number 77. The University of Arizona Press, Tucson.

Canuto, Marcello A.

2007 “Capítulo 13. CR-01: Excavaciones en la Estructura C-5 del Grupo C de La Corona”. En *Proyecto Arqueológico El Perú-Waka': Informe No. 4, Temporada 2006*, (editado por H. Escobedo y D. Freidel), pp. 431-456. Instituto de Antropología e Historia, Guatemala.

Canuto, Marcello, Stanley Guenter, Evangelia Tsesmeli y Damien Marken

2006 “El Reconocimiento de La Corona, 2005”. En *Proyecto Arqueológico El Perú-Waka': Informe No. 3, Temporada 2005* (editado por H. Escobedo y D. Freidel), pp. 455-468. Instituto de Antropología e Historia, Guatemala.

Canuto, Marcello y Tomás Barrientos

2009 “Proyecto Regional Arqueológico La Corona: Objetivos generales y resultados preliminares de las investigaciones en el Sitio Q”. En *XXII Simposio de Investigaciones Arqueológicas en Guatemala, 2008* (editado por J.P. Laporte, B. Arroyo y H. Mejía), pp. 687-708. Ministerio de Cultura y Deportes, IDAEH, Asociación Tikal, Guatemala.

2013a La importancia de La Corona. En *La Corona Notes* 1(1): 1-3. *Mesoweb*.

- 2013b “Cinco años de investigaciones en La Corona: Una adivinanza envuelta en un misterio dentro de un engima”. En *XXVI Simposio de Investigaciones Arqueológicas en Guatemala, 2012* (editado por B. Arroyo y L. Méndez), pp. 993-997. Museo Nacional de Arqueología y Etnología, Guatemala
- 2018 “La Corona: Una parada aislada, en el camino al poder. Análisis de interacciones sociopolíticas regionales en el Noroeste de Petén”. En *XXXI Simposio de Investigaciones Arqueológicas en Guatemala, Tomo I* (editado por B. Arroyo, L. Méndez y G. Ajú), pp. 303-314. Ministerio de Cultura y Deportes, IDAEH y Asociación Tikal, Guatemala.
- Canuto, Marcello, T. Barrientos, J. Baron, Y. Desailly-Chanson, L. Padilla, R. Guzmán y J. Ponce
- 2012 “Hallazgos e interpretaciones recientes en el sitio La Corona”. En *XXV Simposio de Investigaciones Arqueológicas en Guatemala, 2011* (editado por B. Arroyo, L. Paiz y H. Mejía), pp. 329-346. Ministerio de Cultura y Deportes, IDAEH, Asociación Tikal, Guatemala
- Canuto, Marcello, T. Barrientos, E. Bustamante, A. Cajas, M. Lamoreux-St. Hilaire y J. Ponce
- 2014 “La Corona y el noroccidente de Petén: Hallazgos e interpretaciones recientes”. En *XXVII Simposio de Investigaciones Arqueológicas en Guatemala, 2013. Tomo I* (editado por B. Arroyo, L. Méndez y A. Rojas), pp. 961-974. Ministerio de Cultura y Deportes, IDAEH, Asociación Tikal, Guatemala.
- Canuto, Marcello, T. Barrientos, E. Gómez, J. Ponce, C. Álvarez, E. Patterson y C. Parris
- 2015 “Tumbas reales de La Corona: La nobleza obliga”. En *XXVIII Simposio de Investigaciones Arqueológicas en Guatemala, 2014* (editado por B. Arroyo, L. Méndez y L. Paiz), pp. 53-64. Museo Nacional de Arqueología y Etnología, Guatemala
- Canuto, Marcello, Tomás Barrientos, Maxime Lamoureux-St-Hilaire y Eduardo Bustamante
- 2017 “La casa de los tronos: El Palacio de La Corona y el gobierno hegemónico de Kaanal”. En *XXX Simposio de Investigaciones Arqueológicas en Guatemala, 2016, Tomo I* (editado por B. Arroyo, L. Méndez y G. Ajú), pp. 185-198. Ministerio de Cultura y Deportes, IDAEH, Asociación Tikal, Guatemala.
- Carr, Christopher, Eric Weaver, Nicholas P Dunning y Vernon L. Scarborough
- 2015 Bringing the University of Pennsylvania Maps of Tikal into the Era of Electronic GIS. En *Tikal* (editado por David L. Lentz, Nicholas P. Dunning y Vernon L. Scarborough), pp. 59–86. Cambridge University Press, Cambridge.

Carrasco, María del Rosario Domínguez

1994 *Calakmul, Campeche, un análisis de la cerámica*. Universidad Autónoma de Campeche, Campeche.

Chase, Arlen y Chase, Diane

1998 Late Classic Maya Political Structure, Polity Size and Warfare Arenas. En *Anatomía de una civilización: aproximaciones interdisciplinarias a la Cultura Maya* (11-30).

Chatelain, David

2015 “Investigaciones Arqueológicas en La Cariba, Temporada 2014”. En *Proyecto Regional Arqueológico La Corona: Informe Final Temporada 2014* (editado por Tomás Barrientos Q., Marcello A. Canuto, y Eduardo Bustamante), pp. 373-400. Instituto de Antropología e Historia, Guatemala.

2018a “La Arqueología de La Cariba: Un Milenio de Cambios Políticos en el Noroeste del Petén Visto por un Centro Menor”. En *XXXII Simposio de Investigaciones Arqueológicas en Guatemala 2018* (editado por Bárbara Arroyo, Luis Méndez Salinas, y Gloria Ajú Álvarez). Instituto de Antropología e Historia, Guatemala.

2018b “Investigaciones Arqueológicas en La Cariba, Temporada 2017”. En *Proyecto Regional Arqueológico La Corona: Informe Final Temporada 2017* (editado por Tomás Barrientos Q., Marcello A. Canuto, y Marissa López), pp. 241-281. Instituto de Antropología e Historia, Guatemala.

Chatelain, David y Alejandro González

2016 “Investigaciones Arqueológicas en La Cariba, Temporada 2015”. En *Proyecto Regional Arqueológico La Corona: Informe Final Temporada 2015* (editado por Tomás Barrientos Q., Marcello A. Canuto, y Eduardo Bustamante), pp. 147-188. Instituto de Antropología e Historia, Guatemala.

2017 “Investigaciones Arqueológicas en La Cariba, Temporada 2016”. En *Proyecto Regional Arqueológico La Corona: Informe Final Temporada 2016* (editado por Tomás Barrientos Q., Marcello A. Canuto, y Eduardo Bustamante), pp. 147-190. Instituto de Antropología e Historia, Guatemala.

Chatelain, David y Luke Auld-Thomas

2017 “Del Preclásico Tardío hasta el Clásico Temprano en el Noroeste de Petén: Perspectivas desde los sitios de La Cariba y El Achiotal”. En *XXX Simposio de Investigaciones Arqueológicas en Guatemala, 2016* (editado por B. Arroyo, L. Méndez y G. Ajú), pp. 149-162. Ministerio de Cultura y Deportes, IDAEH y Asociación Tikal, Guatemala.

Chiriboga, Carlos

2013 “Sub-Proyecto de Reconocimiento Arqueológico Regional: Temporada 2012”. En *Proyecto Regional Arqueológico La Corona: Informe Final Temporada 2012* (editado por T. Barrientos, M. Canuto y J. Ponce), pp. 25-46. Guatemala.

Coe, Michael D.

1988 Ideology of the Maya Tomb. En *Maya Iconography* (editado por E. P. Benson y G. G. Griffin), pp 223-230. Princeton University Press, Princeton, NJ.

Culbert, T. Patrick

1993 *The Ceramics of Tikal: Vessels from the Burials, Caches, and Problematical Deposits*. Tikal Reports 25A. University Museum Monograph 81. University of Pennsylvania, Philadelphia.

Desailly-Chanson, Yann

2010 “Operaciones CR33 y CR35: Excavaciones en las Estructuras 13Q-3 y 13Q-5.” En *Proyecto Arqueológico La Corona: Informe Final, Temporada 2009* (editado por Tomás Barrientos Q., Marcello A. Canuto y Mary Jane Acuña), pp. 165-200. Instituto de Antropología e Historia, Guatemala.

2012 *Political Shifts and Collapse at the Royal Court of Sak Nikte’ During the Late Classic Period*. Tesis de Doctorado. Yale University, New Haven, Connecticut.

Domínguez, María del Rosario, Leydi Puc y William Folan

2010 Oxpemul, Campeche: Un acercamiento a la temporalidad de su asentamiento. En *Estudios de Cultura Maya* 37: 45-63.

Estrada-Belli, Francisco y Alexandre Tokovinine

2016 A King’s Apotheosis: Iconography, Text, and Politics from a Classic Maya Temple at Holmul. En *Latin American Antiquity* 27(2):149–168.

Fernández, Enrique

2011 “Operación CR16: Excavaciones en la Estructura 13R-10”. En *Proyecto Regional Arqueológico La Corona: Informe Final Temporada 2010* (editado por T. Barrientos, M. Canuto y M.J. Acuña), pp. 277-304. Guatemala.

Fitzsimmons, James

2006 Kings of Jaguar Hill: Monuments and Caches at Zapote Bobal. Reporte presentado a FAMSI. En línea: <http://www.famsi.org/reports/05047/index.html>

Foias, Antonia E. y Ronald L. Bishop

2013 *Ceramics, Production, and Exchange in the Petexbatun Region*. Vanderbilt Institute of Mesoamerican Archaeology Series, vol. 7. Vanderbilt University Press, Nashville.

Forné, Mélanie

2006 *La cronología cerámica de La Joyanca, Noroeste del Petén, Guatemala*. BAR International Series, No. 1572. Archaeopress, Oxford.

Forsyth, Donald W.

- 1989 *The Ceramics of El Mirador, Petén, Guatemala*. El Mirador Series, Part 4. Papers of the New World Archaeological Foundation, no. 63. Brigham Young University, Provo, Utah.

Freidel, David A. y Héctor Escobedo

- 2004 *Proyecto Arqueológico El Perú-Waka': Informe No. 1, Temporada 2003*. Informe entregado a IDAEH, Guatemala. En línea:
<http://www.mesoweb.com/resources/informes/Waka2003.html>
- 2005 *Proyecto Arqueológico El Perú-Waka': Informe No. 2, Temporada 2004*. Informe entregado a IDAEH, Guatemala. En línea:
<http://www.mesoweb.com/resources/informes/Waka2004.html>
- 2006 *Proyecto Arqueológico El Perú-Waka': Informe No. 3, Temporada 2005*. Informe entregado a IDAEH, Guatemala. En línea:
<http://www.mesoweb.com/resources/informes/Waka2005.html>
- 2007 *Proyecto Arqueológico El Perú-Waka': Informe No. 4, Temporada 2006*. Informe entregado a IDAEH, Guatemala. En línea:
<http://www.mesoweb.com/resources/informes/Waka2006.html>

Freidel, David A., Hector Escobedo y Stanley P. Guenter

- 2007 A Crossroads of Conquerors: Waka' and Gordon Willey's "Rehearsal for the Collapse Hypothesis". En *Gordon R. Willey and American Archaeology: Contemporary Perspectives* (editado por J. Sabloff y W. Fash), pp. 187-208. Norman: University of Oklahoma Press

Freidel, David A. y Stanley Paul Guenter

- 2003 Bearers of War and Creation. *Archaeology*, En Línea:
<https://archive.archaeology.org/online/features/siteq2>.

Freidel, David A., Marilyn A. Masson, y Michelle Rich

- 2016 Imagining a Complex Maya Political Economy: Counting Tokens and Currencies in Image, Text and the Archaeological Record. En *Cambridge Archaeological Journal* 27(1): 29-54.

García Barrios, Ana

- 2010 Análisis Iconográfico Preliminar de Fragmentos de las Vasijas Estilo Códice Procedentes de Calakmul. En *Estudios de Cultura Maya* XXXVII:67-97.

García Barrios, Ana y Erik Velásquez

- 2016 Los hombres divinos de Chatahn. Historia y papel social de un "linaje" maya del Clásico. En *Arqueología Mexicana* 139: 80-85.

Gifford, James C.

- 1960 The Type-Variety Method of Ceramic Classification as an Indicator of Cultural Phenomena. En *American Antiquity* 25(3):341-347.

1976 *Prehistoric Pottery Analysis and the Ceramics of Barton Ramie in the Belize Valley*. Memoirs of the Peabody Museum of Archaeology and Ethnology, vol. 18. Harvard University, Cambridge, Massachusetts.

Goldschmidt, Walter, Foster, M., Rubinstein, R. y Silverberg, J.
1986 Anthropology and Conflict. En *Anthropology Today*, 2(1), 12-15.

Gómez, Erika

2010 “Operaciones CR11 y CR13: Excavaciones en el Sector Oeste del Grupo 13R de La Corona”. En *Proyecto Regional Arqueológico La Corona: Informe Final Temporada 2009* (editado por T. Barrientos y M. Canuto), pp. 159-198. Guatemala.

González, Alejandro y Antonieta Cajas

2018 “Operaciones CR112 y CR117: Excavaciones en las Estructuras 13R-45 y 13R-7 del Grupo Coronitas”. En *Proyecto Regional Arqueológico La Corona: Informe Final, Temporada 2017* (editado por T. Barrientos, M. Canuto, M. López y E. Bustamante), pp. 209-240. Instituto de Antropología e Historia, Guatemala.

Guzmán, Melvin Rodrigo

2011 “Reconocimiento arqueológico y mapeo en La Corona”. En *Proyecto Arqueológico La Corona Informe Final Temporada 2010* (editado por T. Barrientos, M. Canuto y M.J. Acuña), pp. 127-150. Instituto de Antropología e Historia, Guatemala.

2012 “Reconocimiento arqueológico y mapeo en El Jobillo”. En *Proyecto Arqueológico La Corona Informe Final Temporada 2011* (editado por T. Barrientos, M. Canuto y J. Ponce), pp. 127-150. Instituto de Antropología e Historia, Guatemala.

Grube, Nikolai

2005 Toponyms, Emblem Glyphs and the Political Geography of Southern Campeche. En *Anthropological Notebooks* 11(1): 87-100.

2007 *Informe: trabajos de exploración en Uxul (Campeche)*. En línea: www.iae-onn.de/iae/fileadmin/assest/pdf/InformeINAH2007a.pdf

Grube, Nikolai y Werner Nahm

1990 *A Sign for the Syllable mi*. *Research Reports on Ancient Maya Writing* 33. Center for Maya Research, Washington, DC.

Grube, Nikolai, Kai Delvendahl, Nicolaus Seefeld y Beniamino Volta

2012 Under the Rule of the Snake Kings: Uxul in the 7th and 8th centuries. En *Estudios de Cultura Maya* 40: 11-49

Guernsey, Julia y Kent Reilly (editores)

2006 *Sacred bundles: ritual acts of wrapping and binding in Mesoamerica*. Boundary End Archaeology Research Center, Barnardsville.

- Hall, Grant D.
1989 *Realm of Death: Royal Mortuary Customs and Polity Interactions in the Classic Maya Lowlands*. Tesis de Doctorado, Área de Antropología, Harvard University, Boston, MA.
- Hansen, Richard D., Ronald L. Bishop y Federico Fahsen
1991 Notes on Maya Codex-Style Ceramics from Nakbe, Peten, Guatemala. En *Ancient Mesoamerica* 2(02):225–243. DOI:10.1017/S0956536100000547.
- Helmke, Christophe y Jaime Awe
2016b Death Becomes Her: An Analysis of Panel 3, Xunantunich, Belize. En *The PARI Journal* 16(4):1-14
2016a Sharper than a Serpent's Tooth: A Tale of the Snake-head Dynasty as Recounted on Xunantunich Panel 4. En *The PARI Journal* 17(2):1-22
- Horowitz, Rachel A., Marcello A. Canuto, y Chloé Andrieu
n.d. The Role of Elites in Utilitarian Good Distribution: Case studies from the Northwestern Peten, Guatemala and Western Belize. En *Nuts and Bolts of the Real 'Business' of Ancient Maya Exchange* (editado por, Marilyn A. Masson, David A. Freidel, y Arthur A. Demarest), University of Florida Press, Gainesville.
- Houston, Stephen D. y Peter Mathews
1985 *Dynastic Sequence of Dos Pilas, Guatemala*. Monograph, 1. Pre-Columbian Art Research Institute, San Francisco.
- Houston, Stephen D. y Peter Mathews
1985 *Dynastic Sequence of Dos Pilas, Guatemala*. Monograph, 1. Pre-Columbian Art Research Institute, San Francisco.
- Hruby, Zachary y Michelle Rich
2014 Flint for the Dead: Ritual Deposits of Production debitage from El Peru-Waka'. En *Archaeology at El Peru-Waka': Ancient Maya Performance of Ritual, Memory, and Power* (editado por Olivia C. Navarro-Farr y Michelle Rich), pp 167-183. University of Arizona Press, Tucson.
- Hutson, Scott R.
2015 Adapting LiDAR data for regional variation in the tropics: A case study from the Northern Maya Lowlands. En *Journal of Archaeological Science: Reports* 4: 252-263.
- Inomata, Takeshi, Daniela Triadan, Flory Pinzon, Melissa Burham, Jose Luis Ranchos, Kazuo Aoyama y Tsuyoshi Haraguchi
2018 Archaeological application of airborne LiDAR to examine social changes in the Ceibal region of the Maya lowlands. En *PLOS ONE* 13(2):1–37.

- Justeson, John S., William Norman y Norman Hammond
n.d The Pomona Flare: A Preclassic Maya Hieroglyphic Text. En *Maya Iconography* (editado por Elizabeth P. Benson y Gillett G. Griffin), pp. 94-151. Princeton University Press, Princeton.
- Kaufman, Terrance
2003 *A Preliminary Mayan Etymological Dictionary*. En Línea:
<http://www.famsi.org/reports/01051/index.html>
- Kaufman, F. y Marco A. Leal
1988 *Proyecto Arqueológico Peruano Guatemalteco al noroccidente de Petén*.
Publicación de la Universidad de San Carlos Guatemala, Guatemala.
- Kosakowsky, Laura J.
1987 *Preclassic Maya Pottery at Cuello, Belize*. Anthropological Papers of the University of Arizona, no. 47. The University of Arizona Press, Tucson.
- Laporte, Juan Pedro y Vilma Fialko
1995 Un Reencuentro con Mundo Perdido, Tikal, Guatemala. En *Ancient Mesoamerica* 6:41-94.
- Lamoureux-St-Hilaire, Maxime
2018 *Palatial Politics: The Classic Maya Royal Court of La Corona, Guatemala*. Tesis de Doctorado. Tulane University, New Orleans.
- Lamoureux-St-Hilaire, Maxime y Eduardo Bustamante
2016 “Investigaciones de desarrollo y funcionalidad en el palacio real de La Corona”. En *XXIX Simposio de Investigaciones Arqueológicas en Guatemala, 2015* (editado por B. Arroyo, L. Méndez y L. Paiz), Ministerio de Cultura y Deportes, IDAEH, Asociación Tikal, Guatemala.
- Lamoureux-St-Hilaire, Maxime, Marcello Canuto, Tomás Barrientos y Eduardo Bustamante
i.p. Detachment from Power: Sequential Abandonment in the Classic Maya Palace of La Corona, Guatemala. En *Detaching from Place: A World Archaeology Perspective on Settlement Abandonment* (editado por Maxime Lamoureux-St-Hilaire y Scott Macrae). University Press of Colorado, Boulder.
- Leal, Marco A., Salvador López, Maria T. Chinchilla, José Paredes, José Benitez y Marco Zetina
1988 *Reconocimiento arqueológico en el noroccidente de Petén*. Instituto de Investigaciones Históricas, Antropológicas y Arqueológicas, Vol. 1, Escuela de Historia, USAC, Guatemala.

- Leal, Marco A. y Salvador López
 1993 Reconocimiento arqueológico en la brecha topográfica Libertad-Xan (sector Tamariz-Río San Pedro. En *Basic Resources Int. Guatemala*.
- López Mosel, Marissa Lynn
 2018 “Operación CR52: Investigaciones en la Estructura CR12P-1, Sacbe”. En *Proyecto Arqueológico La Corona: Informe Final, Temporada 2017* (editado por Tomás Barrientos Q., Marcello A. Canuto, Marissa López, y Eduardo Bustamante), pp. 165-200. Instituto de Antropología e Historia, Guatemala.
- Marken, Damien y Stanley Guenter
 2007 “Capítulo 15. Levantando el mapa de La Corona y sus monumentos: Temporada del 2006. En Proyecto Arqueológico El *Peru-Waka*”: *Informe No. 4, Temporada 2006*, (editado por H. Escobedo y D. Freidel), pp. 479-487. Instituto de Antropología e Historia, Guatemala.
- Manning, Christopher D., Prabhakar Raghavan y Hinrich Schutze
 2009 *An Introduction to Information Retrieval*. Cambridge University Press, Cambridge.
- Martin, Simon
 2005 Of Snakes and Bats: Shifting Identities at Calakmul. *The PARI Journal* 6(2):5-15. En Línea: www.mesoweb.com/pari/publications/journal/602/SnakesBats_e.pdf
 2005 Caracol Altar 21 Revisited. En *The PARI Journal* 6(1):1-9
 2008 *Wives and Daughters on the Dallas Altar. Wives and Daughters on the Dallas Altar*. Mesoweb Articles. En Línea: www.mesoweb.com/articles/martin/Wives&Daughters.pdf
- Martin, Simon y Dmitri Beliaev
 2017 K’ahk’ ti’ ch’ich’: A New Snake King from the Early Classic Period. En *The PARI Journal* 17(3):1-7.
- Martin, Simon y Nikolai Grube
 2000 *Chronicle of Maya Kings and Queens*. Thames and Hudson, London.
 2008 *Chronicle of the Maya Kings and Queens* (2da edición). Thames and Hudson, New York.
- Martin, Simon y Erik Velásquez
 2016 Politics and Places: Tracing the Toponyms of the Snake Dynasty. En *The PARI Journal* 17(2):23-33.

- Martin, Simon, Alexandre Tokovinine, Elodie Treffel y Vilma Fialko
2017 “La Estela 46 de Naranjo Sa'al, Peten, Guatemala: Hallazgo y texto Jeroglífico”. En *XXX Simposio de Investigaciones Arqueológicas en Guatemala*, 2016 (editado por B. Arroyo, L. M. Salinas y L. Paiz, pp. 669- Museo de arqueología y etnología de Guatemala), Guatemala Ciudad, p. 669-684. Ministerio de Cultura y Deportes, Instituto de Antropología e Historia, Asociación Tikal, Guatemala.
- McAnany, Patricia A.
2010 *Ancestral Maya Economies in Archaeological Perspective*. Cambridge University Press, Cambridge.
- Moholy-Nagy, Hattula
2011 Observations on the Use Life Trajectory of Lithic Artifacts at Tikal, Guatemala. En *The Technology of Maya Civilization: Political Economy and Beyond in Lithic Studies* (editado por Zachary X. Hruby, Geoffrey E. Braswell, y Oswaldo Chinchilla Mazariegos), pp 30-36. Equinox, Sheffield.
- Morales Forte, Rubén
2018 “Excavaciones en la Sección Norte del Palacio de La Corona: Operaciones CR21N, CR20G y CR22.” En *Proyecto Arqueológico La Corona: Informe Final, Temporada 2017* (editado por Tomás Barrientos Q., Marcello A. Canuto, M. López, y Eduardo Bustamante), pp. 105-136. Instituto de Antropología e Historia, Guatemala.
- Navarro-Farr, Olivia y Michelle Rich
2015 *Archaeology at El Perú-Waka': Ancient Maya Performances of Ritual, Memory, and Power*. The University of Arizona Press, Tucson.
- Odell, George H.
2003 *Lithic Analysis*. Springer, New York.
- Parris, Caroline
2015 “Análisis Preliminar de las Vasijas Completas, Temporada 2014”. En *Proyecto Arqueológico La Corona: Informe Final, Temporada 2014* (editado por Tomás Barrientos Q., Marcello A. Canuto y Eduardo Bustamante), pp. 301-334. Guatemala. Instituto de Antropología e Historia, Guatemala.
2016 “Síntesis de la Colección de Tipos Cerámicos de La Corona”. En *Proyecto Regional Arqueológico La Corona: Informe Final Temporada 2015* (editado por Tomás Barrientos Q., Marcello A. Canuto, y Eduardo Bustamante), pp. 253-308. Instituto de Antropología e Historia, Guatemala.

Pérez, Griselda; Stanley Guenter, David Freidel, Francisco Castañeda y Olivia Navarro
2014 “El descubrimiento de la Estela 44 de El Perú-Waka’: un nuevo capítulo en la historia de los mayas antiguos del noroeste de Petén, Guatemala”. En *XXVII Simposio de Investigaciones Arqueológicas en Guatemala, 2013* (editado por B. Arroyo, L. Méndez Salinas y A. Rojas), pp. 117-124. Museo Nacional de Arqueología y Etnología, Guatemala.

Pérez, Juan Carlos, Griselda Pérez, David Freidel y Olivia Navarro-Farr
2015 Waka’, el reino del ciempiés: la reina K’abel y su historia recién descubierta. En *Anales del Museo de América* 23: 7-31

Pérez Robles, G., Stanly Guenter, David A. Freidel, F. Castañeda y Olivia C. Navarro-Farr
2014 “El descubrimiento de la Estela 44 de El Perú-Waka’: un nuevo capítulo en la historia de los mayas antiguos del noroeste de Petén, Guatemala”. En *XXVII Simposio de Investigaciones Arqueológicas en Guatemala, 2013* (editado por B. Arroyo, L. Méndez Salinas y A. Rojas), pp. 117-124. Ministerio de Cultura y Deportes, Instituto de Antropología e Historia, Asociación Tikal, Guatemala.

Ponce, Jocelyne

2015 “Operación CR16: Excavaciones en la Estructura 13R-10, Temporada 2014”. En *Proyecto Regional Arqueológico La Corona: Informe final Temporada 2014* (editado por T. Barrientos, M. Canuto y E. Bustamante), pp. 53-72. Instituto de Antropología e Historia, Guatemala.

2016 “Operaciones CR112 y CR115: Excavaciones en las Estructuras 13R-1 y 13R-45 del Grupo Coronitas”. En *Proyecto Regional Arqueológico La Corona: Informe Final, Temporada 2010* (editado por T. Barrientos, M. Canuto y E. Bustamante), pp. 137-146. Instituto de Antropología e Historia, Guatemala.

2017 “Investigaciones Arqueológicas en El Jobillo: Temporada 2016”. En *Proyecto Arqueológico La Corona Informe Final Temporada 2016* (editado por T. Barrientos, M. Canuto y E. Bustamante), pp. 191-212. Instituto de Antropología e Historia, Guatemala.

2018 “Investigaciones Arqueológicas en El Jobillo: Temporada 2017”. En *Proyecto Arqueológico La Corona Informe Final Temporada 2017* (editado por T. Barrientos, M. Canuto, M. López y E. Bustamante), pp. 283-320. Instituto de Antropología e Historia, Guatemala.

Ponce, Jocelyne, y Camilo Nájera

2012 “Operación CR16: Excavaciones en la Estructura 13R-10, Temporada 2011”. En *Proyecto Regional Arqueológico La Corona: Informe Final Temporada 2011* (editado por T. Barrientos, M. Canuto y J. Ponce), pp. 279-317. Instituto de Antropología e Historia, Instituto de Antropología e Historia, Guatemala.

- Reese-Taylor, Kathryn, Armando Anaya Hernández, Atasta Flores F.C. Esquivel, Kelly Monteleone, Alejandro Uriarte, Christopher Carr, Helga Geovannini Acuña, Juan Carlos Fernandez-Diaz, Meaghan Peuramaki-Brown y Nicholas Dunning
 2016 Boots on the Ground at Yaxnohcah. Ground-Truthing Lidar in a complex tropical landscape. En *Advances in Archaeological Practice* 4(3):314–338.
 DOI:10.7183/2326-3768.4.3.314.
- Rice, Prudence M.
 1987 *Macanche Island, El Petén, Guatemala: Excavations, Pottery, and Artifacts*. University of Florida Press, Gainesville, Florida.
 2013 Type-Variety: What Works and What Doesn't. En *Ancient Maya Pottery: Classification, Analysis, and Interpretation* (editado por James John Aimers), pp. 11-28. University Press of Florida, Gainesville.
- Robichaux, Hubert
 2009 Textos e iconografía de los mayas antiguos en Oxpemul, Campeche: un resumen actualizado. En *Los Investigadores de la Cultura Maya* 17: 81-92.
- Robichaux, Humbert R. y Candace Pruett
 2005 Las inscripciones de Oxpemul. En *Los Investigadores de la Cultura Maya* 13(1):29-43. Campeche: Universidad Autónoma de Campeche.
- Sabloff, Jeremy A.
 1975 *Excavations at Seibal, Number 2: Ceramics*. Memoirs of the Peabody Museum of Archaeology and Ethnology, vol. 13, no. 2. Harvard University, Cambridge, Massachusetts.
- Sabloff, Jeremy A. y Robert E. Smith
 1969 The Importance of Both Analytic and Taxonomic Classification in the Type-Variety System. En *American Antiquity* 34(3):278-285.
- Schele, Linda y Mary E. Miller
 1986 *Blood of Kings*. George Braziller Inc., New York.
- Schele, Linda
 1987 The Figures on the Central Marker of Ballcourt AIIb at Copan. En *Copan Note 13*. Copan Mosaics Project, Copan, Honduras.
- Smith, Robert E.
 1955 *Ceramic Sequence at Uaxactun, Guatemala*. Middle American Research Institute, Publication 20. Tulane University, New Orleans.

- Smith, Robert E. y James C. Gifford
 1966 *Maya Ceramic Varieties, Types, and Wares at Uaxactun: Supplement to "Ceramic Sequence at Uaxactun, Guatemala"*. Middle American Research Institute, Publication 28. Tulane University, New Orleans.
- Smith, Robert E., Gordon R. Willey, y James C. Gifford
 1960 The Type-Variety Concept as a Basis for the Analysis of Maya Pottery. En *American Antiquity* 25(3):330-340.
- Stuart, David
 2001 "Las ruinas de La Corona, Peten, y la identificación del 'Sitio Q'". Ponencia presentada en el *XV Simposio de Investigaciones Arqueológicas en Guatemala, Julio 2001*, Museo Nacional de Arqueología y Etnología, Guatemala.
 2012 The Calligraphic Zero. En *Maya Decipherment*, 15 Junio, 2012. En Línea <https://decipherment.wordpress.com/2012/06/15/the-calligraphic-zero/>
 2015 Earth Caves and Sky Caves: Intersections of Landscape, Territory and Cosmology among the Ancient Maya. Lecture presented as part of the Mesoamerica Center Colloquium Series, The University of Texas at Austin, December 2015. En Línea: https://www.academia.edu/35070038/Earth-caves_and_Sky-caves_Intersections_of_Landscape_Territory_and_Cosmology_among_the_Ancient_Maya
 2017 A Possible New **k'o** Sign Unpublished manuscript in the author's possession.
- Stuart, David y Stephen D. Houston
 1994 *Classic Maya Place Names*. Studies in Pre-Columbian Art & Archaeology, No. 33. Dumbarton Oaks, Washington, DC
- Stuart, David, Marcello A. Canuto y Tomás Barrientos Q.
 2015 The Nomenclature of La Corona Sculpture. En *La Corona Notes*, pp. 1-9. vol. 1. Mesoweb.
 2015 La muerte de los derrotados: nuevos datos históricos en el Bloque 4 de la Escalinata Jeroglífica 2 de La Corona. *La Corona Notes* 1(3): 1-7. *Mesoweb*.
- Stuart, David, Peter Mathews, Marcello A. Canuto, Tomás Barrientos Q., Stanley P. Guenter y Joanne P. Baron
 2014 "Un Esquema de la Historia y Epigrafía de La Corona". En *XXVII Simposio de Investigaciones Arqueológicas en Guatemala, 2013* (editado por B. Arroyo, L. Méndez Salinas y A. Rojas), pp. 435–448. Ministerio de Cultura y Deportes, Instituto de Antropología e Historia, Asociación Tikal, Guatemala.
- Šprajc, Ivan, William J. Folan y Raymundo González
 2005 Las ruinas de Oxpemul, Campeche: su redescubrimiento después de 70 años de olvido. En *Los investigadores de la Cultura Maya* 13(1): 19-27. Campeche: Universidad Autónoma de Campeche.

Thompson, J. Eric S.

1950 *Maya Hieroglyphic Writing: An Introduction Publication 589*. Carnegie Institution of Washington, Washington D.C.

Tokovinine, Alexandre

2013 Place and Identity in Classic Maya Narratives. En *Studies in Precolumbian Art and Archaeology*, Number 37. Dumbarton Oaks, Washington, D.C.

Valencia Rogelio y Octavio Esparza

2018 La presencia del Glifo Emblema del murciélago en El Petén y el sur de Campeche y sus implicaciones políticas. En *Estudios de Cultura Maya* 51: 43-74.

Vázquez, Verónica, Felix Kupprat, Rogelio Valencia y Hugo García Capistrán

2016 The Social Function of the Title "K'uhul Chatahn Winik. Conferencia presentada en la *81 Reunión Annual de la Society for American Archaeology*, Orlando, Florida.

Velásquez, Erik

2008 Los posibles alcances territoriales de la influencia política de Dzibanché durante el Clásico temprano: nuevas alternativas para interpretar las menciones históricas sobre la entidad política de Kan. En *El territorio maya: memoria de la Quinta Mesa Redonda de Palenque*, (editado por R. Liendo), pp. 323-352. Instituto Nacional de Antropología e Historia, México.

Velásquez, Erik y Ana García Barrios

2018 Devenir histórico y papel de los Chatahn winik en la sociedad maya clásica. *Mesowe*.

Webster, D.

1976 Lowland Maya Fortifications. En *Proceedings of the American Philosophical Society* 120(5) 361-271.

Whittaker, John C.

1994 *Flintknapping: Making and Understanding Stone Tools*. University of Texas Press, Austin.

Willey, Gordon R., T. Patrick Culbert, y Richard E.W. Adams

1967 Maya Lowland Ceramics: A Report from the 1965 Guatemala City Conference. En *American Antiquity* 32:289-315.

ANEXO 1

**LISTADO DE MATERIALES ARQUEOLÓGICOS HALLADOS EN LA
TEMPORADA DE CAMPO 2018**

En el siguiente inventario se da el número de bolsas de materiales recuperados por contextos de excavación.

La Corona

Grupo Tortugas

Sitio	Operación	Sub-operación	Unidad	Contexto Especial	Material / Artefacto	Número de bolsas
CR	54		7		CARBÓN (CB)	1
CR	54		8		CARBÓN (CB)	1
CR	54		3	ENTIERRO	CARBÓN (CB)	2
CR	54		5	ENTIERRO	CARBÓN (CB)	2
CR	54		2		CARBÓN (CB)	3
CR	54		3		CARBÓN (CB)	3
CR	54		4		CARBÓN (CB)	3
CR	54		5		CARBÓN (CB)	7
CR	55	A	2	SAQUEO	CARBÓN (CB)	2
CR	55	A	5	SAQUEO	CARBÓN (CB)	3
CR	54		6		CERÁMICA (CE)	9
CR	54		7		CERÁMICA (CE)	8
CR	54		8		CERÁMICA (CE)	6
CR	54		3	0	CERÁMICA (CE)	12
CR	54		4	0	CERÁMICA (CE)	10
CR	54		2	0	CERÁMICA (CE)	6
CR	54		3	0	CERÁMICA (CE)	6
CR	54		4		CERÁMICA (CE)	1
CR	54		5	0	CERÁMICA (CE)	13
CR	55		1	SAQUEO	CERÁMICA (CE)	8
CR	55	A	1	SAQUEO	CERÁMICA (CE)	6
CR	55	A	3	SAQUEO	CERÁMICA (CE)	4
CR	55		2	SAQUEO	CERÁMICA (CE)	8
CR	55	A	2	SAQUEO	CERÁMICA (CE)	3

Sitio	Operación	Sub-operación	Unidad	Contexto Especial	Material / Artefacto	Número de bolsas
CR	55		2	SAQUEO	CERÁMICA (CE)	2
CR	55	A	5		CERÁMICA (CE)	2
CR	54		5		CONCHA (CO)	1
CR	54		3		CONCHA (CO)	1
CR	54		4		CONCHA (CO)	2
CR	54		5		CONCHA (CO)	1
CR	55	A	4		CONCHA (CO)	1
CR	55		1	SAQUEO	CONCHA (CO)	1
CR	54		7		ESTELA LISA (ES)	1
CR	54		5		ESTUCO (ES)	2
CR	54		4		ESTUCO (ES)	4
CR	55	A	4		ESTUCO (ES)	1
CR	54		2		FIGURILLA (FG)	1
CR	54		4		FIGURILLA (FG)	2
CR	54		5		FIGURILLA (FG)	1
CR	54		2		HUESO FAUNA (HF)	1
CR	54		4		HUESO FAUNA (HF)	4
CR	55	A	3	SAQUEO	HUESO FAUNA (HF)	2
CR	55	A	1	SAQUEO	HUESO FAUNA (HF)	2
CR	55		2	SAQUEO	HUESO FAUNA (HF)	2
CR	54		3	ENTIERRO 25	HUESO HUMANO (HH)	1
CR	54		5	ENTIERRO 26	HUESO HUMANO (HH)	1
CR	54		5	ENTIERRO 24	HUESO HUMANO (HH)	85
CR	54		7	ENTIERRO 23	HUESO HUMANO (HH)	31
CR	54		5		HUESO HUMANO (HH)	2
CR	54		3		HUESO INDEFINIDO (HI)	1
CR	54		4		HUESO INDEFINIDO (HI)	1
CR	54		5		HUESO INDEFINIDO (HI)	2
CR	55		1	SAQUEO	HUESO INDEFINIDO (HI)	1
CR	54		2		MALACATE (ML)	1
CR	54		8		MUESTRA DE PISO	1
CR	54		3		MUESTRA DE PISO	1
CR	54		8		MUESTRA DE TIERRA (MT)	1
CR	55	A	3	SAQUEO	MUESTRA DE TIERRA (MT)	1
CR	54		7	ENTIERRO	MUESTRA DE TIERRA (MT)	1
CR	54		5		MUESTRA DE TIERRA (MT)	5

Sitio	Operación	Sub-operación	Unidad	Contexto Especial	Material / Artefacto	Número de bolsas
CR	54		2		OBSIDIANA (OB)	2
CR	54		3		OBSIDIANA (OB)	4
CR	54		3	ENTIERRO	OBSIDIANA (OB)	1
CR	54		4		OBSIDIANA (OB)	6
CR	54		5		OBSIDIANA (OB)	5
CR	55	A	3	SAQUEO	OBSIDIANA (OB)	1
CR	54		4		OTRA LITICA (LI)	1
CR	54		6		OTRA LITICA (LI)	1
CR	54		5		OTRA LITICA (LI)	2
CR	55		1	SAQUEO	OTRA LITICA (LI)	1
CR	55		2	SAQUEO	OTRA LITICA (LI)	1
CR	55	A	3	SAQUEO	OTRA LITICA (LI)	1
CR	54		5	ENTIERRO	OTRAS MUESTRAS (MU)	1
CR	54		3		PEDERNAL (PE)	1
CR	54		2		PEDERNAL (PE)	2
CR	54		5		PEDERNAL (PE)	5
CR	54		4		PEDERNAL (PE)	7
CR	55		1	SAQUEO	PEDERNAL (PE)	1
CR	55		2	SAQUEO	PEDERNAL (PE)	1
CR	54		3	ENTIERRO	PIEDRA VERDE / JADE (PV)	1
CR	54		5		SEMILLA (SE)	1
CR	54		3	ENTIERRO 26	VASIJA CERAMICA (VC)	1
CR	54		5	ENTIERRO 24	VASIJA CERAMICA (VC)	2
CR	54		7	ENTIERRO 23	VASIJA CERAMICA (VC)	2
CR	55	A	4		VASIJA CERAMICA (VC)	1

Grupo Coronitas

Sitio	Operación	Sub-operación	Unidad	Contexto Especial	Material / Artefacto	Número de bolsas
CR	112	B	31	ESCONDITE	CARBÓN (CB)	1
CR	112	B	28		CARBÓN (CB)	2
CR	112	B	25		CARBÓN (CB)	3
CR	112	B	31		CARBÓN (CB)	3
CR	112	B	23		CENIZA (CN)	1
CR	112	B	24		CERÁMICA (CE)	6
CR	112	B	32		CERÁMICA (CE)	6

Sitio	Operación	Sub-operación	Unidad	Contexto Especial	Material / Artefacto	Número de bolsas
CR	112	B	34		CERÁMICA (CE)	1
CR	112	B	22		CERÁMICA (CE)	2
CR	112	B	23		CERÁMICA (CE)	4
CR	112	B	25		CERÁMICA (CE)	2
CR	112	B	28		CERÁMICA (CE)	3
CR	112	B	30		CERÁMICA (CE)	1
CR	112	B	31		CERÁMICA (CE)	6
CR	112	B	32		CONCHA (CO)	1
CR	112	B	31		CONCHA (CO)	2
CR	112	B	31	ESCONDITE	CONCHA (CO)	13
CR	112	B	32		CONCHA (CO)	2
CR	112	B	23		CONCHA (CO)	1
CR	112	B	31		ESTUCO (ES)	1
CR	112	B	23		ESTUCO (ES)	1
CR	112	B	24		ESTUCO (ES)	1
CR	112	B	25		HUESO FAUNA (HF)	1
CR	112	B	22		HUESO INDEFINIDO (HI)	1
CR	112	B	22		MUESTRA DE PISO	1
CR	112	B	20		MUESTRA DE PISO	2
CR	112	B	25		MUESTRA DE PISO	2
CR	112	B	14		MUESTRA DE PISO	3
CR	112	B	28		MUESTRA DE PISO	3
CR	112	B	26		MUESTRA DE PISO	3
CR	112	B	23		MUESTRA DE PISO	4
CR	112	B	31		MUESTRA DE TIERRA (MT)	1
CR	112	B	22		OBSIDIANA (OB)	1
CR	112	B	28		OBSIDIANA (OB)	1
CR	112	B	31		OBSIDIANA (OB)	1
CR	112	B	32		OBSIDIANA (OB)	1
CR	112	B	31		OTRO LÍTICA (LI)	1
CR	112	B	28		PEDERNAL (PE)	1
CR	112	B	32		PEDERNAL (PE)	1
CR	112	B	23		PEDERNAL (PE)	2
CR	112	B	31		PEDERNAL (PE)	2

El Jobillo

Sitio	Operación	Sub-operación	Unidad	Contexto Especial	Material / Artefacto	Número de bolsas
JOB	10	B	13		CARBÓN (CB)	1
JOB	10	B	14		CARBÓN (CB)	2
JOB	13	B	8		CARBÓN (CB)	1
JOB	10	B	14		CARBÓN (CB)	2
JOB	16	B	0	SAQUEO	CARBÓN (CB)	2
JOB	16	C	2		CARBÓN (CB)	3
JOB	5	D	9	0	CERÁMICA (CE)	2
JOB	16	B	0	SAQUEO	CERÁMICA (CE)	5
JOB	16	B	1	0	CERÁMICA (CE)	5
JOB	16	C	2	0	CERÁMICA (CE)	7
JOB	16	C	3	0	CERÁMICA (CE)	3
JOB	6	C	1	0	CERÁMICA (CE)	1
JOB	4	B	1		CERÁMICA (CE)	1
JOB	4	B	2		CERÁMICA (CE)	2
JOB	4	B	3		CERÁMICA (CE)	1
JOB	4	B	4		CERÁMICA (CE)	1
JOB	4	B	5		CERÁMICA (CE)	1
JOB	4	B	6		CERÁMICA (CE)	2
JOB	4	B	7		CERÁMICA (CE)	3
JOB	4	B	8		CERÁMICA (CE)	2
JOB	4	B	9		CERÁMICA (CE)	1
JOB	6	C	2		CERÁMICA (CE)	1
JOB	9	B	1		CERÁMICA (CE)	1
JOB	9	B	2		CERÁMICA (CE)	2
JOB	9	B	3		CERÁMICA (CE)	1
JOB	9	B	4		CERÁMICA (CE)	1
JOB	10	B	1		CERÁMICA (CE)	3
JOB	10	B	2		CERÁMICA (CE)	2
JOB	10	B	3		CERÁMICA (CE)	1
JOB	10	B	4		CERÁMICA (CE)	2
JOB	10	B	5		CERÁMICA (CE)	1
JOB	10	B	6		CERÁMICA (CE)	3
JOB	10	B	7		CERÁMICA (CE)	1
JOB	10	B	8		CERÁMICA (CE)	2

Sitio	Operación	Sub-operación	Unidad	Contexto Especial	Material / Artefacto	Número de bolsas
JOB	10	B	9		CERÁMICA (CE)	2
JOB	10	B	10		CERÁMICA (CE)	1
JOB	10	B	11		CERÁMICA (CE)	1
JOB	10	B	12		CERÁMICA (CE)	1
JOB	10	B	13		CERÁMICA (CE)	1
JOB	11	B	1		CERÁMICA (CE)	2
JOB	11	B	2		CERÁMICA (CE)	1
JOB	11	B	3		CERÁMICA (CE)	1
JOB	11	B	4		CERÁMICA (CE)	2
JOB	12	B	1		CERÁMICA (CE)	3
JOB	12	B	2		CERÁMICA (CE)	1
JOB	12	B	3		CERÁMICA (CE)	1
JOB	12	B	4		CERÁMICA (CE)	1
JOB	12	B	5		CERÁMICA (CE)	1
JOB	13	B	6		CERÁMICA (CE)	2
JOB	13	B	5		CERÁMICA (CE)	5
JOB	13	B	4		CERÁMICA (CE)	1
JOB	13	B	3		CERÁMICA (CE)	1
JOB	13	B	2		CERÁMICA (CE)	1
JOB	13	B	1		CERÁMICA (CE)	2
JOB	13	B	7		CERÁMICA (CE)	2
JOB	13	B	8		CERÁMICA (CE)	1
JOB	13	B	9		CERÁMICA (CE)	2
JOB	10	B	14		CERÁMICA (CE)	3
JOB	6	B	1		CERÁMICA (CE)	1
JOB	6	B	2		CERÁMICA (CE)	2
JOB	6	B	3		CERÁMICA (CE)	1
JOB	6	B	4		CERÁMICA (CE)	1
JOB	6	D	1		CERÁMICA (CE)	2
JOB	6	D	2		CERÁMICA (CE)	1
JOB	6	D	3		CERÁMICA (CE)	1
JOB	7	B	1		CERÁMICA (CE)	2
JOB	7	B	2		CERÁMICA (CE)	2
JOB	7	B	3		CERÁMICA (CE)	2
JOB	7	B	4		CERÁMICA (CE)	2
JOB	7	B	5		CERÁMICA (CE)	1
JOB	7	B	6		CERÁMICA (CE)	1

Sitio	Operación	Sub-operación	Unidad	Contexto Especial	Material / Artefacto	Número de bolsas
JOB	7	B	7		CERÁMICA (CE)	2
JOB	7	B	8		CERÁMICA (CE)	2
JOB	7	B	9		CERÁMICA (CE)	2
JOB	7	B	10		CERÁMICA (CE)	1
JOB	7	B	11		CERÁMICA (CE)	1
JOB	7	B	12		CERÁMICA (CE)	2
JOB	7	B	13		CERÁMICA (CE)	2
JOB	7	B	14		CERÁMICA (CE)	3
JOB	7	B	15		CERÁMICA (CE)	1
JOB	7	B	16		CERÁMICA (CE)	1
JOB	7	B	17		CERÁMICA (CE)	1
JOB	13	B	10		CERÁMICA (CE)	2
JOB	14	B	2		CERÁMICA (CE)	1
JOB	14	B	5		CERÁMICA (CE)	1
JOB	14	B	4		CERÁMICA (CE)	1
JOB	13	B	11		CERÁMICA (CE)	1
JOB	13	B	10		CERÁMICA (CE)	1
JOB	13	B	11		CERÁMICA (CE)	11
JOB	14	B	2		CERÁMICA (CE)	1
JOB	14	B	1		CERÁMICA (CE)	1
JOB	14	B	3		CERÁMICA (CE)	2
JOB	10	B	14		CERÁMICA (CE)	5
JOB	16	C	2		CERÁMICA (CE)	4
JOB	16	C	3		CERÁMICA (CE)	3
JOB	16	B	1		CONCHA (CO)	1
JOB	16	C	1		CONCHA (CO)	2
JOB	16	C	2		CONCHA (CO)	3
JOB	14	B	2		CONCHA (CO)	1
JOB	16	C	3		CONCHA (CO)	2
JOB	16	B	0	SAQUEO	ESTUCO (ES)	1
JOB	6	C	1		ESTUCO (ES)	1
JOB	16	C	2		ESTUCO (ES)	1
JOB	6	D	3		ESTUCO (ES)	1
JOB	6	C	1		ESTUCO (ES)	1
JOB	6	C	2		ESTUCO (ES)	1
JOB	16	C	2		ESTUCO (ES)	2
JOB	16	C	3		ESTUCO (ES)	3
JOB	10	B	14		FIGURILLA (FG)	1

Sitio	Operación	Sub-operación	Unidad	Contexto Especial	Material / Artefacto	Número de bolsas
JOB	10	B	14		FIGURILLA (FG)	1
JOB	7	B	10		FIGURILLA (FG)	1
JOB	16	B	0	SAQUEO	HUESO INDEFINIDO (HI)	1
JOB	16	C	1		HUESO INDEFINIDO (HI)	1
JOB	16	C	2		HUESO INDEFINIDO (HI)	4
JOB	10	B	9		MUESTRA DE TIERRA (MT)	1
JOB	10	B	9	0	MUESTRA DE TIERRA (MT)	1
JOB	10	B	14		MUESTRA DE TIERRA (MT)	4
JOB	5	D	9		MUESTRA DE TIERRA (MT)	9
JOB	10	B	14		OBSIDIANA (OB)	2
JOB	16	C	1		OBSIDIANA (OB)	1
JOB	16	C	2		OBSIDIANA (OB)	3
JOB	4	B	3		OBSIDIANA (OB)	1
JOB	4	B	7		OBSIDIANA (OB)	1
JOB	13	B	3		OBSIDIANA (OB)	1
JOB	10	B	14		OBSIDIANA (OB)	4
JOB	14	B	2		OBSIDIANA (OB)	1
JOB	16	C	3		OBSIDIANA (OB)	1
JOB	13	B	3		OTRA LÍTICA (LI)	2
JOB	14	B	2		OTRA LÍTICA (LI)	1
JOB	10	B	14		OTRA LÍTICA (LI)	1
JOB	10	B	14		OTRA LÍTICA (LI)	4
JOB	10	B	14		OTRO LÍTICA (LI)	1
JOB	13	B	7		OTRO LÍTICA (LI)	1
JOB	16	C	1		OTRO LÍTICA (LI)	1
JOB	16	C	3		OTRO LÍTICA (LI)	1
JOB	16	C	2		OTRO LÍTICA (LI)	4
JOB	4	B	2		PEDERNAL (PE)	1
JOB	7	B	4		PEDERNAL (PE)	1
JOB	7	B	14		PEDERNAL (PE)	1
JOB	4	B	3		PEDERNAL (PE)	1
JOB	10	B	3		PEDERNAL (PE)	1
JOB	13	B	4		PEDERNAL (PE)	1
JOB	10	B	8		PEDERNAL (PE)	1
JOB	10	B	9		PEDERNAL (PE)	1
JOB	10	B	10		PEDERNAL (PE)	1
JOB	10	B	12		PEDERNAL (PE)	1
JOB	10	B	13		PEDERNAL (PE)	1

Sitio	Operación	Sub-operación	Unidad	Contexto Especial	Material / Artefacto	Número de bolsas
JOB	14	B	3		PEDERNAL (PE)	1
JOB	14	B	2		PEDERNAL (PE)	1
JOB	10	B	14		PEDERNAL (PE)	4
JOB	16	B	1		PEDERNAL (PE)	2
JOB	16	C	1		PEDERNAL (PE)	2
JOB	16	C	3		PEDERNAL (PE)	3
JOB	16	C	2		PEDERNAL (PE)	4
JOB	16	C	2		PIEDRA VERDE / JADE (PV)	1
JOB	10	B	14		PRUEBA DE ALMIDON	4

El Achiotal

Sitio	Operación	Sub-operación	Unidad	Contexto Especial	Material / Artefacto	No. de Bolsas
ACH	3	C	4		CARBÓN (CB)	3
ACH	99		24		CARBÓN (CB)	2
ACH	99		26		CARBÓN (CB)	4
ACH	99		27		CARBÓN (CB)	4
ACH	3	C	2		CERÁMICA (CE)	5
ACH	3	C	3		CERÁMICA (CE)	4
ACH	3	C	4		CERÁMICA (CE)	3
ACH	3	X	2		CERÁMICA (CE)	2
ACH	3	X	4		CERÁMICA (CE)	3
ACH	6	B	1		CERÁMICA (CE)	2
ACH	6	B	2		CERÁMICA (CE)	1
ACH	99		24		CERÁMICA (CE)	8
ACH	99		25		CERÁMICA (CE)	3
ACH	99		26		CERÁMICA (CE)	3
ACH	99		26		CERÁMICA (CE)	9
ACH	99		26		CERÁMICA (CE)	5
ACH	99		27		CERÁMICA (CE)	10
ACH	99		28		CERÁMICA (CE)	10
ACH	100		13	C	CERÁMICA (CE)	6
ACH	100		14	C	CERÁMICA (CE)	2
ACH	100		12	C	CERÁMICA (CE)	4
ACH	100		12	C	CERÁMICA (CE)	7
ACH	101		28		CERÁMICA (CE)	1
ACH	101		29		CERÁMICA (CE)	1

Sitio	Operación	Sub-operación	Unidad	Contexto Especial	Material / Artefacto	No. de Bolsas
ACH	101		30		CERÁMICA (CE)	1
ACH	101		31		CERÁMICA (CE)	1
ACH	101		32		CERÁMICA (CE)	1
ACH	101		33		CERÁMICA (CE)	1
ACH	101		34		CERÁMICA (CE)	1
ACH	101		35		CERÁMICA (CE)	1
ACH	101		36		CERÁMICA (CE)	1
ACH	101		38		CERÁMICA (CE)	1
ACH	101		39		CERÁMICA (CE)	1
ACH	101		40		CERÁMICA (CE)	1
ACH	101		41		CERÁMICA (CE)	1
ACH	101		42		CERÁMICA (CE)	1
ACH	101		43		CERÁMICA (CE)	1
ACH	101		44		CERÁMICA (CE)	1
ACH	101		45		CERÁMICA (CE)	1
ACH	101		46		CERÁMICA (CE)	1
ACH	101		47		CERÁMICA (CE)	1
ACH	101		48		CERÁMICA (CE)	1
ACH	101		49		CERÁMICA (CE)	1
ACH	101		50		CERÁMICA (CE)	1
ACH	101		51		CERÁMICA (CE)	1
ACH	101		52		CERÁMICA (CE)	1
ACH	101		53		CERÁMICA (CE)	2
ACH	101		54		CERÁMICA (CE)	1
ACH	101		55		CERÁMICA (CE)	1
ACH	101		56		CERÁMICA (CE)	1
ACH	101		57		CERÁMICA (CE)	1
ACH	101		58		CERÁMICA (CE)	1
ACH	101		59		CERÁMICA (CE)	1
ACH	101		60		CERÁMICA (CE)	1
ACH	101		61		CERÁMICA (CE)	1
ACH	3	C	2		CONCHA (CO)	1
ACH	3	C	3		CONCHA (CO)	2
ACH	3	C	4		CONCHA (CO)	2
ACH	99		26		CONCHA (CO)	4
ACH	99		27		CONCHA (CO)	2
ACH	99		28		CONCHA (CO)	1
ACH	100		13	C	CONCHA (CO)	1

Sitio	Operación	Sub-operación	Unidad	Contexto Especial	Material / Artefacto	No. de Bolsas
ACH	101		28		CONCHA (CO)	1
ACH	101		34		CONCHA (CO)	1
ACH	101		38		CONCHA (CO)	1
ACH	101		46		CONCHA (CO)	1
ACH	101		56		CONCHA (CO)	1
ACH	3	C	2		ESTUCO (ES)	1
ACH	3	C	2		ESTUCO (ES)	1
ACH	3	C	3		ESTUCO (ES)	1
ACH	3	C	3		ESTUCO (ES)	1
ACH	99		25		FIGURILLA (FG)	1
ACH	99		25		HUESO FAUNA (HF)	1
ACH	99		26		HUESO FAUNA (HF)	2
ACH	99		27		HUESO FAUNA (HF)	1
ACH	99		28		HUESO FAUNA (HF)	1
ACH	101		54		HUESO FAUNA (HF)	1
ACH	101		56		HUESO FAUNA (HF)	1
ACH	3	C	2		HUESO HUMANO (HH)	1
ACH	99		26		HUESO HUMANO (HH)	1
ACH	99		28		HUESO HUMANO (HH)	1
ACH	6	B	1		MUESTRA DE TIERRA (MT)	1
ACH	99		26		MUESTRA DE TIERRA (MT)	2
ACH	99		27		MUESTRA DE TIERRA (MT)	2
ACH	3	C	3		OBSIDIANA (OB)	1
ACH	3	C	4		OBSIDIANA (OB)	3
ACH	99		24		OBSIDIANA (OB)	2
ACH	99		25		OBSIDIANA (OB)	2
ACH	99		26		OBSIDIANA (OB)	6
ACH	99		27		OBSIDIANA (OB)	1
ACH	99		28		OBSIDIANA (OB)	3
ACH	100		13	C	OBSIDIANA (OB)	1
ACH	100		12	C	OBSIDIANA (OB)	1
ACH	101		33		OBSIDIANA (OB)	1
ACH	101		34		OBSIDIANA (OB)	1
ACH	101		35		OBSIDIANA (OB)	1
ACH	101		46		OBSIDIANA (OB)	1
ACH	99		26		OTRAS MUESTRAS (MU)	1

Sitio	Operación	Sub-operación	Unidad	Contexto Especial	Material / Artefacto	No. de Bolsas
ACH	3		2		OTRO LÍTICA (LI)	1
ACH	99		24		OTRO LÍTICA (LI)	4
ACH	99		25		OTRO LÍTICA (LI)	2
ACH	99		26		OTRO LÍTICA (LI)	9
ACH	99		27		OTRO LÍTICA (LI)	8
ACH	99		28		OTRO LÍTICA (LI)	2
ACH	100		12 C		OTRO LÍTICA (LI)	1
ACH	100		13 C		OTRO LÍTICA (LI)	1
ACH	100		14 C		OTRO LÍTICA (LI)	1
ACH	101		45		OTRO LÍTICA (LI)	1
ACH	3	C	4		PEDERNAL (PE)	1
ACH	3		2		PEDERNAL (PE)	2
ACH	3		3		PEDERNAL (PE)	2
ACH	3		4		PEDERNAL (PE)	1
ACH	99		25		PEDERNAL (PE)	2
ACH	100		13 C		PEDERNAL (PE)	1
ACH	101		28		PEDERNAL (PE)	1
ACH	101		30		PEDERNAL (PE)	1
ACH	101		34		PEDERNAL (PE)	1
ACH	101		35		PEDERNAL (PE)	2
ACH	101		36		PEDERNAL (PE)	1
ACH	101		38		PEDERNAL (PE)	1
ACH	101		39		PEDERNAL (PE)	1
ACH	101		40		PEDERNAL (PE)	1
ACH	101		44		PEDERNAL (PE)	1
ACH	101		46		PEDERNAL (PE)	1
ACH	101		50		PEDERNAL (PE)	1
ACH	101		52		PEDERNAL (PE)	1
ACH	101		54		PEDERNAL (PE)	1
ACH	101		56		PEDERNAL (PE)	1
ACH	101		60		PEDERNAL (PE)	1
ACH	101		61		PEDERNAL (PE)	1